

Ing. Miroslav Tomala
projekční činnost v investiční výstavbě
Blatnická 16, 628 00 BRNO
IČO 479 42 223

Počet stran: 197
List: 1
Arch. číslo: 1917-02

**AKCE: ROZŠÍŘENÍ INFRASTRUKTURY
CENTRA INTEMAC**

STATICKÝ VÝPOČET

DOKUMENTACE PRO STAVEBNÍ POVOLENÍ

**Část: D.1.2 STAVEBNĚ KONSTRUKČNÍ ŘEŠENÍ
BETONOVÉ KONSTRUKCE**

INVESTOR: Intemac Solutions, s.r.o. Blanenská 1288/27, 664 34 Kuřim

OBJEDNATEL: Ing. arch. Libor Žák, Riegrova 44, 612 00 Brno, IČ: 643 14 600

Vypracoval: Ing. Tomala Miroslav
Datum: Září 2019

Pořad. číslo: 02
Vyhotovení:

**Obsah**

1. Technická zpráva ke statickému výpočtu	str. 3
2. Geologické poměry	str. 5
3. Rozbor zatížení	str. 8
4. Zatížení od konstrukce haly – výpočet zatížení na piloty	str. 11
5. Stropy, střecha a schodiště administrativního přístavku	str. 17
6. Stropní desky přístavku skladu a strojovny VZT	str. 57
7. Trámové stropy administrativního přístavku	str. 72
8. Obvodové nosníky a překlady obou přístavků	str. 76
9. Výpočet podlahové desky haly	str. 91
10. Základy administrativního přístavku a schodiště	str. 107
11. Základy přístavku skladu a strojovny VZT	str. 120
12. Základové pasy - dimenzování	str. 130
13. Sloupy administrativního přístavku	str. 133
14. Piloty	str. 136

Celkem 197 stran

Použité normy a literatura

ČSN EN 1990 : 2002	Eurokód: Zásady navrhování konstrukcí
ČSN EN 1991-1 : 2002	Eurokód 1 Zatížení konstrukcí
ČSN EN 1992-1 : 2004	Eurokód 2 Navrhování betonových konstrukcí
ČSN EN 1996-1 : 2005	Eurokód 6: Navrhování zděných konstrukcí
ČSN EN 1997-1 : 2004	Eurokód 7: Navrhování geotechnických konstrukcí
ČSN 73 1001	Základová půda pod plošnými základy
ČSN 73 1002	Pilotové základy
ČSN 73 1002	Pilotové základy + Komentář k ČSN 73 1002
Jan Masopust	Vrtané piloty
J. Bradáč	Základové konstrukce - skripta VUT Brno
Novák, Hořejší	Statické tabulky pro stavební praxi, (tech. prův. 51)
Procházka, Vítek, ...	Navrhování betonových konstrukcí - příručka k ČSN EN 1992-1-1
Košatka, Broukalová	Navrhování zděných konstrukcí - příručka k ČSN EN 1996-1-1
Jan Masopust	Navrhování základových konstrukcí příručka k ČSN EN 1997-1-1
Technical report No.34	Concrete industrial ground floors (third edition) (Concrete society)
Typové podklady pro materiály SUPERTHERM	
Typové podklady pro materiály POROTHERM	

Software: Programový systém firmy SCIA

Programový systém firmy SCIA – Scia Engineer 2016.1.3033

Programový systém GEO 5 od firmy FINE

Geo 5 – Pilota – posouzení a dimenzování osamělé piloty

FIN EC verze 5 – program Beton



1. TECHNICKÁ ZPRÁVA KE STATICKÉMU VÝPOČTU.

Podklady.

Podkladem pro zpracování byly požadavky objednatele, rozpracovaný projekt stavební části pro stavební povolení, závěrečná zpráva o inženýrskogeologickém průzkumu od firmy GEON, s.r.o. provedeného na budoucím staveništi v září 2018, zpráva o průzkumu staveniště nové haly v areálu TOS Kuřim z roku 2008 od firmy GEODAT Brno, s.r.o a dále pak požadavky jednotlivých profesí a projekt rekonstrukce stávajícího objektu z roku 2011.

Zatížení.

Zatížení je uvažováno podle ČSN EN 1990 a ČSN EN 1991 (Eurokód 1). Pro konstrukci střech přístaveb je uvažováno zatížení sněhem dle digitální mapy zatížení sněhem na zemi v ČR (ČHMÚ) hodnotou $s_k = 0,90 \text{ kN/m}^2$. Mapou podle normy je lokalita zařazena do II. sněhové oblasti, pro kterou je uvažováno zatížení sněhem ve $s_0 = 1,00 \text{ kN/m}^2$. Objekt se nachází ve II. větrové oblasti, s větrem o základní výchozí rychlosti $v_0 = 25 \text{ m/s}$ v terénu kategorie III. Zatížení větrem pro objekty přístaveb haly není vzhledem k jejich výšce a uspořádání svislých konstrukcí rozhodující, jejich vliv na konstrukce železobetonových stropních desek je minimální a bude bezpečně přeneseno tuhými stropními deskami do stěn a základů, jejichž tuhost je výrazně vyšší než tuhost dvou nárožních sloupků.

V administrativním přístavku je v prostoru reprezentační místnosti uvažováno užité zatížení $p_k = 4,00 \text{ kN/m}^2$, na schodišti a střešní terase uvažováno užité zatížení $p_k = 3,00 \text{ kN/m}^2$. Na terase je uvažováno lokální přitížení od vysokých květináčů náhradním zatížením $p_k = 10,00 \text{ kN/m}^2$. V přístavku strojovny VZT je na stropě i na střeše uvažováno užité zatížení $p_k = 5,00 \text{ kN/m}^2$, všude je uvažováno stálé zatížení od podlah, přiček a stěn podle stavební části projektu. Na podlaze v hale je podle požadavku investora uvažováno zatížení 6 tun/m^2 a upínací ocelová deska hmotnosti 23,10 tuny s obrobkem hmotnosti až 144 tun.

Materiál.

Monolitické betonové konstrukce stropních desek a trámů jsou navrženy z betonu C25/30 XC1, vyztuženého vázanou výztuží B500B (R 10505) případně v kombinaci se sítěmi KARI rovněž z oceli B500B. Základové pasy a hlavice pilot jsou navrženy z betonu C25/30 XC2 vyztuženého vázanou výztuží B500B (R 10505). Podkladní beton a případná podbetonování z betonu C8/C10. Piloty jsou navrženy z betonu C20/25 XC2 XA1, minimální množství cementu bude použito podle tabulky D.1. EN 206 v závislosti na technologii provádění.

Statické schéma a předpoklady výpočtu.

Pro výpočet stropních konstrukcí jsou pro jednotlivé přístavky vymodelovány stropní desky a příslušné trámy a žebra podle výkresů tvaru. Desky jsou podepřeny liniovými podporami v místě stěn. Model administrativního přístavku je doplněn o železobetonové nárožní sloupy, meziokenní pilíř mezi druhým a třetím podlažím a o železobetonové schodiště se střední železobetonovou stěnou. Stěna je uvažována jako vetknutá do základu. Sloupy jsou zjednodušeně uvažovány jako prostě podepřené. Pro takto navržené plošné prvky jsou vypočteny vnitřní síly, nutné plochy výztuže a pružné průhyby aby byla ověřena dostatečná tuhost stropních konstrukcí. Pro žebra a obvodové trámy stropů jsou vypočteny vnitřní síly, na které byla navržena potřebná výztuž s potřebnou rezervou pro mezní stavy použitelnosti (průhyby a trhliny do šířky 0,30 mm). Schémata výztuže plošných konstrukcí (desek a stěn) jsou zpracovány na základě nutných ploch výztuže pro jednotlivé povrchy a směry výztuže desek a s ohledem na minimální procento vyztužení a splnění běžných konstrukčních zásad.

Vzhledem k tomu, že některé svislé stěny nejsou nad sebou, byly pro výpočet základů modely jednotlivých přístavků doplněny stěnami o odpovídající hmotnosti. Zděné stěny byly modelovány s výrazně sníženou smykovou tuhostí, aby bylo co nejlépe modelováno přenášení zatížení ze



svislých stěn na doplněné základové pasy, které byly bodově podepřeny v místě pilot. Takto byly stanoveny síly v hlavách jednotlivých pilot. Pro návrh pilot byly pod pasy přístavku uvažovány svislé reakce a z vodorovných reakcí byl pod jednotlivými pasy v podélném směru uvažován rozdíl ze všech hodnot reakcí z celé řady pilot pod jednotlivým pasem a v příčném směru k ose pasu pak nejvyšší hodnota vodorovné reakce. Z výpočtu ocelové konstrukce byly převzaty reakce od sloupů vetknutých v příčném směru haly. Vzhledem k tomu, že ocelářské podklady obsahují zatížení větrem a jeřáby vždy pouze ve směru kladných os, byly pro zjištění účinků v opačném směru změněny příslušná znaménka momentů a posouvajících sil působících v příčném směru haly. Pod každý sloup je navržena obdélníková hlavice podporovaná dvěma pilotami. Ohybový moment v příčném směru haly je vždy rozdělen do dvojice sil působících na hlavy pilot. Výztuž hlavic byla navržena konstrukčně, aby byly vykryty dolní tahové síly mezi hlavami dvojice pilot a síly od příčného tahu v horní části hlavice. Základový pas pod zděným obvodovým pláštěm haly je uložen na hlavicích pilot a je uvažován jako spojitý nosník. Sloupy ocelové konstrukce krčku mezi novou halou a stávajícím objektem jsou uloženy na vyloženém pasu, podepřeném od stávajícího objektu odsunutou pilotou (z důvodu proveditelnosti vrtání) a pilotami pod hlavicí dvojice pilot pod hlavním sloupem haly. Pro svislé zatížení pilot těchto sloupů je připočten odpovídající účinek od konzolově vyloženého pasu. Geologický profil (střídání tuhých a pevných jílovitých zemin) pro posouzení únosnosti navržených pilot je uvažován podle sondy v místě stavby, v horní části profilu jsou konzervativně pro výpočet zatěžovacích křivek voleny nižší hodnoty regresních součinitelů.

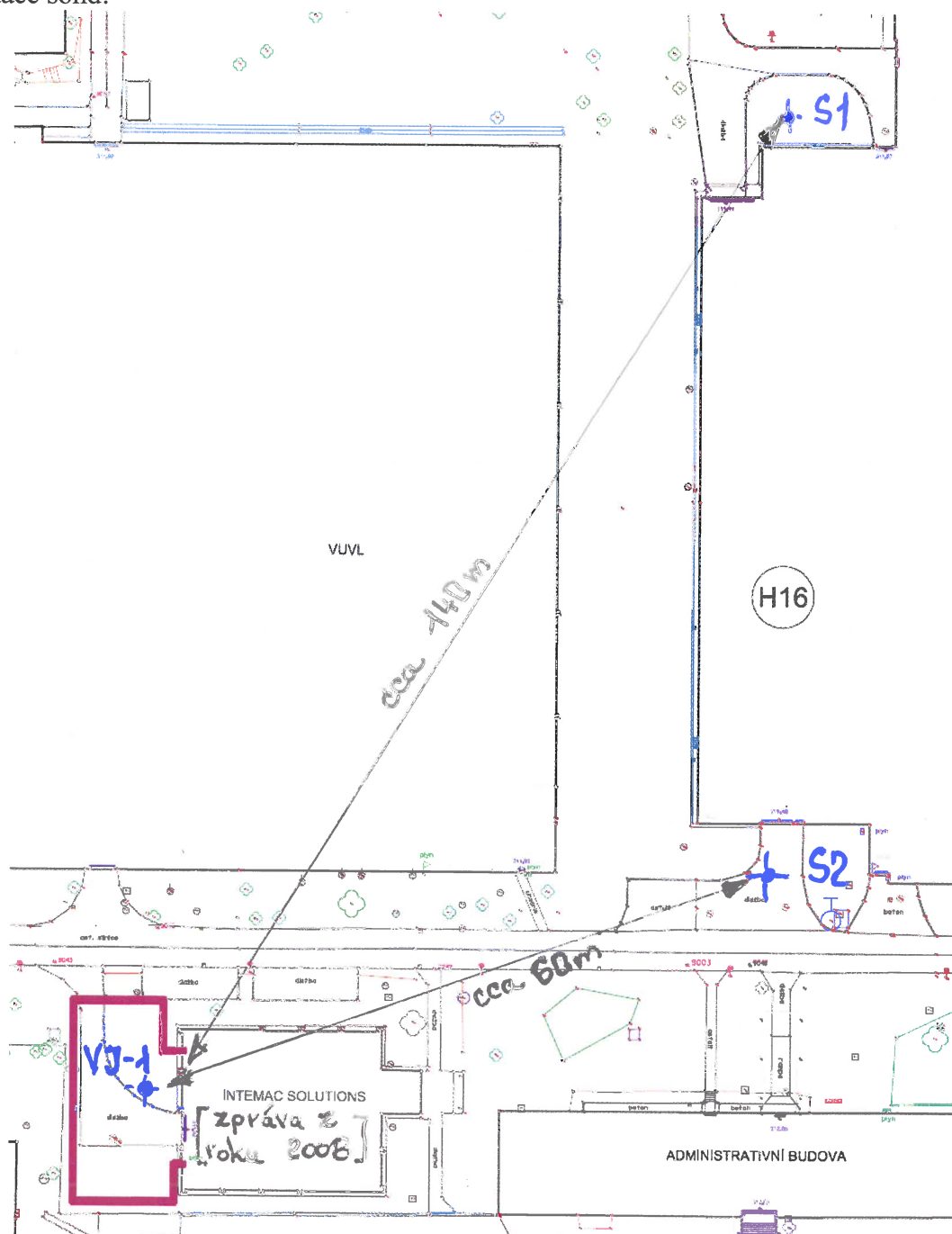
Podlaha haly je pro výpočet programem modelována jako deska na pružném podloží, jehož tuhost je stanovené odborným odhadem, pro podloží odpovídající přibližně předepsanému hutněnému šterkopískovému polštáři na zemině z tuhých jílovitých hlín, hodnotou 50 MN/m^3 . Vzhledem k tomu, že kromě plošného zatížení podlahy nebylo zadáno žádné jiné uspořádání nerovnoměrného uspořádání zatížení, pojezdu vozíků či rozmístění regálů nebo skladovacích ploch, byla vytvořena pro kvalifikovaný odhad možných vnitřních sil v podlahové desce řada různých schémat rozmístění lokálních proměnných rovnoměrných zatížení na plochách $1,0 \times 1,0$ nebo $3,0 \times 3,0$ m a na pásech šířky 1,0 m. Tato zatížení pak byla kombinována se zatížením od vlastní hmotnosti betonové podlahy a upínací desky zabudované v podlaze.



2. GEOLOGICKÉ POMĚRY

K dispozici byly dvě zprávy o inženýrskogeologickém průzkumu, Zpráva z roku 2008 vychází ze dvou archivních sond vrtaných do hloubky 14,0 m, vzdálených cca 60 a 140 m od místa stavby, zpráva z letošního roku vychází z jedné vrtané sondy hloubky 9,0 m v místě stavby. Terén v této oblasti je téměř rovinný a geologický sled vrstev a jejich popis je o obou zprávách velmi podobný, s výjimkou vrstvy v hloubce cca 1,4 až 2,8 m pod terénem. V obou zprávách je popsána jako jílovitá hlína tuhá až pevná, ve zprávě z roku 2018 s ojedinělými šterky a s příměsí písku. Ve zprávě z roku 2018 je zařazena do navážek, ve zprávě z roku 2008 je zařazena do třídy F6 podle ČSN 73 1001. Tato vrstva se nachází pod vrstvou navážek mocnosti 1,10 až 1,40 m z hlinitopísčitých zemin. V obou průzkumech pak byly od hloubky 2,40 až 2,80 m pod terénem zastiženy vrstvy jílu polotuhé až pevné konzistence, od hloubky 6,50 až 7,0 m pak byly navrtány pouze vrstvy neogenního podloží, zastoupené jíly pevné konzistence. Spodní voda nebyla v žádné ze sond zastižena.

Situace sond:





Charakteristiky zemin

Průzkum z roku 2008

ČSN 73 1001			
třída		F 6	F 8
konzistence		T - P	P
γ	kN/m³	21,0	20,5
E_{def}	MPa	6	4
C_g	kPa	65	60
φ_u	°	0	0
C_{ef}	kPa	16	8
φ_{ef}	°	19	15
ν		0,40	0,42
β		0,47	0,37

Průzkum z roku 2018

Tab. č. 1 Fyzikální a indexové vlastnosti vzorků zemin

Sonda	Hloubka (m)	ČSN 73 6133 Třída a symbol	w (%)	w _L (%)	w _P (%)	I _P	I _c
VJ 1	9,0	F8 CH	25,5	61	21	39	0,90

Tab č.2: Stlačitelnost dle ČSN CEN ISO/TS 17892-5 vrt VJ-1 hloubka 6 m p.t.

Hloubka (m)	E_{oed} (MPa)		
	0,100-0,200 (MPa)	0,200-0,400 (MPa)	0,400-0,600 (MPa)
9,0	11,5	15,5	31,9

Efektivní parametry dle ČSN CEN ISO/TS 17892-10

$c_{ef} = 30,0$ kPa

$\varphi_{ef} = 16,5^\circ$

V charakteristických vlastnostech dosahují podložní zeminy následující hodnoty –

jílovito-písčítá hlína – tuhá-polotuhá

$E_{eod} = 7-9$ MPa

$c_u = 0,03-0,09$ MPa

$\varphi_u = 3^\circ$

$c_{ef} = 15$ kPa

$\varphi_{ef} = 30^\circ$

$\nu = 0,40$

$\beta = 0,47$

$\rho_n = 2\ 060$ kg.m⁻³

$R_{dt} = 80-120$ kPa

Neogenní sedimenty

Plastické jíly – konzistence pevná třída CH-CV

$E_{eod} = 11,5-31,0$ MPa

$c_u = 0,08$ MPa

$\varphi_u = 0^\circ$

$c_{ef} = 30$ kPa

$\varphi_{ef} = 16,5^\circ$

$\nu = 0,42$

$\beta = 0,37$

$\rho_n = 2000$ kg.m⁻³

$R_{dt} = 200$ kPa



POPIS SOND:

GEOLOGICKÁ DOKUMENTACE VRTU		VJ-1																															
GEON, s.r.o. 864 52 Sokolnice, Na Padělkách 421																																	
Vrtmistr: Typ soupravy: URB 2A Datum provedení - od: 17.9.2018 - do: 17.9.2018		Hloubka sondy [m]: 9.00 Hladina podz. vody: nebyla zastižena naražená [m]: ustálená [m]:																															
Y= 601 943.00 X= 1 147 303.00 Z= 312.00 Souř. systémy: JTSK / Balt																																	
od: [m]	do: [m]	vrtáno DN [mm]	od: [m]																														
			do: [m]																														
			paženo DN [mm]																														
		Okres: Kuřim Katastr. území: 24-322 Mapa 1:25000:																															
		<table border="1"> <thead> <tr> <th>od</th> <th>do</th> <th>GEOLOGICKÝ POPIS HORNIN</th> </tr> </thead> <tbody> <tr> <td>0.00</td> <td>0.20</td> <td>2: Humózní vrstva,</td> </tr> <tr> <td>0.20</td> <td>1.00</td> <td>1: Navážka, hlinito-písčité, s plečtými polohami a ojedinělými štěrky, středně ulehle</td> </tr> <tr> <td>1.00</td> <td>2.40</td> <td>1: Navážka, jílovito-pěsčité hlíny, s ojedinělými štěrky, tuhé až pevné, neostrý předchod do podloží</td> </tr> <tr> <td>2.40</td> <td>3.10</td> <td>14: Jíl se střední plasticitou, černohnědé, jílovité hlíny, polotuhé</td> </tr> <tr> <td>3.10</td> <td>3.30</td> <td>15: Jíl s vysokou plasticitou, černé vysoce plastické jílly, pevné</td> </tr> <tr> <td>3.30</td> <td>4.10</td> <td>24: Hlína se střední plasticitou, žlutohnědá, prachovito-jílovité hlíny, slabě písčité, tuhé, vápenné konkrce</td> </tr> <tr> <td>4.10</td> <td>5.60</td> <td>32: Hlína jílovitá písčité, žlutohnědá, tuhé až pevné, proměnlivá vlhkost, slabě písčité, vápenné konkrce</td> </tr> <tr> <td>5.60</td> <td>6.40</td> <td>32: Hlína jílovitá písčité, žlutohnědá, tuhé až polotuhé, směrem do podloží vyšší vlhkost, slabě písčité, vápenné konkrce</td> </tr> <tr> <td>6.40</td> <td>9.00</td> <td>15: Jíl s vysokou plasticitou, zelenohnědé jílly, pevné, písčité polohy</td> </tr> </tbody> </table>		od	do	GEOLOGICKÝ POPIS HORNIN	0.00	0.20	2: Humózní vrstva,	0.20	1.00	1: Navážka, hlinito-písčité, s plečtými polohami a ojedinělými štěrky, středně ulehle	1.00	2.40	1: Navážka, jílovito-pěsčité hlíny, s ojedinělými štěrky, tuhé až pevné, neostrý předchod do podloží	2.40	3.10	14: Jíl se střední plasticitou, černohnědé, jílovité hlíny, polotuhé	3.10	3.30	15: Jíl s vysokou plasticitou, černé vysoce plastické jílly, pevné	3.30	4.10	24: Hlína se střední plasticitou, žlutohnědá, prachovito-jílovité hlíny, slabě písčité, tuhé, vápenné konkrce	4.10	5.60	32: Hlína jílovitá písčité, žlutohnědá, tuhé až pevné, proměnlivá vlhkost, slabě písčité, vápenné konkrce	5.60	6.40	32: Hlína jílovitá písčité, žlutohnědá, tuhé až polotuhé, směrem do podloží vyšší vlhkost, slabě písčité, vápenné konkrce	6.40	9.00	15: Jíl s vysokou plasticitou, zelenohnědé jílly, pevné, písčité polohy
od	do	GEOLOGICKÝ POPIS HORNIN																															
0.00	0.20	2: Humózní vrstva,																															
0.20	1.00	1: Navážka, hlinito-písčité, s plečtými polohami a ojedinělými štěrky, středně ulehle																															
1.00	2.40	1: Navážka, jílovito-pěsčité hlíny, s ojedinělými štěrky, tuhé až pevné, neostrý předchod do podloží																															
2.40	3.10	14: Jíl se střední plasticitou, černohnědé, jílovité hlíny, polotuhé																															
3.10	3.30	15: Jíl s vysokou plasticitou, černé vysoce plastické jílly, pevné																															
3.30	4.10	24: Hlína se střední plasticitou, žlutohnědá, prachovito-jílovité hlíny, slabě písčité, tuhé, vápenné konkrce																															
4.10	5.60	32: Hlína jílovitá písčité, žlutohnědá, tuhé až pevné, proměnlivá vlhkost, slabě písčité, vápenné konkrce																															
5.60	6.40	32: Hlína jílovitá písčité, žlutohnědá, tuhé až polotuhé, směrem do podloží vyšší vlhkost, slabě písčité, vápenné konkrce																															
6.40	9.00	15: Jíl s vysokou plasticitou, zelenohnědé jílly, pevné, písčité polohy																															

Archivní sondy

AKCE		TOS KUŘIM-OS A.S., VÝSTAVBA HALY III/6	
ZAKÁZKOVÉ ČÍSLO	TH-187-2008	SONDA ČÍSLO	S2
KÓTA ÚSTÍ SONDY (Bp+)		MĚŘÍTKO	1:100
GRAFIČKÉ OZNAČENÍ	LITOLOGICKÝ POPIS	TŘÍDA ČSN 73 1001	R _s kPa
		TŘÍDA TĚL ČSN 73 3650	
0,00			
0,40	hlína jílovitá, tmavě hnědá, humózní	CLY	2
1,40	navážka (hlína jílovitá), středně ulehle	CLU	2
	hlína jílovitá (oprašková), hnědá, tuhá až pevná	P6	150
4,50	jíl, světle hrubý, pevný	P8	150
9,00	jíl, zelenobílý, pevný	P8	150
14,00			
HLADINA PODZEMNÍ VODY NAVRTANÁ HLADINA PODZEMNÍ VODY USTÁLENÁ DATUM HLOUBENÍ SONDY 27.11.2008 TYP VRTNÉ SOUPRAVY UKB- 50M PROFIL SONDY 231 MM			

AKCE		TOS KUŘIM-OS A.S., VÝSTAVBA HALY III/6	
ZAKÁZKOVÉ ČÍSLO	TH-187-2008	SONDA ČÍSLO	S2
KÓTA ÚSTÍ SONDY (Bp+)		MĚŘÍTKO	1:100
GRAFIČKÉ OZNAČENÍ	LITOLOGICKÝ POPIS	TŘÍDA ČSN 73 1001	R _s kPa
		TŘÍDA TĚL ČSN 73 3650	
0,00			
0,40	hlína jílovitá, tmavě hnědá, humózní	CLY	2
1,40	navážka (hlína jílovitá), středně ulehle	CLU	2
	hlína jílovitá (oprašková), hnědá, tuhá až pevná	P6	150
4,50	jíl, světle hnědý, pevný	P8	150
9,00	jíl, zelenobílý, pevný	P8	150
14,00			
HLADINA PODZEMNÍ VODY NAVRTANÁ HLADINA PODZEMNÍ VODY USTÁLENÁ DATUM HLOUBENÍ SONDY 27.11.2008 TYP VRTNÉ SOUPRAVY UKB- 50M PROFIL SONDY 231 MM			



3. ROZBOR ZATÍŽENÍ

Podlaha nad 1.NP

Zatížení	stálé			charakteristické		návrhové
popis	tloušťka	kN/m ³		kN/m ²	γ_f	kN/m ²
plykyřice	0,002	21,00		0,042	1,35	0,057
stěrka	0,003	22,00		0,066	1,35	0,089
cementový potěr	0,060	25,00		1,500	1,35	2,025
Tepelná izolace - EPS	0,080	1,50		0,120	1,35	0,162
Podlahové topení				0,500	1,35	0,675
ŽB deska	0,100	25,00		2,500	1,35	3,375
omítka	0,010	19,00		0,190	1,35	0,257
				<u>4,918</u>		<u>6,639</u>

stálé zatížení bez vlastní tíhy hmotnosti konstrukce

$$g_k = 2,42 \text{ kN/m}^2 \quad g_p = 3,264 \text{ kN/m}^2 \quad \gamma_f = 1,350$$

zatížení pro část konstrukce stropu s ŽB deskou tloušťky	0,20 m	stálé celkem	charakteristické	návrhové
			2,72 kN/m ²	7,04
		celkové	7,64 kN/m ²	13,68

Podlaha nad 2.NP - terasa

Zatížení	stálé			charakteristické		návrhové
popis	tloušťka	kN/m ³		kN/m ²	γ_f	kN/m ²
dlažba mrazuvzdorná	0,020	25,00		0,500	1,35	0,675
podložky - rektifikovatelné 160-20mm				0,500	1,35	0,675
hydroizolace	0,003	21,00		0,063	1,35	0,085
tepelná izolace - PIR	0,140	1,00		0,140	1,35	0,189
penetrace	0,001	21,00		0,021	1,35	0,028
spádová vrstva-lehčený beton	0,100	8,00		0,800	1,35	1,080
ŽB deska	0,100	25,00		2,500	1,35	3,375
omítka	0,010	19,00		0,190	1,35	0,257
				<u>4,714</u>		<u>6,364</u>

stálé zatížení bez vlastní tíhy hmotnosti konstrukce

$$g_n = 2,214 \text{ kN/m}^2 \quad g_p = 2,989 \text{ kN/m}^2 \quad \gamma_f = 1,350$$

zatížení pro část konstrukce stropu s ŽB deskou tloušťky	0,20 m	stálé celkem	charakteristické	návrhové
			6,41 kN/m ²	12,03
		celkové	11,13 kN/m ²	18,40

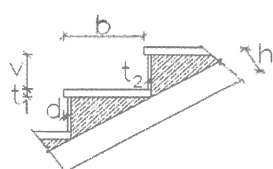
Střecha schodiště

Zatížení	stálé			charakteristické		návrhové
popis	tloušťka	kN/m ³		kN/m ²	γ_f	kN/m ²
hydroizolace	0,003	21,00		0,063	1,35	0,085
tepelná izolace - PIR	0,250	1,00		0,250	1,35	0,338
pározábrana - asfaltová	0,004	21,00		0,084	1,35	0,113
ŽB deska	0,180	25,00		4,500	1,35	6,075
omítka	0,010	19,00		0,190	1,35	0,257
				<u>5,087</u>		<u>6,867</u>

stálé zatížení bez vlastní tíhy hmotnosti konstrukce

$$g_n = 0,587 \text{ kN/m}^2 \quad g_p = 0,792 \text{ kN/m}^2 \quad \gamma_f = 1,350$$

Zatížení schodišťového ramene



výška stupě	$v =$	0,175	m
šířka stupě	$b =$	0,300	m
výplň stupně	$\gamma =$	25,00	kN/m ³
obklad stupně	$t_1 =$	0,005	m
obklad podstup.	$t_2 =$	0,005	m
spád ramene	$\alpha =$	30,26	stupňů



stupně	tloušťka	kN/m ³		kN/m ²	γ_f	kN/m ²
plykyřice	0,002	21,00		0,042	1,35	0,057
stěrka	0,003	22,00		0,066	1,35	0,089
	stálé celkem		$g_s =$	0,108	1,350	0,146
výpiň stupně - beton		0,656	kN/bm stupně		$\gamma_f =$	1,35
podstupnice	tloušťka	kN/m ³		kN/m ²	γ_f	kN/m ²
plykyřice	0,002	21,00		0,042	1,35	0,057
stěrka	0,003	22,00		0,066	1,35	0,089
				0,108		0,146
rameno				kN/m ²	γ_f	kN/m ²
průměrné zatížení od stupňů (po délce ramene)				2,037	1,35	2,750
konstrukce ramene						
vyrovnání betonem	0,01	24,00		0,240	1,35	0,324
	stálé celkem		$g_{ram} =$	2,277	1,350	3,074
Nahodilé zatížení	$p =$	3,00	kN/m ²		$\gamma_f = 1,3$	
stálé zatížení bez betonové desky			2,28	kN/m ²		
Mezipodesta	tloušťka	kN/m ³		kN/m ²	γ_f	kN/m ²
plykyřice	0,002	21,00		0,042	1,35	0,057
stěrka	0,003	22,00		0,066	1,35	0,089
vyrovnávací samonivelační	0,015	24,00		0,360	1,35	0,486
				0,468		0,632

Střecha nad 2.NP - nad strojovnou VZT

Zatížení	stálé			charakteristické		návrhové	
popis		tloušťka	kN/m ³	kN/m ²	γ_f	kN/m ²	
hydroizolace		0,006	21,00	0,126	1,35	0,170	
tepelná izolace - PIR		0,160	2,00	0,320	1,35	0,432	
pározábrana - asfaltová		0,004	21,00	0,084	1,35	0,113	
spádová vrstva-lehčený beton		0,170	8,00	1,360	1,35	1,836	
ŽB deska		0,220	25,00	5,500	1,35	7,425	
omítka		0,010	19,00	0,190	1,35	0,257	
				7,580		10,233	
stálé zatížení bez vlastní tíhy hmotnosti konstrukce							
	$g_k =$	2,080	kN/m ²	$g_p =$	2,808	kN/m ²	$\gamma_f = 1,350$

Strop nad 1.NP - přístavek skladu a strojovny VZT

				charakteristické		návrhové	
stupně	tloušťka	kN/m ³		kN/m ²	γ_f	kN/m ²	
plykyřice	0,002	21,00		0,042	1,35	0,057	
stěrka	0,003	22,00		0,066	1,35	0,089	
ŽB deska	0,180	25,00		4,500	1,35	6,075	
omítka	0,010	19,00		0,190	1,35	0,257	
	stálé celkem			$g_s =$	4,798	1,350	6,477
stálé zatížení bez vlastní tíhy hmotnosti konstrukce							
	$g_k =$	0,298	kN/m ²	$g_p =$	0,402	kN/m ²	$\gamma_f = 1,350$

Stěny a příčky

		kN/m ²	výška[m]	kN/m	výška[m]	kN/m
příčka 140 mm - zděná		1,82	2,65	4,82		
zdivo 380mm s omítkou+zateplení		3,20	2,60	8,32	5,75	18,40
zdivo 300mm s omítkou		3,57	3,60	12,85	2,40	8,57



SNÍH

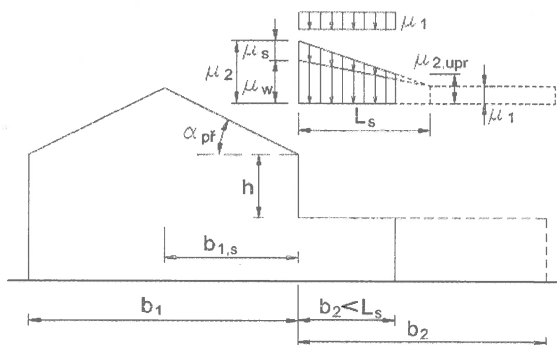
(lokality Kuřim - II. sněhová oblast)

oblast II $s_k = 0,90 \text{ kN/m}^2$ podle mapy *použita hodnota z mapy*
 $\gamma_f = 1,50$ $C_e = 1,00$ $C_t = 1,00$
 sklon střechy $\alpha = 2,50^\circ$ $\mu_1 = 0,800$ $\mu_2 = 0,867$
 $s_n = \mu_1 \cdot C_e \cdot C_t \cdot s_k = 0,720 \text{ kN/m}^2$ $s_d = s_n \cdot \gamma_f = 1,080 \text{ kN/m}^2$
 $s_{n2} = \mu_2 \cdot C_e \cdot C_t \cdot s_k = 0,780 \text{ kN/m}^2$

Zatížení nižší střechy navátím sněhu

(týká se terasy)

sníh na střeše přiléhající k vyšší budově sklon střechy $\alpha = 2,0^\circ$
 sklon přilehlé (vyšší) střechy $\alpha_{př} = 2,5^\circ$ $\mu_{1,př} = 0,800$ $\mu_{2,př} = 0,867$
 $\mu_s = 0,80 \cdot b_{1,s} / L_s$ pro $\alpha_{př} > 15^\circ$; jinak $0,0 = 0,0000$ $\gamma_s = 2,00 \text{ kN/m}^3$



výškový rozdíl přilehlých střech

$h = h_1 = 2,00 \text{ m}$
 šířka přilehlé budovy $b_1 = 15,8 \text{ m}$
 $b_{1,s} = 7,900 \text{ m}$
 šířka počítané střechy $b_2 = 3,88 \text{ m}$
 délka návěje (5-15m; 2.h) $L_s = 5,00 \text{ m}$

$\mu_w = \min((b_1 + b_2) / 2 / h; \gamma_s \cdot h / s_k) = 4,444$

omezení $\mu_{w,max} = 2,0$ $\mu_{w,min} = 0,80$

$\mu_2 = \max(\mu_s + \mu_w; 0,8) = 2,000$

kN/m^2 γ_f kN/m^2

$s_{n,n} = \mu_2 \cdot C_e \cdot C_t \cdot s_k = 1,800$ $1,50$ $2,700$

$s_{n,okap} = \mu_{2,upr} \cdot C_e \cdot C_t \cdot s_k = 0,962$ $1,50$ $1,443$

$\mu_{2,upr} = 1,069$

u okapu

Zatížení horní volné stěny kolem terasy větrem

(lokality Kuřim - II. větrová oblast)

Zatížení nahodilé - větrem

oblast II

Kategorie terénu : III

$z_0 = 0,300 \text{ m}$

$z_{min} = 5,0 \text{ m}$

$z_{max} = 200 \text{ m}$

$k_1 = 1,0$

$k_r = 0,19 \cdot (z_0 / z_{0,II})^{0,07} = 0,215$

$c_r(z_e) = k_r \cdot \ln(z_e / z_0) = 0,762$

$I_v(z_e) = k_1 / (c_0(z_e) \cdot \ln(z_e / z_0)) = 0,283$

Zatížení volné stěny větrem :

$v_{b,0} = 25,0 \text{ m/s}$

$\rho = 1,25 \text{ kg/m}^3$

$c_{dir} = 1,0$

$c_0(z) = 1,00$

$c_{season} = 1,0$

$z = h = 10,30 \text{ m}$

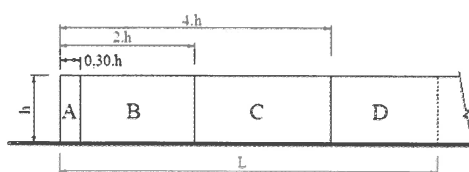
$z_{0,II} = 0,05 \text{ m}$

$z_e = 10,30 \text{ m}$

$v_b = c_{dir} \cdot c_{season} \cdot v_{b,0} = 25,00 \text{ m/s}$

$v_m(z_e) = c_{r(z_e)} \cdot c_0 \cdot v_b = 19,04 \text{ m/s}$

$q_p(z_e) = [1 + 7 \cdot I_{v(z_e)}] \cdot 1/2 \cdot \rho \cdot v_m^2(z_e) = 0,675 \text{ kN/m}^2$



výška stěny

$h_{zdi} = 3,15 \text{ m}$

délka stěny

$L = 11,80 \text{ m}$

délka oblasti A

$L_A = 0,945 \text{ m}$

délka oblasti B

$L_B = 5,355 \text{ m}$

délka oblasti C

$L_C = 5,5 \text{ m}$

délka oblasti D

$L_D = -- 0 -- \text{ m}$

$c_{pe,A} = 2,524$

$w_{e,A} = q_p(z_e) \cdot c_{pe,A} = 1,704 \text{ kN/m}^2$

$c_{pe,B} = 1,549$

$w_{e,B} = q_p(z_e) \cdot c_{pe,B} = 1,046 \text{ kN/m}^2$

$c_{pe,C} = 1,275$

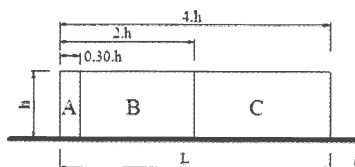
$w_{e,C} = q_p(z_e) \cdot c_{pe,C} = 0,861 \text{ kN/m}^2$

$c_{pe,D} = 0,000$

$w_{e,D} = q_p(z_e) \cdot c_{pe,D} = 0,000 \text{ kN/m}^2$

průměrný tlak větru

$w_{e,prum} = 1,012 \text{ kN/m}^2$





4. ZATÍŽENÍ OD KONSTRUKCE HALY - VÝPOČET ZATÍŽENÍ NA PILOTY

Reakce v uzlu(ech) 132/135, nel. k. (vše), globální extrémý - ř.A1.

Skupina uzlů :132/135

Skupina nelineárních kombinací :1/283 (výpočtová)

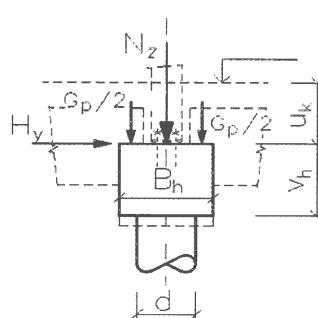
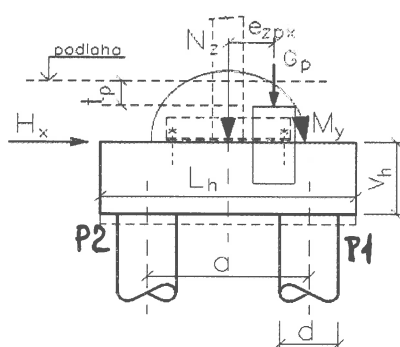
podpora	uzel	nel. k.	Rx [kN]	Ry [kN]	Rz [kN]	Mx [kNm]	My [kNm]	Mz [kNm]
3	134	46	-0,28	-6,12	22,76	0	-1,26	2,47
1	132	256	-59,48	0,14	307,74	0	-392,39	-0,12
3	134	282	-32,95	0,86	147,79	0	-160,14	-0,35
4	135	26	-25,65	-8,95	317,42	0	-220,38	3,53
4	135	136	-24,5	-8,04	347,36	0	-191,85	3,17
3	134	39	-34,77	-7,55	0,18	0	-193,87	3,05
4	135	131	-1,8	-6,52	124,62	0	17,23	2,53
2	133	97	-57,51	0,21	242,79	0	-398,5	-0,01

Reakce v uzlu(ech) 132/135, kombi použ. (vše), globální extrémý - ř.A1.

Skupina uzlů :132/135

Skupina kombinací na spolehlivost :1/194

podpora	uzel	kombi	Rx [kN]	Ry [kN]	Rz [kN]	Mx [kNm]	My [kNm]	Mz [kNm]
3	134	39	-0,4	-3,61	30,16	0	0,01	1,46
1	132	173	-38,17	0,08	195,25	0	-246,97	-0,07
3	134	186	-21,72	0,43	87,21	0	-99,05	-0,17
4	135	7	-15,45	-5,52	199,42	0	-130,88	2,17
4	135	61	-14,77	-4,95	220,47	0	-112,71	1,95
3	134	23	-23	-4,58	15,07	0	-124,42	1,85
4	135	56	-1,29	-3,94	85,57	0	11,06	1,53
1	132	79	-37,2	0,08	157,85	0	-250,32	-0,07



Rozměry hlavice

$L_h = 1,80$ m
 $B_h = 0,70$ m
 $v_h = 0,80$ m
 $u_k = 0,80$ m

objemová hmotnost 25,00 kN/m³

Rozměry pasu (soklu)

délka $L_{zp} = 5,00$ m
výška $h_{zp} = 0,80$ m
šířka $b_{zp} = 0,38$ m

objemová hmotnost 25,00 kN/m³

zdivo na soklu

výška $h_{zdi} = 10,00$ m

tloušťka $t_{zdi} = 0,38$

podlaha a zemina nad hlavicí

tloušťka podlahy $t_p = 0,50$ m

násyp $t_{násypu} = 0,30$ m

excentricita uložení základových pasů

$e_{zpx} = 0,750$ m

hmotnost hlavice piloty

$G_{h,k} = 25,20$ kN

$\gamma_f = 1,35$

hmotnost základových pasů

$G_{p,k} = 38$ kN

$\gamma_f = 1,35$

hmotnost pláště (zdiva) na pase

$G_{pl,k} = 159,98$ kN

$\gamma_f = 1,35$

hmotnost podlahy a zeminy

$G_{pz,k} = 23,688$ kN

$\gamma_f = 1,35$

objemová hmotnost zdiva 8,42 kN/m³

plošná hmotnost pláště 3,20 kN/m²

vzdálenost pilot $a = 1,07$ m

objemová hmotnost 25,00 kN/m³

objemová hmotnost 21,00 kN/m³



STATICKÝ VÝPOČET

BETONOVÉ KONSTRUKCE
DOKUMENTACE PRO PROVEDENÍ STAVBY

AKCE:
**ROZŠÍŘENÍ INFRASTRUKTURY
CENTRA INTEMAC**

ARCH. Č.: 1917-02

Strana: 12

ÚČINKY NA HLAVICI

Návrhové kombinace	pro zatížení od hlavice a pasu se součinitelem $\gamma_f = 1,35$							
	46	256	282	26	136	39	131	97
N_d [kN]	22,76	307,74	147,79	317,42	347,36	0,18	124,62	242,79
T_{dx} [kN]	0,28	59,48	32,95	25,65	24,50	34,77	1,80	57,51
T_{dy} [kN]	6,12	-0,14	-0,86	8,95	8,04	7,55	6,52	-0,21
M_{dx} [kNm]	0,00	0,00	0,00	0,00	0,00	0,00	0,00	0,00
M_{dy} [kNm]	1,26	392,39	160,14	220,38	191,85	193,87	-17,23	398,50

Charakteristické hodnoty vnitřních sil pro kombinace

Kombinace	39	173	186	7	61	23	56	79
N_n [kN]	30,16	195,25	87,21	199,42	220,47	15,07	85,57	157,85
T_{nx} [kN]	0,40	38,17	21,72	15,45	14,77	23,00	1,29	37,20
T_{ny} [kN]	3,61	-0,08	-0,43	5,52	4,95	4,58	3,94	-0,08
M_{nx} [kNm]	0,00	0,00	0,00	0,00	0,00	0,00	0,00	0,00
M_{ny} [kNm]	-0,01	246,97	99,05	130,88	112,71	124,42	-11,06	250,32

Zatížení hlav pilot - návrhové hodnoty

Kombinace	46	256	282	26	136	39	131	97
ΣG (hl.+ zem.+podl)	66,00	66,00	66,00	66,00	66,00	66,00	66,00	66,00
přítížení- pasy a oplašti	267,27	267,27	267,27	267,27	267,27	267,27	267,27	267,27
N_z [kN]	22,76	307,74	147,79	317,42	347,36	0,18	124,62	242,79
H_x [kN]	0,28	59,48	32,95	25,65	24,50	34,77	1,80	57,51
H_y [kN]	6,12	-0,14	-0,86	8,95	8,04	7,55	6,52	-0,21
M_y [kNm]	1,26	392,39	160,14	220,38	191,85	193,87	-17,23	398,50

pilota P1 (pravá)

svíslá síla N_d [kN]	366,74	919,04	602,17	737,83	725,27	561,25	401,53	890,80
vod. síla T_{xd} [kN]	0,14	29,74	16,48	12,83	12,25	17,39	0,90	28,76
vod. síla T_{yd} [kN]	3,06	-0,07	-0,43	4,48	4,02	3,78	3,26	-0,11
momet M_{xd} [kN]	2,45	-0,06	-0,34	3,58	3,22	3,02	2,61	-0,08

pilota P2 (levá)

svíslá síla N_d [kN]	-10,71	-278,03	-121,11	-87,14	-44,64	-227,80	56,36	-314,74
vod. síla T_{xd} [kN]	0,14	29,74	16,48	12,83	12,25	17,39	0,90	28,76
vod. síla T_{yd} [kN]	3,06	-0,07	-0,43	4,48	4,02	3,78	3,26	-0,11
momet M_{xd} [kN]	2,45	-0,06	-0,34	3,58	3,22	3,02	2,61	-0,08

Zatížení hlav pilot - charakteristické hodnoty

Kombinace	39	173	186	7	61	23	56	79
ΣG (hl.+ zem.+podl)	48,89	48,89	48,89	48,89	48,89	48,89	48,89	48,89
přítížení- pasy a oplašti	197,98	197,98	197,98	197,98	197,98	197,98	197,98	197,98
N_z [kN]	30,16	195,25	87,21	199,42	220,47	15,07	85,57	157,85
H_x [kN]	0,40	38,17	21,72	15,45	14,77	23,00	1,29	37,20
H_y [kN]	3,61	-0,08	-0,43	5,52	4,95	4,58	3,94	-0,08
M_y [kNm]	-0,01	246,97	99,05	130,88	112,71	124,42	-11,06	250,32

pilota P1 (pravá)

svíslá síla N_d [kN]	277,57	619,18	414,62	495,78	488,82	403,22	295,62	602,89
vod. síla T_{xd} [kN]	0,20	19,09	10,86	7,73	7,39	11,50	0,65	18,60
vod. síla T_{yd} [kN]	1,81	-0,04	-0,22	2,76	2,48	2,29	1,97	-0,04
momet M_{xd} [kN]	1,44	-0,03	-0,17	2,21	1,98	1,83	1,58	-0,03

pilota P2 (levá)

svíslá síla N_d [kN]	-0,55	-177,06	-80,54	-49,50	-21,48	-141,28	36,82	-198,17
vod. síla T_{xd} [kN]	0,20	19,09	10,86	7,73	7,39	11,50	0,65	18,60
vod. síla T_{yd} [kN]	1,81	-0,04	-0,22	2,76	2,48	2,29	1,97	-0,04
momet M_{xd} [kN]	1,44	-0,03	-0,17	2,21	1,98	1,83	1,58	-0,03



Reakce v uzlu(ech) 136/139, nel. k. (vše), globální extrémy. - ř.B1

Skupina uzlů :136/139

Skupina nelineárních kombinací :1/283 (výpočtová)

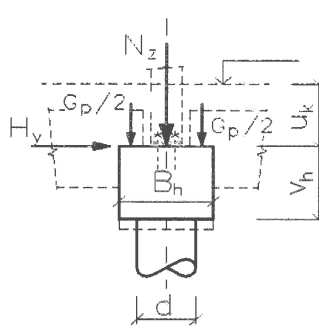
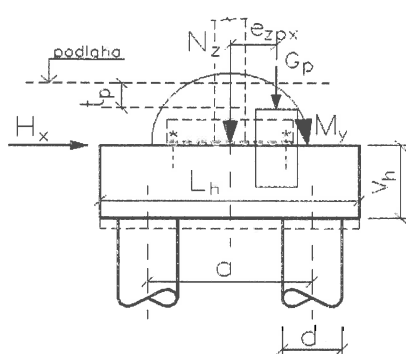
podpora	uzel	nel. k.	Rx [kN]	Ry [kN]	Rz [kN]	Mx [kNm]	My [kNm]	Mz [kNm]
7	138	59	4,33	0,03	176,98	0	-26,07	0,07
5	136	102	-38,84	0,05	257,64	0	-244,55	0
7	138	21	2,3	6,02	115,63	0	-19,99	2,38
7	138	242	-31,24	-12,89	355,39	0	-199,49	-4,7
7	138	283	-23,79	-0,98	482,11	0	-133,36	0,52
8	139	7	-0,09	5,63	23,04	0	-3,26	2,16
5	136	57	1,17	0,08	39,87	0	-0,58	0,08
5	136	263	-37,77	0,05	340,1	0	-262,51	0,01

Reakce v uzlu(ech) 136/139, kombi použ. (vše), globální extrémy. - ř.B1

Skupina uzlů :136/139

Skupina kombinací na spolehlivost :1/194

podpora	uzel	kombi	Rx [kN]	Ry [kN]	Rz [kN]	Mx [kNm]	My [kNm]	Mz [kNm]
7	138	73	3,61	3,61	132,34	0	-17,02	1,43
5	136	91	-24,33	0,02	172,34	0	-158,83	0
7	138	14	2,08	4,03	84,9	0	-12,21	1,59
7	138	183	-15,39	-8,02	251,15	0	-108,53	-2,9
7	138	192	-11,9	-4,34	264,55	0	-74,39	-1,52
8	139	14	0,07	3,7	27,92	0	-3,71	1,42
5	136	179	-23,78	0,02	217,43	0	-169,67	0
8	139	183	-4,87	-8,02	89,36	0	-72,72	-3,08



Rozměry hlavice

$L_h =$	1,80	m
$B_h =$	0,70	m
$v_h =$	0,80	m
$u_k =$	0,80	m

objemová hmotnost 25,00 kN/m³

Rozměry pasu (soklu)

délka	$L_{zp} =$	0,00	m
výška	$h_{zp} =$	0,00	m
šířka	$b_{zp} =$	0,00	m

objemová hmotnost 25,00 kN/m³

zdivo na soklu

výška	$h_{zdi} =$	10,00	m
tloušťka	$t_{zdi} =$	0,38	

objemová hmotnost zdiva 8,00 kN/m³

plošná hmotnost pláště 3,04 kN/m²

podlaha a zemina nad hlavicí

vzdálenost pilot $a = 1,07$ m

tloušťka podlahy $t_p = 0,50$ m

objemová hmotnost 25,00 kN/m³

násyp $t_{násypu} = 0,30$ m

objemová hmotnost 21,00 kN/m³

excentricita uložení základových pasů

$e_{zpx} = 0,750$ m

hmotnost hlavice piloty $G_{h,k} = 25,20$ kN

$\gamma_f = 1,35$

hmotnost základových pasů $G_{p,k} = 0$ kN

$\gamma_f = 1,35$

hmotnost pláště (zdiva) na pase $G_{pl,k} = 0,00$ kN

$\gamma_f = 1,35$

hmotnost podlahy a zeminy $G_{pz,k} = 23,688$ kN

$\gamma_f = 1,35$



STATICKÝ VÝPOČET

BETONOVÉ KONSTRUKCE
DOKUMENTACE PRO PROVEDENÍ STAVBY

AKCE:
ROZŠÍŘENÍ INFRASTRUKTURY
CENTRA INTEMAC

ARCH. Č.: 1917-02

Strana: 14

ÚČINKY NA HLAVICI

Návrhové kombinace	pro zatížení od hlavice a pasu se součinitelem $\gamma_f = 1,35$							
	59	102	21	242	283	7	57	263
N_d [kN]	176,98	257,64	115,63	355,39	482,11	23,04	39,87	340,10
T_{dx} [kN]	-4,33	38,84	-2,30	31,24	23,79	0,09	-1,17	37,77
T_{dy} [kN]	-0,03	-0,05	-6,02	12,89	0,98	-5,63	-0,08	-0,05
M_{dx} [kNm]	0,00	0,00	0,00	0,00	0,00	0,00	0,00	0,00
M_{dy} [kNm]	26,07	244,55	19,99	199,49	133,36	3,26	0,58	262,51

Charakteristické hodnoty vnitřních sil pro kombinace

Kombinace	73	91	14	183	192	14	179	183
N_n [kN]	132,34	172,34	84,90	251,15	264,55	27,92	217,43	89,36
T_{nx} [kN]	-3,61	24,33	-2,08	15,39	11,90	-0,07	23,78	4,87
T_{ny} [kN]	-3,61	-0,02	-4,03	8,02	4,34	-3,70	-0,02	8,02
M_{nx} [kNm]	0,00	0,00	0,00	0,00	0,00	0,00	0,00	0,00
M_{ny} [kNm]	17,02	158,83	12,21	108,53	74,39	3,71	169,67	72,72

Zatížení hlav pilot - návrhové hodnoty

Kombinace	59	102	21	242	283	7	57	263
ΣG (hl.+ zem.+podl)	66,00	66,00	66,00	66,00	66,00	66,00	66,00	66,00
přítížení- pasy a oplašti	0,00	0,00	0,00	0,00	0,00	0,00	0,00	0,00
N_z [kN]	176,98	257,64	115,63	355,39	482,11	23,04	39,87	340,10
H_x [kN]	-4,33	38,84	-2,30	31,24	23,79	0,09	-1,17	37,77
H_y [kN]	-0,03	-0,05	-6,02	12,89	0,98	-5,63	-0,08	-0,05
M_y [kNm]	26,07	244,55	19,99	199,49	133,36	3,26	0,58	262,51

pilota P1 (pravá)

svislá síla N_d [kN]	142,62	419,41	107,78	420,49	416,48	47,63	52,60	476,63
vod. síla T_{xd} [kN]	-2,17	19,42	-1,15	15,62	11,90	0,05	-0,59	18,89
vod. síla T_{yd} [kN]	-0,02	-0,03	-3,01	6,45	0,49	-2,82	-0,04	-0,03
momet M_{xd} [kN]	-0,01	-0,02	-2,41	5,16	0,39	-2,25	-0,03	-0,02

pilota P2 (levá)

svislá síla N_d [kN]	100,36	-95,77	73,85	0,90	131,63	41,41	53,27	-70,53
vod. síla T_{xd} [kN]	-2,17	19,42	-1,15	15,62	11,90	0,05	-0,59	18,89
vod. síla T_{yd} [kN]	-0,02	-0,03	-3,01	6,45	0,49	-2,82	-0,04	-0,03
momet M_{xd} [kN]	-0,01	-0,02	-2,41	5,16	0,39	-2,25	-0,03	-0,02

Zatížení hlav pilot - charakteristické hodnoty

Kombinace	73	91	14	183	192	14	179	183
ΣG (hl.+ zem.+podl)	48,89	48,89	48,89	48,89	48,89	48,89	48,89	48,89
přítížení- pasy a oplašti	0,00	0,00	0,00	0,00	0,00	0,00	0,00	0,00
N_z [kN]	132,34	172,34	84,90	251,15	264,55	27,92	217,43	89,36
H_x [kN]	-3,61	24,33	-2,08	15,39	11,90	-0,07	23,78	4,87
H_y [kN]	-3,61	-0,02	-4,03	8,02	4,34	-3,70	-0,02	8,02
M_y [kNm]	17,02	158,83	12,21	108,53	74,39	3,71	169,67	72,72

pilota P1 (pravá)

svislá síla N_d [kN]	103,82	277,24	76,75	262,96	235,14	41,82	309,51	140,73
vod. síla T_{xd} [kN]	-1,81	12,17	-1,04	7,70	5,95	-0,04	11,89	2,44
vod. síla T_{yd} [kN]	-1,81	-0,01	-2,02	4,01	2,17	-1,85	-0,01	4,01
momet M_{xd} [kN]	-1,44	-0,01	-1,61	3,21	1,74	-1,48	-0,01	3,21

pilota P2 (levá)

svislá síla N_d [kN]	77,41	-56,02	57,04	37,08	78,30	34,99	-43,19	-2,48
vod. síla T_{xd} [kN]	-1,81	12,17	-1,04	7,70	5,95	-0,04	11,89	2,44
vod. síla T_{yd} [kN]	-1,81	-0,01	-2,02	4,01	2,17	-1,85	-0,01	4,01
momet M_{xd} [kN]	-1,44	-0,01	-1,61	3,21	1,74	-1,48	-0,01	3,21



Pro maximální svislé zatížení piloty vzdálenější od základového pasu

ÚČINKY NA HLAVICI KOMBINACE v řadě A1 s opačnou orientací momentu M_y a T_x (H_x)

výpočtové kombinace	pro zatížení od hlavice a pasu se součinitelem $\gamma_f = 1,35$							
	46	256	282	26	136	39	131	97
N_d [kN]	22,76	307,74	147,79	317,42	347,36	0,18	124,62	242,79
T_{dx} [kN]	-0,28	-59,48	-32,95	-25,65	-24,50	-34,77	-1,80	-57,51
T_{dy} [kN]	6,12	-0,14	-0,86	8,95	8,04	7,55	6,52	-0,21
M_{dx} [kNm]	0,00	0,00	0,00	0,00	0,00	0,00	0,00	0,00
M_{dy} [kNm]	-1,26	-392,39	-160,14	-220,38	-191,85	-193,87	17,23	-398,50

Normové hodnoty vnitřních sil pro kombinace

Kombinace	39	173	186	7	61	23	56	79
N_n [kN]	30,16	195,25	87,21	199,42	220,47	15,07	85,57	157,85
T_{nx} [kN]	-0,40	-38,17	-21,72	-15,45	-14,77	-23,00	-1,29	-37,20
T_{ny} [kN]	3,61	-0,08	-0,43	5,52	4,95	4,58	3,94	-0,08
M_{nx} [kNm]	0,00	0,00	0,00	0,00	0,00	0,00	0,00	0,00
M_{ny} [kNm]	0,01	-246,97	-99,05	-130,88	-112,71	-124,42	11,06	-250,32

Zatížení hlav pilot - výpočtové

Kombinace	46	256	282	26	136	39	131	97
ΣG (hl.+ zem.+podl)	66,00	66,00	66,00	66,00	66,00	66,00	66,00	66,00
přítížení- pasy a oplašti	267,27	267,27	267,27	267,27	267,27	267,27	267,27	267,27
N_z [kN]	22,76	307,74	147,79	317,42	347,36	0,18	124,62	242,79
H_x [kN]	-0,28	-59,48	-32,95	-25,65	-24,50	-34,77	-1,80	-57,51
H_y [kN]	6,12	-0,14	-0,86	8,95	8,04	7,55	6,52	-0,21
M_y [kNm]	-1,26	-392,39	-160,14	-220,38	-191,85	-193,87	17,23	-398,50

pilota P1 (pravá)

svislá síla N_d [kN]	363,97	96,66	253,57	287,55	330,04	146,88	431,04	59,94
vod. síla T_{xd} [kN]	-0,14	-29,74	-16,48	-12,83	-12,25	-17,39	-0,90	-28,76
vod. síla T_{yd} [kN]	3,06	-0,07	-0,43	4,48	4,02	3,78	3,26	-0,11
momet M_{xd} [kN]	2,45	-0,06	-0,34	3,58	3,22	3,02	2,61	-0,08

pilota P2 (levá)

svislá síla N_d [kN]	-7,94	544,36	227,49	363,15	350,59	186,57	26,85	516,12
vod. síla T_{xd} [kN]	-0,14	-29,74	-16,48	-12,83	-12,25	-17,39	-0,90	-28,76
vod. síla T_{yd} [kN]	3,06	-0,07	-0,43	4,48	4,02	3,78	3,26	-0,11
momet M_{xd} [kN]	2,45	-0,06	-0,34	3,58	3,22	3,02	2,61	-0,08

Zatížení hlav pilot - normové

Kombinace	39	173	186	7	61	23	56	79
ΣG (hl.+ zem.+podl)	48,89	48,89	48,89	48,89	48,89	48,89	48,89	48,89
přítížení- pasy a oplašti	197,98	197,98	197,98	197,98	197,98	197,98	197,98	197,98
N_z [kN]	30,16	195,25	87,21	199,42	220,47	15,07	85,57	157,85
H_x [kN]	-0,40	-38,17	-21,72	-15,45	-14,77	-23,00	-1,29	-37,20
H_y [kN]	3,61	-0,08	-0,43	5,52	4,95	4,58	3,94	-0,08
M_y [kNm]	0,01	-246,97	-99,05	-130,88	-112,71	-124,42	11,06	-250,32

pilota P1 (pravá)

svislá síla N_d [kN]	277,00	100,48	197,00	228,05	256,06	136,26	314,36	79,37
vod. síla T_{xd} [kN]	-0,20	-19,09	-10,86	-7,73	-7,39	-11,50	-0,65	-18,60
vod. síla T_{yd} [kN]	1,81	-0,04	-0,22	2,76	2,48	2,29	1,97	-0,04
momet M_{xd} [kN]	1,44	-0,03	-0,17	2,21	1,98	1,83	1,58	-0,03

pilota P2 (levá)

svislá síla N_d [kN]	0,03	341,64	137,08	218,24	211,28	125,67	18,08	325,34
vod. síla T_{xd} [kN]	-0,20	-19,09	-10,86	-7,73	-7,39	-11,50	-0,65	-18,60
vod. síla T_{yd} [kN]	1,81	-0,04	-0,22	2,76	2,48	2,29	1,97	-0,04
momet M_{xd} [kN]	1,44	-0,03	-0,17	2,21	1,98	1,83	1,58	-0,03



Zatížení piloty pod sloupem krčku (přítížení pilot haly v řadě B1)

Reakce v podporách - hodnoty v uzlech. Globální extrém (JA120x5)

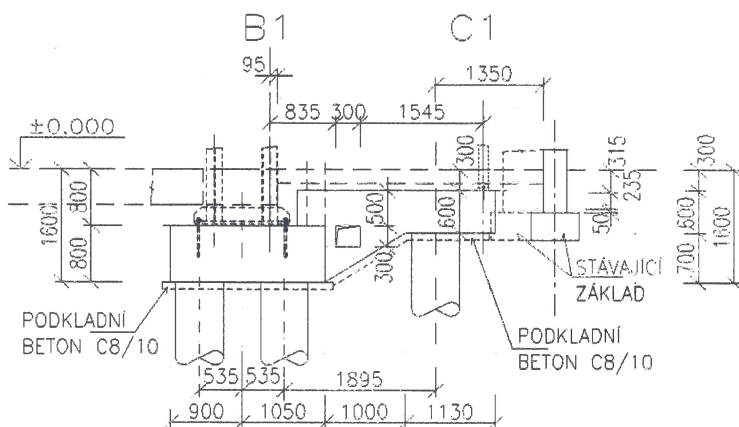
Nelineární výpočet, lokální nelinearity

Skupina uzlů : 144,147/149,221

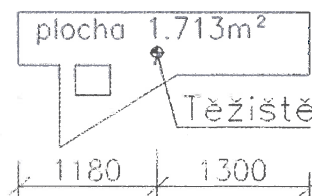
Skupina nelineárních kombinací : 1/283 (výpočtová)

podpora	uzel	nel. k.	Rx [kN]	Ry [kN]	Rz [kN]	Mx [kNm]	My [kNm]	Mz [kNm]
9	144	12	1.88	-0.03	17.47	0.00	-0.00	-0.06
13	221	267	-12.59	-0.65	5.69	-0.00	-0.00	-0.00
9	144	21	-0.25	0.51	32.55	0.00	-0.00	-0.04
10	147	20	-0.50	-0.94	109.39	0.00	-0.00	-0.02
10	147	267	-0.68	-0.88	130.03	0.00	-0.00	0.02
13	221	42	-10.10	-0.08	-11.96	0.00	0.00	0.00
11	148	165	0.00	-0.43	59.22	-0.00	0.00	0.29
9	144	192	-0.50	-0.41	63.64	-0.00	-0.00	-0.23

Tahová síla 11,96 je vzhledem k vlastní hmotnosti základu a piloty bezvýznamná



pas pod krček

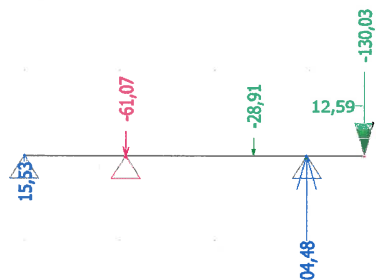
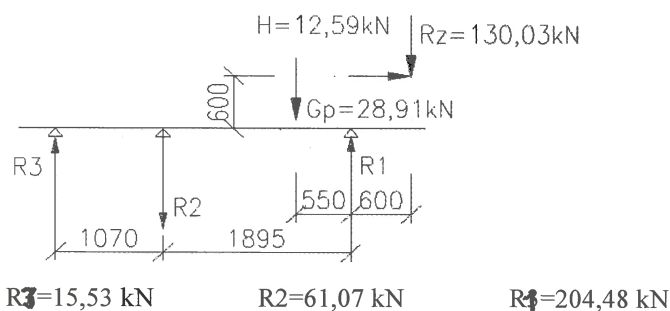


hmotnost

$$G_{p,k} = 1,713 \cdot 0,5 \cdot 25 = 21,41 \text{ kN}$$

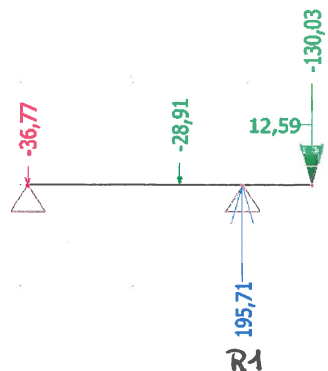
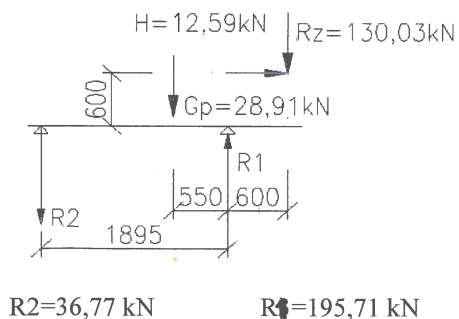
$$G_{p,d} = G_{p,k} \cdot 1,35 = 28,91 \text{ kN}$$

Zjednodušené statické schémata : Alternativa 1



R1 - síla do piloty u sloupu krčku

Alternativa 2



R3 a R2 ... přídavné síly (tlaky a tahy) do pilot pod sloupem haly v řadě B1



STATICKÝ VÝPOČET

BETONOVÉ KONSTRUKCE
DOKUMENTACE PRO PROVEDENÍ STAVBY

AKCE:

ROZŠÍŘENÍ INFRASTRUKTURY
CENTRA INTEMAC

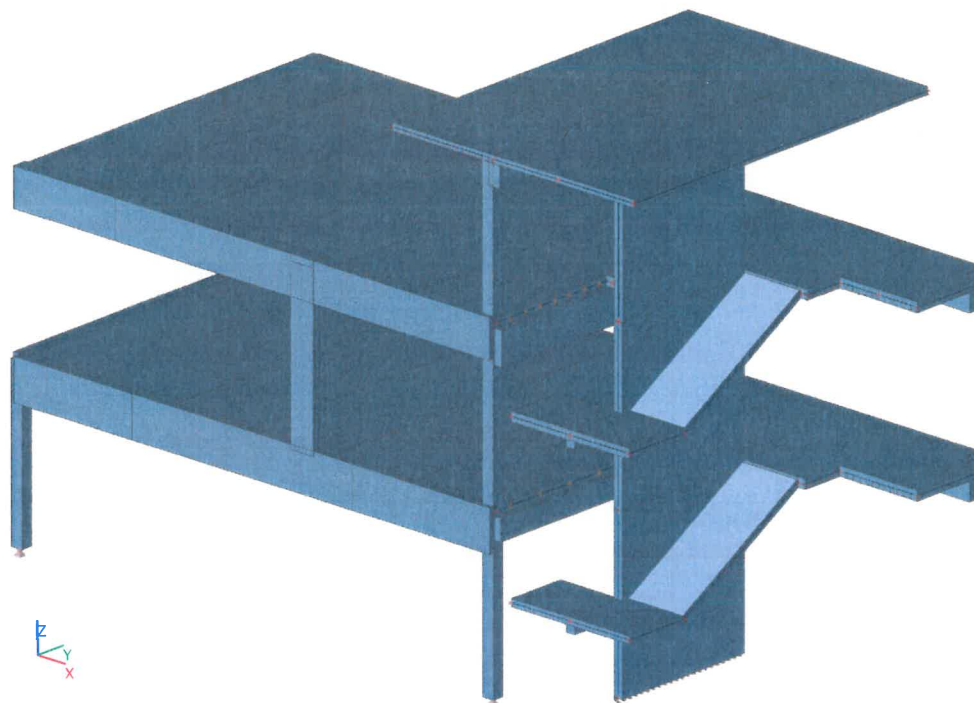
ARCH.Č.: 1917-02

List : 17

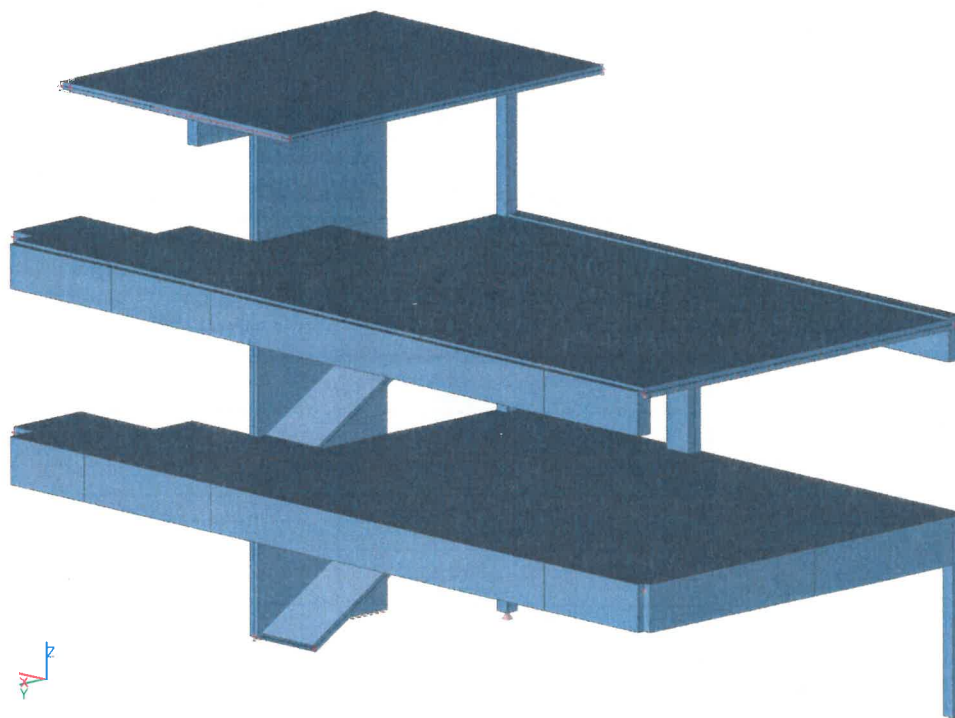
5. STROPY, STŘECHA A SCHODIŠTĚ ADMINISTRATIVNÍHO PŘÍSTAVKU

5.1. Vstupní údaje

5.1.1. Výpočtový model - pohled z východní strany



5.1.2. Výpočtový model- pohled ze západní strany



5.1.3. Vlastnosti a geometrie výpočtového modelu

5.1.3.1. Materiály

Jméno	Typ	ρ [kg/m ³]	Hustota v čerstvém stavu [kg/m ³]	E_{mod} [MPa]	μ	α [m/mK]	$f_{c,k,28}$ [MPa]	Barva
C25/30	Beton	2500,0	2600,0	3,1500e+04	0.2	0,00	25,00	■



STATICKÝ VÝPOČET

BETONOVÉ KONSTRUKCE
DOKUMENTACE PRO PROVEDENÍ STAVBY

AKCE:

ROZŠÍŘENÍ INFRASTRUKTURY
CENTRA INTEMAC

ARCH.Č.: 1917-02

List : 18

Vysvětlivky symbolů

Hustota v čerstvém stavu	Hodnota hustoty v čerstvém stavu se použije pouze v případě, že je zadána sprážená deska a její vlastní tíha se zohledňuje.
--------------------------	---

Výztuž EC2

Jméno	Typ	ρ [kg/m ³]	E_{mod} [MPa]	G_{mod} [MPa]	α [m/mK]	$f_{y,k}$ [MPa]
B 500B	Výztužná ocel	7850,0	2,0000e+05	8,3333e+04	0,00	500,0

5.1.3.2. Průřezy

Jméno	Typ Detailní	Materiál	Výroba	A [m ²]	A _y	I _y	W _{el,y}	W _{ply}	Barva
					A _z [m ²]	I _z [m ⁴]	W _{el,z} [m ³]	W _{pl,z} [m ³]	
CS1	Obdélník 450; 250	C25/30	beton	1,1250e-01	9,3750e-02	1,8984e-03	8,4375e-03	0,0000e+00	
CS2	Obdélník 250; 250	C25/30	beton	6,2500e-02	5,2083e-02	3,2552e-04	2,6042e-03	0,0000e+00	
CS3	Obdélník 705; 300	C25/30	beton	2,1150e-01	1,7625e-01	8,7601e-03	2,4851e-02	0,0000e+00	
CS4	Obdélník 870; 300	C25/30	beton	2,6100e-01	2,1750e-01	1,6463e-02	3,7845e-02	0,0000e+00	
CS6	Obdélník 805; 300	C25/30	beton	2,4150e-01	2,0125e-01	1,3042e-02	3,2401e-02	0,0000e+00	
CS7	Obdélník 150; 200	C25/30	beton	3,0000e-02	2,5000e-02	5,6250e-05	7,5000e-04	0,0000e+00	

5.1.3.3. Uzly

Jméno	Souř. X [m]	Souř. Y [m]	Souř. Z [m]
N1	12,880	4,700	0,000
N2	12,880	1,500	0,000
N3	12,880	1,500	3,540
N4	12,880	4,700	3,540
N5	12,880	1,500	7,080
N6	12,880	4,700	7,080
N7	12,880	4,583	0,000
N8	11,480	4,583	0,000
N9	11,480	1,514	1,790
N10	12,880	1,514	1,790
N11	12,880	1,686	1,790
N12	14,280	1,686	1,790
N13	14,280	4,686	3,540
N14	12,880	4,686	3,540
N15	12,880	4,514	3,540
N16	11,480	4,514	3,540
N17	11,480	1,514	5,290
N18	12,880	1,514	5,290
N19	12,880	1,686	5,290
N20	14,280	1,686	5,290
N21	14,280	4,754	7,080
N22	12,880	4,754	7,080
N23	11,480	0,250	5,290
N24	14,280	0,250	5,290
N25	11,480	0,250	1,790
N26	14,280	0,250	1,790
N27	11,335	0,000	7,080
N28	11,205	0,000	7,080
N29	11,080	0,000	7,080
N30	9,415	0,000	7,080
N31	7,515	0,000	7,080
N32	7,320	0,000	7,080
N33	6,380	0,000	7,080
N34	5,615	0,000	7,080

Jméno	Souř. X [m]	Souř. Y [m]	Souř. Z [m]
N35	3,715	0,000	7,080
N36	2,620	0,000	7,080
N37	1,815	0,000	7,080
N38	0,000	0,000	7,080
N39	0,000	7,680	7,080
N40	1,815	7,680	7,080
N41	2,560	7,680	7,080
N42	3,715	7,680	7,080
N43	5,615	7,680	7,080
N44	7,515	7,680	7,080
N45	9,415	7,680	7,080
N46	10,560	7,680	7,080
N47	11,335	7,680	7,080
N48	11,335	0,000	3,540
N49	11,205	0,000	3,540
N50	11,080	0,000	3,540
N51	9,415	0,000	3,540
N52	8,260	0,000	3,540
N53	7,515	0,000	3,540
N54	7,320	0,000	3,540
N55	6,380	0,000	3,540
N56	5,615	0,000	3,540
N57	3,715	0,000	3,540
N58	2,620	0,000	3,540
N59	1,815	0,000	3,540
N60	0,000	0,000	3,540
N61	0,000	3,420	3,540
N62	0,000	7,680	3,540
N63	1,815	7,680	3,540
N64	2,560	7,680	3,540
N65	3,715	7,680	3,540
N66	5,615	7,680	3,540
N67	7,515	7,680	3,540
N68	9,415	7,680	3,540

Jméno	Souř. X [m]	Souř. Y [m]	Souř. Z [m]
N69	10,560	7,680	3,540
N70	11,335	7,680	3,540
N71	12,880	2,894	7,080
N72	11,480	2,894	7,080
N73	11,335	2,894	7,080
N74	13,460	7,680	7,080
N75	14,280	7,680	7,080
N76	15,803	7,680	7,080
N77	15,803	7,253	7,080
N78	16,303	7,253	7,080
N79	16,303	5,603	7,080
N80	15,367	5,603	7,080
N81	14,430	5,603	7,080
N82	14,430	4,754	7,080
N83	11,335	4,514	3,540
N84	11,480	7,680	3,540
N85	12,880	7,680	3,540
N86	13,460	7,680	3,540
N87	14,142	7,680	3,540
N88	14,280	7,680	3,540
N89	15,803	7,680	3,540
N90	15,803	7,253	3,540
N91	16,303	7,253	3,540
N92	16,303	5,603	3,540
N93	14,430	5,603	3,540
N94	14,430	4,686	3,540
N95	11,205	0,075	0,000
N96	11,205	0,075	3,540
N97	11,205	0,075	7,080
N98	0,000	0,000	0,000
N99	2,820	0,000	3,540
N100	8,060	0,000	3,540
N103	0,000	3,620	3,540
N104	2,360	7,680	3,540



STATICKÝ VÝPOČET

BETONOVÉ KONSTRUKCE
DOKUMENTACE PRO PROVEDENÍ STAVBY

AKCE:
**ROZŠÍŘENÍ INFRASTRUKTURY
CENTRA INTEMAC**

ARCH.Č.: 1917-02

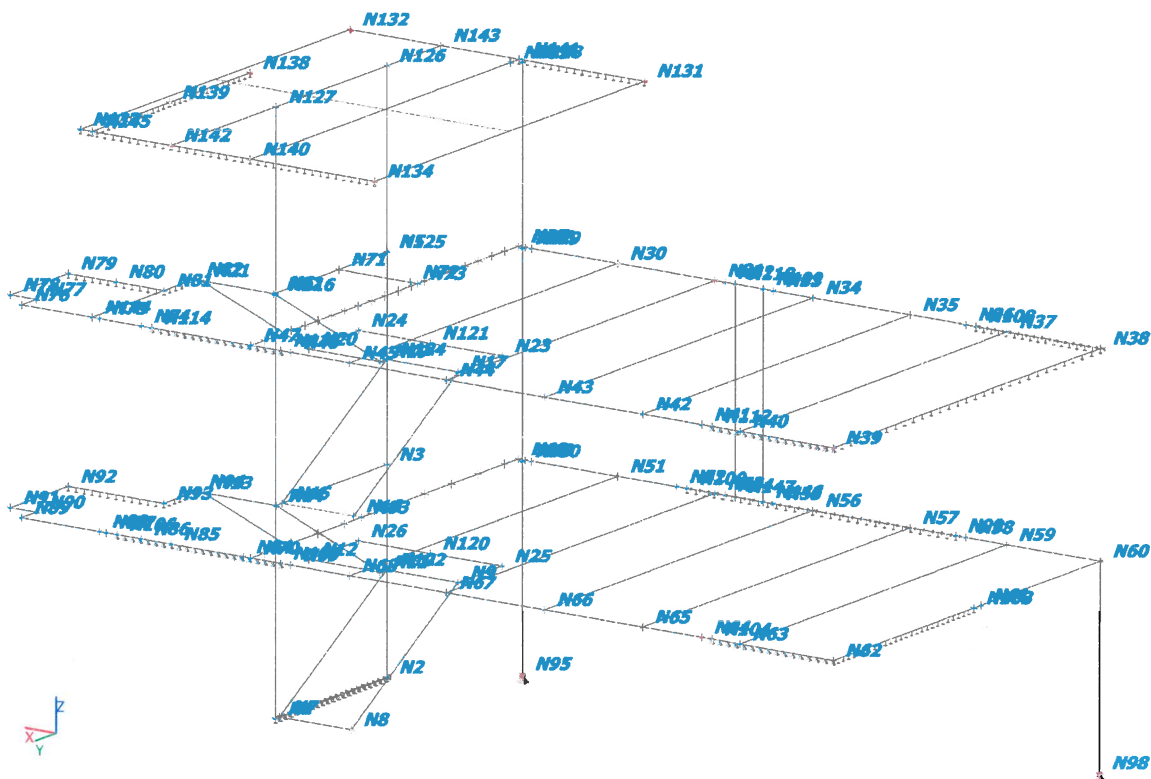
List : 19

Jméno	Souř. X [m]	Souř. Y [m]	Souř. Z [m]
N105	10,760	7,680	3,540
N106	13,942	7,680	3,540
N108	2,420	0,000	7,080
N109	6,580	0,000	7,080
N110	7,120	0,000	7,080
N112	2,360	7,680	7,080
N113	10,760	7,680	7,080
N114	13,260	7,680	7,080
N116	12,880	4,700	7,048
N120	12,880	0,250	1,790
N121	12,880	0,250	5,290

Jméno	Souř. X [m]	Souř. Y [m]	Souř. Z [m]
N122	12,880	1,500	1,790
N124	12,880	1,500	5,290
N125	12,880	1,514	7,080
N126	12,880	1,514	10,170
N127	12,880	4,700	10,170
N128	11,205	0,075	10,170
N131	8,930	-0,050	10,170
N132	14,660	-0,050	10,170
N133	14,660	7,680	10,170
N134	8,930	7,680	10,170
N135	11,355	0,200	10,170

Jméno	Souř. X [m]	Souř. Y [m]	Souř. Z [m]
N138	14,430	3,150	10,170
N139	14,430	5,453	10,170
N140	11,355	7,680	10,170
N141	11,355	-0,050	10,170
N142	12,880	7,680	10,170
N143	12,880	-0,050	10,170
N144	14,430	7,680	7,080
N145	14,430	7,680	10,170
N146	6,580	0,000	3,540
N147	7,120	0,000	3,540

5.1.3.4. Výpočtový model-číslování uzlů



5.1.3.5. Prvky

Jméno	Průřez	Materiál	Délka [m]	Poč. uzel	Konc. uzel	Typ
B1	CS1 - Obdélník (450; 250)	C25/30	7,680	N30	N45	žebro desky (92)
B2	CS1 - Obdélník (450; 250)	C25/30	7,680	N31	N44	žebro desky (92)
B3	CS1 - Obdélník (450; 250)	C25/30	7,680	N34	N43	žebro desky (92)
B4	CS1 - Obdélník (450; 250)	C25/30	7,680	N35	N42	žebro desky (92)
B5	CS1 - Obdélník (450; 250)	C25/30	7,680	N37	N40	žebro desky (92)
B6	CS3 - Obdélník (705; 300)	C25/30	7,680	N27	N47	žebro desky (92)
B7	CS1 - Obdélník (450; 250)	C25/30	7,680	N48	N70	žebro desky (92)
B8	CS1 - Obdélník (450; 250)	C25/30	7,680	N59	N63	žebro desky (92)
B9	CS1 - Obdélník (450; 250)	C25/30	7,680	N57	N65	žebro desky (92)
B10	CS1 - Obdélník (450; 250)	C25/30	7,680	N56	N66	žebro desky (92)
B11	CS1 - Obdélník (450; 250)	C25/30	7,680	N53	N67	žebro desky (92)
B12	CS1 - Obdélník (450; 250)	C25/30	7,680	N51	N68	žebro desky (92)
B13	CS2 - Obdélník (250; 250)	C25/30	3,540	N95	N96	sloup (100)
B14	CS2 - Obdélník (250; 250)	C25/30	3,540	N96	N97	sloup (100)
B15	CS2 - Obdélník (250; 250)	C25/30	3,540	N98	N60	sloup (100)
B17	CS4 - Obdélník (870; 300)	C25/30	2,820	N60	N99	nosník (80)
B18	CS4 - Obdélník (870; 300)	C25/30	5,240	N99	N100	nosník (80)
B19	CS4 - Obdélník (870; 300)	C25/30	3,275	N100	N48	nosník (80)
B21	CS4 - Obdélník (870; 300)	C25/30	3,620	N60	N103	nosník (80)



STATICKÝ VÝPOČET

BETONOVÉ KONSTRUKCE
DOKUMENTACE PRO PROVEDENÍ STAVBY

AKCE:

ROZŠÍŘENÍ INFRASTRUKTURY
CENTRA INTEMAC

ARCH.Č.: 1917-02

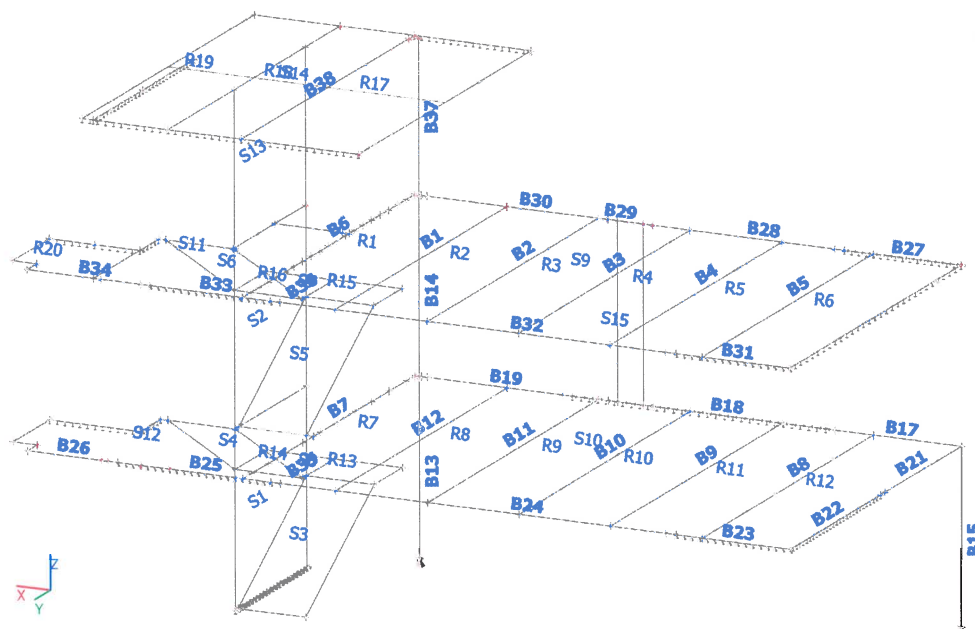
List : 20

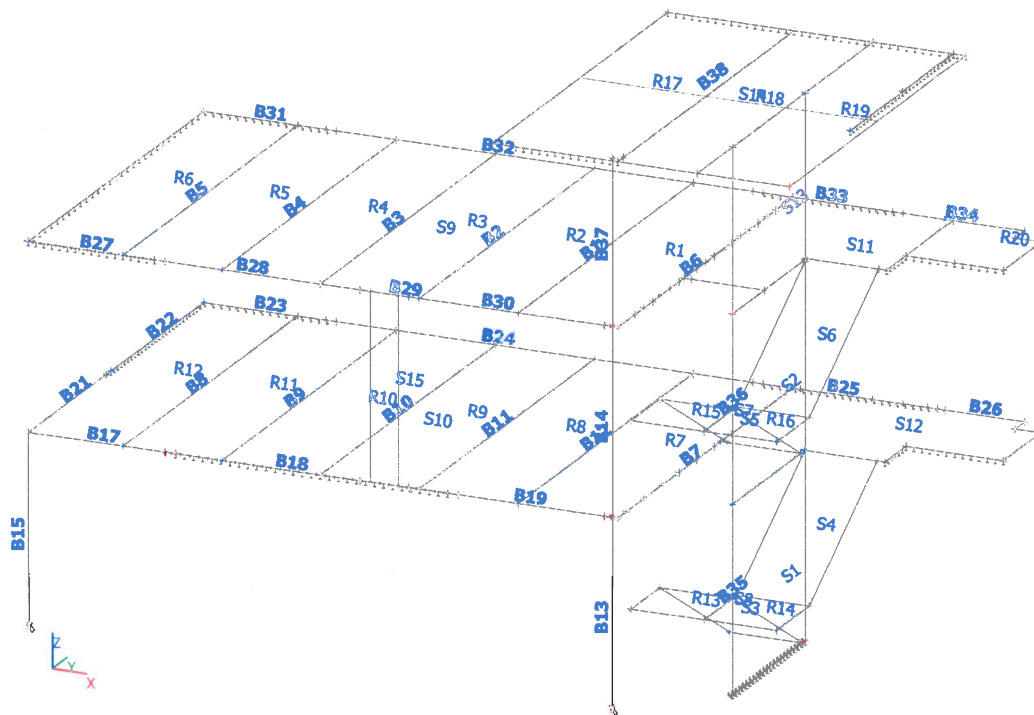
Jméno	Průřez	Materiál	Délka [m]	Poč. uzel	Konc. uzel	Typ
B22	CS4 - Obdélník (870; 300)	C25/30	4,060	N103	N62	nosník (80)
B23	CS4 - Obdélník (870; 300)	C25/30	2,360	N62	N104	nosník (80)
B24	CS4 - Obdélník (870; 300)	C25/30	8,400	N104	N105	nosník (80)
B25	CS4 - Obdélník (870; 300)	C25/30	3,182	N105	N106	nosník (80)
B26	CS4 - Obdélník (870; 300)	C25/30	1,862	N106	N89	nosník (80)
B27	CS6 - Obdélník (805; 300)	C25/30	2,420	N38	N108	nosník (80)
B28	CS6 - Obdélník (805; 300)	C25/30	4,160	N108	N109	nosník (80)
B29	CS6 - Obdélník (805; 300)	C25/30	0,540	N109	N110	nosník (80)
B30	CS6 - Obdélník (805; 300)	C25/30	4,215	N110	N27	nosník (80)
B31	CS6 - Obdélník (805; 300)	C25/30	2,360	N39	N112	nosník (80)
B32	CS6 - Obdélník (805; 300)	C25/30	8,400	N112	N113	nosník (80)
B33	CS6 - Obdélník (805; 300)	C25/30	2,500	N113	N114	nosník (80)
B34	CS6 - Obdélník (805; 300)	C25/30	2,543	N114	N76	nosník (80)
B35	CS7 - Obdélník (150; 200)	C25/30	1,264	N120	N10	žebro desky (92)
B36	CS7 - Obdélník (150; 200)	C25/30	1,264	N121	N18	žebro desky (92)
B37	CS2 - Obdélník (250; 250)	C25/30	3,090	N97	N128	sloup (100)
B38	CS1 - Obdélník (450; 250)	C25/30	7,730	N140	N141	žebro desky (92)

5.1.3.6. Plochy

Jméno	Vrstva	Typ	Výpočtový model	Materiál	Typ tloušťky	Tl. [mm]
S1	Vrstva1	deska (90)	Standard	C25/30	konstantní	200
S2	Vrstva1	deska (90)	Standard	C25/30	konstantní	200
S3	Vrstva1	deska (90)	Standard	C25/30	konstantní	150
S4	Vrstva1	deska (90)	Standard	C25/30	konstantní	150
S5	Vrstva1	deska (90)	Standard	C25/30	konstantní	150
S6	Vrstva1	deska (90)	Standard	C25/30	konstantní	150
S7	Vrstva1	deska (90)	Standard	C25/30	konstantní	150
S8	Vrstva1	deska (90)	Standard	C25/30	konstantní	150
S9	Vrstva1	deska (90)	Standard	C25/30	konstantní	100
S10	Vrstva1	deska (90)	Standard	C25/30	konstantní	100
S11	Vrstva1	deska (90)	Standard	C25/30	konstantní	200
S12	Vrstva1	deska (90)	Standard	C25/30	konstantní	200
S13	Vrstva1	deska (90)	Standard	C25/30	konstantní	200
S14	Vrstva1	deska (90)	Standard	C25/30	konstantní	180
S15	Vrstva1	deska (90)	Standard	C25/30	konstantní	300

5.1.3.7. Výpočtový model-číslování prvků





5.1.3.8. Vnitřní hrany plochy

Jméno	Prut 1	Prut 2	Průsnek	Délka [m]	Tvar	Uzel	Hrana
ES1	S1	S3	Průs1	3,552	Lomená čára	N10 N7	Lomená čára
ES2	S1	S4	Průs2	3,473	Lomená čára	N11 N14	Lomená čára
ES5	S1	S12	Průs5	0,014	Lomená čára	N4 N14	Lomená čára
ES6	S2	S5	Průs6	3,473	Lomená čára	N18 N15	Lomená čára
ES7	S2	S6	Průs7	3,489	Lomená čára	N19 N116	Lomená čára
ES10	S2	S12	Průs10	0,014	Lomená čára	N4 N14	Lomená čára
ES12	S1	S8	Průs62	0,014	Lomená čára	N122 N10	Lomená čára
ES13	S1	S8	Průs63	0,014	Lomená čára	N122 N10	Lomená čára
ES14	S1	S8	Průs64	0,172	Lomená čára	N10 N11	Lomená čára
ES15	S2	S7	Průs65	0,014	Lomená čára	N124 N18	Lomená čára
ES16	S2	S7	Průs66	0,014	Lomená čára	N124 N18	Lomená čára
ES17	S2	S7	Průs67	0,172	Lomená čára	N18 N19	Lomená čára
ES18	S14			7,480	Čára	N135 N140	Přímka
ES20	S14			2,303	Čára	N138 N139	Přímka
ES21	S11			2,077	Čára	N81 N144	Přímka
ES22	S14			2,227	Čára	N139 N145	Přímka

5.1.3.9. Tuhá ramena

Jméno	Řídící	Závislý	Kloub na řídícím uzlu	Kloub na závislém uzlu
RA1	N128	N135	✗	✗
RA2	N128	N141	✗	✗



STATICKÝ VÝPOČET

BETONOVÉ KONSTRUKCE
DOKUMENTACE PRO PROVEDENÍ STAVBY

AKCE:

ROZŠÍŘENÍ INFRASTRUKTURY
CENTRA INTEMAC

ARCH.Č.: 1917-02

List : 22

5.1.3.10. Podpory v uzlech

Jméno	Uzel	Systém	Typ	X	Y	Z	Rx	Ry	Rz
Sn1	N98	GSS	Standard	Tuhý	Tuhý	Tuhý	Volný	Volný	Volný
Sn2	N95	GSS	Standard	Tuhý	Tuhý	Tuhý	Volný	Volný	Volný

5.1.3.11. Liniová podpora na prutech

Jméno	Typ	Dílec Systém	Poz x ₁ Poz x ₂	Souř. Poč	X	Y	Z	Rx	Ry	Rz
S1b1	Přímka	B18 LSS	0.000 1.000	Rela Od počátku	Tuhý	Volný	Tuhý	Volný	Volný	Volný
S1b2	Přímka	B22 LSS	0.000 1.000	Rela Od počátku	Volný	Volný	Tuhý	Volný	Volný	Volný
S1b3	Přímka	B23 LSS	0.000 1.000	Rela Od počátku	Tuhý	Tuhý	Tuhý	Volný	Volný	Volný
S1b4	Přímka	B31 LSS	0.000 1.000	Rela Od počátku	Tuhý	Tuhý	Tuhý	Volný	Volný	Volný
S1b5	Přímka	B27 LSS	0.000 1.000	Rela Od počátku	Tuhý	Volný	Tuhý	Volný	Volný	Volný
S1b7	Přímka	B33 LSS	0.000 1.000	Rela Od počátku	Tuhý	Tuhý	Tuhý	Volný	Volný	Volný
S1b8	Přímka	B25 LSS	0.000 1.000	Rela Od počátku	Tuhý	Tuhý	Tuhý	Volný	Volný	Volný

5.1.3.12. Podpora hrany plochy

Jméno	Plocha Hrana	Poč Souř.	Poz x ₁ Poz x ₂	X	Y	Z	Rx	Ry	Rz
S1e1	3	Od počátku Rela	0.000 1.000	Volný	Volný	Tuhý	Volný	Volný	Volný
S1e2	S1 1	Od počátku Rela	0.000 1.000	Tuhý	Tuhý	Tuhý	Tuhý	Tuhý	Tuhý
S1e3	S12 14	Od počátku Rela	0.000 1.000	Volný	Volný	Tuhý	Volný	Volný	Volný
S1e4	S12 15	Od počátku Rela	0.000 1.000	Volný	Volný	Tuhý	Volný	Volný	Volný
S1e5	S11 11	Od počátku Rela	0.000 1.000	Volný	Volný	Tuhý	Volný	Volný	Volný
S1e6	S11 12	Od počátku Rela	0.000 1.000	Volný	Volný	Tuhý	Volný	Volný	Volný
S1e7	S11 13	Od počátku Rela	0.000 1.000	Volný	Volný	Tuhý	Volný	Volný	Volný
S1e10	1	Od počátku Rela	0.000 1.000	Volný	Volný	Tuhý	Volný	Volný	Volný
S1e11	1	Od počátku Rela	0.000 1.000	Volný	Volný	Tuhý	Volný	Volný	Volný
S1e12	1	Od počátku Rela	0.000 1.000	Volný	Volný	Tuhý	Volný	Volný	Volný
S1e13	1	Od počátku Rela	0.000 1.000	Volný	Volný	Tuhý	Volný	Volný	Volný
S1e14	2	Od počátku Rela	0.000 1.000	Volný	Volný	Tuhý	Volný	Volný	Volný
S1e15	4	Od počátku Rela	0.000 1.000	Volný	Volný	Tuhý	Volný	Volný	Volný

5.1.4. Zatížení výpočtového modelu

5.1.4.1. Skupiny zatížení

Jméno	Zatížení	Vztah	Typ
SZ1	Stálé		
SZ2	Proměnné	Výběrová	Kat A : obytné
SZ3	Proměnné	Výběrová	Sníh
SZ4	Proměnné	Výběrová	Kat E : sklady

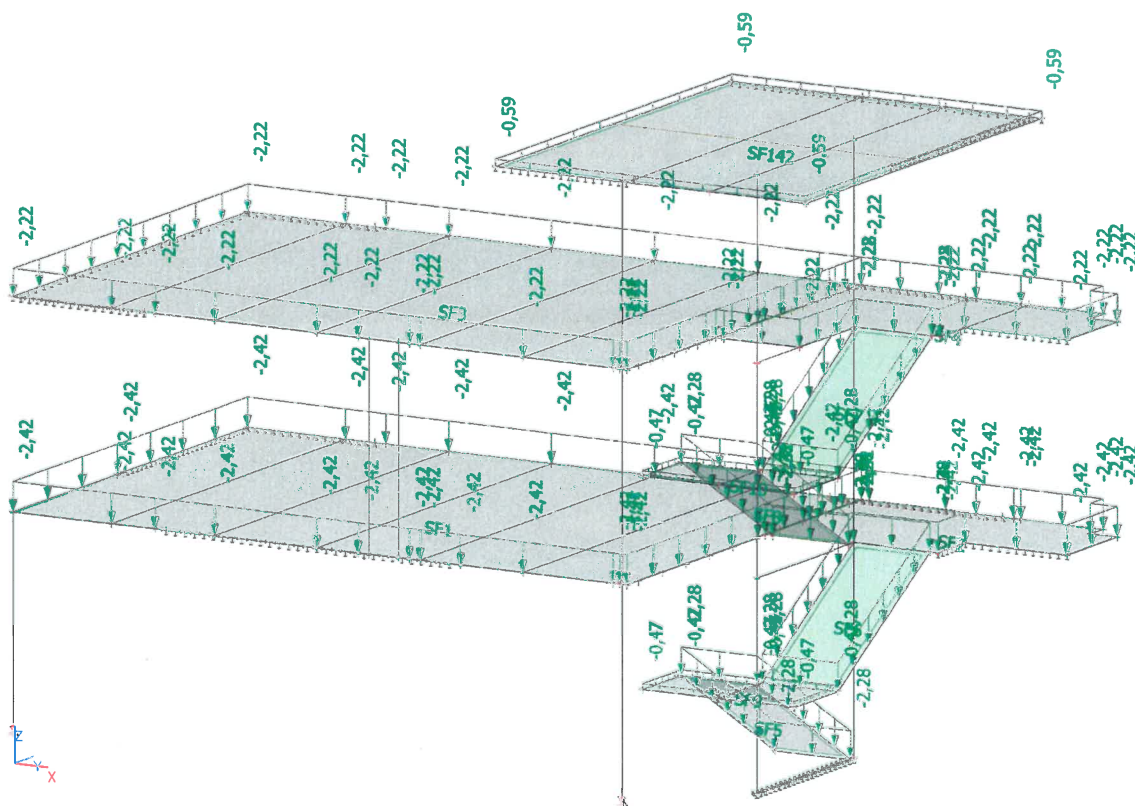


5.1.4.2. Zatěžovací stavy

Jméno	Popis Spec	Typ působení Typ zatížení	Skupina zatížení	Směr	Působení	Řídící zat. stav
ZS1	vlastní tíha	Stálé Vlastní tíha	SZ1	-Z		
ZS2	podlahy, střecha	Stálé Standard	SZ1			
ZS3	stěny a příčky	Stálé Standard	SZ1			
ZS4	užitné plné Standard	Proměnné Statické	SZ2		Krátkodobé	Žádný
ZS5	užitné částečné_1 Standard	Proměnné Statické	SZ2		Krátkodobé	Žádný
ZS6	užitné částečné_2 Standard	Proměnné Statické	SZ2		Krátkodobé	Žádný
ZS7	užitné částečné_3 Standard	Proměnné Statické	SZ2		Krátkodobé	Žádný
ZS8	užitné částečné_4 Standard	Proměnné Statické	SZ2		Krátkodobé	Žádný
ZS9	užitné částečné_5 Standard	Proměnné Statické	SZ2		Krátkodobé	Žádný
ZS10	sníh Standard	Proměnné Statické	SZ3		Krátkodobé	Žádný
ZS11	květináče Standard	Proměnné Statické	SZ4		Střednědobé	Žádný
ZS12	přítížení od stropů vyšších podlaží	Stálé Standard	SZ1			

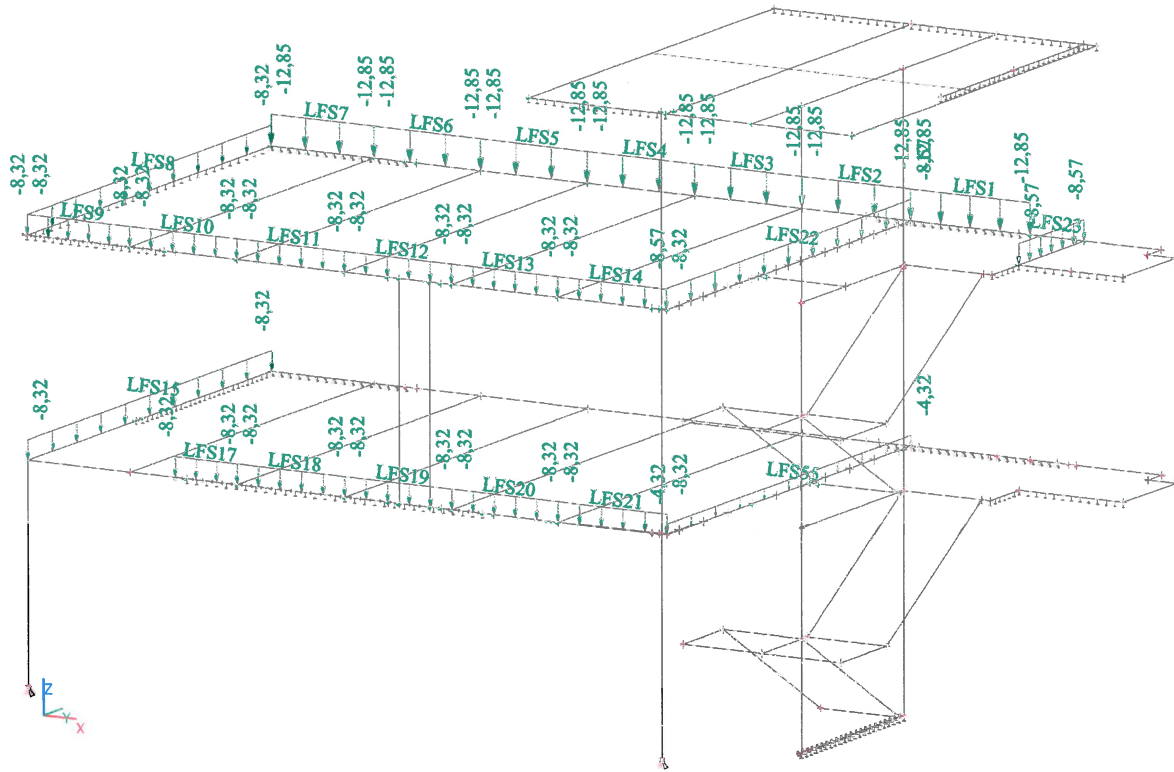
5.1.4.3. Schémata zatížení v zatěžovacích stavech

5.1.4.3.1. ZS2 - podlahy, střecha

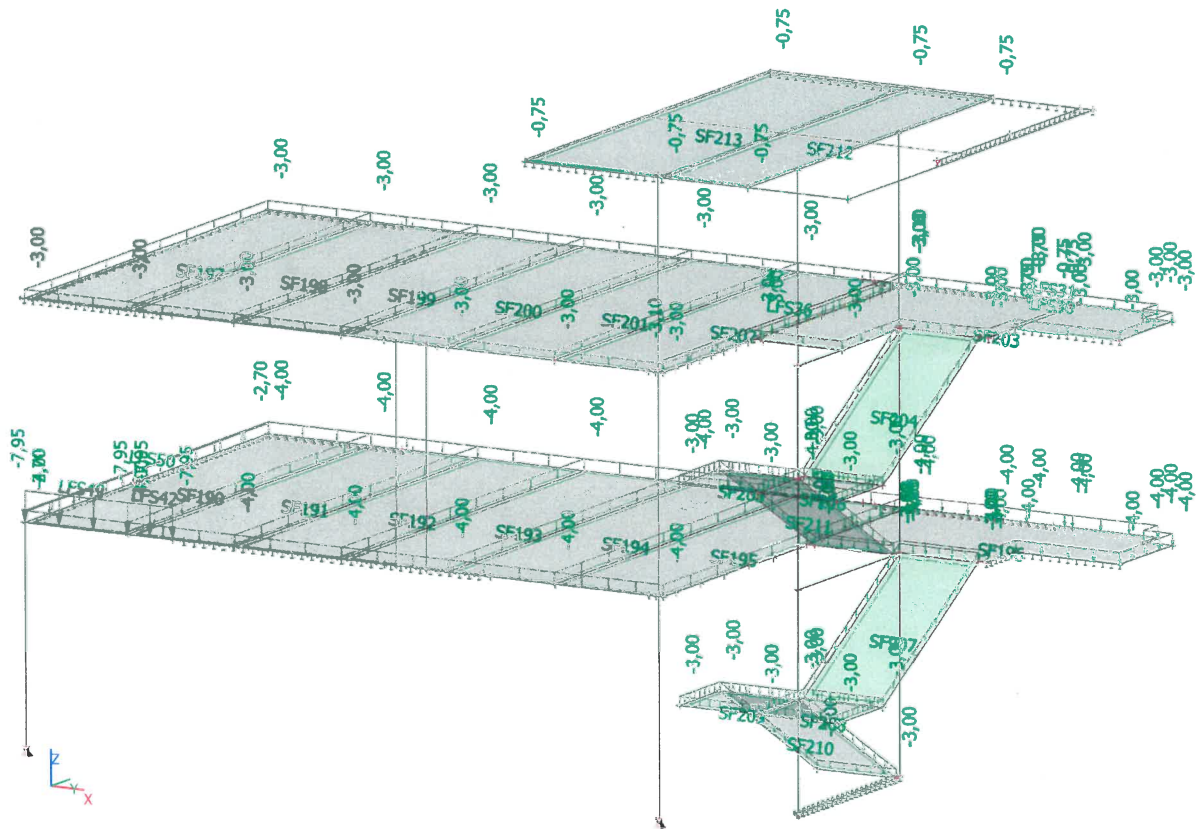




5.1.4.3.2. ZS3 - stěny a příčky



5.1.4.3.3. ZS4 užité zátížení - plné





STATICKÝ VÝPOČET

BETONOVÉ KONSTRUKCE
DOKUMENTACE PRO PROVEDENÍ STAVBY

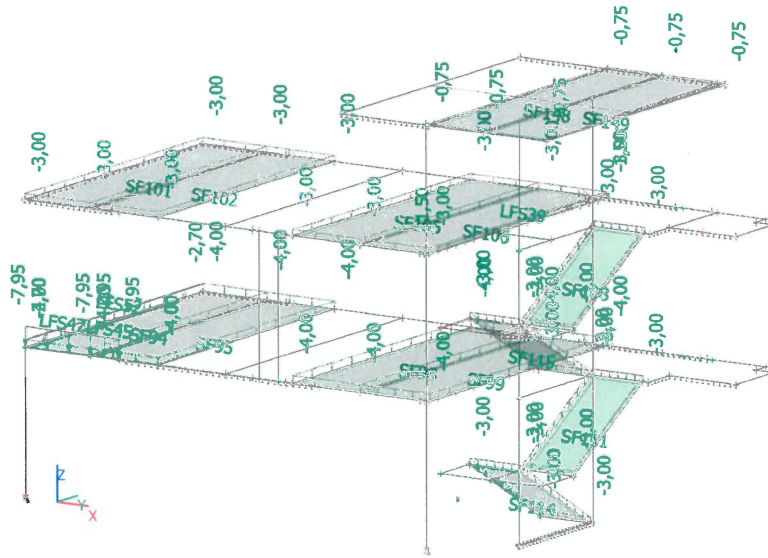
AKCE:

ROZŠÍŘENÍ INFRASTRUKTURY
CENTRA INTEMAC

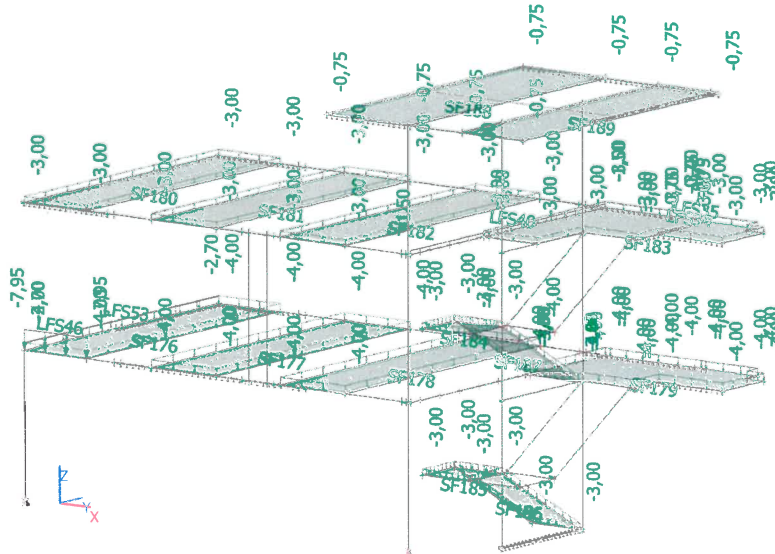
ARCH.Č.: 1917-02

List : 26

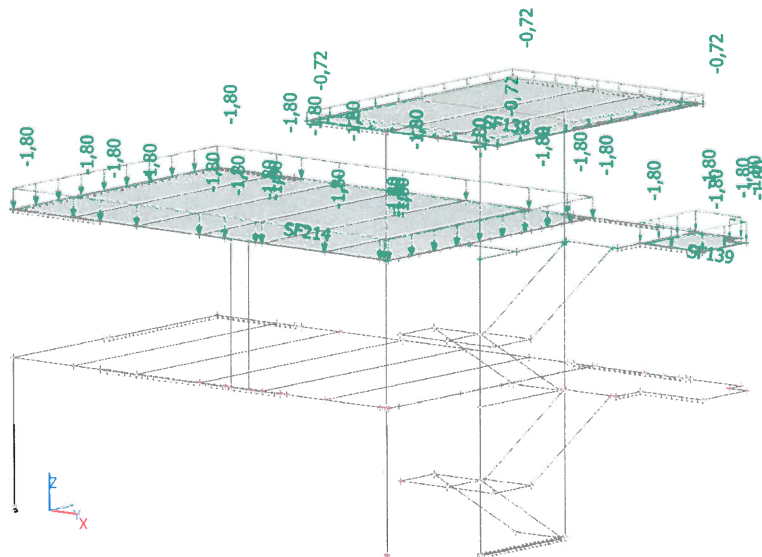
5.1.4.3.7. ZS8 - užitné - uspořádání 4



5.1.4.3.8. ZS9 - užitné - uspořádání 5



5.1.4.3.9. ZS10- sníž





Jméno	Popis	Typ	Zatěžovací stavy	Souč. [-]
MSP-stálá zatížení		EN-MSP charakteristická	ZS11 - květináče	1,00
			ZS1 - vlastní tíha	1,00
			ZS2 - podlahy, střecha	1,00
			ZS3 - stěny a příčky	1,00
			ZS11 - květináče	1,00
MSP-užitná zatížení1		EN-MSP charakteristická	ZS4 - užitné_plné	1,00
			ZS5 - užitné_částečné_1	1,00
			ZS6 - užitné_částečné_2	1,00
			ZS7 - užitné_částečné_3	1,00
			ZS8 - užitné_částečné_4	1,00
			ZS9 - užitné_částečné_5	1,00
			ZS10 - sníh	1,00

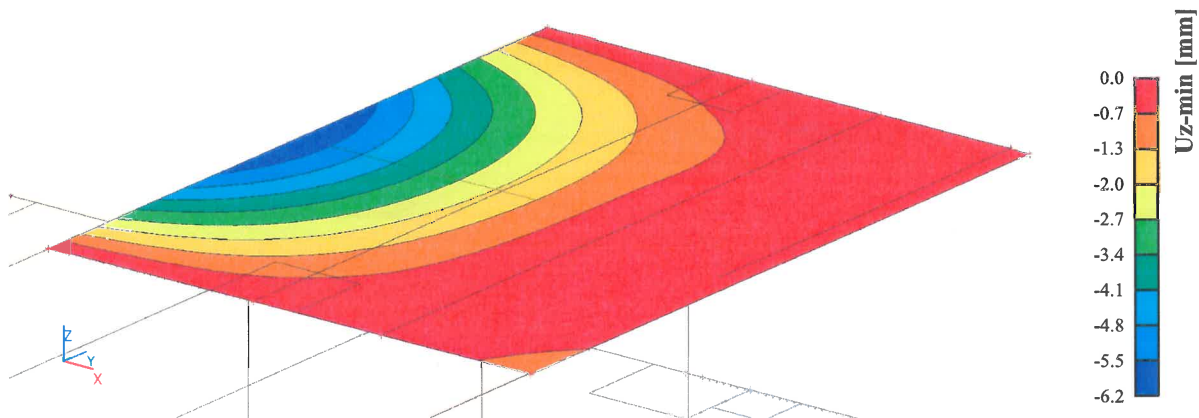
5.1.4.5. Skupiny výsledků

Jméno	Výpis
Všechny MSU	MSU-ze všech ZS - EN-MSÚ (STR/GEO) Soubor B
Všechny MSP	MSP-ze všech ZS - EN-MSP charakteristická MSP-stálá zatížení - EN-MSP charakteristická MSP-užitná zatížení1 - EN-MSP charakteristická
Vše MSÚ+MSP	MSU-ze všech ZS - EN-MSÚ (STR/GEO) Soubor B MSP-ze všech ZS - EN-MSP charakteristická MSP-stálá zatížení - EN-MSP charakteristická MSP-užitná zatížení1 - EN-MSP charakteristická

5.2. Výsledky výpočtu

5.2.1. Průhyby stropních konstrukcí

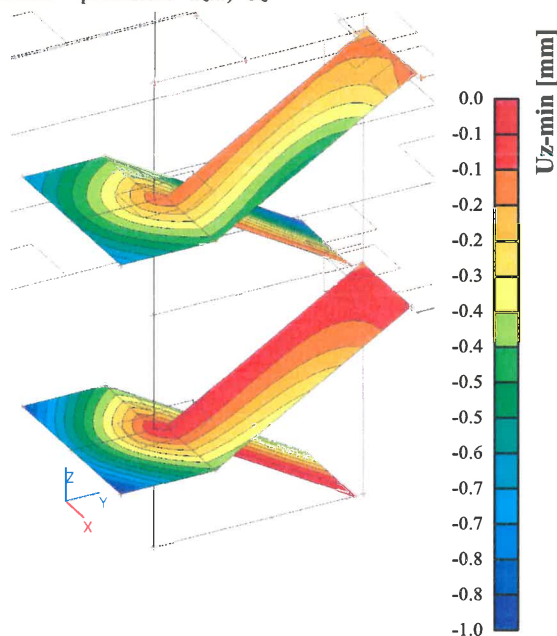
5.2.1.1. Střecha nad schodišťovým prostorem - přemístění uzlů; U_z [mm]



Maximální pružná deformace je 6,20mm, deformace s vlivem trhlin se pohybuje mezi 3,5 až 4,5 násobkem pružné deformace což je $4,5 \times 6,2 = 27,9 \text{ mm} < 1/150$ dvojnásobku teoretického rozpětí vyložení = $2 \times 2425/150 = 32,3 \text{ mm}$. Předpokládá se, že tloušťka desky je dostatečná a že průhyb vyhoví. Při dostatečném vyztužení při obou površích bude průhyb menší

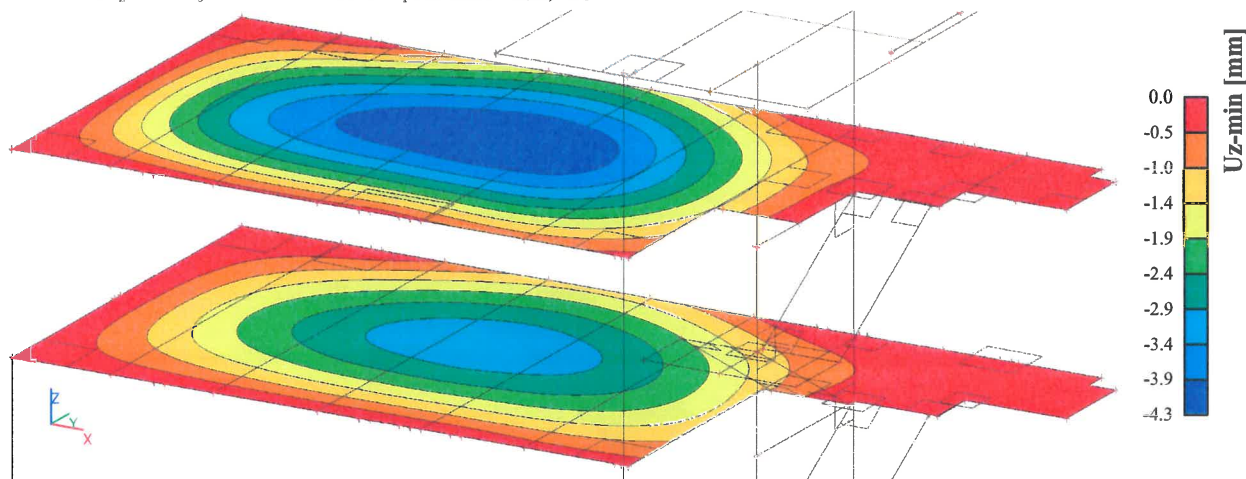


5.2.1.2. *Ramena a mezipodesty schodiště - přemístění uzlů; Uz*



Maximální pružná deformace je 1,0mm, deformace s vlivem trhlin se pohybuje mezi 3,5 až 4,5 násobkem pružné deformace což je $1,0 \times 4,5 = 4,5\text{mm} < 1/250$ dvojnásobku teoretického rozpětí vyložení mezipodesty = $2 \times 1200/250 = 9,6\text{mm}$. Předpokládá se, že tloušťka desky je dostatečná a že průhyb vyhoví.

5.2.1.3. *Stropní desky nad 1.NP a 2.NP - přemístění uzlů; Uz*



Maximální pružná deformace je 4,40mm, deformace s vlivem trhlin se pohybuje mezi 3,5 až 4,5 násobkem pružné deformace což je $4,3 \times 4,5 = 19,4 \text{ mm} < 1/250$ teoretického rozpětí = $7680/300 = 25,6\text{mm}$. Předpokládá se, že tloušťka desky je dostatečná a že průhyb vyhoví.

5.2.1.4. *Přemístění uzlů*

Lineární výpočet, Extrém : Dílec

Výběr : S1, S2, S3, S4, S5, S6, S7, S8, S9, S10, S11, S12, S13, S14

Kombinace : MSP-ze všech ZS

Dílec	Stav	Uzel	Ux [mm]	Uy [mm]	Uz [mm]
S1	MSP-ze všech ZS	N3	-0,2	0,0	-0,1
S1	MSP-ze všech ZS	971	0,1	0,0	-0,1
S1	MSP-ze všech ZS	342	0,0	0,0	-0,1
S1	MSP-ze všech ZS	334	0,0	0,0	-0,1
S1	MSP-ze všech ZS	N4	0,0	0,0	-0,1
S1	MSP-ze všech ZS	N1	0,0	0,0	0,0
S2	MSP-ze všech ZS	426	-0,4	0,0	-0,1

Dílec	Stav	Uzel	Ux [mm]	Uy [mm]	Uz [mm]
S2	MSP-ze všech ZS	651	0,0	0,0	-0,1
S2	MSP-ze všech ZS	N3	-0,2	0,0	-0,1
S2	MSP-ze všech ZS	461	-0,2	0,1	-0,1
S2	MSP-ze všech ZS	N6	0,0	0,0	-0,2
S2	MSP-ze všech ZS	N3	-0,1	0,0	-0,1
S3	MSP-ze všech ZS	N9	0,0	-0,2	-0,4
S3	MSP-ze všech ZS	820	0,0	0,0	0,0



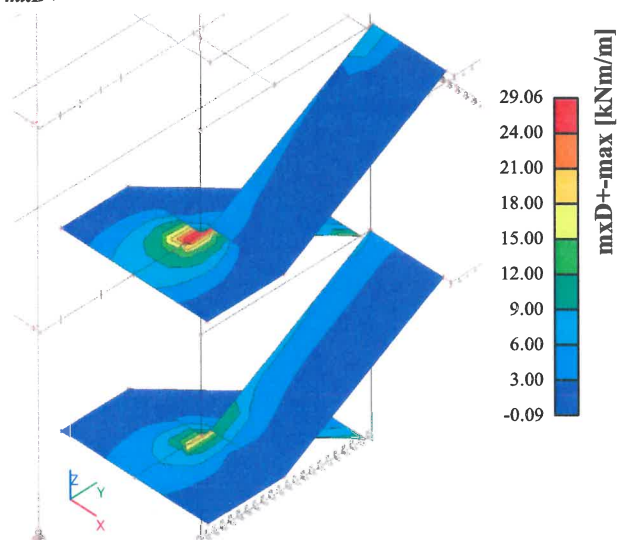
Dílec	Stav	Uzel	Ux [mm]	Uy [mm]	Uz [mm]
S3	MSP-ze všech ZS	2752	0,0	0,0	0,0
S3	MSP-ze všech ZS	N7	0,0	0,0	0,0
S4	MSP-ze všech ZS	969	0,0	0,1	-0,3
S4	MSP-ze všech ZS	5639	0,0	0,0	-0,1
S4	MSP-ze všech ZS	N11	0,0	0,0	-0,1
S4	MSP-ze všech ZS	N12	0,0	0,2	-0,3
S4	MSP-ze všech ZS	N12	0,0	0,1	-0,4
S4	MSP-ze všech ZS	N13	0,0	0,0	0,0
S5	MSP-ze všech ZS	N17	-0,4	0,0	-0,4
S5	MSP-ze všech ZS	1104	0,0	0,0	-0,5
S5	MSP-ze všech ZS	1108	-0,1	-0,1	-0,8
S5	MSP-ze všech ZS	N17	-0,3	0,1	-0,3
S5	MSP-ze všech ZS	N16	0,0	0,0	-1,0
S5	MSP-ze všech ZS	449	-0,1	0,0	-0,1
S6	MSP-ze všech ZS	1239	-0,4	0,0	-0,2
S6	MSP-ze všech ZS	566	0,0	0,0	-0,1
S6	MSP-ze všech ZS	N21	0,0	0,0	-0,1
S6	MSP-ze všech ZS	1253	-0,1	0,1	-0,3
S6	MSP-ze všech ZS	1251	-0,2	0,0	-0,5
S6	MSP-ze všech ZS	N21	0,0	0,0	-0,1
S7	MSP-ze všech ZS	N24	-0,4	0,0	-0,7
S7	MSP-ze všech ZS	N20	-0,2	0,0	-0,3
S7	MSP-ze všech ZS	1457	-0,4	0,0	-0,5
S7	MSP-ze všech ZS	N23	-0,3	0,1	-0,5
S7	MSP-ze všech ZS	N19	-0,2	0,1	-0,1
S8	MSP-ze všech ZS	969	0,0	0,1	-0,3
S8	MSP-ze všech ZS	N25	0,2	-0,1	-0,5
S8	MSP-ze všech ZS	N9	0,0	-0,2	-0,4
S8	MSP-ze všech ZS	N12	0,0	0,2	-0,3
S8	MSP-ze všech ZS	N26	0,1	0,1	-0,9
S8	MSP-ze všech ZS	N11	0,0	0,0	0,0
S9	MSP-ze všech ZS	2129	-0,1	0,0	-0,9
S9	MSP-ze všech ZS	3354	0,1	0,0	-0,4
S9	MSP-ze všech ZS	2871	0,0	-0,1	-2,0

Dílec	Stav	Uzel	Ux [mm]	Uy [mm]	Uz [mm]
S9	MSP-ze všech ZS	147	0,0	0,2	-0,4
S9	MSP-ze všech ZS	2653	0,0	0,0	-4,3
S9	MSP-ze všech ZS	N47	0,0	0,0	0,0
S10	MSP-ze všech ZS	4470	-0,1	-0,1	-0,6
S10	MSP-ze všech ZS	N65	0,1	0,0	-0,4
S10	MSP-ze všech ZS	5213	0,0	-0,1	-1,5
S10	MSP-ze všech ZS	N48	0,0	0,1	-0,2
S10	MSP-ze všech ZS	5072	0,0	0,0	-3,2
S10	MSP-ze všech ZS	N70	0,0	0,0	0,0
S11	MSP-ze všech ZS	N71	0,0	0,0	-0,2
S11	MSP-ze všech ZS	N76	0,0	0,0	-0,2
S11	MSP-ze všech ZS	6699	0,0	0,0	-0,4
S11	MSP-ze všech ZS	N73	0,0	0,1	-0,9
S11	MSP-ze všech ZS	151	0,0	0,1	-1,5
S11	MSP-ze všech ZS	N47	0,0	0,0	0,0
S12	MSP-ze všech ZS	4090	0,0	0,0	-0,3
S12	MSP-ze všech ZS	1104	0,0	0,0	-0,5
S12	MSP-ze všech ZS	N16	0,0	0,0	-1,0
S12	MSP-ze všech ZS	N15	0,0	0,0	-0,1
S12	MSP-ze všech ZS	N83	0,0	0,0	-1,1
S12	MSP-ze všech ZS	N70	0,0	0,0	0,0
S13	MSP-ze všech ZS	N126	-1,1	0,1	-0,2
S13	MSP-ze všech ZS	N6	0,0	0,0	-0,1
S13	MSP-ze všech ZS	N6	0,0	0,0	-0,2
S13	MSP-ze všech ZS	N126	-0,8	0,1	-0,1
S13	MSP-ze všech ZS	N127	-0,9	0,1	-0,2
S13	MSP-ze všech ZS	N125	-0,1	0,1	-0,1
S14	MSP-ze všech ZS	7966	-1,2	0,1	-0,1
S14	MSP-ze všech ZS	7484	-0,5	0,3	0,0
S14	MSP-ze všech ZS	N132	-1,2	0,0	-0,9
S14	MSP-ze všech ZS	7523	-0,8	0,4	-2,7
S14	MSP-ze všech ZS	7511	-1,0	0,2	-6,2
S14	MSP-ze všech ZS	7963	-0,9	0,2	0,1

5.2.2. Vnitřní síly v deskách

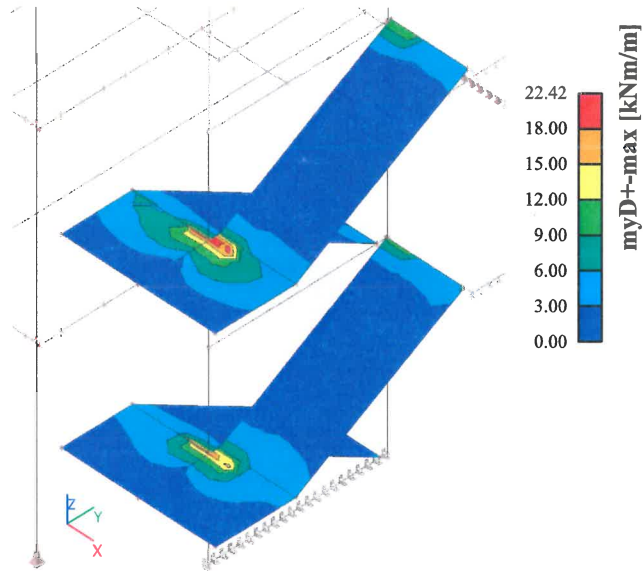
5.2.2.1. Schodišťová ramena a mezipodesty

5.2.2.1.1. Plochy - Vnitřní síly; mxD+

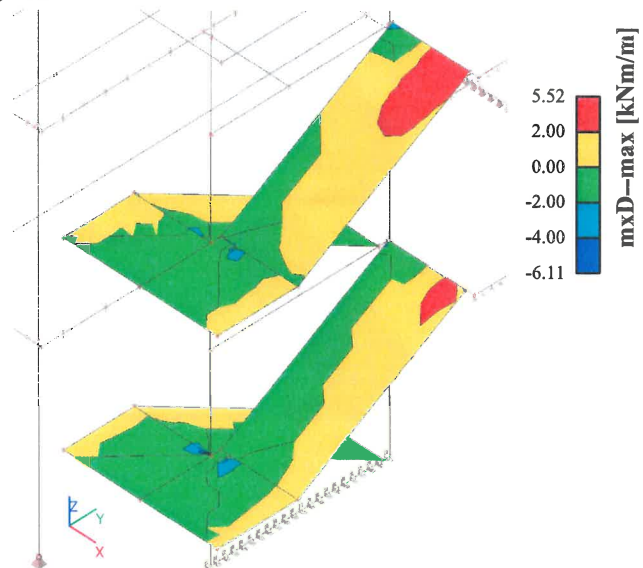




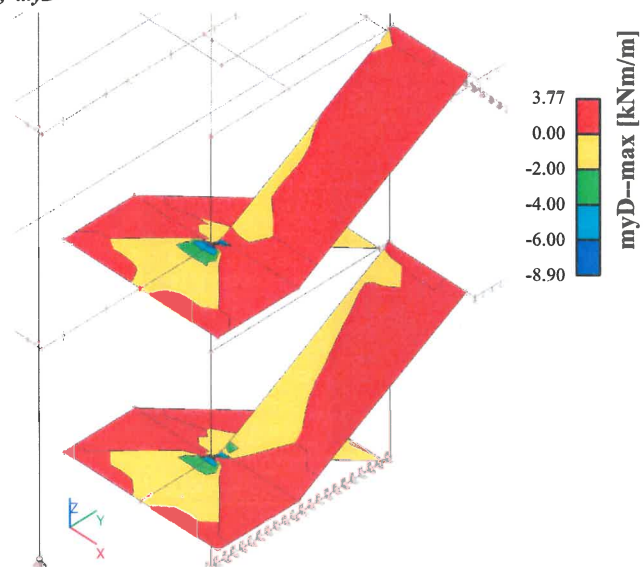
5.2.2.1.2. Plochy - Vnitřní síly; $m_y D+$



5.2.2.1.3. Plochy - Vnitřní síly; $m_x D-$

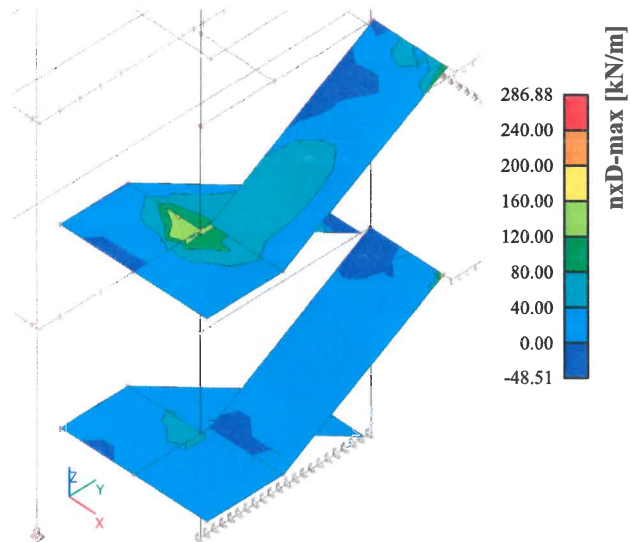


5.2.2.1.4. Plochy - Vnitřní síly; $m_y D-$

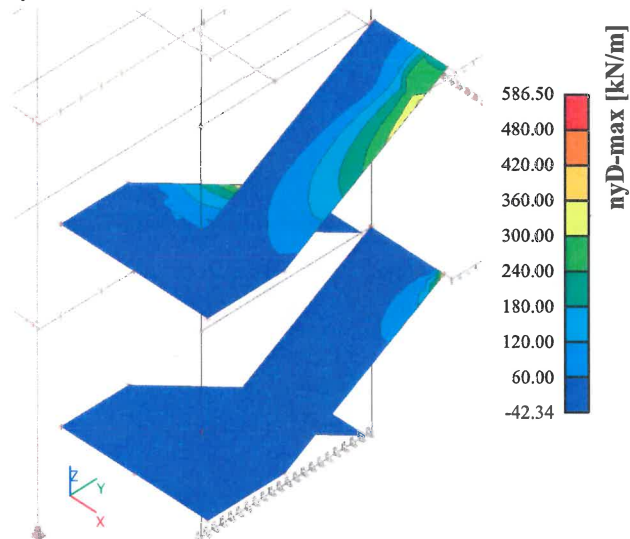




5.2.2.1.5. Plochy - Vnitřní síly; nxD

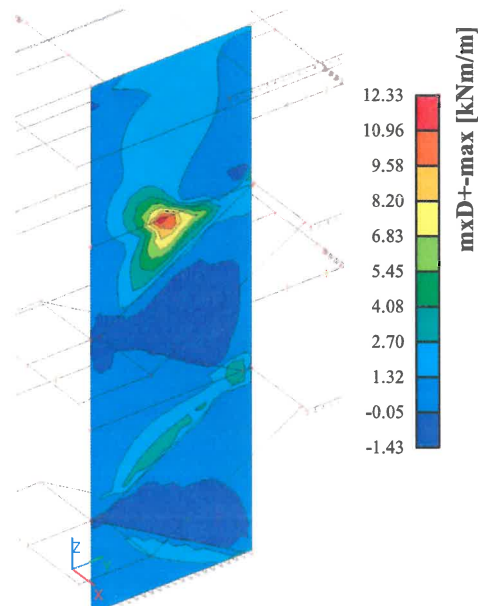


5.2.2.1.6. Plochy - Vnitřní síly; nyD



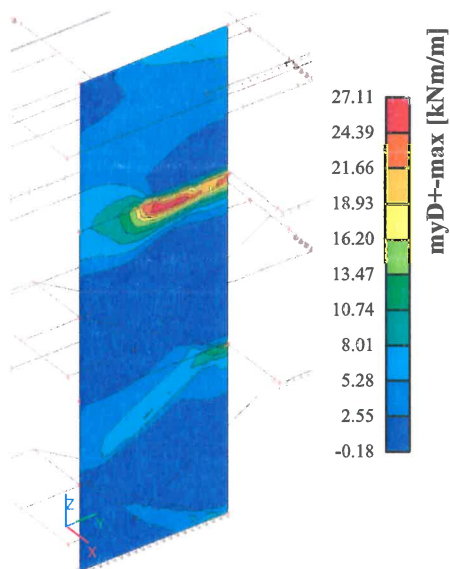
5.2.2.2. Schodišťová stěna

5.2.2.2.1. Plochy - Vnitřní síly; $mxD+$

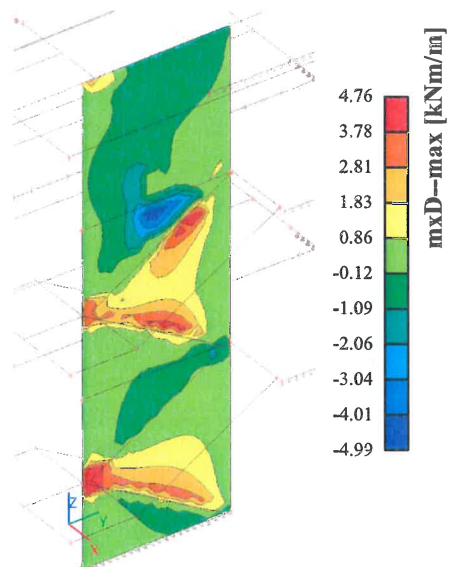




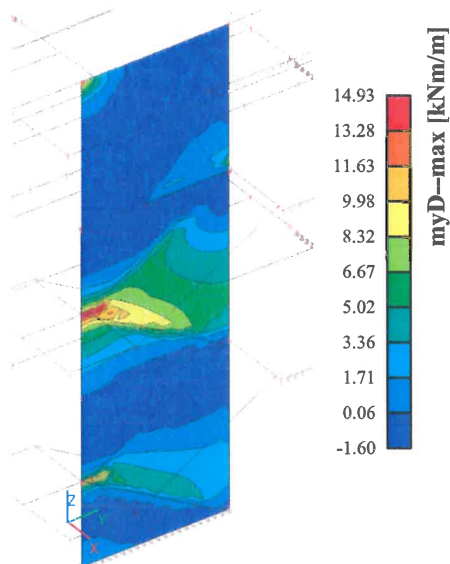
5.2.2.2.2. Plochy - Vnitřní síly; $m_y D+$



5.2.2.2.3. Plochy - Vnitřní síly; $m_x D-$

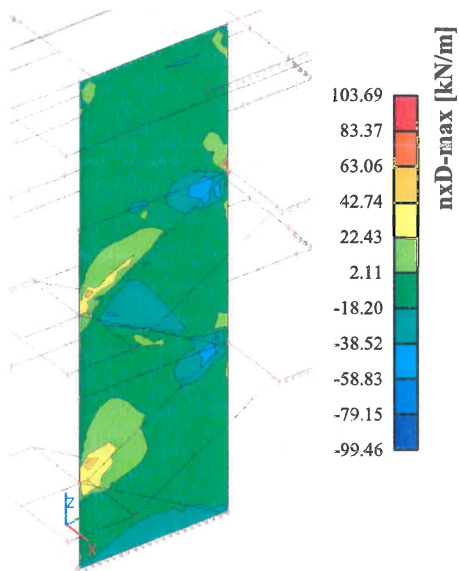


5.2.2.2.4. Plochy - Vnitřní síly; $m_y D-$

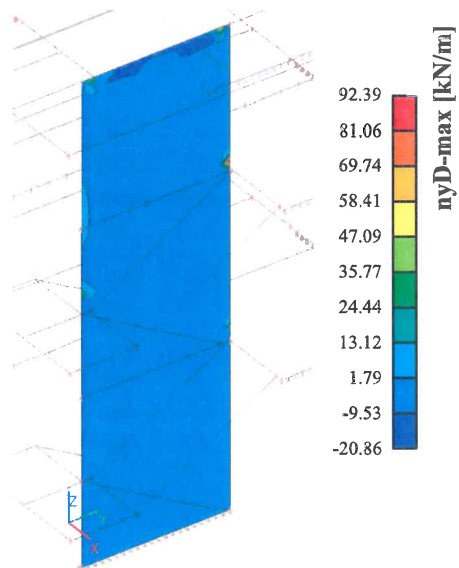




5.2.2.2.5. Plochy - Vnitřní síly; nx_D

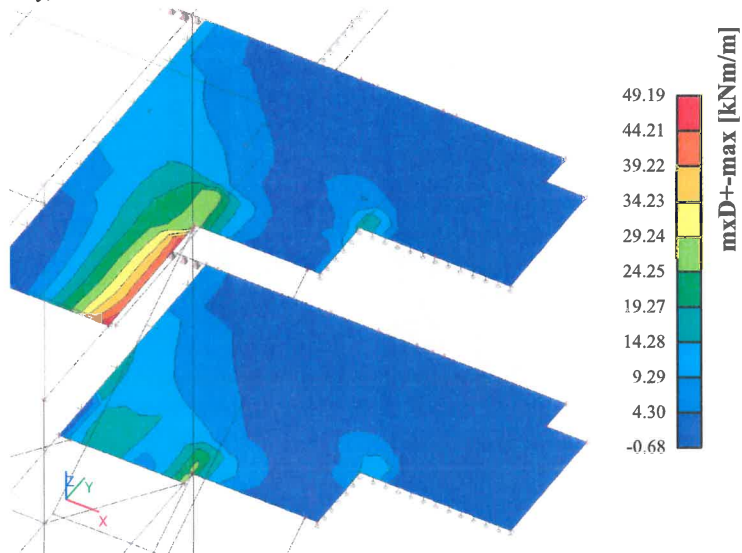


5.2.2.2.6. Plochy - Vnitřní síly; ny_D



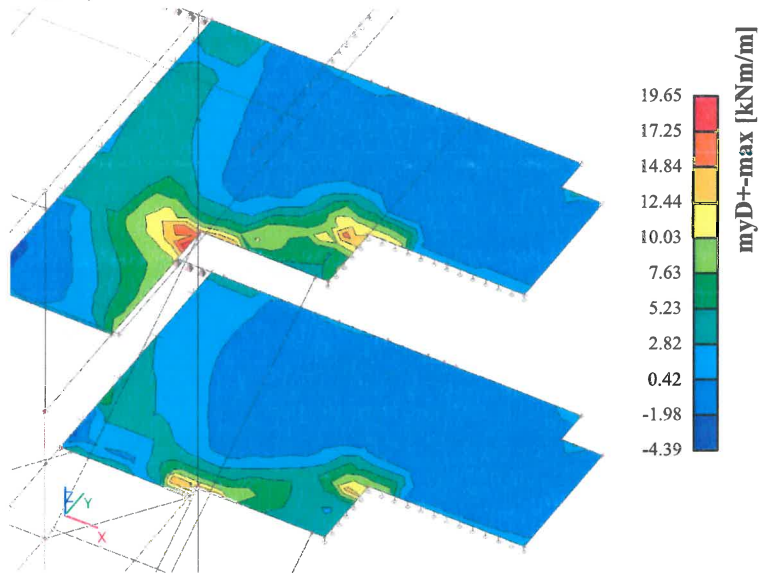
5.2.2.3. Podesty schodišřového prostoru

5.2.2.3.1. Plochy - Vnitřní síly; mx_{D+}

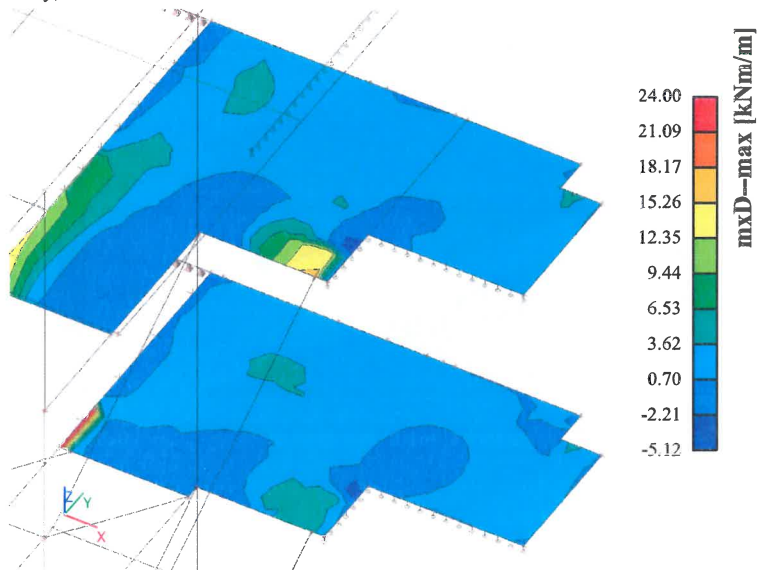




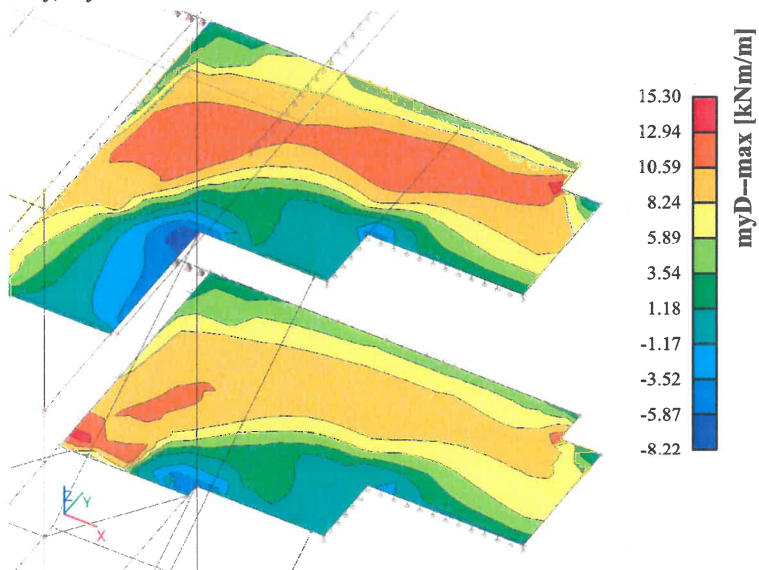
5.2.2.3.2. Plochy - Vnitřní síly; $m_y D^+$



5.2.2.3.3. Plochy - Vnitřní síly; $m_x D^-$

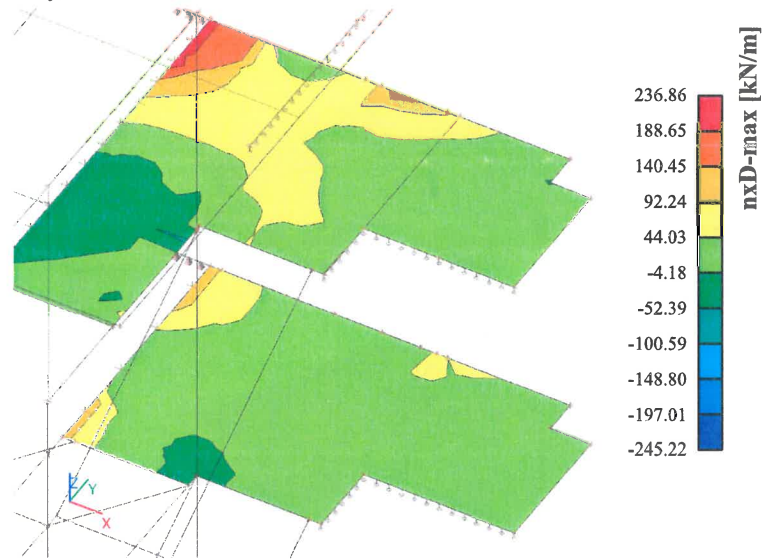


5.2.2.3.4. Plochy - Vnitřní síly; $m_y D^-$

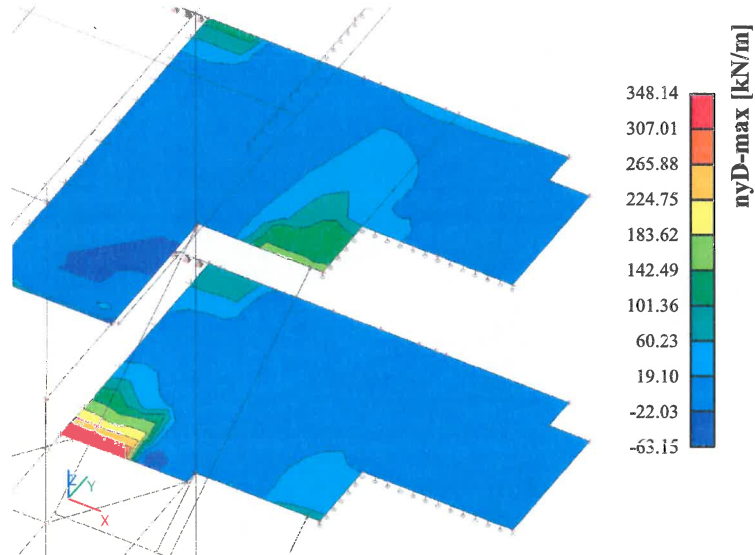




5.2.2.3.5. Plochy - Vnitřní síly; nxD

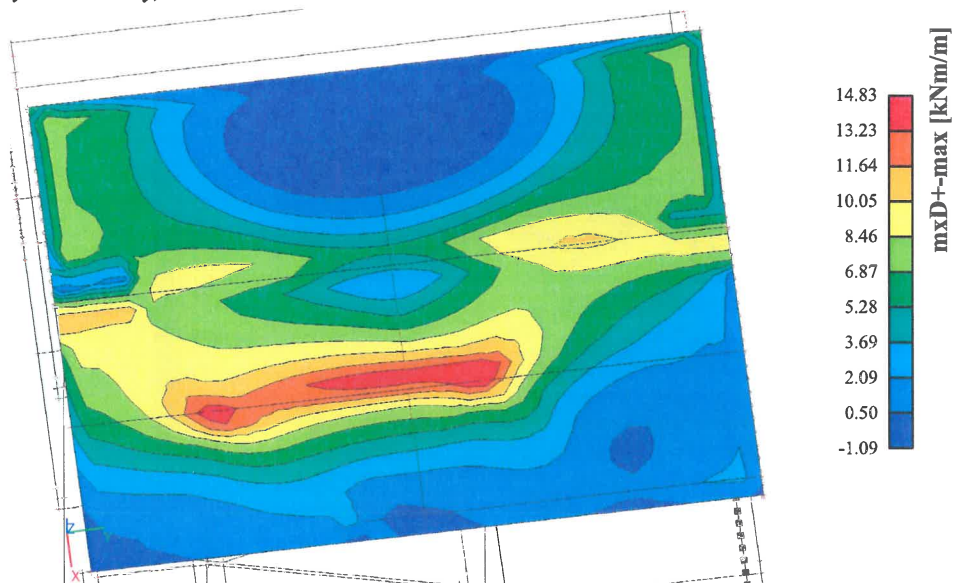


5.2.2.3.6. Plochy - Vnitřní síly; nyD



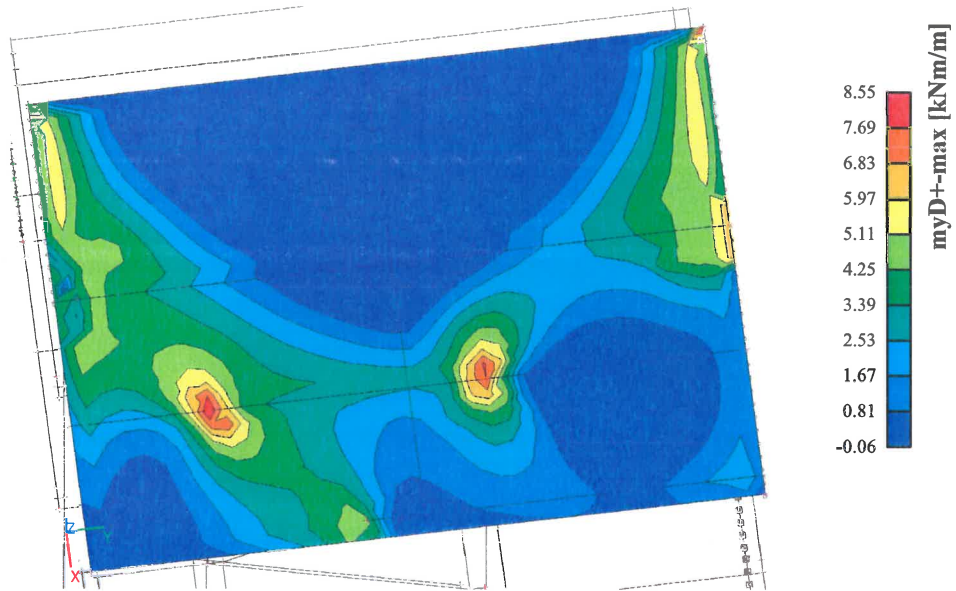
5.2.2.4. Střešní deska

5.2.2.4.1. Plochy - Vnitřní síly; $mxD+$

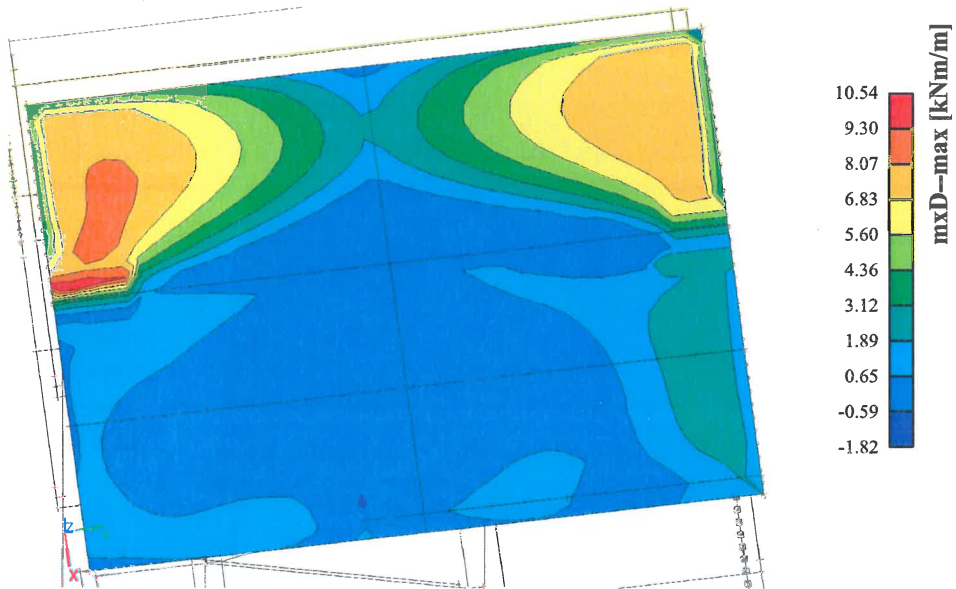




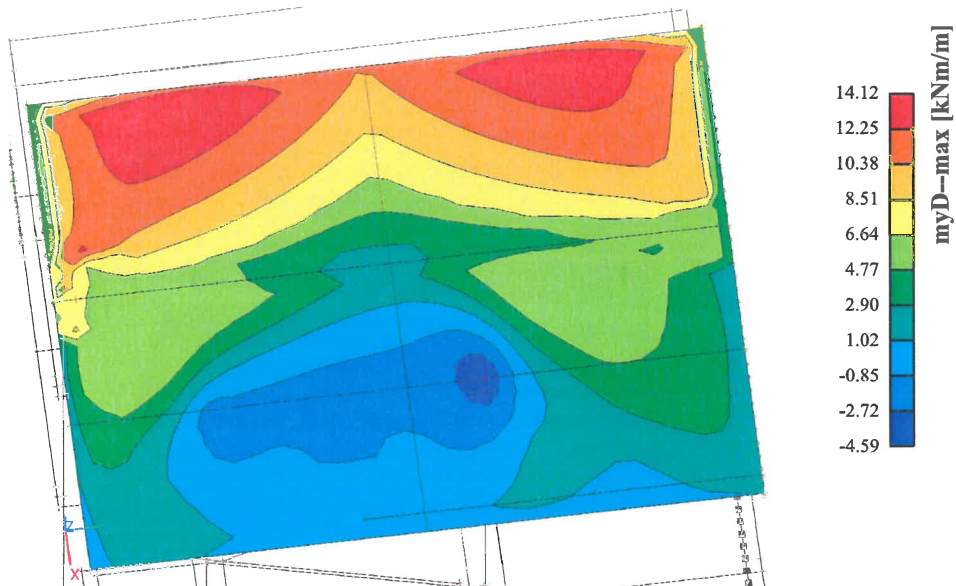
5.2.2.4.2. Plochy - Vnitřní síly; $m_y D^+$



5.2.2.4.3. Plochy - Vnitřní síly; $m_x D^-$

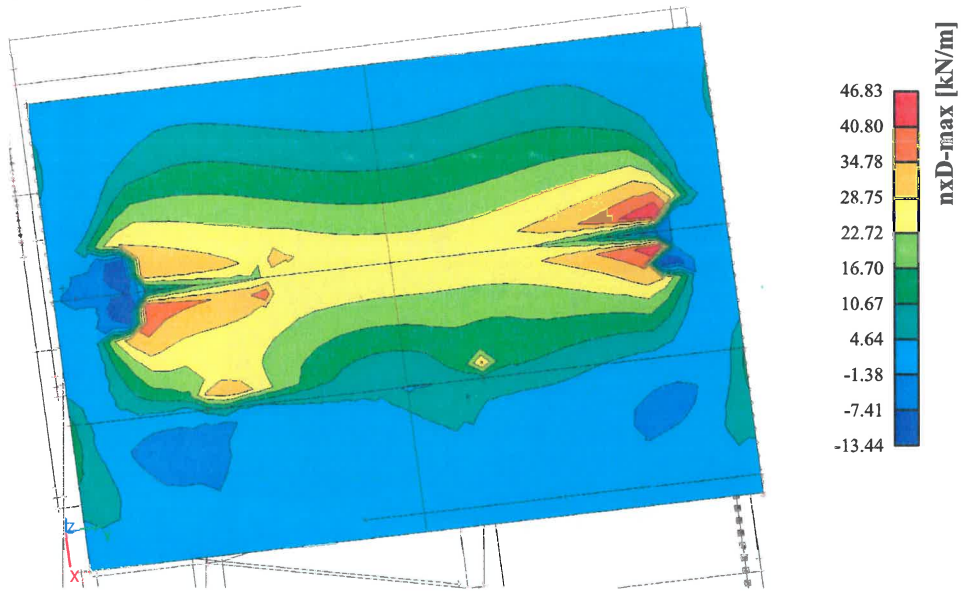


5.2.2.4.4. Plochy - Vnitřní síly; $m_y D^-$

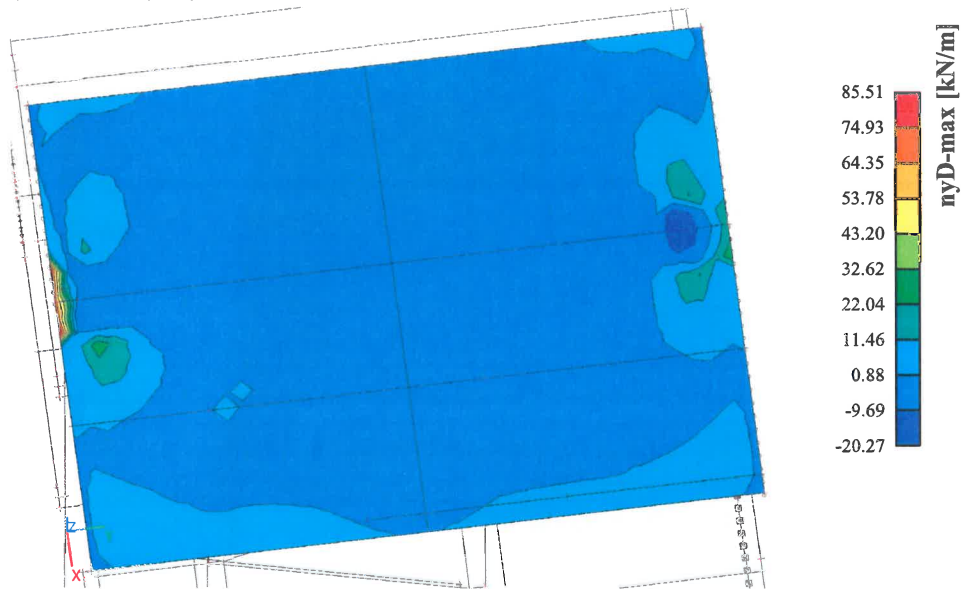




5.2.2.4.5. Plochy - Vnitřní síly; nxD

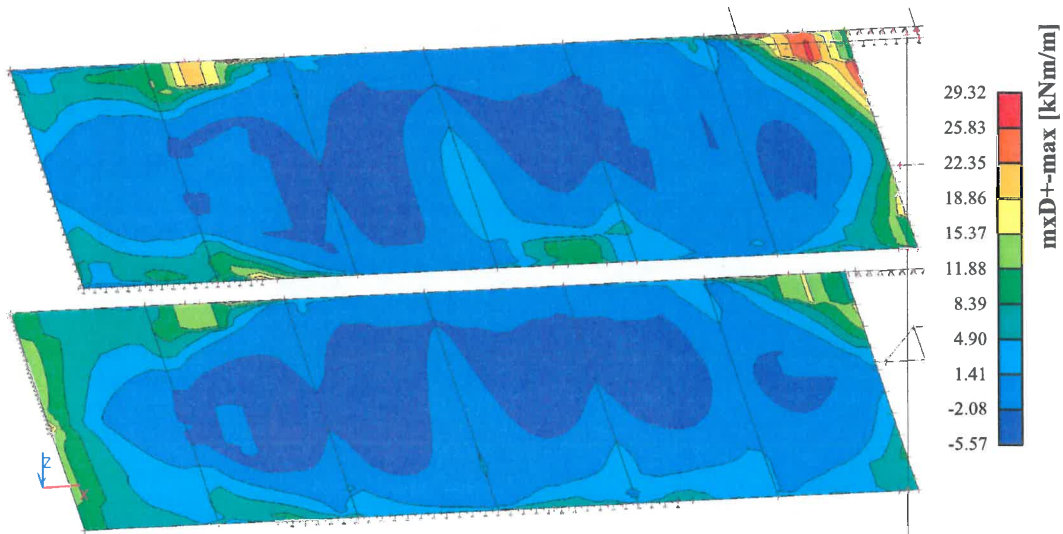


5.2.2.4.6. Plochy - Vnitřní síly; myD



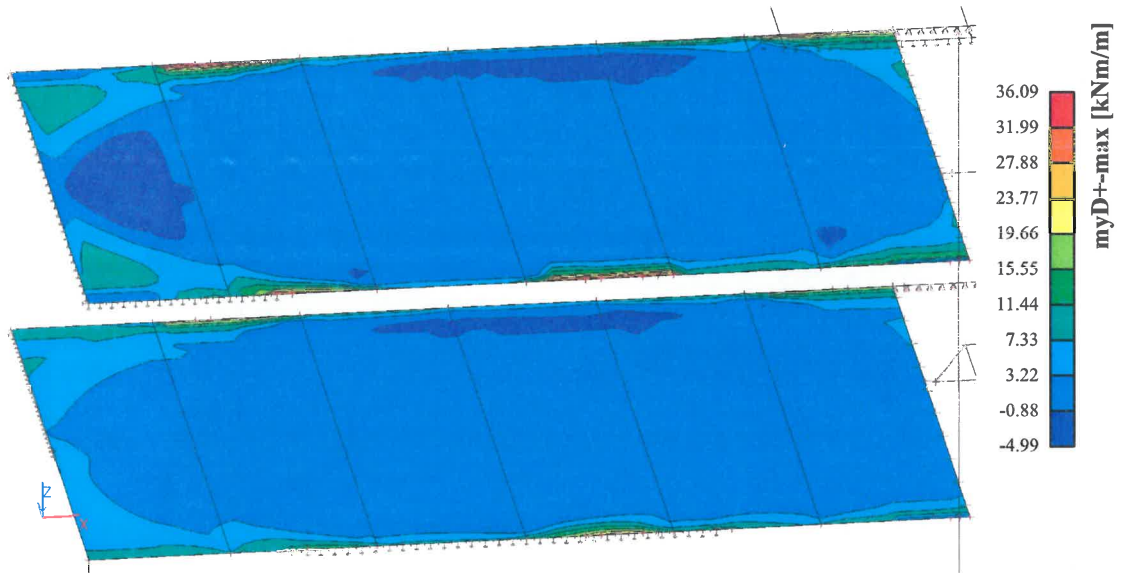
5.2.2.5. Desky trámových stropů

5.2.2.5.1. Plochy - Vnitřní síly; $mxD+$

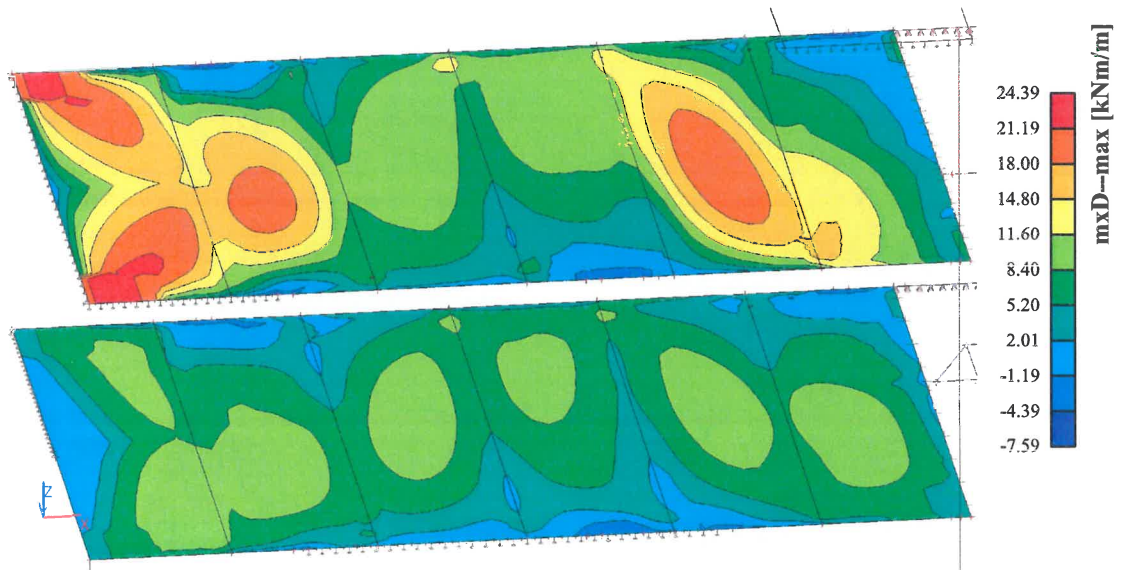




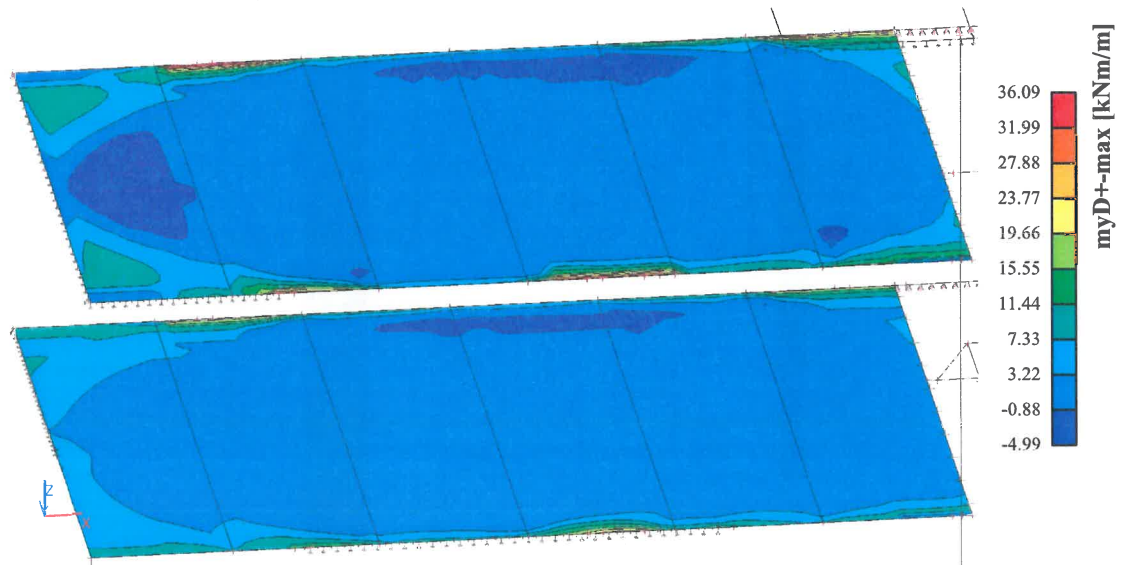
5.2.2.5.2. Plochy - Vnitřní síly; $m_y D^+$



5.2.2.5.3. Plochy - Vnitřní síly; $m_x D^-$



5.2.2.5.4. Plochy - Vnitřní síly; $m_y D^-$





STATICKÝ VÝPOČET

BETONOVÉ KONSTRUKCE
DOKUMENTACE PRO PROVEDENÍ STAVBY

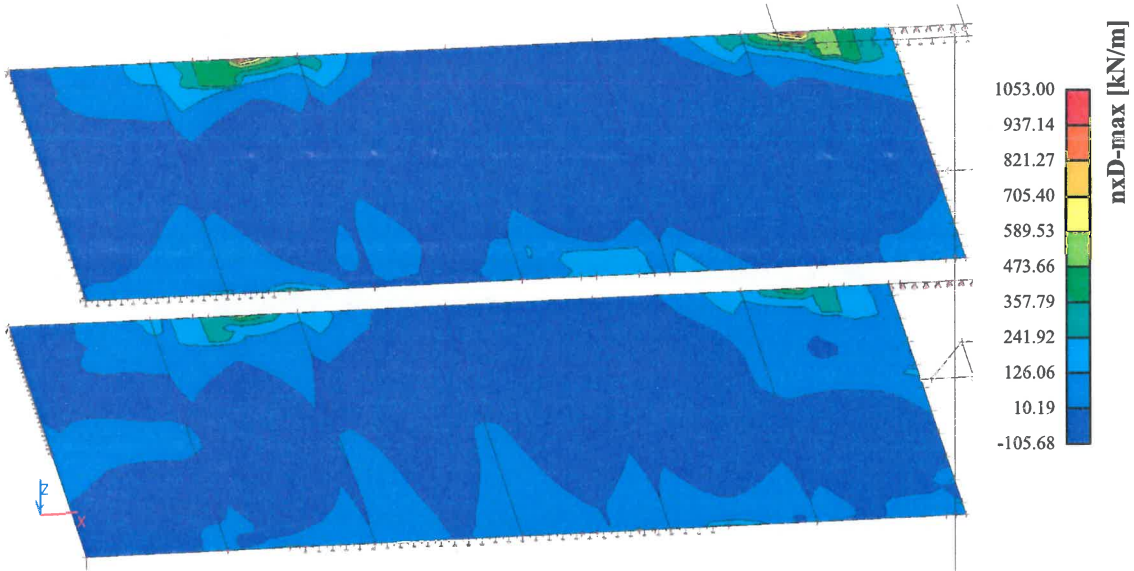
AKCE:

ROZŠÍŘENÍ INFRASTRUKTURY
CENTRA INTEMAC

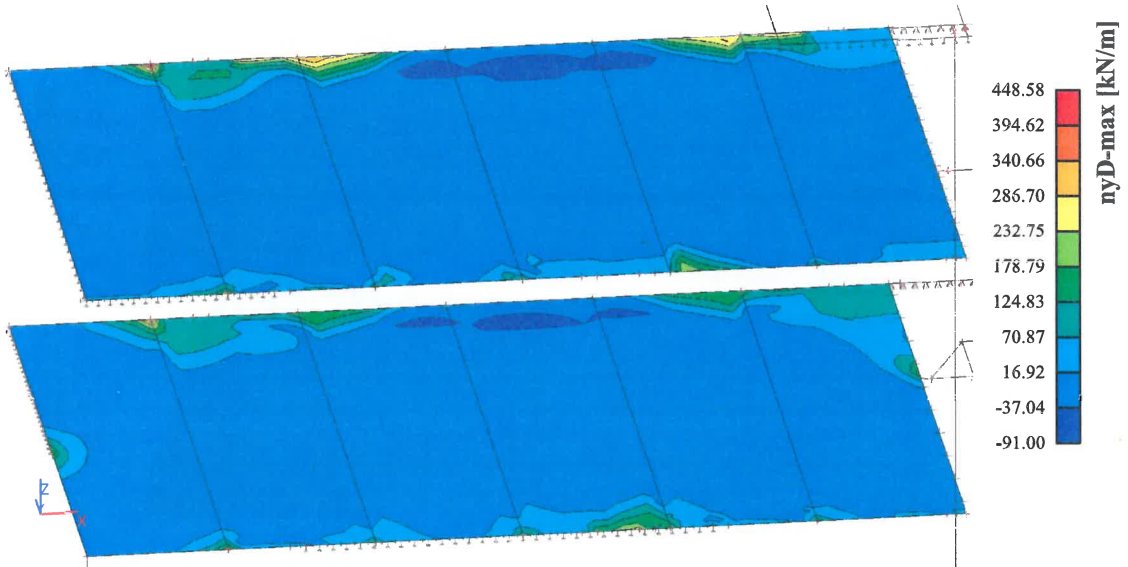
ARCH.Č.: 1917-02

List : 40

5.2.2.5.5. Plochy - Vnitřní síly; nxD

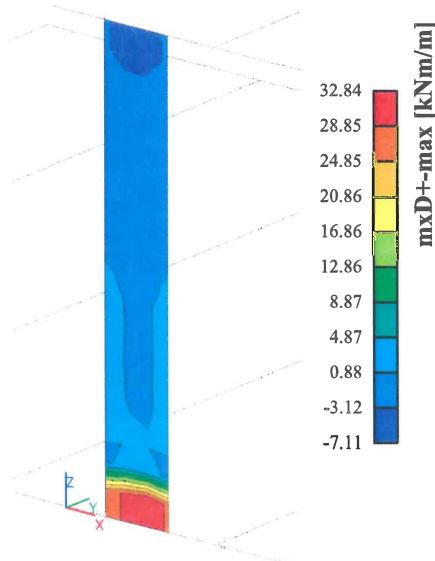


5.2.2.5.6. Plochy - Vnitřní síly; nyD

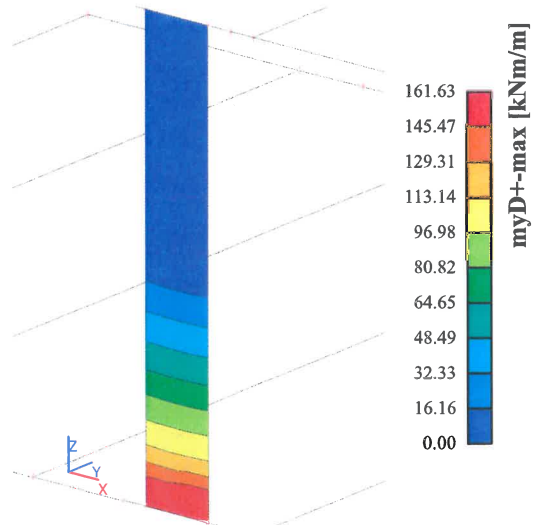


5.2.2.6. Meziokenní pilř v čelní stěně

5.2.2.6.1. Plochy - Vnitřní síly; mxD+

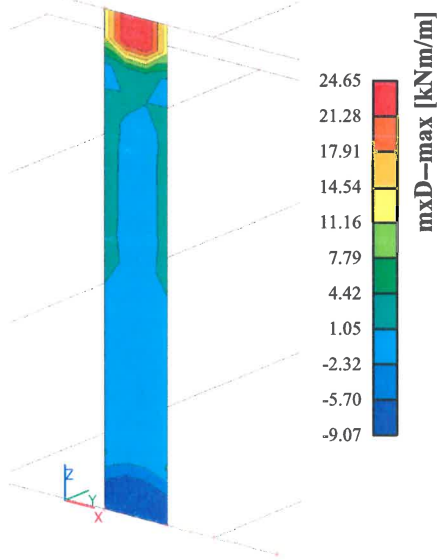


5.2.2.6.2. Plochy - Vnitřní síly; myD+

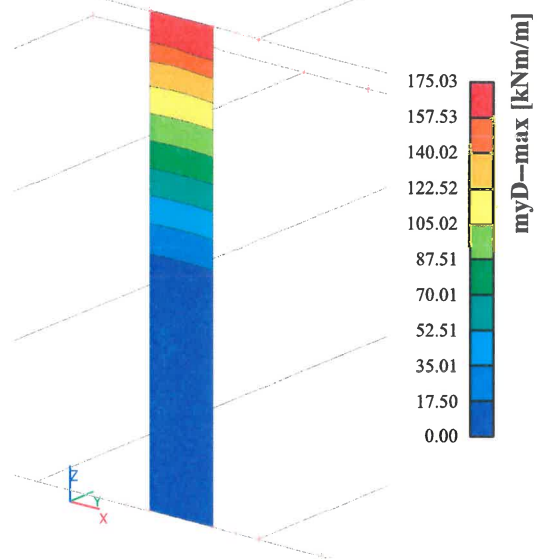




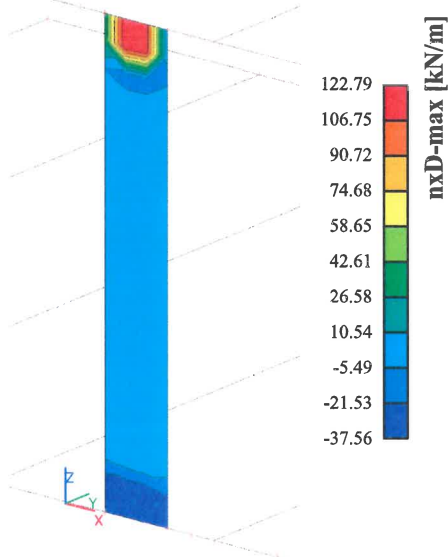
5.2.2.6.3. Plochy - Vnitřní síly; $mxD-$



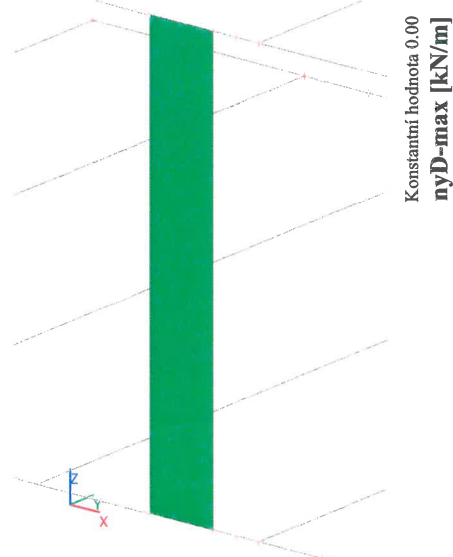
5.2.2.6.4. Plochy - Vnitřní síly; $myD-$



5.2.2.6.5. Plochy - Vnitřní síly; nxD



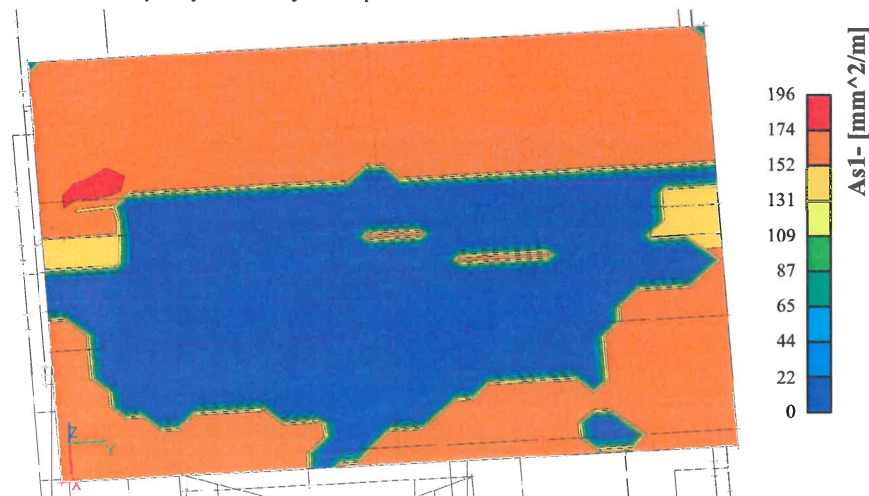
5.2.2.6.6. Plochy - Vnitřní síly; nyD



5.2.3. Nutné minimální plochy výztuže v deskách

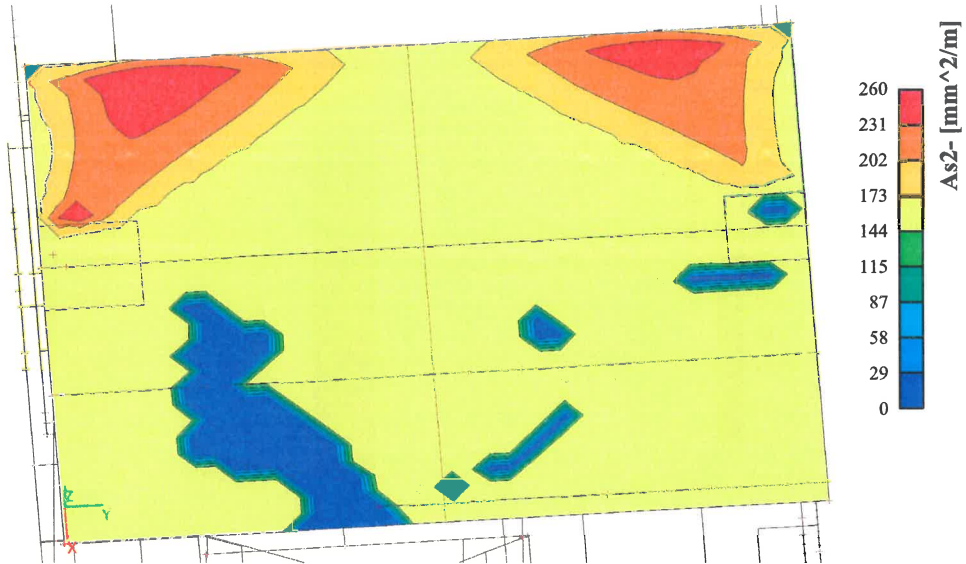
5.2.3.1. Sřešní deska

5.2.3.1.1. Plochy - návrh - nutné plochy - dolní výztuž v první vrstvě - $As1-$

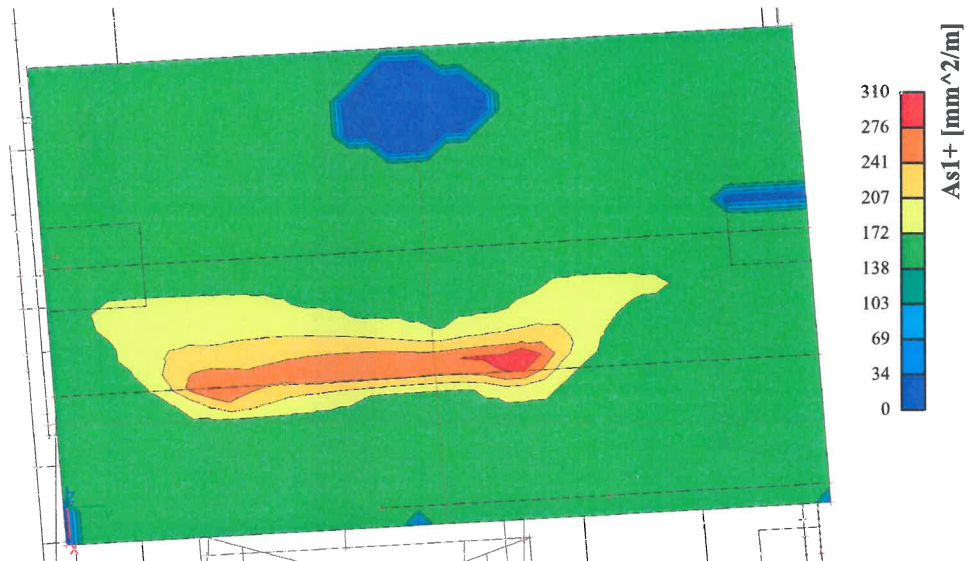




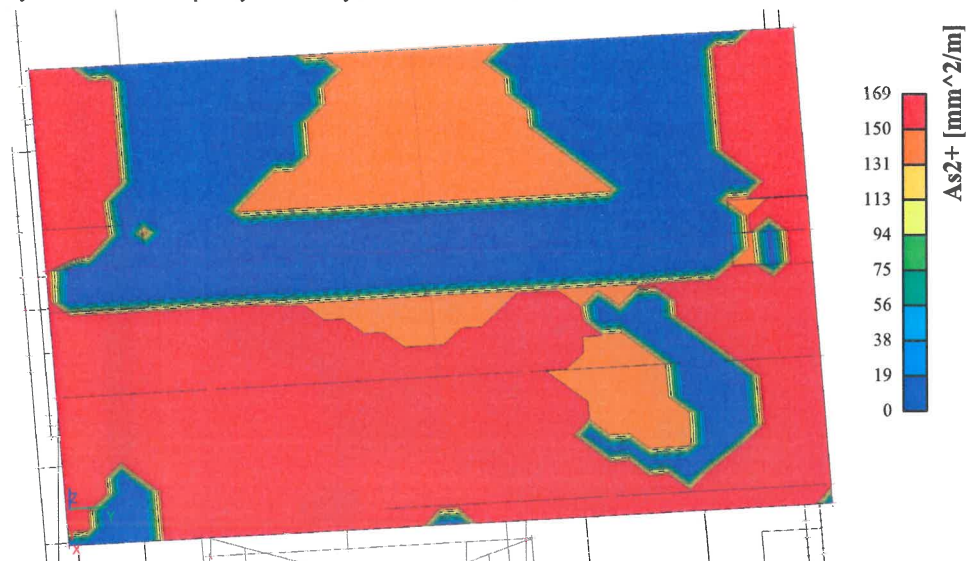
5.2.3.1.2. Plochy - návrh - nutné plochy - dolní výztuž ve druhé vrstvě; As2-



5.2.3.1.3. Plochy - návrh - nutné plochy - horní výztuž v první vrstvě - As1+



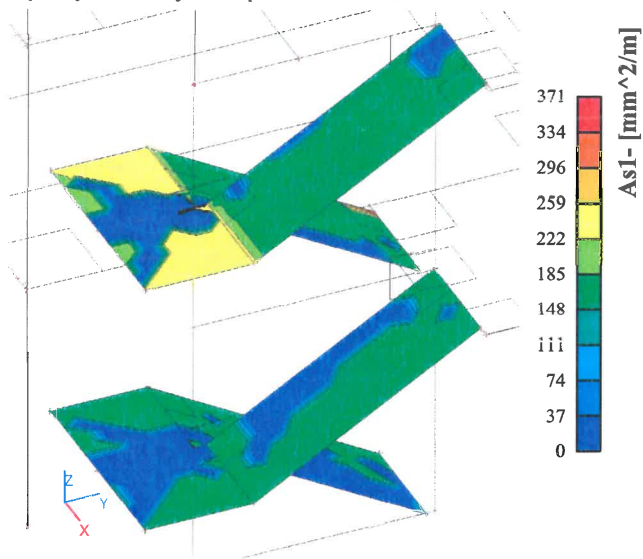
5.2.3.1.4. Plochy - návrh - nutné plochy - horní výztuž ve druhé vrstvě - As1-



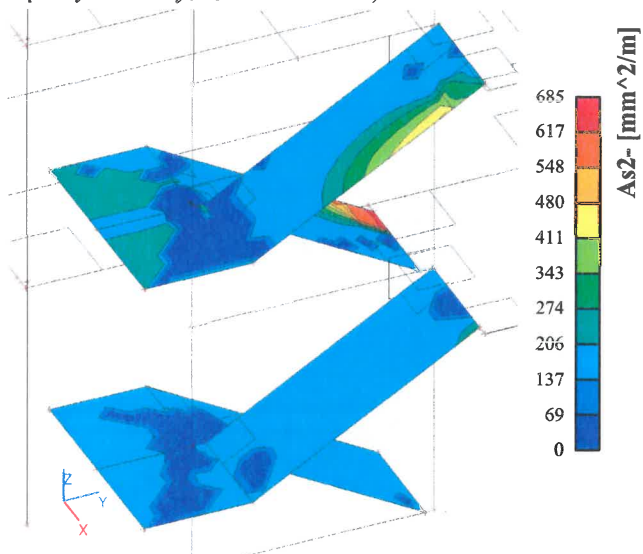


5.2.3.2. *Ramena a mezipodesta schodiště*

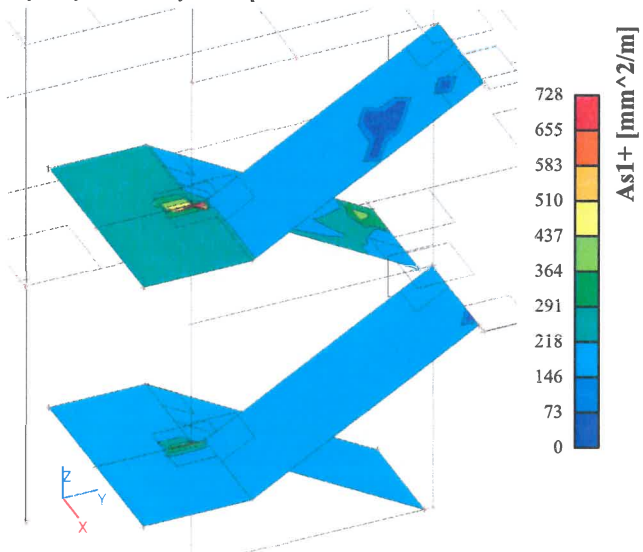
5.2.3.2.1. *Plochy - návrh - nutné plochy - dolní výztuž v první vrstvě - As1-*



5.2.3.2.2. *Plochy - návrh - nutné plochy - dolní výztuž ve druhé vrstvě; As2-*

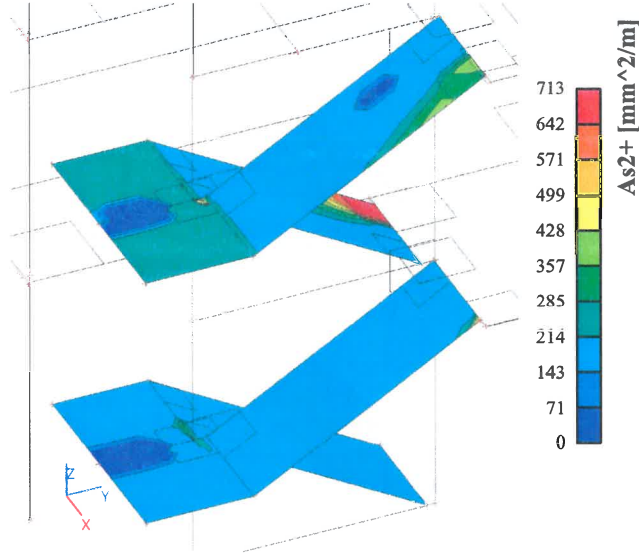


5.2.3.2.3. *Plochy - návrh - nutné plochy - horní výztuž v první vrstvě - As1+*



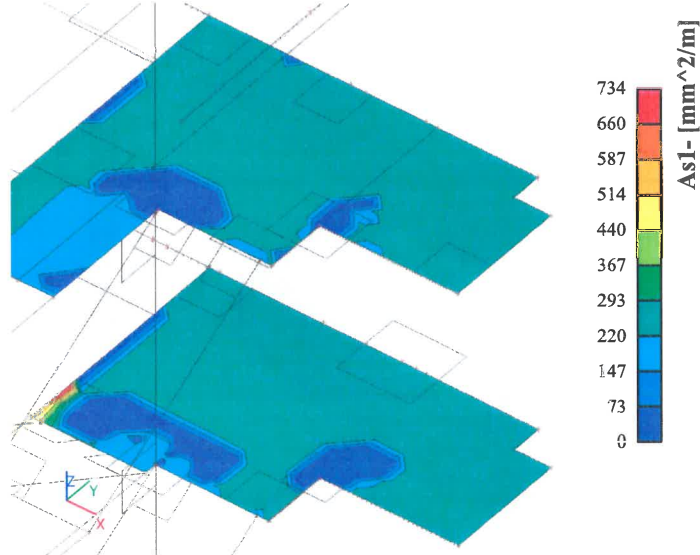


5.2.3.2.4. Plochy - návrh - nutné plochy - horní výztuž ve druhé vrstvě - As1-

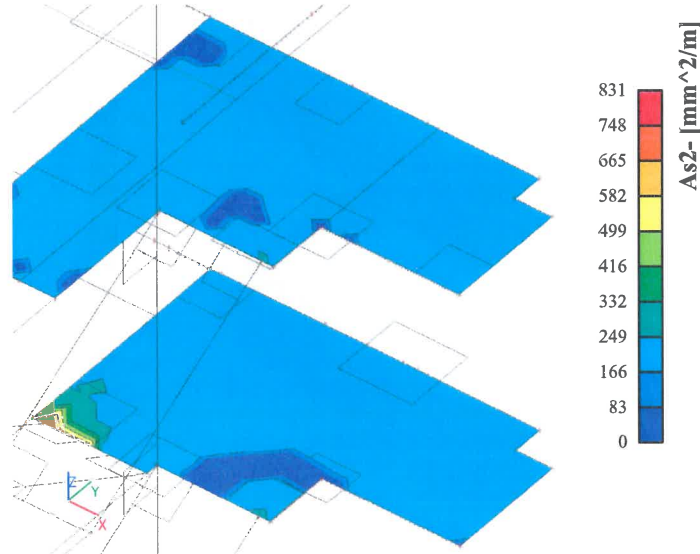


5.2.3.3. Podestové desky schodiště nad 1.NP a 2.NP

5.2.3.3.1. Plochy - návrh - nutné plochy - dolní výztuž v první vrstvě - As1-

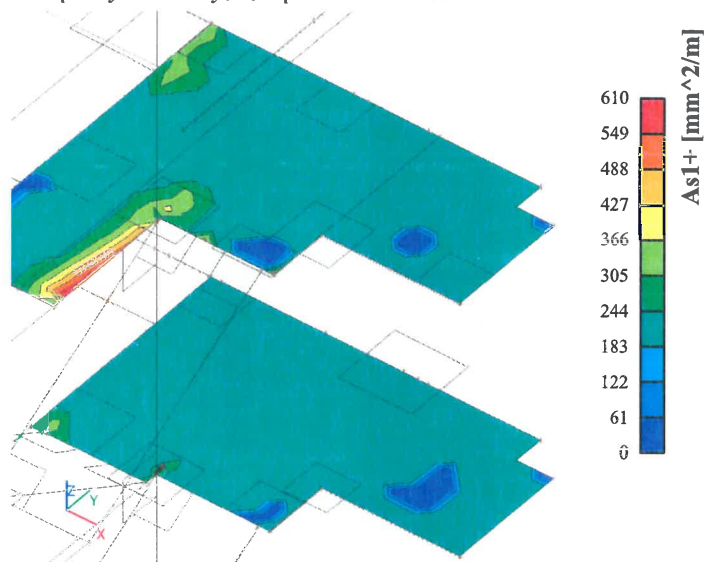


5.2.3.3.2. Plochy - návrh - nutné plochy - dolní výztuž ve druhé vrstvě; As2-

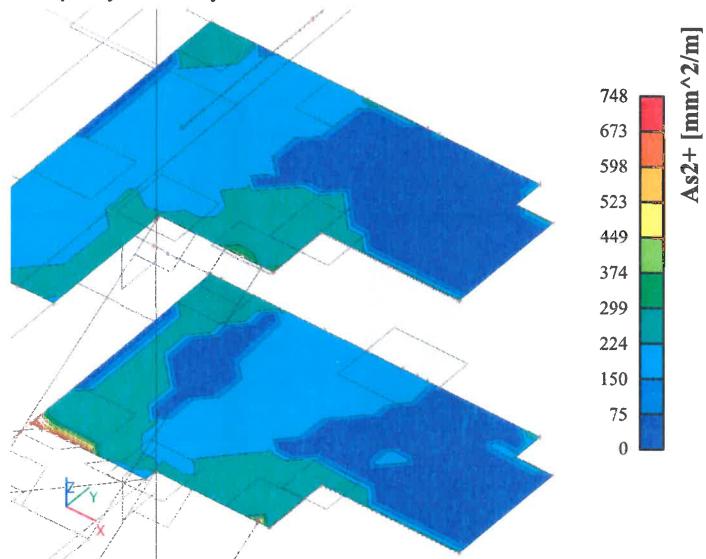




5.2.3.3.3. Plochy - návrh - nutné plochy - horní výztuž v první vrstvě - As1+

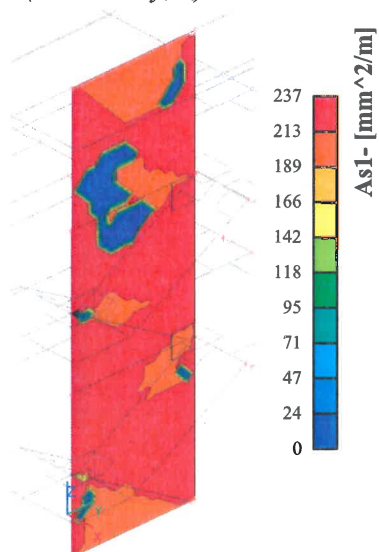


5.2.3.3.4. Plochy - návrh - nutné plochy - horní výztuž ve druhé vrstvě - As1-



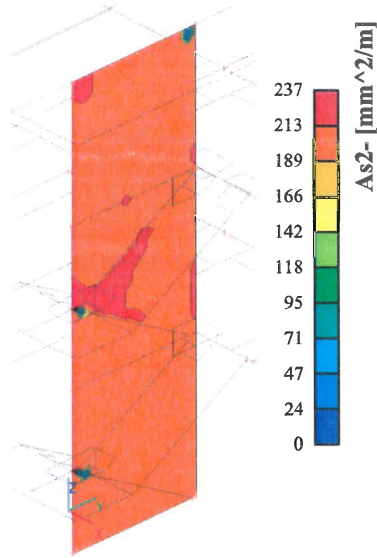
5.2.3.4. Schodišťová stěna

5.2.3.4.1. Plochy - návrh - nutné plochy; As1- (vodorovná výztuž)

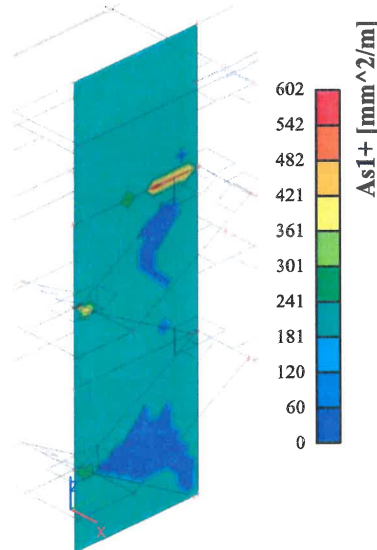




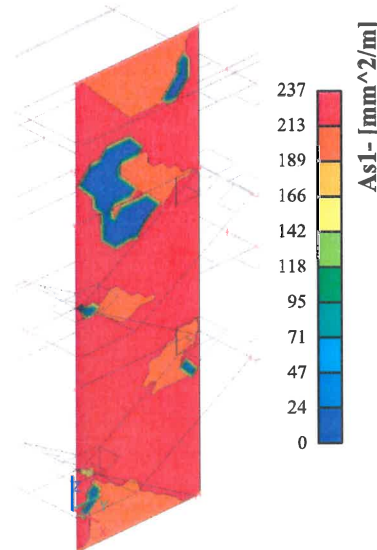
5.2.3.4.2. Plochy - návrh - nutné plochy; As2- (svislá výztuž)



5.2.3.4.3. Plochy - návrh - nutné plochy; As1+ (vodorovná výztuž)



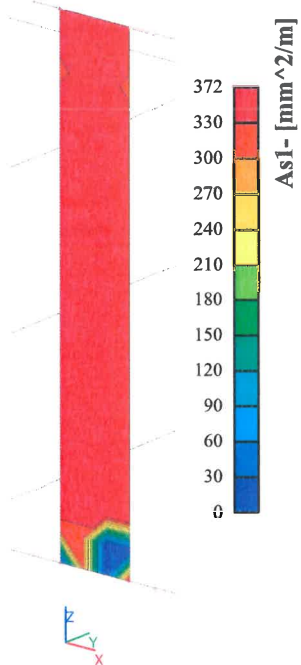
5.2.3.4.4. Plochy - návrh - nutné plochy; As2+ (svislá výztuž)



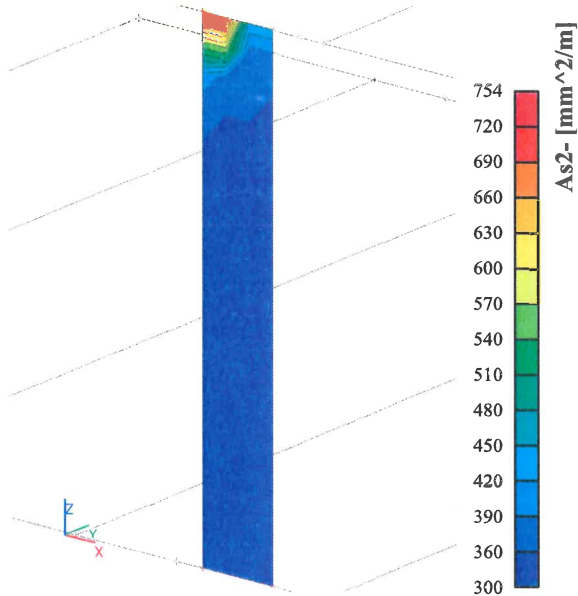


5.2.3.5. Meziokenní pilíř

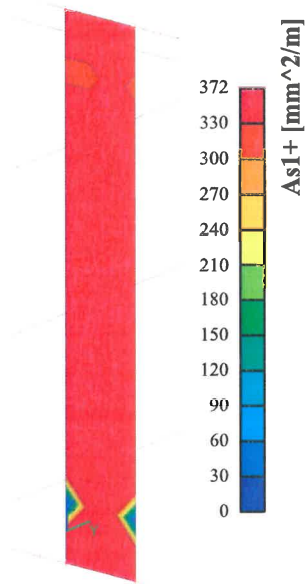
5.2.3.5.1. Plochy - návrh - nutné plochy; As1 (vnější vodorovná)



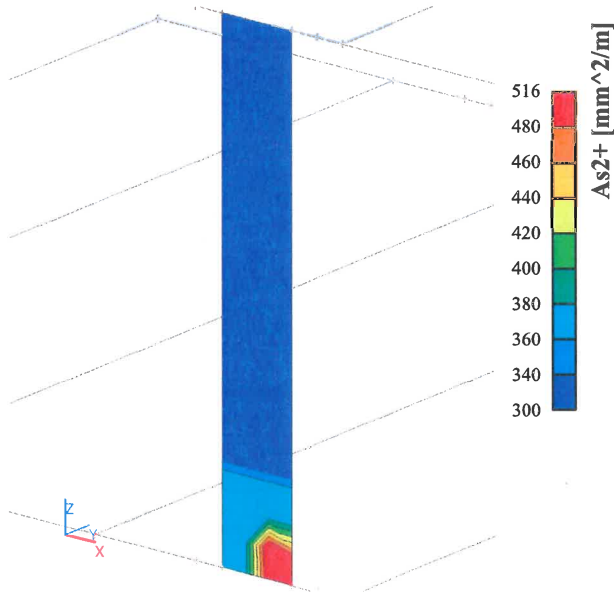
5.2.3.5.2. Plochy - návrh - nutné plochy; As2- (vnější svislá)



5.2.3.5.3. Plochy - návrh - nutné plochy; As1 (vnitřní vodorovná)



5.2.3.5.4. Plochy - návrh - nutné plochy; As2+ (vnitřní svislá)





STATICKÝ VÝPOČET

BETONOVÉ KONSTRUKCE
DOKUMENTACE PRO PROVEDENÍ STAVBY

AKCE:

ROZŠÍŘENÍ INFRASTRUKTURY
CENTRA INTEMAC

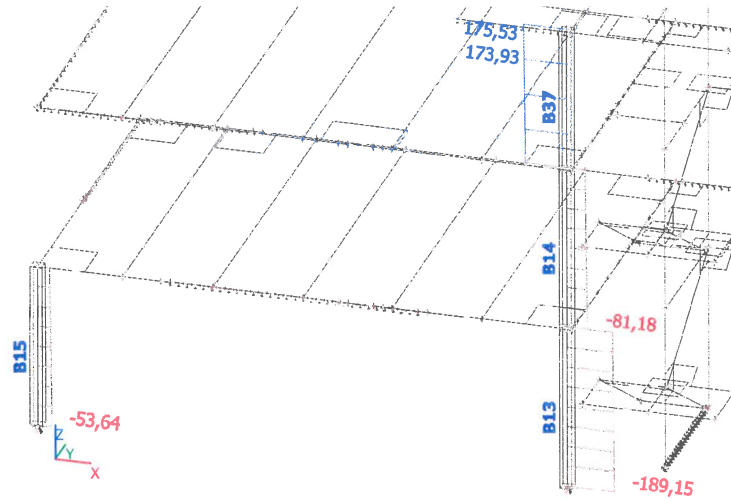
ARCH.Č.: 1917-02

List : 48

5.2.4. Vnitřní síly v nosnících, žebrech a sloupech

5.2.4.1. Sloupy S1 a S2

5.2.4.1.1. Vnitřní síly na prutu; N



5.2.4.1.2. Vnitřní síly na prutu

Lineární výpočet, Extrém : Lokální, Systém : Hlavní, Žebro / integrační pás

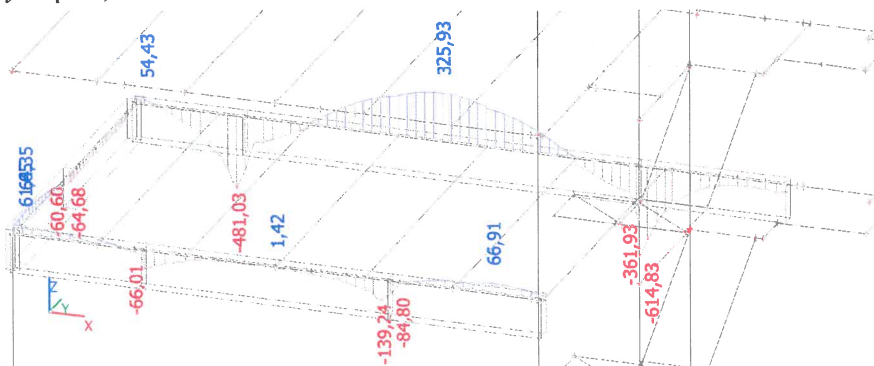
Výběr : B13, B14, B15, B37

Kombinace : MSU-ze všech ZS

Dílec	css	dx [m]	Stav	N [kN]	Vy [kN]	Vz [kN]	Mx [kNm]	My [kNm]	Mz [kNm]
B13	CS2 - Obdélník	0,000	MSU-ze všech ZS/4	-189,15	1,27	-0,11	0,00	0,00	0,00
B13	CS2 - Obdélník	0,000	MSU-ze všech ZS/1	-174,50	1,30	-0,08	0,00	0,00	0,00
B13	CS2 - Obdélník	0,000	MSU-ze všech ZS/22	-180,33	1,15	-0,11	0,00	0,00	0,00
B13	CS2 - Obdélník	3,540	MSU-ze všech ZS/22	-173,01	1,15	-0,11	0,00	-0,40	4,07
B13	CS2 - Obdélník	3,540	MSU-ze všech ZS/1	-167,18	1,30	-0,08	0,00	-0,27	4,60
B14	CS2 - Obdélník	0,000	MSU-ze všech ZS/4	-81,18	4,36	1,10	0,05	-0,96	-8,05
B14	CS2 - Obdélník	0,000	MSU-ze všech ZS/1	-64,57	4,00	0,73	0,06	-0,64	-7,80
B14	CS2 - Obdélník	0,000	MSU-ze všech ZS/3	-76,57	4,30	1,07	0,05	-0,96	-7,96
B14	CS2 - Obdélník	3,540	MSU-ze všech ZS/4	-73,86	4,36	1,10	0,05	2,92	7,37
B15	CS2 - Obdélník	0,000	MSU-ze všech ZS/9	-53,64	1,83	0,50	0,01	-1,34	-4,02
B15	CS2 - Obdélník	0,000	MSU-ze všech ZS/8	-53,46	1,84	0,50	0,01	-1,34	-4,01
B15	CS2 - Obdélník	0,000	MSU-ze všech ZS/23	-52,55	1,79	0,50	0,01	-1,31	-3,94
B15	CS2 - Obdélník	0,000	MSU-ze všech ZS/13	-29,28	1,08	0,22	0,01	-0,73	-2,20
B15	CS2 - Obdélník	3,540	MSU-ze všech ZS/23	-46,32	1,79	0,50	0,01	0,47	2,39
B15	CS2 - Obdélník	3,540	MSU-ze všech ZS/8	-46,14	1,84	0,50	0,01	0,42	2,50
B37	CS2 - Obdélník	0,000	MSU-ze všech ZS/4	169,13	8,60	-1,43	0,37	2,91	-11,33
B37	CS2 - Obdélník	0,000	MSU-ze všech ZS/24	126,28	7,49	-1,52	0,28	3,21	-9,31
B37	CS2 - Obdélník	0,000	MSU-ze všech ZS/16	148,57	7,98	-1,51	0,31	3,21	-10,12
B37	CS2 - Obdélník	3,090	MSU-ze všech ZS/4	175,53	8,60	-1,43	0,37	-1,52	15,25
B37	CS2 - Obdélník	3,090	MSU-ze všech ZS/10	153,24	8,11	-1,44	0,34	-1,54	14,53

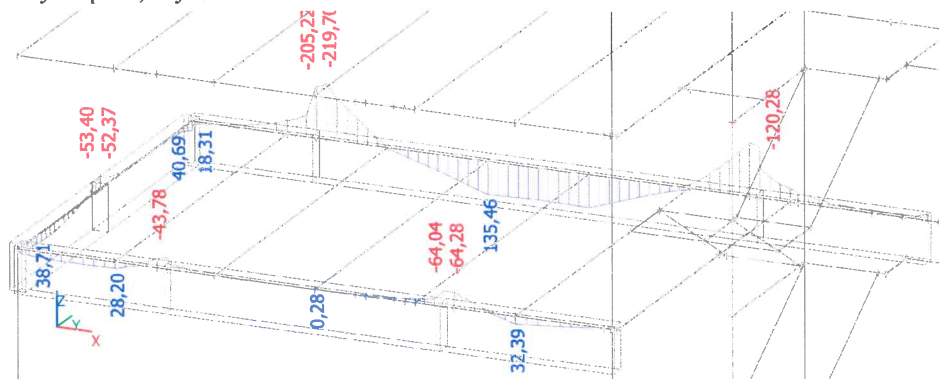
5.2.4.2. Obvodové nosníky stropu nad 1.NP - B2, B4 a B5

5.2.4.2.1. Vnitřní síly na prutu; N

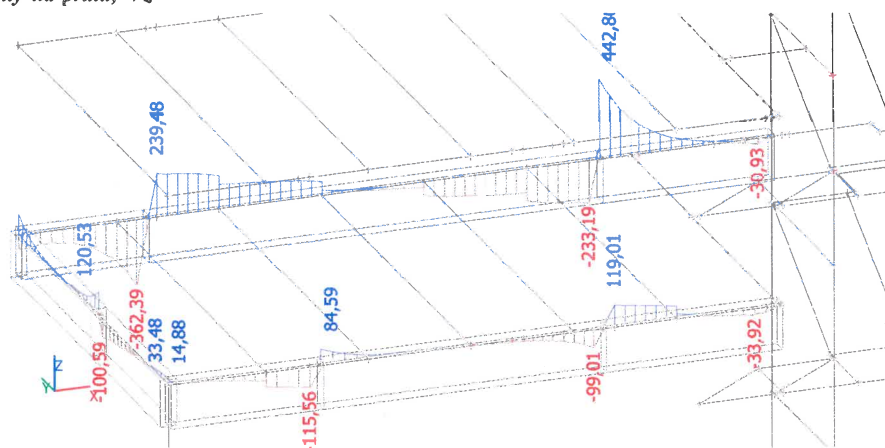




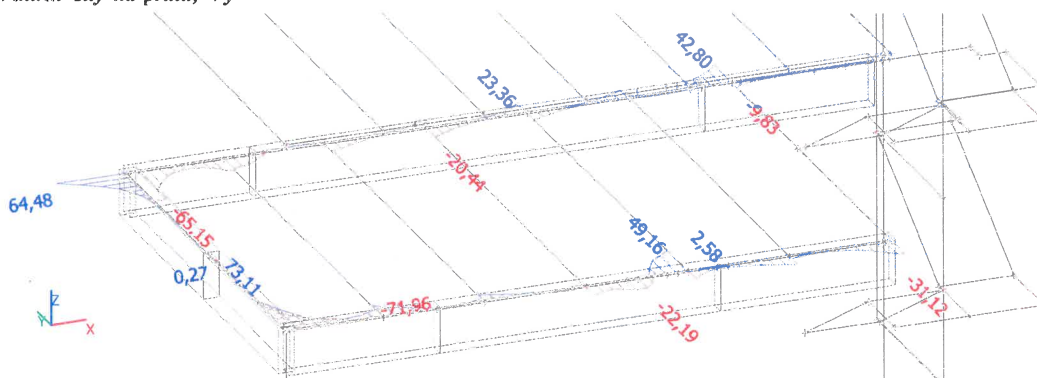
5.2.4.2.2. Vnitřní síly na prutu; M_y



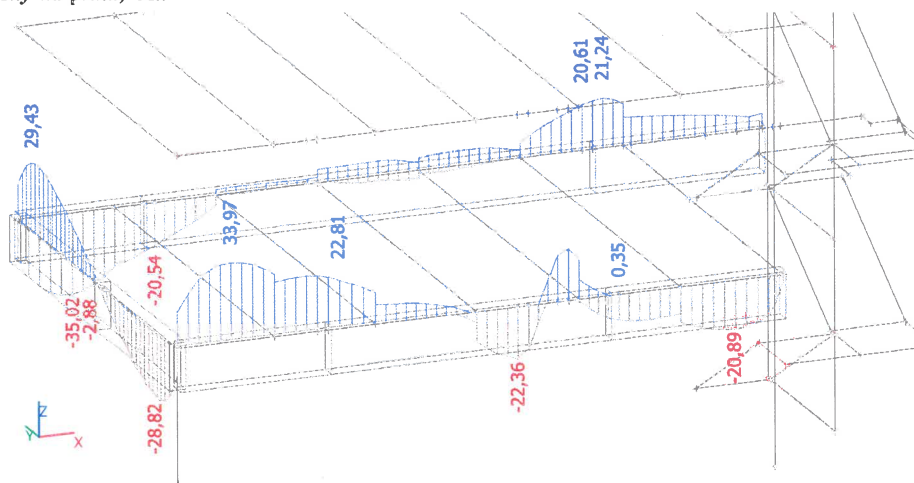
5.2.4.2.3. Vnitřní síly na prutu; V_z



5.2.4.2.4. Vnitřní síly na prutu; V_y

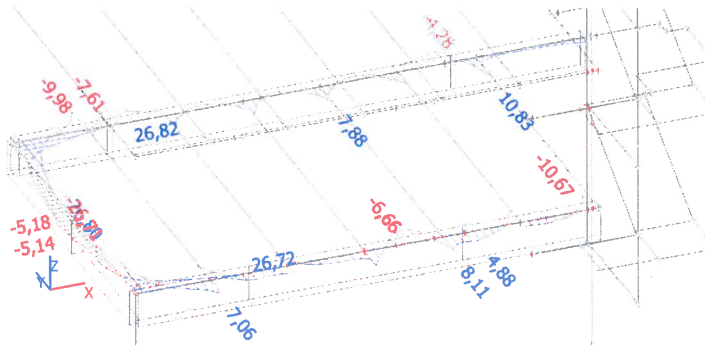


5.2.4.2.5. Vnitřní síly na prutu; M_x





5.2.4.2.6. *Vnitřní síly na prutu; Mz*



5.2.4.2.7. *Vnitřní síly na prutu*

Lineární výpočet, Extrém : Globální, Systém : Hlavní, Žebro / integrační pás
 Výběr : Pojmenovaný výběr - B2
 Kombinace : MSU-ze všech ZS

Dílec	css	dx [m]	Stav	N [kN]	Vy [kN]	Vz [kN]	Mx [kNm]	My [kNm]	Mz [kNm]
B25	CS4 - Obdélník	0,000	MSU-ze všech ZS/1	-614,83	19,30	442,86	20,51	-120,28	-4,16
B24	CS4 - Obdélník	4,205	MSU-ze všech ZS/1	325,93	0,23	-1,32	1,00	129,87	-1,42
B23	CS4 - Obdélník	0,000	MSU-ze všech ZS/2	54,43	-65,15	-79,99	-18,14	18,31	26,80
B25	CS4 - Obdélník	0,575	MSU-ze všech ZS/3	-258,47	42,80	190,64	17,72	-52,02	10,82
B23	CS4 - Obdélník	2,178	MSU-ze všech ZS/1	-481,03	-17,29	-362,39	-22,64	-86,52	-3,03
B23	CS4 - Obdélník	1,008	MSU-ze všech ZS/2	-70,78	-9,76	-87,33	-35,02	-12,59	-0,41
B25	CS4 - Obdélník	0,192	MSU-ze všech ZS/2	-473,54	24,01	342,42	21,24	-84,73	-0,38
B24	CS4 - Obdélník	0,200	MSU-ze všech ZS/1	-154,22	-1,46	239,48	-18,25	-219,70	-7,60
B24	CS4 - Obdélník	3,255	MSU-ze všech ZS/1	267,26	15,88	74,90	0,17	135,46	5,10
B23	CS4 - Obdélník	1,815	MSU-ze všech ZS/2	-279,65	-30,00	-213,64	-25,31	-54,86	-9,98

5.2.4.2.8. *Vnitřní síly na prutu*

Lineární výpočet, Extrém : Globální, Systém : Hlavní, Žebro / integrační pás
 Výběr : Pojmenovaný výběr - B4
 Kombinace : MSU-ze všech ZS

Dílec	css	dx [m]	Stav	N [kN]	Vy [kN]	Vz [kN]	Mx [kNm]	My [kNm]	Mz [kNm]
B18	CS4 - Obdélník	5,058	MSU-ze všech ZS/4	-139,24	-1,02	-99,01	-2,29	-25,04	4,22
B19	CS4 - Obdélník	2,188	MSU-ze všech ZS/1	66,91	-2,81	-14,44	-20,29	18,51	2,60
B19	CS4 - Obdélník	3,275	MSU-ze všech ZS/3	29,89	-31,12	12,73	-3,42	-1,72	-10,65
B17	CS4 - Obdélník	0,000	MSU-ze všech ZS/2	61,65	73,11	12,55	15,87	16,58	-26,71
B17	CS4 - Obdélník	2,620	MSU-ze všech ZS/2	-15,88	6,85	-115,56	23,85	-36,44	3,17
B19	CS4 - Obdélník	0,200	MSU-ze všech ZS/4	-8,52	-1,96	119,01	-7,15	-64,28	4,88
B18	CS4 - Obdélník	3,560	MSU-ze všech ZS/5	-14,44	-20,73	-5,84	-22,36	-2,56	-3,85
B17	CS4 - Obdélník	1,008	MSU-ze všech ZS/2	48,64	9,47	-14,37	33,97	27,57	1,06
B19	CS4 - Obdélník	1,355	MSU-ze všech ZS/1	50,41	-18,13	66,87	-11,37	32,39	-5,14
B18	CS4 - Obdélník	4,695	MSU-ze všech ZS/4	-80,27	49,16	-56,76	16,34	-15,69	8,11

5.2.4.2.9. *Vnitřní síly na prutu*

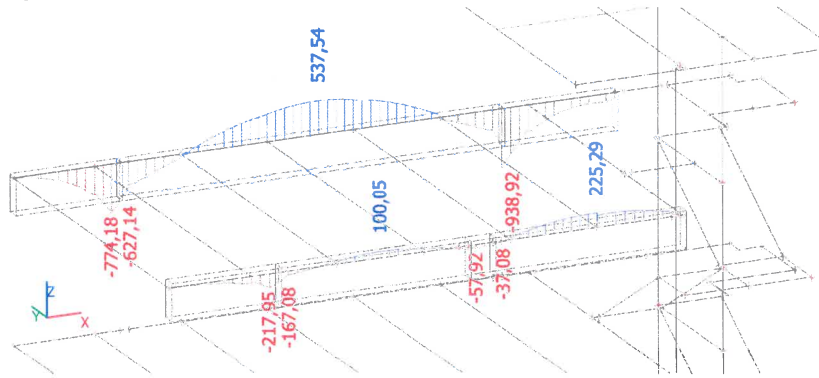
Lineární výpočet, Extrém : Globální, Systém : Hlavní, Žebro / integrační pás
 Výběr : Pojmenovaný výběr - B5
 Kombinace : MSU-ze všech ZS

Dílec	css	dx [m]	Stav	N [kN]	Vy [kN]	Vz [kN]	Mx [kNm]	My [kNm]	Mz [kNm]
B22	CS4 - Obdélník	0,000	MSU-ze všech ZS/1	-64,68	1,10	120,43	-2,88	-52,36	-5,18
B21	CS4 - Obdélník	1,006	MSU-ze všech ZS/1	64,35	-7,10	0,92	-28,71	37,76	-0,37
B21	CS4 - Obdélník	0,000	MSU-ze všech ZS/2	59,81	-71,96	31,06	-11,98	14,33	26,72
B22	CS4 - Obdélník	4,060	MSU-ze všech ZS/2	-3,52	64,48	112,44	15,27	40,69	26,82
B21	CS4 - Obdélník	3,420	MSU-ze všech ZS/1	-51,78	-1,45	-100,59	-6,30	-34,82	-4,91
B22	CS4 - Obdélník	0,000	MSU-ze všech ZS/4	-64,49	1,10	120,53	-2,87	-52,37	-5,17
B21	CS4 - Obdélník	1,006	MSU-ze všech ZS/2	63,49	-7,10	0,22	-28,82	36,81	-0,43
B22	CS4 - Obdélník	3,248	MSU-ze všech ZS/2	-45,44	12,39	27,90	29,43	7,90	1,83
B21	CS4 - Obdélník	3,620	MSU-ze všech ZS/4	-60,41	0,27	-2,53	-3,19	-53,40	-5,13

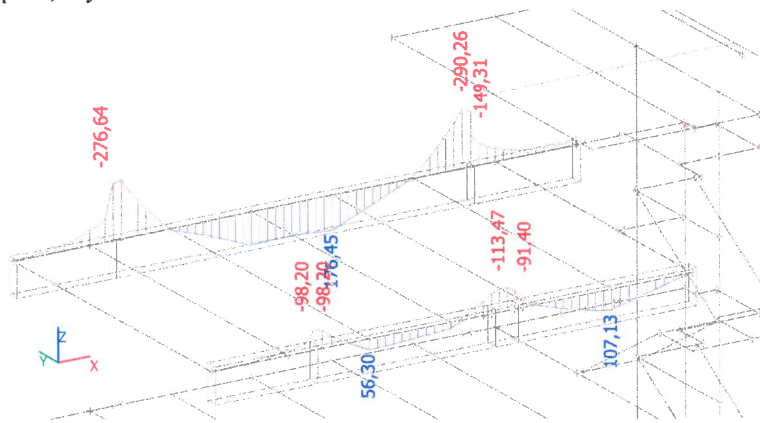


5.2.4.3. Obvodové nosníky stropu nad 2.NP - B1 a B3

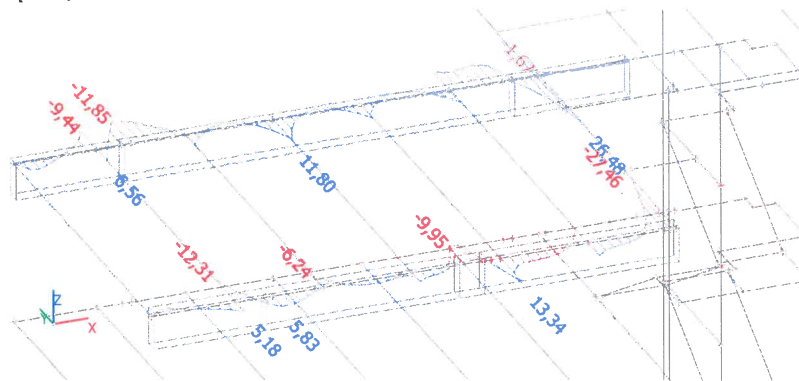
5.2.4.3.1. Vnitřní síly na prutu; N



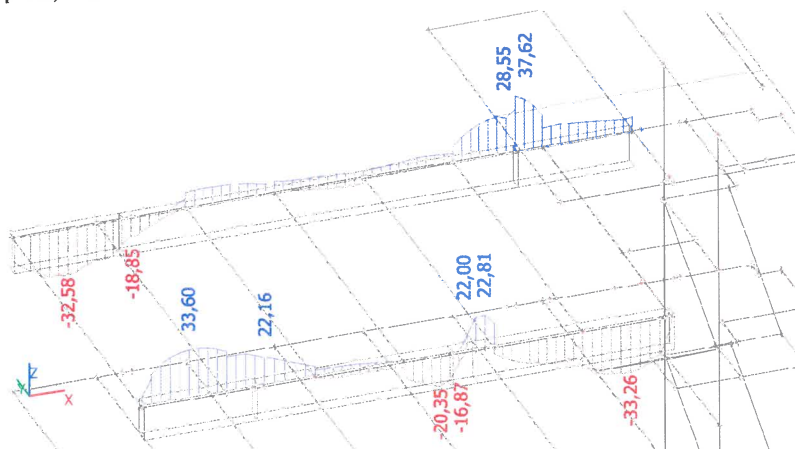
5.2.4.3.2. Vnitřní síly na prutu; My



5.2.4.3.3. Vnitřní síly na prutu; Mz



5.2.4.3.4. Vnitřní síly na prutu; Mx





STATICKÝ VÝPOČET

BETONOVÉ KONSTRUKCE
DOKUMENTACE PRO PROVEDENÍ STAVBY

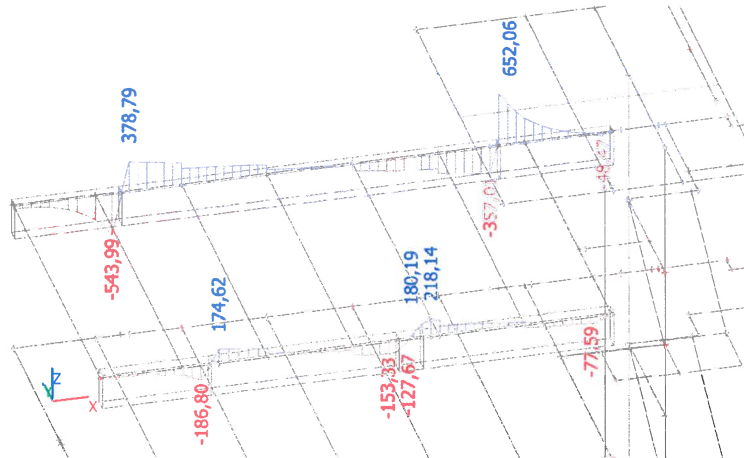
AKCE:

ROZŠÍŘENÍ INFRASTRUKTURY
CENTRA INTEMAC

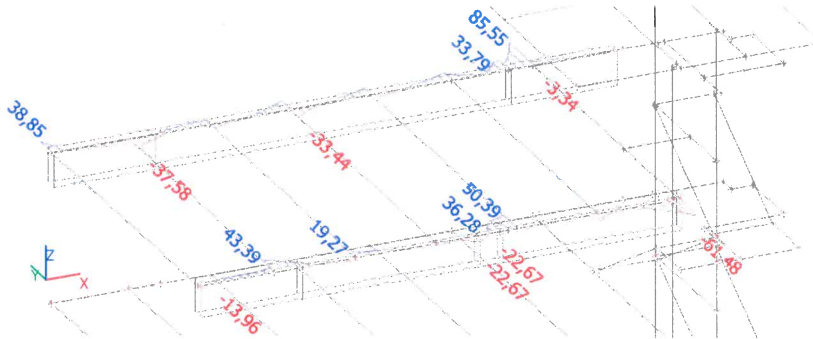
ARCH.Č.: 1917-02

List : 52

5.2.4.3.5. Vnitřní síly na prutu; Vz



5.2.4.3.6. Vnitřní síly na prutu; Vy



5.2.4.3.7. Vnitřní síly na prutu

Lineární výpočet, Extrém : Globální, Systém : Hlavní, Žebro / integrační pás

Výběr : Pojmenovaný výběr - B1

Kombinace : MSU-ze všech ZS

Dílec	css	dx [m]	Stav	N [kN]	Vy [kN]	Vz [kN]	Mx [kNm]	My [kNm]	Mz [kNm]
B33	CS6 - Obdélník	0,000	MSU-ze všech ZS/4	-938,92	15,76	652,06	37,62	-149,31	1,73
B32	CS6 - Obdélník	4,395	MSU-ze všech ZS/4	537,54	2,34	2,53	-1,43	165,90	-1,17
B31	CS6 - Obdélník	1,815	MSU-ze všech ZS/10	-419,71	-37,58	-312,30	-25,80	-68,41	6,48
B33	CS6 - Obdélník	0,575	MSU-ze všech ZS/4	-397,10	85,55	296,09	21,45	-65,30	26,48
B31	CS6 - Obdélník	2,178	MSU-ze všech ZS/4	-774,18	-22,21	-543,99	-25,15	-111,63	-2,95
B31	CS6 - Obdélník	1,210	MSU-ze všech ZS/4	-194,37	-11,91	-149,10	-32,58	-27,67	-0,89
B32	CS6 - Obdélník	8,200	MSU-ze všech ZS/4	-318,86	28,26	-357,01	23,25	-290,26	-8,37
B32	CS6 - Obdélník	5,155	MSU-ze všech ZS/4	468,63	-18,69	-97,60	0,60	176,45	5,39
B32	CS6 - Obdélník	0,200	MSU-ze všech ZS/4	-368,04	-11,04	378,79	-12,78	-287,61	-11,85

5.2.4.3.8. Vnitřní síly na prutu

Lineární výpočet, Extrém : Globální, Systém : Hlavní, Žebro / integrační pás

Výběr : Pojmenovaný výběr - B3

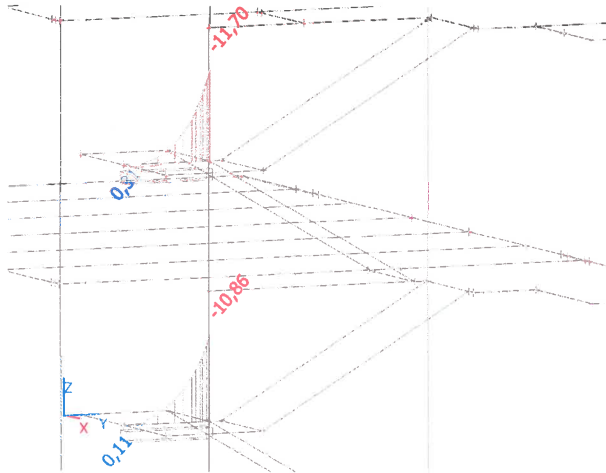
Kombinace : MSU-ze všech ZS

Dílec	css	dx [m]	Stav	N [kN]	Vy [kN]	Vz [kN]	Mx [kNm]	My [kNm]	Mz [kNm]
B27	CS6 - Obdélník	2,218	MSU-ze všech ZS/10	-217,95	25,53	-186,80	24,22	-41,57	-0,16
B30	CS6 - Obdélník	2,295	MSU-ze všech ZS/4	225,29	-25,48	35,73	-18,71	107,13	-7,23
B30	CS6 - Obdélník	4,215	MSU-ze všech ZS/4	59,39	-61,48	69,77	-4,47	12,56	-27,46
B30	CS6 - Obdélník	0,395	MSU-ze všech ZS/4	3,75	50,39	195,48	15,85	-7,92	13,34
B30	CS6 - Obdélník	0,200	MSU-ze všech ZS/4	-15,09	41,62	218,14	22,81	-46,47	5,11
B30	CS6 - Obdélník	3,336	MSU-ze všech ZS/4	156,38	-11,87	-69,55	-33,26	48,14	1,73
B27	CS6 - Obdélník	1,008	MSU-ze všech ZS/4	-30,63	7,14	-34,85	33,60	-5,84	0,36
B29	CS6 - Obdélník	0,180	MSU-ze všech ZS/4	-57,92	-9,86	-45,95	-3,61	-113,47	-9,95

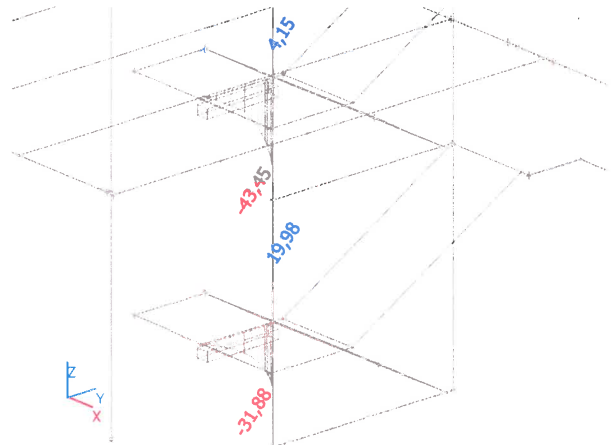


5.2.4.4. Nosníky mezipodest M1 a M2

5.2.4.4.1. Vnitřní síly na prutu; My



5.2.4.4.2. Vnitřní síly na prutu; Vz



5.2.4.4.3. Vnitřní síly na prutu - prvky M1 a M2

Lineární výpočet, Extrém : Globální, Systém : Hlavní, Žebro / integrační pás

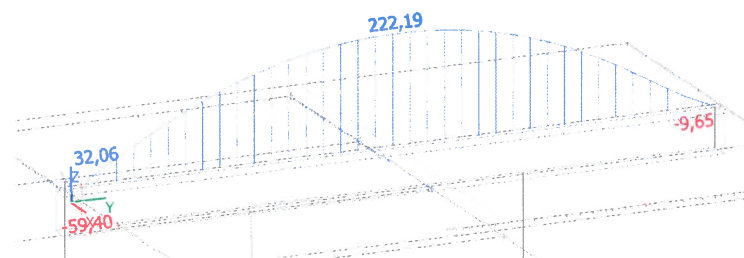
Výběr : B35,B36

Kombinace : MSU-ze všech ZS

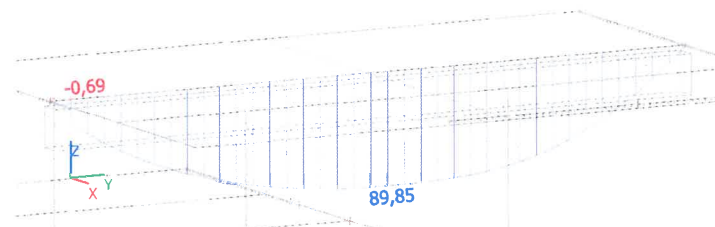
Dílec	css	dx [m]	Stav	N [kN]	Vy [kN]	Vz [kN]	Mx [kNm]	My [kNm]	Mz [kNm]
B36	CS7 - Obdélník	1,264	MSU-ze všech ZS/11	-12,73	0,28	-1,49	-1,66	-8,65	-1,86
B35	CS7 - Obdélník	1,234	MSU-ze všech ZS/12	22,68	-3,43	-24,38	-0,12	-8,08	-2,48
B35	CS7 - Obdélník	1,000	MSU-ze všech ZS/3	9,46	-8,50	-17,56	0,32	-5,47	-1,82
B36	CS7 - Obdélník	1,250	MSU-ze všech ZS/13	1,10	1,48	-26,55	-1,70	-11,20	-1,24
B36	CS7 - Obdélník	1,234	MSU-ze všech ZS/2	5,41	0,38	-43,45	-1,86	-10,15	-2,78
B35	CS7 - Obdélník	1,264	MSU-ze všech ZS/13	4,70	-0,34	19,98	-0,17	-10,82	-1,55
B36	CS7 - Obdélník	1,264	MSU-ze všech ZS/1	-0,47	0,94	-1,53	-2,36	-11,00	-2,21
B35	CS7 - Obdélník	1,188	MSU-ze všech ZS/11	-3,68	-4,18	-20,55	0,79	-6,56	-2,16
B36	CS7 - Obdélník	1,264	MSU-ze všech ZS/5	-1,26	1,20	3,99	-1,91	-11,70	-0,89
B36	CS7 - Obdélník	0,250	MSU-ze všech ZS/14	2,58	-2,71	-1,02	0,07	0,31	-0,16
B35	CS7 - Obdélník	1,234	MSU-ze všech ZS/15	11,43	-4,24	-31,88	0,37	-10,19	-3,04
B36	CS7 - Obdélník	0,000	MSU-ze všech ZS/14	-1,27	-0,33	1,45	0,02	0,04	0,06

5.2.4.5. Nosník střechy

5.2.4.5.1. Vnitřní síly na prutu; N



5.2.4.5.2. Vnitřní síly na prutu; My





STATICKÝ VÝPOČET

BETONOVÉ KONSTRUKCE
DOKUMENTACE PRO PROVEDENÍ STAVBY

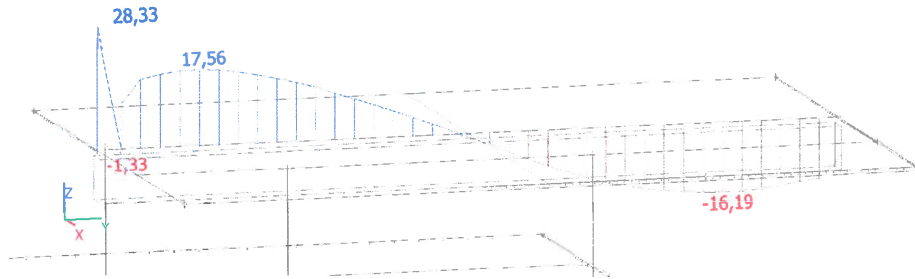
AKCE:

ROZŠÍŘENÍ INFRASTRUKTURY
CENTRA INTEMAC

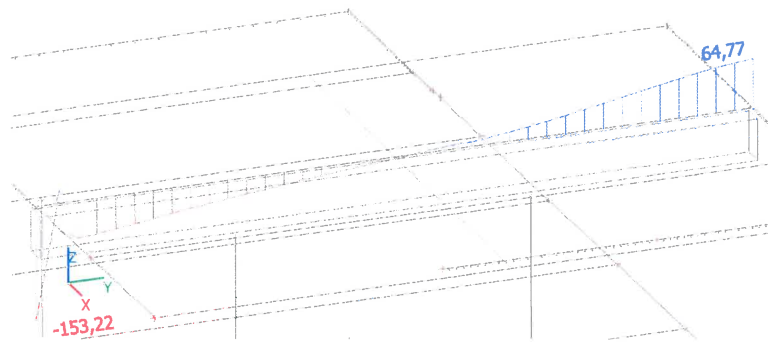
ARCH.Č.: 1917-02

List : 54

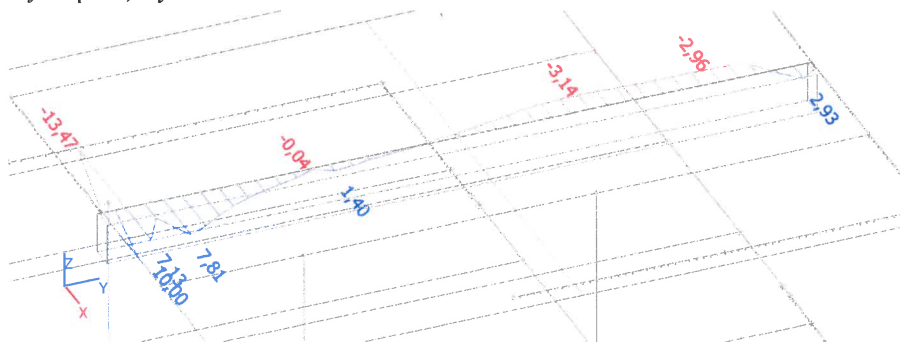
5.2.4.5.3. Vnitřní síly na prutu; Mx



5.2.4.5.4. Vnitřní síly na prutu; Vz



5.2.4.5.5. Vnitřní síly na prutu; Vy



5.2.4.5.6. Vnitřní síly na prutu - nosník N1

Lineární výpočet, Extrém : Globální, Systém : Hlavní, Žebro / integrační pás

Výběr : B38

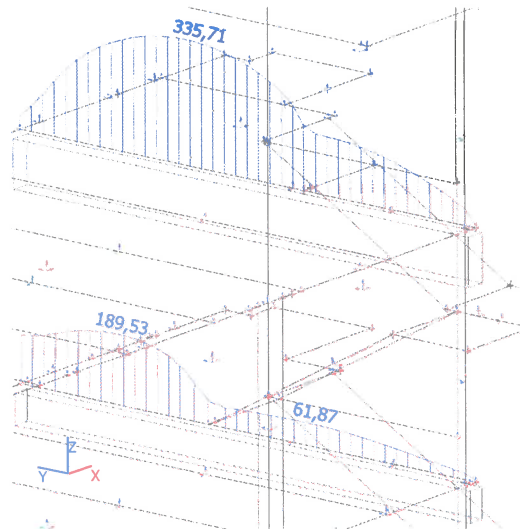
Kombinace : MSU-ze všech ZS

Dílec	css	dx [m]	Stav	N [kN]	Vy [kN]	Vz [kN]	Mx [kNm]	My [kNm]	Mz [kNm]
B38	CS1 - Obdélník	7,480	MSU-ze všech ZS/4	-59,40	-13,47	17,77	-1,04	8,06	-8,08
B38	CS1 - Obdélník	3,841	MSU-ze všech ZS/4	222,19	-0,81	-1,65	-1,00	89,68	-2,42
B38	CS1 - Obdélník	7,730	MSU-ze všech ZS/25	30,19	10,00	-122,98	21,96	-0,67	4,44
B38	CS1 - Obdélník	7,730	MSU-ze všech ZS/4	32,03	5,96	-153,22	28,33	-0,25	5,20
B38	CS1 - Obdélník	0,000	MSU-ze všech ZS/4	-9,65	1,03	64,77	-9,88	0,59	-1,03
B38	CS1 - Obdélník	1,213	MSU-ze všech ZS/4	104,54	-2,91	43,17	-16,19	59,38	-0,02
B38	CS1 - Obdélník	7,730	MSU-ze všech ZS/26	30,16	9,62	-123,60	22,19	-0,69	4,46
B38	CS1 - Obdélník	3,639	MSU-ze všech ZS/4	221,85	-1,24	0,48	-2,83	89,85	-2,38

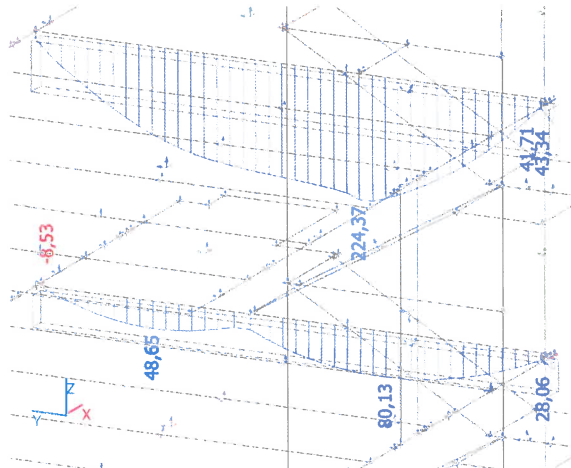


5.2.4.6. Trámy podél schodiště T5 a T2

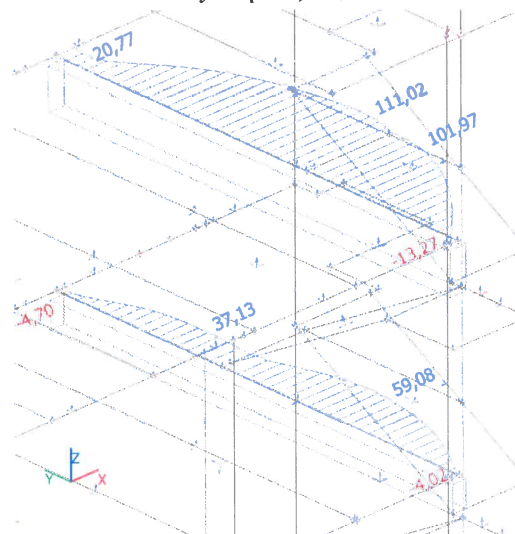
5.2.4.6.1. Vnitřní síly na prutu; N



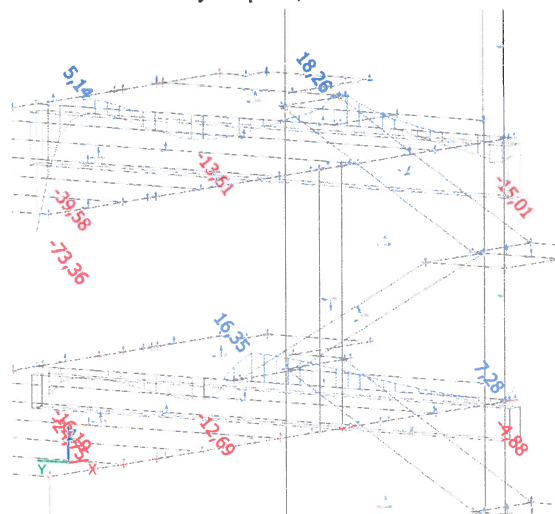
5.2.4.6.2. Vnitřní síly na prutu; My



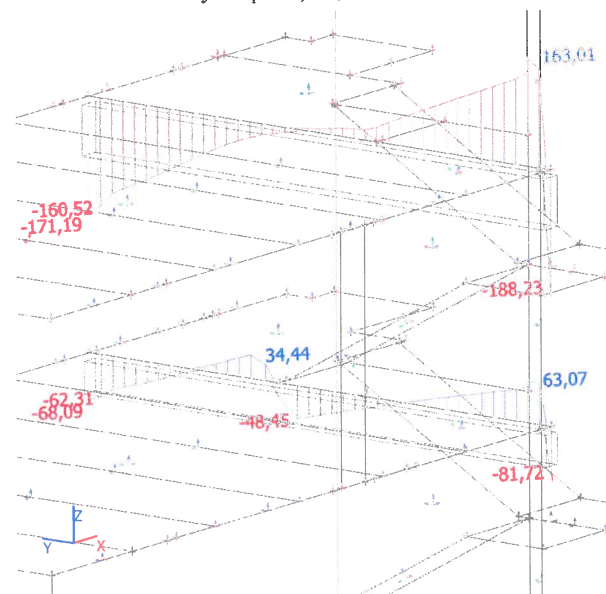
5.2.4.6.3. Vnitřní síly na prutu; Mz



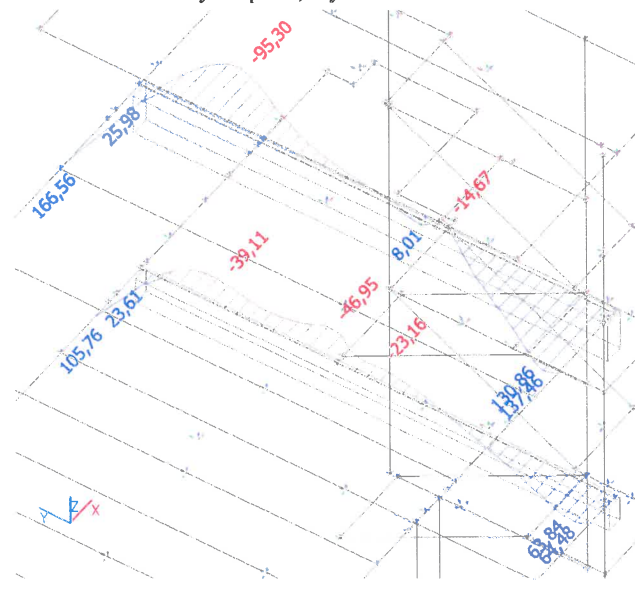
5.2.4.6.4. Vnitřní síly na prutu; Mx



5.2.4.6.5. Vnitřní síly na prutu; Vz



5.2.4.6.6. Vnitřní síly na prutu; Vy





STATICKÝ VÝPOČET

BETONOVÉ KONSTRUKCE
DOKUMENTACE PRO PROVEDENÍ STAVBY

AKCE:

ROZŠÍŘENÍ INFRASTRUKTURY
CENTRA INTEMAC

ARCH.Č.: 1917-02

List : 56

5.2.4.6.7. Vnitřní síly na prutu

Lineární výpočet, Extrém : Dílec, Systém : Hlavní, Žebro / integrační pás

Výběr : Pojmenovaný výběr - T2

Kombinace : MSU-ze všech ZS

Dílec	css	dx [m]	Stav	N [kN]	Vy [kN]	Vz [kN]	Mx [kNm]	My [kNm]	Mz [kNm]
B6	CS3 - Obdélník	0,000	MSU-ze všech ZS/20	2,05	63,58	-100,99	-6,03	20,16	-6,11
B6	CS3 - Obdélník	4,800	MSU-ze všech ZS/4	335,71	-21,73	-16,75	-12,59	192,70	101,60
B6	CS3 - Obdélník	6,720	MSU-ze všech ZS/4	218,32	-95,30	-110,60	-0,02	104,12	41,90
B6	CS3 - Obdélník	7,680	MSU-ze všech ZS/4	31,82	166,56	-171,19	-73,36	12,74	18,49
B6	CS3 - Obdélník	0,000	MSU-ze všech ZS/4	5,58	131,67	-188,23	-8,83	43,34	-13,27
B6	CS3 - Obdélník	0,384	MSU-ze všech ZS/4	60,94	130,06	163,01	-14,01	41,71	16,40
B6	CS3 - Obdélník	2,894	MSU-ze všech ZS/4	176,71	-14,67	21,56	18,26	224,37	101,66
B6	CS3 - Obdélník	0,192	MSU-ze všech ZS/21	21,34	61,22	76,08	-9,23	3,86	1,93
B6	CS3 - Obdélník	2,894	MSU-ze všech ZS/4	176,71	-14,67	21,56	18,26	224,37	101,66
B6	CS3 - Obdélník	3,648	MSU-ze všech ZS/4	288,43	-4,54	9,26	1,16	206,05	111,02

5.2.4.6.8. Vnitřní síly na prutu

Lineární výpočet, Extrém : Dílec, Systém : Hlavní, Žebro / integrační pás

Výběr : Pojmenovaný výběr - T5

Kombinace : MSU-ze všech ZS

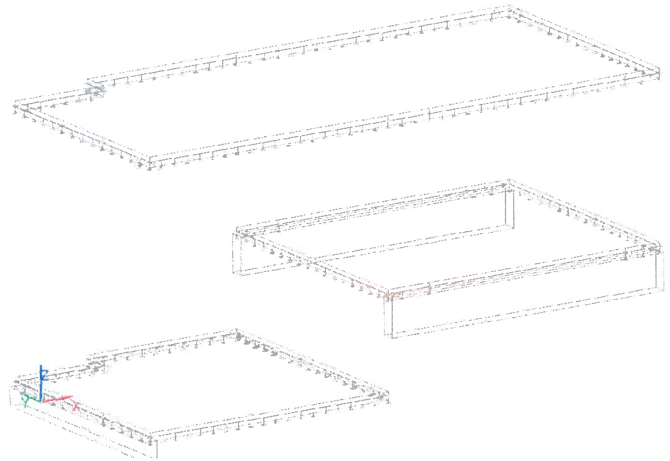
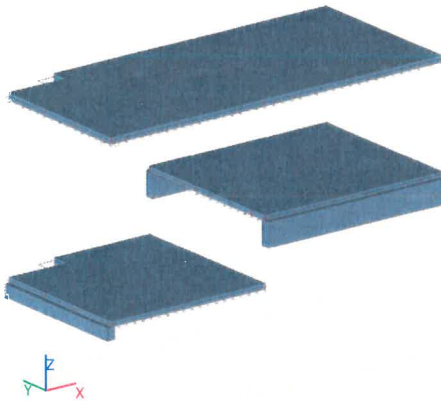
Dílec	css	dx [m]	Stav	N [kN]	Vy [kN]	Vz [kN]	Mx [kNm]	My [kNm]	Mz [kNm]
B7	CS1 - Obdélník	0,000	MSU-ze všech ZS/6	2,09	32,05	-48,41	3,31	15,07	-2,11
B7	CS1 - Obdélník	6,144	MSU-ze všech ZS/4	189,53	-29,02	-8,99	-7,02	47,23	34,29
B7	CS1 - Obdélník	4,992	MSU-ze všech ZS/4	139,94	-46,95	34,44	-12,18	32,86	35,18
B7	CS1 - Obdélník	7,680	MSU-ze všech ZS/1	129,15	105,76	-68,09	-24,75	-7,03	-0,84
B7	CS1 - Obdélník	0,000	MSU-ze všech ZS/7	4,18	56,50	-81,72	6,27	25,09	-3,71
B7	CS1 - Obdélník	0,384	MSU-ze všech ZS/7	19,72	60,39	63,07	-4,74	21,01	13,66
B7	CS1 - Obdélník	4,224	MSU-ze všech ZS/8	50,22	-19,82	-48,25	16,35	40,28	33,01
B7	CS1 - Obdélník	7,680	MSU-ze všech ZS/8	121,70	90,50	-62,08	-23,46	-8,53	-3,94
B7	CS1 - Obdélník	2,496	MSU-ze všech ZS/1	60,51	5,21	-1,54	8,05	80,13	59,08
B7	CS1 - Obdélník	7,680	MSU-ze všech ZS/9	116,34	82,05	-58,22	-22,72	-8,36	-4,70



6. STROPNÍ DESKY PŘÍSTAVKU SKLADU A STROJOVNY VZT

6.1. Vstupní údaje

6.1.1. Výpočtový model



6.1.2. Vlastnosti a geometrie konstrukce

6.1.2.1. Materiály

Jméno	Typ	ρ [kg/m ³]	Hustota v čerstvém stavu [kg/m ³]	E_{mod} [MPa]	μ	α [m/mK]	$f_{c,k,28}$ [MPa]	Barva
C25/30	Beton	2500,0	2600,0	3,1500e+04	0,2	0,00	25,00	■

Vysvětlivky symbolů

Hustota v čerstvém stavu	Hodnota hustoty v čerstvém stavu se použije pouze v případě, že je zadána spřažená deska a její vlastní tíha se zohledňuje.
--------------------------	---

Výztuž EC2

Jméno	Typ	ρ [kg/m ³]	E_{mod} [MPa]	G_{mod} [MPa]	α [m/mK]	$f_{y,k}$ [MPa]
B 500B	Výztužná ocel	7850,0	2,0000e+05	8,3333e+04	0,00	500,0

6.1.2.2. Průřezy

Jméno	Typ Detailní	Materiál	Výroba	A [m ²]	A _y [m ²]	I _y [m ⁴]	W _{el,y} [m ³]	W _{pl,y} [m ³]	Barva
					A _z [m ²]	I _z [m ⁴]	W _{el,z} [m ³]	W _{pl,z} [m ³]	
CS1	Obdélník 800; 300	C25/30	beton	2,4000e-01	2,0000e-01	1,2800e-02	3,2000e-02	0,0000e+00	■
					2,0000e-01	1,8000e-03	1,2000e-02	0,0000e+00	
CS2	Obdélník 400; 300	C25/30	beton	1,2000e-01	1,0000e-01	1,6000e-03	8,0000e-03	0,0000e+00	■
					1,0000e-01	9,0000e-04	6,0000e-03	0,0000e+00	

6.1.2.3. Uzly

Jméno	Souř. X [m]	Souř. Y [m]	Souř. Z [m]
N1	0,000	0,000	3,380
N2	5,700	0,000	5,500
N3	5,700	0,650	5,500
N4	5,700	3,300	5,500
N5	5,700	5,600	5,500
N6	2,140	5,600	3,380
N7	2,140	5,000	3,380
N8	0,000	5,000	3,380
N9	0,000	3,250	3,380
N10	0,000	1,750	3,380
N11	6,700	5,600	5,500
N12	11,400	5,600	5,500
N13	12,250	5,600	5,500

Jméno	Souř. X [m]	Souř. Y [m]	Souř. Z [m]
N14	12,250	4,450	5,500
N15	12,250	2,450	5,500
N16	12,250	0,000	5,500
N17	11,400	0,000	5,500
N18	6,700	0,000	5,500
N19	6,700	0,000	5,500
N20	6,700	0,000	5,500
N21	6,700	0,000	5,500
N22	6,700	0,000	5,500
N23	12,250	0,000	9,100
N24	11,400	0,000	9,100
N25	6,700	0,000	9,100
N26	5,700	0,000	9,100
N27	0,000	0,000	9,100
N28	0,000	1,750	9,100
N29	0,000	3,250	9,100
N30	0,000	5,000	9,100

Jméno	Souř. X [m]	Souř. Y [m]	Souř. Z [m]
N31	2,140	5,000	9,100
N32	2,140	5,600	9,100
N33	5,700	5,600	9,100
N34	6,700	5,600	9,100
N35	11,400	5,600	9,100
N36	12,250	5,600	9,100
N37	12,250	4,450	9,100
N38	12,250	2,450	9,100
N39	5,700	0,000	3,380
N40	5,700	0,650	3,380
N41	5,700	3,300	3,380
N42	5,700	5,600	3,380



STATICKÝ VÝPOČET

BETONOVÉ KONSTRUKCE
DOKUMENTACE PRO PROVEDENÍ STAVBY

AKCE:

ROZŠÍŘENÍ INFRASTRUKTURY
CENTRA INTEMAC

ARCH.Č.: 1917-02

List : 58

6.1.2.4. Prvky

Jméno	Průřez	Materiál	Délka [m]	Poč. uzel	Konc. uzel	Typ
B1	CS1 - Obdélník (800; 300)	C25/30	6,550	N2	N16	žebro desky (92)
B2	CS1 - Obdélník (800; 300)	C25/30	6,550	N13	N5	žebro desky (92)
B3	CS2 - Obdélník (400; 300)	C25/30	5,000	N8	N1	žebro desky (92)

6.1.2.5. Plochy

Jméno	Vrstva	Typ	Výpočtový model	Materiál	Typ tloušťky	Tl. [mm]
S1	Vrstva1	deska (90)	Standard	C25/30	konstantní	180
S2	Vrstva1	deska (90)	Standard	C25/30	konstantní	180
S3	Vrstva1	deska (90)	Standard	C25/30	konstantní	220

6.1.2.6. Podpora hrany plochy

Jméno	Plocha Hrana	Poč Souř.	Poz x ₁ Poz x ₂	X	Y	Z	Rx	Ry	Rz
Sle1	S2 12	Od počátku Rela	0,000 1,000	Volný	Volný	Tuhý	Volný	Volný	Volný
Sle2	S1 2	Od počátku Rela	0,000 1,000	Tuhý	Volný	Tuhý	Volný	Volný	Volný
Sle3	S1 3	Od počátku Rela	0,000 1,000	Tuhý	Volný	Tuhý	Volný	Volný	Volný
Sle4	S1 4	Od počátku Rela	0,000 1,000	Tuhý	Volný	Tuhý	Volný	Volný	Volný
Sle5	S1 5	Od počátku Rela	0,000 1,000	Volný	Tuhý	Tuhý	Volný	Volný	Volný
Sle6	S1 7	Od počátku Rela	0,000 1,000	Volný	Tuhý	Tuhý	Volný	Volný	Volný
Sle7	S1 6	Od počátku Rela	0,000 1,000	Volný	Volný	Tuhý	Volný	Volný	Volný
Sle8	S1 8	Od počátku Rela	0,000 1,000	Volný	Volný	Tuhý	Volný	Volný	Volný
Sle10	S1 1	Od počátku Rela	0,000 1,000	Volný	Volný	Tuhý	Volný	Volný	Volný
Sle11	S1 10	Od počátku Rela	0,000 1,000	Volný	Volný	Tuhý	Volný	Volný	Volný
Sle12	S2 10	Od počátku Rela	0,000 1,000	Volný	Volný	Tuhý	Volný	Volný	Volný
Sle13	S2 9	Od počátku Rela	0,000 1,000	Volný	Volný	Tuhý	Volný	Volný	Volný
Sle14	S2 8	Od počátku Rela	0,000 1,000	Volný	Volný	Tuhý	Volný	Volný	Volný
Sle15	S2 6	Od počátku Rela	0,000 1,000	Tuhý	Volný	Tuhý	Volný	Volný	Volný
Sle16	S2 7	Od počátku Rela	0,000 1,000	Volný	Volný	Tuhý	Volný	Volný	Volný
Sle17	S2 4	Od počátku Rela	0,000 1,000	Volný	Volný	Tuhý	Volný	Volný	Volný
Sle18	S3 1	Od počátku Rela	0,000 1,000	Volný	Volný	Tuhý	Volný	Volný	Volný
Sle19	S3 2	Od počátku Rela	0,000 1,000	Volný	Volný	Tuhý	Volný	Volný	Volný
Sle20	S3 3	Od počátku Rela	0,000 1,000	Volný	Volný	Tuhý	Volný	Volný	Volný
Sle21	S3 4	Od počátku Rela	0,000 1,000	Volný	Volný	Tuhý	Volný	Volný	Volný
Sle22	S3 5	Od počátku Rela	0,000 1,000	Volný	Volný	Tuhý	Volný	Volný	Volný
Sle23	S3 6	Od počátku Rela	0,000 1,000	Volný	Volný	Tuhý	Volný	Volný	Volný
Sle24	S3 7	Od počátku Rela	0,000 1,000	Volný	Volný	Tuhý	Volný	Volný	Volný
Sle25	S3 8	Od počátku Rela	0,000 1,000	Volný	Volný	Tuhý	Volný	Volný	Volný
Sle26	S3 9	Od počátku Rela	0,000 1,000	Volný	Volný	Tuhý	Volný	Volný	Volný



Jméno	Plocha Hrana	Poč Souř.	Poz x ₁ Poz x ₂	X	Y	Z	Rx	Ry	Rz
Sle27	S3 10	Od počátku Rela	0,000 1,000	Volný	Volný	Tuhý	Volný	Volný	Volný
Sle28	S3 11	Od počátku Rela	0,000 1,000	Volný	Volný	Tuhý	Volný	Volný	Volný
Sle29	S3 12	Od počátku Rela	0,000 1,000	Volný	Volný	Tuhý	Volný	Volný	Volný
Sle30	S3 13	Od počátku Rela	0,000 1,000	Volný	Volný	Tuhý	Volný	Volný	Volný
Sle31	S3 14	Od počátku Rela	0,000 1,000	Volný	Volný	Tuhý	Volný	Volný	Volný
Sle32	S3 15	Od počátku Rela	0,000 1,000	Volný	Volný	Tuhý	Volný	Volný	Volný
Sle33	S3 16	Od počátku Rela	0,000 1,000	Volný	Volný	Tuhý	Volný	Volný	Volný
Sle34	S2 2	Od počátku Rela	0,000 1,000	Volný	Volný	Tuhý	Volný	Volný	Volný
Sle35	S2 3	Od počátku Rela	0,000 1,000	Volný	Volný	Tuhý	Volný	Volný	Volný
Sle36	S2 1	Od počátku Rela	0,000 1,000	Volný	Volný	Tuhý	Volný	Volný	Volný

6.1.3. Zatížení

6.1.3.1. Skupiny zatížení

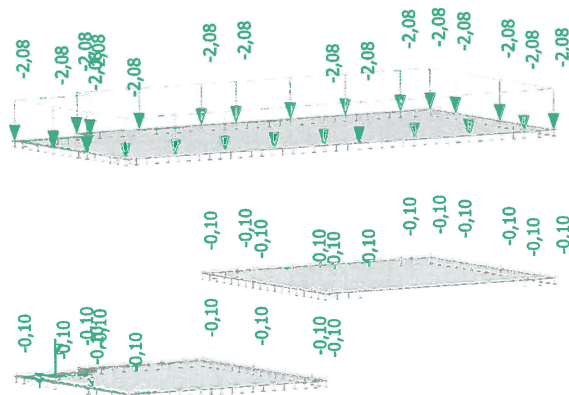
Jméno	Zatížení	Vztah	Typ
SZ1	Stálé		
SZ2	Proměnné	Standard	Sníh
SZ3	Proměnné	Výběrová	Kat E : sklady

6.1.3.2. Zatěžovací stavy

Jméno	Popis Spec	Typ působení Typ zatížení	Skupina zatížení	Směr	Působení	Řídící zat. stav
ZS1	vlastní tíha	Stálé Vlastní tíha	SZ1	-Z		
ZS2	podlahy, střecha..	Stálé Standard	SZ1			
ZS3	stěny	Stálé Standard	SZ1			
ZS4	přítížení z horních podlaží	Stálé Standard	SZ1			
ZS5	sníh Standard	Proměnné Statické	SZ2		Krátkodobé	Žádný
ZS6	užitné Standard	Proměnné Statické	SZ3		Krátkodobé	Žádný

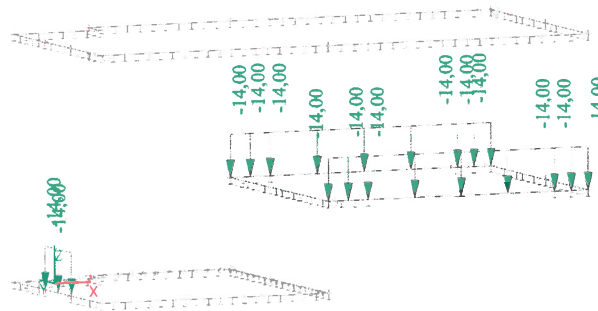
6.1.3.3. Schémata zatížení v zatěžovacích stavech

6.1.3.3.1. ZS2-podlahy, střecha...



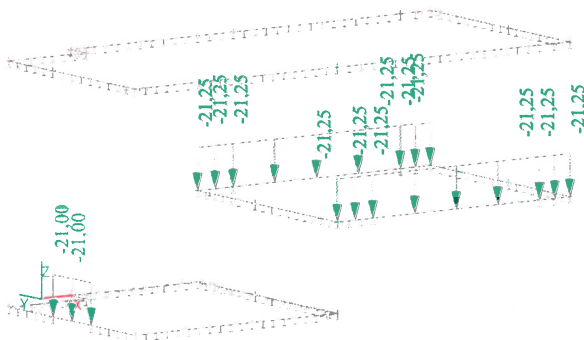


6.1.3.3.2. ZS3 - Stěny a příčky

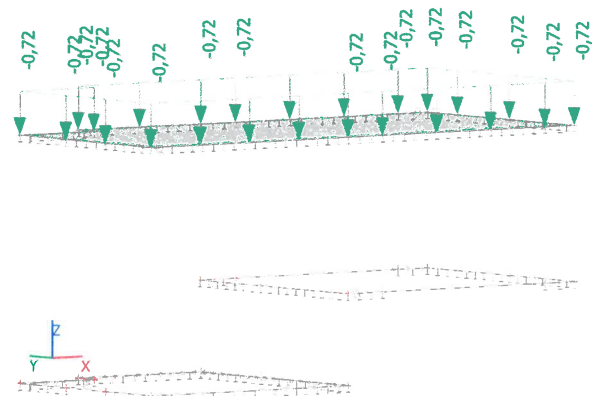


Poznámka: Uvažováno (modelováno) zatížení pouze od stěn nad otvory

6.1.3.3.3. ZS4 - stálé přetížení z horních podlaží

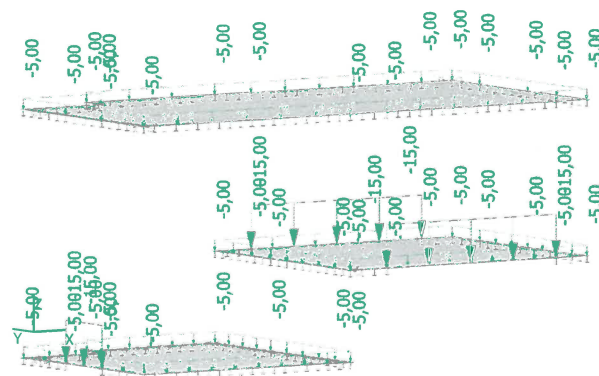


6.1.3.3.4. ZS5 - sníh na střeše



Poznámka: Od stěn a stropu z vyšších podlaží

6.1.3.3.5. ZS6 - užité zatížení



6.1.3.4. Kombinace

Jméno	Popis	Typ	Zatěžovací stavy	Souč. [-]
MSU		EN-MSÚ (STR/GEO) Soubor B	ZS1 - vlastní tíha	1,00
			ZS2 - podlahy, střecha..	1,00
			ZS3 - stěny	1,00
			ZS4 - přetížení z horních podlaží	1,00
			ZS5 - sníh	1,00
			ZS6 - užité	1,00
MSP		EN-MSP častá	ZS1 - vlastní tíha	1,00
			ZS2 - podlahy, střecha..	1,00
			ZS3 - stěny	1,00
			ZS4 - přetížení z horních podlaží	1,00
			ZS5 - sníh	1,00
			ZS6 - užité	1,00



6.1.3.5. Liniová síla na hraně plochy

Jméno	Plocha Zatěžovací stav	Typ Systém	Směr Rozložení	Hodnota - P ₁	Poz x ₁	Poloha Souř.	Hrana Poč
				[kN/m]	Poz x ₂		
LFS1	S2 ZS3 - stěny	Síla LSS	Z Rovnoměrné	-14,00	0,000 1,000	Délka Rela	12 Od počátku
LFS2	S2 ZS3 - stěny	Síla LSS	Z Rovnoměrné	-14,00	0,000 1,000	Délka Rela	11 Od počátku
LFS3	S2 ZS3 - stěny	Síla LSS	Z Rovnoměrné	-14,00	0,000 1,000	Délka Rela	10 Od počátku
LFS4	S2 ZS3 - stěny	Síla LSS	Z Rovnoměrné	-14,00	0,000 1,000	Délka Rela	6 Od počátku
LFS5	S2 ZS3 - stěny	Síla LSS	Z Rovnoměrné	-14,00	0,000 1,000	Délka Rela	5 Od počátku
LFS6	S2 ZS3 - stěny	Síla LSS	Z Rovnoměrné	-14,00	0,000 1,000	Délka Rela	4 Od počátku
LFS7	S2 ZS4 - přetížení z horních podlaží	Síla LSS	Z Rovnoměrné	-21,25	0,000 1,000	Délka Rela	5 Od počátku
LFS8	S2 ZS4 - přetížení z horních podlaží	Síla LSS	Z Rovnoměrné	-21,25	0,000 1,000	Délka Rela	4 Od počátku
LFS9	S2 ZS4 - přetížení z horních podlaží	Síla LSS	Z Rovnoměrné	-21,25	0,000 1,000	Délka Rela	6 Od počátku
LFS10	S2 ZS4 - přetížení z horních podlaží	Síla LSS	Z Rovnoměrné	-21,25	0,000 1,000	Délka Rela	10 Od počátku
LFS11	S2 ZS4 - přetížení z horních podlaží	Síla LSS	Z Rovnoměrné	-21,25	0,000 1,000	Délka Rela	11 Od počátku
LFS12	S2 ZS4 - přetížení z horních podlaží	Síla LSS	Z Rovnoměrné	-21,25	0,000 1,000	Délka Rela	12 Od počátku
LFS15	S2 ZS6 - užitné	Síla LSS	Z Rovnoměrné	-15,00	0,000 1,000	Délka Rela	5 Od počátku
LFS16	S2 ZS6 - užitné	Síla LSS	Z Rovnoměrné	-15,00	0,000 1,000	Délka Rela	11 Od počátku
LFS17	S1 ZS6 - užitné	Síla LSS	Z Rovnoměrné	-15,00	0,000 1,000	Délka Rela	9 Od počátku
LFS19	S1 ZS4 - přetížení z horních podlaží	Síla LSS	Z Rovnoměrné	-21,00	0,000 1,000	Délka Rela	9 Od počátku
LFS20	S1 ZS3 - stěny	Síla LSS	Z Rovnoměrné	-14,00	0,000 1,000	Délka Rela	9 Od počátku

6.1.3.6. Plošné zatížení

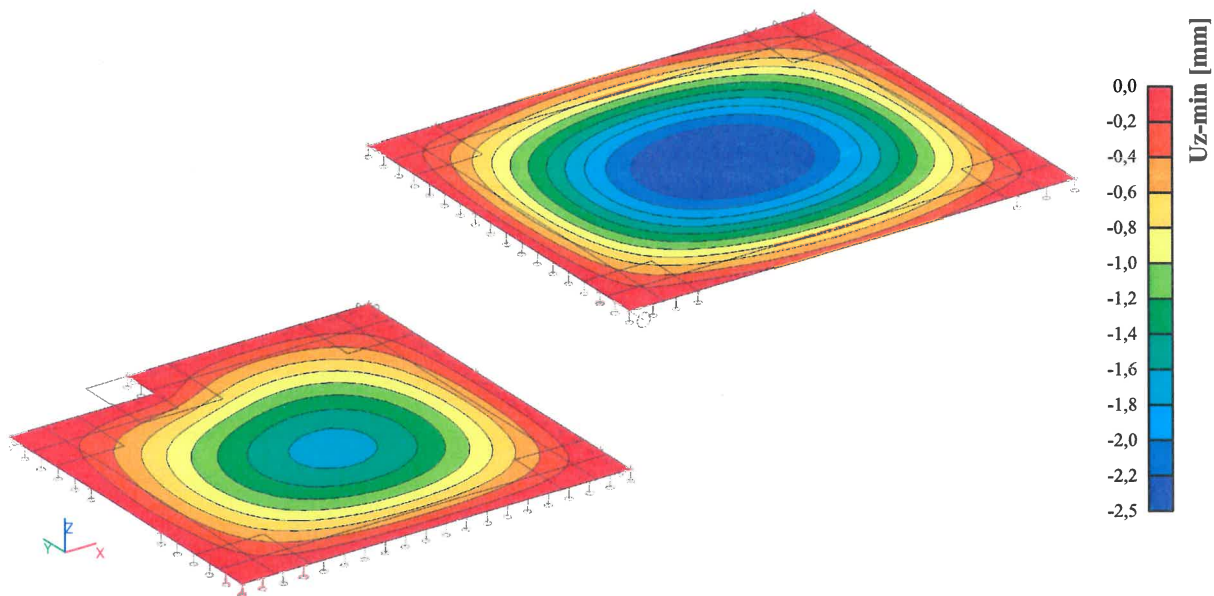
Jméno	Směr	Typ	Hodnota [kN/m ²]	Plocha	Zatěžovací stav	Systém	Poloha
SF1	Z	Síla	-0,10	S2	ZS2 - podlahy, střecha..	LSS	Délka
SF2	Z	Síla	-0,10	S1	ZS2 - podlahy, střecha..	LSS	Délka
SF3	Z	Síla	-2,08	S3	ZS2 - podlahy, střecha..	LSS	Délka
SF4	Z	Síla	-0,72	S3	ZS5 - sníh	LSS	Délka
SF5	Z	Síla	-5,00	S3	ZS6 - užitné	LSS	Délka
SF6	Z	Síla	-5,00	S2	ZS6 - užitné	LSS	Délka
SF7	Z	Síla	-5,00	S1	ZS6 - užitné	LSS	Délka



6.2. Výsledky výpočtu

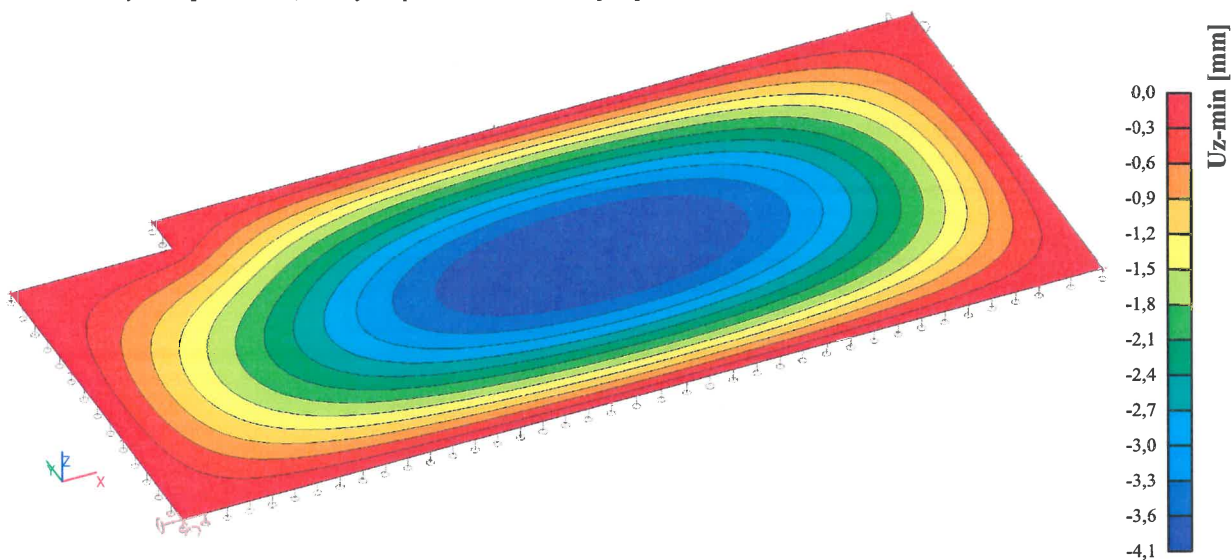
6.2.1. Deformace

6.2.1.1. Průhyby stropních desek - přemístění uzlů; U_z [mm]



Maximální pružná deformace je 2,50mm, deformace s vlivem trhlin se pohybuje mezi 3,5 až 4,5 násobkem pružné deformace což je $2,5 \times 4,5 = 11,25\text{mm} < 1/300$ teoretického rozpětí = $5600/300 = 18,7\text{mm}$. Předpokládá se, že tloušťka desky je dostatečná a že průhyby vyhoví.

6.2.1.2. Průhyb stropní (střešní) desky - přemístění uzlů; U_z [mm]



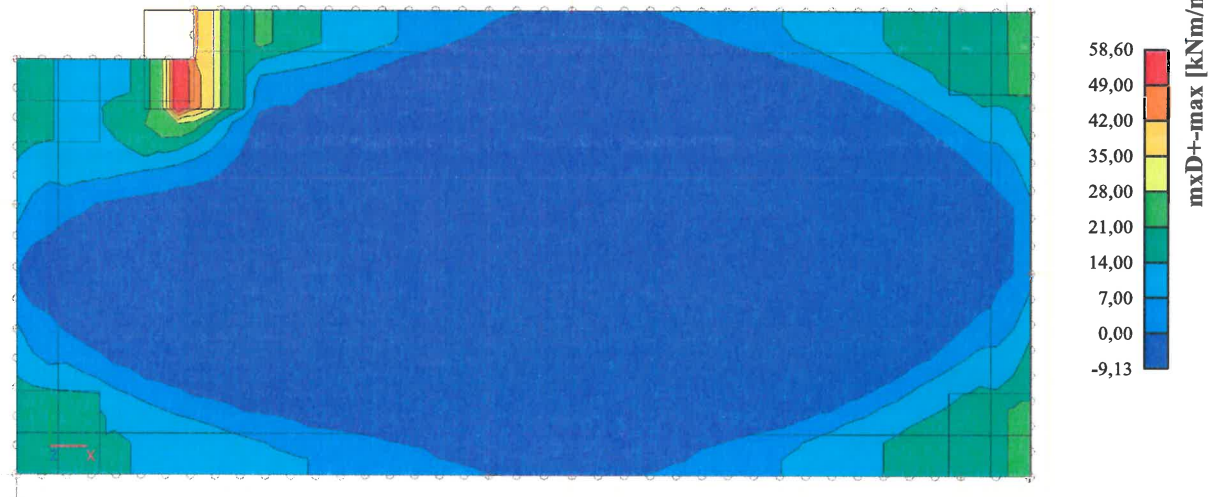
Maximální pružná deformace je 4,80mm, deformace s vlivem trhlin se pohybuje mezi 3,5 až 4,5 násobkem pružné deformace což je $4,1 \times 4,5 = 18,45\text{mm} < 1/250$ teoretického rozpětí = $5600/300 = 18,67\text{mm}$. Předpokládá se, že tloušťka desky je dostatečná a že průhyb vyhoví.



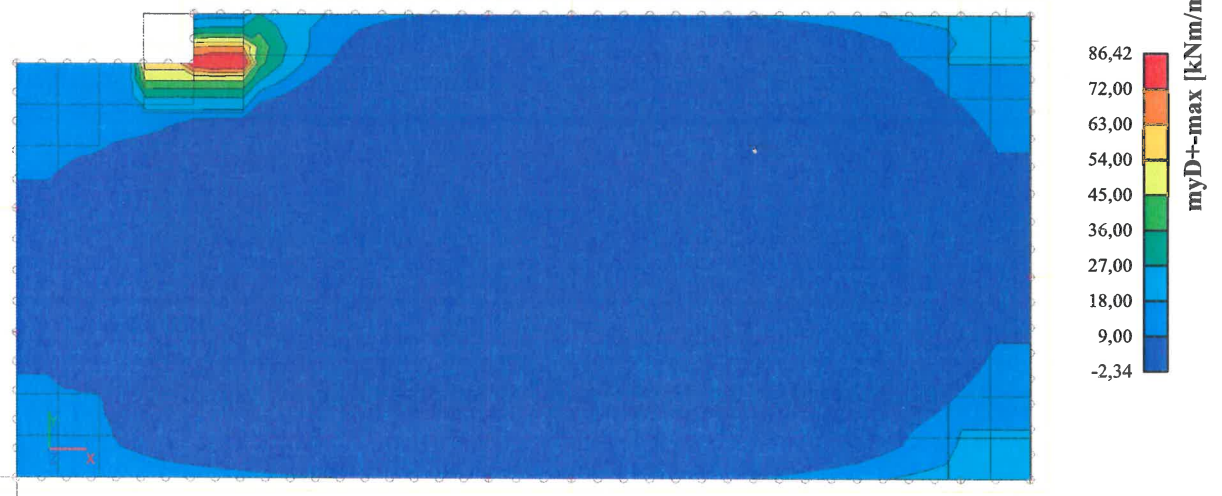
6.2.2. Vnitřní síly v deskách

6.2.2.1. Střecha nad 2.NP

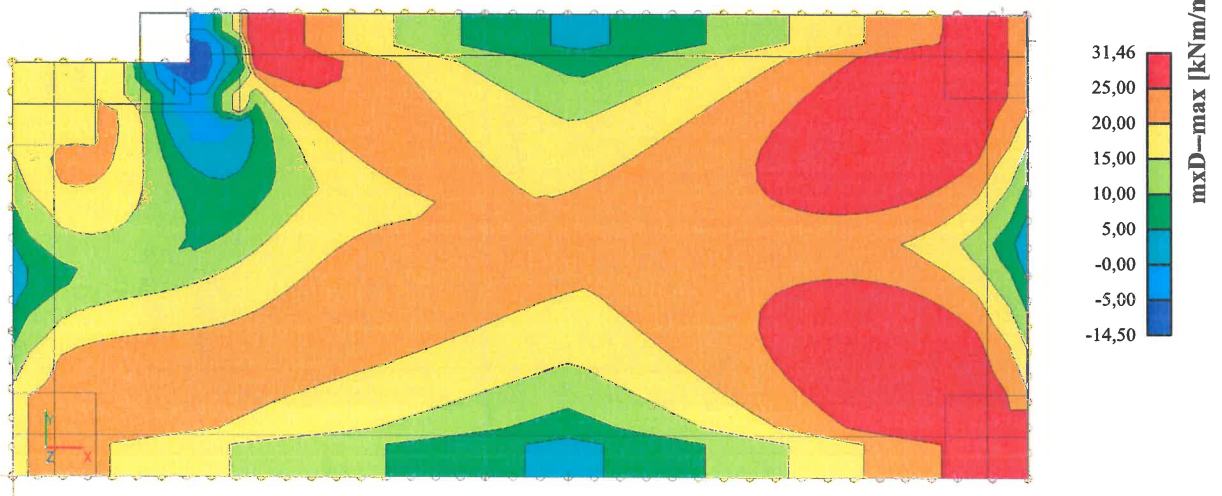
6.2.2.1.1. Plochy - Vnitřní síly; $mxD+$



6.2.2.1.2. Plochy - Vnitřní síly; $myD+$

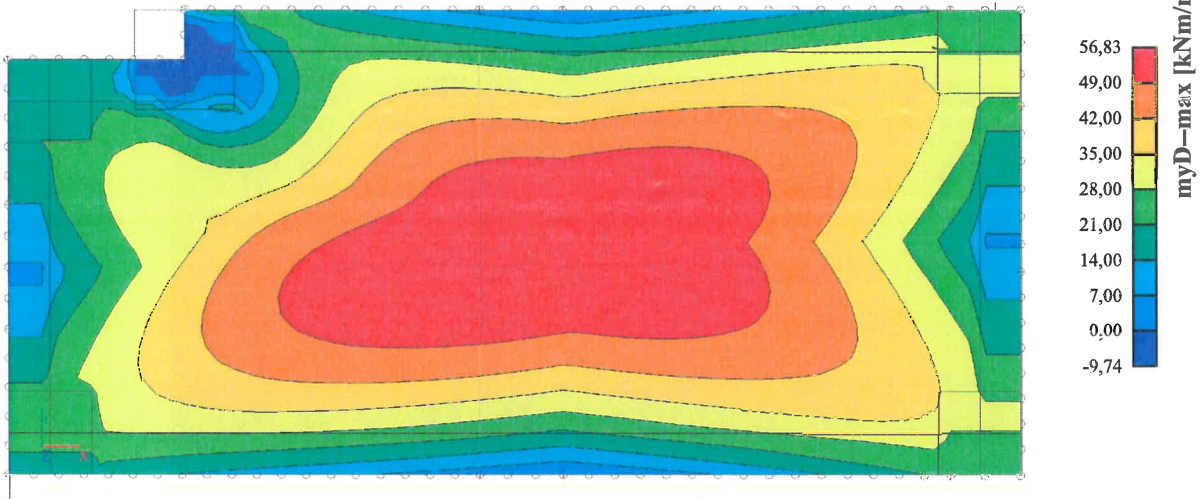


6.2.2.1.3. Plochy - Vnitřní síly; $mxD-$

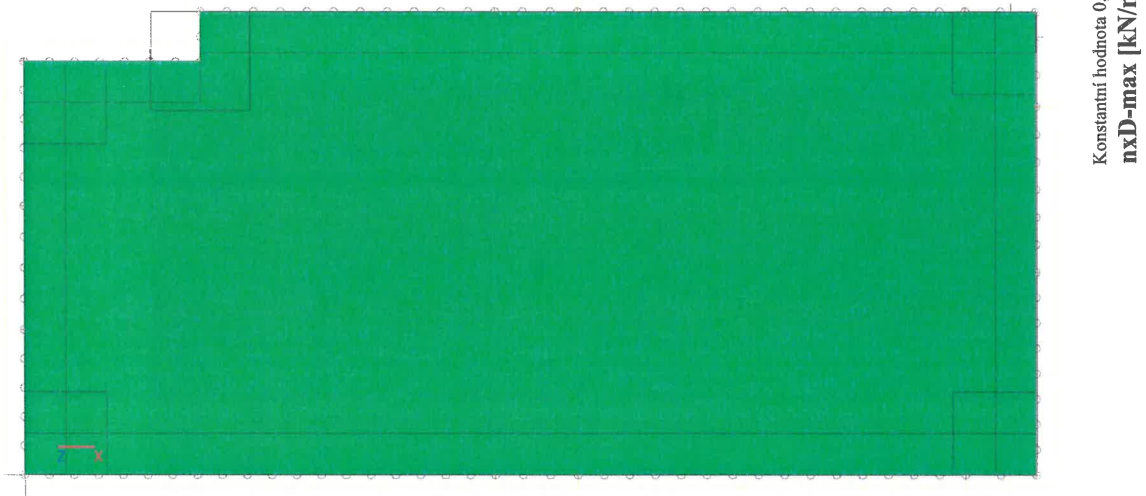




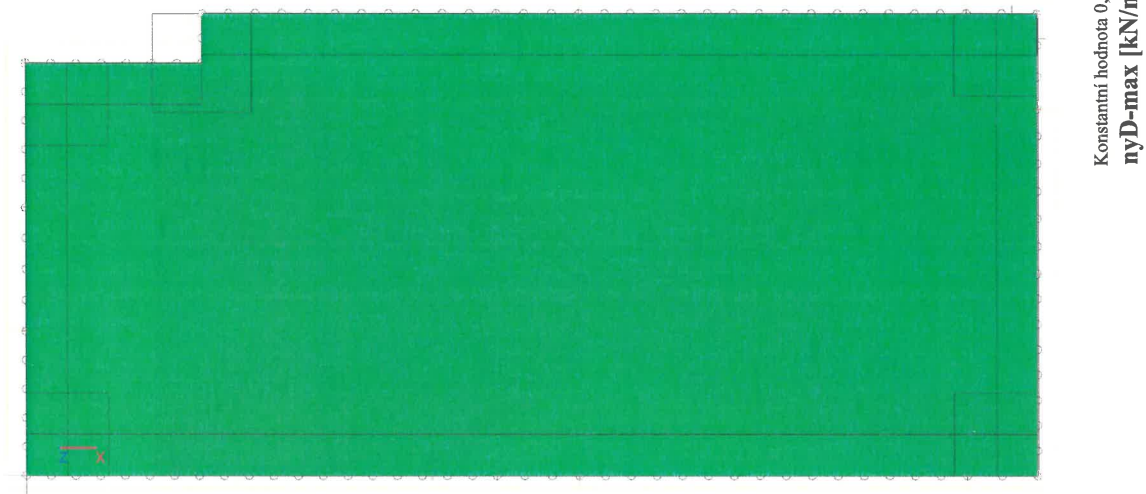
6.2.2.1.4. Plochy - Vnitřní síly; m_yD -



6.2.2.1.5. Plochy - Vnitřní síly; n_x



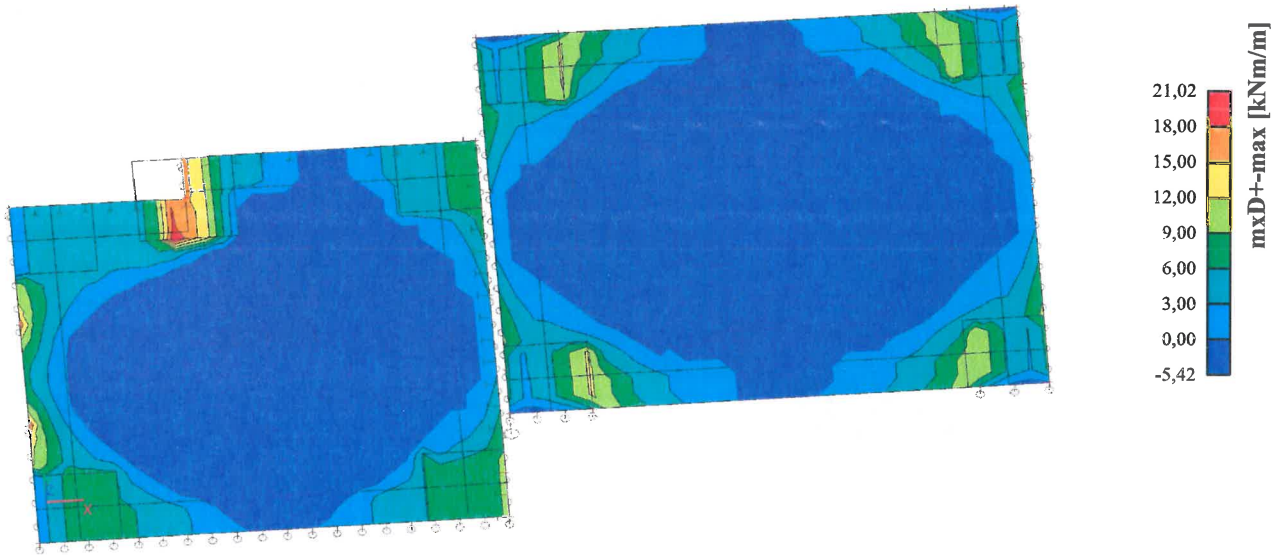
6.2.2.1.6. Plochy - Vnitřní síly; n_y



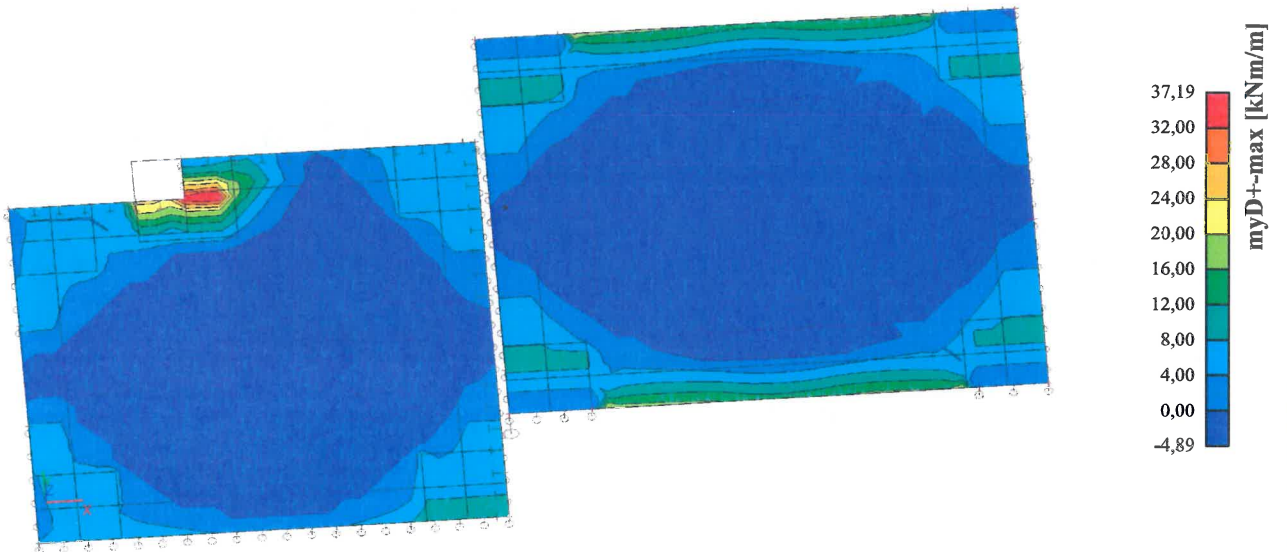


6.2.2.2. Stropy nad 1.NP

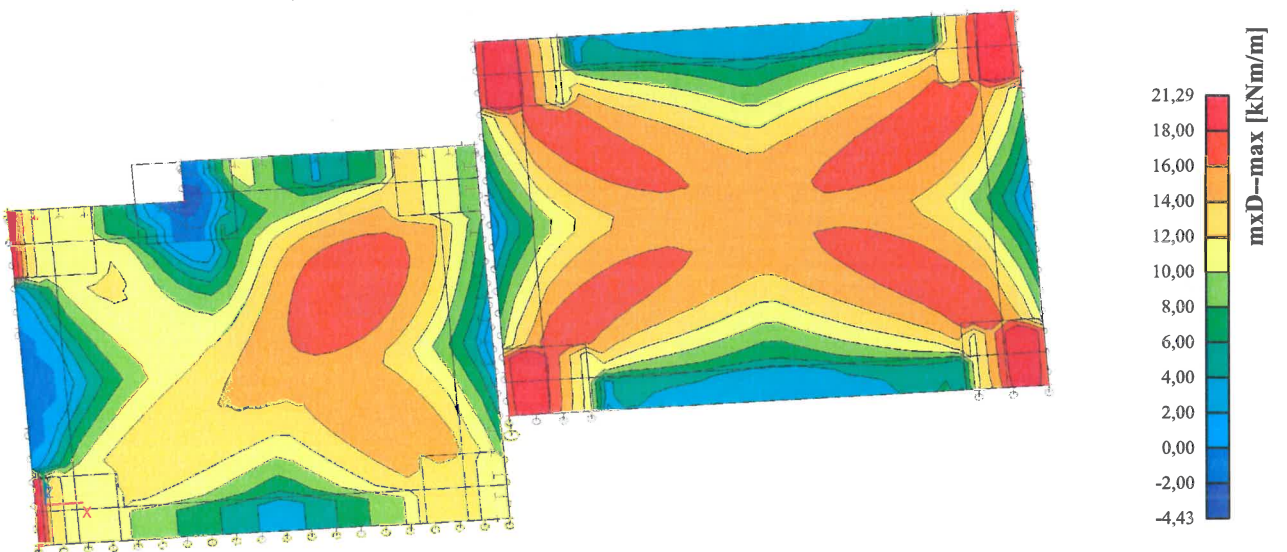
6.2.2.2.1. Plochy - Vnitřní síly; $mxD+$



6.2.2.2.2. Plochy - Vnitřní síly; $myD+$

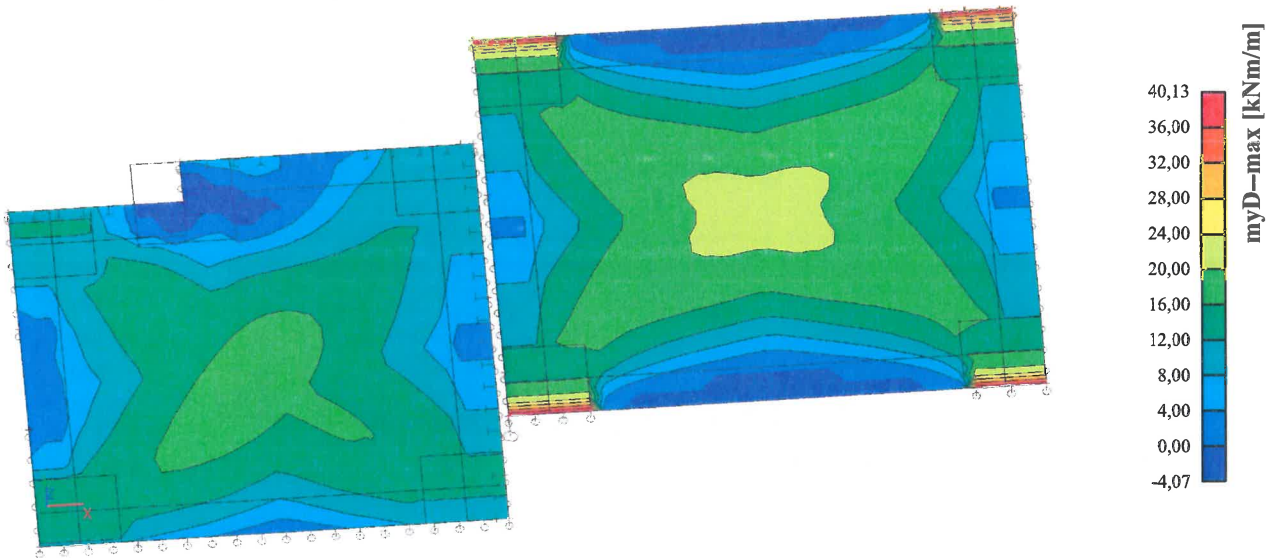


6.2.2.2.3. Plochy - Vnitřní síly; $mxD-$

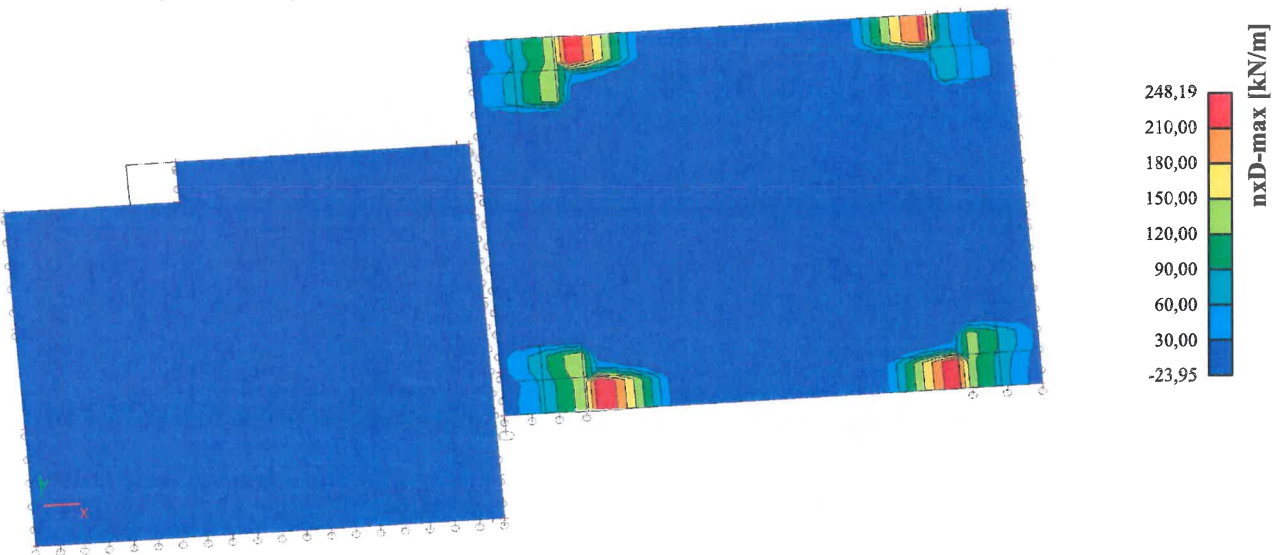




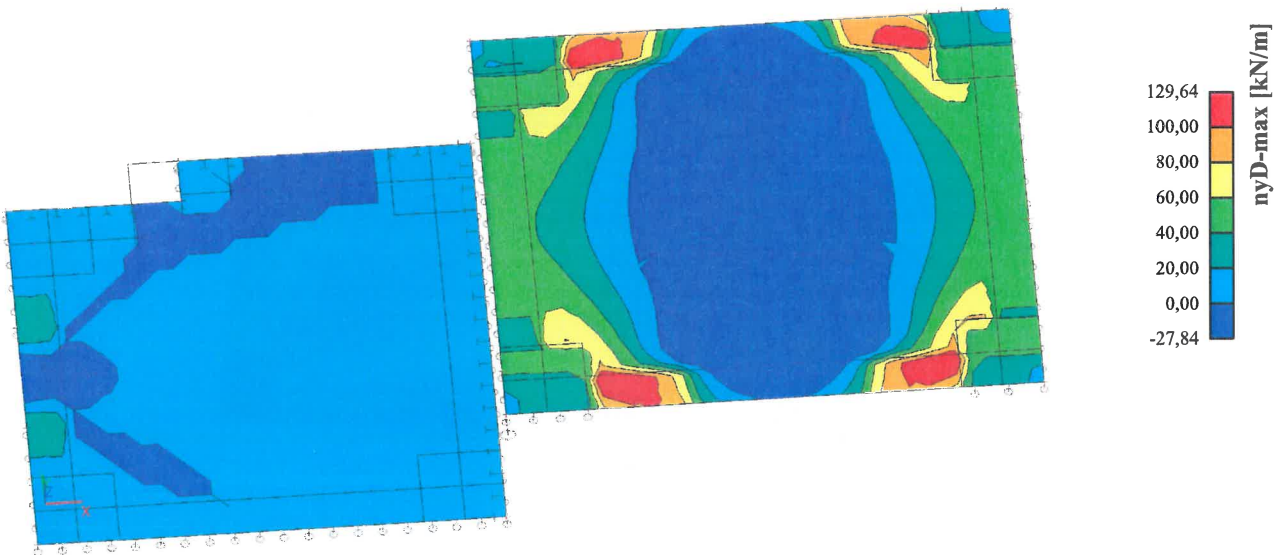
6.2.2.2.4. Plochy - Vnitřní síly; m_yD -



6.2.2.2.5. Plochy - Vnitřní síly; n_x



6.2.2.2.6. Plochy - Vnitřní síly; n_y

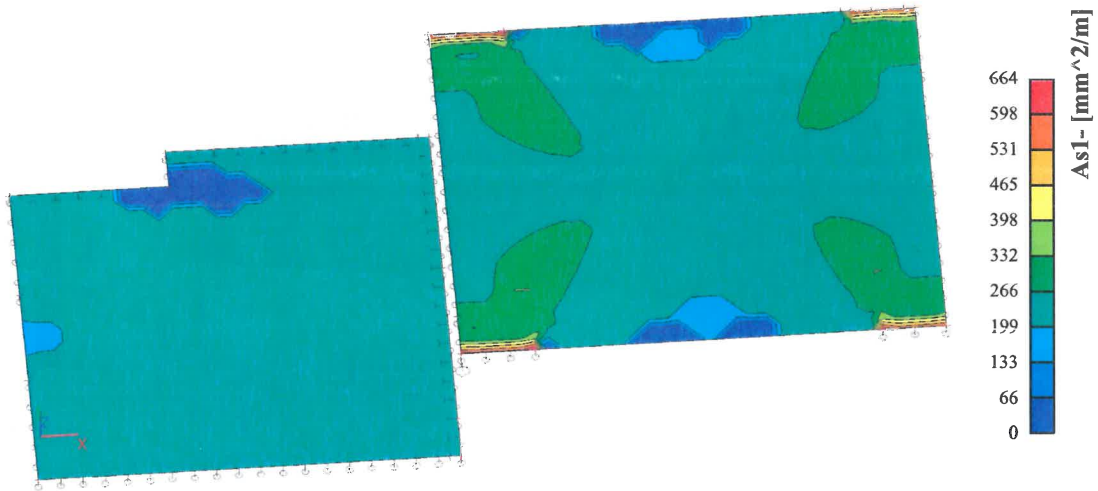




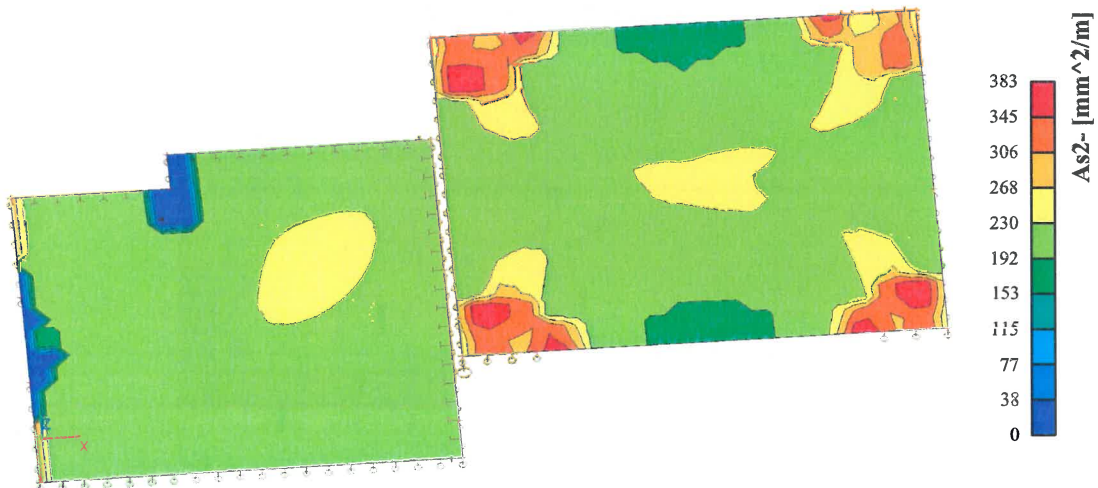
6.2.3. Nutné plochy výztuže desek

6.2.3.1. Nutné plochy výztuže - deska nad 1.NP

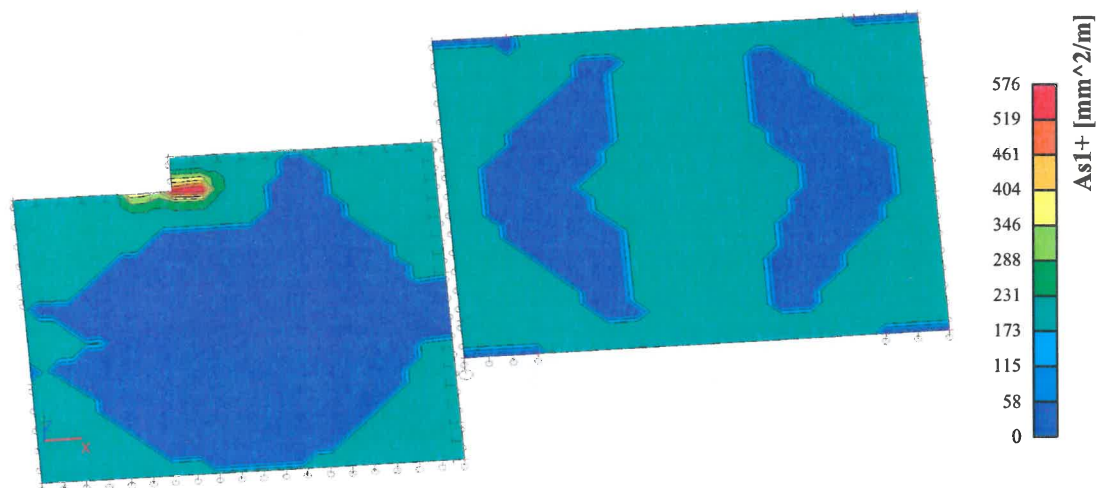
6.2.3.1.1. Plochy - návrh - nutné plochy; As1- (dolní výztuž ve směru y)



6.2.3.1.2. Plochy - návrh - nutné plochy; As2- (dolní výztuž ve směru X)

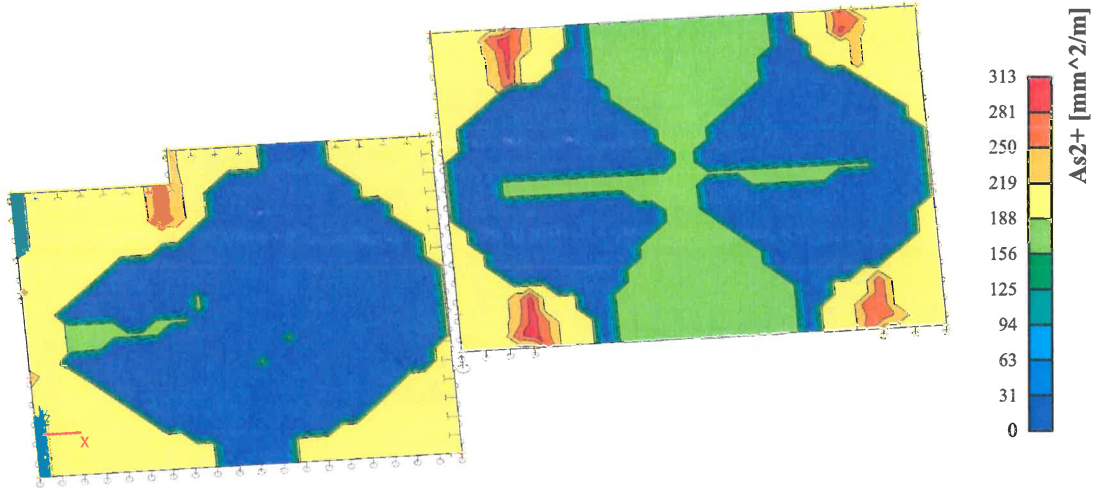


6.2.3.1.3. Plochy - návrh - nutné plochy; As1+(horní výztuž ve směru Y)



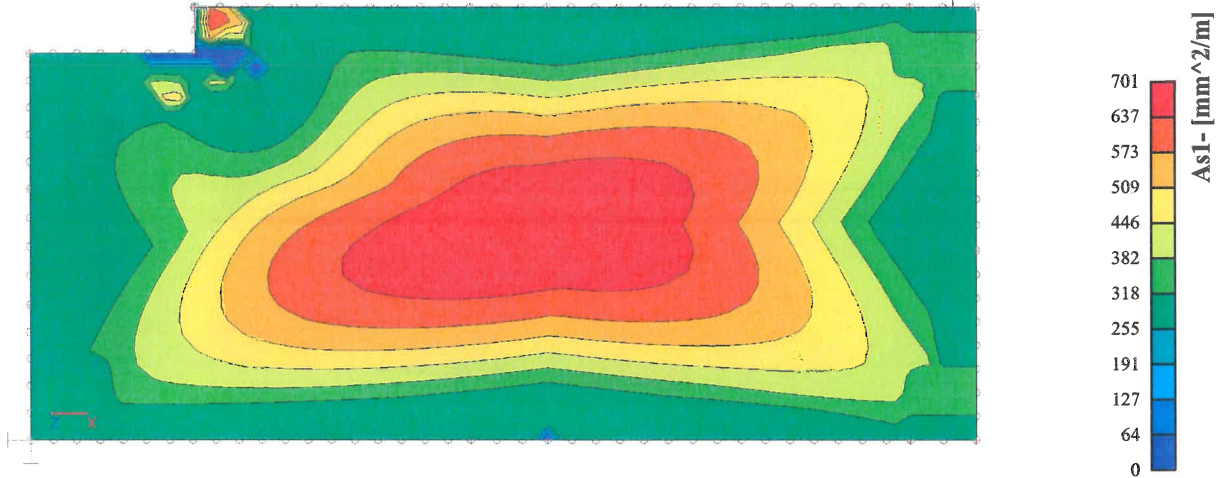


6.2.3.1.4. Plochy - návrh - nutné plochy; As_{2+} (horní výztuž ve směru X)

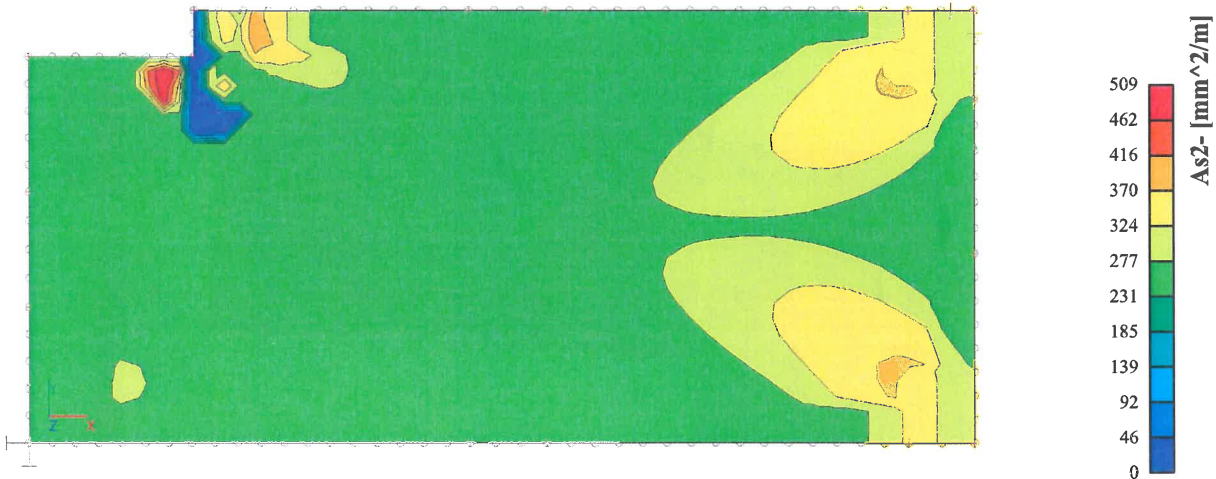


6.2.3.2. Nutné plochy výztuže - deska nad 2.NP (střecha)

6.2.3.2.1. Plochy - návrh - nutné plochy; As_1 (dolní výztuž ve směru Y)

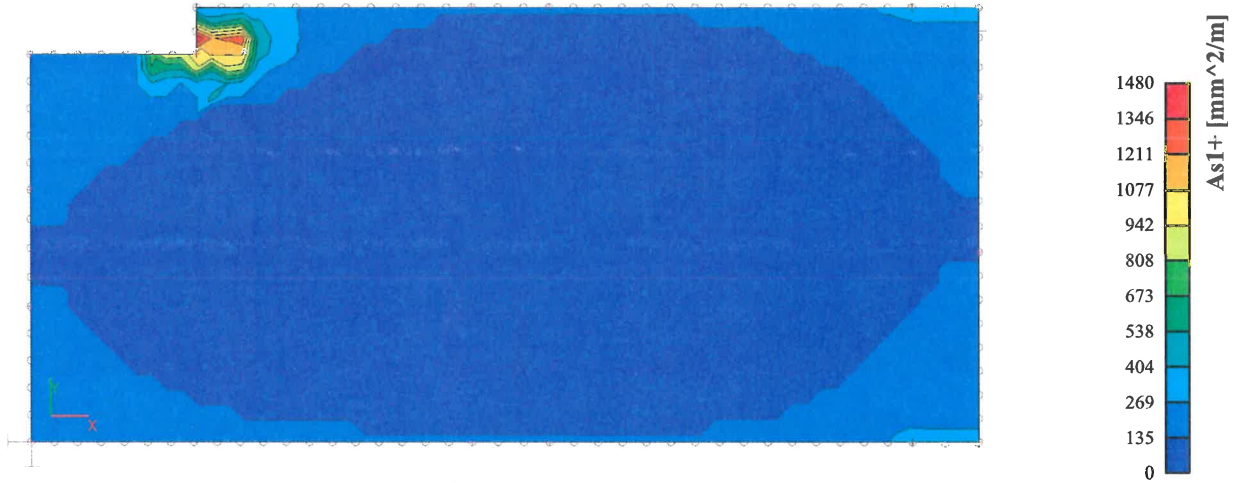


6.2.3.2.2. Plochy - návrh - nutné plochy; As_{2-} (dolní výztuž ve směru X)

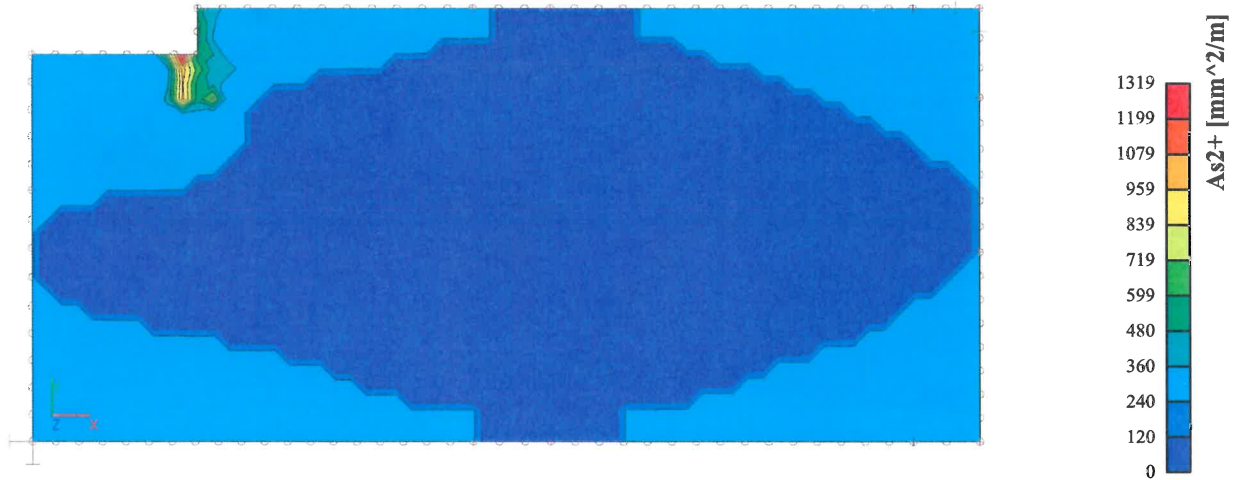




6.2.3.2.3. Plochy - návrh - nutné plochy; As1+ (horní výztuž ve směru Y)

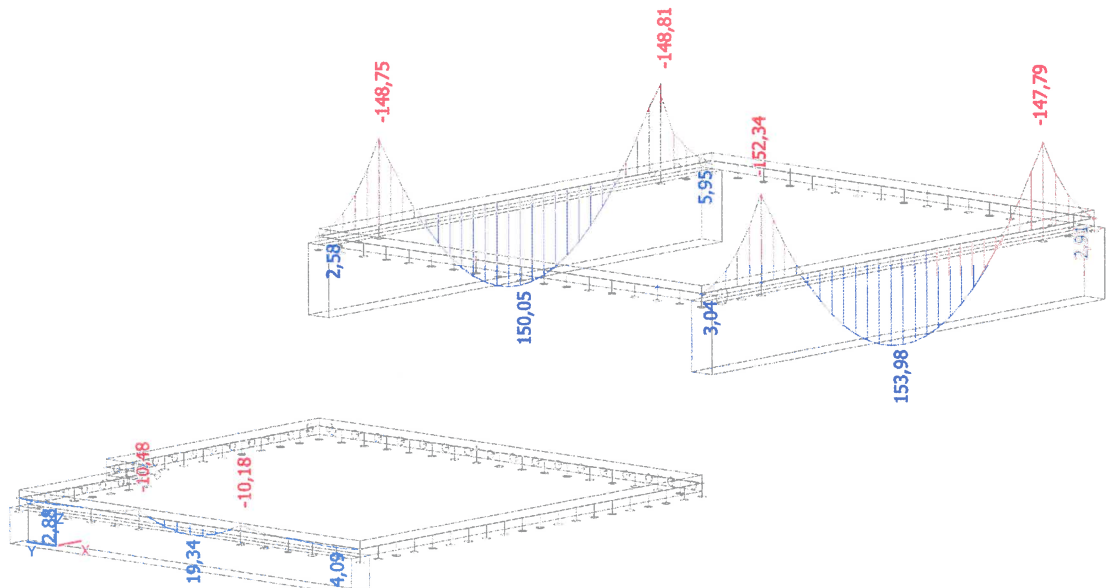


6.2.3.2.4. Plochy - návrh - nutné plochy; As2+ (horní výztuž ve směru X)



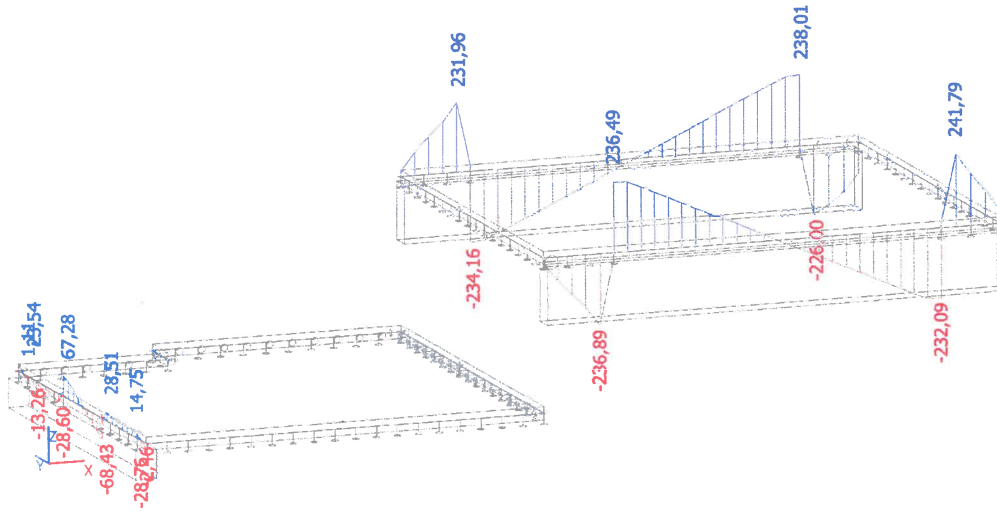
6.2.4. Vnitřní síly na žebrech desky nad otvory

6.2.4.1. Vnitřní síly na prutu; My

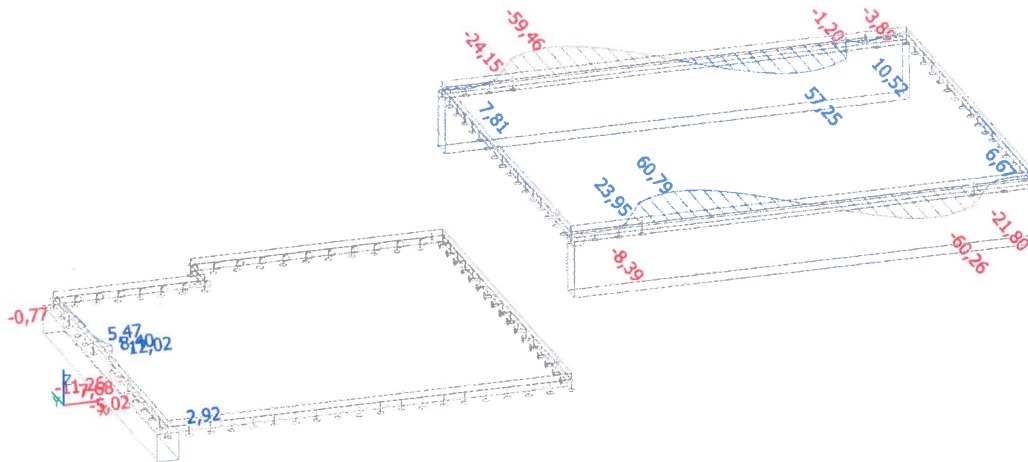




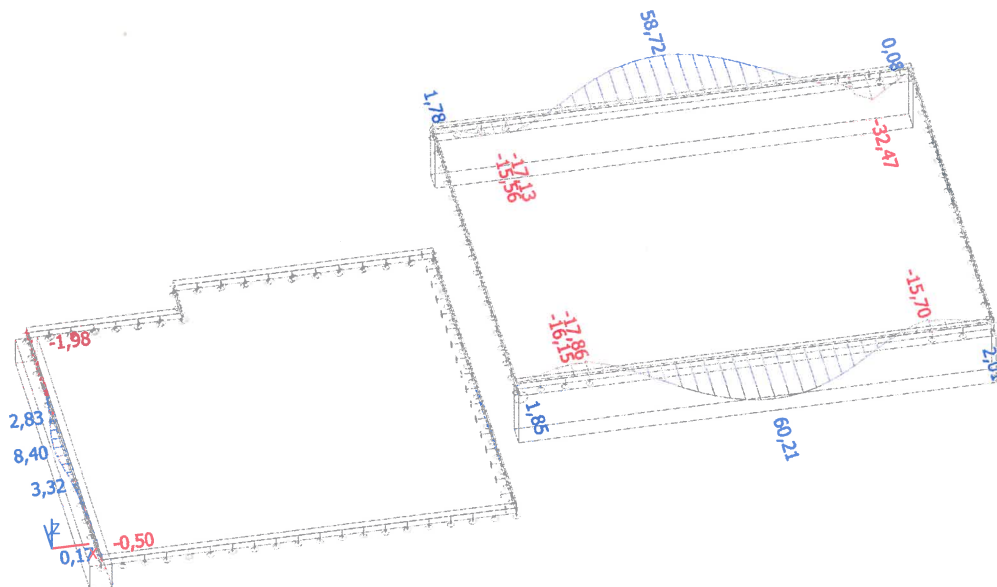
6.2.4.2. Vnitřní síly na prutu; Vz



6.2.4.3. Vnitřní síly na prutu; Vy



6.2.4.4. Vnitřní síly na prutu; Mz





STATICKÝ VÝPOČET

BETONOVÉ KONSTRUKCE
DOKUMENTACE PRO PROVEDENÍ STAVBY

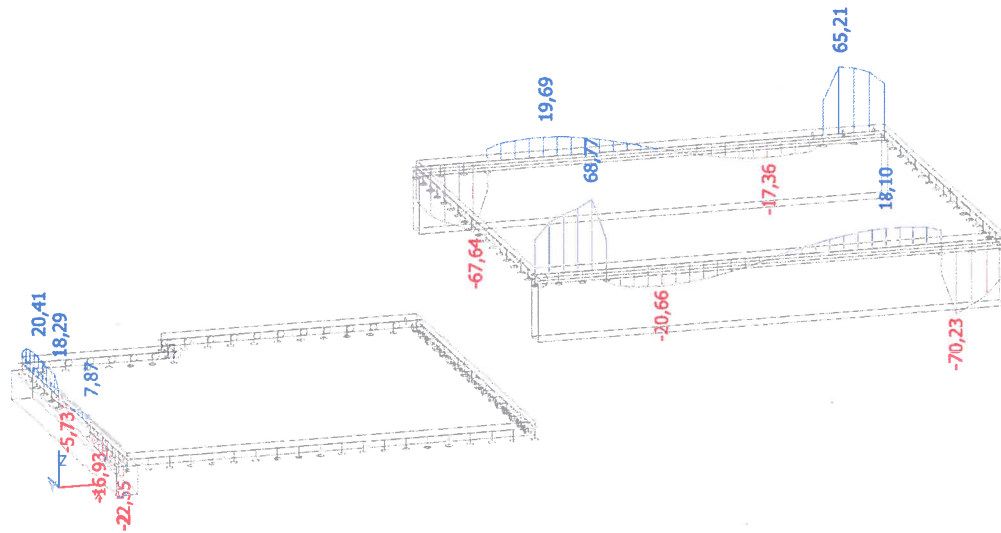
AKCE:

ROZŠÍŘENÍ INFRASTRUKTURY
CENTRA INTEMAC

ARCH.Č.: 1917-02

List : 71

6.2.4.5. Vnitřní síly na prutu; Mx



6.2.4.6. Vnitřní síly na prutu

Lineární výpočet, Extrém : Dílec, Systém : Hlavní, Žebro / integrační pás

Výběr : Pojmenovaný výběr - N3

Kombinace : MSU

Dílec	css	dx [m]	Stav	N [kN]	Vy [kN]	Vz [kN]	Mx [kNm]	My [kNm]	Mz [kNm]
B1	CS1 - Obdélník	0,000	MSU/1	-4,60	-4,68	-18,02	33,24	3,04	1,85
B1	CS1 - Obdélník	3,350	MSU/1	49,64	-0,24	0,86	-1,49	153,98	60,21
B1	CS1 - Obdélník	4,917	MSU/1	33,33	-60,26	-169,25	18,10	20,44	12,63
B1	CS1 - Obdélník	1,783	MSU/1	33,94	60,79	171,88	-20,66	18,28	12,03
B1	CS1 - Obdélník	0,800	MSU/1	19,83	3,97	-236,89	68,77	-99,03	-16,15
B1	CS1 - Obdélník	5,912	MSU/1	17,27	-1,57	241,79	-70,23	-89,87	-13,03
B1	CS1 - Obdélník	1,000	MSU/1	23,56	23,95	-16,19	27,97	-152,34	-15,82
B1	CS1 - Obdélník	1,000	MSU/1	8,65	22,66	236,49	-10,27	-148,82	-17,86
B2	CS1 - Obdélník	0,637	MSU/1	-154,80	10,52	-226,00	65,21	-58,54	-32,47
B2	CS1 - Obdélník	3,200	MSU/1	48,89	1,30	2,47	0,65	150,05	58,72
B2	CS1 - Obdélník	4,767	MSU/1	33,69	-59,46	-168,60	19,69	19,33	12,43
B2	CS1 - Obdélník	1,829	MSU/1	35,98	57,25	151,95	-17,04	43,30	20,59
B2	CS1 - Obdélník	5,550	MSU/1	9,32	-22,92	-234,16	9,81	-145,31	-17,13
B2	CS1 - Obdélník	0,850	MSU/1	-18,09	0,04	238,01	-2,54	-148,81	-13,05
B2	CS1 - Obdélník	5,750	MSU/1	19,76	-5,23	231,96	-67,64	-96,67	-15,56

6.2.4.7. Vnitřní síly na prutu

Lineární výpočet, Extrém : Dílec, Systém : Hlavní, Žebro / integrační pás

Výběr : Pojmenovaný výběr - P2

Kombinace : MSU

Dílec	css	dx [m]	Stav	N [kN]	Vy [kN]	Vz [kN]	Mx [kNm]	My [kNm]	Mz [kNm]
B3	CS2 - Obdélník	3,250	MSU/1	-4,95	-6,56	-68,43	7,53	-9,55	2,24
B3	CS2 - Obdélník	0,194	MSU/1	2,60	1,41	1,11	18,07	2,69	-1,98
B3	CS2 - Obdélník	3,063	MSU/1	-0,56	-11,26	-56,12	7,87	2,59	4,93
B3	CS2 - Obdélník	1,938	MSU/1	-0,43	12,02	55,21	-5,73	2,30	4,55
B3	CS2 - Obdélník	1,750	MSU/1	-4,77	7,30	67,28	-5,58	-9,85	1,75
B3	CS2 - Obdélník	4,611	MSU/1	0,75	-1,83	12,83	-22,55	4,09	-0,50
B3	CS2 - Obdélník	0,583	MSU/1	1,05	3,59	-13,26	20,41	1,94	-1,57
B3	CS2 - Obdélník	1,750	MSU/1	0,55	8,40	15,34	6,07	-10,48	2,83
B3	CS2 - Obdélník	2,500	MSU/1	-2,94	0,45	-0,21	1,17	19,34	8,40

**7. TRÁMOVÉ STROPY ADMINISTRATIVNÍHO PŘÍSTAVKU**

Tloušťka desky 0,100 m

Zatížení desek

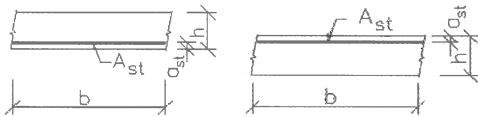
podlaha nad 1.NP	2,42 kN/m ²	podlaha nad 2.NP	2,214 kN/m ²
vlastní tíha	<u>2,5 kN/m²</u>	vlastní tíha	<u>2,5 kN/m²</u>
	4,918 kN/m ²		4,714 kN/m ²

Výpočet vnitřních sil v desce nad 1.NP

stálé zatížení	$g_k = 4,918$ kN/m ²	$\gamma_f = 1,350$	$\xi = 0,85$
nahodilé zatížení	$p_k = 4,000$ kN/m ²	$\gamma_f = 1,500$	$\psi_0 = 0,7$
kombinace	$q_d = 1,35 \cdot g_k + 1,50 \cdot 0,7 \cdot p_k = 10,84$ kN/m ²		(6.10a)
	$q_d = 1,35 \cdot 0,85 \cdot g_k + 1,5 \cdot p_k = 11,64$ kN/m ²		(6.10b)
konzervativně	$q_d = 1,35 \cdot g_k + 1,50 \cdot p_k = 12,64$ kN/m ²		(6.10)

pro zatížení $q_d = 12,639$ kNm⁻² krajní pole - $M_d = 1 / 10 \cdot q_d \cdot L_d^2 = 4,56$ kNmrozpětí desky $L = 1,9$ m střední pole - $M_d = 1 / 16 \cdot q_d \cdot L_d^2 = 2,85$ kNm**Výpočet vnitřních sil v desce nad 2.NP**

stálé zatížení	$g_k = 4,714$ kN/m ²	$\gamma_f = 1,350$	$\xi = 0,85$
nahodilé zatížení (s květináči)	$p_k = 15,000$ kN/m ²	$\gamma_f = 1,500$	$\psi_0 = 0,7$
kombinace	$q_d = 1,35 \cdot g_k + 1,50 \cdot 0,7 \cdot p_k = 22,11$ kN/m ²		(6.10a)
	$q_d = 1,35 \cdot 0,85 \cdot g_k + 1,5 \cdot p_k = 27,91$ kN/m ²		(6.10b)
konzervativně	$q_d = 1,35 \cdot g_k + 1,50 \cdot p_k = 28,86$ kN/m ²		(6.10)

pro zatížení $q_d = 28,864$ kNm⁻² rozpětí desky $L = 1,9$ mkrajní pole - $M_d = 1 / 10 \cdot q_d \cdot L_d^2 = 10,42$ kNmstřední pole - $M_d = 1 / 16 \cdot q_d \cdot L_d^2 = 6,51$ kNm

$\lambda = 0,8$

$\eta = 1,00$

$\xi_{bal,1} = \epsilon_{cu3} / (\epsilon_{cu3} + \epsilon_{yd}) = 0,617$

BETON C25/30

VÝZTUŽ B500B

$f_{ck} = 25,00$ MPa $f_{yk} = 500$ MPa

$f_{ctm} = 2,60$ MPa $E_s = 200$ GPa

$\epsilon_{cu3} = 3,5$ ‰ $\gamma_s = 1,15$

$\gamma_c = 1,5$ $\epsilon_{yd} = f_{yk} / \gamma_s / E_s = 2,174$ ‰

deska nad 1.NP

deska nad 2.NP

	$M_d =$	4,56	2,852	10,420	6,512	kNm
šířka průřezu $b =$	$b =$	1,00	1,00	1,00	1,00	m
výška průřezu $h =$	$h =$	0,10	0,10	0,10	0,10	m
profil výztuže	$\phi =$	6	6	8	8	mm
vzdálenost výztuže		0,150	0,175	0,150	0,175	m
krytí výztuže	$c_{nom} =$	20,0	20,0	20,0	20,0	mm
	$d_1 = c_{nom} + \phi / 2 =$	23,00	23,00	24,00	24,00	mm
	$d = h - d_1 =$	0,0770	0,0770	0,0760	0,0760	m
	$A_{s1,max} = 0,04 \cdot A_c = 0,04 \cdot b \cdot h =$	40,00	40,00	40,00	40,00	cm ²
	$A_{s1,min} = \max[0,26 \cdot f_{ctm} \cdot b \cdot d / f_{yk}; 0,0013 \cdot b \cdot d] =$	1,04	1,04	1,03	1,03	cm ²
	$A_{s1} =$	1,885	1,616	3,351	2,872	cm ²
$A_{s1} > A_{s1,min}$ a $A_{s1} < A_{s1,max}$???	vyhoví	vyhoví	vyhoví	vyhoví		
	$x = A_{s1} \cdot f_{yk} / \gamma_s / \lambda / \eta / (f_{ck} / \gamma_c) =$	0,00615	0,00527	0,01093	0,00937	m
$\xi < \xi_{bal,1}$??	$\xi = x / d =$	0,080	0,068	0,144	0,123	
	vyhoví	vyhoví	vyhoví	vyhoví		
	$z = d - 0,5 \cdot \lambda \cdot x =$	0,075	0,075	0,072	0,072	m
	$M_{Rd} = A_{s1} \cdot f_{yk} / \gamma_s \cdot z =$	6,109	5,261	10,436	9,023	kNm
	vyhoví	vyhoví	vyhoví	vyhoví		



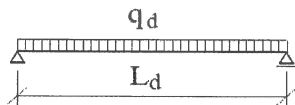
Stropní trám nad 1.NP

Zatížení trámu s deskou

výška průřezu h	0,58	m		
tloušťka desky h_d	0,10	m	$l_{s,desky} =$	1,65
šířka žebra b_d	0,25	m		

b / v - zatěžovací šířka stropu, nebo výška stěny na nosníku

	q [kN/m ²]	b / v [m]	q_n [kN/m]	γ_f	q_d [kN/m]
stálé zatížení-podlaha	2,42	1,90	4,59	1,35	6,20
deska - nahodilé	4,00	1,90	7,60	1,50	11,40
přítížení příčků			4,82	1,35	6,51
vl. hmotnost			7,75	1,35	10,46
			24,77		34,58



$$L_s = 7,58 \text{ m} \quad L_d = 7,96 \text{ m}$$

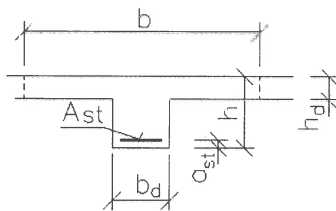
$$q_k = 24,77 \text{ kN/m} \quad \gamma_f = 1,396$$

$$q_d = 34,58 \text{ kN/m}$$

$$A_d = 1 / 2 \cdot q_d \cdot L_d = 137,59 \text{ kN}$$

$$M_d = 1 / 8 \cdot q_d \cdot L_d^2 = 273,78 \text{ kNm}$$

$$A_k = 1 / 2 \cdot q_n \cdot L_d = 98,56 \text{ kN}$$



BETON	C25/30	$M_d = 273,78 \text{ kNm}$
		VÝZTUŽ B500B
$f_{ck} =$	25,00 MPa	$f_{yk} = 500 \text{ MPa}$
$f_{ctm} =$	2,60 MPa	$E_s = 200 \text{ GPa}$
$\epsilon_{cu3} =$	3,5 ‰	$\gamma_s = 1,15$
$\gamma_c = 1,5$		$\epsilon_{yd} = f_{yk} / \gamma_s / E_s = 2,174 \text{ ‰}$

stanovení spolupůsobící šířky

$$L = 7,96 \text{ m} \quad \kappa = 1,00 \quad L_0 = \kappa \cdot L = 7,959 \text{ m}$$

$$l_{s,desky,1} = 1,65 \text{ m} \quad l_{s,desky,2} = 1,65 \text{ m} \quad b_w = 0,250 \text{ m}$$

$$b_{eff,1} = \min[0,2 \cdot (l_{s,desky,1})/2 + 0,1 \cdot L_0; 0,1 \cdot L_0] = 0,961 \text{ m}$$

$$b_{eff,2} = \min[0,2 \cdot (l_{s,desky,2})/2 + 0,1 \cdot L_0; 0,1 \cdot L_0] = 0,961 \text{ m}$$

spolupůsobící šířka $b_{eff} = \min[b_{eff,1} + b_{eff,2} + b_w; (l_{s,desky,1} + l_{s,desky,2})/2 + b_w] = 1,900 \text{ m}$

$$A_{s1,min} = \max[0,26 \cdot f_{ctm} \cdot b_w \cdot d / f_{yk}; 0,0013 \cdot b_w \cdot d] = 1,80 \text{ cm}^2$$

$$\lambda = 0,8 \quad \eta = 1,00 \quad A_{s1,max} = 0,04 \cdot A_c = 0,04 \cdot b \cdot h = 58,00 \text{ cm}^2$$

$$\xi_{bal,1} = \epsilon_{cu3} / (\epsilon_{cu3} + \epsilon_{yd}) = 0,617$$

$$\text{šířka průřezu } b_w = 0,25 \text{ m} \quad \text{plocha výztuže } A_{st} = 12,566 \text{ cm}^2 > \text{min vyhoví}$$

$$\text{výška průřezu } h = 0,58 \text{ m} \quad d_{hv} = 0,497 \text{ m} \quad d_1 = 48,0 \text{ mm}$$

$$\text{profil výztuže } 20 \text{ mm} \quad d = h - d_1 = 0,532 \text{ m}$$

$$\text{počet ks na šířku } b \quad 4 \text{ ks} \quad x = A_{s1} \cdot f_{yk} / b_{eff} / \gamma_s / \lambda / \eta / (f_{ck} / \gamma_c) = 0,02157 \text{ m}$$

$$\text{profil výztuže 2.vrst } 0 \text{ mm} \quad \xi = x / d_{hv} = 0,043 < \xi_{bal,1} \text{ vyhoví}$$

$$\text{počet ks na šířku } b \quad 0 \text{ ks} \quad z = d - 0,5 \cdot \lambda \cdot x = 0,523 \text{ m}$$

$$\text{průměr třmínků } \phi_s = 8 \text{ mm} \quad M_{Rd} = A_{s1} \cdot f_{yk} / \gamma_s \cdot z = 286,0 \text{ kNm} \text{ vyhoví}$$

$$\text{krytí třmínků } c_{nom,s} = 30 \text{ mm}$$

$$\text{krytí výztuže } c_{nom} = 38 \text{ mm}$$

Návrh příčné výztuže nad trámem

$$\text{tloušťka desky } h_f = 0,10 \text{ m} \quad b_{eff,1} = 0,961 \text{ m} \quad \Delta x = 3,79 \text{ m}$$

$$\Delta F_d = b_{eff,1} \cdot \lambda \cdot x \cdot \eta \cdot f_{cd} = 0,2763 \text{ MN} \quad v_{Ed} = \Delta F_d / (h_f \cdot \Delta x) = 729,1 \text{ kPa}$$

$$\Theta_f = 27^\circ \quad \cotg \Theta_f = 1,963 \quad \sin \Theta_f = 0,4540 \quad \cos \Theta_f = 0,8910$$

$$\text{návrh: profil výztuže } 6 \text{ mm} \quad s_f = 0,175 \text{ m}$$

$$\text{Plocha výztuže } A_{sf} = 1,616 \text{ cm}^2$$

$$A_{sf,min} = v_{Ed} \cdot h_f \cdot s_f / (f_{yd} \cdot \cotg \Theta_f) = 0,150 \text{ cm}^2 < A_{sf} = 0,283 \text{ cm}^2$$



STATICKÝ VÝPOČET

BETONOVÉ KONSTRUKCE
DOKUMENTACE PRO PROVEDENÍ STAVBY

AKCE:
**ROZŠÍŘENÍ INFRASTRUKTURY
CENTRA INTEMAC**

ARCH. Č.: 1917-02

Strana: **74**

kontrola $v = 0,5 \cdot (1 - f_{ck}/250) = 0,45$ vyhoví
 $v \cdot f_{cd} \cdot \sin \Theta_f \cdot \cos \Theta_f = 3033,8 \text{ kPa} > v_{Ed} = 729,1 \text{ kPa}$ vyhoví

Smyk smyková síla $V_{Ed} = 137,6 \text{ kN}$
Smyková výztuž B500B $E_s = 200 \text{ GPa}$ $f_{yk} = 500 \text{ MPa}$
redukovaná mez kluzu třmínků $f_{red, ywd} = 0,8 \cdot f_{yk} = 400 \text{ MPa}$ $\gamma_s = 1,15$

profil třmínků 8 mm počet střihů: 2 $A_{sw} = 1,005 \text{ cm}^2$

sklon třmínků $\alpha = 90^\circ$ $\sin \alpha = 1,00$

$b_w = 0,25 \text{ m}$ $v = 0,6 \cdot (1 - f_{ck}/250) = 0,54$

sklon betonové diagonály $\cotg \Theta = 2,500$ $\Theta = 21,801^\circ$

pro $c = 0,9 \cdot d \cdot \cotg \Theta = 1,197 \text{ m}$

Únosnost betonové diagonály $V_{Rd, max} = b_w \cdot c \cdot \sin \Theta \cdot f_{cd} \cdot v \cdot \sin \Theta = 371,48 \text{ kN} > V_{Ed}$

minimální vzdálenost třmínků $s_{min} = c \cdot A_{sw} \cdot f_{ywd} / V_{Ed} = 0,304 \text{ m}$

navržená vzdálenost třmínků $s = 0,250 \text{ m}$

únosnost třmínků $V_{Rds} = A_{sw} \cdot c / s \cdot f_{ywd} = 167,42 \text{ kN} > V_{Ed}$ vyhoví

Kontrola konstrukčních zásad

$\rho_w = A_{sw} / (b_w \cdot s \cdot \sin \alpha) = 0,001608 > \rho_{min} = 0,08 \cdot f_{ck}^{1/2} / f_{yk} = 0,0008$ vyhoví

vzdálenost třmínků $s = 0,250 \text{ m} < \min(0,75 \cdot d; 0,4) = 0,399 \text{ m}$ vyhoví

kriterium duktility $A_{sw} \cdot f_{ywd} / (b_w \cdot s) = 0,559 < 0,5 \cdot v \cdot f_{cd} / \sin \alpha = 4,5$ vyhoví

Stropní trám nad 2.NP

Zatížení trámu s deskou

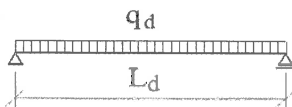
výška průřezu $h = 0,58 \text{ m}$

tloušťka desky $h_d = 0,10 \text{ m}$ $l_{s, desky} = 1,65 \text{ m}$

šířka žebra $b_d = 0,25 \text{ m}$

b / v - zatěžovací šířka stropu, nebo výška stěny na nosníku

	q [kN/m ²]	b / v [m]	q _n [kN/m]	γ_f	q _d [kN/m]
stálé zatížení-podlaha	2,21	1,90	4,21	1,35	5,68
deska - nahodilé (+květináče)	15,00	1,90	28,50	1,50	42,75
vl. hmotnost			7,75	1,35	10,46
			40,46		58,89



$L_s = 7,58 \text{ m}$ $L_d = 7,96 \text{ m}$

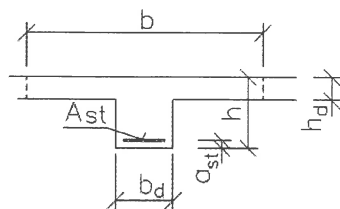
$q_k = 40,46 \text{ kN/m}$ $\gamma_f = 1,456$

$q_d = 58,89 \text{ kN/m}$

$A_d = 1 / 2 \cdot q_d \cdot L_d = 234,36 \text{ kN}$

$A_k = 1 / 2 \cdot q_n \cdot L_d = 161,00 \text{ kN}$

$M_d = 1 / 8 \cdot q_d \cdot L_d^2 = 466,31 \text{ kNm}$



$M_d = 466,31 \text{ kNm}$

BETON C25/30

VÝZTUŽ B500B

$f_{ck} = 25,00 \text{ MPa}$

$f_{yk} = 500 \text{ MPa}$

$f_{ctm} = 2,60 \text{ MPa}$

$E_s = 200 \text{ GPa}$

$\epsilon_{cu3} = 3,5 \text{ ‰}$

$\gamma_s = 1,15$

$\gamma_c = 1,5$

$\epsilon_{yd} = f_{yk} / \gamma_s / E_s = 2,174 \text{ ‰}$

stanovení spolupůsobící šířky

$L = 7,96 \text{ m}$ $\kappa = 1,00$ $L_0 = \kappa \cdot L = 7,959 \text{ m}$

$l_{s, desky, 1} = 1,65 \text{ m}$ $l_{s, desky, 2} = 1,65 \text{ m}$ $b_w = 0,250 \text{ m}$

$b_{eff, 1} = \min[0,2 \cdot (l_{s, desky, 1}) / 2 + 0,1 \cdot L_0; 0,1 \cdot L_0] = 0,961 \text{ m}$

$b_{eff, 2} = \min[0,2 \cdot (l_{s, desky, 2}) / 2 + 0,1 \cdot L_0; 0,1 \cdot L_0] = 0,961 \text{ m}$

spolupůsobící šířka $b_{eff} = \min[b_{eff, 1} + b_{eff, 2} + b_w; (l_{s, desky, 1} + l_{s, desky, 2}) / 2 + b_w] = 1,900 \text{ m}$



$A_{s1,min} = \max[0,26 \cdot f_{ctm} \cdot b_w \cdot d / f_{yk}; 0,0013 \cdot b_w \cdot d] =$	1,74	cm ²		
$\lambda = 0,8$	$\eta = 1,00$		$A_{s1,max} = 0,04 \cdot A_c = 0,04 \cdot b \cdot h =$	58,00 cm ²
šířka průřezu $b_w =$	0,25	m	$\xi_{bal,1} = \epsilon_{cu3} / (\epsilon_{cu3} + \epsilon_{yd}) =$	0,617
výška průřezu $h =$	0,58	m	Plocha výztuže A_{st}	22,808 cm ² > min vyhoví
profil výztuže	22	mm	$d_{hv} =$	0,484 m
počet ks na šířku b	4	ks	$d_1 =$	64,7 mm
profil výztuže 2.vrst	22	mm	$d = h - d_1 =$	0,515 m
počet ks na šířku b	2	ks	$x = A_{s1} \cdot f_{yk} / b_{eff} / \gamma_s / \lambda / \eta / (f_{ck} / \gamma_c) =$	0,03914 m
průměr třmíneků $\phi_s =$	8	mm	$\xi = x / d_{hv} =$	0,081 < $\xi_{bal,1}$ vyhoví
krytí třmíneků $c_{nom,s} =$	30	mm	$z = d - 0,5 \cdot \lambda \cdot x =$	0,500 m
krytí výztuže $c_{nom} =$	38	mm	$M_{Rd} = A_{s1} \cdot f_{yk} / \gamma_s \cdot z =$	495,5 kNm vyhoví
Návrh příčné výztuže nad trámem				
tloušťka desky $h_f =$	0,10	m	$b_{eff,1} =$	0,961 m
$\Delta F_d = b_{eff,1} \cdot \lambda \cdot x \cdot \eta \cdot f_{cd} =$	0,5015	MN	$\Delta x =$	3,79 m
$\Theta_f =$	27	°	$\cotg \Theta_f =$	1,963
návrh: profil výztuže	6	mm	$\sin \Theta_f =$	0,4540
			$\cos \Theta_f =$	0,8910
			$s_f =$	0,175 m
Plocha výztuže A_{sf}	1,616	cm ²		
$A_{sf,min} = v_{Ed} \cdot h_f \cdot s_f / (f_{yd} \cdot \cotg \Theta_f) =$	0,271	cm ²	<	$A_{sf} = 0,283$ cm ²
kontrola $v = 0,5 \cdot (1 - f_{ck}/250) =$	0,45			vyhoví
$v \cdot f_{cd} \cdot \sin \Theta_f \cdot \cos \Theta_f =$	3033,8	kPa	>	$v_{Ed} = 1323,3$ kPa vyhoví
Smyk smyková síla	$V_{Ed} =$	234,4	kN	
Smyková výztuž B500B	$E_s =$	200	GPa	$f_{yk} = 500$ MPa
redukováná mez kluzu třmíneků	$f_{red,ywd} = 0,8 \cdot f_{yk} =$	400	MPa	$\gamma_s = 1,15$
profil třmíneků	8	mm	počet střihů : 2	$A_{sw} = 1,005$ cm ²
sklon třmíneků $\alpha =$	90	°	$\sin \alpha =$	1,00
$b_w =$	0,25	m	$v = 0,6 \cdot (1 - f_{ck}/250) =$	0,54
sklon betonové diagonály $\cotg \Theta =$	2,500		$\Theta =$	21,801 °
pro $c = 0,9 \cdot d \cdot \cotg \Theta =$	1,1595	m		
Únosnost betonové diagonály $V_{Rd,max} = b_w \cdot c \cdot \sin \Theta \cdot f_{cd} \cdot v \cdot \sin \Theta =$	359,84	kN	>	V_{Ed}
minimální vzdálenost třmíneků $s_{min} = c \cdot A_{sw} \cdot f_{ywd} / V_{Ed} =$	0,173	m		
navržená vzdálenost třmíneků $s =$	0,150	m		
únosnost třmíneků $V_{Rds} = A_{sw} \cdot c / s \cdot f_{ywd} =$	270,30	kN	>	V_{Ed} vyhoví
Kontrola konstrukčních zásad				
$\rho_w = A_{sw} / (b_w \cdot s \cdot \sin \alpha) =$	0,002681		>	$\rho_{min} = 0,08 \cdot f_{ck}^{1/2} / f_{yk} = 0,0008$ vyhoví
vzdálenost třmíneků $s =$	0,150	m	<	$\min(0,75 \cdot d; 0,4) = 0,3865$ m vyhoví
kriterium duktility $A_{sw} \cdot f_{ywd} / (b_w \cdot s) =$	0,932		<	$0,5 \cdot v \cdot f_{cd} / \sin \alpha = 4,5$ vyhoví



8. OBVODOVÉ NOSNÍKY A PŘEKLADY OBOU PŘÍSTAVKŮ

Překlad P1 ve vnitřní stěně přístavby VZT

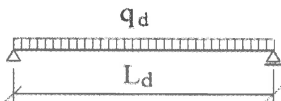
Zdivo POROTHERM 300 Profi s omítkou	3,57 kN/m ²	
tloušťka stěny	0,3 m	
výška zdiva nad překladem	1,92 m	(bez věnců)
věnce stropů - pod deskami	0,42 m	(0,15+0,27m)
plošná hmotnost stropů	4,8 kN/m ²	
užitné zatížení na stropu	5,00 kN/m ²	
zatěžovací šířka ze stropů	5,57 m	(cca 2 x rozpětí překladu)

	charakteristické		návrhové	
	kN/m	γ_f	kN/m	
zatížení od zdiva	6,85	1,35	9,25	
věnc stropu	3,15	1,35	4,25	
strop - stálé	26,71	1,35	36,06	
strop - užitné	27,83	1,50	41,74	
jiné zatížení	0,50	1,50	0,75	
vlastní tíha	3,00	1,35	4,05	
	vl. hmot.			
	<u>68,041</u>		<u>96,10</u>	
			$q_d =$	

$$q_{ik} = 68,04 \text{ kN/m}$$

$$\gamma_f = 1,412$$

$$q_d = 96,10 \text{ kN/m}$$

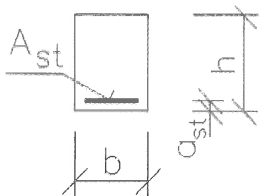


$$L_s = 2,65 \text{ m}$$

$$L_d = 2,78 \text{ m}$$

$$A_d = 1/2 \cdot q_d \cdot L_d = 133,7 \text{ kN}$$

$$M_d = 1/8 \cdot q_d \cdot L_d^2 = 93,0 \text{ kNm}$$



BETON C25/30

VÝZTUŽ B500B

$$f_{ck} = 25,00 \text{ MPa}$$

$$f_{yk} = 500 \text{ MPa}$$

$$f_{ctm} = 2,60 \text{ MPa}$$

$$E_s = 200 \text{ GPa}$$

$$\epsilon_{cu3} = 3,5 \text{ ‰}$$

$$\gamma_s = 1,15$$

$$\gamma_c = 1,5$$

$$\epsilon_{yd} = f_{yk} / \gamma_s / E_s = 2,174 \text{ ‰}$$

$$\lambda = 0,8$$

$$\eta = 1,00$$

$$\xi_{bal,1} = \epsilon_{cu3} / (\epsilon_{cu3} + \epsilon_{yd}) = 0,617$$

$$\text{šířka průřezu } b = 0,30 \text{ m}$$

$$A_{s1,max} = 0,04 \cdot A_c = 0,04 \cdot b \cdot h = 48,00 \text{ cm}^2$$

$$\text{výška průřezu } h = 0,40 \text{ m}$$

$$A_{s1,min} = \max[0,26 \cdot f_{ctm} \cdot b \cdot d / f_{yk}; 0,0013 \cdot b \cdot d] = 1,44 \text{ cm}^2$$

$$\text{profil výztuže } 16 \text{ mm}$$

$$\text{Plocha výztuže } A_{st} = 8,042 \text{ cm}^2 \text{ vyhoví}$$

$$\text{počet ks na šířku } b = 4 \text{ ks}$$

$$d_{hv} = 0,319 \text{ m} \quad d_1 = 46,0 \text{ mm}$$

$$\text{profil výztuže 2.vrst } 4 \text{ mm}$$

$$d = h - d_1 = 0,354 \text{ m}$$

$$\text{počet ks na šířku } b = 0 \text{ ks}$$

$$x = A_{s1} \cdot f_{yk} / b \cdot \gamma_s / \lambda / \eta / (f_{ck} / \gamma_c) = 0,08742 \text{ m}$$

$$\text{průměr třmínek } \phi_s = 8 \text{ mm}$$

$$\xi = x / d_{hv} = 0,274 < \xi_{bal,1} \text{ vyhoví}$$

$$\text{krytí třmínek } c_{nom,s} = 30 \text{ mm}$$

$$z = d - 0,5 \cdot \lambda \cdot x = 0,319 \text{ m}$$

$$\text{krytí výztuže } c_{nom} = 38 \text{ mm}$$

$$M_{Rd} = A_{s1} \cdot f_{yk} / \gamma_s \cdot z = 111,6 \text{ kNm} \text{ vyhoví}$$

Smyk smyková síla

$$V_{Ed} = 133,7 \text{ kN}$$

Smyková výztuž B500A

$$E_s = 200 \text{ GPa} \quad f_{yk} = 500 \text{ MPa}$$

redukováná mez kluzu třmínek

$$f_{red,ywd} = 0,8 \cdot f_{yk} = 400 \text{ MPa} \quad \gamma_s = 1,15$$

profil třmínek 8 mm

$$\text{počet stříhů : } 2 \quad A_{sw} = 1,005 \text{ cm}^2$$

sklon třmínek $\alpha = 90^\circ$

$$\sin \alpha = 1,00$$

$$b_w = 0,30 \text{ m}$$

$$v = 0,6 \cdot (1 - f_{ck} / 250) = 0,54$$

sklon betonové diagonály

$$\cotg \Theta = 2,000 \quad \Theta = 26,565^\circ$$



pro $c = z \cdot \cotg \Theta = 0,638 \text{ m}$
 Únosnost betonové diagonály $V_{Rd,max} = b_w \cdot c \cdot \sin \Theta \cdot f_{cd} \cdot v \cdot \sin \Theta = 344,6 \text{ kN} > V_{Ed}$
 minimální vzdálenost třmíneků $s_{min} = c \cdot A_{sw} \cdot f_{ywd} / V_{Ed} = 0,1669 \text{ m}$
 navržená vzdálenost třmíneků $s = 0,150 \text{ m}$
 únosnost třmíneků $V_{Rds} = A_{sw} \cdot c / s \cdot f_{ywd} = 148,74 \text{ kN} > V_{Ed}$ vyhoví

Kontrola konstrukčních zásad

$\rho_w = A_{sw} / (b_w \cdot s \cdot \sin \alpha) = 0,002234 >$ $\rho_{min} = 0,08 \cdot f_{ck}^{1/2} / f_{yk} = 0,0008$ vyhoví
 vzdálenost třmíneků $s = 0,150 \text{ m} \leq \min(0,75 \cdot d; 0,4) = 0,2655 \text{ m}$ vyhoví
 kritérium duktility $A_{sw} \cdot f_{ywd} / (b_w \cdot s) = 0,777 <$ $0,5 \cdot v \cdot f_{cd} / \sin \alpha = 4,5$ vyhoví

Překlad P2 nad oknem ve vnější stěně přístavby VZT

(součást věnce)

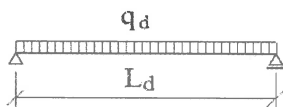
Zdivo POROTHERM 300 Profi s omítkou+zateplení 3,20 kN/m²
 tloušťka stěny 0,3 m věnce stropů - pod deskami 0,15 m
 výška zdiva nad překladem 6,55 m (bez věnců, s atikou)
 plošná hmotnost stropu 4,8 kN/m² plošná hmotnost střechy 7,1 kN/m²
 užité zatížení na stropu, střechy 5,00 kN/m²
 zatěžovací šířka ze stropu a střechy 1,58 m (cca rozpětí překladu)

	charakteristické		návrhové
	kN/m	γ_f	kN/m
zatížení od zdiva	20,96	1,35	28,30
věnc stropu	1,13	1,35	1,52
strop - stálé	7,56	1,35	10,21
strop - užité	7,88	1,50	11,81
střecha - stálé	11,18	1,35	15,10
střecha - užité	7,88	1,50	11,81
jiné zatížení	0,50	1,50	0,75
vlastní tíha	4,50	1,35	6,08
	61,578		$q_d = 85,57$

$q_k = 61,58 \text{ kN/m}$

$\gamma_f = 1,390$

$q_d = 85,57 \text{ kN/m}$

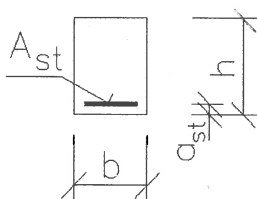


$L_s = 1,50 \text{ m}$

$L_d = 1,58 \text{ m}$

$A_d = 1/2 \cdot q_d \cdot L_d = 67,4 \text{ kN}$

$M_d = 1/8 \cdot q_d \cdot L_d^2 = 26,5 \text{ kNm}$



BETON C25/30

$M_d = 26,53 \text{ kNm}$
VÝZTUŽ B500B

$f_{ck} = 25,00 \text{ MPa}$

$f_{yk} = 500 \text{ MPa}$

$f_{ctm} = 2,60 \text{ MPa}$

$E_s = 200 \text{ GPa}$

$\epsilon_{cu3} = 3,5 \text{ ‰}$

$\gamma_s = 1,15$

$\gamma_c = 1,5$

$\epsilon_{yd} = f_{yk} / \gamma_s / E_s = 2,174 \text{ ‰}$

$\lambda = 0,8$

$\eta = 1,00$

$\xi_{bal,1} = \epsilon_{cu3} / (\epsilon_{cu3} + \epsilon_{yd}) = 0,617$

šířka průřezu $b = 0,30 \text{ m}$

$A_{s1,max} = 0,04 \cdot A_c = 0,04 \cdot b \cdot h = 72,00 \text{ cm}^2$

výška průřezu $h = 0,60 \text{ m}$

$A_{s1,min} = \max[0,26 \cdot f_{ctm} \cdot b \cdot d / f_{yk}; 0,0013 \cdot b \cdot d] = 2,28 \text{ cm}^2$

profil výztuže 12 mm

Plocha výztuže $A_{st} = 3,393 \text{ cm}^2$ vyhoví

počet ks na šířku b 3 ks

$d_{hv} = 0,53 \text{ m}$ $d_1 = 37,0 \text{ mm}$

profil výztuže 2.vrst 4 mm

$d = h - d_1 = 0,563 \text{ m}$

počet ks na šířku b 0 ks

$x = A_{s1} \cdot f_{yk} / b \cdot \gamma_s / \lambda / \eta / (f_{ck} / \gamma_c) = 0,03688 \text{ m}$

průměr třmíneků $\phi_s = 6 \text{ mm}$

$\xi = x / d_{hv} = 0,070 < \xi_{bal,1}$ vyhoví

krytí třmíneků $c_{nom,s} = 25 \text{ mm}$

$z = d - 0,5 \cdot \lambda \cdot x = 0,548 \text{ m}$

krytí výztuže $c_{nom} = 31 \text{ mm}$

$M_{Rd} = A_{s1} \cdot f_{yk} / \gamma_s \cdot z = 80,9 \text{ kNm}$ vyhoví



STATICKÝ VÝPOČET

BETONOVÉ KONSTRUKCE
DOKUMENTACE PRO PROVEDENÍ STAVBY

AKCE:
**ROZŠÍŘENÍ INFRASTRUKTURY
CENTRA INTEMAC**

ARCH. Č.: 1917-02

Strana: **78**

Smyk smyková síla $V_{Ed} = 67,4$ kN
 Smyková výztuž B500A $E_s = 200$ GPa $f_{yk} = 500$ MPa
 redukovaná mez kluzu třmíneků $f_{red, ywd} = 0,8 \cdot f_{yk} = 400$ MPa $\gamma_s = 1,15$
profil třmíneků 6 mm počet střihů : 2 $A_{sw} = 0,565$ cm²
 sklon třmíneků $\alpha = 90^\circ$ $\sin \alpha = 1,00$
 $b_w = 0,30$ m $v = 0,6 \cdot (1 - f_{ck}/250) = 0,54$
 sklon betonové diagonály $\cotg \Theta = 2,000$ $\Theta = 26,565^\circ$

pro $c = z \cdot \cotg \Theta = 1,096$ m
 Únosnost betonové diagonály $V_{Rd, max} = b_w \cdot c \cdot \sin \Theta \cdot f_{cd} \cdot v \cdot \sin \Theta = 592,1$ kN > V_{Ed}
 minimální vzdálenost třmíneků $s_{min} = c \cdot A_{sw} \cdot f_{ywd} / V_{Ed} = 0,3201$ m
 navržená vzdálenost třmíneků $s = 0,150$ m
 únosnost třmíneků $V_{Rds} = A_{sw} \cdot c / s \cdot f_{ywd} = 143,78$ kN > V_{Ed} vyhoví

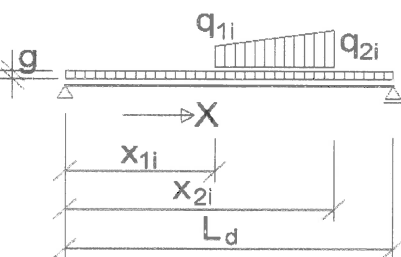
Kontrola konstrukčních zásad

$\rho_w = A_{sw} / (b_w \cdot s \cdot \sin \alpha) = 0,001257$ > $\rho_{min} = 0,08 \cdot f_{ck}^{1/2} / f_{yk} = 0,0008$ vyhoví
 vzdálenost třmíneků $s = 0,150$ m $\leq \min(0,75 \cdot d; 0,4) = 0,4$ m vyhoví
 kritérium duktility $A_{sw} \cdot f_{ywd} / (b_w \cdot s) = 0,437$ < $0,5 \cdot v \cdot f_{cd} / \sin \alpha = 4,5$ vyhoví

Překlad P3 nad oknem ve vnější stěně terasy

Zatížení

Střecha nad schodištěm zatěžovací šířka $b = 2,05$ m
 stálé $5,087$ kN/m² $\gamma_f = 1,35$
 sníh $0,720$ kN/m² $\gamma_f = 1,50$ užité $0,75$ kN/m² $\gamma_f = 1,50$
 atika $3,57$ kN/m² $\gamma_f = 1,35$ výška atiky $0,345$ m
 vlastní tíha $7,4575$ kN/m



$L_s = 8,46$ m
 $L_d = 8,88$ m
 $q_k = 8,689$ kN/m
 $\gamma_f = 1,35$
 $q_d = 11,730$ kN/m

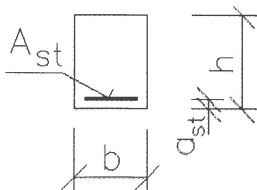
Spojité částečné zatížení

	$q_{k,1i}$ [kN/m]	$q_{k,2i}$ [kN/m]	$x_{1,i}$ [m]	$x_{2,i}$ [m]	γ_f
střecha stálé	10,43	10,43	10,75	8,88	1,35
střecha proměnné	3,01	3,01	10,8	8,88	1,50

$A_n = 41,234$ kN $A_d = 55,76$ kN
 $B_n = 10,835$ kN $B_d = 13,69$ kN
 $x_M = 4,442$ m $M_d = 131,94$ kNm $M_n = 97,44$ kNm

pružná deformace (bez vlivu smršťování a dotvarování)

$x_{fz} = 4,442$ m $f_z = 0,0016$ m = $L / 5475$



$\lambda = 0,8$

$\eta = 1,00$

BETON C25/30

$f_{ck} = 25,00$ MPa

$f_{ctm} = 2,60$ MPa

$\epsilon_{cu3} = 3,5$ ‰

$\gamma_c = 1,5$

$M_d = 131,94$ kNm

VÝZTUŽ B500B

$f_{yk} = 500$ MPa

$E_s = 200$ GPa

$\gamma_s = 1,15$

$\epsilon_{yd} = f_{yk} / \gamma_s / E_s = 2,174$ ‰

$\xi_{bal,1} = \epsilon_{cu3} / (\epsilon_{cu3} + \epsilon_{yd}) = 0,617$



šířka průřezu $b =$	0,38 m	$A_{s1,max} = 0,04 \cdot A_c = 0,04 \cdot b \cdot h =$	119,32 cm ²	
výška průřezu $h =$	0,785 m	$A_{s1,min} = \max[0,26 \cdot f_{ctm} \cdot b \cdot d / f_{yk}; 0,0013 \cdot b \cdot d] =$	3,77 cm ²	
profil výztuže	16 mm	Plocha výztuže A_{st}	6,032 cm ²	vyhoví
počet ks na šířku b	3 ks	$d_{hv} =$	0,693 m	$d_i =$ 51,0 mm
profil výztuže 2.vrst	16 mm	$d = h - d_i =$	0,734 m	
počet ks na šířku b	0 ks	$x = A_{s1} \cdot f_{yk} / b \cdot \gamma_s / \lambda / \eta / (f_{ck} / \gamma_c) =$	0,05176 m	
průměr třmínků $\phi_s =$	8 mm	$\xi = x / d_{hv} =$	0,075	$< \xi_{bal,1}$ vyhoví
krytí třmínků $c_{nom,s} =$	35 mm	$z = d - 0,5 \cdot \lambda \cdot x =$	0,713 m	
krytí výztuže $c_{nom} =$	43 mm	$M_{Rd} = A_{s1} \cdot f_{yk} / \gamma_s \cdot z =$	187,1 kNm	vyhoví

Smyk smyková síla	$V_{Ed} =$	55,76 kN	
Smyková výztuž B500A	$E_s =$	200 GPa	$f_{yk} =$ 500 MPa
redukovaná mez kluzu třmínků	$f_{red,ywd} = 0,8 \cdot f_{yk} =$	400 MPa	$\gamma_s = 1,15$
profil třmínků	8 mm	počet střihů :	2 $A_{sw} =$ 1,005 cm ²
sklon třmínků	$\alpha = 90^\circ$	$\sin \alpha =$	1,00 $\cotg \alpha =$ 0,0
$b_w =$	0,38 m	$v = 0,6 \cdot (1 - f_{ck} / 250) =$	0,54
sklon betonové diagonály	$\cotg \Theta =$	2,500	$\Theta = 21,801^\circ$

pro	$c = z \cdot \cotg \Theta =$	1,783 m	
Únosnost betonové diagonály	$V_{Rd,max} = b_w \cdot c \cdot \sin \Theta \cdot f_{cd} \cdot v \cdot \sin \Theta =$	841,2 kN	$> V_{Ed}$
minimální vzdálenost třmínků	$s_{min} = c \cdot A_{sw} \cdot f_{ywd} / V_{Ed} =$	1,1184 m	
navržená vzdálenost třmínků	$s =$	0,300 m	
únosnost třmínků	$V_{Rds} = A_{sw} \cdot c / s \cdot f_{ywd} =$	207,85 kN	$> V_{Ed}$ vyhoví

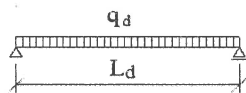
Kontrola konstrukčních zásad

$\rho_w = A_{sw} / (b_w \cdot s \cdot \sin \alpha) =$	0,000882	$>$	$\rho_{min} = 0,08 \cdot f_{ck}^{1/2} / f_{yk} =$	0,0008	vyhoví	
vzdálenost třmínků	$s =$	0,300 m	\leq	$\min(0,75 \cdot d; 0,4) =$	0,4 m	vyhoví
kriterium duktility	$A_{sw} \cdot f_{ywd} / (b_w \cdot s) =$	0,307	$<$	$0,5 \cdot v \cdot f_{cd} / \sin \alpha =$	4,5	vyhoví

Nosník N1 (pod střešou schodiště)

Zatížení

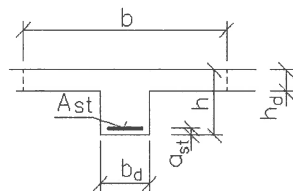
Sřecha nad schodištěm	zatěžovací šířka	$b =$	3,45 m
stálé	5,087 kN/m ²	$\gamma_f =$	1,35
sníh	0,720 kN/m ²	$\gamma_f =$	1,50
$g_k =$	22,62 kN/m	$\gamma_f =$	1,384
vl. hmot.	3,938 kN/m	$\gamma_f =$	1,35
		$q_d =$	36,62 kN/m
		$L_s =$	7,28 m
		$L_d =$	7,64 m



$$A_d = 1 / 2 \cdot q_d \cdot L_d = 139,94 \text{ kN}$$

$$M_d = 1 / 8 \cdot q_d \cdot L_d^2 = 267,43 \text{ kNm}$$

$$M_d = 267,43 \text{ kNm}$$



BETON C25/30	$f_{ck} =$	25,00 MPa	VÝZTUŽ B500B	$f_{yk} =$	500 MPa
	$f_{ctm} =$	2,60 MPa		$E_s =$	200 GPa
	$\varepsilon_{cu3} =$	3,5 ‰		$\gamma_s =$	1,15
	$\gamma_c =$	1,5		$\varepsilon_{yd} = f_{yk} / \gamma_s / E_s =$	2,174 ‰

stanovení spolupůsobící šířky

$L =$	7,64 m	$\kappa =$	1,00	$L_0 = \kappa \cdot L =$	7,644 m
$l_{s,desky,1} =$	2,05 m	$l_{s,desky,2} =$	1,30 m	$b_w =$	0,250 m
$b_{eff,1} = \min[0,2 \cdot (l_{s,desky,1}) / 2 + 0,1 \cdot L_0; 0,1 \cdot L_0] =$	0,969 m				
$b_{eff,2} = \min[0,2 \cdot (l_{s,desky,2}) / 2 + 0,1 \cdot L_0; 0,1 \cdot L_0] =$	0,894 m				



STATICKÝ VÝPOČET

BETONOVÉ KONSTRUKCE
DOKUMENTACE PRO PROVEDENÍ STAVBY

AKCE: ROZŠÍŘENÍ INFRASTRUKTURY CENTRA INTEMAC

ARCH. Č.: 1917-02

Strana: 80

spolupůsobící šířka $b_{eff} = \min[b_{eff,1} + b_{eff,2} + b_w; (l_{s,desky,1} + l_{s,desky,2})/2 + b_w] = 1,925 \text{ m}$

$A_{s1,min} = \max[0,26 \cdot f_{ctm} \cdot b_w \cdot d / f_{yk}; 0,0013 \cdot b_w \cdot d] = 1,93 \text{ cm}^2$

$\lambda = 0,8 \quad \eta = 1,00 \quad A_{s1,max} = 0,04 \cdot A_c = 0,04 \cdot b \cdot h = 63,00 \text{ cm}^2$

šířka průřezu $b_w = 0,25 \text{ m} \quad \xi_{bal,1} = \varepsilon_{cu3} / (\varepsilon_{cu3} + \varepsilon_{yd}) = 0,617$

výška průřezu $h = 0,63 \text{ m} \quad \text{Plocha výztuže } A_{st} = 12,064 \text{ cm}^2 > \text{min vyhoví}$

profil výztuže 16 mm

počet ks na šířku b 4 ks $d_{hv} = 0,543 \text{ m} \quad d_1 = 59,7 \text{ mm}$

profil výztuže 2.vrst 16 mm $d = h - d_1 = 0,570 \text{ m}$

počet ks na šířku b 2 ks $x = A_{s1} \cdot f_{yk} / b_{eff} / \gamma_s / \lambda / \eta / (f_{ck} / \gamma_c) = 0,02044 \text{ m}$

průměr třmínků $\phi_s = 8 \text{ mm} \quad \xi = x / d_{hv} = 0,038 < \xi_{bal,1} \text{ vyhoví}$

krytí třmínků $c_{nom,s} = 30 \text{ mm} \quad z = d - 0,5 \cdot \lambda \cdot x = 0,562 \text{ m}$

krytí výztuže $c_{nom} = 38 \text{ mm} \quad M_{Rd} = A_{s1} \cdot f_{yk} / \gamma_s \cdot z = 294,9 \text{ kNm} \text{ vyhoví}$

Návrh příčné výztuže nad trámem

tloušťka desky $h_f = 0,15 \text{ m} \quad b_{eff,1} = 0,969 \text{ m} \quad \Delta x = 3,82 \text{ m}$

$\Delta F_d = b_{eff,1} \cdot \lambda \cdot x \cdot \eta \cdot f_{cd} = 0,264 \text{ MN} \quad v_{Ed} = \Delta F_d / (h_f \cdot \Delta x) = 460,7 \text{ kPa}$

$\Theta_f = 45^\circ \quad \cotg \Theta_f = 1,000 \quad \sin \Theta_f = 0,7071 \quad s_f = 0,075 \text{ m}$

$\cos \Theta_f = 0,7071$

$A_{sf,min} = v_{Ed} \cdot h_f \cdot s_f / (f_{yd} \cdot \cotg \Theta_f) = 1,192 \text{ cm}^2 < A_{sf} = 6,702 \text{ cm}^2$

profil výztuže 8 mm $\text{Plocha výztuže } A_{sf} = 6,702 \text{ cm}^2$

kontrola $v = 0,5 \cdot (1 - f_{ck}/250) = 0,45$

$v \cdot f_{cd} \cdot \sin \Theta_f \cdot \cos \Theta_f = 3750,0 \text{ kPa} > v_{Ed} = 460,7 \text{ kPa} \text{ vyhoví}$

Smyk smyková síla

$V_{Ed} = 139,945 \text{ kN}$

Smyková výztuž B500A $E_s = 200 \text{ GPa} \quad f_{yk} = 500 \text{ MPa}$

redukováná mez kluzu třmínků $f_{red,ywd} = 0,8 \cdot f_{yk} = 400 \text{ MPa} \quad \gamma_s = 1,15$

profil třmínků 8 mm $\text{počet střihů : } 2 \quad A_{sw} = 1,005 \text{ cm}^2$

sklon třmínků $\alpha = 90^\circ \quad \sin \alpha = 1,00$

$b_w = 0,25 \text{ m} \quad v = 0,6 \cdot (1 - f_{ck}/250) = 0,54$

sklon betonové diagonály $\cotg \Theta = 1,600 \quad \Theta = 32,005^\circ$

pro $c = z \cdot \cotg \Theta = 0,899 \text{ m}$

Únosnost betonové diagonály $V_{Rd,max} = b_w \cdot c \cdot \sin \Theta \cdot f_{cd} \cdot v \cdot \sin \Theta = 568,5 \text{ kN} > V_{Ed}$

minimální vzdálenost třmínků $s_{min} = c \cdot A_{sw} \cdot f_{ywd} / V_{Ed} = 0,2247 \text{ m}$

navržená vzdálenost třmínků $s = 0,200 \text{ m}$

únosnost třmínků $V_{Rds} = A_{sw} \cdot c / s \cdot f_{ywd} = 157,26 \text{ kN} > V_{Ed} \text{ vyhoví}$

Kontrola konstrukčních zásad

$\rho_w = A_{sw} / (b_w \cdot s \cdot \sin \alpha) = 0,002011 > \rho_{min} = 0,08 \cdot f_{ck}^{1/2} / f_{yk} = 0,0008 \text{ vyhoví}$

vzdálenost třmínků $s = 0,200 \text{ m} < \min(0,75 \cdot d; 0,4) = 0,4 \text{ m} \text{ vyhoví}$

kriterium duktility $A_{sw} \cdot f_{ywd} / (b_w \cdot s) = 0,699 < 0,5 \cdot v \cdot f_{cd} / \sin \alpha = 4,5 \text{ vyhoví}$

Nosník N2 (pod střechou schodiště nade dveřmi šířky)

Nosník je součástí střešní desky, je uložen na zdivu a vytváří překlad nade dveřní šířky 1,0m.

Vyhoví minimální procento vyztužení.

pro průřez 250 x 580, beton C25/30 je z minimálního procento vyztužení nutná plocha výztuže

$A_{s1,min} = 1,78 \text{ cm}^2 \quad \text{profil výztuže } 14 \text{ mm} \quad \text{počet ks na šířku b } 2 \text{ ks}$

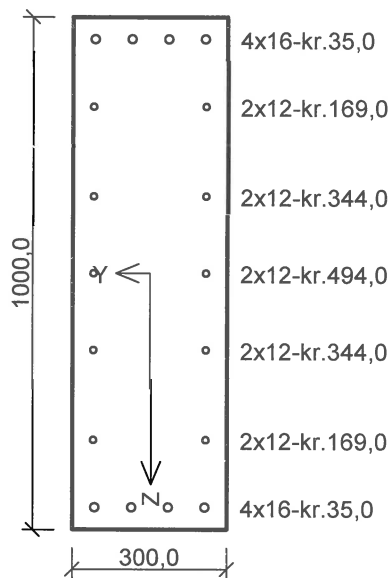
$\text{Plocha výztuže } A_{st} = 3,079 \text{ cm}^2 \text{ vyhoví}$

třmínky $\phi 6,0 \text{ mm}$ á 225 mm

$\rho_w = A_{sw} / (b_w \cdot s \cdot \sin \alpha) = 0,00100 > \rho_{min} = 0,08 \cdot f_{ck}^{1/2} / f_{yk} = 0,0008 \text{ vyhoví}$



Nosník N3 - Žebro nad vraty průjesdu pod strojvnou VZT



Typ prvku: nosník
Prostředí: XC1

Beton: C 25/30

$f_{ck} = 25,0 \text{ MPa}$; $f_{ctm} = 2,6 \text{ MPa}$; $E_{cm} = 31000 \text{ MPa}$

Ocel podélná: B500B ($f_{yk} = 500,0 \text{ MPa}$; $E_s = 200000 \text{ MPa}$)

Ocel příčná: B500 ($f_{yk} = 500,0 \text{ MPa}$; $E_s = 200000 \text{ MPa}$)

Vzpěr

Vzpěr není uvažován

S tlačnou výztuží je počítáno.

Obvodové třmínky

Profil: 10 mm; Vzdálenost: 175,0 mm; Krytí: 25,0 mm

Posouzení min. a max. stupně vyztužení

Nosník (tažená výztuž - minimum, celková výztuž - maximum):

$\rho_{s,t} = 0,00492 \geq \rho_{s,min} = 0,00135 \Rightarrow$ **Vyhovuje**

$\rho_s = 0,00913 \leq \rho_{s,max} = 0,04 \Rightarrow$ **Vyhovuje**

Stupeň vyztužení smykovou výztuží - Posouzení svisle

$\rho_{w,min} = 0,0008 \leq \rho_w = 0,00299 \Rightarrow$ **Vyhovuje**

Maximální vzdálenost třmínků $s_{l,max} = 400,0 \text{ mm} \Rightarrow$ **Vyhovuje**

Maximální vzdálenost větví třmínků $s_{t,max} = 600,0 \text{ mm}$

Stupeň vyztužení smykovou výztuží - Posouzení vodorovně

$\rho_{w,min} = 0,0008 \leq \rho_w = 0,000898 \Rightarrow$ **Vyhovuje**

Maximální vzdálenost třmínků $s_{l,max} = 177,7 \text{ mm} \Rightarrow$ **Vyhovuje**

Maximální vzdálenost větví třmínků $s_{t,max} = 177,7 \text{ mm}$

Maximální vzdálenost třmínků $s_{l,max} = 300,0 \text{ mm} \Rightarrow$ **Vyhovuje**

Posouzení mezního stavu únosnosti

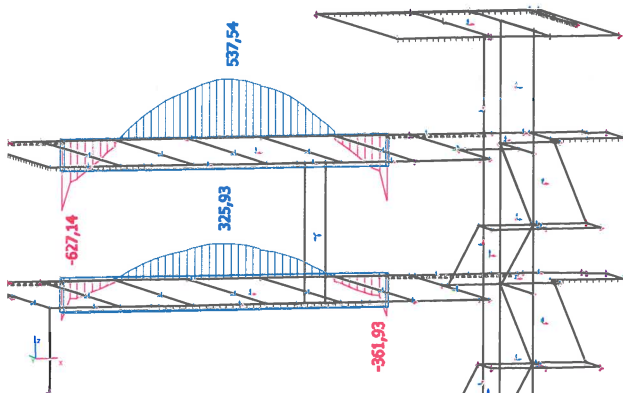
č.	Název	N_{Ed} N_{Rd} [kN]	M_{Edy} M_{Rdy} [kNm]	M_{Edz} M_{Rdz} [kNm]	V_{Edz} V_{Rdz} [kN]	V_{Edy} V_{Rdy} [kN]	T_{Ed} T_{Rd} [kNm]	Posouzení
1	1-B1_0m	-9,17	4,52	-21,11	-52,39	2,49	36,27	Vyhovuje
		-6095,79	31,19	-145,67	-146,91	6,98	101,70	
2	2-B1_3,35m	48,86	151,82	59,30	2,36	1,31	-2,15	Vyhovuje
		1276,40	303,63	118,59	110,16	61,15	-100,36	
3	3-B2_4,767m	26,82	17,28	11,24	-172,01	-63,20	21,28	Vyhovuje
		1276,40	202,78	131,90	-369,06	-135,60	45,66	
4	4-B1_1,783m	28,73	15,06	9,27	173,44	66,42	-22,51	Vyhovuje
		1276,40	212,61	130,87	358,50	137,29	-46,53	
5	5-B2_0,637m	10,56	-91,15	-19,22	-242,33	3,65	69,81	Vyhovuje
		1276,40	-431,99	-91,09	-265,42	4,00	76,46	
6	6-B1_5,912m	17,25	-89,17	-12,93	240,13	-1,77	-69,92	Vyhovuje
		1276,40	-474,76	-68,84	263,38	-1,94	-76,69	
7	7-B1_1m	14,34	-155,59	-22,96	-12,36	36,10	23,77	Vyhovuje
		1276,40	-473,95	-69,94	-39,86	116,43	76,66	
8	8-B2_3,2m	44,31	152,55	59,64	-0,88	0,11	1,54	Vyhovuje
		1276,40	304,25	118,95	-101,22	12,65	118,23	
9	9-B1_0,6m	4,95	-64,97	-25,89	-172,98	11,38	56,88	Vyhovuje
		1276,40	-307,14	-122,39	-246,01	16,18	80,89	

Mezní stav únosnosti **VYHOVUJE**

VYHOVUJE

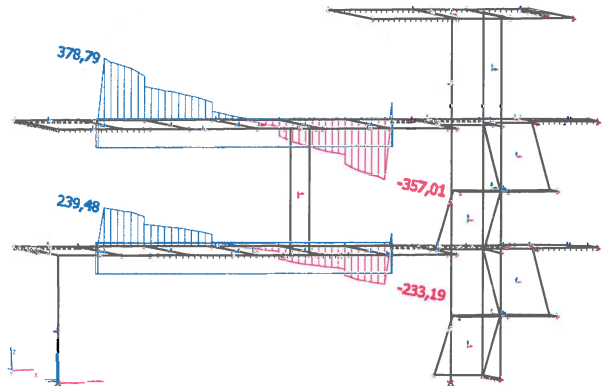


Obvodové průvlaky - žebra B1 a B2 - vnitřní síly
N [kN]

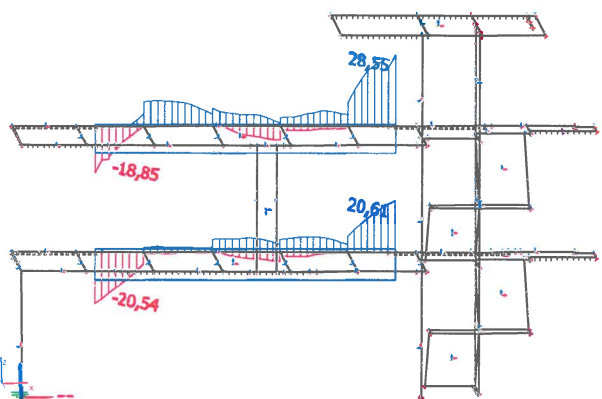
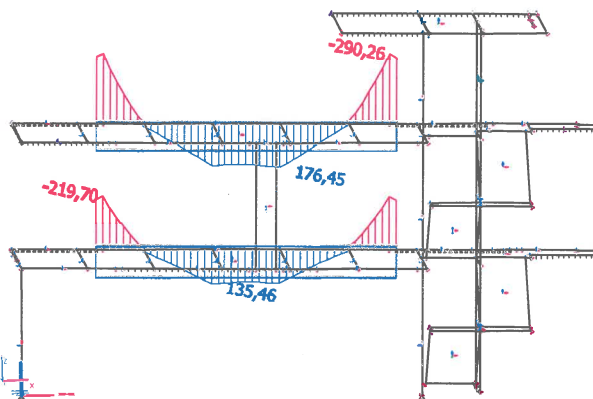


My [kNm]

Vz [kN]



Mx [kNm]



Vnitřní síly na prutu

Lineární výpočet, Extrém : Dílec, Systém : Hlavní, Žebro / integrační pás
Výběr : Pojmenovaný výběr - B1_nad otvorem
Kombinace : MSU-ze všech ZS

Dílec	css	dx [m]	Stav	N [kN]	Vy [kN]	Vz [kN]	Mx [kNm]	My [kNm]	Mz [kNm]
B32	CS6 - Obdélník	0,000	MSU-ze všech ZS/4	-627,14	-19,76	-109,83	-18,47	-276,64	-7,24
B32	CS6 - Obdélník	4,395	MSU-ze všech ZS/4	537,54	2,34	2,53	-1,43	165,90	-1,17
B32	CS6 - Obdélník	3,255	MSU-ze všech ZS/4	442,70	-33,44	56,45	5,97	166,73	11,71
B32	CS6 - Obdélník	8,400	MSU-ze všech ZS/4	-583,36	33,79	108,24	28,49	-272,83	0,39
B32	CS6 - Obdélník	8,200	MSU-ze všech ZS/4	-318,86	28,26	-357,01	23,25	-290,26	-8,37
B32	CS6 - Obdélník	0,200	MSU-ze všech ZS/4	-368,04	-11,04	378,79	-12,78	-287,61	-11,85
B32	CS6 - Obdélník	0,000	MSU-ze všech ZS/10	-605,54	-19,63	-105,07	-18,85	-269,64	-7,14
B32	CS6 - Obdélník	8,400	MSU-ze všech ZS/32	-554,55	32,79	104,31	28,55	-259,26	0,40
B32	CS6 - Obdélník	5,155	MSU-ze všech ZS/4	468,63	-18,69	-97,60	0,60	176,45	5,39
B32	CS6 - Obdélník	3,255	MSU-ze všech ZS/8	408,51	-33,32	54,55	5,25	151,69	11,80

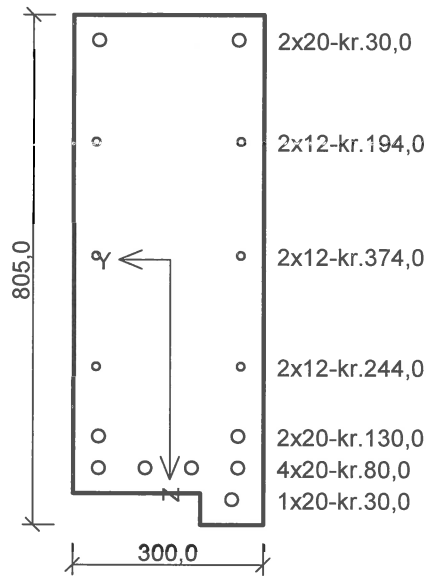
Vnitřní síly na prutu

Lineární výpočet, Extrém : Dílec, Systém : Hlavní, Žebro / integrační pás
Výběr : Pojmenovaný výběr - B2_nad otvorem
Kombinace : MSU-ze všech ZS

Dílec	css	dx [m]	Stav	N [kN]	Vy [kN]	Vz [kN]	Mx [kNm]	My [kNm]	Mz [kNm]
B24	CS4 - Obdélník	8,400	MSU-ze všech ZS/1	-361,93	13,72	77,90	20,46	-203,37	-5,00
B24	CS4 - Obdélník	4,205	MSU-ze všech ZS/1	325,93	0,23	-1,32	1,00	129,87	-1,42
B24	CS4 - Obdélník	3,255	MSU-ze všech ZS/7	234,24	-20,44	26,84	1,91	112,09	6,96
B24	CS4 - Obdélník	5,155	MSU-ze všech ZS/5	233,54	23,36	-32,79	3,02	111,84	7,88
B24	CS4 - Obdélník	8,200	MSU-ze všech ZS/1	-175,25	3,15	-233,19	19,20	-216,25	-6,44
B24	CS4 - Obdélník	0,200	MSU-ze všech ZS/1	-154,22	-1,46	239,48	-18,25	-219,70	-7,60
B24	CS4 - Obdélník	0,000	MSU-ze všech ZS/2	-343,84	-10,33	-79,21	-20,54	-201,79	-6,43
E24	CS4 - Obdélník	8,400	MSU-ze všech ZS/18	-355,07	13,73	76,89	20,61	-199,69	-4,91
B24	CS4 - Obdélník	3,255	MSU-ze všech ZS/1	267,26	15,88	74,90	0,17	135,46	5,10
B24	CS4 - Obdélník	0,200	MSU-ze všech ZS/4	-151,73	-1,22	238,96	-18,22	-219,53	-7,61



B1_Obvodové žebro nad 2.N



Typ prvku: nosník
Prostředí: XC1

Beton: C 25/30

$f_{ck} = 25,0 \text{ MPa}$; $f_{ctm} = 2,6 \text{ MPa}$; $E_{cm} = 31000 \text{ MPa}$

Ocel podélná: B500B ($f_{yk} = 500,0 \text{ MPa}$; $E_s = 200000 \text{ MPa}$)

Ocel příčná: B500 ($f_{yk} = 500,0 \text{ MPa}$; $E_s = 200000 \text{ MPa}$)

Vzpěr

Vzpěr není uvažován

S tlačnou výztuží je počítáno.

Obvodové třmínky

Profil: 10 mm; Vzdálenost: 100,0 mm; Krytí: 20,0 mm

Spony, vnitřní třmínky svislé

Profil: 6 mm; Vzdálenost: 250,0 mm; Střihy: 2

Posouzení min. a max. stupně vyztužení

Nosník (tažená výztuž - minimum, celková výztuž - maximum):

$\rho_{s,t} = 0,00455 \geq \rho_{s,min} = 0,00135 \Rightarrow$ **Vyhovuje**

$\rho_s = 0,0151 \leq \rho_{s,max} = 0,04 \Rightarrow$ **Vyhovuje**

Stupeň vyztužení smykovou výztuží - Posouzení svisle

$\rho_{w,min} = 0,0008 \leq \rho_w = 0,00599 \Rightarrow$ **Vyhovuje**

Maximální vzdálenost třmínků $s_{l,max} = 400,0 \text{ mm} \Rightarrow$ **Vyhovuje**

Maximální vzdálenost větví třmínků $s_{t,max} = 529,4 \text{ mm}$

Stupeň vyztužení smykovou výztuží - Posouzení vodorovně

$\rho_{w,min} = 0,0008 \leq \rho_w = 0,00208 \Rightarrow$ **Vyhovuje**

Maximální vzdálenost třmínků $s_{l,max} = 212,3 \text{ mm} \Rightarrow$ **Vyhovuje**

Maximální vzdálenost větví třmínků $s_{t,max} = 212,3 \text{ mm}$

Maximální vzdálenost třmínků $s_{l,max} = 276,3 \text{ mm} \Rightarrow$ **Vyhovuje**

Posouzení mezního stavu únosnosti

č.	Název	N_{Ed} N_{Rd} [kN]	M_{Edy} M_{Rdy} [kNm]	M_{Edz} M_{Rdz} [kNm]	V_{Edz} V_{Rdz} [kN]	V_{Edy} V_{Rdy} [kN]	T_{Ed} T_{Rd} [kNm]	Posouzení
1	1-B32_0m	-627,14	-276,64	-7,24	-109,83	-19,76	-18,47	Vyhovuje
		-5260,74	-490,77	-14,32	-308,40	-55,49	-51,86	
2	2-B32_4,395m	537,54	165,90	-1,17	2,53	2,34	-1,43	Vyhovuje
		1633,55	549,89	9,25	109,47	101,25	-61,87	
3	3-B32_3,255m	442,70	166,73	11,71	56,45	-33,44	5,97	Vyhovuje
		1633,55	518,91	60,83	318,75	-188,82	33,71	
4	4-B32_8,4m	-583,36	-272,83	0,39	108,24	33,79	28,49	Vyhovuje
		-5260,74	-483,03	-0,17	232,51	72,58	61,20	
5	6-B32_0,2m	-368,04	-287,61	-11,85	378,79	-11,04	-12,78	Vyhovuje
		-5260,74	-416,33	-17,73	563,11	-16,41	-19,00	
6	7-B32_0m	-605,54	-269,64	-7,14	-105,07	-19,63	-18,85	Vyhovuje
		-5260,74	-484,83	-14,31	-297,55	-55,59	-53,38	
7	8-B32_8,4m	-554,55	-259,26	0,40	104,31	32,79	28,55	Vyhovuje
		-5260,74	-474,89	-0,15	226,73	71,27	62,06	
8	9-B32_5,155m	468,63	176,45	5,39	-97,60	-18,69	0,60	Vyhovuje
		1633,55	545,49	33,73	-679,09	-130,04	4,17	
9	10-B32_3,255m	408,51	151,69	11,80	54,55	-33,32	5,25	Vyhovuje
		1633,55	515,61	67,51	328,09	-200,40	31,58	
10	Zat. případ 10	-383,72	251,11	11,80	0,00	0,00	0,00	Vyhovuje
		-5260,74	700,76	30,62	0,00	0,00	0,00	

Mezní stav únosnosti **VYHOVUJE**



STATICKÝ VÝPOČET

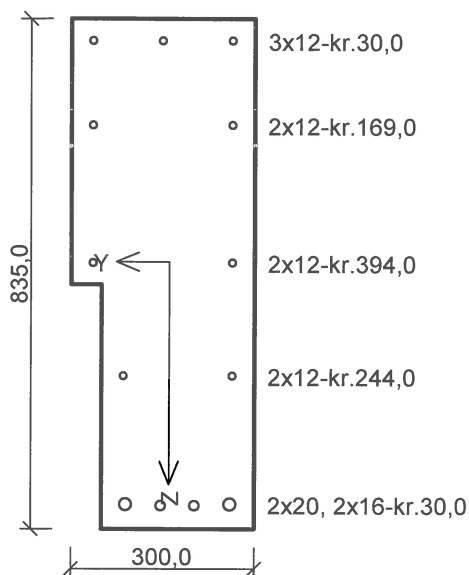
BETONOVÉ KONSTRUKCE
DOKUMENTACE PRO PROVEDENÍ STAVBY

AKCE:
**ROZŠÍŘENÍ INFRASTRUKTURY
CENTRA INTEMAC**

ARCH. Č.: 1917-02

Strana: **84**

B3_Obvodové žebro nad 2.NP



Typ prvku: nosník
Prostředí: XC1

Beton: C 25/30

$f_{ck} = 25,0 \text{ MPa}$; $f_{ctm} = 2,6 \text{ MPa}$; $E_{cm} = 31000 \text{ MPa}$

Ocel podélná: B500B ($f_{yk} = 500,0 \text{ MPa}$; $E_s = 200000 \text{ MPa}$)

Ocel příčná: B500 ($f_{yk} = 500,0 \text{ MPa}$; $E_s = 200000 \text{ MPa}$)

Vzpěr

Vzpěr není uvažován

S tlačnou výztuží je počítáno.

Obvodové třmínky

Profil: 8 mm; Vzdálenost: 150,0 mm; Krytí: 22,0 mm

Posouzení min. a max. stupně vyztužení

Nosník (tažená výztuž - minimum, celková výztuž - maximum):

$\rho_{s,t} = 0,00277 \geq \rho_{s,min} = 0,00135 \Rightarrow$ **Vyhovuje**

$\rho_s = 0,00889 \leq \rho_{s,max} = 0,04 \Rightarrow$ **Vyhovuje**

Stupeň vyztužení smykovou výztuží - Posouzení svise

$\rho_{w,min} = 0,0008 \leq \rho_w = 0,00268 \Rightarrow$ **Vyhovuje**

Maximální vzdálenost třmínků $s_{l,max} = 400,0 \text{ mm} \Rightarrow$ **Vyhovuje**

Maximální vzdálenost větví třmínků $s_{t,max} = 573,3 \text{ mm}$

Stupeň vyztužení smykovou výztuží - Posouzení vodorovně

$\rho_{w,min} = 0,0008 \leq \rho_w = 0,000803 \Rightarrow$ **Vyhovuje**

Maximální vzdálenost třmínků $s_{l,max} = 188,0 \text{ mm} \Rightarrow$ **Vyhovuje**

Maximální vzdálenost větví třmínků $s_{t,max} = 188,0 \text{ mm}$

Maximální vzdálenost třmínků $s_{l,max} = 283,8 \text{ mm} \Rightarrow$ **Vyhovuje**

Posouzení mezního stavu únosnosti

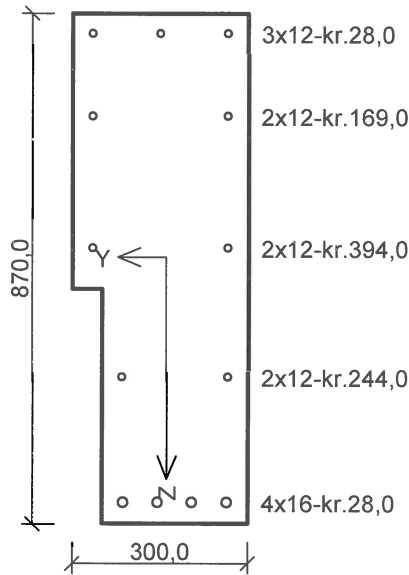
č.	Název	N_{Ed} N_{Rd} [kN]	M_{Edy} M_{Rdy} [kNm]	M_{Edz} M_{Rdz} [kNm]	V_{Edz} V_{Rdz} [kN]	V_{Edy} V_{Rdy} [kN]	T_{Ed} T_{Rd} [kNm]	Posouzení
1	1-B27_2,218m	-217,95	-41,57	-0,16	-186,80	25,53	24,22	Vyhovuje
		-4660,99	-320,66	-2,71	-249,72	34,13	32,38	
2	2-B30_2,295m	225,29	107,13	-7,23	35,73	-25,48	-18,71	Vyhovuje
		954,37	363,82	-28,08	91,88	-65,52	-48,11	
3	3-B30_4,215m	59,39	12,56	-27,46	69,77	-61,48	-4,47	Vyhovuje
		954,37	23,18	-91,65	221,69	-195,35	-14,20	
4	4-B30_0,395m	3,75	-7,92	13,34	195,48	50,39	15,85	Vyhovuje
		954,37	-56,39	90,14	294,43	75,90	23,87	
5	5-B30_0,2m	-15,09	-46,47	5,11	218,14	41,62	22,81	Vyhovuje
		-4660,99	-244,78	27,04	270,54	51,62	28,29	
6	6-B30_3,336m	156,38	48,14	1,73	-69,55	-11,87	-33,26	Vyhovuje
		954,37	363,09	30,20	-109,13	-18,62	-52,19	
7	7-B27_1,008m	-30,63	-5,84	0,36	-34,85	7,14	33,60	Vyhovuje
		-4660,99	-255,79	16,79	-92,13	18,87	59,79	
8	8-B29_0,18m	-57,92	-113,47	-9,95	-45,95	-9,86	-3,61	Vyhovuje
		-4660,99	-248,70	-22,01	-300,87	-64,56	-23,64	

Mezní stav únosnosti **VYHOVUJE**

VYHOVUJE



B4_Obvodové žebro nad 1.NP



Typ prvku: nosník
Prostředí: XC1

Beton: C 25/30

$f_{ck} = 25,0$ MPa; $f_{ctm} = 2,6$ MPa; $E_{cm} = 31000$ MPa

Ocel podélná: B500B ($f_{yk} = 500,0$ MPa; $E_s = 200000$ MPa)

Ocel příčná: B500 ($f_{yk} = 500,0$ MPa; $E_s = 200000$ MPa)

Vzpěr

Vzpěr není uvažován

S tlačnou výztuží je počítáno.

Obvodové třmínky

Profil: 8 mm; Vzdálenost: 150,0 mm; Krytí: 20,0 mm

Spony, vnitřní třmínky vodorovné

Profil: 8 mm; Vzdálenost: 300,0 mm; Střihy: 2

Posouzení min. a max. stupně vyztužení

Nosník (tažená výztuž - minimum, celková výztuž - maximum):

$\rho_{s,t} = 0,00317 \geq \rho_{s,min} = 0,00135 \Rightarrow$ **Vyhovuje**

$\rho_s = 0,00756 \leq \rho_{s,max} = 0,04 \Rightarrow$ **Vyhovuje**

Stupeň vyztužení smykovou výztuží - Posouzení visle

$\rho_{w,min} = 0,0008 \leq \rho_w = 0,00268 \Rightarrow$ **Vyhovuje**

Maximální vzdálenost třmínků $s_{l,max} = 400,0$ mm \Rightarrow **Vyhovuje**

Maximální vzdálenost větví třmínků $s_{t,max} = 597,3$ mm

Stupeň vyztužení smykovou výztuží - Posouzení vodorovně

$\rho_{w,min} = 0,0008 \leq \rho_w = 0,00116 \Rightarrow$ **Vyhovuje**

Maximální vzdálenost třmínků $s_{l,max} = 188,9$ mm \Rightarrow **Vyhovuje**

Maximální vzdálenost větví třmínků $s_{t,max} = 188,9$ mm

Maximální vzdálenost třmínků $s_{l,max} = 292,5$ mm \Rightarrow **Vyhovuje**

Posouzení mezního stavu únosnosti

č.	Název	N_{Ed} N_{Rd} [kN]	M_{Edy} M_{Rdy} [kNm]	M_{Edz} M_{Rdz} [kNm]	V_{Edz} V_{Rdz} [kN]	V_{Edy} V_{Rdy} [kN]	T_{Ed} T_{Rd} [kNm]	Posouzení
1	1-B18_5,058m	-139,24	-25,04	4,22	-99,01	-1,02	-2,29	Vyhovuje
		-4745,52	-275,95	49,88	-413,99	-4,26	-9,58	
2	2-B19_2,188m	66,91	18,51	2,60	-14,44	-2,81	-20,29	Vyhovuje
		848,98	270,91	66,12	-75,39	-14,67	-65,22	
3	3-B19_3,275m	29,89	-1,72	-10,65	12,73	-31,12	-3,42	Vyhovuje
		848,98	-34,52	-80,80	82,97	-202,82	-22,29	
4	4-B17_0m	61,65	16,58	-26,71	12,55	73,11	15,87	Vyhovuje
		848,98	39,13	-86,63	24,32	141,66	30,75	
5	5-B17_2,62m	-15,88	-36,44	3,17	-115,56	6,85	23,85	Vyhovuje
		-4745,52	-259,11	22,62	-199,05	11,80	41,08	
6	6-B19_0,2m	-8,52	-64,28	4,88	119,01	-1,96	-7,15	Vyhovuje
		-4745,52	-258,07	19,61	333,25	-5,49	-20,02	
7	7-B18_3,56m	-14,44	-2,56	-3,85	-5,84	-20,73	-22,36	Vyhovuje
		-4745,52	-50,14	-82,92	-18,36	-65,17	-62,16	
8	8-B17_1,008m	48,64	27,57	1,06	-14,37	9,47	33,97	Vyhovuje
		848,98	353,08	19,16	-60,08	39,59	68,88	
9	9-B19_1,355m	50,41	32,39	-5,14	66,87	-18,13	-11,37	Vyhovuje
		848,98	333,57	-60,40	221,87	-60,15	-37,72	
10	10-B18_4,695m	-80,27	-15,69	8,11	-56,76	49,16	16,34	Vyhovuje
		-4745,52	-148,64	82,73	-144,84	125,45	41,70	

Mezní stav únosnosti VYHOVUJE



STATICKÝ VÝPOČET

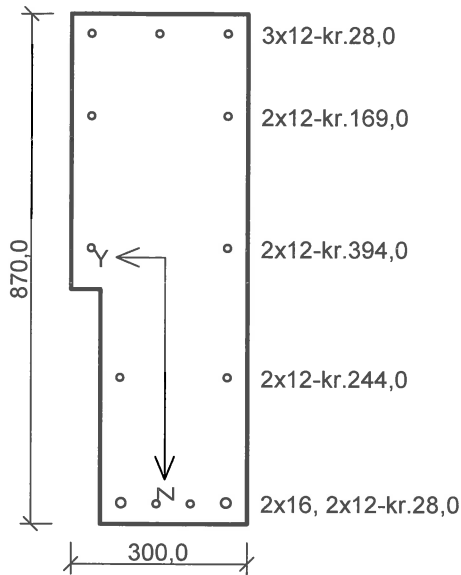
BETONOVÉ KONSTRUKCE
DOKUMENTACE PRO PROVEDENÍ STAVBY

AKCE: ROZŠÍŘENÍ INFRASTRUKTURY CENTRA INTEMAC

ARCH. Č.: 1917-02

Strana: 88

B5_Obvodové žebro nad 1.NP



Typ prvku: nosník
Prostředí: XC1

Beton: C 25/30

$f_{ck} = 25,0 \text{ MPa}$; $f_{ctm} = 2,6 \text{ MPa}$; $E_{cm} = 31000 \text{ MPa}$

Ocel podélná: B500B ($f_{yk} = 500,0 \text{ MPa}$; $E_s = 200000 \text{ MPa}$)

Ocel příčná: B500 ($f_{yk} = 500,0 \text{ MPa}$; $E_s = 200000 \text{ MPa}$)

Vzpěr

Vzpěr není uvažován

S tlačnou výztuží je počítáno.

Obvodové třmínky

Profil: 8 mm; Vzdálenost: 175,0 mm; Krytí: 20,0 mm

Spony, vnitřní třmínky vodorovné

Profil: 8 mm; Vzdálenost: 250,0 mm; Střihy: 2

Posouzení min. a max. stupně vyztužení

Nosník (tažená výztuž - minimum, celková výztuž - maximum):

$\rho_{s,t} = 0,00328 \geq \rho_{s,min} = 0,00135 \Rightarrow$ **Vyhovuje**

$\rho_s = 0,00683 \leq \rho_{s,max} = 0,04 \Rightarrow$ **Vyhovuje**

Stupeň vyztužení smykovou výztuží - Posouzení svisle

$\rho_{w,min} = 0,0008 \leq \rho_w = 0,0023 \Rightarrow$ **Vyhovuje**

Maximální vzdálenost třmínků $s_{l,max} = 400,0 \text{ mm} \Rightarrow$ **Vyhovuje**

Maximální vzdálenost větví třmínků $s_{t,max} = 590,9 \text{ mm}$

Stupeň vyztužení smykovou výztuží - Posouzení vodorovně

$\rho_{w,min} = 0,0008 \leq \rho_w = 0,00112 \Rightarrow$ **Vyhovuje**

Maximální vzdálenost třmínků $s_{l,max} = 177,0 \text{ mm} \Rightarrow$ **Vyhovuje**

Maximální vzdálenost větví třmínků $s_{t,max} = 177,0 \text{ mm}$

Maximální vzdálenost třmínků $s_{l,max} = 292,5 \text{ mm} \Rightarrow$ **Vyhovuje**

Posouzení mezního stavu únosnosti

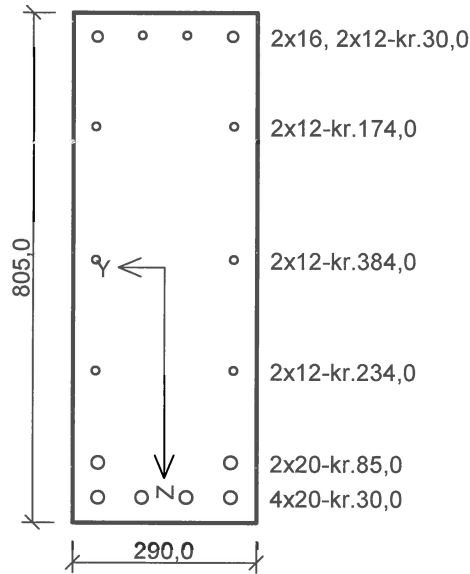
č.	Název	N_{Ed} N_{Rd} [kN]	M_{Edy} M_{Rdy} [kNm]	M_{Edz} M_{Rdz} [kNm]	V_{Edz} V_{Rdz} [kN]	V_{Edy} V_{Rdy} [kN]	T_{Ed} T_{Rd} [kNm]	Posouzení
1	1-B22_0m	-64,68	-52,36	-5,18	120,43	1,10	-2,88	Vyhovuje
		-4675,14	-251,90	-25,27	330,10	3,02	-7,89	
2	2-B21_1,006m	64,35	37,76	-0,37	0,92	-7,10	-28,71	Vyhovuje
		767,01	307,28	-2,02	9,40	-72,57	-66,12	
3	3-B21_0m	59,81	14,33	26,72	31,06	-71,96	-11,98	Vyhovuje
		767,01	32,93	77,29	72,12	-167,08	-27,82	
4	4-B22_4,06m	-3,52	40,69	26,82	112,44	64,48	15,27	Vyhovuje
		-4675,14	122,84	80,92	206,09	118,18	27,99	
5	5-B21_3,42m	-51,78	-34,82	-4,91	-100,59	-1,45	-6,30	Vyhovuje
		-4675,14	-233,03	-33,41	-285,25	-4,11	-17,87	
6	6-B22_0m	-64,49	-52,37	-5,17	120,53	1,10	-2,87	Vyhovuje
		-4675,14	-251,91	-25,22	330,21	3,01	-7,86	
7	7-B21_1,006m	63,49	36,81	-0,43	0,22	-7,10	-28,82	Vyhovuje
		767,01	307,95	-2,67	2,02	-65,28	-66,03	
8	8-B22_3,248m	-45,44	7,90	1,83	27,90	12,39	29,43	Vyhovuje
		-4675,14	275,17	59,69	76,76	34,09	60,41	
9	9-B21_3,62m	-60,41	-53,40	-5,13	-2,53	0,27	-3,19	Vyhovuje
		-4675,14	-251,47	-24,47	-86,19	9,20	-60,48	

Mezní stav únosnosti **VYHOVUJE**

VYHOVUJE



T2 Nosník podél sch+7,000



Typ prvku: nosník
Prostředí: XC1

Beton: C 25/30

$f_{ck} = 25,0$ MPa; $f_{ctm} = 2,6$ MPa; $E_{cm} = 31000$ MPa

Ocel podélná: B500B ($f_{yk} = 500,0$ MPa; $E_s = 200000$ MPa)

Ocel příčná: B500 ($f_{yk} = 500,0$ MPa; $E_s = 200000$ MPa)

Vzpěr

Vzpěr není uvažován

S tlačnou výztuží není počítáno.

Obvodové třmínky

Profil: 8 mm; Vzdálenost: 60,0 mm; Krytí: 22,0 mm

Spony, vnitřní třmínky vodorovné

Profil: 10 mm; Vzdálenost: 200,0 mm; Střihy: 2

Posouzení min. a max. stupně vyztužení

Nosník (tažená výztuž - minimum, celková výztuž - maximum):

$\rho_{s,t} = 0,00835 \geq \rho_{s,min} = 0,00135 \Rightarrow$ **Vyhovuje**

$\rho_s = 0,0137 \leq \rho_{s,max} = 0,04 \Rightarrow$ **Vyhovuje**

Stupeň vyztužení smykovou výztuží - Posouzení svisle

$\rho_{w,min} = 0,0008 \leq \rho_w = 0,00578 \Rightarrow$ **Vyhovuje**

Maximální vzdálenost třmínků $s_{l,max} = 400,0$ mm \Rightarrow **Vyhovuje**

Maximální vzdálenost větví třmínků $s_{t,max} = 547,5$ mm

Stupeň vyztužení smykovou výztuží - Posouzení vodorovně

$\rho_{w,min} = 0,0008 \leq \rho_w = 0,00306 \Rightarrow$ **Vyhovuje**

Maximální vzdálenost třmínků $s_{l,max} = 209,1$ mm \Rightarrow **Vyhovuje**

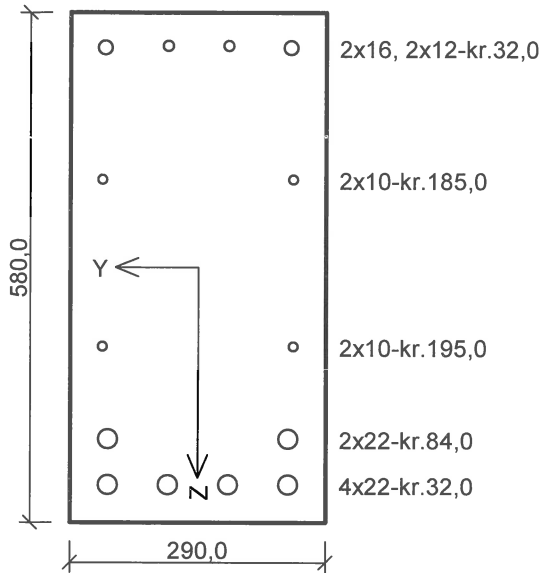
Maximální vzdálenost větví třmínků $s_{t,max} = 209,1$ mm

Maximální vzdálenost třmínků $s_{l,max} = 273,8$ mm \Rightarrow **Vyhovuje**

Posouzení mezního stavu únosnosti

č.	Název	N_{Ed}	M_{Edy}	M_{Edz}	V_{Edz}	V_{Edy}	T_{Ed}	Posouzení
		N_{Rd} [kN]	M_{Rdy} [kNm]	M_{Rdz} [kNm]	V_{Rdz} [kN]	V_{Rdy} [kN]	T_{Rd} [kNm]	
1	Zat. případ 1	2,05	20,16	-6,11	-100,99	63,58	-6,03	Vyhovuje
		1487,18	362,78	-111,30	-463,94	292,08	-27,70	
2	Zat. případ 2	335,71	192,70	101,60	-16,75	-21,73	-12,59	Vyhovuje
		1487,18	214,74	116,50	-107,04	-138,86	-80,45	
3	Zat. případ 3	218,32	104,12	41,90	-110,60	-95,30	-0,02	Vyhovuje
		1487,18	250,38	121,94	-458,98	-395,49	-0,08	
4	Zat. případ 4	31,82	12,74	18,49	-171,19	166,56	-73,36	Vyhovuje
		1487,18	72,85	145,89	-174,42	169,70	-74,74	
5	Zat. případ 5	5,58	43,34	-13,27	-188,23	131,67	-8,83	Vyhovuje
		1487,18	360,09	-111,86	-463,28	324,07	-21,73	
6	Zat. případ 6	60,94	41,71	16,40	163,01	130,06	-14,01	Vyhovuje
		1487,18	274,99	128,86	377,85	301,47	-32,47	
7	Zat. případ 7	176,71	224,37	101,66	21,56	-14,67	18,26	Vyhovuje
		1487,18	266,21	122,71	114,82	-78,13	97,24	
8	Zat. případ 8	21,34	3,86	1,93	76,08	61,22	-9,23	Vyhovuje
		1487,18	92,15	148,01	339,95	273,55	-41,24	
9	Zat. případ 9	176,71	224,37	101,66	21,56	-14,67	18,26	Vyhovuje
		1487,18	266,21	122,71	114,82	-78,13	97,24	
10	Zat. případ 10	288,43	206,05	111,02	9,26	-4,54	1,16	Vyhovuje
		1487,18	219,98	120,14	389,34	-190,88	48,77	

Mezní stav únosnosti VYHOVUJE

**T5 Nosník podél schodiště+3,370**Typ prvku: nosník
Prostředí: XC1**Beton: C 25/30** $f_{ck} = 25,0 \text{ MPa}$; $f_{ctm} = 2,6 \text{ MPa}$; $E_{cm} = 31000 \text{ MPa}$ **Ocel podélná: B500B** ($f_{yk} = 500,0 \text{ MPa}$; $E_s = 200000 \text{ MPa}$)**Ocel příčná: B500** ($f_{yk} = 500,0 \text{ MPa}$; $E_s = 200000 \text{ MPa}$)**Vzpěr**

Vzpěr není uvažován

S tlačnou výztuží není počítáno.

Obvodové třmínky

Profil: 6 mm; Vzdálenost: 65,0 mm; Krytí: 26,0 mm

Spony, vnitřní třmínky vodorovně

Profil: 6 mm; Vzdálenost: 150,0 mm; Střihy: 1

Posouzení min. a max. stupně vyztužení

Nosník (tažená výztuž - minimum, celková výztuž - maximum):

 $\rho_{s,t} = 0,0162 \geq \rho_{s,min} = 0,00135 \Rightarrow$ **Vyhovuje** $\rho_s = 0,0192 \leq \rho_{s,max} = 0,04 \Rightarrow$ **Vyhovuje****Stupeň vyztužení smykovou výztuží - Posouzení svisle** $\rho_{w,min} = 0,0008 \leq \rho_w = 0,003 \Rightarrow$ **Vyhovuje**

Maximální vzdálenost třmínků

 $s_{l,max} = 389,7 \text{ mm} \Rightarrow$ **Vyhovuje**

Maximální vzdálenost větví třmínků

 $s_{t,max} = 389,7 \text{ mm}$ **Stupeň vyztužení smykovou výztuží - Posouzení vodorovně** $\rho_{w,min} = 0,0008 \leq \rho_w = 0,00182 \Rightarrow$ **Vyhovuje**

Maximální vzdálenost třmínků

 $s_{l,max} = 209,4 \text{ mm} \Rightarrow$ **Vyhovuje**

Maximální vzdálenost větví třmínků

 $s_{t,max} = 209,4 \text{ mm}$ Maximální vzdálenost třmínků $s_{l,max} = 217,5 \text{ mm} \Rightarrow$ **Vyhovuje****Posouzení mezního stavu únosnosti**

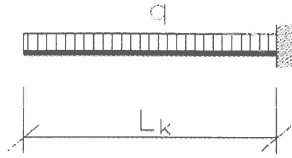
č.	Název	N_{Ed} N_{Rd} [kN]	M_{Edy} M_{Rdy} [kNm]	M_{Edz} M_{Rdz} [kNm]	V_{Edz} V_{Rdz} [kN]	V_{Edy} V_{Rdy} [kN]	T_{Ed} T_{Rd} [kNm]	Posouzení
1	1-B7_0m	2,09	15,07	-2,11	-48,41	32,05	3,31	Vyhovuje
		1501,82	354,00	-50,32	-213,80	141,55	14,62	
2	2-B7_6,144m	189,53	47,23	34,29	-8,99	-29,02	-7,02	Vyhovuje
		1501,82	114,55	123,81	-41,09	-132,63	-32,08	
3	3-B7_4,992m	139,94	32,86	35,18	34,44	-46,95	-12,18	Vyhovuje
		1501,82	76,94	126,27	91,34	-124,52	-32,30	
4	4-B7_7,68m	129,15	-7,03	-0,84	-68,09	105,76	-24,75	Vyhovuje
		1501,82	-146,72	-6,26	-85,17	132,29	-30,96	
5	5-B7_0m	4,18	25,09	-3,71	-81,72	56,50	6,27	Vyhovuje
		1501,82	349,47	-52,60	-204,46	141,36	15,69	
6	6-B7_0,384m	19,72	21,01	13,66	63,07	60,39	-4,74	Vyhovuje
		1501,82	169,88	121,95	174,57	167,15	-13,12	
7	7-B7_4,224m	50,22	40,28	33,01	-48,25	-19,82	16,35	Vyhovuje
		1501,82	139,35	127,54	-126,28	-51,87	42,79	
8	8-B7_7,68m	121,70	-8,53	-3,94	-62,08	90,50	-23,46	Vyhovuje
		1501,82	-139,00	-26,99	-85,99	125,36	-32,50	
9	9-B7_2,496m	60,51	80,13	59,08	-1,54	5,21	8,05	Vyhovuje
		1501,82	159,71	123,24	-21,16	71,59	60,28	
10	10-B7_7,68m	116,34	-8,36	-4,70	-58,22	82,05	-22,72	Vyhovuje
		1501,82	-136,56	-32,69	-85,83	120,96	-33,49	

Mezní stav únosnosti VYHOVUJE

**Schodišťové rameno (deska) jako konzola ze stěny tloušťky 150mm**

Zatížení rameno (tl. desky 150mm)

stáé zatížení	$g_k = 6,027$	kN/m^2	$\gamma_f = 1,35$
proměnné	$p_k = 3,00$	kN/m^2	$\gamma_f = 1,50$
Zatěžovací šířka	$b = 1,00$	m	
Rozměr trámu konzoly (pod deskou)	$h = 0,15$	m	$b = 0,20$ m
objemová hmotnost betonu	25	kN/m^3	

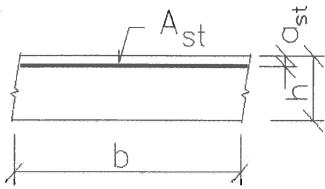


$$L_k = 1,30 \text{ m}$$

$$q_k = 9,78 \text{ kN/m} \quad q_d = 13,6 \text{ kN/m}$$

$$M_d = 1/2 \cdot q_d \cdot L_k^2 = 11,53 \text{ kNm}$$

$$A_d = q_d \cdot L_k = 17,74 \text{ kNm}$$



BETON C25/30	$f_{ck} = 25,00$ MPa	VÝZTUŽ B500B	$f_{yk} = 500$ MPa
	$f_{ctm} = 2,60$ MPa		$E_s = 200$ GPa
	$\epsilon_{cu3} = 3,5$ ‰		$\gamma_s = 1,15$
	$\gamma_c = 1,5$		$\epsilon_{yd} = f_{yk} / \gamma_s / E_s = 2,174$ ‰
$\lambda = 0,8$	$\eta = 1,00$		$\xi_{bal,1} = \epsilon_{cu3} / (\epsilon_{cu3} + \epsilon_{yd}) = 0,617$
šířka průřezu $b = 1,00$ m		$A_{s1,max} = 0,04 \cdot A_c = 0,04 \cdot b \cdot h = 60,00$ cm ²	
výška průřezu $h = 0,15$ m		$A_{s1,min} = \max[0,26 \cdot f_{ctm} \cdot b \cdot d / f_{yk}; 0,0013 \cdot b \cdot d] = 1,69$ cm ²	
profil výztuže 10 mm		plocha výztuže $A_{s1} = 3,142$ cm ²	vyhoví
vzdálenost výztuže 0,250 m		$x = A_{s1} \cdot f_{yk} / \gamma_s / \lambda / \eta / (f_{ck} / \gamma_c) = 0,01024$ m	
krytí výztuže $c_{nom} = 20,0$ mm		$\xi = x / d = 0,082 < \xi_{bal,1}$	vyhoví
$d_1 = c_{nom} + \phi / 2 = 25,00$ mm		$z = d - 0,5 \cdot \lambda \cdot x = 0,121$ m	
$d = h - d_1 = 0,1250$ m		$M_{Rd} = A_{s1} \cdot f_{yk} / \gamma_s \cdot z = 16,51$ kNm	vyhoví

Smyková síla $V_{Ed} = 17,74$ kN/bm
 součinitel smykové únosnosti $C_{Rd,c} = 0,18 / \gamma_c = 0,12$ uvažovat vliv normálové síly ne

součinitel výšky $k = \min[(200 / d)^{1/2}; 2,0] = 2,000$

stupeň vyztužení $\rho_1 = \min[A_{s1} / (b_w \cdot d); 0,02] = 0,0025$

$$V_{Rcn} = 0,15 \cdot \rho_{cp} \cdot b_w \cdot d = -12,5 \text{ kN}$$

$$V_{Rcm} = C_{Rd,c} \cdot k \cdot (100 \cdot \rho_1 \cdot f_{ck})^{1/3} \cdot b_w \cdot d = 55,36 \text{ kN}$$

$$V_{Rcm} + V_{Rcn} = 55,36 \text{ kN}$$

přibližně $V_R \approx 0,25 \cdot b \cdot d \cdot f_{ct} = 81,25$ kN ($f_{ct} = f_{ctm}/1,0$)

Únosnost prvku bez smykové výztuže

$$v_{min} = 0,035 \cdot k^{3/2} \cdot f_{ck}^{1/2} = 0,4950$$

$$V_{Rd,c,min} = v_{min} \cdot b_w \cdot d = 61,87 \text{ kN}$$

Smyková únosnost bez smykové výztuže

$$V_{Rc} = \max(V_{Rc,min}; V_{Rcm} + V_{Rcn}) = 61,87 \text{ kN}$$

není nutná smyková výztuž



M1 - Konzola mezipodesty

Zatížení z desky (tl. desky 150mm)

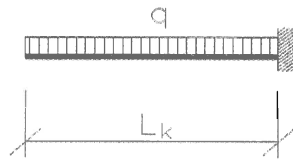
stáé zatížení $g_k = 4,218 \text{ kN/m}^2$ $\gamma_f = 1,35$

proměnné $p_k = 3,00 \text{ kN/m}^2$ $\gamma_f = 1,50$

Zatěžovací šířka $b = 2,8 \text{ m}$

Rozměr trámu konzoly (pod deskou) $h = 0,15 \text{ m}$ $b = 0,20 \text{ m}$

objemová hmotnost betonu 25 kN/m^3

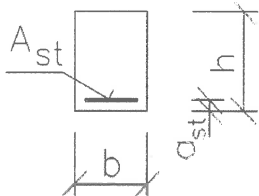


$L_k = 1,30 \text{ m}$

$q_k = 20,96 \text{ kN/m}$ $q_d = 29,6 \text{ kN/m}$

$M_d = 1/2 \cdot q_d \cdot L_k^2 = 24,98 \text{ kNm}$

$A_d = q_d \cdot L_k = 38,42 \text{ kNm}$



BETON C25/30

$M_d = 24,98 \text{ kNm}$
VÝZTUŽ B500B

$f_{ck} = 25,00 \text{ MPa}$

$f_{yk} = 500 \text{ MPa}$

$f_{ctm} = 2,60 \text{ MPa}$

$E_s = 200 \text{ GPa}$

$\epsilon_{cu3} = 3,5 \text{ ‰}$

$\gamma_s = 1,15$

$\gamma_c = 1,5$

$\epsilon_{yd} = f_{yk} / \gamma_s / E_s = 2,174 \text{ ‰}$

$\lambda = 0,8$

$\eta = 1,00$

$\xi_{bal,1} = \epsilon_{cu3} / (\epsilon_{cu3} + \epsilon_{yd}) = 0,617$

šířka průřezu $b = 0,20 \text{ m}$

$A_{s1,max} = 0,04 \cdot A_c = 0,04 \cdot b \cdot h = 28,00 \text{ cm}^2$

výška průřezu $h = 0,350 \text{ m}$

$A_{s1,min} = \max[0,26 \cdot f_{ctm} \cdot b \cdot d / f_{yk}; 0,0013 \cdot b \cdot d] = 0,82 \text{ cm}^2$

profil výztuže 12 mm

Plocha výztuže $A_{st} = 3,393 \text{ cm}^2$ vyhoví

počet ks na šířku b 3 ks

$d_{hv} = 0,272 \text{ m}$ $d_1 = 47,0 \text{ mm}$

profil výztuže 2.vrst 0 mm

$d = h - d_1 = 0,303 \text{ m}$

počet ks na šířku b 0 ks

$x = A_{s1} \cdot f_{yk} / b \cdot \gamma_s / \lambda / \eta / (f_{ck} / \gamma_c) = 0,05532 \text{ m}$

průměr třmínek $\phi_s = 6 \text{ mm}$

$\xi = x / d_{hv} = 0,203 < \xi_{bal,1}$ vyhoví

krytí třmínek $c_{nom,s} = 35 \text{ mm}$

$z = d - 0,5 \cdot \lambda \cdot x = 0,281 \text{ m}$

krytí výztuže $c_{nom} = 41 \text{ mm}$

$M_{Rd} = A_{s1} \cdot f_{yk} / \gamma_s \cdot z = 41,4 \text{ kNm}$ vyhoví

Smyk smyková síla

$V_{Ed} = 38,42 \text{ kN}$

Smyková výztuž B500A

$E_s = 200 \text{ GPa}$ $f_{yk} = 500 \text{ MPa}$

redukováná mez kluzu třmínek

$f_{red,ywd} = 0,8 \cdot f_{yk} = 400 \text{ MPa}$ $\gamma_s = 1,15$

profil třmínek 6 mm

počet střihů : 2 $A_{sw} = 0,565 \text{ cm}^2$

sklon třmínek $\alpha = 90^\circ$

$\sin \alpha = 1,00$ $\cotg \alpha = 0,0$

$b_w = 0,20 \text{ m}$

$v = 0,6 \cdot (1 - f_{ck}/250) = 0,54$

sklon betonové diagonály

$\cotg \Theta = 2,500$ $\Theta = 21,801^\circ$

pro $c = z \cdot \cotg \Theta = 0,702 \text{ m}$

Únosnost betonové diagonály

$V_{Rd,max} = b_w \cdot c \cdot \sin \Theta \cdot f_{cd} \cdot v \cdot \sin \Theta = 174,3 \text{ kN} > V_{Ed}$

minimální vzdálenost třmínek

$s_{min} = c \cdot A_{sw} \cdot f_{ywd} / V_{Ed} = 0,3594 \text{ m}$

navržená vzdálenost třmínek

$s = 0,200 \text{ m}$

únosnost třmínek

$V_{Rds} = A_{sw} \cdot c / s \cdot f_{ywd} = 69,06 \text{ kN} > V_{Ed}$ vyhoví

Kontrola konstrukčních zásad

$\rho_w = A_{sw} / (b_w \cdot s \cdot \sin \alpha) = 0,001414 >$

$\rho_{min} = 0,08 \cdot f_{ck}^{1/2} / f_{yk} = 0,0008$ vyhoví

vzdálenost třmínek $s = 0,200 \text{ m} \leq$

$\min(0,75 \cdot d; 0,4) = 0,22725 \text{ m}$ vyhoví

kriterium duktility $A_{sw} \cdot f_{ywd} / (b_w \cdot s) =$

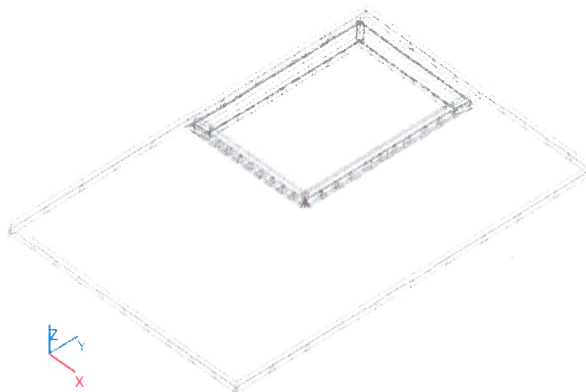
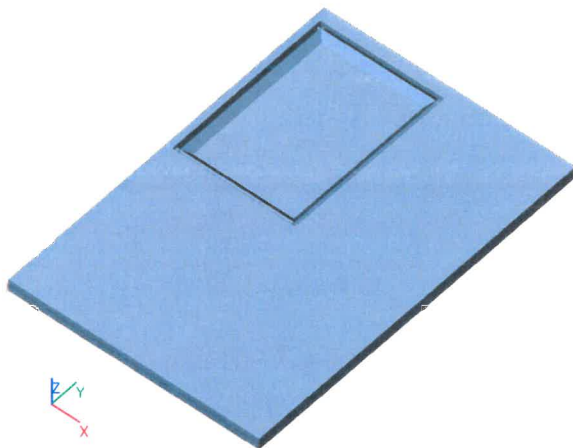
$0,492 < 0,5 \cdot v \cdot f_{cd} / \sin \alpha = 4,5$ vyhoví



9. VÝPOČET PODLAHOVÉ DESKY HALY

9.1. VSTUPNÍ ÚDAJE

9.1.1. Výpočtový model



9.1.2. Materiál a vlastnosti výpočtového modelu

9.1.2.1. Materiály

Jméno	Typ	ρ [kg/m ³]	Hustota v čerstvém stavu [kg/m ³]	E_{mod} [MPa]	μ	α [m/mK]	$f_{c,k,28}$ [MPa]	Barva
C25/30	Beton	2500,0	2600,0	3,1500e+04	0,2	0,00	25,00	

Vysvětlivky symbolů

Hustota v čerstvém stavu	Hodnota hustoty v čerstvém stavu se použije pouze v případě, že je zadána spřažená deska a její vlastní tíha se zohledňuje.
--------------------------	---

Výztuž EC2

Jméno	Typ	ρ [kg/m ³]	E_{mod} [MPa]	G_{mod} [MPa]	α [m/mK]	$f_{y,k}$ [MPa]
B 500B	Výztužná ocel	7850,0	2,0000e+05	8,3333e+04	0,00	500,0

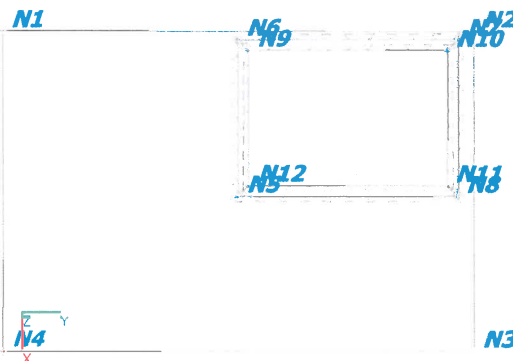
9.1.2.2. Uzly

Jméno	Souř. X [m]	Souř. Y [m]	Souř. Z [m]
N1	0,000	0,000	0,000
N2	0,000	16,303	0,000
N3	11,090	16,303	0,000
N4	11,090	0,000	0,000

Jméno	Souř. X [m]	Souř. Y [m]	Souř. Z [m]
N5	5,706	8,147	0,000
N6	0,294	8,147	0,000
N7	0,294	15,759	0,000
N8	5,706	15,759	0,000

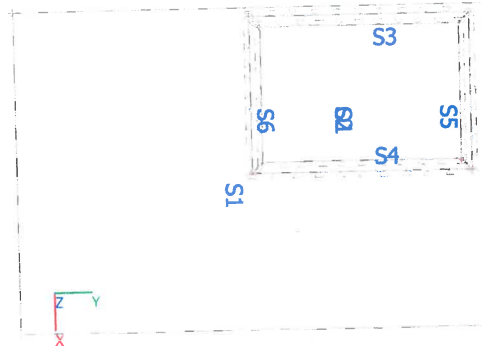
Jméno	Souř. X [m]	Souř. Y [m]	Souř. Z [m]
N9	0,661	8,514	-0,360
N10	0,661	15,392	-0,360
N11	5,339	15,392	-0,360
N12	5,339	8,514	-0,360

9.1.2.3. Výpočtový model - popis uzlů





9.1.2.4. Výpočtový model - číslování ploch



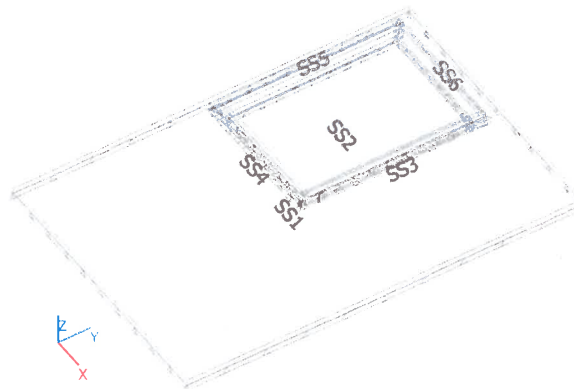
9.1.2.5. Plochy

Jméno	Vrstva	Typ	Výpočtový model	Materiál	Typ tloušťky	Tl. [mm]
S1	Vrstva1	deska (90)	Standard	C20/25	konstantní	500
S2	Vrstva1	deska (90)	Standard	C20/25	konstantní	500
S3	Vrstva1	deska (90)	Standard	C20/25	konstantní	500
S4	Vrstva1	deska (90)	Standard	C20/25	konstantní	500
S5	Vrstva1	deska (90)	Standard	C20/25	konstantní	500
S6	Vrstva1	deska (90)	Standard	C20/25	konstantní	500

9.1.2.6. Otvory v ploše

Jméno	Plocha
O1	S1

9.1.2.7. Výpočtový model-podpory



9.1.2.8. Plošná podpora

Jméno	Typ	Podloží	Plocha
SS1	Jednotlivě	Sub1	S1
SS2	Jednotlivě	Sub1	S2
SS3	Jednotlivě	Sub1	S4
SS4	Jednotlivě	Sub1	S6
SS5	Jednotlivě	Sub1	S3
SS6	Jednotlivě	Sub1	S5

9.1.2.9. Podloží

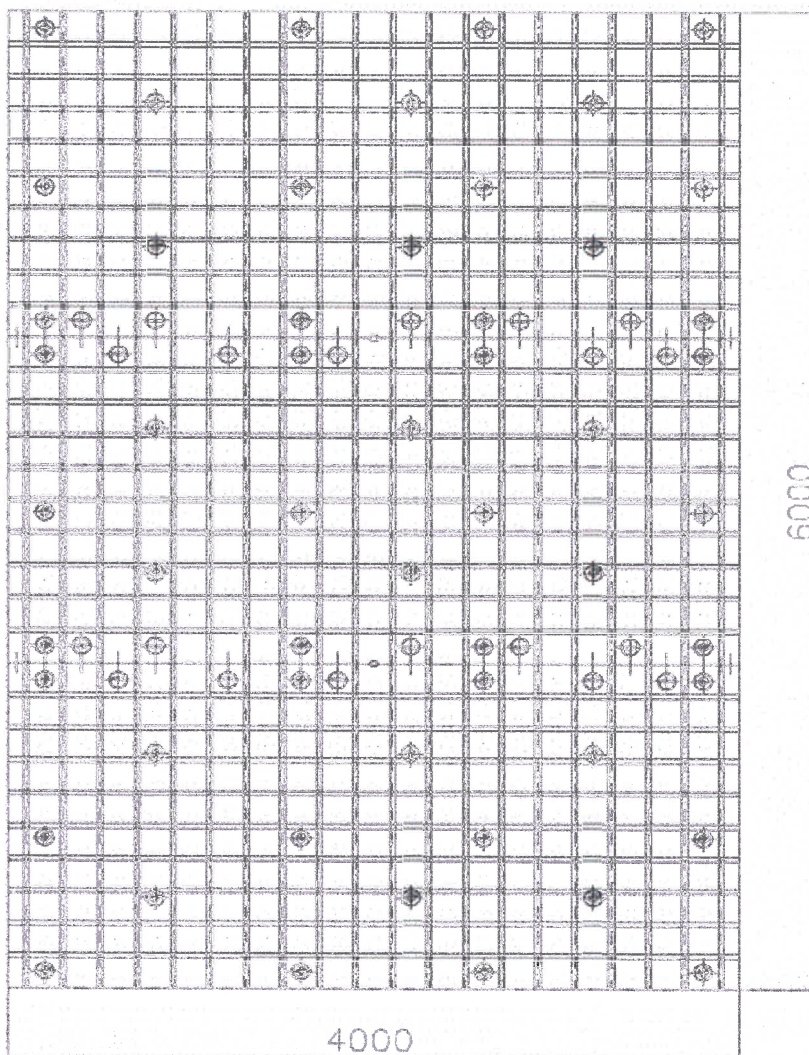
Jméno	C1x [MN/m ³]	C1z	C1y [MN/m ³]	Tuhost [MN/m ³]	C2x [MN/m]	C2y [MN/m]
Sub1	5,0000e+00	Pružný	5,0000e+00	5,0000e+01	3,0000e+00	3,0000e+00



9.1.3. Zatížení výpočtového modelu

9.1.3.1. Rozbor zatížení od upínací desky

Upínací deska - technologický podklad:



výška desek 330mm kvůli kříž. T drážkám
 váha – těžší varianta 6000+1700kg/1desku

NAZEV SROUBU	DRUH ZATÍŽENÍ	JEDN.	ZATÍŽ. / 1SR.
SROUBY UP. DESKY	OD UP. DESKY	N	4 500
	OD UP. DESKY A MAX. OBROBKU	N	31 000

NAZEV	JEDNOTKY	HODNOTA
UP. NACÍ DESKA 4x6x0,3	kg	23 100
UP. NACÍ DESKA S OBROBKEM (OBR. MAX. 6 000kg/m ²)	kg	167 100

prázdná deska	23100 kg	rozměr desky		
s obrobkem	167100 kg	délka	6,00 m	
obrobek	144000 kg	šířka	4,00 m	
zatížení ve styku upínací desky a základové desky				
prázdná deska	9,625 kN/m ²	obrobek	60,00 kN/m ²	
roznášecí plocha	délka	6,60 m	šířka	4,40 m
zatížení na roznášecí ploše				
prázdná deska	7,955 kN/m ²	obrobek	49,587 kN/m ²	

9.1.3.2. Skupiny zatížení

Jméno	Zatížení	Vztah	Typ
SZ1	Stálé		
SZ2	Proměnné	Výběrová	Kat E : sklady



STATICKÝ VÝPOČET

BETONOVÉ KONSTRUKCE
DOKUMENTACE PRO PŘEVENÍ STAVBY

AKCE:

ROZŠÍŘENÍ INFRASTRUKTURY
CENTRA INTEMAC

ARCH.Č.: 1917-02

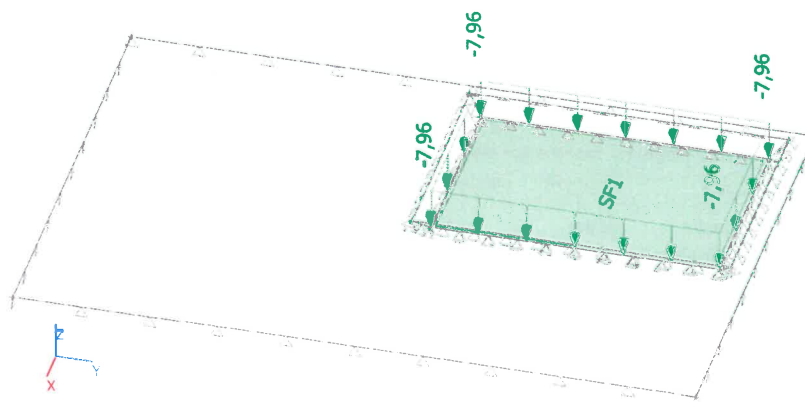
List : 94

9.1.3.3. Zatěžovací stavy

Jméno	Popis Spec	Typ působení Typ zatížení	Skupina zatížení	Směr	Působení	Řídicí zat. stav
ZS1	vlastní tíha	Stálé Vlastní tíha	SZ1	-Z		
ZS2	upínací deska	Stálé Standard	SZ1			
ZS3	zatížení na upínací desce 6tun/m2 Standard	Proměnné Statické	SZ2		Krátkodobé	Žádný
ZS4	zatížení na upínací desce - lokální 10tun/m2 Standard	Proměnné Statické	SZ2		Krátkodobé	Žádný
ZS5	zatížení na upínací desce - lokální 10tun/m2 Standard	Proměnné Statické	SZ2		Krátkodobé	Žádný
ZS6	zatížení na upínací desce - lokální 10tun/m2 Standard	Proměnné Statické	SZ2		Krátkodobé	Žádný
ZS7	zatížení na upínací desce - lokální 10tun/m2 Standard	Proměnné Statické	SZ2		Krátkodobé	Žádný
ZS8	zatížení na podlaze - lokální 10tun/m2 Standard	Proměnné Statické	SZ2		Krátkodobé	Žádný
ZS9	zatížení na podlaze - lokální 10tun/m2 Standard	Proměnné Statické	SZ2		Krátkodobé	Žádný
ZS10	zatížení na podlaze - lokální 10tun/m2 Standard	Proměnné Statické	SZ2		Krátkodobé	Žádný
ZS11	zatížení na podlaze - lokální 10tun/m2 Standard	Proměnné Statické	SZ2		Krátkodobé	Žádný
ZS12	zatížení na podlaze - lokální 10tun/m2 Standard	Proměnné Statické	SZ2		Krátkodobé	Žádný
ZS13	zatížení na podlaze - lokální 10tun/m2 Standard	Proměnné Statické	SZ2		Krátkodobé	Žádný
ZS14	zatížení na podlaze - lokální 10tun/m2 Standard	Proměnné Statické	SZ2		Krátkodobé	Žádný
ZS15	zatížení na podlaze - lokální 10tun/m2 Standard	Proměnné Statické	SZ2		Krátkodobé	Žádný
ZS16	zatížení na podlaze - lokální 10tun/m2 Standard	Proměnné Statické	SZ2		Krátkodobé	Žádný
ZS17	zatížení na podlaze - lokální 10tun/m2 Standard	Proměnné Statické	SZ2		Krátkodobé	Žádný
ZS18	zatížení na podlaze - lokální 10tun/m2 Standard	Proměnné Statické	SZ2		Krátkodobé	Žádný
ZS19	zatížení na podlaze - lokální 10tun/m2 Standard	Proměnné Statické	SZ2		Krátkodobé	Žádný
ZS20	zatížení na podlaze - lokální 10tun/m2 Standard	Proměnné Statické	SZ2		Krátkodobé	Žádný
ZS21	zatížení na podlaze - lokální 10tun/m2 Standard	Proměnné Statické	SZ2		Krátkodobé	Žádný
ZS22	zatížení na podlaze - lokální 10tun/m2 Standard	Proměnné Statické	SZ2		Krátkodobé	Žádný

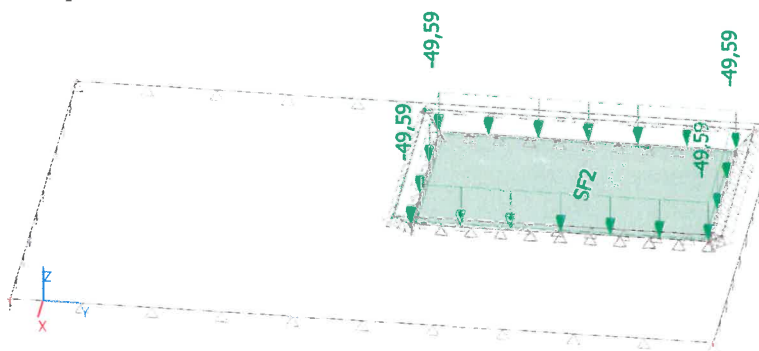
9.1.3.4. Schémata zatížení v jednotlivých zatěžovacích stavech

9.1.3.4.1. ZS2 - vlastní tíha upínací desky

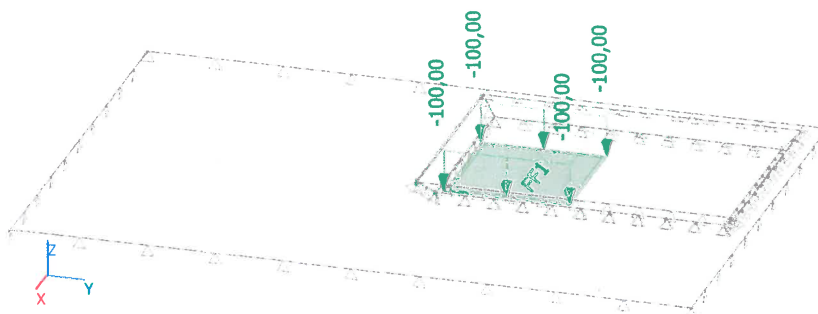




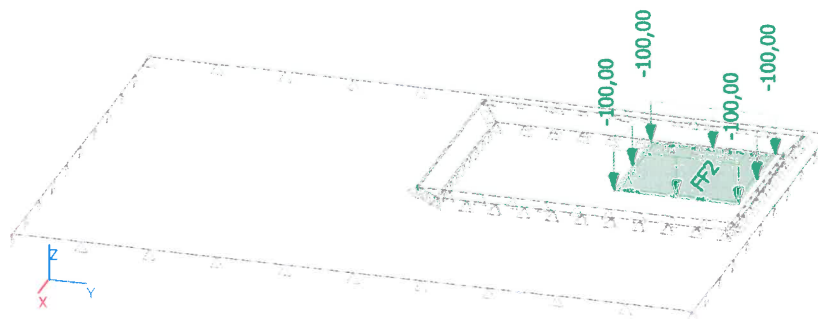
9.1.3.4.2. ZS3 - zatížení na celé upínací desce



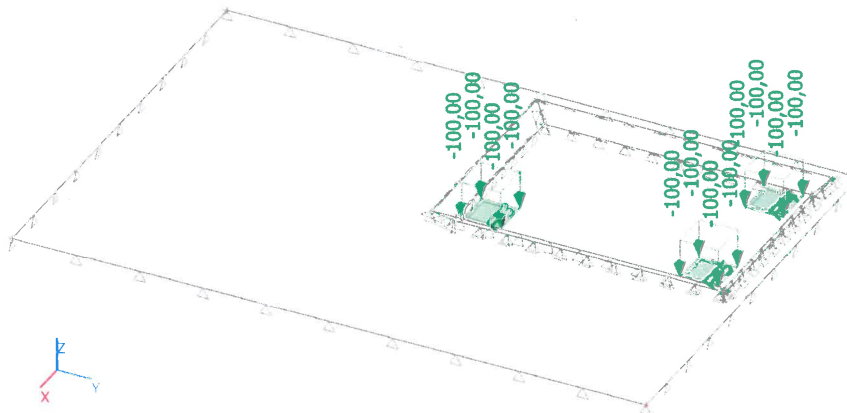
9.1.3.4.3. ZS4 - lokální zatížení na upínací desce



9.1.3.4.4. ZS5 - lokální zatížení na upínací desce

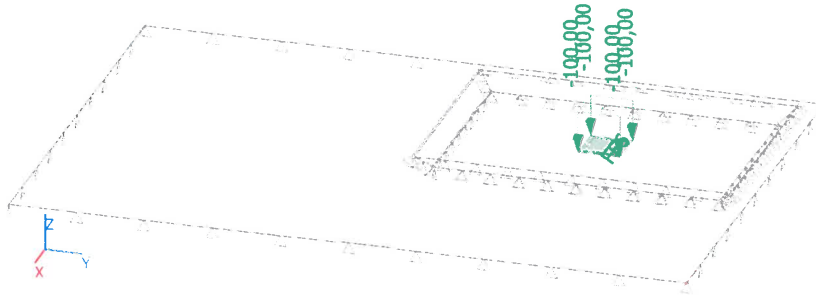


9.1.3.4.5. ZS6 - lokální zatížení na upínací desce

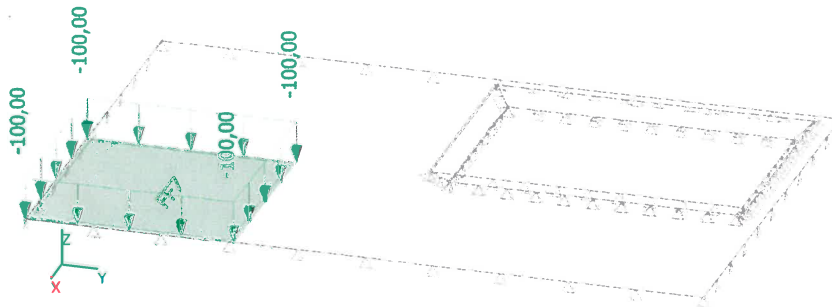




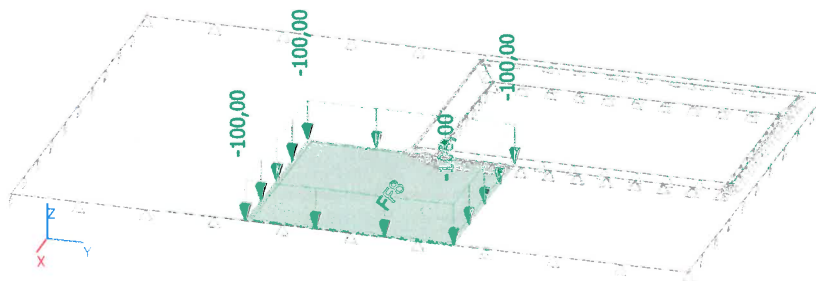
9.1.3.4.6. ZS7 - lokální zatížení na upínací desce



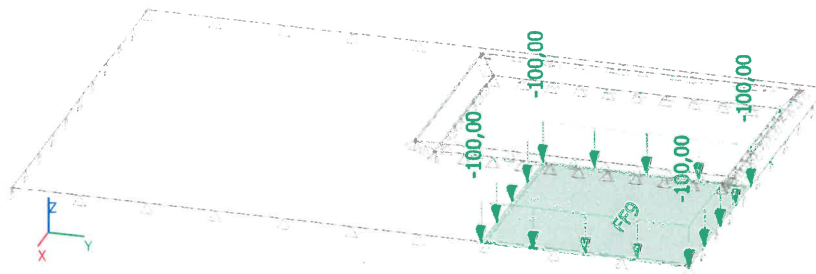
9.1.3.4.7. ZS8 - lokální zatížení na podlaze



9.1.3.4.8. ZS9 - lokální zatížení na podlaze

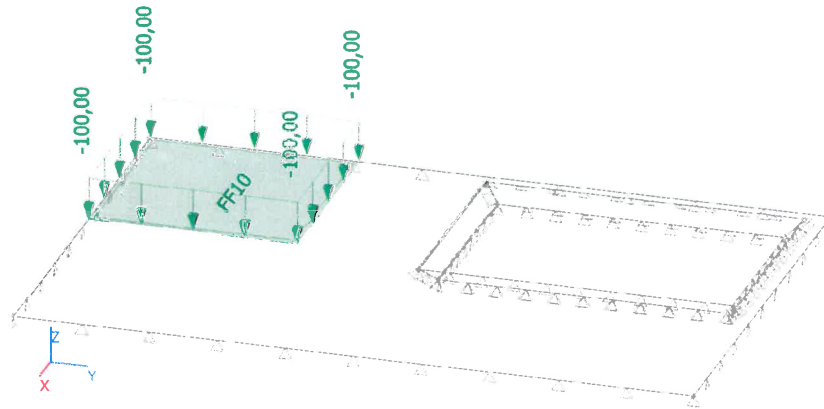


9.1.3.4.9. ZS10 - lokální zatížení na podlaze

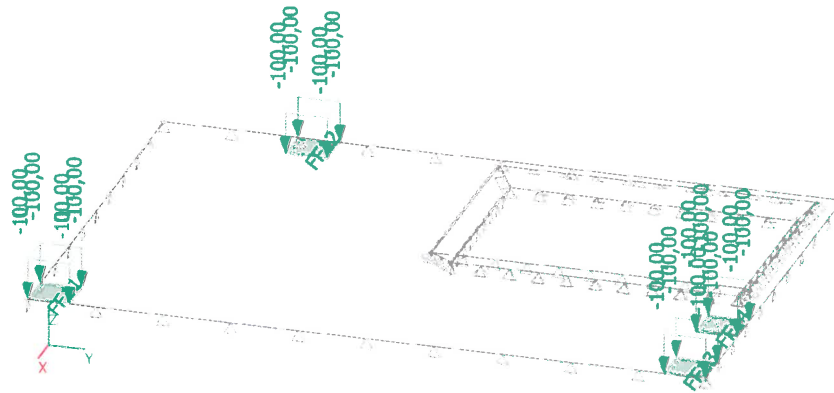




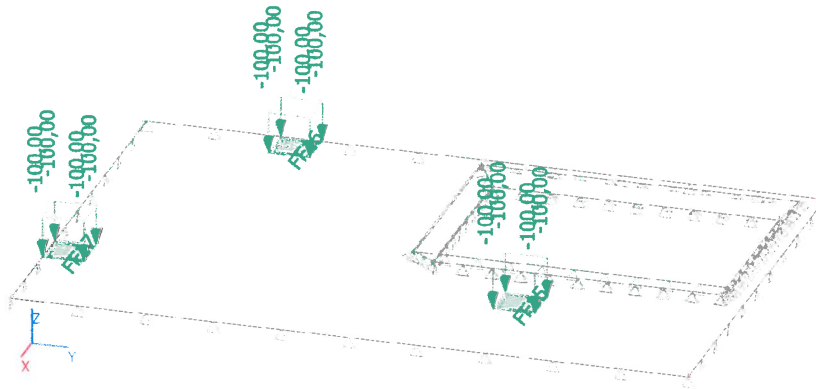
9.1.3.4.10. ZS11 - lokální zatížení na podlaze



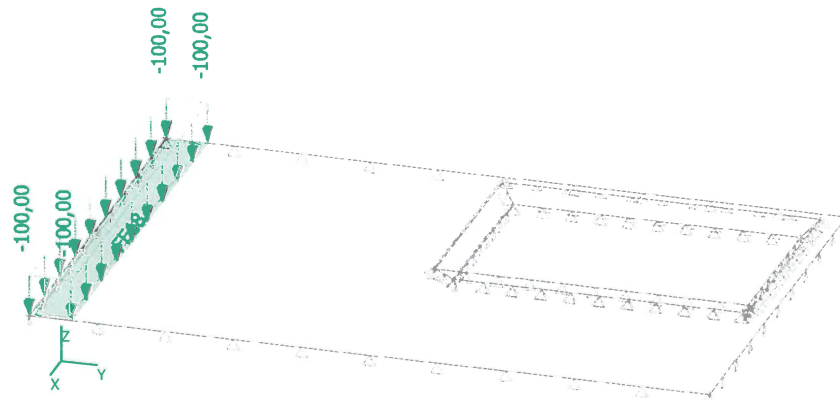
9.1.3.4.11. ZS12 - lokální zatížení na podlaze



9.1.3.4.12. ZS13 - lokální zatížení na podlaze

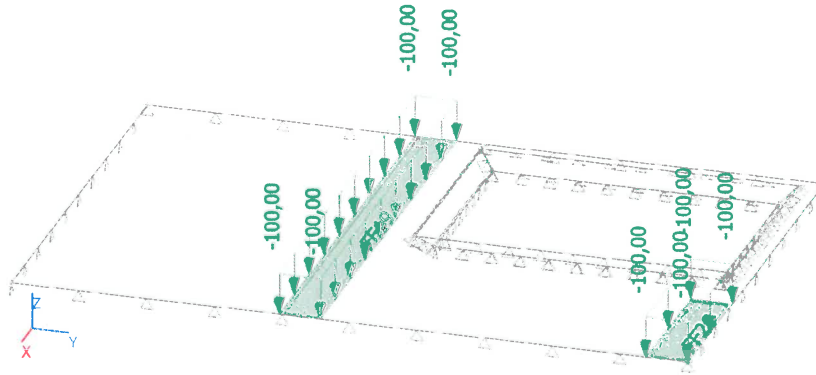


9.1.3.4.13. ZS14 - lokální zatížení na podlaze

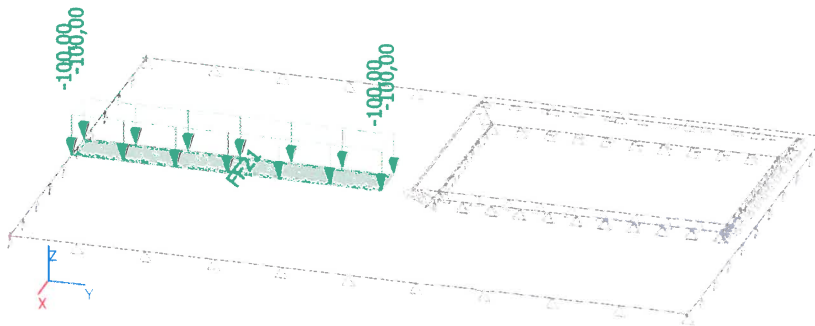




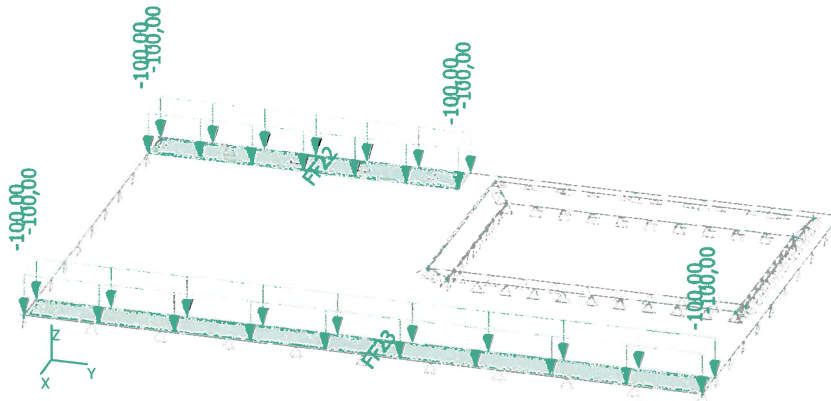
9.1.3.4.14. ZS15 - lokální zatížení na podlaze



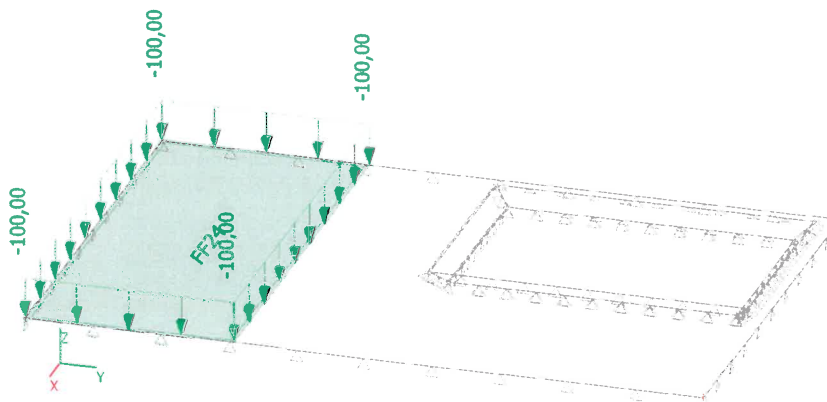
9.1.3.4.15. ZS16 - lokální zatížení na podlaze



9.1.3.4.16. ZS17 - lokální zatížení na podlaze

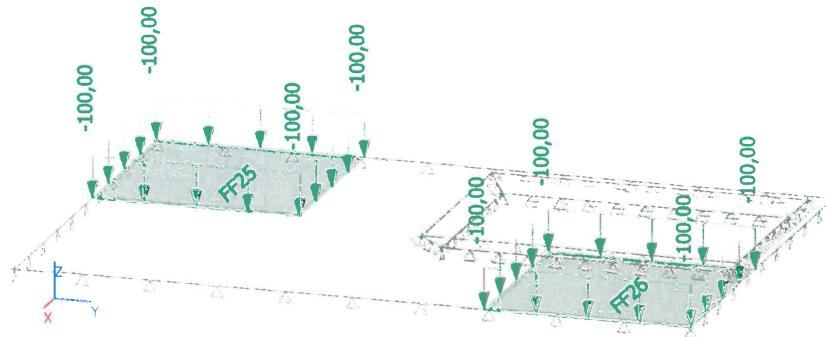


9.1.3.4.17. ZS18 - lokální zatížení na podlaze

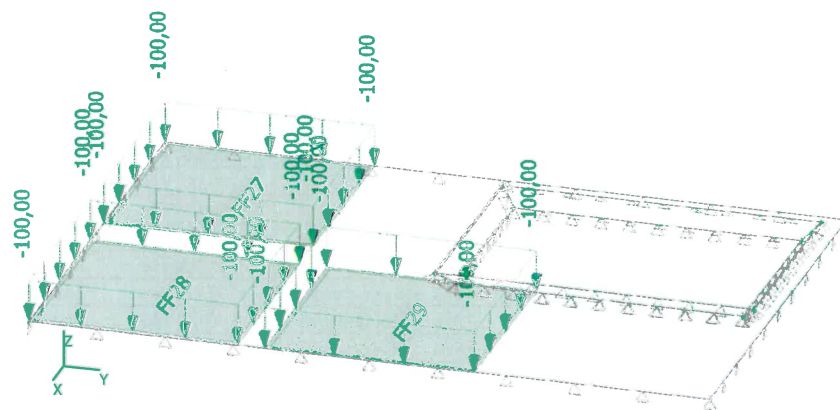




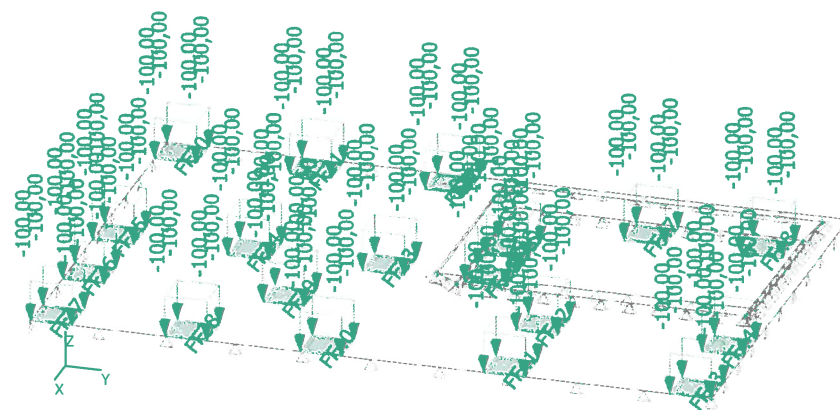
9.1.3.4.18. ZS19 - lokální zatížení na podlaze



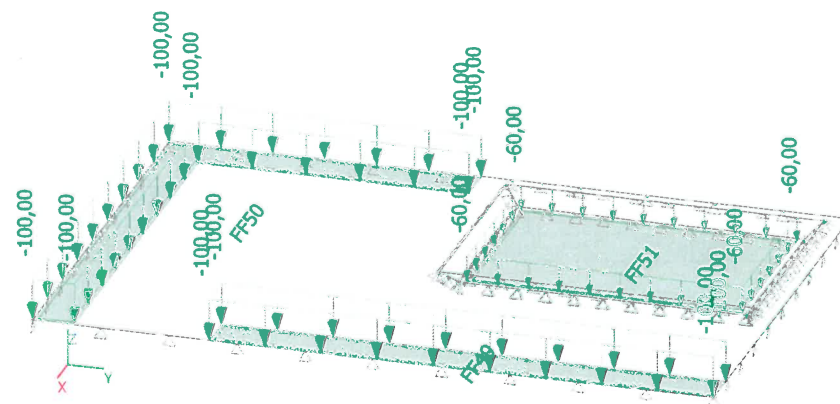
9.1.3.4.19. ZS20 - lokální zatížení na podlaze



9.1.3.4.20. ZS21 - lokální zatížení na podlaze a na upínací desce



9.1.3.4.21. ZS22 - lokální zatížení na podlaze a na upínací desce





STATICKÝ VÝPOČET

BETONOVÉ KONSTRUKCE
DOKUMENTACE PRO PROVEDENÍ STAVBY

AKCE:

ROZŠÍŘENÍ INFRASTRUKTURY
CENTRA INTEMAC

ARCH.Č.: 1917-02

List : 100

9.1.3.5. Volné plošné zatížení

Jméno	Zatěžovací stav	Směr	Typ	Rozložení	q [kN/m ²]	Platnost	Výběr	Systém	Poloha
FF1	ZS8 - zatížení na upínací desce - lokální	Z	Síla	Rovnoměrné	-100,00	Vše	Auto	GSS	Délka
FF2	ZS9 - zatížení na upínací desce - lokální	Z	Síla	Rovnoměrné	-100,00	Vše	Auto	GSS	Délka
FF3	ZS10 - zatížení na upínací desce - lokální	Z	Síla	Rovnoměrné	-100,00	Vše	Auto	GSS	Délka
FF4	ZS11 - zatížení na upínací desce - lokální	Z	Síla	Rovnoměrné	-100,00	Vše	Auto	GSS	Délka
FF5	ZS12 - zatížení na upínací desce - lokální	Z	Síla	Rovnoměrné	-100,00	Vše	Auto	GSS	Délka
FF6	ZS13 - zatížení na upínací desce - lokální	Z	Síla	Rovnoměrné	-100,00	Vše	Auto	GSS	Délka
FF7	ZS8 - zatížení na podlaze - lokální 10tun/m2	Z	Síla	Rovnoměrné	-100,00	Vše	Auto	GSS	Délka
FF8	ZS9 - zatížení na podlaze - lokální 10tun/m2	Z	Síla	Rovnoměrné	-100,00	Vše	Auto	GSS	Délka
FF9	ZS10 - zatížení na podlaze - lokální 10tun/m2	Z	Síla	Rovnoměrné	-100,00	Vše	Auto	GSS	Délka
FF10	ZS11 - zatížení na podlaze - lokální 10tun/m2	Z	Síla	Rovnoměrné	-100,00	Vše	Auto	GSS	Délka
FF11	ZS12 - zatížení na podlaze - lokální 10tun/m2	Z	Síla	Rovnoměrné	-100,00	Vše	Auto	GSS	Délka
FF12	ZS12 - zatížení na podlaze - lokální 10tun/m2	Z	Síla	Rovnoměrné	-100,00	Vše	Auto	GSS	Délka
FF13	ZS12 - zatížení na podlaze - lokální 10tun/m2	Z	Síla	Rovnoměrné	-100,00	Vše	Auto	GSS	Délka
FF14	ZS12 - zatížení na podlaze - lokální 10tun/m2	Z	Síla	Rovnoměrné	-100,00	Vše	Auto	GSS	Délka
FF15	ZS13 - zatížení na podlaze - lokální 10tun/m2	Z	Síla	Rovnoměrné	-100,00	Vše	Auto	GSS	Délka
FF16	ZS13 - zatížení na podlaze - lokální 10tun/m2	Z	Síla	Rovnoměrné	-100,00	Vše	Auto	GSS	Délka
FF17	ZS13 - zatížení na podlaze - lokální 10tun/m2	Z	Síla	Rovnoměrné	-100,00	Vše	Auto	GSS	Délka
FF18	ZS14 - zatížení na podlaze - lokální 10tun/m2	Z	Síla	Rovnoměrné	-100,00	Vše	Auto	GSS	Délka
FF19	ZS15 - zatížení na podlaze - lokální 10tun/m2	Z	Síla	Rovnoměrné	-100,00	Vše	Auto	GSS	Délka
FF20	ZS15 - zatížení na podlaze - lokální 10tun/m2	Z	Síla	Rovnoměrné	-100,00	Vše	Auto	GSS	Délka
FF21	ZS16 - zatížení na podlaze - lokální 10tun/m2	Z	Síla	Rovnoměrné	-100,00	Vše	Auto	GSS	Délka
FF22	ZS17 - zatížení na podlaze - lokální 10tun/m2	Z	Síla	Rovnoměrné	-100,00	Vše	Auto	GSS	Délka
FF23	ZS17 - zatížení na podlaze - lokální 10tun/m2	Z	Síla	Rovnoměrné	-100,00	Vše	Auto	GSS	Délka
FF24	ZS18 - zatížení na podlaze - lokální 10tun/m2	Z	Síla	Rovnoměrné	-100,00	Vše	Auto	GSS	Délka
FF25	ZS19 - zatížení na podlaze - lokální 10tun/m2	Z	Síla	Rovnoměrné	-100,00	Vše	Auto	GSS	Délka
FF26	ZS19 - zatížení na podlaze - lokální 10tun/m2	Z	Síla	Rovnoměrné	-100,00	Vše	Auto	GSS	Délka
FF27	ZS20 - zatížení na podlaze - lokální 10tun/m2	Z	Síla	Rovnoměrné	-100,00	Vše	Auto	GSS	Délka
FF28	ZS20 - zatížení na podlaze - lokální 10tun/m2	Z	Síla	Rovnoměrné	-100,00	Vše	Auto	GSS	Délka
FF29	ZS20 - zatížení na podlaze - lokální 10tun/m2	Z	Síla	Rovnoměrné	-100,00	Vše	Auto	GSS	Délka
FF30	ZS21 - zatížení na podlaze - lokální 10tun/m2	Z	Síla	Rovnoměrné	-100,00	Vše	Auto	GSS	Délka
FF31	ZS21 - zatížení na podlaze - lokální 10tun/m2	Z	Síla	Rovnoměrné	-100,00	Vše	Auto	GSS	Délka
FF32	ZS21 - zatížení na podlaze - lokální 10tun/m2	Z	Síla	Rovnoměrné	-100,00	Vše	Auto	GSS	Délka
FF33	ZS21 - zatížení na podlaze - lokální 10tun/m2	Z	Síla	Rovnoměrné	-100,00	Vše	Auto	GSS	Délka
FF34	ZS21 - zatížení na podlaze - lokální 10tun/m2	Z	Síla	Rovnoměrné	-100,00	Vše	Auto	GSS	Délka
FF35	ZS21 - zatížení na podlaze - lokální 10tun/m2	Z	Síla	Rovnoměrné	-100,00	Vše	Auto	GSS	Délka
FF36	ZS21 - zatížení na podlaze - lokální 10tun/m2	Z	Síla	Rovnoměrné	-100,00	Vše	Auto	GSS	Délka
FF37	ZS21 - zatížení na podlaze - lokální 10tun/m2	Z	Síla	Rovnoměrné	-100,00	Vše	Auto	GSS	Délka
FF38	ZS21 - zatížení na podlaze - lokální 10tun/m2	Z	Síla	Rovnoměrné	-100,00	Vše	Auto	GSS	Délka
FF39	ZS21 - zatížení na podlaze - lokální 10tun/m2	Z	Síla	Rovnoměrné	-100,00	Vše	Auto	GSS	Délka
FF40	ZS21 - zatížení na podlaze - lokální 10tun/m2	Z	Síla	Rovnoměrné	-100,00	Vše	Auto	GSS	Délka
FF41	ZS21 - zatížení na podlaze - lokální 10tun/m2	Z	Síla	Rovnoměrné	-100,00	Vše	Auto	GSS	Délka
FF42	ZS21 - zatížení na podlaze - lokální 10tun/m2	Z	Síla	Rovnoměrné	-100,00	Vše	Auto	GSS	Délka
FF43	ZS21 - zatížení na podlaze - lokální 10tun/m2	Z	Síla	Rovnoměrné	-100,00	Vše	Auto	GSS	Délka
FF44	ZS21 - zatížení na podlaze - lokální 10tun/m2	Z	Síla	Rovnoměrné	-100,00	Vše	Auto	GSS	Délka
FF45	ZS21 - zatížení na podlaze - lokální 10tun/m2	Z	Síla	Rovnoměrné	-100,00	Vše	Auto	GSS	Délka
FF46	ZS21 - zatížení na podlaze - lokální 10tun/m2	Z	Síla	Rovnoměrné	-100,00	Vše	Auto	GSS	Délka
FF47	ZS21 - zatížení na podlaze - lokální 10tun/m2	Z	Síla	Rovnoměrné	-100,00	Vše	Auto	GSS	Délka
FF48	ZS21 - zatížení na podlaze - lokální 10tun/m2	Z	Síla	Rovnoměrné	-100,00	Vše	Auto	GSS	Délka
FF49	ZS22 - zatížení na podlaze - lokální 10tun/m2	Z	Síla	Rovnoměrné	-100,00	Vše	Auto	GSS	Délka
FF50	ZS22 - zatížení na podlaze - lokální 10tun/m2	Z	Síla	Rovnoměrné	-100,00	Vše	Auto	GSS	Délka
FF51	ZS22 - zatížení na podlaze - lokální 10tun/m2	Z	Síla	Rovnoměrné	-60,00	Vše	Auto	GSS	Délka

9.1.3.6. Plošné zatížení

Jméno	Směr	Typ	Hodnota [kN/m ²]	Plocha	Zatěžovací stav	Systém	Poloha
SF1	Z	Síla	-7,96	S2	ZS2 - upínací deska	LSS	Délka
SF2	Z	Síla	-49,59	S2	ZS3 - zatížení na upínací desce 6tun/m2	LSS	Délka

9.1.3.7. Kombinace

Jméno	Popis	Typ	Zatěžovací stavy	Souč. [-]
CO1-MSU		EN-MSÚ (STR/GEO) Soubor B	ZS1 - vlastní tíha	1,00

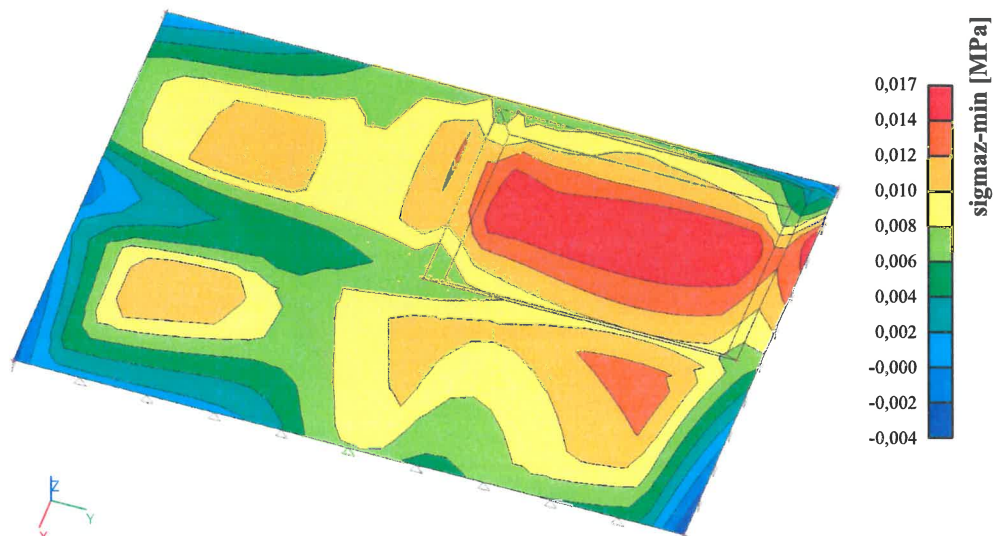


Jméno	Popis	Typ	Zatěžovací stavy	Souč. [-]
			ZS2 - upínací deska	1,00
			ZS3 - zatížení na upínací desce 6tun/m2	1,00
			ZS4 - zatížení na upínací desce - lokální 10tun/m2	1,00
			ZS5 - zatížení na upínací desce - lokální 10tun/m2	1,00
			ZS6 - zatížení na upínací desce - lokální 10tun/m2	1,00
			ZS7 - zatížení na upínací desce - lokální 10tun/m2	1,00
			ZS8 - zatížení na podlaze - lokální 10tun/m2	1,00
			ZS9 - zatížení na podlaze - lokální 10tun/m2	1,00
			ZS10 - zatížení na podlaze - lokální 10tun/m2	1,00
			ZS11 - zatížení na podlaze - lokální 10tun/m2	1,00
			ZS12 - zatížení na podlaze - lokální 10tun/m2	1,00
			ZS13 - zatížení na podlaze - lokální 10tun/m2	1,00
			ZS14 - zatížení na podlaze - lokální 10tun/m2	1,00
			ZS15 - zatížení na podlaze - lokální 10tun/m2	1,00
			ZS16 - zatížení na podlaze - lokální 10tun/m2	1,00
			ZS17 - zatížení na podlaze - lokální 10tun/m2	1,00
			ZS18 - zatížení na podlaze - lokální 10tun/m2	1,00
			ZS19 - zatížení na podlaze - lokální 10tun/m2	1,00
			ZS20 - zatížení na podlaze - lokální 10tun/m2	1,00
			ZS21 - zatížení na podlaze - lokální 10tun/m2	1,00
			ZS22 - zatížení na podlaze - lokální 10tun/m2	1,00
CO2-MSP		EN-MSP charakteristická	ZS1 - vlastní tíha	1,00
			ZS2 - upínací deska	1,00
			ZS3 - zatížení na upínací desce 6tun/m2	1,00
			ZS4 - zatížení na upínací desce - lokální 10tun/m2	1,00
			ZS5 - zatížení na upínací desce - lokální 10tun/m2	1,00
			ZS6 - zatížení na upínací desce - lokální 10tun/m2	1,00
			ZS7 - zatížení na upínací desce - lokální 10tun/m2	1,00
			ZS8 - zatížení na podlaze - lokální 10tun/m2	1,00
			ZS9 - zatížení na podlaze - lokální 10tun/m2	1,00
			ZS10 - zatížení na podlaze - lokální 10tun/m2	1,00
			ZS11 - zatížení na podlaze - lokální 10tun/m2	1,00
			ZS12 - zatížení na podlaze - lokální 10tun/m2	1,00
			ZS13 - zatížení na podlaze - lokální 10tun/m2	1,00
			ZS14 - zatížení na podlaze - lokální 10tun/m2	1,00
			ZS15 - zatížení na podlaze - lokální 10tun/m2	1,00
			ZS16 - zatížení na podlaze - lokální 10tun/m2	1,00
			ZS17 - zatížení na podlaze - lokální 10tun/m2	1,00
			ZS18 - zatížení na podlaze - lokální 10tun/m2	1,00
			ZS19 - zatížení na podlaze - lokální 10tun/m2	1,00
			ZS20 - zatížení na podlaze - lokální 10tun/m2	1,00
			ZS21 - zatížení na podlaze - lokální 10tun/m2	1,00
			ZS22 - zatížení na podlaze - lokální 10tun/m2	1,00

9.2. VÝSLEDKY VÝPOČTU

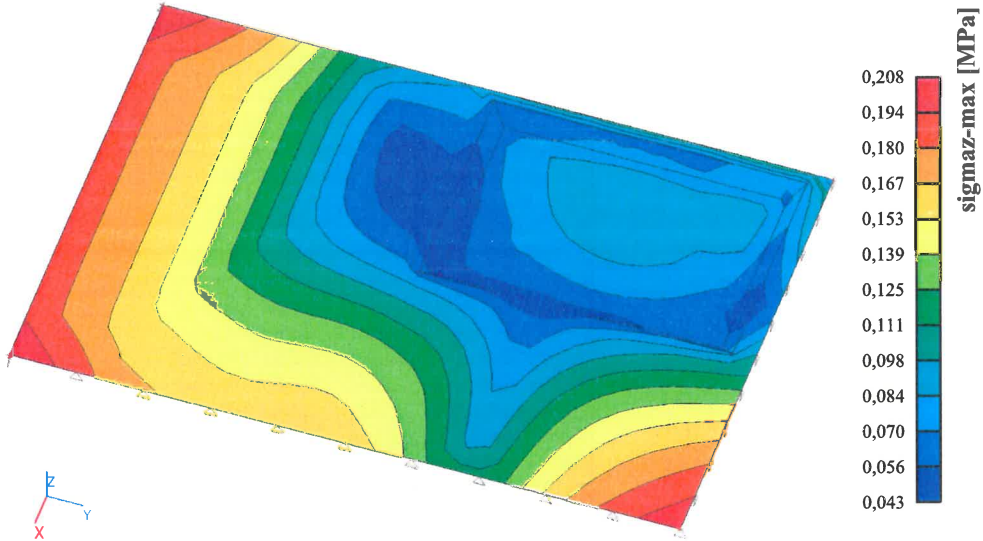
9.2.1. Kontaktní napětí v základové spáře

9.2.1.1. Kontaktní napětí; σ_{maz}



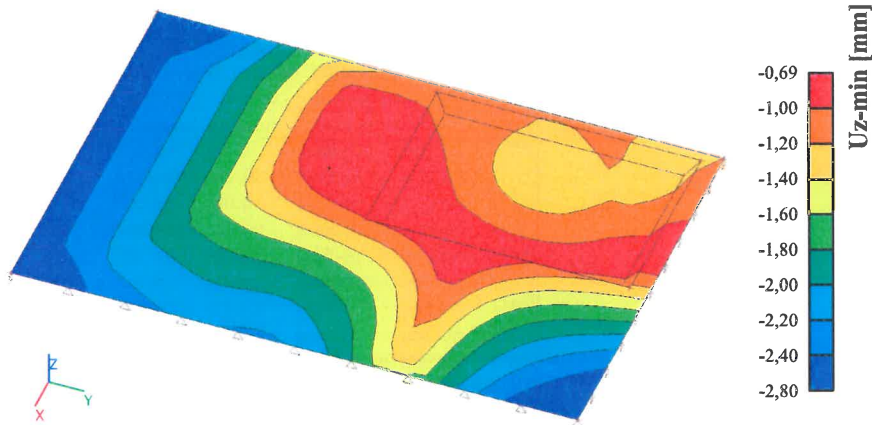


9.2.1.2. Kontaktní napětí; σ_{maz}

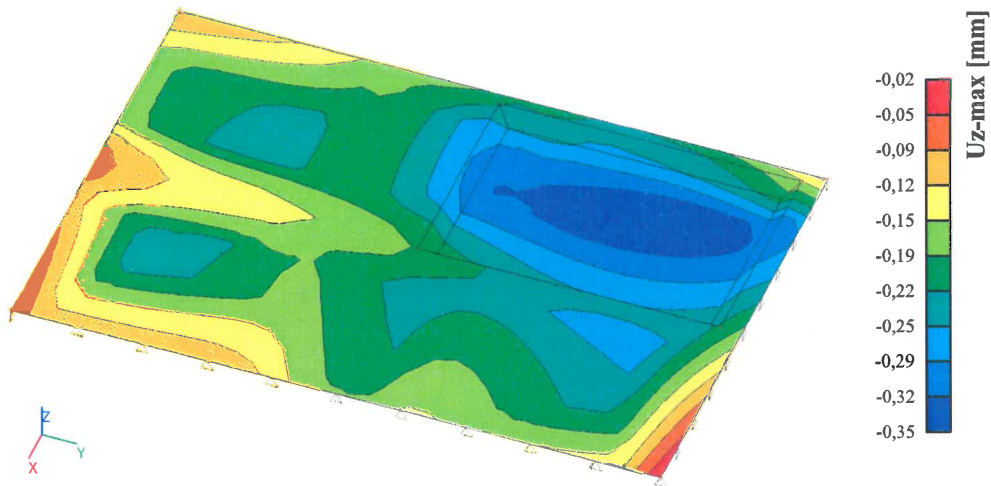


9.2.2. Deformace podlahové desky

9.2.2.1. Přemístění uzlů; U_z



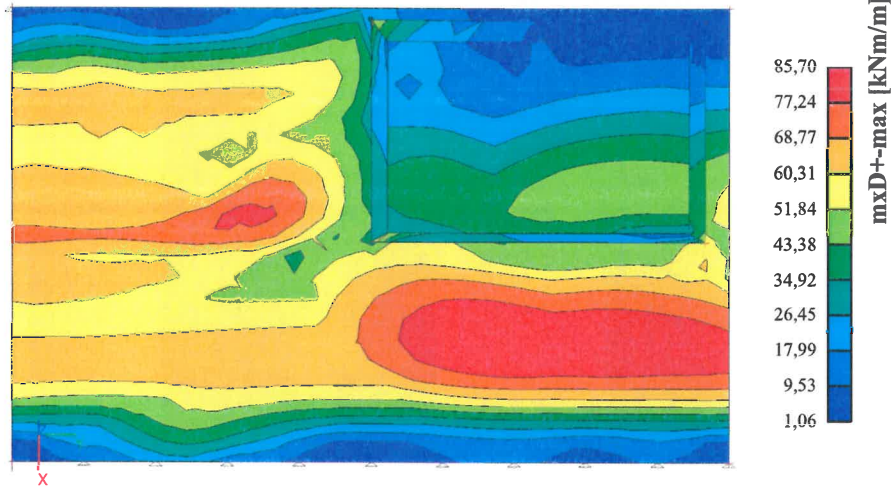
9.2.2.2. Přemístění uzlů; U_z





9.2.3. Vnitřní síly

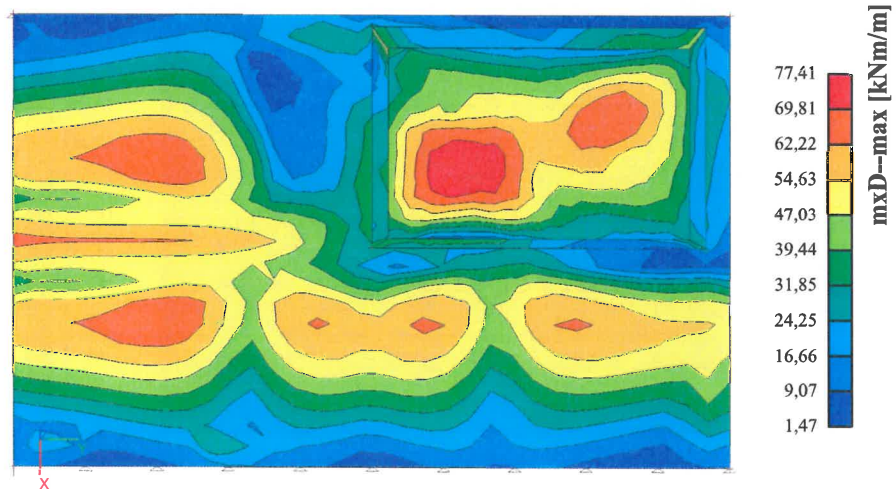
9.2.3.1. Plochy - Vnitřní síly; $mxD+$



9.2.3.2. Plochy - Vnitřní síly; $myD+$



9.2.3.3. Plochy - Vnitřní síly; $mxD-$

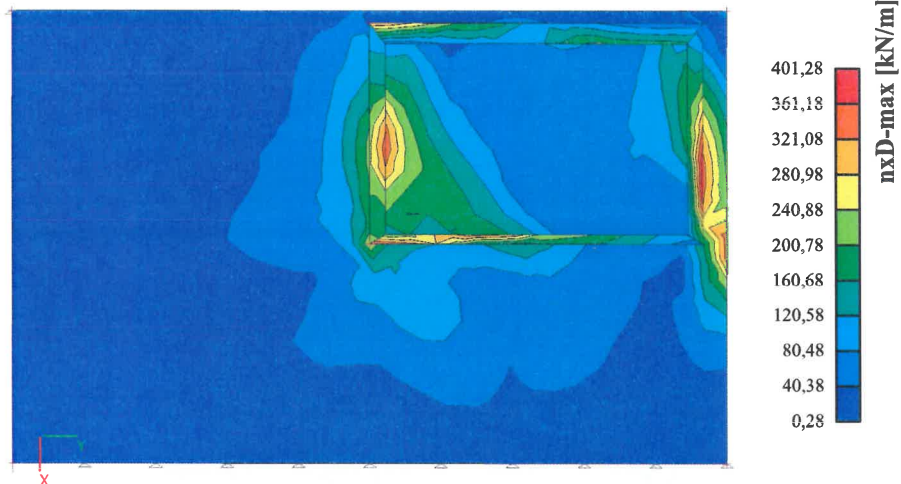




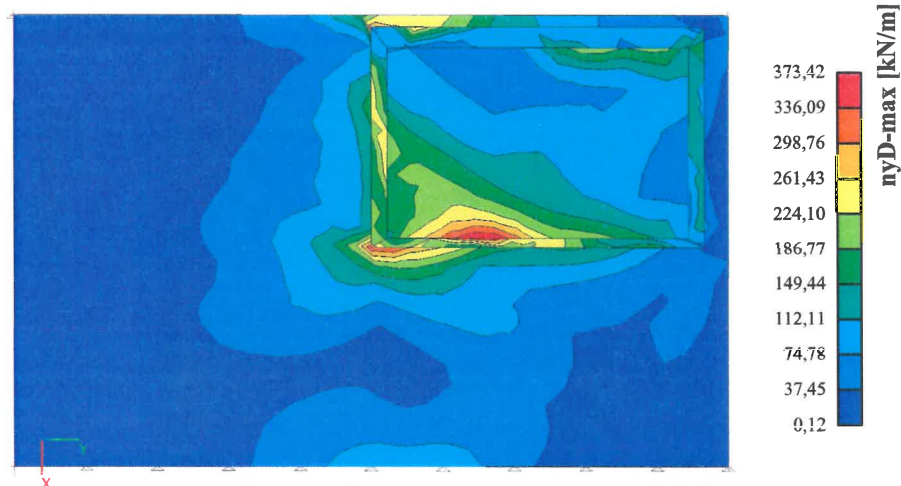
9.2.3.4. Plochy - Vnitřní síly; m_yD -



9.2.3.5. Plochy - Vnitřní síly; n_xD



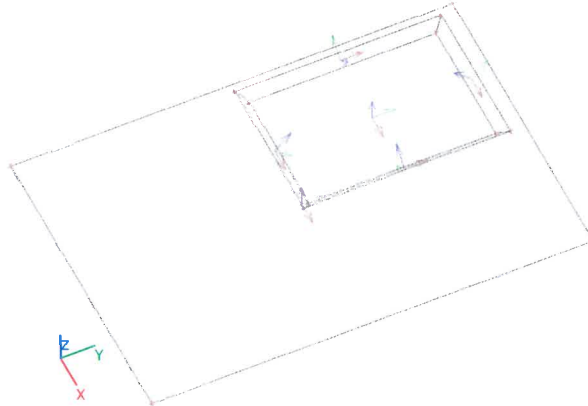
9.2.3.6. Plochy - Vnitřní síly; n_yD



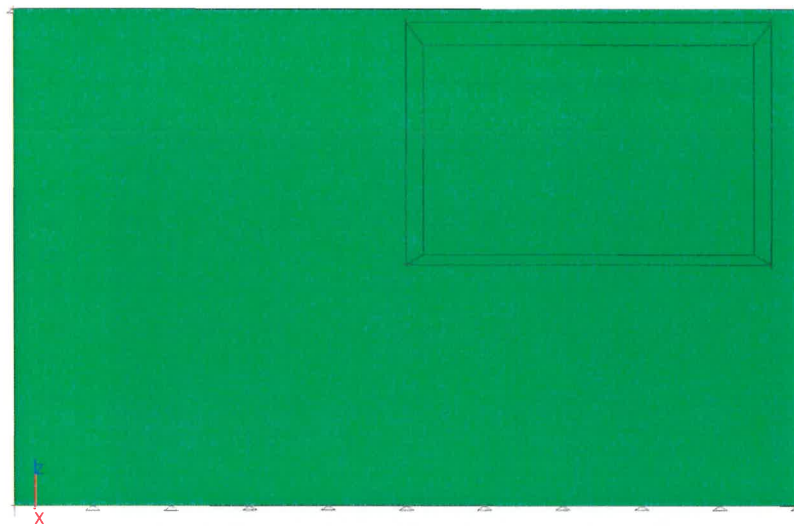


9.2.4. Nutné plochy výztuže

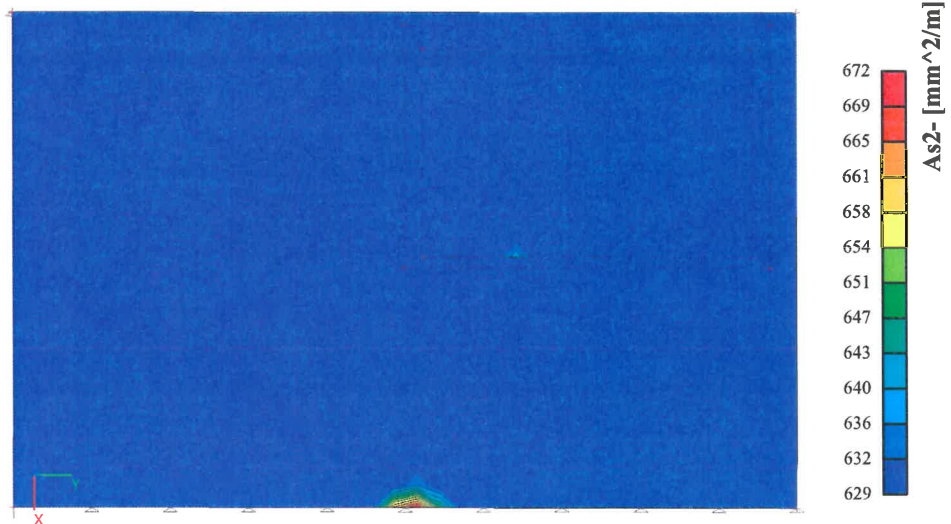
9.2.4.1. Výpočtový model-lokální osy ploch



9.2.4.2. Plochy - návrh - nutné plochy; As1- (dolní výztuž - směr x)

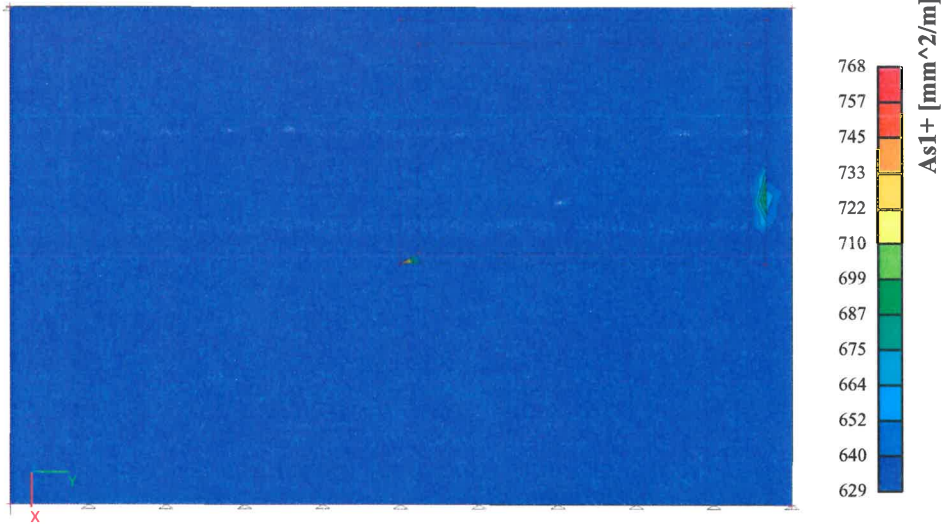


9.2.4.3. Plochy - návrh - nutné plochy; As2- (dolní výztuž - směr y)

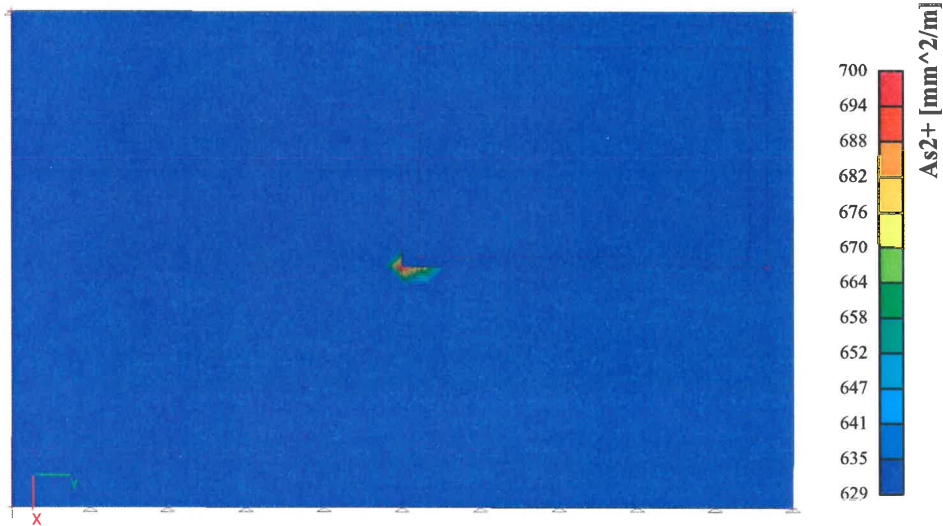




9.2.4.4. Plochy - návrh - nutné plochy; As1+ horní výztuž - směr x



9.2.4.5. Plochy - návrh - nutné plochy; As2+horní výztuž - směr y



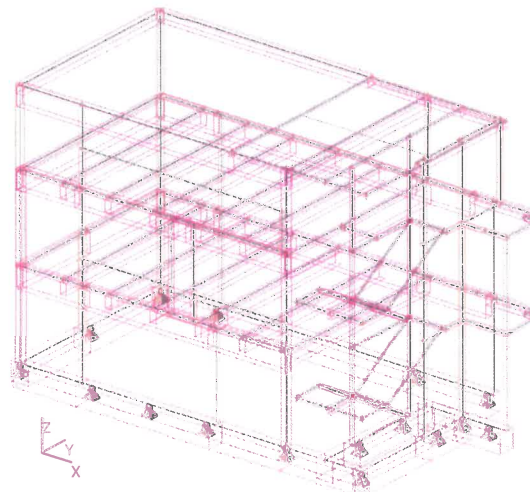
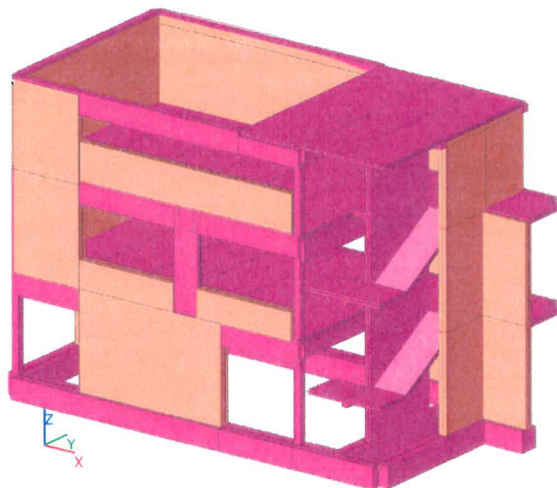


10. ZÁKLADY ADMINISTRATIVNÍHO PŘÍSTAVKU A SCHODIŠTĚ

Výpočtový model konstrukce pro výpočet stropů byl doplněn stěnami a základovými pasy, následně byly odstraněny podpory stropů v místě stěn a doplněny podpory základových pasů v místě pilot. Vymazáno liniové zatížení nahrazené stěnami a doplněno zatížení od prosklené stěny kolem schodiště.

10.1. Doplněná vstupní data

10.1.1. Výpočtový model



10.1.2. Průřezy

Jméno	Typ Detailní	Materiál	Výroba	A [m ²]	A _y	I _y	W _{el,y}	W _{pl,y}	Barva
					A _z [m ²]	I _z [m ⁴]	W _{el,z} [m ³]	W _{pl,z} [m ³]	
CS1	Obdélník 450; 250	C25/30	beton	1,1250e-01	9,3750e-02 9,3750e-02	1,8984e-03 5,8594e-04	8,4375e-03 4,6875e-03	0,0000e+00 0,0000e+00	■
CS2	Obdélník 250; 250	C25/30	beton	6,2500e-02	5,2083e-02 5,2083e-02	3,2552e-04 3,2552e-04	2,6042e-03 2,6042e-03	0,0000e+00 0,0000e+00	■
CS3	Obdélník 705; 300	C25/30	beton	2,1150e-01	1,7625e-01 1,7625e-01	8,7601e-03 1,5863e-03	2,4851e-02 1,0575e-02	0,0000e+00 0,0000e+00	■
CS4	Obdélník 870; 300	C25/30	beton	2,6100e-01	2,1750e-01 2,1750e-01	1,6463e-02 1,9575e-03	3,7845e-02 1,3050e-02	0,0000e+00 0,0000e+00	■
CS5	Obdélník 350; 300	C25/30	beton	1,0500e-01	8,7500e-02 8,7500e-02	1,0719e-03 7,8750e-04	6,1250e-03 5,2500e-03	0,0000e+00 0,0000e+00	■
CS6	Obdélník 805; 300	C25/30	beton	2,4150e-01	2,0125e-01 2,0125e-01	1,3042e-02 1,8112e-03	3,2401e-02 1,2075e-02	0,0000e+00 0,0000e+00	■
CS7	Obdélník 150; 200	C25/30	beton	3,0000e-02	2,5000e-02 2,5000e-02	5,6250e-05 1,0000e-04	7,5000e-04 1,0000e-03	0,0000e+00 0,0000e+00	■
CS8	Obdélník 450; 300	C25/30	beton	1,3500e-01	1,1250e-01 1,1250e-01	2,2781e-03 1,0125e-03	1,0125e-02 6,7500e-03	0,0000e+00 0,0000e+00	■
CS9	Obdélník 670; 300	C25/30	beton	2,0100e-01	1,6750e-01 1,6750e-01	7,5191e-03 1,5075e-03	2,2445e-02 1,0050e-02	0,0000e+00 0,0000e+00	■
CS10	Obdélník 220; 300	C25/30	beton	6,6000e-02	5,5000e-02 5,5000e-02	2,6620e-04 4,9500e-04	2,4200e-03 3,3000e-03	0,0000e+00 0,0000e+00	■
CS11	Obdélník 400; 300	C25/30	beton	1,2000e-01	1,0000e-01 1,0000e-01	1,6000e-03 9,0000e-04	8,0000e-03 6,0000e-03	0,0000e+00 0,0000e+00	■
CS12	Obdélník 605; 300	C25/30	beton	1,8150e-01	1,5125e-01 1,5125e-01	5,5361e-03 1,3613e-03	1,8301e-02 9,0750e-03	0,0000e+00 0,0000e+00	■
CS13	Obdélník 785; 300	C25/30	beton	2,3550e-01	1,9625e-01 1,9625e-01	1,2093e-02 1,7663e-03	3,0811e-02 1,1775e-02	0,0000e+00 0,0000e+00	■
CS14	Obdélník 750; 700	C25/30	beton	5,2500e-01	4,3750e-01 4,3750e-01	2,4609e-02 2,1438e-02	6,5625e-02 6,1250e-02	0,0000e+00 0,0000e+00	■

10.1.3. Materiály

Jméno	Typ	ρ [kg/m ³]	Hustota v čerstvém stavu [kg/m ³]	E _{mod} [MPa]	μ	α [m/mK]	f _{c,k28} [MPa]	Barva
C25/30	Beton	2500,0	2600,0	3,1500e+04	0,2	0,00	25,00	■



Vysvětlivky symbolů

Hustota v čerstvém stavu	Hodnota hustoty v čerstvém stavu se použije pouze v případě, že je zadána spřažená deska a její vlastní tíha se zohledňuje.
--------------------------	---

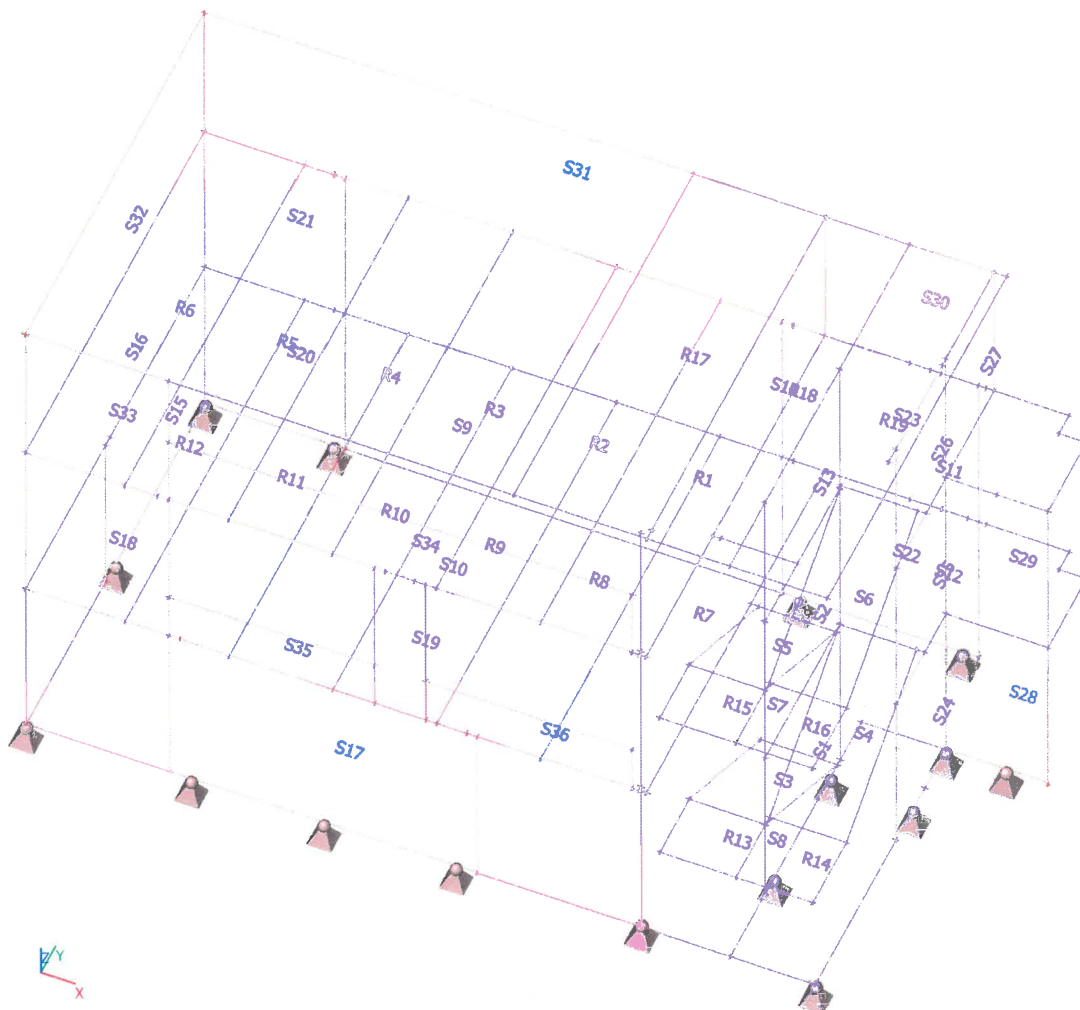
Výztuž EC2

Jméno	Typ	ρ [kg/m ³]	E_{mod} [MPa]	G_{mod} [MPa]	α [m/mK]	$f_{y,k}$ [MPa]
B 500B	Výztužná ocel	7850,0	2,0000e+05	8,3333e+04	0,00	500,0

Zdivo

Jméno	Typ	ρ [kg/m ³]	E_{mod} [MPa]	μ	G_{mod} [MPa]	α [m/mK]	f_k [MPa]	Barva
Zdivo 380mm	Zdivo	850,0	1,5000e+03	0,25	5,0000e-01	0,00	3,1	■
Zdivo 300mm	Zdivo	1190,0	1,5000e+03	0,25	5,0000e-01	0,00	3,1	■

10.1.4. Výpočtový model-značení ploch



10.1.5. Plochy

Jméno	Vrstva	Typ	Výpočtový model	Materiál	Typ flouščky	Tl. [mm]
S1	Vrstva1	deska (90)	Standard	C25/30	konstantní	200
S2	Vrstva1	deska (90)	Standard	C25/30	konstantní	200
S3	Vrstva1	deska (90)	Standard	C25/30	konstantní	150
S4	Vrstva1	deska (90)	Standard	C25/30	konstantní	150
S5	Vrstva1	deska (90)	Standard	C25/30	konstantní	150
S6	Vrstva1	deska (90)	Standard	C25/30	konstantní	150
S7	Vrstva1	deska (90)	Standard	C25/30	konstantní	150



Jméno	Vrstva	Typ	Výpočtový model	Materiál	Typ tloušťky	Tl. [mm]
S8	Vrstva1	deska (90)	Standard	C25/30	konstantní	150
S9	Vrstva1	deska (90)	Standard	C25/30	konstantní	100
S10	Vrstva1	deska (90)	Standard	C25/30	konstantní	100
S11	Vrstva1	deska (90)	Standard	C25/30	konstantní	200
S12	Vrstva1	deska (90)	Standard	C25/30	konstantní	200
S13	Vrstva1	deska (90)	Standard	C25/30	konstantní	200
S14	Vrstva1	deska (90)	Standard	C25/30	konstantní	180
S15	stěny	deska (90)	Standard	Zdivo 380mm	konstantní	380
S16	stěny	deska (90)	Standard	Zdivo 380mm	konstantní	380
S17	stěny	deska (90)	Standard	Zdivo 380mm	konstantní	380
S18	stěny	deska (90)	Standard	Zdivo 380mm	konstantní	380
S19	stěny	deska (90)	Standard	C25/30	konstantní	300
S20	stěny	deska (90)	Standard	Zdivo 300mm	konstantní	300
S21	stěny	deska (90)	Standard	Zdivo 300mm	konstantní	300
S22	stěny	deska (90)	Standard	Zdivo 300mm	konstantní	300
S23	stěny	deska (90)	Standard	Zdivo 300mm	konstantní	300
S24	stěny	deska (90)	Standard	Zdivo 380mm	konstantní	300
S25	stěny	deska (90)	Standard	Zdivo 380mm	konstantní	300
S26	stěny	deska (90)	Standard	Zdivo 300mm	konstantní	300
S27	stěny	deska (90)	Standard	Zdivo 300mm	konstantní	300
S28	stěny	deska (90)	Standard	Zdivo 380mm	konstantní	300
S29	stěny	deska (90)	Standard	Zdivo 380mm	konstantní	300
S30	stěny	deska (90)	Standard	Zdivo 380mm	konstantní	300
S31	stěny	deska (90)	Standard	Zdivo 300mm	konstantní	300
S32	stěny	deska (90)	Standard	Zdivo 380mm	konstantní	380
S33	stěny	deska (90)	Standard	Zdivo 380mm	konstantní	380
S34	stěny	deska (90)	Standard	Zdivo 380mm	konstantní	300
S35	stěny	deska (90)	Standard	Zdivo 380mm	konstantní	380
S36	stěny	deska (90)	Standard	Zdivo 380mm	konstantní	380

10.1.6. Uzly

Jméno	Souř. X [m]	Souř. Y [m]	Souř. Z [m]
N1	12,880	4,700	0,000
N2	12,880	1,500	0,000
N3	12,880	1,500	3,540
N4	12,880	4,700	3,540
N5	12,880	1,500	7,080
N6	12,880	4,700	7,080
N7	12,880	4,583	0,000
N8	11,480	4,583	0,000
N9	11,480	1,514	1,790
N10	12,880	1,514	1,790
N11	12,880	1,686	1,790
N12	14,280	1,686	1,790
N13	14,280	4,686	3,540
N14	12,880	4,686	3,540
N15	12,880	4,514	3,540
N16	11,480	4,514	3,540
N17	11,480	1,514	5,290
N18	12,880	1,514	5,290
N19	12,880	1,686	5,290
N20	14,280	1,686	5,290
N21	14,280	4,754	7,080
N22	12,880	4,754	7,080
N23	11,480	0,250	5,290
N24	14,280	0,250	5,290
N25	11,480	0,250	1,790
N26	14,280	0,250	1,790
N27	11,335	0,000	7,080
N28	11,205	0,000	7,080
N29	11,080	0,000	7,080
N30	9,415	0,000	7,080
N31	7,515	0,000	7,080
N32	7,320	0,000	7,080

Jméno	Souř. X [m]	Souř. Y [m]	Souř. Z [m]
N33	6,380	0,000	7,080
N34	5,615	0,000	7,080
N35	3,715	0,000	7,080
N36	2,620	0,000	7,080
N37	1,815	0,000	7,080
N38	0,000	0,000	7,080
N39	0,000	7,680	7,080
N40	1,815	7,680	7,080
N41	2,560	7,680	7,080
N42	3,715	7,680	7,080
N43	5,615	7,680	7,080
N44	7,515	7,680	7,080
N45	9,415	7,680	7,080
N46	10,560	7,680	7,080
N47	11,335	7,680	7,080
N48	11,335	0,000	3,540
N49	11,205	0,000	3,540
N50	11,080	0,000	3,540
N51	9,415	0,000	3,540
N52	8,260	0,000	3,540
N53	7,515	0,000	3,540
N54	7,320	0,000	3,540
N55	6,380	0,000	3,540
N56	5,615	0,000	3,540
N57	3,715	0,000	3,540
N58	2,620	0,000	3,540
N59	1,815	0,000	3,540
N60	0,000	0,000	3,540
N61	0,000	3,420	3,540
N62	0,000	7,680	3,540
N63	1,815	7,680	3,540
N64	2,560	7,680	3,540

Jméno	Souř. X [m]	Souř. Y [m]	Souř. Z [m]
N65	3,715	7,680	3,540
N66	5,615	7,680	3,540
N67	7,515	7,680	3,540
N68	9,415	7,680	3,540
N69	10,560	7,680	3,540
N70	11,335	7,680	3,540
N71	12,880	2,894	7,080
N73	11,335	2,894	7,080
N74	13,460	7,680	7,080
N75	14,280	7,680	7,080
N76	15,803	7,680	7,080
N77	15,803	7,253	7,080
N78	16,303	7,253	7,080
N79	16,303	5,603	7,080
N80	15,367	5,603	7,080
N81	14,430	5,603	7,080
N82	14,430	4,754	7,080
N83	11,335	4,514	3,540
N84	11,480	7,680	3,540
N85	12,880	7,680	3,540
N86	13,460	7,680	3,540
N87	14,142	7,680	3,540
N88	14,280	7,680	3,540
N89	15,803	7,680	3,540
N90	15,803	7,253	3,540
N91	16,303	7,253	3,540
N92	16,303	5,603	3,540
N93	14,430	5,603	3,540
N94	14,430	4,686	3,540
N95	11,205	0,075	0,000
N96	11,205	0,075	3,540
N97	11,205	0,075	7,080



STATICKÝ VÝPOČET

BETONOVÉ KONSTRUKCE
DOKUMENTACE PRO PROVEDENÍ STAVBY

AKCE:

ROZŠÍŘENÍ INFRASTRUKTURY
CENTRA INTEMAC

ARCH.Č.: 1917-02

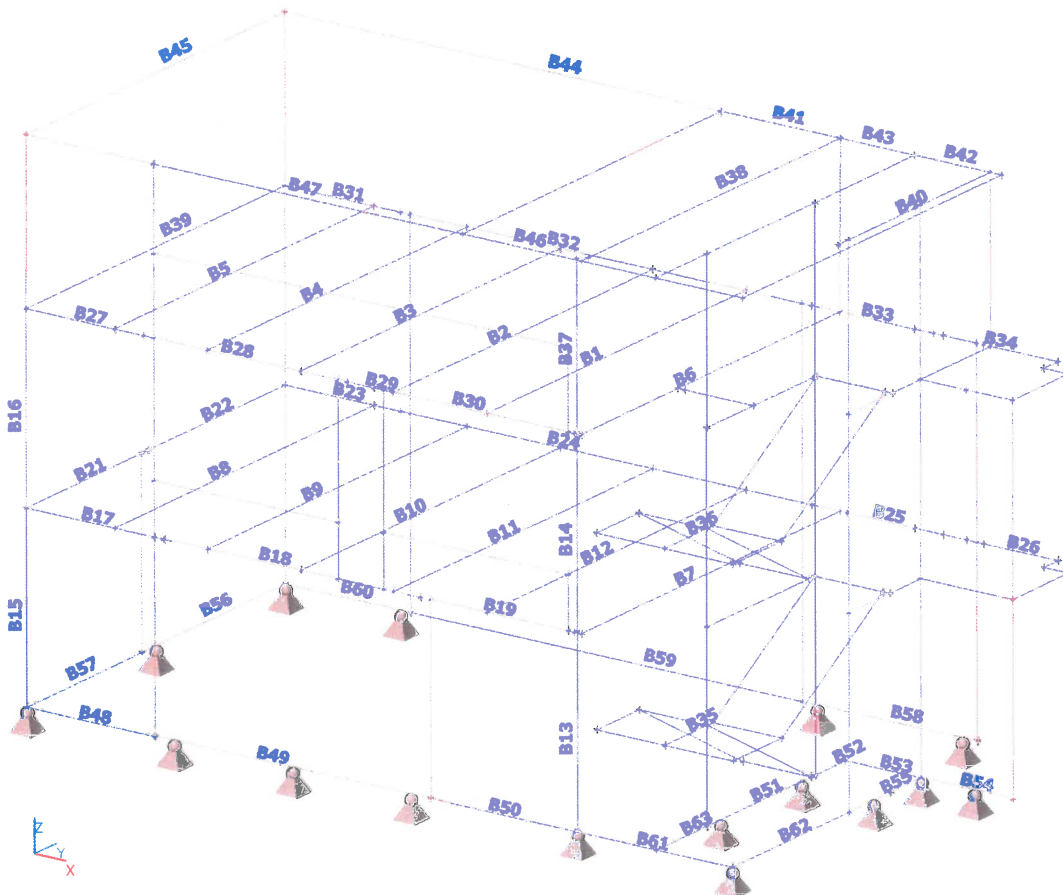
List : 110

Jméno	Souř. X [m]	Souř. Y [m]	Souř. Z [m]
N98	0,000	0,000	0,000
N99	2,820	0,000	3,540
N100	8,060	0,000	3,540
N103	0,000	3,620	3,540
N104	2,360	7,680	3,540
N105	10,760	7,680	3,540
N106	13,942	7,680	3,540
N108	2,420	0,000	7,080
N109	6,580	0,000	7,080
N110	7,120	0,000	7,080
N112	2,360	7,680	7,080
N113	10,760	7,680	7,080
N114	13,260	7,680	7,080
N120	12,880	0,250	1,790
N121	12,880	0,250	5,290
N122	12,880	1,500	1,790
N125	12,880	1,514	7,080
N126	12,880	1,514	10,170
N127	12,880	4,700	10,170
N128	11,205	0,075	10,170
N131	8,930	0,000	10,170
N132	14,660	0,000	10,170

Jméno	Souř. X [m]	Souř. Y [m]	Souř. Z [m]
N133	14,660	7,680	10,170
N134	8,930	7,680	10,170
N135	11,355	0,200	10,170
N138	14,430	3,150	10,170
N139	14,430	5,453	10,170
N140	11,355	7,680	10,170
N141	11,355	0,000	10,170
N142	12,880	7,680	10,170
N143	12,880	0,000	10,170
N144	14,430	7,680	7,080
N145	14,430	7,680	10,170
N146	0,000	3,420	0,000
N148	0,000	7,680	0,000
N149	2,620	0,000	0,000
N150	8,260	0,000	0,000
N151	2,560	7,680	0,000
N152	10,560	7,680	0,000
N153	14,142	7,680	0,000
N154	14,142	7,680	7,080
N155	14,430	3,450	0,000
N156	14,430	4,686	0,000
N157	14,430	5,603	0,000

Jméno	Souř. X [m]	Souř. Y [m]	Souř. Z [m]
N158	14,430	3,450	3,540
N159	14,430	3,450	7,080
N160	14,430	3,450	10,170
N161	14,430	5,603	10,170
N162	16,303	5,603	0,000
N163	0,000	7,680	10,170
N164	0,000	0,000	10,170
N165	12,880	7,680	7,080
N166	2,620	0,000	10,170
N167	2,620	0,000	8,580
N168	11,080	0,000	8,580
N169	2,620	0,000	4,540
N170	6,380	0,000	4,540
N171	7,320	0,000	4,540
N172	11,080	0,000	4,540
N173	11,205	0,000	0,000
N174	12,880	5,603	0,000
N175	14,430	0,000	0,000
N176	12,880	0,000	0,000
N177	11,480	2,894	7,080
N178	12,880	4,700	7,048
N179	12,880	1,500	5,290

10.1.7. Výpočtový model - značení prutů



10.1.8. Prvky

Jméno	Průřez	Materiál	Délka [m]	Poč. uzel	Konc. uzel	Typ
B1	CS1 - Obdélník (450; 250)	C25/30	7,680	N30	N45	žebro desky (92)
B2	CS1 - Obdélník (450; 250)	C25/30	7,680	N31	N44	žebro desky (92)



STATICKÝ VÝPOČET
BETONOVÉ KONSTRUKCE
DOKUMENTACE PRO PROVEDENÍ STAVBY

AKCE:
**ROZŠÍŘENÍ INFRASTRUKTURY
CENTRA INTEMAC**

ARCH.Č.: 1917-02

List : 111

Jméno	Průřez	Materiál	Délka [m]	Poč. uzel	Konc. uzel	Typ
B3	CS1 - Obdélník (450; 250)	C25/30	7,680	N34	N43	žebro desky (92)
B4	CS1 - Obdélník (450; 250)	C25/30	7,680	N35	N42	žebro desky (92)
B5	CS1 - Obdélník (450; 250)	C25/30	7,680	N37	N40	žebro desky (92)
B6	CS3 - Obdélník (705; 300)	C25/30	7,680	N27	N47	žebro desky (92)
B7	CS1 - Obdélník (450; 250)	C25/30	7,680	N48	N70	žebro desky (92)
B8	CS1 - Obdélník (450; 250)	C25/30	7,680	N59	N63	žebro desky (92)
B9	CS1 - Obdélník (450; 250)	C25/30	7,680	N57	N65	žebro desky (92)
B10	CS1 - Obdélník (450; 250)	C25/30	7,680	N56	N66	žebro desky (92)
B11	CS1 - Obdélník (450; 250)	C25/30	7,680	N53	N67	žebro desky (92)
B12	CS1 - Obdélník (450; 250)	C25/30	7,680	N51	N68	žebro desky (92)
B13	CS2 - Obdélník (250; 250)	C25/30	3,540	N95	N96	sloup (100)
B14	CS2 - Obdélník (250; 250)	C25/30	3,540	N96	N97	sloup (100)
B15	CS2 - Obdélník (250; 250)	C25/30	3,540	N98	N60	sloup (100)
B16	CS2 - Obdélník (250; 250)	C25/30	3,540	N60	N38	sloup (100)
B17	CS4 - Obdélník (870; 300)	C25/30	2,820	N60	N99	nosník (80)
B18	CS4 - Obdélník (870; 300)	C25/30	5,240	N99	N100	nosník (80)
B19	CS4 - Obdélník (870; 300)	C25/30	3,275	N100	N48	nosník (80)
B21	CS4 - Obdélník (870; 300)	C25/30	3,620	N60	N103	nosník (80)
B22	CS4 - Obdélník (870; 300)	C25/30	4,060	N103	N62	nosník (80)
B23	CS4 - Obdélník (870; 300)	C25/30	2,360	N62	N104	nosník (80)
B24	CS4 - Obdélník (870; 300)	C25/30	8,400	N104	N105	nosník (80)
B25	CS4 - Obdélník (870; 300)	C25/30	3,182	N105	N106	nosník (80)
B26	CS5 - Obdélník (350; 300)	C25/30	1,862	N106	N89	nosník (80)
B27	CS6 - Obdélník (805; 300)	C25/30	2,420	N38	N108	nosník (80)
B28	CS6 - Obdélník (805; 300)	C25/30	4,160	N108	N109	nosník (80)
B29	CS6 - Obdélník (805; 300)	C25/30	0,540	N109	N110	nosník (80)
B30	CS6 - Obdélník (805; 300)	C25/30	4,215	N110	N27	nosník (80)
B31	CS6 - Obdélník (805; 300)	C25/30	2,360	N39	N112	nosník (80)
B32	CS6 - Obdélník (805; 300)	C25/30	8,400	N112	N113	nosník (80)
B33	CS6 - Obdélník (805; 300)	C25/30	2,500	N113	N114	nosník (80)
B34	CS5 - Obdélník (350; 300)	C25/30	2,543	N114	N76	nosník (80)
B35	CS7 - Obdélník (150; 200)	C25/30	1,264	N120	N10	žebro desky (92)
B36	CS7 - Obdélník (150; 200)	C25/30	1,264	N121	N18	žebro desky (92)
B37	CS2 - Obdélník (250; 250)	C25/30	3,090	N97	N128	sloup (100)
B38	CS8 - Obdélník (450; 300)	C25/30	7,680	N140	N141	žebro desky (92)
B39	CS9 - Obdélník (670; 300)	C25/30	7,680	N39	N38	žebro desky (92)
B40	CS10 - Obdélník (220; 300)	C25/30	4,530	N138	N145	žebro desky (92)
B41	CS10 - Obdélník (220; 300)	C25/30	2,425	N140	N134	žebro desky (92)
B42	CS10 - Obdélník (220; 300)	C25/30	1,780	N133	N142	žebro desky (92)
B43	CS10 - Obdélník (220; 300)	C25/30	1,525	N142	N140	žebro desky (92)
B44	CS11 - Obdélník (400; 300)	C25/30	8,930	N134	N163	nosník (80)
B45	CS11 - Obdélník (400; 300)	C25/30	7,680	N163	N164	nosník (80)
B46	CS12 - Obdélník (605; 300)	C25/30	2,425	N141	N131	žebro desky (92)
B47	CS13 - Obdélník (785; 300)	C25/30	8,930	N131	N164	nosník (80)
B48	CS14 - Obdélník (750; 700)	C25/30	2,620	N98	N149	nosník (80)
B49	CS14 - Obdélník (750; 700)	C25/30	5,640	N149	N150	nosník (80)
B50	CS14 - Obdélník (750; 700)	C25/30	2,945	N150	N173	nosník (80)
B51	CS14 - Obdélník (750; 700)	C25/30	3,200	N2	N1	nosník (80)
B52	CS14 - Obdélník (750; 700)	C25/30	0,903	N1	N174	nosník (80)
B53	CS14 - Obdélník (750; 700)	C25/30	1,550	N174	N157	nosník (80)
B54	CS14 - Obdélník (750; 700)	C25/30	1,873	N157	N162	nosník (80)
B55	CS14 - Obdélník (750; 700)	C25/30	2,153	N155	N157	nosník (80)
B56	CS14 - Obdélník (750; 700)	C25/30	4,260	N148	N146	nosník (80)
B57	CS14 - Obdélník (750; 700)	C25/30	3,420	N146	N98	nosník (80)
B58	CS14 - Obdélník (750; 700)	C25/30	3,582	N153	N152	nosník (80)
B59	CS14 - Obdélník (750; 700)	C25/30	8,000	N152	N151	nosník (80)
B60	CS14 - Obdélník (750; 700)	C25/30	2,560	N151	N148	nosník (80)
B61	CS14 - Obdélník (750; 700)	C25/30	3,225	N173	N175	nosník (80)
B62	CS14 - Obdélník (750; 700)	C25/30	3,450	N175	N155	nosník (80)
B63	CS14 - Obdélník (750; 700)	C25/30	1,500	N176	N2	nosník (80)



STATICKÝ VÝPOČET

BETONOVÉ KONSTRUKCE
DOKUMENTACE PRO PROVEDENÍ STAVBY

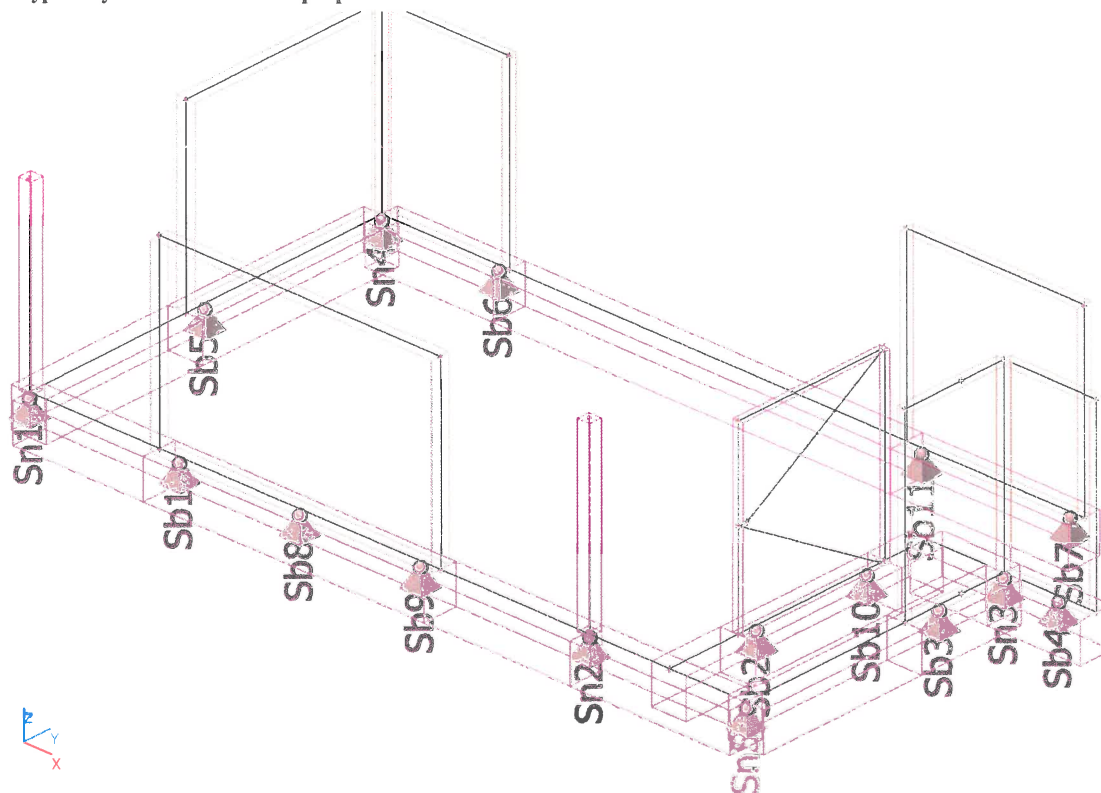
AKCE:

ROZŠÍŘENÍ INFRASTRUKTURY
CENTRA INTEMAC

ARCH.Č.: 1917-02

List : 112

10.1.9. Výpočtový model - číslování podpor



10.1.10. Bodové podpory na prutu

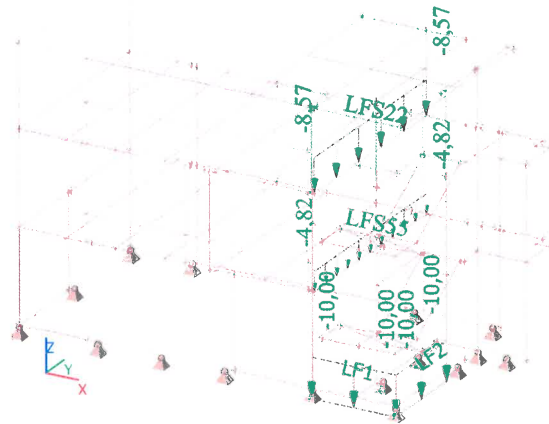
Jméno	Typ	Souř. Systém	Poz x [m] Poč	dx [m] Poč.(n)	X	Y	Z	Rx	Ry	Rz
Sb1	Standard	Abso GSS	0,400 Od počátku	1	Tuhý	Tuhý	Tuhý	Volný	Volný	Volný
Sb2	Standard	Abso GSS	0,400 Od počátku	1	Tuhý	Tuhý	Tuhý	Volný	Volný	Volný
Sb3	Standard	Abso GSS	1,400 Od konce	1	Tuhý	Tuhý	Tuhý	Volný	Volný	Volný
Sb4	Standard	Abso GSS	1,095 Od počátku	1	Tuhý	Tuhý	Tuhý	Volný	Volný	Volný
Sb5	Standard	Abso GSS	3,850 Od počátku	1	Tuhý	Tuhý	Tuhý	Volný	Volný	Volný
Sb6	Standard	Abso GSS	2,350 Od konce	1	Tuhý	Tuhý	Tuhý	Volný	Volný	Volný
Sb7	Standard	Abso GSS	0,300 Od počátku	1	Tuhý	Tuhý	Tuhý	Volný	Volný	Volný
Sb8	Standard	Abso GSS	2,820 Od počátku	1	Tuhý	Tuhý	Tuhý	Volný	Volný	Volný
Sb9	Standard	Abso GSS	0,400 Od konce	1	Tuhý	Tuhý	Tuhý	Volný	Volný	Volný
Sb10	Standard	Abso GSS	0,400 Od konce	1	Tuhý	Tuhý	Tuhý	Volný	Volný	Volný
Sb11	Standard	Abso GSS	0,300 Od konce	1	Tuhý	Tuhý	Tuhý	Volný	Volný	Volný

10.1.11. Podpory v uzlech

Jméno	Uzel	Systém	Typ	X	Y	Z	Rx	Ry	Rz
Sn1	N98	GSS	Standard	Tuhý	Tuhý	Tuhý	Volný	Volný	Volný
Sn2	N95	GSS	Standard	Tuhý	Tuhý	Tuhý	Volný	Volný	Volný
Sn3	N157	GSS	Standard	Tuhý	Tuhý	Tuhý	Volný	Volný	Volný
Sn4	N148	GSS	Standard	Tuhý	Tuhý	Tuhý	Volný	Volný	Volný
Sn5	N175	GSS	Standard	Tuhý	Tuhý	Tuhý	Volný	Volný	Volný

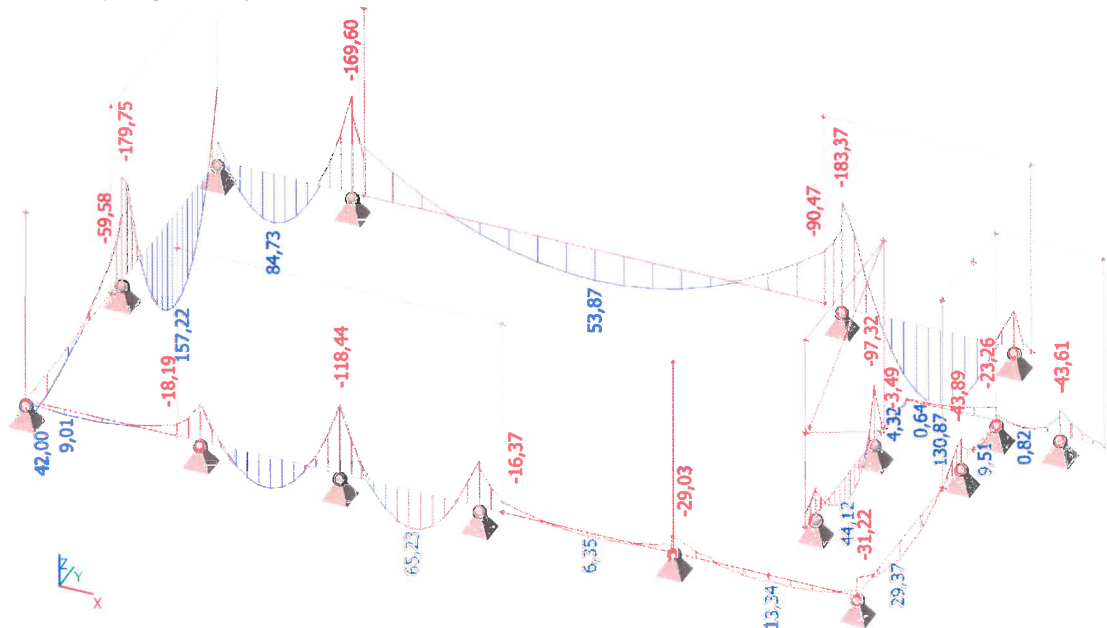


10.1.12. ZS3 - upravený zatěžovací stav stěny a příčky

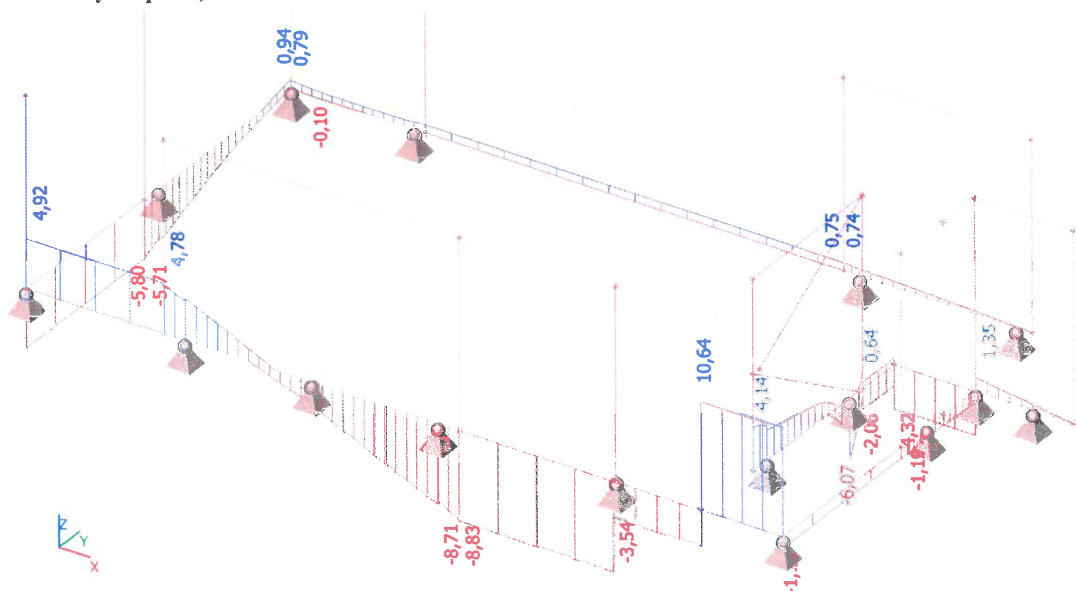


10.2. Vnitřní síly v základových pasech

10.2.1. Vnitřní síly na prutu; My



10.2.2. Vnitřní síly na prutu; Mx





STATICKÝ VÝPOČET

BETONOVÉ KONSTRUKCE
DOKUMENTACE PRO PROVEDENÍ STAVBY

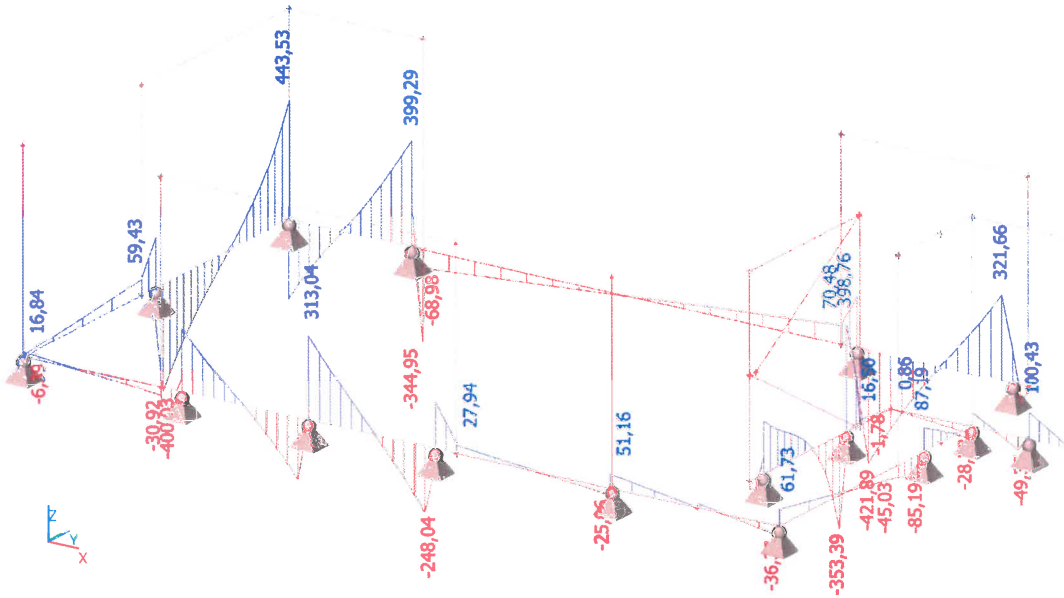
AKCE:

ROZŠÍŘENÍ INFRASTRUKTURY
CENTRA INTEMAC

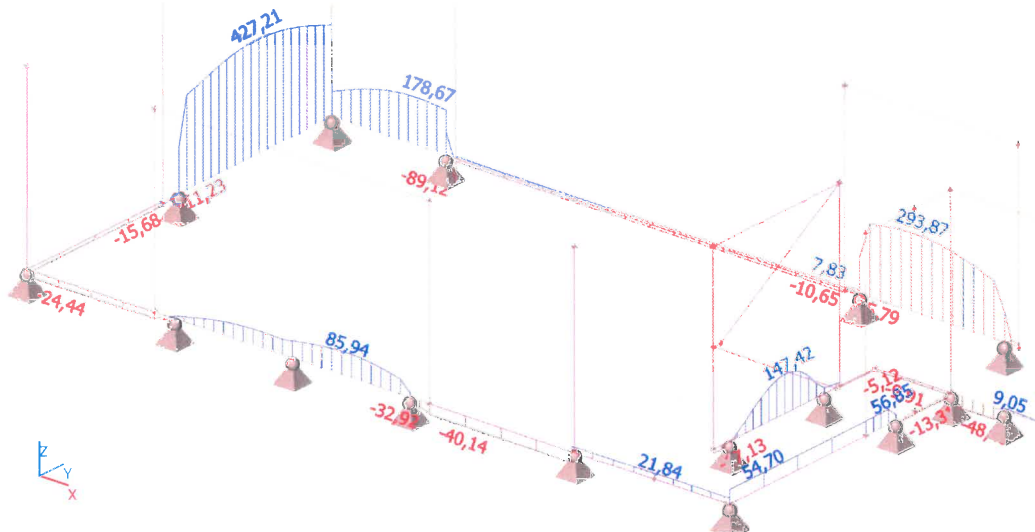
ARCH.Č.: 1917-02

List : 114

10.2.3. Vnitřní síly na prutu; Vz



10.2.4. Vnitřní síly na prutu; N



10.2.5. Vnitřní síly na prutu

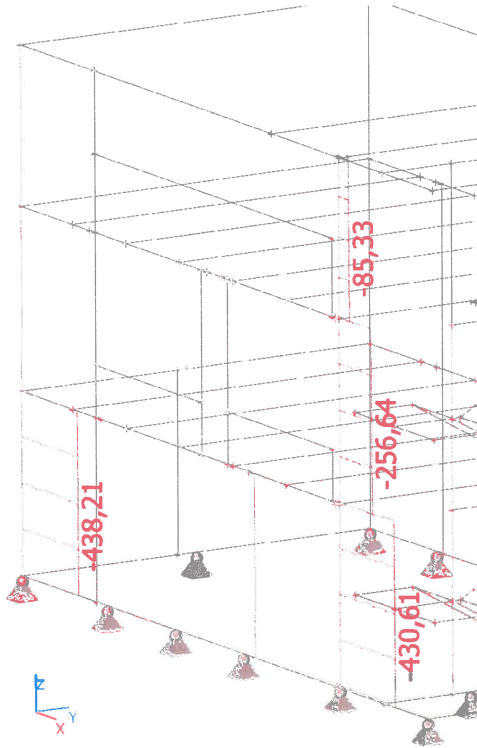
Lineární výpočet, Extrém : Globální, Systém : Hlavní, Žebro / integrační pás
Výběr : Pojmenovaný výběr - základové pasy
Kombinace : MSU-ze všech ZS

Dílec	css	dx [m]	Stav	N [kN]	Vy [kN]	Vz [kN]	Mx [kNm]	My [kNm]	Mz [kNm]
B60	CS14 - Obdélník	0,000	MSU-ze všech ZS/1	-89,12	-0,05	-313,17	0,54	-39,49	0,03
B56	CS14 - Obdélník	1,824	MSU-ze všech ZS/2	427,21	0,37	-17,39	-1,74	156,75	0,62
B51	CS14 - Obdélník	3,200	MSU-ze všech ZS/3	10,26	-17,24	-21,14	0,60	-11,49	3,06
B51	CS14 - Obdélník	2,800	MSU-ze všech ZS/4	18,18	12,24	358,73	-6,07	-83,89	3,49
B58	CS14 - Obdélník	3,069	MSU-ze všech ZS/2	273,66	0,01	-421,89	0,55	-135,74	-0,04
B56	CS14 - Obdélník	0,000	MSU-ze všech ZS/2	345,69	0,51	443,53	0,57	-128,68	0,28
B50	CS14 - Obdélník	0,000	MSU-ze všech ZS/5	-40,04	-1,29	27,90	-8,83	-16,33	1,08
B61	CS14 - Obdélník	1,675	MSU-ze všech ZS/6	20,48	0,95	12,17	10,64	9,31	-0,15
B58	CS14 - Obdélník	3,282	MSU-ze všech ZS/2	137,87	0,01	-149,32	0,58	-183,37	-0,05
B56	CS14 - Obdélník	1,621	MSU-ze všech ZS/2	426,01	0,39	17,67	-1,43	157,22	0,58
B61	CS14 - Obdélník	0,000	MSU-ze všech ZS/2	16,18	5,66	49,79	-3,22	-28,58	-7,08
B51	CS14 - Obdélník	3,083	MSU-ze všech ZS/3	14,82	-2,77	178,24	-2,62	-15,08	4,58

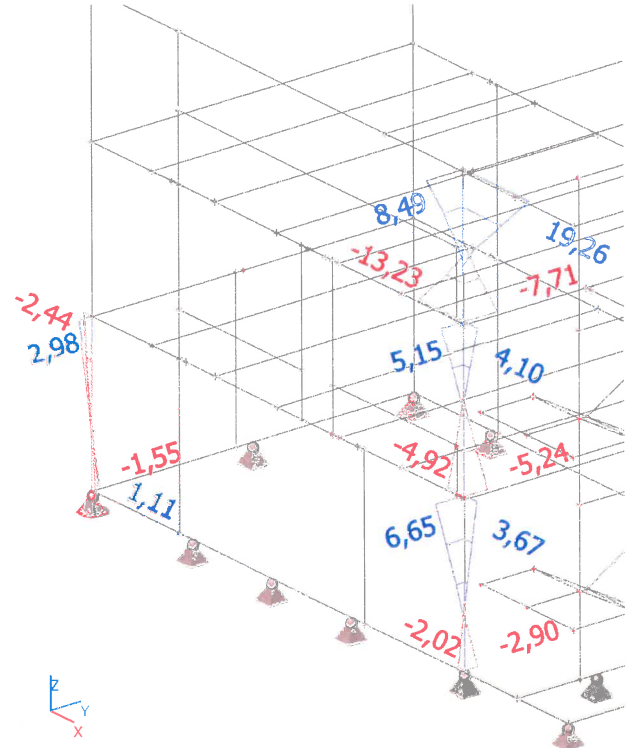


10.3. Vnitřní síly ve sloupech S1 a S2

10.3.1. Vnitřní síly na prutu; N



10.3.2. Vnitřní síly na prutu; My, Mz



10.3.3. Vnitřní síly na prutu

Lineární výpočet, Extrém : Dílec, Systém : Hlavní, Žebro / integrační pás
 Výběr : Pojmenovaný výběr - S1
 Kombinace : MSU-ze všech ZS

Dílec	css	dx [m]	Stav	N [kN]	Vy [kN]	Vz [kN]	Mx [kNm]	My [kNm]	Mz [kNm]
B15	CS2 - Obdélník	0,000	MSU-ze všech ZS/5	-438,21	1,28	-1,00	0,00	1,11	-1,55
B15	CS2 - Obdélník	3,540	MSU-ze všech ZS/8	-247,61	0,73	-0,53	0,00	-1,29	1,71
B15	CS2 - Obdélník	0,000	MSU-ze všech ZS/8	-253,04	0,73	-0,53	0,00	0,59	-0,89
B15	CS2 - Obdélník	0,000	MSU-ze všech ZS/61	-337,34	1,03	-0,81	-0,01	0,94	-1,29
B15	CS2 - Obdélník	0,000	MSU-ze všech ZS/62	-353,96	0,99	-0,88	0,01	0,95	-1,15
B15	CS2 - Obdélník	3,540	MSU-ze všech ZS/5	-430,89	1,28	-1,00	0,00	-2,44	2,98

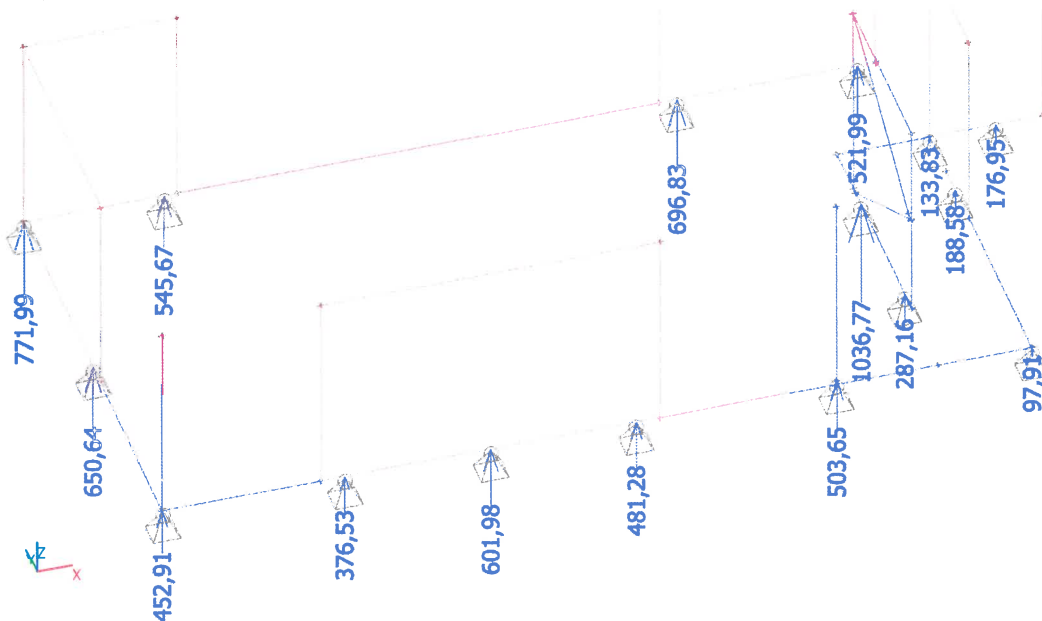
10.3.4. Vnitřní síly na prutu

Lineární výpočet, Extrém : Globální, Systém : Hlavní, Žebro / integrační pás
 Výběr : Pojmenovaný výběr - S2-dolní dvě podlaží
 Kombinace : MSU-ze všech ZS

Dílec	css	dx [m]	Stav	N [kN]	Vy [kN]	Vz [kN]	Mx [kNm]	My [kNm]	Mz [kNm]
B13	CS2 - Obdélník	0,000	MSU-ze všech ZS/2	-430,61	2,59	1,60	-0,07	-2,02	-2,73
B14	CS2 - Obdélník	3,540	MSU-ze všech ZS/7	-137,84	1,53	1,16	-0,02	1,75	2,55
B13	CS2 - Obdélník	0,000	MSU-ze všech ZS/57	-295,19	1,39	1,02	-0,04	-1,30	-1,39
B14	CS2 - Obdélník	0,000	MSU-ze všech ZS/5	-247,03	2,90	2,55	-0,05	-4,92	-5,13
B13	CS2 - Obdélník	0,000	MSU-ze všech ZS/8	-264,73	1,48	0,85	-0,05	-1,08	-1,52
B13	CS2 - Obdélník	0,000	MSU-ze všech ZS/3	-400,15	2,68	1,44	-0,08	-1,80	-2,86
B14	CS2 - Obdélník	0,000	MSU-ze všech ZS/60	-157,65	1,67	1,61	-0,02	-3,24	-3,09
B14	CS2 - Obdélník	3,540	MSU-ze všech ZS/5	-239,70	2,90	2,55	-0,05	4,10	5,15
B14	CS2 - Obdélník	0,000	MSU-ze všech ZS/58	-223,05	2,76	2,03	-0,03	-4,08	-5,24
B13	CS2 - Obdélník	3,540	MSU-ze všech ZS/58	-383,66	2,69	1,44	-0,08	3,30	6,65



10.4.2. Reakce; Rz - MSU - soubor B



10.4.3. Reakce - návrhové hodnoty

Lineární výpočet, Extrém : Uzel

Výběr : Vše

Kombinace : MSU-ze všech ZS

Podpora	Stav	dx [m]	Rx [kN]	Ry [kN]	Rz [kN]
Sn1/N98	MSU-ze všech ZS/7		11,46	6,52	272,29
Sn1/N98	MSU-ze všech ZS/1		26,56	18,42	420,26
Sn1/N98	MSU-ze všech ZS/8		11,47	6,84	270,14
Sn1/N98	MSU-ze všech ZS/5		26,05	17,72	452,91
Sn2/N95	MSU-ze všech ZS/5		-58,08	9,44	494,69
Sn2/N95	MSU-ze všech ZS/8		-37,59	6,24	320,77
Sn2/N95	MSU-ze všech ZS/7		-37,89	6,01	302,87
Sn2/N95	MSU-ze všech ZS/2		-57,92	9,56	503,65
Sn3/N157	MSU-ze všech ZS/7		25,52	-14,21	86,24
Sn3/N157	MSU-ze všech ZS/2		40,27	-18,63	133,83
Sn3/N157	MSU-ze všech ZS/9		34,56	-19,74	121,22
Sn3/N157	MSU-ze všech		32,54	-12,82	102,64
Sn4/N148	MSU-ze všech ZS/2		-86,91	339,81	771,99
Sn4/N148	MSU-ze všech ZS/7		-40,13	199,78	448,56
Sn5/N175	MSU-ze všech		10,80	-40,78	69,50
Sn5/N175	MSU-ze všech		22,28	-54,72	97,91
Sn5/N175	MSU-ze všech		20,19	-55,28	97,06
Sn5/N175	MSU-ze všech		13,17	-40,21	70,46
Sb1/B49	MSU-ze všech ZS/1	0,400	-14,44	-1,19	354,36
Sb1/B49	MSU-ze všech ZS/7	0,400	-5,02	-0,63	220,02
Sb1/B49	MSU-ze všech ZS/2	0,400	-13,27	-1,19	376,53
Sb2/B51	MSU-ze všech	0,400	-4,48	-2,69	221,67
Sb2/B51	MSU-ze všech	0,400	0,01	-1,48	209,97
Sb2/B51	MSU-ze všech	0,400	-3,49	-6,04	220,93
Sb2/B51	MSU-ze všech	0,400	-1,95	1,19	238,56
Sb2/B51	MSU-ze všech	0,400	-2,79	-0,63	156,27
Sb2/B51	MSU-ze všech ZS/3	0,400	-2,40	-2,72	287,16
Sb3/B55	MSU-ze všech ZS/7	0,753	0,23	50,48	128,11
Sb3/B55	MSU-ze všech ZS/1	0,753	0,95	57,99	168,03
Sb3/B55	MSU-ze všech	0,753	0,71	49,28	137,10
Sb3/B55	MSU-ze všech	0,753	0,47	69,20	182,53
Sb3/B55	MSU-ze všech ZS/2	0,753	0,82	68,07	188,58
Sb4/B54	MSU-ze všech ZS/2	1,095	-56,20	0,33	176,95
Sb4/B54	MSU-ze všech ZS/7	1,095	-34,85	0,09	107,97
Sb4/B54	MSU-ze všech	1,095	-37,33	0,06	114,54

Podpora	Stav	dx [m]	Rx [kN]	Ry [kN]	Rz [kN]
Sb4/B54	MSU-ze všech	1,095	-49,15	0,42	157,26
Sb5/B56	MSU-ze všech	3,850	-1,34	-294,26	556,38
Sb5/B56	MSU-ze všech	3,850	-0,66	-230,45	437,84
Sb5/B56	MSU-ze všech ZS/2	3,850	-1,29	-345,95	650,64
Sb5/B56	MSU-ze všech ZS/7	3,850	-0,67	-200,04	389,84
Sb6/B60	MSU-ze všech ZS/7	0,210	76,32	-0,12	334,58
Sb6/B60	MSU-ze všech ZS/1	0,210	168,77	-0,12	503,09
Sb6/B60	MSU-ze všech ZS/6	0,210	123,18	-0,21	487,30
Sb6/B60	MSU-ze všech	0,210	137,33	-0,05	417,95
Sb6/B60	MSU-ze všech ZS/2	0,210	165,88	-0,16	545,67
Sb7/B58	MSU-ze všech ZS/7	0,300	92,68	-0,04	302,22
Sb7/B58	MSU-ze všech ZS/2	0,300	172,93	-0,07	521,99
Sb7/B58	MSU-ze všech	0,300	146,63	-0,08	446,36
Sb7/B58	MSU-ze všech	0,300	133,75	-0,04	398,99
Sb8/B49	MSU-ze všech	2,820	-9,65	-0,13	525,00
Sb8/B49	MSU-ze všech	2,820	-1,69	-0,01	406,43
Sb8/B49	MSU-ze všech	2,820	-7,17	-0,14	468,41
Sb8/B49	MSU-ze všech	2,820	-5,04	0,00	444,44
Sb8/B49	MSU-ze všech ZS/7	2,820	-3,27	-0,02	339,93
Sb8/B49	MSU-ze všech ZS/2	2,820	-8,38	-0,08	601,98
Sb9/B49	MSU-ze všech ZS/7	5,240	32,82	-0,66	272,46
Sb9/B49	MSU-ze všech ZS/2	5,240	62,87	-0,94	481,28
Sb9/B49	MSU-ze všech	5,240	50,08	-1,02	400,96
Sb9/B49	MSU-ze všech	5,240	47,57	-0,50	377,12
Sb10/B51	MSU-ze všech	2,800	-3,12	-8,23	776,72
Sb10/B51	MSU-ze všech	2,800	3,80	-6,69	810,79
Sb10/B51	MSU-ze všech	2,800	0,30	-11,08	864,26
Sb10/B51	MSU-ze všech	2,800	0,83	-5,06	724,26
Sb10/B51	MSU-ze všech ZS/7	2,800	0,40	-7,50	608,12
Sb10/B51	MSU-ze všech ZS/2	2,800	0,34	-9,51	1036,7
Sb11/B58	MSU-ze všech ZS/2	3,282	-259,30	-0,01	696,83
Sb11/B58	MSU-ze všech ZS/7	3,282	-132,66	0,00	424,62
Sb11/B58	MSU-ze všech	3,282	-200,80	-0,02	559,98
Sb11/B58	MSU-ze všech	3,282	-188,69	0,00	504,86



STATICKÝ VÝPOČET

BETONOVÉ KONSTRUKCE
DOKUMENTACE PRO PROVEDENÍ STAVBY

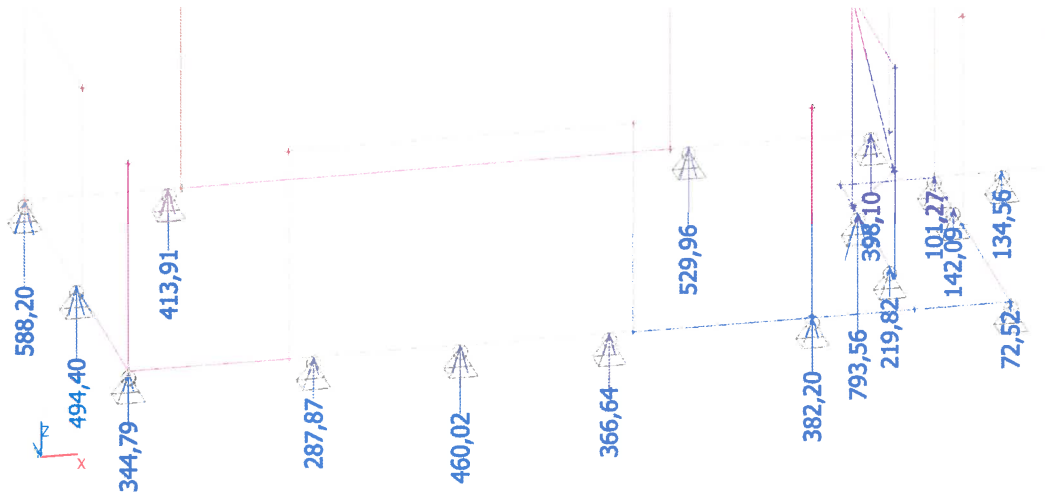
AKCE:

ROZŠÍŘENÍ INFRASTRUKTURY
CENTRA INTEMAC

ARCH.Č.: 1917-02

List : 118

10.4.4. Reakce; Rz - MSP



10.4.5. Reakce - charakteristické hodnoty

Lineární výpočet, Extrém : Uzel

Výběr : Vše

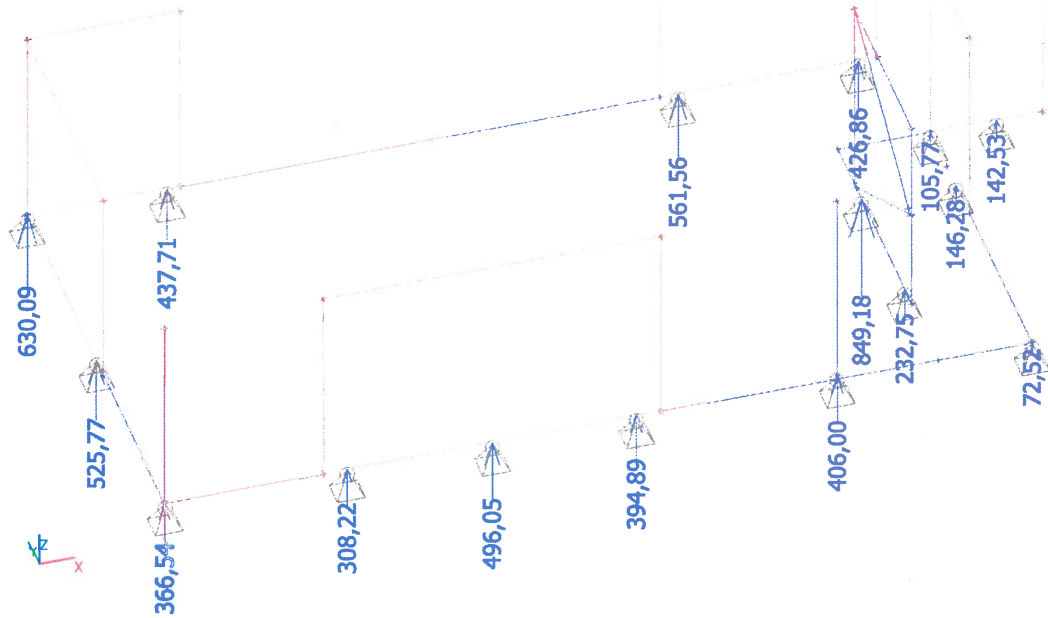
Kombinace : MSP-ze všech ZS

Podpora	Stav	dx [m]	Rx [kN]	Ry [kN]	Rz [kN]
Sn1/N98	MSP-ze všech ZS/7		11,46	6,52	272,29
Sn1/N98	MSP-ze všech ZS/36		20,40	13,81	344,07
Sn1/N98	MSP-ze všech ZS/37		11,47	6,74	270,86
Sn1/N98	MSP-ze všech ZS/38		20,40	13,70	344,79
Sn2/N95	MSP-ze všech ZS/38		-43,63	7,25	376,24
Sn2/N95	MSP-ze všech ZS/37		-37,69	6,17	314,81
Sn2/N95	MSP-ze všech ZS/7		-37,89	6,01	302,87
Sn2/N95	MSP-ze všech ZS/36		-43,53	7,33	382,20
Sn3/N15	MSP-ze všech ZS/7		25,52	-14,21	86,24
Sn3/N15	MSP-ze všech ZS/36		30,24	-13,81	101,27
Sn3/N15	MSP-ze všech ZS/39		25,62	-14,74	90,81
Sn3/N15	MSP-ze všech ZS/40		30,20	-13,28	97,17
Sn4/N14	MSP-ze všech ZS/36		-67,07	258,41	588,20
Sn4/N14	MSP-ze všech ZS/7		-40,13	199,78	448,56
Sn5/N17	MSP-ze všech ZS/36		12,70	-40,70	70,51
Sn5/N17	MSP-ze všech ZS/7		16,50	-40,53	72,52
Sn5/N17	MSP-ze všech ZS/41		14,60	-41,06	71,76
Sn5/N17	MSP-ze všech ZS/42		14,28	-40,31	71,15
Sb1/B49	MSP-ze všech ZS/36	0,400	-10,81	-0,94	287,87
Sb1/B49	MSP-ze všech ZS/7	0,400	-5,02	-0,63	220,02
Sb2/B51	MSP-ze všech ZS/42	0,400	-3,33	-1,59	189,25
Sb2/B51	MSP-ze všech ZS/41	0,400	-0,47	-0,69	198,89
Sb2/B51	MSP-ze všech ZS/36	0,400	-2,81	-3,74	206,19
Sb2/B51	MSP-ze všech ZS/7	0,400	-1,44	0,88	176,71
Sb2/B51	MSP-ze všech ZS/43	0,400	-2,34	-0,13	163,09
Sb2/B51	MSP-ze všech ZS/44	0,400	-1,91	-2,73	219,82
Sb3/B55	MSP-ze všech ZS/7	0,753	0,23	50,48	128,11
Sb3/B55	MSP-ze všech ZS/36	0,753	0,68	50,51	142,09
Sb3/B55	MSP-ze všech ZS/45	0,753	0,55	49,68	134,10
Sb3/B55	MSP-ze všech ZS/46	0,753	0,38	51,48	137,23
Sb4/B54	MSP-ze všech ZS/36	1,095	-42,60	0,29	134,56
Sb4/B54	MSP-ze všech ZS/7	1,095	-34,85	0,09	107,97
Sb4/B54	MSP-ze všech ZS/43	1,095	-36,51	0,07	112,35

Podpora	Stav	dx [m]	Rx [kN]	Ry [kN]	Rz [kN]
Sb4/B54	MSP-ze všech ZS/44	1,095	-40,94	0,30	130,18
Sb5/B56	MSP-ze všech ZS/44	3,850	-1,05	-243,11	462,40
Sb5/B56	MSP-ze všech ZS/43	3,850	-0,66	-220,31	421,84
Sb5/B56	MSP-ze všech ZS/36	3,850	-1,04	-263,39	494,40
Sb5/B56	MSP-ze všech ZS/7	3,850	-0,67	-200,04	389,84
Sb6/B60	MSP-ze všech ZS/7	0,210	76,32	-0,12	334,58
Sb6/B60	MSP-ze všech ZS/36	0,210	130,42	-0,11	413,91
Sb6/B60	MSP-ze všech ZS/47	0,210	90,62	-0,15	359,09
Sb6/B60	MSP-ze všech ZS/48	0,210	116,99	-0,07	390,16
Sb7/B58	MSP-ze všech ZS/7	0,300	92,68	-0,04	302,22
Sb7/B58	MSP-ze všech ZS/36	0,300	132,60	-0,06	398,10
Sb7/B58	MSP-ze všech ZS/48	0,300	119,51	-0,06	368,50
Sb7/B58	MSP-ze všech ZS/49	0,300	120,06	-0,04	366,73
Sb8/B49	MSP-ze všech ZS/40	2,820	-7,20	-0,09	429,77
Sb8/B49	MSP-ze všech ZS/39	2,820	-2,22	-0,01	384,26
Sb8/B49	MSP-ze všech ZS/46	2,820	-5,55	-0,10	392,04
Sb8/B49	MSP-ze všech ZS/50	2,820	-4,45	-0,01	409,60
Sb8/B49	MSP-ze všech ZS/7	2,820	-3,27	-0,02	339,93
Sb8/B49	MSP-ze všech ZS/36	2,820	-6,34	-0,07	460,02
Sb9/B49	MSP-ze všech ZS/7	5,240	32,82	-0,66	272,46
Sb9/B49	MSP-ze všech ZS/36	5,240	48,10	-0,71	366,64
Sb9/B49	MSP-ze všech ZS/51	5,240	38,27	-0,77	303,52
Sb9/B49	MSP-ze všech ZS/52	5,240	42,65	-0,56	342,24
Sb10/B5	MSP-ze všech ZS/53	2,800	-1,95	-7,99	720,52
Sb10/B5	MSP-ze všech ZS/54	2,800	2,63	-6,22	683,23
Sb10/B5	MSP-ze všech ZS/43	2,800	0,24	-8,14	636,99
Sb10/B5	MSP-ze všech ZS/55	2,800	0,69	-5,87	685,55
Sb10/B5	MSP-ze všech ZS/7	2,800	0,40	-7,50	608,12
Sb10/B5	MSP-ze všech ZS/36	2,800	0,23	-6,81	793,56
Sb11/B5	MSP-ze všech ZS/36	3,282	-201,19	-0,01	529,96
Sb11/B5	MSP-ze všech ZS/7	3,282	-132,66	0,00	424,62
Sb11/B5	MSP-ze všech ZS/41	3,282	-165,00	-0,01	472,96
Sb11/B5	MSP-ze všech ZS/56	3,282	-170,02	0,00	478,12



10.4.6. Reakce; Rz - MSU - soubor C



10.4.7. Reakce - návrhové hodnoty

Lineární výpočet, Extrém : Uzel

Výběr : Vše

Kombinace : MSU-ze všech ZS

Podpora	Stav	dx [m]	Rx [kN]	Ry [kN]	Rz [kN]
Sn1/N98	MSU-ze všech ZS/1		11,46	6,52	272,29
Sn1/N98	MSU-ze všech ZS/2		26,56	18,42	420,26
Sn1/N98	MSU-ze všech ZS/3		11,47	6,84	270,14
Sn1/N98	MSU-ze všech ZS/4		26,05	17,72	452,91
Sn2/N95	MSU-ze všech ZS/4		-58,08	9,44	494,69
Sn2/N95	MSU-ze všech ZS/3		-37,59	6,24	320,77
Sn2/N95	MSU-ze všech ZS/1		-37,89	6,01	302,87
Sn2/N95	MSU-ze všech ZS/5		-57,92	9,56	503,65
Sn3/N157	MSU-ze všech ZS/1		25,52	-14,21	86,24
Sn3/N157	MSU-ze všech ZS/5		40,27	-18,63	133,83
Sn3/N157	MSU-ze všech ZS/6		34,56	-19,74	121,22
Sn3/N157	MSU-ze všech ZS/7		32,54	-12,82	102,64
Sn4/N148	MSU-ze všech ZS/5		-86,91	339,81	771,99
Sn4/N148	MSU-ze všech ZS/1		-40,13	199,78	448,56
Sn5/N175	MSU-ze všech ZS/8		10,80	-40,78	69,50
Sn5/N175	MSU-ze všech ZS/9		22,28	-54,72	97,91
Sn5/N175	MSU-ze všech		20,19	-55,28	97,06
Sn5/N175	MSU-ze všech		13,17	-40,21	70,46
Sb1/B49	MSU-ze všech ZS/2	0,400	-14,44	-1,19	354,36
Sb1/B49	MSU-ze všech ZS/1	0,400	-5,02	-0,63	220,02
Sb1/B49	MSU-ze všech ZS/5	0,400	-13,27	-1,19	376,53
Sb2/B51	MSU-ze všech	0,400	-4,48	-2,69	221,67
Sb2/B51	MSU-ze všech	0,400	0,01	-1,48	209,97
Sb2/B51	MSU-ze všech ZS/8	0,400	-3,49	-6,04	220,93
Sb2/B51	MSU-ze všech ZS/9	0,400	-1,95	1,19	238,56
Sb2/B51	MSU-ze všech	0,400	-2,79	-0,63	156,27
Sb2/B51	MSU-ze všech	0,400	-2,40	-2,72	287,16
Sb3/B55	MSU-ze všech ZS/1	0,753	0,23	50,48	128,11
Sb3/B55	MSU-ze všech ZS/2	0,753	0,95	57,99	168,03
Sb3/B55	MSU-ze všech	0,753	0,71	49,28	137,10
Sb3/B55	MSU-ze všech	0,753	0,47	69,20	182,53
Sb3/B55	MSU-ze všech ZS/5	0,753	0,82	68,07	188,58
Sb4/B54	MSU-ze všech ZS/5	1,095	-56,20	0,33	176,95
Sb4/B54	MSU-ze všech ZS/1	1,095	-34,85	0,09	107,97
Sb4/B54	MSU-ze všech	1,095	-37,33	0,06	114,54

Podpora	Stav	dx [m]	Rx [kN]	Ry [kN]	Rz [kN]
Sb4/B54	MSU-ze všech	1,095	-49,15	0,42	157,26
Sb5/B56	MSU-ze všech	3,850	-1,34	-294,26	556,38
Sb5/B56	MSU-ze všech	3,850	-0,66	-230,45	437,84
Sb5/B56	MSU-ze všech ZS/5	3,850	-1,29	-345,95	650,64
Sb5/B56	MSU-ze všech ZS/1	3,850	-0,67	-200,04	389,84
Sb6/B60	MSU-ze všech ZS/1	0,210	76,32	-0,12	334,58
Sb6/B60	MSU-ze všech ZS/2	0,210	168,77	-0,12	503,09
Sb6/B60	MSU-ze všech	0,210	123,18	-0,21	487,30
Sb6/B60	MSU-ze všech	0,210	137,33	-0,05	417,95
Sb6/B60	MSU-ze všech ZS/5	0,210	165,88	-0,16	545,67
Sb7/B58	MSU-ze všech ZS/1	0,300	92,68	-0,04	302,22
Sb7/B58	MSU-ze všech ZS/5	0,300	172,93	-0,07	521,99
Sb7/B58	MSU-ze všech	0,300	146,63	-0,08	446,36
Sb7/B58	MSU-ze všech	0,300	133,75	-0,04	398,99
Sb8/B49	MSU-ze všech	2,820	-9,65	-0,13	525,00
Sb8/B49	MSU-ze všech	2,820	-1,69	-0,01	406,43
Sb8/B49	MSU-ze všech	2,820	-7,17	-0,14	468,41
Sb8/B49	MSU-ze všech	2,820	-5,04	0,00	444,44
Sb8/B49	MSU-ze všech ZS/1	2,820	-3,27	-0,02	339,93
Sb8/B49	MSU-ze všech ZS/5	2,820	-8,38	-0,08	601,98
Sb9/B49	MSU-ze všech ZS/1	5,240	32,82	-0,66	272,46
Sb9/B49	MSU-ze všech ZS/5	5,240	62,87	-0,94	481,28
Sb9/B49	MSU-ze všech	5,240	50,08	-1,02	400,96
Sb9/B49	MSU-ze všech	5,240	47,57	-0,50	377,12
Sb10/B51	MSU-ze všech	2,800	-3,12	-8,23	776,72
Sb10/B51	MSU-ze všech	2,800	3,80	-6,69	810,79
Sb10/B51	MSU-ze všech	2,800	0,30	-11,08	864,26
Sb10/B51	MSU-ze všech	2,800	0,83	-5,06	724,26
Sb10/B51	MSU-ze všech ZS/1	2,800	0,40	-7,50	608,12
Sb10/B51	MSU-ze všech ZS/5	2,800	0,34	-9,51	1036,7
Sb11/B58	MSU-ze všech ZS/5	3,282	-259,30	-0,01	696,83
Sb11/B58	MSU-ze všech ZS/1	3,282	-132,66	0,00	424,62
Sb11/B58	MSU-ze všech	3,282	-200,80	-0,02	559,98
Sb11/B58	MSU-ze všech	3,282	-188,69	0,00	504,86

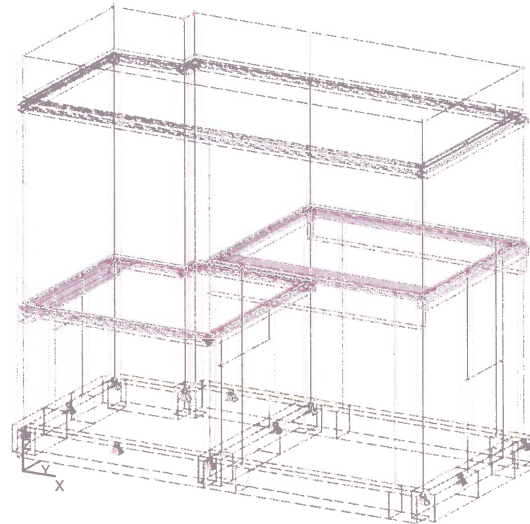
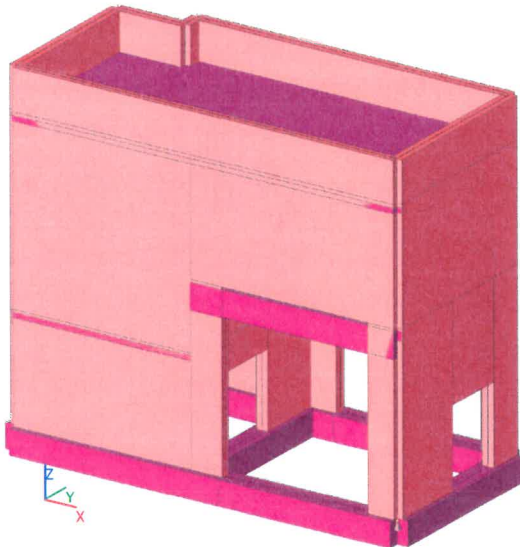


11. ZÁKLADY PŘÍSTAVKU SKLADU A STROJOVNY VZT

Výpočtový model konstrukce pro výpočet stropů byl doplněn stěnami a základovými pasy, následně byly odstraněny podpory stropů v místě stěn a doplněny podpory základových pasů v místě pilot.

11.1. Doplněná vstupní data

11.1.1. Výpočtový model



11.1.2. Materiály

Jméno	Typ	ρ [kg/m ³]	Hustota v čerstvém stavu [kg/m ³]	E_{mod} [MPa]	μ	α [m/mK]	$f_{c,k,28}$ [MPa]	Barva
C25/30	Beton	2500,0	2600,0	3,1500e+04	0,2	0,00	25,00	■

Vysvětlivky symbolů

Hustota v čerstvém stavu	Hodnota hustoty v čerstvém stavu se použije pouze v případě, že je zadána spřažená deska a její vlastní tíha se zohledňuje.
--------------------------	---

Výztuž EC2

Jméno	Typ	ρ [kg/m ³]	E_{mod} [MPa]	G_{mod} [MPa]	α [m/mK]	$f_{y,k}$ [MPa]
B 500B	Výztužná ocel	7850,0	2,0000e+05	8,3333e+04	0,00	500,0

Zdivo

Jméno	Typ	ρ [kg/m ³]	E_{mod} [MPa]	μ	G_{mod} [MPa]	α [m/mK]	f_k [MPa]	Barva
Zdivo - 380	Zdivo	850,0	1,5000e+03	0,25	5,0000e-01	0,00	3,1	■
Zdivo - 300	Zdivo	1190,0	1,5000e+03	0,25	5,0000e-01	0,00	3,1	■

11.1.3. Průřezy

Jméno	Typ Detailní	Materiál	Výroba	A [m ²]	A _y [m ²]	I _y [m ⁴]	W _{el,y} [m ³]	W _{ply} [m ³]	Barva
					A _z [m ²]	I _z [m ⁴]	W _{el,z} [m ³]	W _{pl,z} [m ³]	
CS1	Obdélník 800; 300	C25/30	beton	2,4000e-01	2,0000e-01 2,0000e-01	1,2800e-02 1,8000e-03	3,2000e-02 1,2000e-02	0,0000e+00 0,0000e+00	■
CS2	Obdélník 400; 300	C25/30	beton	1,2000e-01	1,0000e-01 1,0000e-01	1,6000e-03 9,0000e-04	8,0000e-03 6,0000e-03	0,0000e+00 0,0000e+00	■
CS3	Obdélník 750; 700	C25/30	beton	5,2500e-01	4,3750e-01 4,3750e-01	2,4609e-02 2,1438e-02	6,5625e-02 6,1250e-02	0,0000e+00 0,0000e+00	■
CS4	Obdélník 150; 300	C25/30	beton	4,5000e-02	3,7500e-02 3,7500e-02	8,4375e-05 3,3750e-04	1,1250e-03 2,2500e-03	0,0000e+00 0,0000e+00	■
CS5	Obdélník 270; 300	C25/30	beton	8,1000e-02	6,7500e-02 6,7500e-02	4,9208e-04 6,0750e-04	3,6450e-03 4,0500e-03	0,0000e+00 0,0000e+00	■



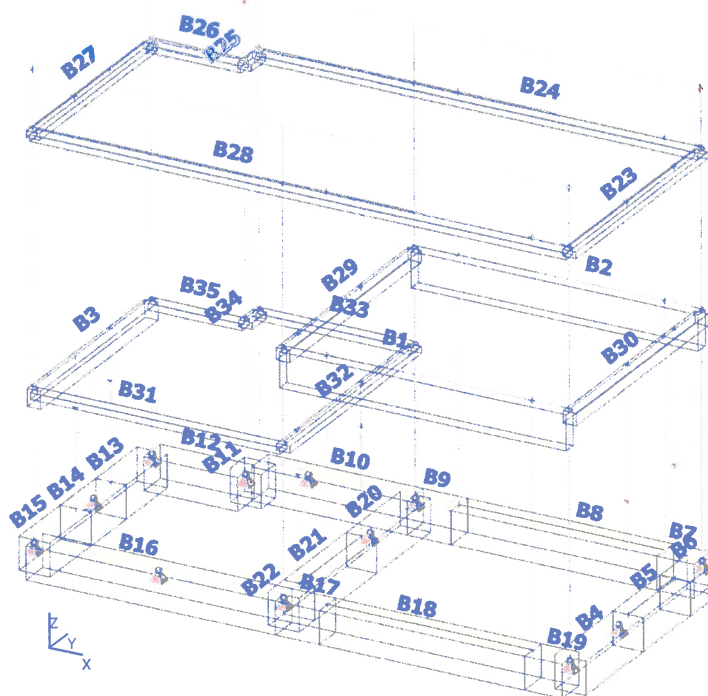
11.1.4. Uzly

Jméno	Souř. X [m]	Souř. Y [m]	Souř. Z [m]
N1	0,000	0,000	3,380
N2	5,700	0,000	5,500
N3	5,700	0,650	5,500
N4	5,700	3,300	5,500
N5	5,700	5,600	5,500
N6	2,140	5,600	3,380
N7	2,140	5,000	3,380
N8	0,000	5,000	3,380
N9	0,000	3,250	3,380
N10	0,000	1,750	3,380
N11	6,700	5,600	5,500
N12	11,400	5,600	5,500
N13	12,250	5,600	5,500
N14	12,250	4,450	5,500
N15	12,250	2,450	5,500
N16	12,250	0,000	5,500
N17	11,400	0,000	5,500
N18	6,700	0,000	5,500
N23	12,250	0,000	9,100
N24	11,400	0,000	9,100
N25	6,700	0,000	9,100
N26	5,700	0,000	9,100
N27	0,000	0,000	9,100

Jméno	Souř. X [m]	Souř. Y [m]	Souř. Z [m]
N28	0,000	1,750	9,100
N29	0,000	3,250	9,100
N30	0,000	5,000	9,100
N31	2,140	5,000	9,100
N32	2,140	5,600	9,100
N33	5,700	5,600	9,100
N34	6,700	5,600	9,100
N35	11,400	5,600	9,100
N36	12,250	5,600	9,100
N37	12,250	4,450	9,100
N38	12,250	2,450	9,100
N39	5,700	0,000	3,380
N40	5,700	0,650	3,380
N41	5,700	3,300	3,380
N42	5,700	5,600	3,380
N43	5,700	0,000	0,000
N44	6,700	0,000	0,000
N45	11,400	0,000	0,000
N46	12,250	0,000	0,000
N47	5,700	5,600	0,000
N48	6,700	5,600	0,000
N49	11,400	5,600	0,000
N50	12,250	5,600	0,000

Jméno	Souř. X [m]	Souř. Y [m]	Souř. Z [m]
N51	0,000	0,000	0,000
N53	0,000	1,750	0,000
N54	0,000	5,000	0,000
N55	0,000	3,250	0,000
N56	2,140	5,000	0,000
N57	2,140	5,600	0,000
N58	12,250	2,450	0,000
N59	12,250	4,450	0,000
N60	5,700	0,650	0,000
N61	5,700	3,300	0,000
N62	0,000	5,000	10,380
N63	0,000	0,000	10,380
N64	12,250	0,000	10,380
N65	12,250	5,600	10,380
N66	2,140	5,600	10,380
N67	2,140	5,000	10,380
N68	12,250	2,450	2,500
N69	12,250	4,450	2,500
N70	0,000	1,750	2,230
N71	0,000	3,250	2,230
N72	5,700	0,650	2,400
N73	5,700	3,300	2,400

11.1.5. Výpočtový model - popis prutů



11.1.6. Prvky

Jméno	Průřez	Materiál	Délka [m]	Poč. uzel	Konc. uzel	Typ
B1	CS1 - Obdélník (800; 300)	C25/30	6,550	N2	N16	žebro desky (92)
B2	CS1 - Obdélník (800; 300)	C25/30	6,550	N13	N5	žebro desky (92)
B3	CS2 - Obdélník (400; 300)	C25/30	5,000	N8	N1	žebro desky (92)
B4	CS3 - Obdélník (750; 700)	C25/30	2,450	N46	N58	nosník (80)
B5	CS3 - Obdélník (750; 700)	C25/30	2,000	N58	N59	nosník (80)
B6	CS3 - Obdélník (750; 700)	C25/30	1,150	N59	N50	nosník (80)
B7	CS3 - Obdélník (750; 700)	C25/30	0,850	N50	N49	nosník (80)
B8	CS3 - Obdélník (750; 700)	C25/30	4,700	N49	N48	nosník (80)



STATICKÝ VÝPOČET

BETONOVÉ KONSTRUKCE
DOKUMENTACE PRO PROVEDENÍ STAVBY

AKCE:

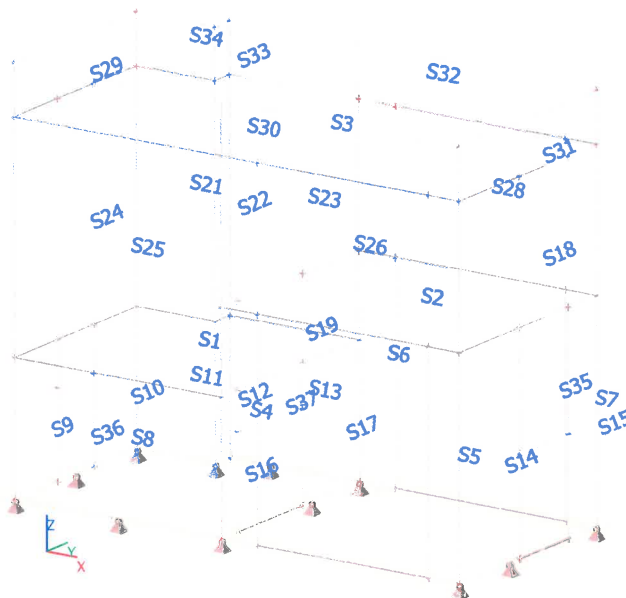
ROZŠÍŘENÍ INFRASTRUKTURY
CENTRA INTEMAC

ARCH.Č.: 1917-02

List : 122

Jméno	Průřez	Materiál	Délka [m]	Poč. uzel	Konc. uzel	Typ
B9	CS3 - Obdélník (750; 700)	C25/30	1,000	N48	N47	nosník (80)
B10	CS3 - Obdélník (750; 700)	C25/30	3,560	N47	N57	nosník (80)
B11	CS3 - Obdélník (750; 700)	C25/30	0,600	N57	N56	nosník (80)
B12	CS3 - Obdélník (750; 700)	C25/30	2,140	N56	N54	nosník (80)
B13	CS3 - Obdélník (750; 700)	C25/30	1,750	N54	N55	nosník (80)
B14	CS3 - Obdélník (750; 700)	C25/30	1,500	N55	N53	nosník (80)
B15	CS3 - Obdélník (750; 700)	C25/30	1,750	N53	N51	nosník (80)
B16	CS3 - Obdélník (750; 700)	C25/30	5,700	N51	N43	nosník (80)
B17	CS3 - Obdélník (750; 700)	C25/30	1,000	N43	N44	nosník (80)
B18	CS3 - Obdélník (750; 700)	C25/30	4,700	N44	N45	nosník (80)
B19	CS3 - Obdélník (750; 700)	C25/30	0,850	N45	N46	nosník (80)
B20	CS3 - Obdélník (750; 700)	C25/30	2,300	N47	N61	nosník (80)
B21	CS3 - Obdélník (750; 700)	C25/30	2,650	N61	N60	nosník (80)
B22	CS3 - Obdélník (750; 700)	C25/30	0,650	N60	N43	nosník (80)
B23	CS4 - Obdélník (150; 300)	C25/30	5,600	N23	N36	žebro desky (92)
B24	CS4 - Obdélník (150; 300)	C25/30	10,110	N36	N32	žebro desky (92)
B25	CS4 - Obdélník (150; 300)	C25/30	0,600	N32	N31	žebro desky (92)
B26	CS4 - Obdélník (150; 300)	C25/30	2,140	N31	N30	žebro desky (92)
B27	CS4 - Obdélník (150; 300)	C25/30	5,000	N30	N27	žebro desky (92)
B28	CS4 - Obdélník (150; 300)	C25/30	12,250	N27	N23	žebro desky (92)
B29	CS5 - Obdélník (270; 300)	C25/30	5,600	N5	N2	žebro desky (92)
B30	CS5 - Obdélník (270; 300)	C25/30	5,600	N16	N13	žebro desky (92)
B31	CS4 - Obdélník (150; 300)	C25/30	5,700	N1	N39	žebro desky (92)
B32	CS4 - Obdélník (150; 300)	C25/30	5,600	N39	N42	žebro desky (92)
B33	CS4 - Obdélník (150; 300)	C25/30	3,560	N42	N6	žebro desky (92)
B34	CS4 - Obdélník (150; 300)	C25/30	0,600	N6	N7	žebro desky (92)
B35	CS4 - Obdélník (150; 300)	C25/30	2,140	N7	N8	žebro desky (92)

11.1.7. Výpočtový model - popis ploch



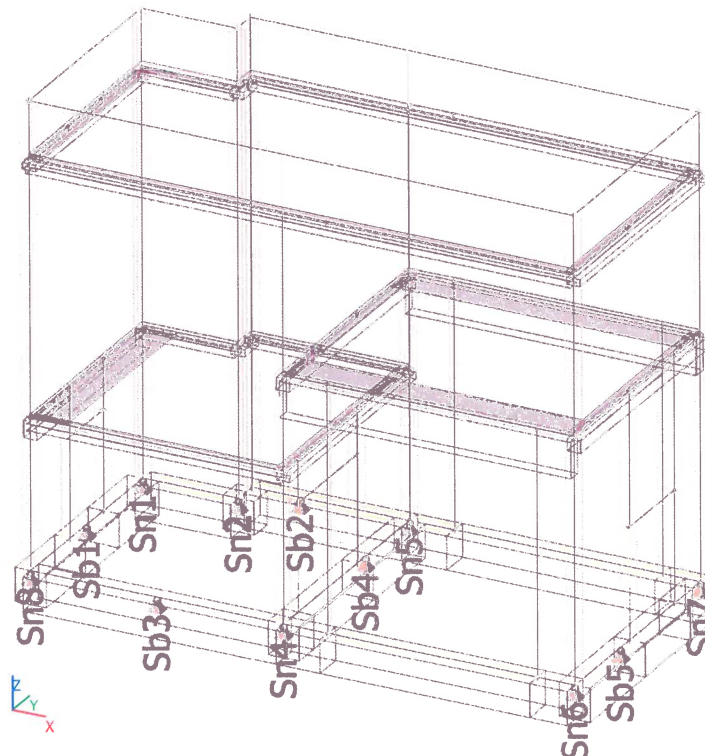
11.1.8. Plochy

Jméno	Vrstva	Typ	Výpočtový model	Materiál	Typ tloušťky	Tl. [mm]
S1	Vrstva1	deska (90)	Standard	C25/30	konstantní	150
S2	Vrstva1	deska (90)	Standard	C25/30	konstantní	150
S3	Vrstva1	deska (90)	Standard	C25/30	konstantní	220
S4	Vrstva1	deska (90)	Standard	Zdivo - 300	konstantní	300
S5	Vrstva1	deska (90)	Standard	Zdivo - 300	konstantní	300
S6	Vrstva1	deska (90)	Standard	Zdivo - 380	konstantní	380
S7	Vrstva1	deska (90)	Standard	Zdivo - 380	konstantní	380
S8	Vrstva1	deska (90)	Standard	Zdivo - 300	konstantní	300
S9	Vrstva1	deska (90)	Standard	Zdivo - 380	konstantní	380
S10	Vrstva1	deska (90)	Standard	Zdivo - 380	konstantní	380



Jméno	Vrstva	Typ	Výpočtový model	Materiál	Typ tloušťky	Tl. [mm]
S11	Vrstva1	deska (90)	Standard	Zdivo - 380	konstantní	380
S12	Vrstva1	deska (90)	Standard	Zdivo - 380	konstantní	380
S13	Vrstva1	deska (90)	Standard	Zdivo - 380	konstantní	380
S14	Vrstva1	deska (90)	Standard	Zdivo - 380	konstantní	380
S15	Vrstva1	deska (90)	Standard	Zdivo - 380	konstantní	380
S16	Vrstva1	deska (90)	Standard	Zdivo - 380	konstantní	380
S17	Vrstva1	deska (90)	Standard	Zdivo - 380	konstantní	380
S18	Vrstva1	deska (90)	Standard	Zdivo - 380	konstantní	380
S19	Vrstva1	deska (90)	Standard	Zdivo - 380	konstantní	380
S21	Vrstva1	deska (90)	Standard	Zdivo - 380	konstantní	380
S22	Vrstva1	deska (90)	Standard	Zdivo - 380	konstantní	380
S23	Vrstva1	deska (90)	Standard	Zdivo - 380	konstantní	380
S24	Vrstva1	deska (90)	Standard	Zdivo - 380	konstantní	380
S25	Vrstva1	deska (90)	Standard	Zdivo - 300	konstantní	300
S26	Vrstva1	deska (90)	Standard	Zdivo - 300	konstantní	300
S28	Vrstva1	deska (90)	Standard	Zdivo - 380	konstantní	380
S29	Vrstva1	deska (90)	Standard	Zdivo - 380	konstantní	380
S30	Vrstva1	deska (90)	Standard	Zdivo - 300	konstantní	300
S31	Vrstva1	deska (90)	Standard	Zdivo - 380	konstantní	380
S32	Vrstva1	deska (90)	Standard	Zdivo - 380	konstantní	380
S33	Vrstva1	deska (90)	Standard	Zdivo - 380	konstantní	380
S34	Vrstva1	deska (90)	Standard	Zdivo - 380	konstantní	380
S35	Vrstva1	deska (90)	Standard	Zdivo - 380	konstantní	380
S36	Vrstva1	deska (90)	Standard	Zdivo - 380	konstantní	380
S37	Vrstva1	deska (90)	Standard	Zdivo - 380	konstantní	380

11.1.9. Výpočtový model - značení podpor



11.1.10. Podpory v uzlech

Jméno	Uzel	Systém	Typ	X	Y	Z	Rx	Ry	Rz
Sn1	N54	GSS	Standard	Tuhý	Tuhý	Tuhý	Volný	Volný	Volný
Sn2	N56	GSS	Standard	Tuhý	Tuhý	Tuhý	Volný	Volný	Volný
Sn4	N43	GSS	Standard	Tuhý	Tuhý	Tuhý	Volný	Volný	Volný
Sn5	N47	GSS	Standard	Tuhý	Tuhý	Tuhý	Volný	Volný	Volný
Sn6	N46	GSS	Standard	Tuhý	Tuhý	Tuhý	Volný	Volný	Volný
Sn7	N50	GSS	Standard	Tuhý	Tuhý	Tuhý	Volný	Volný	Volný
Sn8	N51	GSS	Standard	Tuhý	Tuhý	Tuhý	Volný	Volný	Volný



STATICKÝ VÝPOČET

BETONOVÉ KONSTRUKCE
DOKUMENTACE PRO PROVEDENÍ STAVBY

AKCE:

ROZŠÍŘENÍ INFRASTRUKTURY
CENTRA INTEMAC

ARCH.Č.: 1917-02

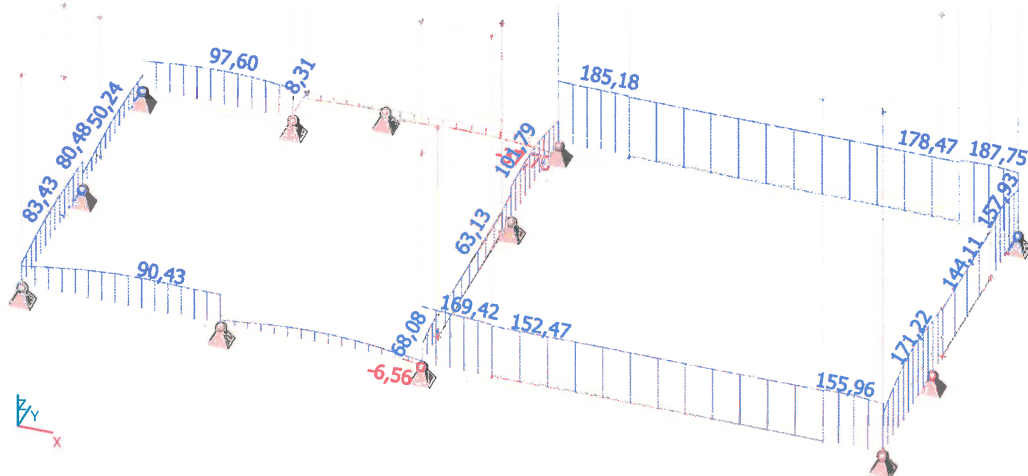
List : 124

11.1.11. Bodové podpory na prutu

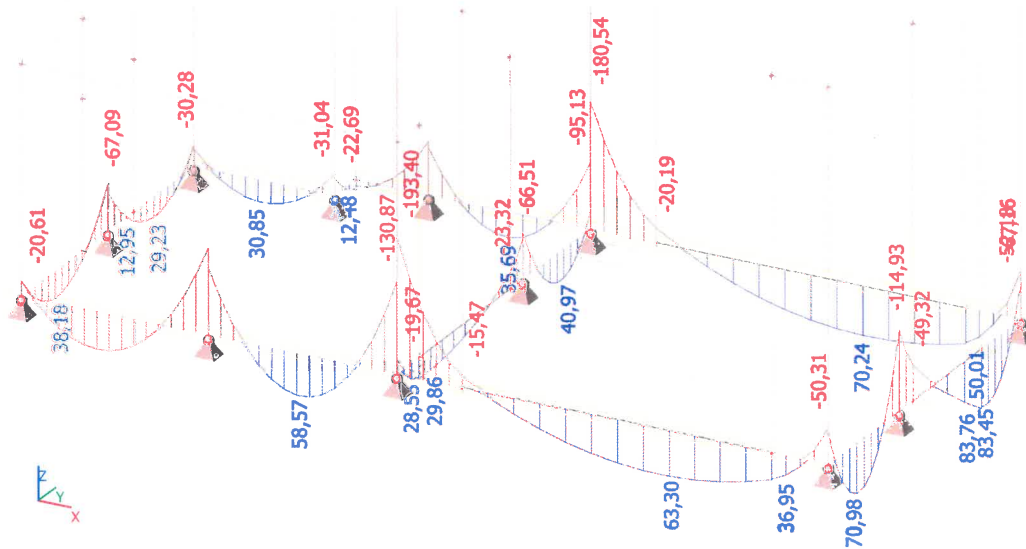
Jméno	Typ	Souř. Systém	Poz x Poč	dx Poč.(n)	X	Y	Z	Rx	Ry	Rz
Sb1	Standard	Rela GSS	0,500 Od počátku	1	Tuhý	Tuhý	Tuhý	Volný	Volný	Volný
Sb2	Standard	Abso GSS	1,100 Od konce	1	Tuhý	Tuhý	Tuhý	Volný	Volný	Volný
Sb3	Standard	Rela GSS	0,500 Od konce	1	Tuhý	Tuhý	Tuhý	Volný	Volný	Volný
Sb4	Standard	Abso GSS	1,940 Od počátku	1	Tuhý	Tuhý	Tuhý	Volný	Volný	Volný
Sb5	Standard	Abso GSS	2,050 Od počátku	1	Tuhý	Tuhý	Tuhý	Volný	Volný	Volný

11.2. Vnitřní síly v základových pasech

11.2.1. Vnitřní síly na prutu; N

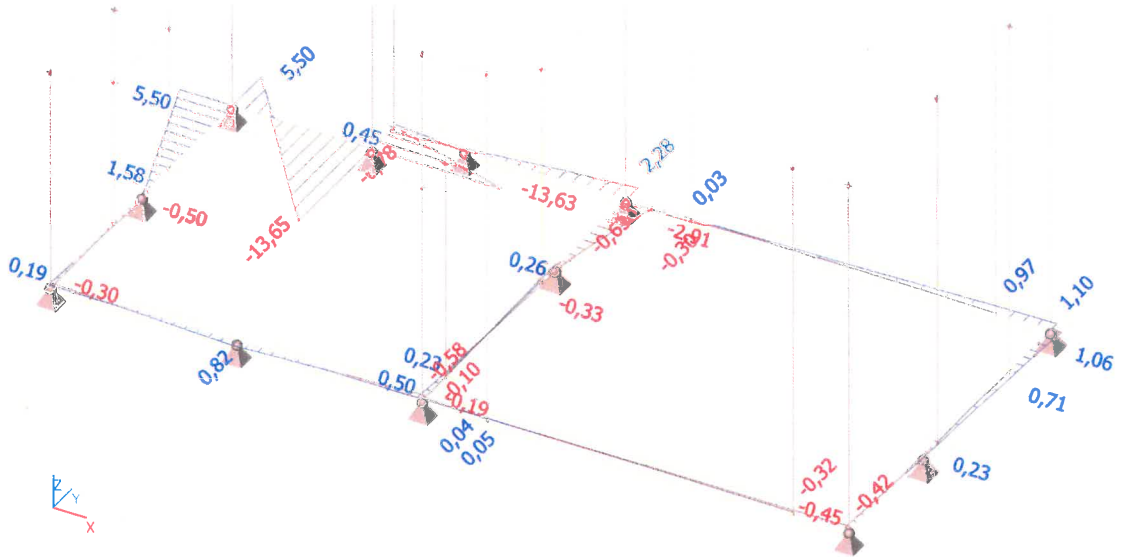


11.2.2. Vnitřní síly na prutu; My

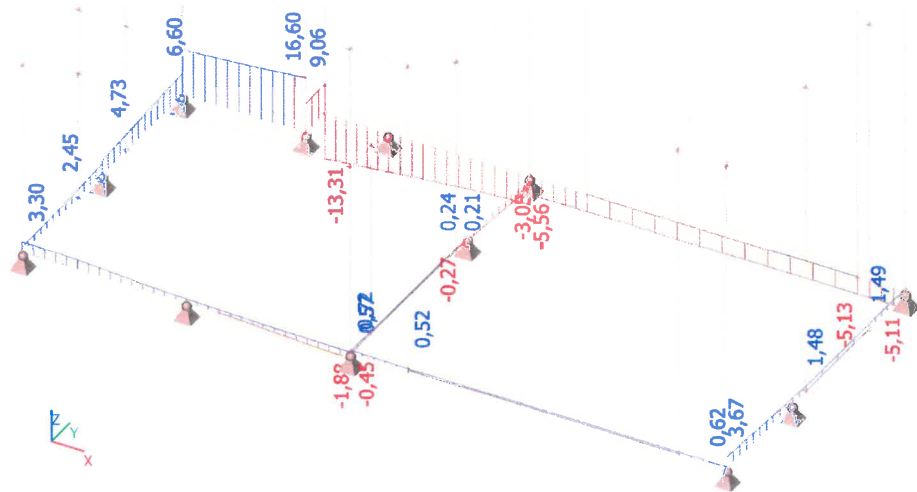




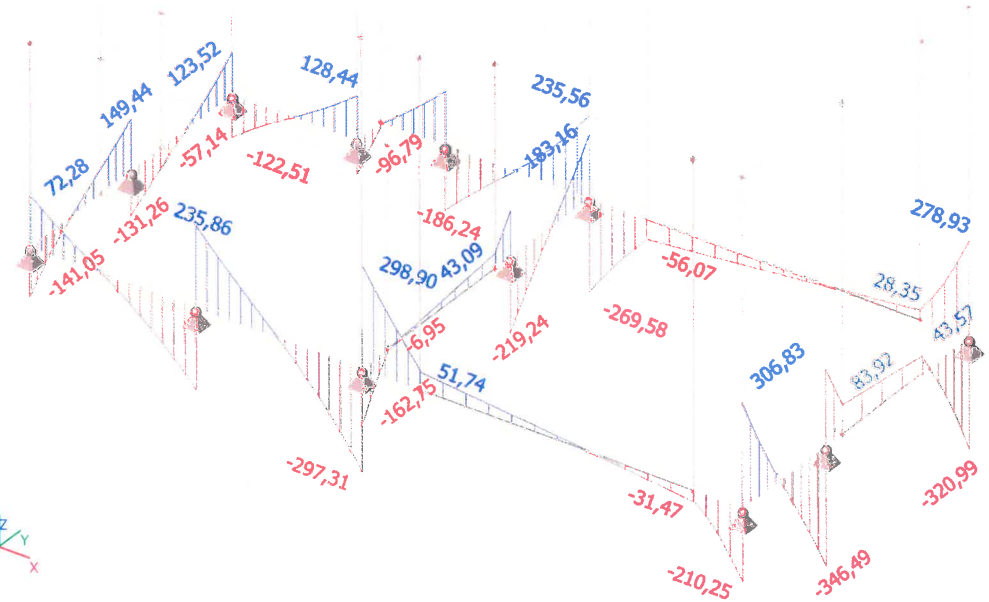
11.2.3. Vnitřní síly na prutu; Mz



11.2.4. Vnitřní síly na prutu; Mx

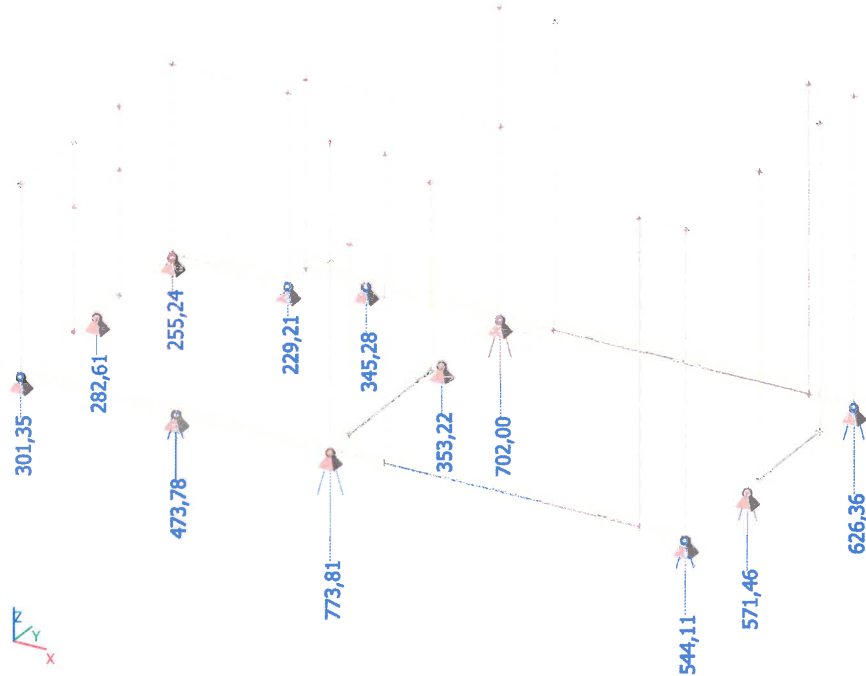


11.2.5. Vnitřní síly na prutu; Vz





11.3.2. Reakce; Rz - MSU - soubor B



11.3.3. Reakce - návrhové hodnoty

Lineární výpočet, Extrém : Uzei

Výběr : Vše

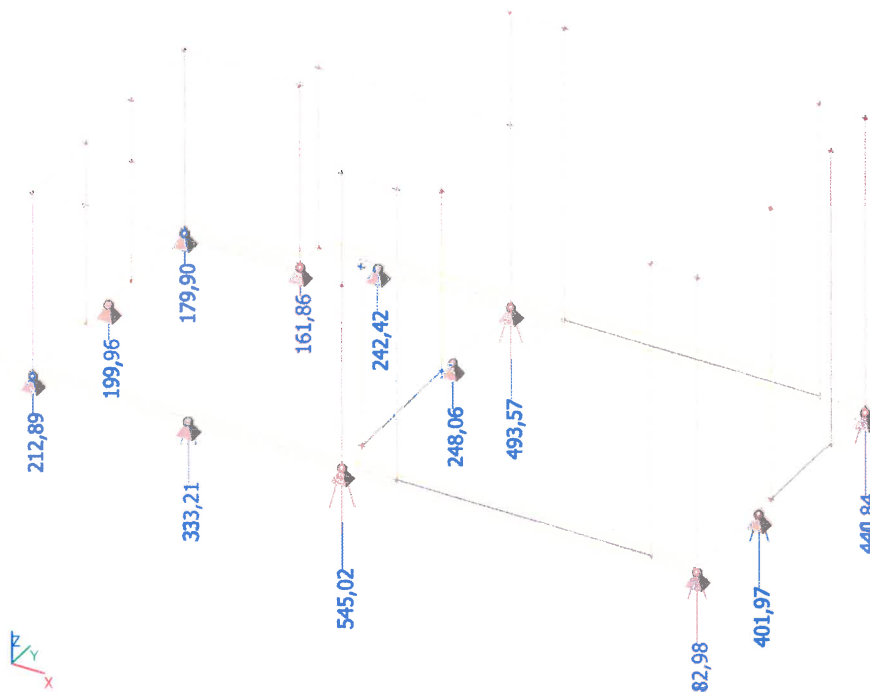
Kombinace : MSU

Podpora	Stav	dx [m]	Rx [kN]	Ry [kN]	Rz [kN]
Sn1/N54	MSU/1		-80,96	41,58	247,33
Sn1/N54	MSU/2		-47,87	24,27	145,20
Sn1/N54	MSU/3		-80,66	42,94	255,24
Sn2/N56	MSU/2		59,93	-6,50	132,37
Sn2/N56	MSU/1		104,97	-15,03	229,21
Sn2/N56	MSU/4		104,40	-15,03	227,86
Sn2/N56	MSU/5		61,07	-6,49	135,06
Sn4/N43	MSU/1		-168,09	-50,67	773,81
Sn4/N43	MSU/2		-110,65	-33,37	437,25
Sn5/N47	MSU/1		-223,28	60,28	702,00
Sn5/N47	MSU/2		-140,41	31,69	392,14
Sn6/N46	MSU/2		91,66	-61,65	305,94
Sn6/N46	MSU/6		140,96	-112,62	541,21
Sn6/N46	MSU/1		140,83	-112,61	544,11
Sn7/N50	MSU/2		108,78	70,49	352,15
Sn7/N50	MSU/6		173,59	120,74	626,36
Sn7/N50	MSU/1		172,46	121,37	623,59
Sn8/N51	MSU/3		-53,38	-61,06	301,35
Sn8/N51	MSU/2		-30,19	-35,67	174,03
Sb1/B14	MSU/2	0,750	1,68	20,90	164,51
Sb1/B14	MSU/6	0,750	2,61	33,93	241,78

Podpora	Stav	dx [m]	Rx [kN]	Ry [kN]	Rz [kN]
Sb1/B14	MSU/1	0,750	2,35	39,80	275,07
Sb1/B14	MSU/3	0,750	2,38	37,30	282,61
Sb2/B10	MSU/7	2,460	17,83	0,27	254,03
Sb2/B10	MSU/6	2,460	26,33	-1,46	318,63
Sb2/B10	MSU/2	2,460	18,69	-0,75	191,82
Sb2/B10	MSU/1	2,460	25,42	-0,25	345,28
Sb3/B16	MSU/2	2,850	49,37	-0,09	265,94
Sb3/B16	MSU/3	2,850	80,36	-0,93	446,37
Sb3/B16	MSU/8	2,850	80,05	-0,93	443,73
Sb3/B16	MSU/9	2,850	53,21	0,00	345,75
Sb3/B16	MSU/1	2,850	77,94	-0,88	473,78
Sb4/B20	MSU/6	1,940	-1,78	-17,69	333,67
Sb4/B20	MSU/7	1,940	-0,49	-10,95	242,83
Sb4/B20	MSU/1	1,940	-1,16	-22,21	353,22
Sb4/B20	MSU/2	1,940	-0,92	-3,15	195,13
Sb5/B4	MSU/10	2,050	-0,11	-8,22	435,39
Sb5/B4	MSU/11	2,050	0,18	0,42	455,69
Sb5/B4	MSU/12	2,050	-0,11	-8,32	432,44
Sb5/B4	MSU/13	2,050	0,18	0,62	461,58
Sb5/B4	MSU/2	2,050	-0,08	-6,17	320,33
Sb5/B4	MSU/6	2,050	0,10	-3,15	571,46



11.3.4. Reakce; Rz - MSP



11.3.5. Reakce - charakteristické hodnoty

Lineární výpočet, Extrém : Uzel

Výběr : Vše

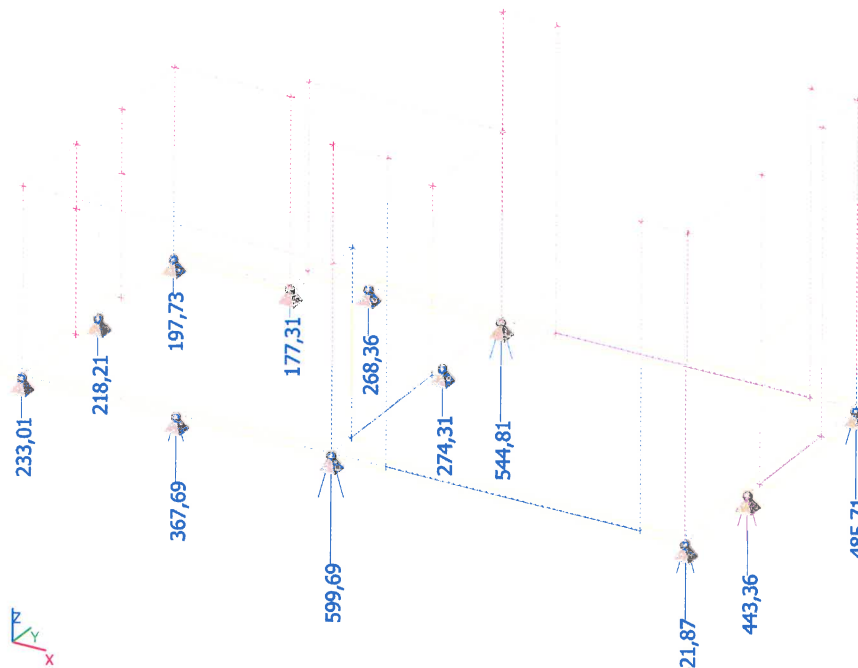
Kombinace : MSP

Podpora	Stav	dx [m]	Rx [kN]	Ry [kN]	Rz [kN]
Sn1/N54	MSP/20		-57,38	29,44	175,15
Sn1/N54	MSP/2		-47,87	24,27	145,20
Sn1/N54	MSP/21		-57,20	30,25	179,90
Sn2/N56	MSP/2		59,93	-6,50	132,37
Sn2/N56	MSP/20		74,03	-10,26	161,86
Sn2/N56	MSP/22		60,08	-6,50	132,73
Sn4/N43	MSP/20		-121,67	-36,63	545,02
Sn4/N43	MSP/2		-110,65	-33,37	437,25
Sn5/N47	MSP/20		-160,22	41,99	493,57
Sn5/N47	MSP/2		-140,41	31,69	392,14
Sn6/N46	MSP/2		91,66	-61,65	305,94
Sn6/N46	MSP/23		101,80	-78,90	381,24
Sn6/N46	MSP/20		101,72	-78,90	382,98
Sn7/N50	MSP/2		108,78	70,49	352,15
Sn7/N50	MSP/23		124,50	85,53	440,84
Sn7/N50	MSP/20		123,82	85,91	439,17
Sn8/N51	MSP/21		-37,62	-43,22	212,89
Sn8/N51	MSP/2		-30,19	-35,67	174,03
Sb1/B14	MSP/2	0,750	1,68	20,90	164,51

Podpora	Stav	dx [m]	Rx [kN]	Ry [kN]	Rz [kN]
Sb1/B14	MSP/23	0,750	1,87	24,23	175,46
Sb1/B14	MSP/20	0,750	1,72	27,75	195,44
Sb1/B14	MSP/21	0,750	1,74	26,25	199,96
Sb2/B10	MSP/21	2,460	18,17	-0,14	229,15
Sb2/B10	MSP/23	2,460	19,35	-1,01	226,43
Sb2/B10	MSP/2	2,460	18,69	-0,75	191,82
Sb2/B10	MSP/20	2,460	18,80	-0,29	242,42
Sb3/B16	MSP/2	2,850	49,37	-0,09	265,94
Sb3/B16	MSP/21	2,850	57,41	-0,58	316,77
Sb3/B16	MSP/23	2,850	51,29	-0,04	310,66
Sb3/B16	MSP/20	2,850	55,96	-0,54	333,21
Sb4/B20	MSP/23	1,940	-1,24	-11,11	236,33
Sb4/B20	MSP/21	1,940	-0,66	-7,83	223,75
Sb4/B20	MSP/20	1,940	-0,86	-13,82	248,06
Sb4/B20	MSP/2	1,940	-0,92	-3,15	195,13
Sb5/B4	MSP/22	2,050	-0,08	-6,14	321,11
Sb5/B4	MSP/20	2,050	0,08	-2,21	401,54
Sb5/B4	MSP/2	2,050	-0,08	-6,17	320,33
Sb5/B4	MSP/23	2,050	0,04	-3,12	401,97



11.3.6. Reakce; Rz - MSU - soubor C



11.3.7. Reakce - návrhové hodnoty

Lineární výpočet, Extrém : Uzel

Výběr : Vše

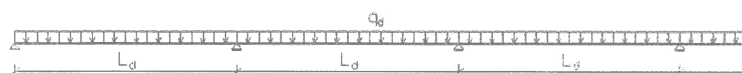
Kombinace : MSU_C

Podpora	Stav	dx [m]	Rx [kN]	Ry [kN]	Rz [kN]
Sn1/N54	MSU_C/14		-62,44	32,09	190,87
Sn1/N54	MSU_C/2		-47,87	24,27	145,20
Sn1/N54	MSU_C/15		-62,18	33,26	197,73
Sn2/N56	MSU_C/2		59,93	-6,50	132,37
Sn2/N56	MSU_C/14		81,27	-11,92	177,31
Sn2/N56	MSU_C/16		80,29	-11,92	174,97
Sn2/N56	MSU_C/17		60,91	-6,49	134,70
Sn4/N43	MSU_C/14		-127,16	-38,40	599,69
Sn4/N43	MSU_C/2		-110,65	-33,37	437,25
Sn5/N47	MSU_C/14		-170,25	47,16	544,81
Sn5/N47	MSU_C/2		-140,41	31,69	392,14
Sn6/N46	MSU_C/2		91,66	-61,65	305,94
Sn6/N46	MSU_C/18		106,86	-87,67	419,36
Sn6/N46	MSU_C/14		106,75	-87,67	421,87
Sn7/N50	MSU_C/2		108,78	70,49	352,15
Sn7/N50	MSU_C/18		132,42	93,11	485,71
Sn7/N50	MSU_C/14		131,44	93,65	483,31
Sn8/N51	MSU_C/15		-41,34	-47,13	233,01
Sn8/N51	MSU_C/2		-30,19	-35,67	174,03
Sb1/B14	MSU_C/2	0,750	1,68	20,90	164,51
Sb1/B14	MSU_C/18	0,750	1,99	26,00	182,82

Podpora	Stav	dx [m]	Rx [kN]	Ry [kN]	Rz [kN]
Sb1/B14	MSU_C/14	0,750	1,77	31,09	211,68
Sb1/B14	MSU_C/15	0,750	1,80	28,92	218,21
Sb2/B10	MSU_C/19	2,460	17,94	0,14	245,73
Sb2/B10	MSU_C/18	2,460	19,64	-1,15	245,26
Sb2/B10	MSU_C/2	2,460	18,69	-0,75	191,82
Sb2/B10	MSU_C/14	2,460	18,85	-0,10	268,36
Sb3/B16	MSU_C/2	2,850	49,37	-0,09	265,94
Sb3/B16	MSU_C/15	2,850	61,53	-0,79	343,93
Sb3/B16	MSU_C/19	2,850	60,98	-0,79	339,35
Sb3/B16	MSU_C/18	2,850	52,70	-0,01	335,11
Sb3/B16	MSU_C/14	2,850	59,43	-0,74	367,69
Sb4/B20	MSU_C/18	1,940	-1,40	-14,96	257,38
Sb4/B20	MSU_C/19	1,940	-0,55	-9,91	236,47
Sb4/B20	MSU_C/14	1,940	-0,86	-18,87	274,31
Sb4/B20	MSU_C/2	1,940	-0,92	-3,15	195,13
Sb5/B4	MSU_C/17	2,050	-0,09	-5,99	325,43
Sb5/B4	MSU_C/16	2,050	0,15	-0,45	437,64
Sb5/B4	MSU_C/2	2,050	-0,08	-6,17	320,33
Sb5/B4	MSU_C/14	2,050	0,15	-0,28	442,74
Sb5/B4	MSU_C/18	2,050	0,10	-1,60	443,36

**12. ZÁKLADOVÉ PASY - DIMENZOVÁNÍ****Základový pas pod opláštěním haly- F1** (uložen na hlavicích pilot)

zdivo na soklu		objemová hmotnost	25,00 kN/m ³
výška	$h_{zdi} = 10,50$ m	objemová hmotnost zdiva	8,42 kN/m ³
tloušťka	$t_{zdi} = 0,38$	plošná hmotnost pláště	3,20 kN/m ²
		plošná hmotnost zateplení	0,15 kN/m ²
zatížení pasu	stěna se zateplením	35,17 kN/m	
	$g_k = 35,17$ kN/m	$\gamma_f = 1,35$	
	vl. hmot. 5,700 kN/m	$\gamma_f = 1,35$	



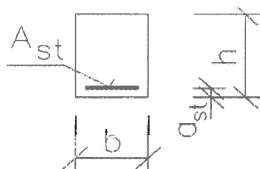
$$q_d = 55,17 \text{ kN/m}$$

$$L_d = 5,00 \text{ m}$$

$$A_d = 1 / 2 \cdot q_d \cdot L_d = 137,94 \text{ kN}$$

$$\max M_d = 1 / 11 \cdot q_d \cdot L_d^2 = 125,40 \text{ kNm}$$

spojitý nosník



(beton B20)

BETON C25/30

$f_{ck} = 25,00 \text{ MPa}$

$f_{ctm} = 2,60 \text{ MPa}$

$\epsilon_{cu3} = 3,5 \text{ ‰}$

$\gamma_c = 1,5$

$M_d = 125,40 \text{ kNm}$

VÝZTUŽ B420B (ocel V 10425)

$f_{yk} = 420 \text{ MPa}$

$E_s = 200 \text{ GPa}$

$\gamma_s = 1,15$

$\epsilon_{yd} = f_{yk} / \gamma_s / E_s = 1,826 \text{ ‰}$

$\lambda = 0,8$

$\eta = 1,00$

$\xi_{bal,1} = \epsilon_{cu3} / (\epsilon_{cu3} + \epsilon_{yd}) = 0,657$

šířka průřezu $b = 0,38$ m

$A_{s1,max} = 0,04 \cdot A_c = 0,04 \cdot b \cdot h = 91,20 \text{ cm}^2$

výška průřezu $h = 0,60$ m

$A_{s1,min} = \max[0,26 \cdot f_{ctm} \cdot b \cdot d / f_{yk}; 0,0013 \cdot b \cdot d] = 3,36 \text{ cm}^2$

profil výztuže 16 mm

Plocha výztuže $A_{st} = 8,042 \text{ cm}^2$ vyhoví

počet ks na šířku $b = 4$ ks

$d_{hv} = 0,514$ m $d_1 = 51,0$ mm

profil výztuže 2.vrst \emptyset mm

$d = h - d_1 = 0,549$ m

počet ks na šířku $b = 0$ ks

$x = A_{s1} \cdot f_{yk} / b \cdot \gamma_s / \lambda / \eta / (f_{ck} / \gamma_c) = 0,05797$ m

průměr třmínek $\phi_s = 8$ mm

$\xi = x / d_{hv} = 0,113 < \xi_{bal,1}$ vyhoví

krytí třmínek $c_{nom,s} = 35$ mm

$z = d - 0,5 \cdot \lambda \cdot x = 0,526$ m

krytí výztuže $c_{nom} = 43$ mm

$M_{Rd} = A_{s1} \cdot f_{yk} / \gamma_s \cdot z = 154,4 \text{ kNm}$ vyhoví

Smyk smyková síla

$V_{Ed} = 137,9 \text{ kN}$

Smyková výztuž B420B

$E_s = 200 \text{ GPa}$ $f_{yk} = 420 \text{ MPa}$

redukována mez kluzu třmínek

$f_{red,ywd} = 0,8 \cdot f_{yk} = 336 \text{ MPa}$ $\gamma_s = 1,15$

profil třmínek 8 mm

počet stříhů : 2 $A_{sw} = 1,005 \text{ cm}^2$

sklon třmínek $\alpha = 90^\circ$ $\sin \alpha = 1,00$

$b_w = 0,38$ m $v = 0,6 \cdot (1 - f_{ck} / 250) = 0,54$

sklon betonové diagonály $\cotg \Theta = 2,500$ $\Theta = 21,801^\circ$

pro $c = z \cdot \cotg \Theta = 1,315$ m

Únosnost betonové diagonály $V_{Rd,max} = b_w \cdot c \cdot \sin \Theta \cdot f_{cd} \cdot v \cdot \sin \Theta = 620,1 \text{ kN} > V_{Ed}$

minimální vzdálenost třmínek $s_{min} = c \cdot A_{sw} \cdot f_{ywd} / V_{Ed} = 0,2799$ m

navržená vzdálenost třmínek $s = 0,200$ m

únosnost třmínek $V_{Rds} = A_{sw} \cdot c / s \cdot f_{ywd} = 193,06 \text{ kN} > V_{Ed}$ vyhoví

Kontrola konstrukčních zásad

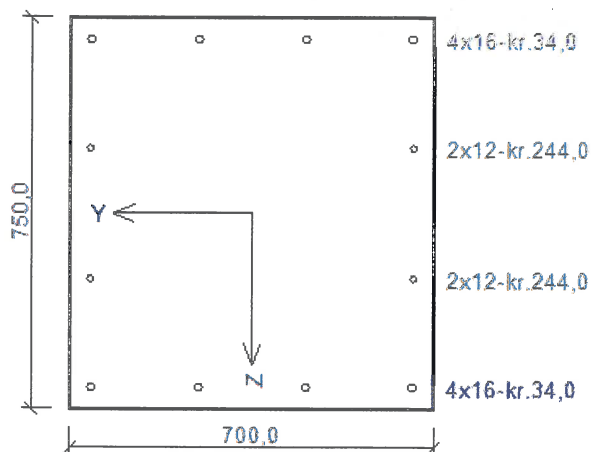
$\rho_w = A_{sw} / (b_w \cdot s \cdot \sin \alpha) = 0,001323 > \rho_{min} = 0,08 \cdot f_{ck}^{1/2} / f_{yk} = 0,000952$ vyhoví

vzdálenost třmínek $s = 0,200$ m $< \min(0,75 \cdot d; 0,4) = 0,4$ m vyhoví

kritérium duktility $A_{sw} \cdot f_{ywd} / (b_w \cdot s) = 0,386 < 0,5 \cdot v \cdot f_{cd} / \sin \alpha = 4,5$ vyhoví



Základové pasy F2 až F6 - přístavek VZT



Typ prvku: nosník
Prostředí: X0
Beton: C 25/30
 $f_{ctk} = 25,0 \text{ MPa}$; $f_{ctm} = 2,8 \text{ MPa}$; $E_{cm} = 31000 \text{ MPa}$
Ocel podélná: B500B ($f_{yk} = 500,0 \text{ MPa}$; $E_s = 200000 \text{ MPa}$)
Ocel příčná: B500 ($f_{yk} = 500,0 \text{ MPa}$; $E_s = 200000 \text{ MPa}$)
Vzpěr
Vzpěr není uvažován
S tlačnou výztuží je počítáno.
Obvodové třmínky
Profil: 12 mm; Vzdálenost: 350,0 mm; Krytí: 22,0 mm
Spony, vnitřní třmínky svisté
Profil: 10 mm; Vzdálenost: 350,0 mm; Sřihy: 2

Posouzení min. a max. stupně vyztužení

Nosník (tažená výztuž - minimum, celková výztuž - maximum):
 $p_{s,t} = 0,00222 \geq p_{s,min} = 0,00135 \Rightarrow$ Vyhovuje
 $p_s = 0,00393 \leq p_{s,max} = 0,04 \Rightarrow$ Vyhovuje

Posouzení vzdáleností vložek

Vzdálenosti mezi vložkami vyhovují.

Stupeň vyztužení smykovou výztuží - Posouzení svisté

$p_{w,min} = 0,0008 \leq p_w = 0,00156 \Rightarrow$ Vyhovuje
Maximální vzdálenost třmínků $s_{L,max} = 400,0 \text{ mm} \Rightarrow$ Vyhovuje
Maximální vzdálenost větví třmínků $s_{L,max} = 496,8 \text{ mm}$

Stupeň vyztužení smykovou výztuží - Posouzení vodorovně

$p_{w,min} = 0,0008 \leq p_w = 0,000862 \Rightarrow$ Vyhovuje
Maximální vzdálenost třmínků $s_{L,max} = 400,0 \text{ mm} \Rightarrow$ Vyhovuje
Maximální vzdálenost větví třmínků $s_{L,max} = 433,7 \text{ mm}$
Maximální vzdálenost třmínků $s_{L,max} = 362,5 \text{ mm} \Rightarrow$ Vyhovuje

Posouzení mezního stavu únosnosti

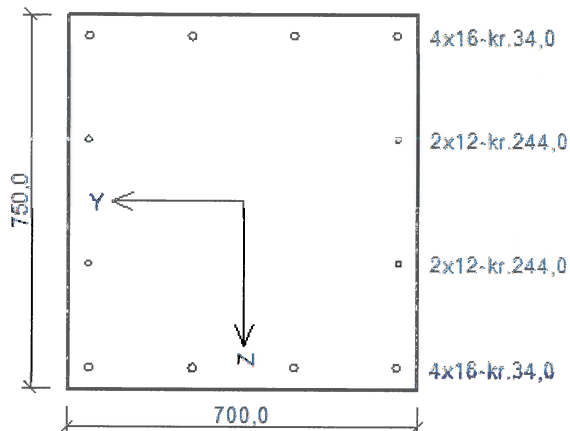
č.	Název	N_{Ed} N_{Rd} [kN]	M_{Edy} M_{Rdy} [kNm]	M_{Edz} M_{Rdz} [kNm]	V_{Edz} V_{Rdz} [kN]	V_{Edy} V_{Rdy} [kN]	T_{Ed} T_{Rd} [kNm]	Posouzení
1	1-B10_0m	-37,70	-85,31	2,11	210,60	-0,73	-7,74	Vyhovuje
		-9574,35	-338,13	0,36	628,99	-2,18	-23,12	
2	2-B7_0,425m	187,75	15,90	1,03	133,31	-0,25	-4,99	Vyhovuje
		960,23	264,40	17,13	636,69	-1,19	-23,83	
3	3-B11_0,4m	3,15	-3,71	-8,39	-59,49	-22,13	7,67	Vyhovuje
		960,23	-125,78	-284,44	-406,46	-151,20	52,40	
4	4-B12_0m	84,60	-30,95	-13,65	128,44	8,95	16,59	Vyhovuje
		960,23	-280,42	-123,68	524,61	36,56	67,76	
5	5-B4_2,05m	155,34	-114,09	0,13	-346,49	0,39	1,68	Vyhovuje
		960,23	-275,55	0,31	-674,86	0,76	3,27	
6	6-B4_0m	120,55	-44,31	-0,45	306,83	0,58	3,56	Vyhovuje
		960,23	-287,23	-2,92	664,57	1,26	7,71	
7	7-B10_3,56m	-18,92	8,20	-0,46	-6,72	-0,64	-13,31	Vyhovuje
		-9574,35	330,71	-18,55	-266,29	-25,36	-207,42	
8	8-B12_0m	85,44	-31,04	-13,08	126,89	8,66	16,60	Vyhovuje
		960,23	-281,16	-118,48	523,26	35,71	68,45	
9	9-B17_0m	169,42	-193,40	-0,09	298,90	-0,03	0,72	Vyhovuje
		960,23	-270,81	-0,13	678,79	-0,07	1,64	
10	10-B5_2m	144,11	83,76	0,64	49,16	0,20	1,38	Vyhovuje
		960,23	279,31	2,13	645,52	2,63	18,12	
11	11-B12_2,14m	80,57	-24,11	5,50	-119,82	8,89	13,79	Vyhovuje
		960,23	-291,77	66,56	-536,15	39,78	61,71	

Mezní stav únosnosti **VYHOVUJE**

VYHOVUJE



Základové pasy F7 až F12 - administrativní přístavek



Typ prvku: nosník
Prostředí: X0
Beton: C 25/30
 $f_{ck} = 25,0 \text{ MPa}$; $f_{ctd0} = 2,6 \text{ MPa}$; $E_{cm} = 31000 \text{ MPa}$
Ocel podélná: B500B ($f_{yk} = 500,0 \text{ MPa}$; $E_s = 200000 \text{ MPa}$)
Ocel příčná: B500 ($f_{yk} = 500,0 \text{ MPa}$; $E_s = 200000 \text{ MPa}$)
Vzpěr
Vzděr není uvažován
S tlačnou výztuží je počítáno.
Obvodové třmínky
Profil: 12 mm; Vzdálenost: 350,0 mm; Krycí: 22,0 mm
Spony, vnitřní třmínky svíslé
Profil: 10 mm; Vzdálenost: 350,0 mm; Sřihy: 2

Posouzení min. a max. stupně vyztužení

Nosník (tažená výztuž - minimum, celková výztuž - maximum):

$$\rho_{s,t} = 0,00222 \geq \rho_{s,min} = 0,00135 \Rightarrow \text{Vyhovuje}$$

$$\rho_s = 0,00393 \leq \rho_{s,max} = 0,04 \Rightarrow \text{Vyhovuje}$$

Posouzení vzdáleností vložek

Vzdálenosti mezi vložkami vyhovují.

Stupeň vyztužení smykovou výztuží - Posouzení svíslé

$$\rho_{w,min} = 0,0008 \leq \rho_w = 0,00156 \Rightarrow \text{Vyhovuje}$$

$$\text{Maximální vzdálenost třmínků } s_{l,max} = 400,0 \text{ mm} \Rightarrow \text{Vyhovuje}$$

$$\text{Maximální vzdálenost větví třmínků } s_{t,max} = 496,8 \text{ mm}$$

Stupeň vyztužení smykovou výztuží - Posouzení vodorovně

$$\rho_{w,min} = 0,0008 \leq \rho_w = 0,000862 \Rightarrow \text{Vyhovuje}$$

$$\text{Maximální vzdálenost třmínků } s_{l,max} = 400,0 \text{ mm} \Rightarrow \text{Vyhovuje}$$

$$\text{Maximální vzdálenost větví třmínků } s_{t,max} = 433,7 \text{ mm}$$

$$\text{Maximální vzdálenost třmínků } s_{l,max} = 362,5 \text{ mm} \Rightarrow \text{Vyhovuje}$$

Posouzení mezního stavu únosnosti

č.	Název	N_{Ed}	M_{Edy}	M_{Edz}	V_{Edz}	V_{Edy}	T_{Ed}	Posouzení
		N_{Rd} [kN]	M_{Rdy} [kNm]	M_{Rdz} [kNm]	V_{Rdz} [kN]	V_{Rdy} [kN]	T_{Rd} [kNm]	
1	1-B60_0m	-89,12	-39,49	0,03	-313,17	-0,05	0,54	Vyhovuje
		-9574,35	-355,32	0,27	-669,30	-0,11	1,15	
2	2-B56_1,824m	427,21	156,75	0,62	-17,39	0,37	-1,74	Vyhovuje
		960,23	183,07	0,72	-504,50	10,73	-50,48	
3	3-B51_3,2m	10,26	-11,49	3,06	-21,14	-17,24	0,60	Vyhovuje
		960,23	-311,60	82,98	-331,03	-269,96	9,40	
4	4-B51_2,8m	18,18	-83,89	3,49	358,73	12,24	-6,07	Vyhovuje
		960,23	-319,81	13,30	652,28	22,26	-11,04	
5	5-B58_3,069m	273,66	-135,74	-0,04	-421,89	0,01	0,55	Vyhovuje
		960,23	-235,53	-0,07	-648,50	0,02	0,95	
6	6-B56_0m	345,69	-128,68	0,28	443,53	0,51	0,57	Vyhovuje
		960,23	-210,99	0,46	617,69	0,71	0,79	
7	7-B50_0m	-40,04	-16,33	1,08	27,90	-1,29	-8,83	Vyhovuje
		-9574,35	-336,77	22,27	417,70	-19,31	-132,20	
8	8-B61_1,675m	20,48	9,31	-0,15	12,17	0,95	10,64	Vyhovuje
		960,23	320,12	-5,16	267,98	20,92	207,42	
9	9-B58_3,282m	137,87	-183,37	-0,05	-149,32	0,01	0,58	Vyhovuje
		960,23	-281,44	-0,08	-675,23	0,05	2,62	
10	10-B56_1,621m	426,01	157,22	0,58	17,67	0,39	-1,43	Vyhovuje
		960,23	183,48	0,68	519,09	11,46	-42,01	
11	11-B61_0m	16,18	-28,58	-7,08	49,79	5,66	-3,22	Vyhovuje
		960,23	-310,67	-76,96	576,03	65,48	-37,25	
12	12-B51_3,083m	14,82	-15,08	4,58	178,24	-2,77	-2,62	Vyhovuje
		960,23	-308,37	93,66	656,41	-10,20	-9,65	

Mezní stav únosnosti VYHOVUJE

VYHOVUJE



13. SLOUPY ADMINISTRATIVNÍHO PŘÍSTAVKU

Jsou vždy uvažovány extrémní hodnoty z modelu konstrukce se základy konstrukce

S1_sloup	
	<p>Typ prvku: sloup Prostředí: XC1</p> <p>Beton: C 25/30 $f_{ck} = 25,0 \text{ MPa}$; $f_{ctm} = 2,6 \text{ MPa}$; $E_{cm} = 31000 \text{ MPa}$</p> <p>Ocel podélná: B500B ($f_{yk} = 500,0 \text{ MPa}$; $E_s = 200000 \text{ MPa}$)</p> <p>Ocel příčná: B500 ($f_{yk} = 500,0 \text{ MPa}$; $E_s = 200000 \text{ MPa}$)</p> <p>Vzpěr Vzpěrná délka kolmo na osu Y: $l_{ef,y} = 2,85 \times 1,00 = 2,85 \text{ m}$ Vzpěrná délka kolmo na osu Z: $l_{ef,z} = 2,85 \times 1,00 = 2,85 \text{ m}$</p> <p>S tlačnou výztuží je počítáno.</p> <p>Obvodové třmínky Profil: 6 mm; Vzdálenost: 125,0 mm; Krytí: 49,0 mm</p>

Posouzení min. a max. stupně vyztužení

Sloup (celková výztuž):

$$\rho_s = 0,0129 \geq \rho_{s,min} = 0,002 \Rightarrow \text{Vyhovuje}$$

$$\rho_s = 0,0129 \leq \rho_{s,max} = 0,04 \Rightarrow \text{Vyhovuje}$$

Posouzení konstrukčních zásad třmínků

Minimální průměr třmínků $d = 6 \text{ mm} \Rightarrow \text{Vyhovuje}$

Maximální vzdálenost třmínků $s_{cl,max} = 240,0 \text{ mm} \Rightarrow \text{Vyhovuje}$

Posouzení mezního stavu únosnosti

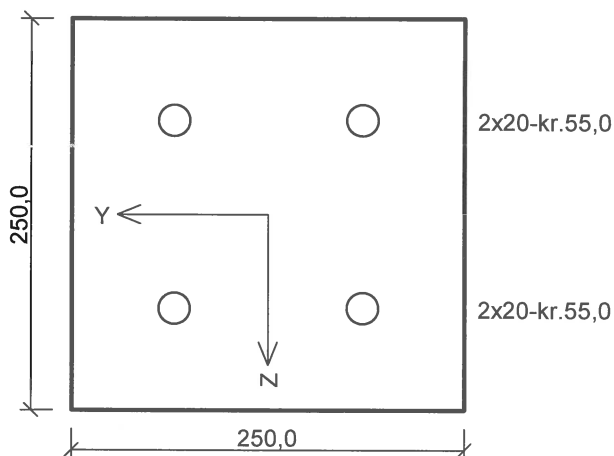
č.	Název	N_{Ed}	M_{Edy}	M_{Edz}	V_{Edz}	V_{Edy}	T_{Ed}	Posouzení	
		N_{Rd}	M_{Rdy}	M_{Rdz}	V_{Rdz}	V_{Rdy}	T_{Rd}		
		[kN]	[kNm]	[kNm]	[kN]	[kN]	[kNm]		
1	1-B15_0m	-438,21	1,11 → 5,97	-1,55 → -8,34	-1,00	1,28	0,00	Vyhovuje	
		-1363,37	23,08	-32,23	-47,58	60,90	0,00		
2	2-B15_3,54m	-247,61	-1,29 → -3,62	1,71 → 4,80	-0,53	0,73	0,00	Vyhovuje	
		-1363,37	-23,17	30,71	-44,44	61,21	0,00		
3	3-B15_0m	-253,04	0,59 → 2,51	-0,89 → -3,79	-0,53	0,73	0,00	Vyhovuje	
		-1363,37	21,45	-32,36	-44,62	61,45	0,00		
4	4-B15_0m	-337,34	0,94 → 4,18	-1,29 → -5,74	-0,81	1,03	-0,01	Vyhovuje	
		-1363,37	23,14	-31,75	-43,81	55,71	-0,54		
5	5-B15_0m	-353,96	0,95 → 4,66	-1,15 → -5,64	-0,88	0,99	0,01	Vyhovuje	
		-1363,37	24,95	-30,20	-48,80	54,89	0,55		
6	6-B15_3,54m	-430,89	-2,44 → -9,16	2,98 → 10,17	-1,00	1,28	0,00	Vyhovuje	
		-1363,37	-26,32	29,23	-47,78	61,16	0,00		

Mezní stav únosnosti **VYHOVUJE**

VYHOVUJE



S2_sloup - dolní dvě podlaží



Typ prvku: sloup
Prostředí: XC1

Beton: C 25/30

$f_{ck} = 25,0$ MPa; $f_{ctm} = 2,6$ MPa; $E_{cm} = 31000$ MPa

Ocel podélná: B500B ($f_{yk} = 500,0$ MPa; $E_s = 200000$ MPa)

Ocel příčná: B500 ($f_{yk} = 500,0$ MPa; $E_s = 200000$ MPa)

Vzpěr

Vzpěrná délka kolmo na osu Y: $l_{ef,y} = 2,85 \times 1,00 = 2,85$ m

Vzpěrná délka kolmo na osu Z: $l_{ef,z} = 2,85 \times 1,00 = 2,85$ m

S tlačnou výztuží je počítáno.

Obvodové třmínky

Profil: 6 mm; Vzdálenost: 125,0 mm; Krytí: 49,0 mm

Posouzení min. a max. stupně vyztužení

Sloup (celková výztuž):

$\rho_s = 0,0201 \geq \rho_{s,min} = 0,002 \Rightarrow$ **Vyhovuje**

$\rho_s = 0,0201 \leq \rho_{s,max} = 0,04 \Rightarrow$ **Vyhovuje**

Posouzení konstrukčních zásad třmínků

Minimální průměr třmínků $d = 6$ mm \Rightarrow **Vyhovuje**

Maximální vzdálenost třmínků $s_{cl,max} = 250,0$ mm \Rightarrow **Vyhovuje**

Maximální vzdálenost třmínků $s_{l,max} = 125,0$ mm \Rightarrow **Vyhovuje**

Posouzení mezního stavu únosnosti

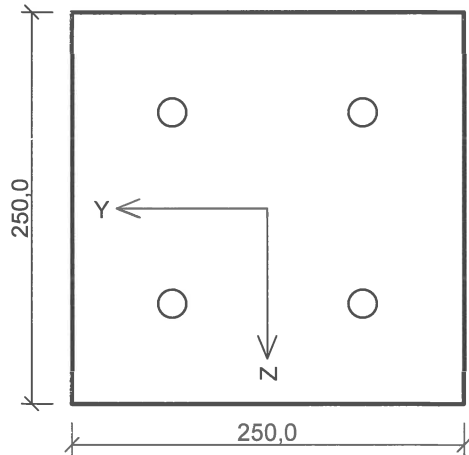
č.	Název	N_{Ed}	M_{Edy}	M_{Edz}	V_{Edz}	V_{Edy}	T_{Ed}	Posouzení
		N_{Rd} [kN]	M_{Rdy} [kNm]	M_{Rdz} [kNm]	V_{Rdz} [kN]	V_{Rdy} [kN]	T_{Rd} [kNm]	
1	1-B13_0m	-430,61	-2,02 \rightarrow -6,33	-2,73 \rightarrow -8,56	1,60	2,59	-0,07	Vyhovuje
		-1544,32	-26,77	-36,17	30,63	49,59	-1,33	
2	2-B14_3,54m	-137,84	1,75 \rightarrow 2,94	2,55 \rightarrow 3,87	1,16	1,53	-0,02	Vyhovuje
		-1544,32	25,83	34,00	39,00	51,44	-0,67	
3	3-B13_0m	-295,19	-1,30 \rightarrow -3,97	-1,39 \rightarrow -4,25	1,02	1,39	-0,04	Vyhovuje
		-1544,32	-30,52	-32,63	35,20	47,97	-1,38	
4	4-B14_0m	-247,03	-4,92 \rightarrow -8,21	-5,13 \rightarrow -8,49	2,55	2,90	-0,05	Vyhovuje
		-1544,32	-31,01	-32,04	43,48	49,45	-0,85	
5	5-B13_0m	-264,73	-1,08 \rightarrow -3,05	-1,52 \rightarrow -4,30	0,85	1,48	-0,05	Vyhovuje
		-1544,32	-26,14	-36,79	28,12	48,96	-1,62	
6	6-B13_0m	-400,15	-1,80 \rightarrow -5,30	-2,86 \rightarrow -8,42	1,44	2,68	-0,08	Vyhovuje
		-1544,32	-24,23	-38,50	28,81	53,61	-1,45	
7	7-B14_0m	-157,65	-3,24 \rightarrow -4,90	-3,09 \rightarrow -4,72	1,61	1,67	-0,02	Vyhovuje
		-1544,32	-30,99	-29,87	45,86	47,57	-0,57	
8	8-B14_3,54m	-239,70	4,10 \rightarrow 7,04	5,15 \rightarrow 8,39	2,55	2,90	-0,05	Vyhovuje
		-1544,32	28,73	34,26	43,37	49,32	-0,85	
9	9-B14_0m	-223,05	-4,08 \rightarrow -6,78	-5,24 \rightarrow -8,25	2,03	2,76	-0,03	Vyhovuje
		-1544,32	-28,39	-34,55	40,38	54,91	-0,60	
10	10-B13_3,54m	-383,66	3,30 \rightarrow 8,14	6,65 \rightarrow 13,12	1,44	2,69	-0,08	Vyhovuje
		-1544,32	24,02	38,72	28,55	53,33	-1,45	

Mezní stav únosnosti **VYHOVUJE**

VYHOVUJE



S2_sloup - horní podlaží



Typ prvku: sloup
Prostředí: XC1

Beton: C 25/30

$f_{ck} = 25,0 \text{ MPa}$; $f_{ctm} = 2,6 \text{ MPa}$; $E_{cm} = 31000 \text{ MPa}$

Ocel podélná: B500B ($f_{yk} = 500,0 \text{ MPa}$; $E_s = 200000 \text{ MPa}$)

Ocel příčná: B500 ($f_{yk} = 500,0 \text{ MPa}$; $E_s = 200000 \text{ MPa}$)

Vzpěr

Vzpěrná délka kolmo na osu Y: $l_{ef,y} = 2,85 \times 1,00 = 2,85 \text{ m}$

Vzpěrná délka kolmo na osu Z: $l_{ef,z} = 2,85 \times 1,00 = 2,85 \text{ m}$

S tlačenu výtuzí je počítáno.

Obvodové třmínky

Profil: 6 mm; Vzdálenost: 125,0 mm; Krytí: 49,0 mm

Posouzení min. a max. stupně vyztužení

Sloup (celková výtuz):

$\rho_s = 0,0163 \geq \rho_{s,min} = 0,002 \Rightarrow$ **Vyhovuje**

$\rho_s = 0,0163 \leq \rho_{s,max} = 0,04 \Rightarrow$ **Vyhovuje**

Posouzení konstrukčních zásad třmínků

Minimální průměr třmínků $d = 6 \text{ mm} \Rightarrow$ **Vyhovuje**

Maximální vzdálenost třmínků $s_{cl,max} = 250,0 \text{ mm} \Rightarrow$ **Vyhovuje**

Maximální vzdálenost třmínků $s_{l,max} = 125,0 \text{ mm} \Rightarrow$ **Vyhovuje**

Posouzení mezního stavu únosnosti

č.	Název	N_{Ed} N_{Rd} [kN]	M_{Edy} M_{Rdy} [kNm]	M_{Edz} M_{Rdz} [kNm]	V_{Edz} V_{Rdz} [kN]	V_{Edy} V_{Rdy} [kN]	T_{Ed} T_{Rd} [kNm]	Posouzení
1	1-B37_0m	-85,33	-10,80 → -11,28	-5,77 → -6,25	8,96	4,27	-0,13	Vyhovuje
		-1448,82	-33,00	-18,29	56,76	27,05	-0,82	
2	2-B37_3,09m	-43,55	13,76 → 14,01	5,13 → 5,38	7,64	3,56	-0,15	Vyhovuje
		-1448,82	35,28	13,54	54,25	25,28	-1,07	
3	3-B37_0m	-52,70	-6,95 → -7,25	-3,58 → -3,88	5,76	2,51	-0,09	Vyhovuje
		-1448,82	-32,41	-17,34	56,71	24,71	-0,89	
4	4-B37_0m	-81,43	-13,23 → -13,69	-7,71 → -8,17	10,51	5,16	-0,18	Vyhovuje
		-1448,82	-32,08	-19,15	55,22	27,11	-0,95	
5	5-B37_0m	-72,36	-12,68 → -13,09	-6,77 → -7,18	10,03	4,46	-0,19	Vyhovuje
		-1448,82	-32,73	-17,95	55,38	24,63	-1,05	
6	6-B37_0m	-75,93	-8,17 → -8,60	-5,03 → -5,46	6,94	3,87	-0,07	Vyhovuje
		-1448,82	-31,23	-19,83	56,54	31,53	-0,57	
7	7-B37_3,09m	-75,04	19,26 → 19,68	8,23 → 8,65	10,51	5,16	-0,18	Vyhovuje
		-1448,82	35,02	15,40	55,12	27,06	-0,94	
8	8-B37_3,09m	-75,86	17,71 → 18,14	8,49 → 8,92	9,62	5,14	-0,15	Vyhovuje
		-1448,82	33,96	16,70	54,77	29,26	-0,85	

Mezní stav únosnosti **VYHOVUJE**

VYHOVUJE

**14. PILOTY****14.1. Vstupní data pro všechny piloty****Materiály a normy**

Betonové konstrukce : EN 1992-1-1 (EC2)
 Součinitele EN 1992-1-1 : standardní

Piloty

Výpočet pro odvodněné podmínky : ČSN 73 1002
 Zatěžovací křivka : nelineární (Masopust)
 Vodorovná únosnost : pružný poloprostor
 Metodika posouzení : výpočet podle EN 1997
 Návrhový přístup : 2 - redukce zatížení a odporu
 Typ technologie: Vrtané piloty Modul reakce podloží uvažován jako konstantní.

Celkové nastavení výpočtu

Výpočet svislé únosnosti : analytické řešení Typ výpočtu : výpočet pro odvodněné podmínky

Součinitele redukce zatížení (F)			
Trvalá návrhová situace			
		Nepříznivé	Příznivé
Stálé zatížení :	$\gamma_G =$	1,35 [-]	1,00 [-]

Součinitele redukce odporu (R)			
Trvalá návrhová situace			
Součinitel redukce odporu na plášti :	$\gamma_s =$	1,10 [-]	
Součinitel redukce odporu na patě :	$\gamma_b =$	1,10 [-]	
Součinitel redukce únosnosti tažené piloty :	$\gamma_{st} =$	1,15 [-]	

Základní parametry zemín

Číslo	Název	Vzorek	φ_{ef} [°]	c_{ef} [kPa]	γ [kN/m ³]	ν [-]
1	jílovito písčité hlína tuhá-polotuhá		24,50	14,00	20,00	0,40
2	plastické jíly konzistence pevná CH-CV		15,00	10,00	20,00	0,42
3	Třída F6, konzistence tuhá		19,00	12,00	21,00	0,40

Pro výpočet tlaku v klidu jsou všechny zeminy zadány jako nesoudržné.

Číslo	Název	Vzorek	E_{oed} [MPa]	E_{def} [MPa]	γ_{sat} [kN/m ³]	γ_s [kN/m ³]	n [-]
1	jílovito písčité hlína tuhá-polotuhá		8,00	-	20,00	-	-
2	plastické jíly konzistence pevná CH-CV		15,00	-	20,50	-	-
3	Třída F6, konzistence tuhá		-	6,00	21,00	-	-

Parametry zemín pro výpočet modulu reakce podloží

Číslo	Název	Vzorek	β
1	jílovito písčité hlína tuhá-polotuhá		10,00
2	plastické jíly konzistence pevná CH-CV		10,00



Číslo	Název	Vzorek	β
3	Třída F6, konzistence tuhá		6,00

Parametry zemín

jílovito písčité hlíny tuhá-polotuhá

Objemová tíha : $\gamma = 20,00 \text{ kN/m}^3$
 Úhel vnitřního tření : $\varphi_{ef} = 24,50^\circ$
 Soudržnost zeminy : $c_{ef} = 14,00 \text{ kPa}$
 Poissonovo číslo : $\nu = 0,40$
 Edometrický modul : $E_{oed} = 8,00 \text{ MPa}$
 Obj.tíha sat.zeminy : $\gamma_{sat} = 20,00 \text{ kN/m}^3$
 Úhel roznášení : $\beta = 10,00^\circ$

plastické jíly konzistence pevná CH-CV

Objemová tíha : $\gamma = 20,00 \text{ kN/m}^3$
 Úhel vnitřního tření : $\varphi_{ef} = 15,00^\circ$
 Soudržnost zeminy : $c_{ef} = 10,00 \text{ kPa}$
 Poissonovo číslo : $\nu = 0,42$
 Edometrický modul : $E_{oed} = 15,00 \text{ MPa}$
 Obj.tíha sat.zeminy : $\gamma_{sat} = 20,50 \text{ kN/m}^3$
 Úhel roznášení : $\beta = 10,00^\circ$

Třída F6, konzistence tuhá

Objemová tíha : $\gamma = 21,00 \text{ kN/m}^3$
 Úhel vnitřního tření : $\varphi_{ef} = 19,00^\circ$
 Soudržnost zeminy : $c_{ef} = 12,00 \text{ kPa}$
 Poissonovo číslo : $\nu = 0,40$

Modul přetvárnosti : $E_{def} = 6,00 \text{ MPa}$
 Obj.tíha sat.zeminy : $\gamma_{sat} = 21,00 \text{ kN/m}^3$
 Úhel roznášení : $\beta = 6,00^\circ$

Geologický profil a přiřazení zemín

Číslo	Mocnost vrstvy t [m]	Hloubka z [m]	Přiřazená zemina	Vzorek
1	1,00	0,00 .. 1,00	Třída F6, konzistence tuhá	
2	1,40	1,00 .. 2,40	Třída F6, konzistence tuhá	
3	0,70	2,40 .. 3,10	jílovito písčité hlíny tuhá-polotuhá	
4	0,20	3,10 .. 3,30	plastické jíly konzistence pevná CH-CV	
5	0,80	3,30 .. 4,10	jílovito písčité hlíny tuhá-polotuhá	
6	1,50	4,10 .. 5,60	plastické jíly konzistence pevná CH-CV	
7	0,80	5,60 .. 6,40	jílovito písčité hlíny tuhá-polotuhá	
8	2,60	6,40 .. 9,00	plastické jíly konzistence pevná CH-CV	
9	-	9,00 .. ∞	plastické jíly konzistence pevná CH-CV	

Materiál konstrukce

Objemová tíha $\gamma=23,00 \text{ kN/m}^3$ Výpočet betonových konstrukcí proveden podle normy EN 1992-1-1 (EC2).

Beton : C 20/25

Válcová pevnost v tlaku $f_{ck} = 20,00 \text{ MPa}$
 Pevnost v tahu $f_{ctm} = 2,20 \text{ MPa}$
 Modul pružnosti $E_{cm} = 30000,00 \text{ MPa}$
 Modul pružnosti ve smyku $G = 12500,00 \text{ MPa}$

Ocel podélná : B500

Mez kluzu $f_{yk} = 500,00 \text{ MPa}$

Ocel příčná: B500

Mez kluzu $f_{yk} = 500,00 \text{ MPa}$

Nastavení výpočtu fáze

Návrhová situace : trvalá Metodika posouzení : bez redukce vstupních dat

Spočtené průřezové charakteristiky piloty

Plocha

$A = 2,83E-01 \text{ m}^2$

Moment setrvačnosti $I = 6,36E-03 \text{ m}^4$

**14.2. PILOTA P1 – pilota v řadě A1, (přetížená pasem)**

Geometrie Profil piloty: kruhová

RozměryPrůměr $d = 0,60$ mDélka $l = 9,50$ m**Spočtené průřezové charakteristiky**Plocha $A = 2,83E-01$ m²Moment setrvačnosti $I = 6,36E-03$ m⁴**Umístění**Vysazení $h = -1,60$ mHloubka upraveného terénu $h_z = 0,00$ m**Zatížení**

Číslo	Zatížení		Název	Typ	N [kN]	M _x [kNm]	M _y [kNm]	H _x [kN]	H _y [kN]
	nové	změna							
1	Ano		řada A1 pilota P1 - max Nd	Návrhové	920,00	0,50	0,00	30,00	0,50
2	Ano		řada A1 pilota P1 max Nk	Užitné	620,00	0,50	0,00	20,00	0,50
3	Ano		řada A1 - pilota P1 min Nd	Návrhové	30,00	1,00	0,00	30,00	1,00
4	Ano		řada A1 - pilota P1 min Nk	Užitné	19,00	1,00	0,00	20,00	1,00

Posouzení únosnosti podle ČSN 73 1002**Posouzení svislé únosnosti piloty podle teorie MS - mezivýsledky**

Výpočet únosnosti v patě:

Součinitel únosnosti $N_c = 10,98$ Součinitel únosnosti $N_b = 1,18$ Součinitel únosnosti $N_d = 3,94$ Součinitel únosnosti $K1 = 1,00$ Výpočtová únosnost na patě piloty $R_{bd} = 1249,97$ kPaPlocha příčného řezu piloty $A_p = 2,83E-01$ m²

Únosnost na plášti piloty:

Zkrácení účinné délky piloty $L_p = 0,37$ m

Hloubka [m]	Mocnost [m]	φ_d [°]	c_{ud} [kPa]	γ [kN/m ³]	γ_{R2} [-]	f_s [kPa]	R_{si} [kN]
0,80	0,80	19,00	12,00	21,00	1,00	20,68	28,35
1,50	0,70	24,50	14,00	20,00	1,00	40,16	48,17
1,70	0,20	15,00	10,00	20,00	1,00	27,79	9,52
2,50	0,80	24,50	14,00	20,00	1,00	48,82	66,92
4,00	1,50	15,00	10,00	20,00	1,00	36,63	94,16
4,80	0,80	24,50	14,00	20,00	1,00	69,78	95,66
7,40	2,60	15,00	10,00	20,00	1,00	51,91	231,26
9,13	1,73	15,00	10,00	20,00	1,00	63,50	187,78

Posouzení svislé únosnosti piloty podle teorie MS - výsledky

Výpočet proveden s automatickým výběrem nejnepříznivějších zatěžovacích stavů.

Posouzení tlačené piloty:

Nejnepříznivější zatěžovací stav číslo 1. (řada A1 pilota P1 - max Nd)

Únosnost piloty na plášti $R_s = 761,83$ kN Únosnost piloty v patě $R_b = 321,29$ kNÚnosnost piloty $R_c = 1083,12$ kN Extrémní svislá síla $V_d = 920,00$ kN $R_c = 1083,12$ kN > $920,00$ kN = V_d **Svislá únosnost piloty VYHOVUJE****Posouzení výpočet zatěžovací křivky Výpočet zatěžovací křivky piloty - vstupní data**

Vrstva číslo	Počátek [m]	Konec [m]	Mocnost [m]	E_s [MPa]	Součinitel a	Součinitel b
1	0,00	1,00	1,00	6,90	46,00	20,00
2	1,00	2,40	1,40	6,90	46,00	20,00
3	2,40	3,10	0,70	9,48	46,00	20,00
4	3,10	3,30	0,20	10,25	97,00	108,00
5	3,30	4,10	0,80	10,88	46,00	20,00
6	4,10	5,60	1,50	12,37	97,00	108,00



Vrstva číslo	Počátek [m]	Konec [m]	Mocnost [m]	E_s [MPa]	Součinitel a	Součinitel b
7	5,60	6,40	0,80	13,10	46,00	20,00
8	6,40	9,00	2,60	14,12	46,00	20,00
9	9,00	11,10	2,10	43,78	97,00	20,00

Uvažovat zatížení : užitné

Součinitel vlivu ochrany dřívku $m_2 = 1,00$

Regresní součinitel $e = 198,00$

Limitní sedání piloty $s_{lim} = 25,0$ mm

Regresní součinitel $f = 150,00$

Výpočet zatěžovací křivky piloty - mezivýsledky

Mezní síla na plášti piloty $R_{sy} = 775,98$ kN

Velikost napětí na patě při R_{sy} $q_0 = 189,89$ kPa

Průměrné plášťové tření $q_s = 61,91$ kPa

Průměrný sečnový modul deformace $E_s = 19,01$ MPa

Součinitel přenosu zatížení do paty $\beta = 0,04$

Příčinkové součinitele sedání :

Základní - závislý na poměru l/d $l_0 = 0,10$

Součinitel vlivu tuhosti piloty $R_k = 1,07$

Součinitel vlivu nestlačitelné vrstvy $R_h = 1,00$

Body zatěžovací křivky

Sednutí [mm]	Zatížení [kN]
0,0	0,00
2,5	470,90
5,0	665,95
7,5	808,74

Sednutí [mm]	Zatížení [kN]
10,0	819,66
12,5	830,59
15,0	841,51
17,5	852,43

Sednutí [mm]	Zatížení [kN]
20,0	863,35
22,5	874,27
25,0	885,19

Výpočet zatěžovací křivky piloty - výsledky

Zatížení na mezi mobilizace plášť.tření $R_{yu} = 808,15$ kN

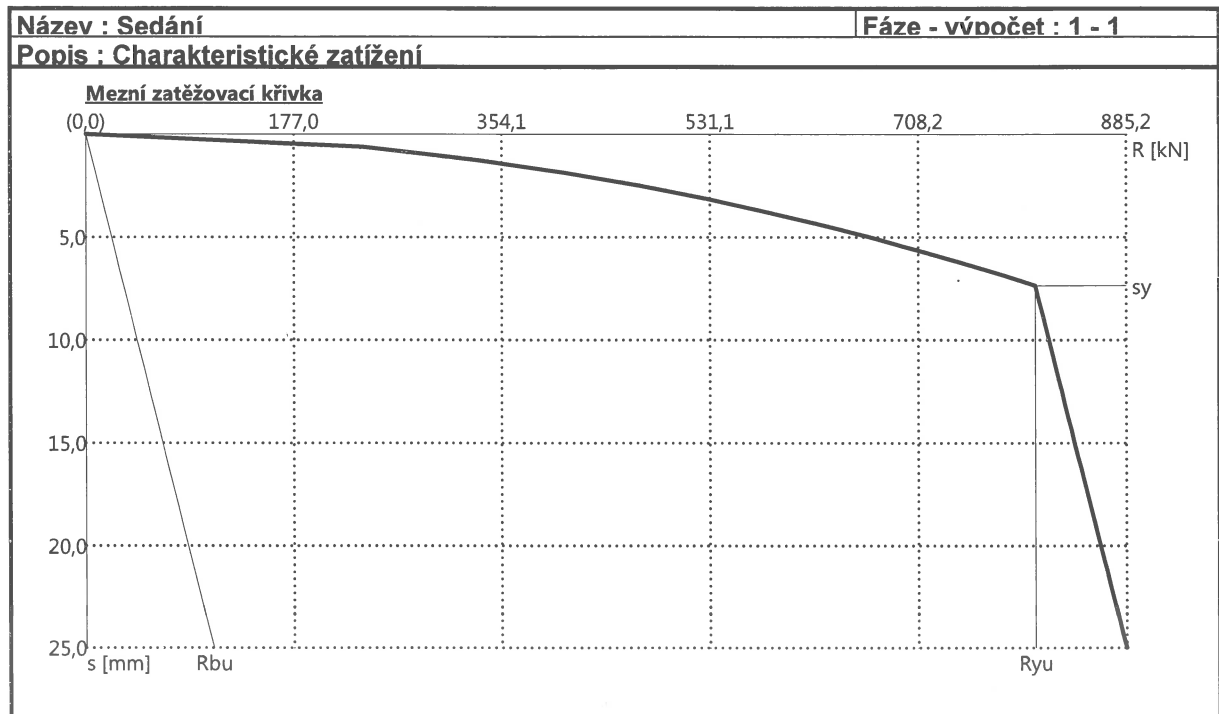
Velikost sedání odpovídající síle R_{yu} $s_y = 7,4$ mm

Únosnosti odpovídající sednutí 25,0 mm :

Únosnost paty $R_{bu} = 109,21$ kN

Celková únosnost $R_c = 885,19$ kN

Pro zatížení $Q = 620,00$ kN je sednutí piloty 4,3 mm



Uvažovat zatížení : návrhové



STATICKÝ VÝPOČET

BETONOVÉ KONSTRUKCE
DOKUMENTACE PRO PROVEDENÍ STAVBY

AKCE:
ROZŠÍŘENÍ INFRASTRUKTURY
CENTRA INTEMAC

ARCH. Č.: 1917-02

Strana: 140

Body zatěžovací křivky

Sednutí [mm]	Zatížení [kN]
0,0	0,00
2,5	562,83
5,0	795,96

Sednutí [mm]	Zatížení [kN]
7,5	974,85
10,0	1125,66
12,5	1163,15
15,0	1174,07

Sednutí [mm]	Zatížení [kN]
17,5	1184,99
20,0	1195,91
22,5	1206,83
25,0	1217,75

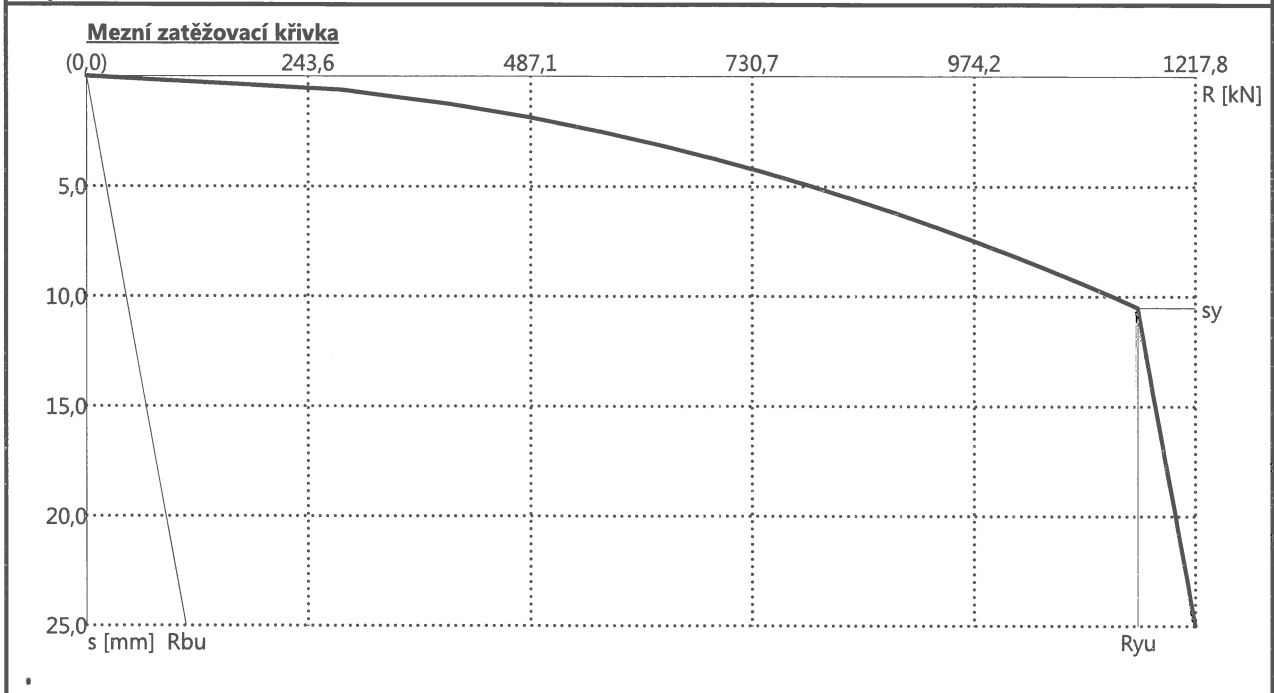
Výpočet zatěžovací křivky piloty - výsledky

Zatížení na mezi mobilizace pláště.tření $R_{yu} = 1154,49$ kN
 Velikost sedání odpovídající síle R_{yu} $s_y = 10,5$ mm
 Únosnosti odpovídající sednutí 25,0 mm :
 Únosnost paty $R_{bu} = 109,21$ kN
 Celková únosnost $R_c = 1217,75$ kN
 Pro zatížení $Q = 920,00$ kN je sednutí piloty 6,7 mm

Název : Sedání

Fáze - výpočet : 1 - 2

Popis : Návrhové zatížení



Posouzení vodorovné únosnosti

Vstupní data pro výpočet vodorovné únosnosti piloty

Výpočet proveden s automatickým výběrem nejnejpříznivějších zatěžovacích stavů.
 Vodorovná únosnost posouzena ve směru maximálního účinku zatížení.

Průběhy vnitřních sil a deformace piloty

Průběh deformací a vnitřních sil po pilotě - maximální hodnoty:

Vzdál. [m]	Modul k [MN/m ³]	Deformace [mm]	Pootoč. [mRad]	Napětí [kPa]	Pos.síla [kN]	Moment [kNm]
0.00	0.00	-0.06	0.86	37.20	-0.50	1.00
0.47	12.39	-0.05	0.84	32.18	-0.29	11.89
0.95	6.90	-0.04	0.80	15.21	-0.14	19.49
1.43	6.90	-0.04	0.75	12.66	-0.07	24.65
1.90	6.90	-0.03	0.68	10.32	0.02	27.85
2.38	6.90	-0.02	0.61	8.20	0.11	29.53
2.85	10.86	-0.01	0.54	9.94	0.66	29.93
3.32	10.86	-0.01	0.46	7.37	3.12	29.01



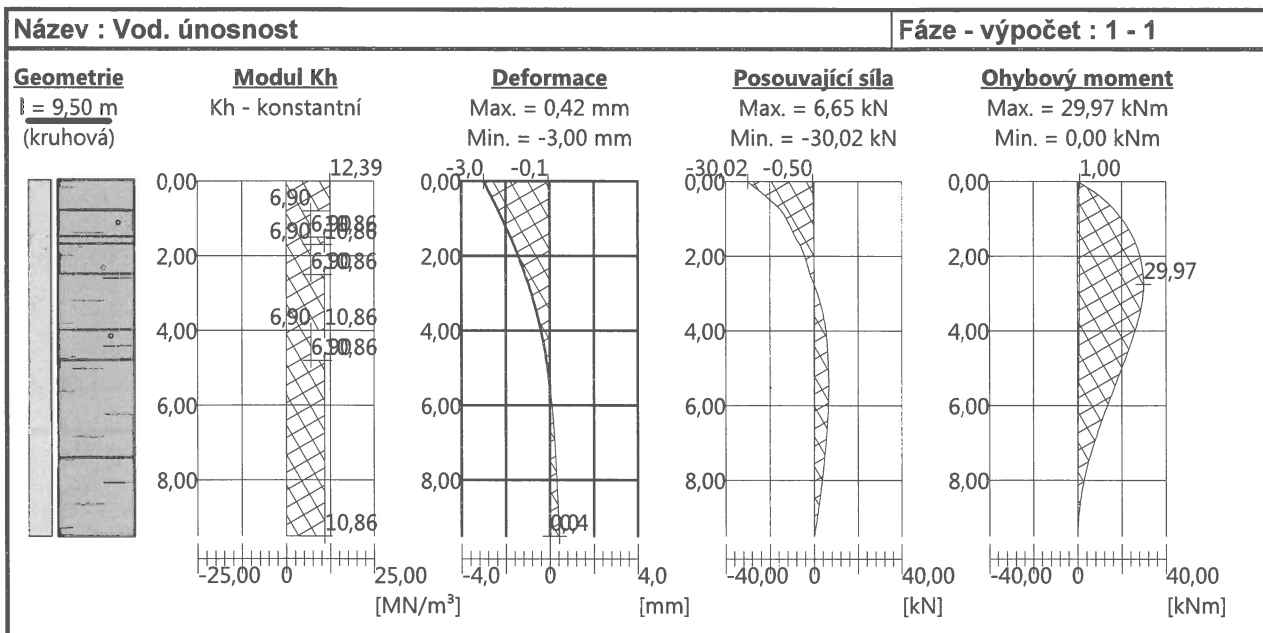
Vzdál. [m]	Modul k [MN/m ³]	Deformace [mm]	Pootoč. [mRad]	Napětí [kPa]	Pos.síla [kN]	Moment [kNm]
3.80	10.86	-0.01	0.39	5.16	4.90	27.08
4.27	6.90	-0.00	0.33	2.10	5.88	24.48
4.75	6.90	0.00	0.27	1.12	6.33	21.57
5.23	10.86	0.00	0.22	0.50	6.62	18.48
5.70	10.86	0.05	0.18	-0.04	6.61	15.32
6.18	10.86	0.13	0.14	-0.05	6.34	12.24
6.65	10.86	0.19	0.12	-0.06	5.85	9.34
7.13	10.86	0.24	0.10	-0.07	5.19	6.71
7.60	10.86	0.28	0.08	-0.07	4.38	4.43
8.08	10.86	0.32	0.08	-0.08	3.45	2.57
8.55	10.86	0.35	0.07	-0.08	2.40	1.17
9.03	10.86	0.39	0.07	-0.08	1.25	0.30
9.50	10.86	0.42	0.07	-0.09	0.00	0.00

Maximální vnitřní síly a deformace:

Max.deformace piloty = 3,0 mm

Maximální moment = 29,97 kNm

Max.posouvající síla = 30,02 kN



Posouzení na tlak a ohyb

Schéma vyztužení

Vyztužení - 8 ks profil 16,0 mm; krytí 76,0 mm

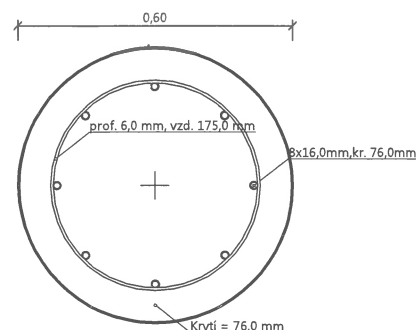
Typ konstrukce (stupně vyztužení) : pilota

Stupeň vyztužení $\rho = 0,569 \% > 0,500 \% = \rho_{min}$

Zatížení : $N_{Ed} = -920,00$ kN (tlak) ; $M_{Ed} = 29,94$ kNm

Únosnost : $N_{Rd} = -3535,91$ kN; $M_{Rd} = 115,07$ kNm

Navržená výztuž piloty VYHOVUJE



Posouzení na smyk

Smyková výztuž - 2 ks profil 6,0 mm; vzdálenost 175,0 mm

$A_{sw} = 323,1$ mm²

Posouvající síla na mezi únosnosti: $V_{Rd} = 185,11$ kN $>$ $30,02$ kN = V_{Ed}

Průřez VYHOVUJE.

pouze konstrukční smyková výztuž

**14.3. PILOTA P2 – pilota v řadě A1, (vnitřní - nepřítížená pasem)**

Geometrie Profil piloty: kruhová

Rozměry

Průměr $d = 0,60$ mDélka $l = 7,00$ m

Umístění - Jako pilota P1

Zatížení

Číslo	Zatížení		Název	Typ	N [kN]	M_x [kNm]	M_y [kNm]	H_x [kN]	H_y [kN]
	nové	změna							
1	Ano		řada A1 pilota P2 - max Nd	Návrhové	560,00	0,50	0,00	30,00	0,50
2	Ano		řada A1 pilota P2 max Nk	Užitné	350,00	0,50	0,00	20,00	0,50
3	Ano		řada A1 - pilota P2 min Nd	Návrhové	-315,00	1,00	0,00	29,00	1,00
4	Ano		řada A1 - pilota P2 min Nk	Užitné	-200,00	1,00	0,00	20,00	1,00

Posouzení únosnosti – ČSN 73 1002**Posouzení svislé únosnosti piloty podle teorie MS - mezivýsledky**

Výpočet únosnosti v patě:

Součinitel únosnosti $N_c = 10,98$ Součinitel únosnosti $N_b = 1,18$ Součinitel únosnosti $N_d = 3,94$ Součinitel únosnosti $K1 = 1,00$ Výpočtová únosnost na patě piloty $R_{bd} = 1001,91$ kPaPlocha příčného řezu piloty $A_p = 2,83E-01$ m²Únosnost na plášti piloty: Zkrácení účinné délky piloty $L_p = 0,37$ m

Hloubka [m]	Mocnost [m]	ϕ_d [°]	c_{ud} [kPa]	γ [kN/m ³]	γ_{R2} [-]	f_s [kPa]	R_{si} [kN]
0,80	0,80	19,00	12,00	21,00	1,00	20,68	28,35
1,50	0,70	24,50	14,00	20,00	1,00	40,16	48,17
1,70	0,20	15,00	10,00	20,00	1,00	27,79	9,52
2,50	0,80	24,50	14,00	20,00	1,00	48,82	66,92
4,00	1,50	15,00	10,00	20,00	1,00	36,63	94,16
4,80	0,80	24,50	14,00	20,00	1,00	69,78	95,66
6,63	1,83	15,00	10,00	20,00	1,00	49,83	155,91

Únosnost tažené piloty:

Hloubka [m]	Mocnost [m]	ϕ_d [°]	c_{ud} [kPa]	γ [kN/m ³]	γ_{R2} [-]	f_s [kPa]	R_{si} [kN]
0,80	0,80	19,00	12,00	21,00	1,00	20,68	31,18
1,50	0,70	24,50	14,00	20,00	1,00	40,16	52,99
1,70	0,20	15,00	10,00	20,00	1,00	27,79	10,48
2,50	0,80	24,50	14,00	20,00	1,00	48,82	73,62
4,00	1,50	15,00	10,00	20,00	1,00	36,63	103,58
4,80	0,80	24,50	14,00	20,00	1,00	69,78	105,23
7,00	2,20	15,00	10,00	20,00	1,00	50,84	210,81

Posouzení svislé únosnosti piloty podle teorie MS - výsledky

Výpočet proveden s automatickým výběrem nejnepříznivějších zatěžovacích stavů.

Posouzení tlačené piloty:

Nejnepříznivější zatěžovací stav číslo 1. (řada A1 pilota P2 - max Nd)

Únosnost piloty na plášti $R_s = 498,69$ kN Únosnost piloty v patě $R_b = 257,53$ kNÚnosnost piloty $R_c = 756,23$ kN Extrémní svislá síla $V_d = 560,00$ kN $R_c = 756,23$ kN > $560,00$ kN = V_d **Únosnost tlačené piloty VYHOVUJE**

Posouzení tažené piloty:

Nejnepříznivější zatěžovací stav číslo 3. (řada A1 - pilota P2 min Nd)

Únosnost tažené piloty $R_{sdt} = 511,20$ kN Vlastní hmotnost piloty $w_p = 45,52$ kNExtrémní tahová síla $V_d = 269,48$ kN $R_c = 511,20$ kN > $269,48$ kN = V_d **Únosnost tažené piloty VYHOVUJE****Svislá únosnost piloty VYHOVUJE**



Posouzení sedání – výpočet zatěžovací křivky

Výpočet zatěžovací křivky piloty - vstupní data

Vrstva číslo	Počátek [m]	Konec [m]	Mocnost [m]	E_s [MPa]	Součinitel a	Součinitel b
1	0,00	1,00	1,00	6,90	46,00	20,00
2	1,00	2,40	1,40	7,31	46,00	20,00
3	2,40	3,10	0,70	9,48	46,00	20,00
4	3,10	3,30	0,20	10,25	46,00	108,00
5	3,30	4,10	0,80	10,88	46,00	20,00
6	4,10	5,60	1,50	12,31	46,00	20,00
7	5,60	6,40	0,80	13,10	46,00	20,00
8	6,40	8,60	2,20	37,90	97,00	108,00

Uvažovat zatížení : užité

Součinitel vlivu ochrany dřívku $m_2 = 1,00$

Regresní součinitel $e = 198,00$

Limitní sedání piloty $s_{lim} = 25,0$ mm

Regresní součinitel $f = 150,00$

Výpočet zatěžovací křivky piloty - mezivýsledky

Mezní síla na plášti piloty $R_{sy} = 521,69$ kN

Velikost napětí na patě při R_{sy} $q_0 = 187,53$ kPa

Průměrné plášťové tření $q_s = 56,48$ kPa

Průměrný sečnový modul deformace $E_s = 19,37$ MPa

Součinitel přenosu zatížení do paty $\beta = 0,05$

Příčinkové součinitele sedání :

Základni - závislý na poměru l/d $l_0 = 0,13$

Součinitel vlivu tuhosti piloty $R_k = 1,00$

Součinitel vlivu nestlačitelné vrstvy $R_h = 1,00$

Body zatěžovací křivky

Sednutí [mm]	Zatížení [kN]						
0,0	0,00	7,5	556,80	15,0	591,90	22,5	627,00
2,5	343,47	10,0	568,50	17,5	603,60	25,0	638,70
5,0	485,74	12,5	580,20	20,0	615,30		

Výpočet zatěžovací křivky piloty - výsledky

Zatížení na mezi mobilizace plášť.tření $R_{yu} = 551,91$ kN

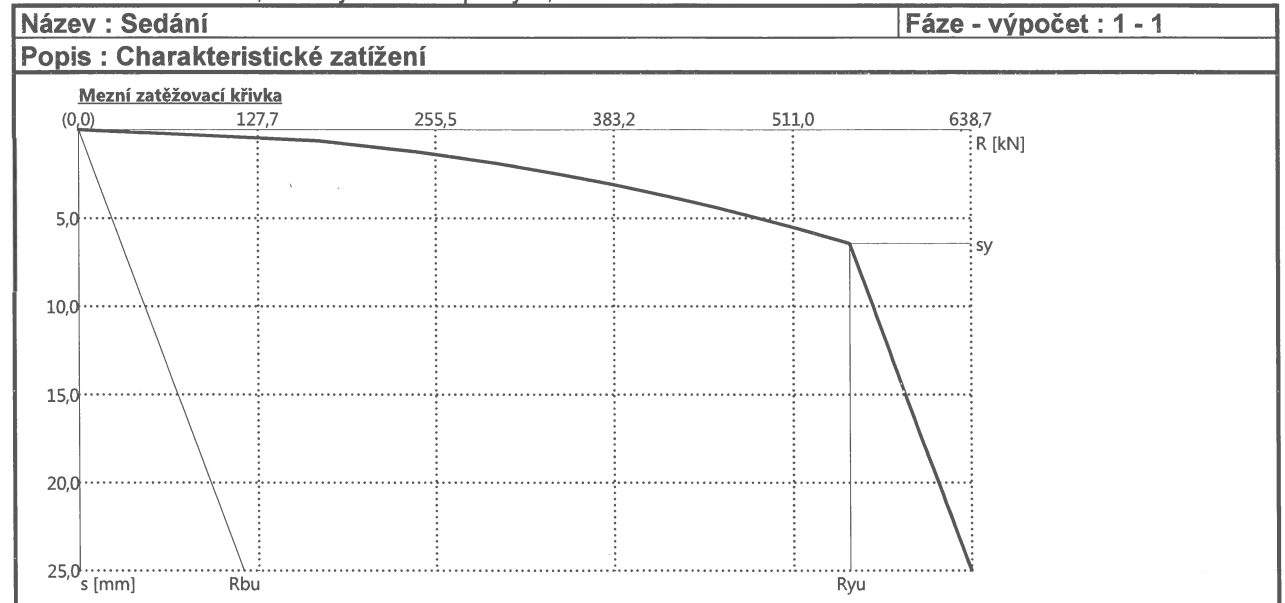
Velikost sedání odpovídající síle R_{yu} $s_y = 6,5$ mm

Únosnosti odpovídající sednutí 25,0 mm :

Únosnost paty $R_{bu} = 117,01$ kN

Celková únosnost $R_c = 638,70$ kN

Pro zatížení $Q = 350,00$ kN je sednutí piloty 2,6 mm





Uvažovat zatížení : návrhové

Body zatěžovací křivky

Sednutí [mm]	Zatížení [kN]
0,0	0,00
2,5	410,53
5,0	580,57
7,5	711,05

Sednutí [mm]	Zatížení [kN]
10,0	792,08
12,5	803,78
15,0	815,48
17,5	827,18

Sednutí [mm]	Zatížení [kN]
20,0	838,88
22,5	850,59
25,0	862,29

Výpočet zatěžovací křivky piloty - výsledky

Zatížení na mezi mobilizace pláště.tření $R_{yu} = 788,44$ kN

Velikost sedání odpovídající síle R_{yu} $s_y = 9,2$ mm

Únosnosti odpovídající sednutí 25,0 mm :

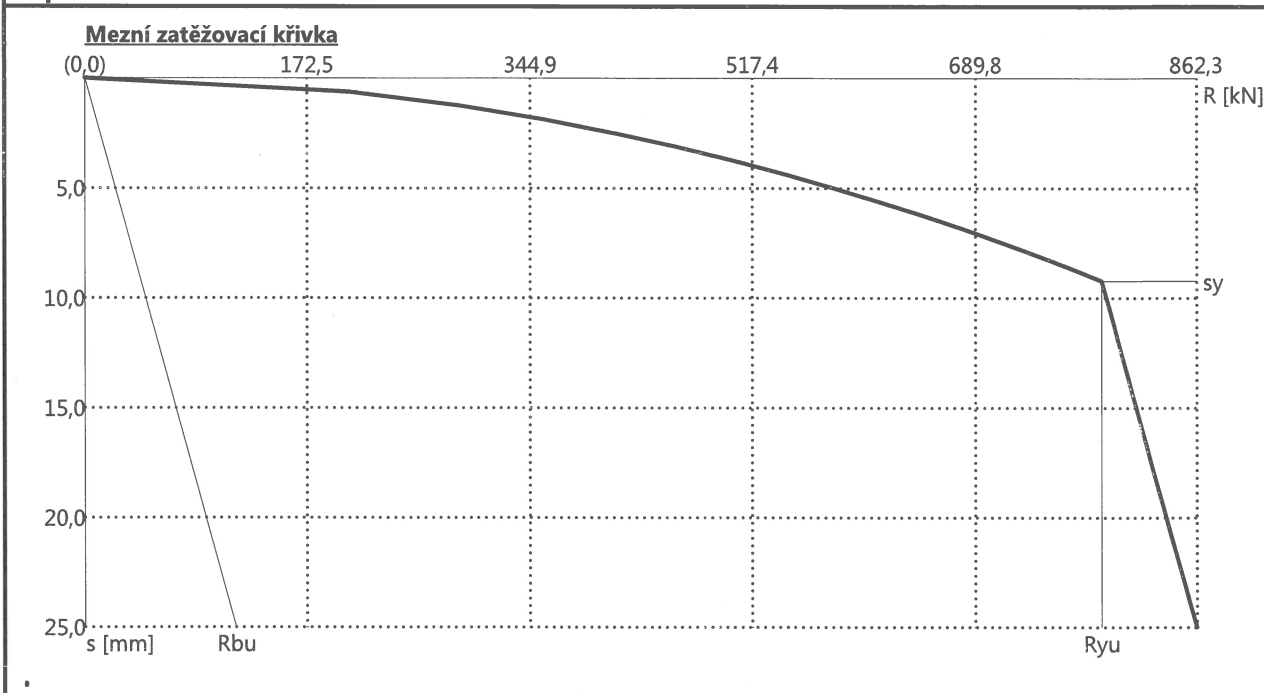
Únosnost paty $R_{bu} = 117,01$ kN

Celková únosnost $R_c = 862,29$ kN

Pro zatížení $Q = 560,00$ kN je sednutí piloty 4,7 mm

Název : Sedání Fáze - výpočet : 1 - 2

Popis : Návrhové zatížení



Posouzení vodorovné únosnosti

Vstupní data pro výpočet vodorovné únosnosti piloty

Výpočet proveden s automatickým výběrem nejnejpříznivějších zatěžovacích stavů.

Vodorovná únosnost posouzena ve směru maximálního účinku zatížení.

Průběhy vnitřních sil a deformace piloty

Průběh deformací a vnitřních sil po pilotě - maximální hodnoty:

Vzdál. [m]	Modul k [MN/m³]	Deformace [mm]	Pootoč. [mRad]	Napětí [kPa]	Pos.síla [kN]	Moment [kNm]
0.00	0.00	-0.07	0.94	40.58	-0.50	1.00
0.35	12.39	-0.06	0.93	36.53	-0.33	9.07
0.70	12.39	-0.05	0.91	32.55	-0.18	15.44
1.05	6.90	-0.05	0.87	15.97	-0.09	19.71
1.40	6.90	-0.04	0.83	13.91	-0.03	22.76
1.75	6.90	-0.03	0.79	11.95	0.08	24.64
2.10	6.90	-0.03	0.74	10.10	0.17	25.47
2.45	6.90	-0.02	0.70	8.36	0.70	25.56



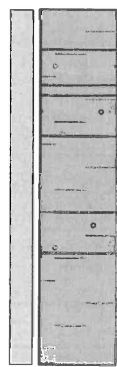
Vzdál. [m]	Modul k [MN/m ³]	Deformace [mm]	Pootoč. [mRad]	Napětí [kPa]	Pos.síla [kN]	Moment [kNm]
2.80	10.86	-0.02	0.65	10.60	3.04	24.91
3.15	10.86	-0.01	0.61	8.21	5.01	23.48
3.50	10.86	-0.01	0.56	5.99	6.50	21.46
3.85	10.86	-0.00	0.53	3.91	7.54	18.99
4.20	6.90	0.00	0.50	1.25	8.05	16.24
4.55	6.90	0.01	0.47	0.09	8.19	13.39
4.90	10.86	0.15	0.45	-0.07	8.06	10.54
5.25	10.86	0.30	0.43	-0.11	7.55	7.80
5.60	10.86	0.45	0.42	-0.14	6.70	5.29
5.95	10.86	0.59	0.41	-0.17	5.51	3.15
6.30	10.86	0.73	0.41	-0.20	4.00	1.47
6.65	10.86	0.88	0.40	-0.22	2.16	0.39
7.00	10.86	1.02	0.40	-0.25	0.00	0.00

Název : Vod. únosn.

Fáze - výpočet : 1 - 1

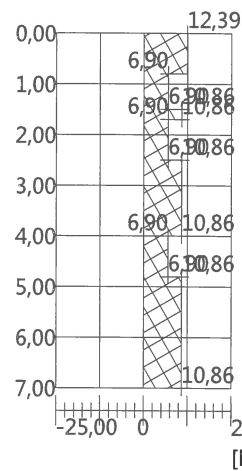
Geometrie

l = 7,00 m
(kruhová)



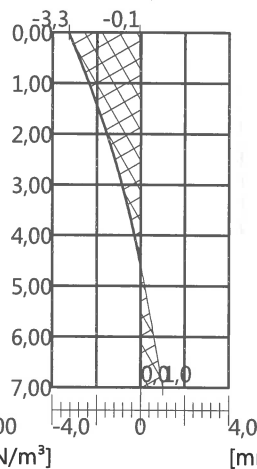
Modul Kh

Kh - konstantní



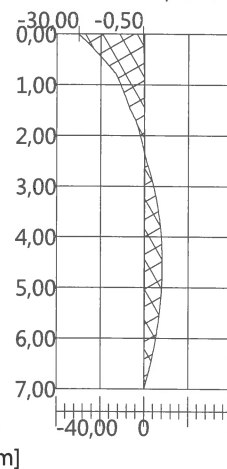
Deformace

Max. = 1,02 mm
Min. = -3,27 mm



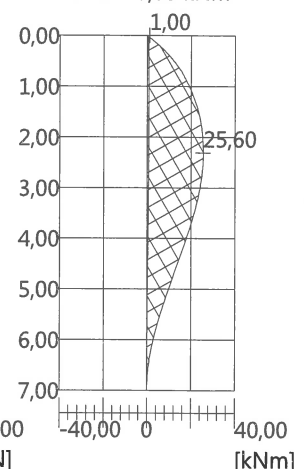
Posouvající síla

Max. = 8,19 kN
Min. = -30,00 kN



Ohybový moment

Max. = 25,60 kNm
Min. = 0,00 kNm



Maximální vnitřní síly a deformace:

Schéma vyztužení

Max.deformace piloty = 3,3 mm
Max.posouvající síla = 30,00 kN
Maximální moment = 25,60 kNm

Posouzení na tlak a ohyb

Vyztužení - 8 ks profil 16,0 mm; krytí 76,0 mm
Typ konstrukce (stupně vyztužení) : pilota
Stupeň vyztužení $\rho = 0,569 \% > 0,500 \% = \rho_{min}$
Zatížení : $N_{Ed} = 315,00$ kN (tah) ; $M_{Ed} = 24,78$ kNm
Únosnost : $N_{Rd} = 533,81$ kN; $M_{Rd} = 41,99$ kNm

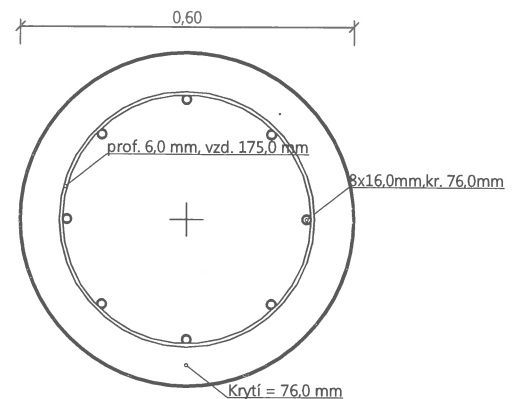
Navržená výtzuž piloty VYHOVUJE

Posouzení na smyk

Posouvající síla na mezi únosnosti: $V_{Rd} = 36,48$ kN $>$ $30,00$ kN = V_{Ed}

Průrez VYHOVUJE.

Schéma vyztužení



**14.4. PILOTA P3 – piloty pod hlavicemi v řadě B1**

Geometrie Profil piloty: kruhová

RozměryPrůměr $d = 0,60$ mDélka $l = 5,70$ m

Umístění – jako pilota P1

Zatížení

Číslo	Zatížení		Název	Typ	N [kN]	M _x [kNm]	M _y [kNm]	H _x [kN]	H _y [kN]
	nové	změna							
1	Ano		řada B1 pilota P3 - max Nd	Návrhové	480,00	5,20	0,00	20,00	6,45
2	Ano		řada B1 pilota P3 max Nk	Užitné	308,00	3,50	0,00	13,00	4,50
3	Ano		řada B1 - pilota P3 min Nd	Návrhové	-160,00	5,20	0,00	20,00	6,50
4	Ano		řada B1 - pilota P3 min Nk	Užitné	-120,00	3,50	0,00	13,00	4,50

Posouzení únosnosti – ČSN 73 1002**Posouzení svislé únosnosti piloty podle teorie MS - mezivýsledky**

Výpočet únosnosti v patě:

Součinitel únosnosti $N_c = 10,98$ Součinitel únosnosti $N_b = 1,18$ Součinitel únosnosti $N_d = 3,94$ Součinitel únosnosti $K1 = 1,00$ Výpočtová únosnost na patě piloty $R_{bd} = 872,92$ kPaPlocha příčného řezu piloty $A_p = 2,83E-01$ m²Únosnost na plášti piloty: Zkrácení účinné délky piloty $L_p = 0,37$ m

Hloubka [m]	Mocnost [m]	φ_d [°]	c_{ud} [kPa]	γ [kN/m ³]	γ_{R2} [-]	f_s [kPa]	R_{si} [kN]
0,80	0,80	19,00	12,00	21,00	1,00	20,68	28,35
1,50	0,70	24,50	14,00	20,00	1,00	40,16	48,17
1,70	0,20	15,00	10,00	20,00	1,00	27,79	9,52
2,50	0,80	24,50	14,00	20,00	1,00	48,82	66,92
4,00	1,50	15,00	10,00	20,00	1,00	36,63	94,16
4,80	0,80	24,50	14,00	20,00	1,00	69,78	95,66
5,33	0,53	15,00	10,00	20,00	1,00	46,35	41,76

Únosnost tažené piloty:

Hloubka [m]	Mocnost [m]	φ_d [°]	c_{ud} [kPa]	γ [kN/m ³]	γ_{R2} [-]	f_s [kPa]	R_{si} [kN]
0,80	0,80	19,00	12,00	21,00	1,00	20,68	31,18
1,50	0,70	24,50	14,00	20,00	1,00	40,16	52,99
1,70	0,20	15,00	10,00	20,00	1,00	27,79	10,48
2,50	0,80	24,50	14,00	20,00	1,00	48,82	73,62
4,00	1,50	15,00	10,00	20,00	1,00	36,63	103,58
4,80	0,80	24,50	14,00	20,00	1,00	69,78	105,23
5,70	0,90	15,00	10,00	20,00	1,00	47,35	80,33

Posouzení svislé únosnosti piloty podle teorie MS - výsledky

Výpočet proveden s automatickým výběrem nejnejpříznivějších zatěžovacích stavů.

Posouzení tlačené piloty:

Nejnejpříznivější zatěžovací stav číslo 1. (řada B1 pilota P3 - max Nd)

Únosnost piloty na plášti $R_s = 384,55$ kNÚnosnost piloty v patě $R_b = 224,38$ kNÚnosnost piloty $R_c = 608,92$ kNExtrémní svislá síla $V_d = 480,00$ kN $R_c = 608,92$ kN > $480,00$ kN = V_d **Únosnost tlačené piloty VYHOVUJE**

Posouzení tažené piloty:

Nejnejpříznivější zatěžovací stav číslo 3. (řada B1 - pilota P3 min Nd)

Únosnost tažené piloty $R_{sdt} = 397,74$ kNVlastní hmotnost piloty $w_p = 37,07$ kNExtrémní tahová síla $V_d = 122,93$ kN $R_c = 397,74$ kN > $122,93$ kN = V_d **Únosnost tažené piloty VYHOVUJE****Svislá únosnost piloty VYHOVUJE**



Posouzení sedání – výpočet zatěžovací křivky

Výpočet zatěžovací křivky piloty - vstupní data

Vrstva číslo	Počátek [m]	Konec [m]	Mocnost [m]	E_s [MPa]	Součinitel a	Součinitel b
1	0,00	1,00	1,00	6,90	46,00	20,00
2	1,00	2,40	1,40	7,31	46,00	20,00
3	2,40	3,10	0,70	9,48	46,00	20,00
4	3,10	3,30	0,20	22,92	46,00	20,00
5	3,30	4,10	0,80	10,88	46,00	20,00
6	4,10	5,60	1,50	12,31	46,00	20,00
7	5,60	6,40	0,80	13,10	46,00	20,00
8	6,40	7,30	0,90	13,70	46,00	20,00

Uvažovat zatížení : užité

Součinitel vlivu ochrany dřívku $m_2 = 1,00$

Limitní sedání piloty $s_{lim} = 25,0$ mm

Regresní součinitel $e = 198,00$

Regresní součinitel $f = 150,00$

Výpočet zatěžovací křivky piloty - mezivýsledek

Mezní síla na plášti piloty $R_{sy} = 322,10$ kN

Velikost napětí na patě při R_{sy} $q_0 = 185,67$ kPa

Průměrné plášťové tření $q_s = 42,83$ kPa

Průměrný sečnový modul deformace $E_s = 11,76$ MPa

Součinitel přenosu zatížení do paty $\beta = 0,08$

Součinitel vlivu tuhosti piloty $R_k = 1,00$

Příčinkové součinitele sedání :

Součinitel vlivu nestlačitelné vrstvy $R_h = 1,00$

Základni - závislý na poměru l/d $l_0 = 0,15$

Body zatěžovací křivky

Sednutí [mm]	Zatížení [kN]						
0,0	0,00	7,5	346,11	15,0	377,97	22,5	405,90
2,5	199,83	10,0	359,34	17,5	387,28	25,0	415,21
5,0	282,60	12,5	368,65	20,0	396,59		

Výpočet zatěžovací křivky piloty - výsledky

Zatížení na mezi mobilizace plášť.tření $R_{yu} = 350,79$ kN

Velikost sedání odpovídající síle R_{yu} $s_y = 7,7$ mm

Únosnosti odpovídající sednutí 25,0 mm :

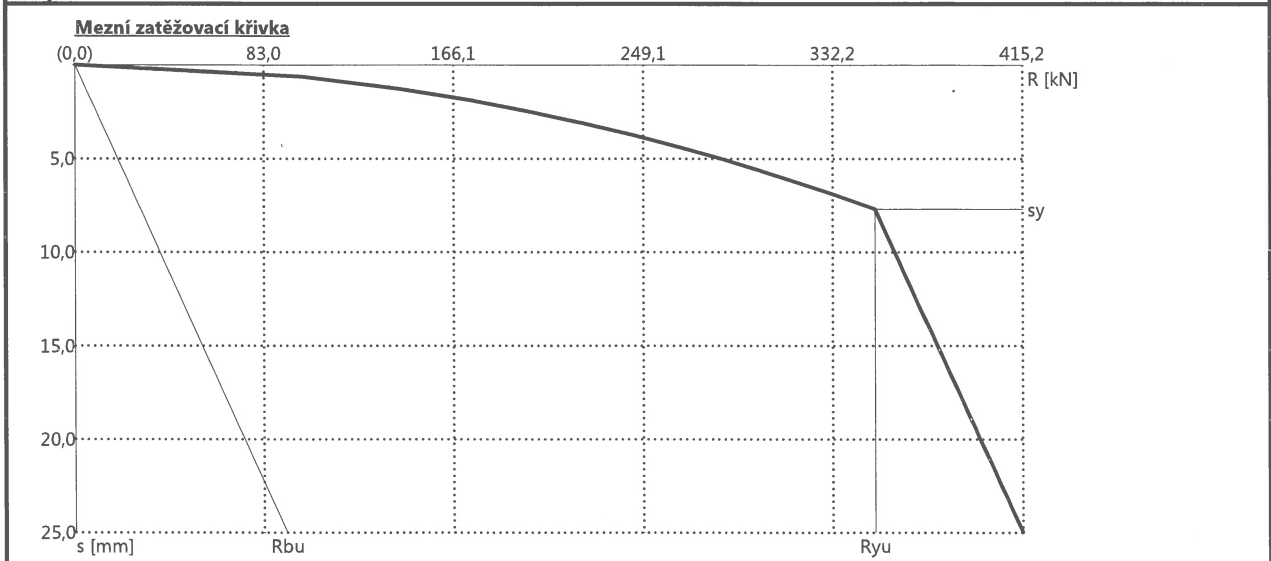
Únosnost paty $R_{bu} = 93,11$ kN

Celková únosnost $R_c = 415,21$ kN

Pro zatížení $Q = 308,00$ kN je sednutí piloty 5,9 mm

Název : Sedání Fáze - výpočet : 1 - 1

Popis : Charakteristické zatížení





STATICKÝ VÝPOČET

BETONOVÉ KONSTRUKCE
DOKUMENTACE PRO PROVEDENÍ STAVBY

AKCE:
ROZŠÍŘENÍ INFRASTRUKTURY
CENTRA INTEMAC

ARCH. Č.: 1917-02

Strana: 148

Uvažovat zatížení : návrhové

Body zatěžovací křivky

Sednutí [mm]	Zatížení [kN]						
0,0	0,00	7,5	413,68	15,0	516,01	22,5	543,94
2,5	238,84	10,0	477,68	17,5	525,32	25,0	553,25
5,0	337,77	12,5	506,70	20,0	534,63		

Výpočet zatěžovací křivky piloty - výsledek

Zatížení na mezi mobilizace plášť.tření $R_{yu} = 501,13$ kN

Velikost sedání odpovídající síle R_{yu} $s_y = 11,0$ mm

Únosnosti odpovídající sednutí 25,0 mm :

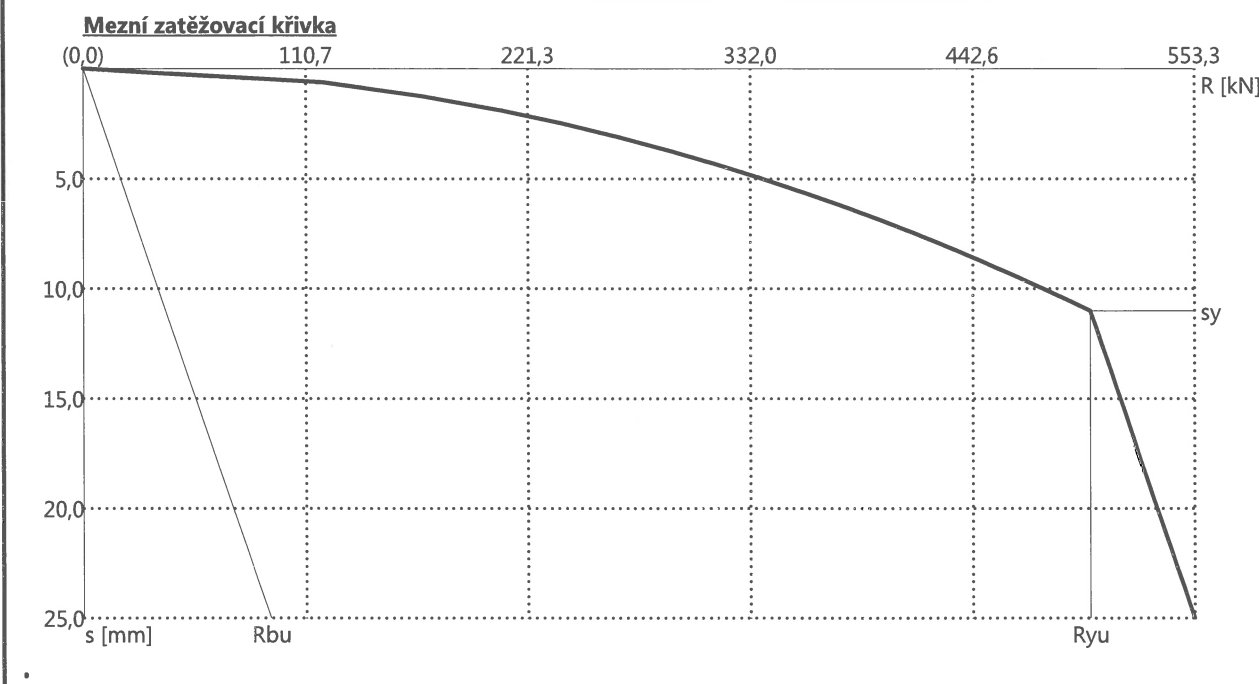
Únosnost paty $R_{bu} = 93,11$ kN

Celková únosnost $R_c = 553,25$ kN

Pro zatížení $Q = 480,00$ kN je sednutí piloty 10,1 mm

Název : Sedání Fáze - výpočet : 1 - 2

Popis : Návrhové zatížení



Posouzení vodorovné únosnosti

Vstupní data pro výpočet vodorovné únosnosti piloty

Výpočet proveden s automatickým výběrem nejnejpříznivějších zatěžovacích stavů.

Vodorovná únosnost posouzena ve směru maximálního účinku zatížení.

Průběhy vnitřních sil a deformace piloty

Průběh deformací a vnitřních sil po pilotě - maximální hodnoty:

Vzdál. [m]	Modul k [MN/m ³]	Deformace [mm]	Pootoč. [mRad]	Napětí [kPa]	Pos.síla [kN]	Moment [kNm]
0.00	0.00	-0.68	0.82	32.79	-4.50	5.20
0.60	12.39	-0.54	0.80	26.74	-1.77	10.89
1.40	6.90	-0.37	0.75	10.62	0.18	15.57
1.99	6.90	-0.25	0.70	7.64	1.52	15.94
2.02	6.90	-0.25	0.69	7.51	1.56	15.91
2.25	6.90	-0.21	0.67	6.43	2.22	15.51
2.28	6.90	-0.20	0.67	6.30	2.33	15.44
2.31	6.90	-0.20	0.67	6.17	2.43	15.38
2.54	10.86	-0.16	0.65	8.07	3.28	14.73



STATICKÝ VÝPOČET

BETONOVÉ KONSTRUKCE
DOKUMENTACE PRO PROVEDNÍ STVBA

AKCE:
**ROZŠÍŘENÍ INFRASTRUKTURY
CENTRA INTEMAC**

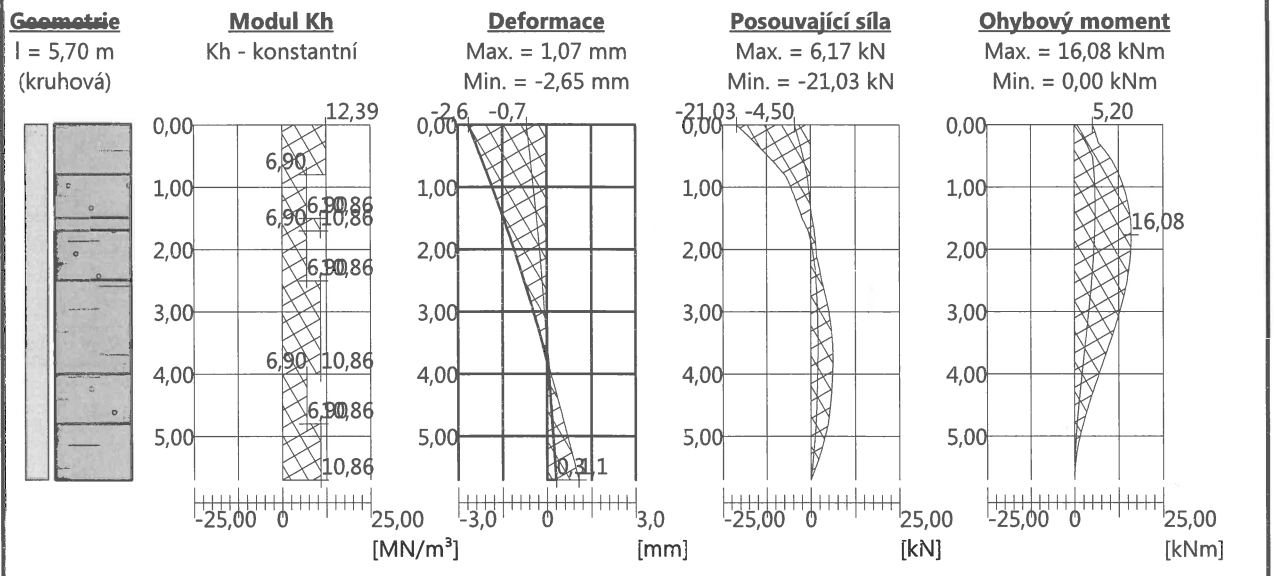
ARCH. Č.: 1917-02

Strana: 149

Vzdál. [m]	Modul k [MN/m ³]	Deformace [mm]	Pootoč. [mRad]	Napětí [kPa]	Pos.síla [kN]	Moment [kNm]
3.39	10.86	-0.02	0.59	2.33	5.92	10.58
3.42	10.86	-0.01	0.59	2.16	5.96	10.41
3.73	10.86	0.05	0.58	0.31	6.17	8.50
3.96	10.86	0.12	0.57	-0.65	6.09	7.10
4.59	6.90	0.47	0.55	-1.07	5.32	3.48
4.82	10.86	0.59	0.55	-1.85	4.80	2.32
4.85	10.86	0.61	0.55	-2.08	4.69	2.19
4.87	10.86	0.62	0.55	-2.12	4.57	2.06
5.10	10.86	0.75	0.54	-2.47	3.55	1.13
5.44	10.86	0.93	0.54	-2.98	1.68	0.22
5.67	10.86	1.06	0.54	-3.32	0.20	0.00
5.70	10.86	1.07	0.54	-3.36	0.00	0.00

Název : Vod. únosn.

Fáze - výpočet : 1 - 1



Maximální vnitřní síly a deformace:

Schéma vyztužení

Max.deformace piloty = 2,6 mm
 Max.posouvající síla = 21,03 kN
 Maximální moment = 16,08 kNm

Posouzení na tlak a ohyb

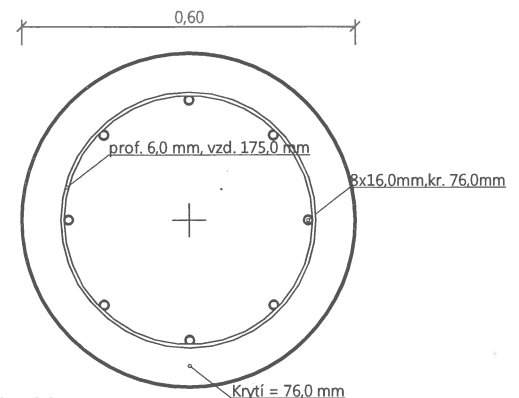
Vyztužení - 8 ks profil 16,0 mm; krytí 76,0 mm
 Typ konstrukce (stupně vyztužení) : pilota
 Stupeň vyztužení $\rho = 0,569 \% > 0,500 \% = \rho_{min}$
 Zatížení : $N_{Ed} = 160,00$ kN (tah) ; $M_{Ed} = 16,08$ kNm
 Únosnost : $N_{Rd} = 498,07$ kN; $M_{Rd} = 50,05$ kNm

Navržená vyztuž piloty VYHOVUJE

Posouzení na smyk

Posouvající síla na mezi únosnosti: $V_{Rd} = 59,73$ kN $>$ $21,03$ kN = V_{Ed}

Průřez VYHOVUJE.





14.5. PILOTA P4 – piloty pod sloupy krčku

Geometrie Profil piloty: kruhová

Rozměry

Průměr $d = 0,60$ m

Délka $l = 3,00$ m

Spočtené průřezové charakteristiky – jako předchozí piloty

Umístění

Vysazení $h = -0,90$ m

Hloubka upraveného terénu $h_z = 0,00$ m

Zatížení

Číslo	Zatížení		Název	Typ	N [kN]	M _x [kNm]	M _y [kNm]	H _x [kN]	H _y [kN]
	nové	změna							
1	Ano		řada C1 pilota P4 - max Nd	Návrhové	205,00	0,00	0,00	12,00	12,00
2	Ano		řada c1 pilota P4 max Nk	Užitné	160,00	0,00	0,00	9,00	9,00

Posouzení únosnosti – ČSN 73 1002

Posouzení svislé únosnosti piloty podle teorie MS - mezivýsledky

Výpočet únosnosti v patě:

Součinitel únosnosti $N_c = 20,01$ Součinitel únosnosti $N_b = 6,23$

Součinitel únosnosti $N_d = 10,12$ Součinitel únosnosti $K_1 = 1,00$

Výpočtová únosnost na patě piloty $R_{bd} = 1513,02$ kPa

Plocha příčného řezu piloty $A_p = 2,83E-01$ m²

Únosnost na plášti piloty: Zkrácení účinné délky piloty $L_p = 0,70$ m

Hloubka [m]	Mocnost [m]	φ_d [°]	c_{ud} [kPa]	γ [kN/m ³]	γ_{R2} [-]	f_s [kPa]	R_{si} [kN]
0,10	0,10	19,00	12,00	21,00	1,00	15,62	2,68
1,50	1,40	19,00	12,00	21,00	1,00	24,29	58,28
2,20	0,70	24,50	14,00	20,00	1,00	40,16	48,17
2,30	0,10	15,00	10,00	20,00	1,00	27,52	4,64

Posouzení svislé únosnosti piloty podle teorie MS - výsledky

Výpočet proveden s automatickým výběrem nejnejpříznivějších zatěžovacích stavů.

Posouzení tlačené piloty:

Nejnejpříznivější zatěžovací stav číslo 1. (řada C1 pilota P4 - max Nd)

Únosnost piloty na plášti $R_s = 113,76$ kN Únosnost piloty v patě $R_b = 388,91$ kN

Únosnost piloty $R_c = 502,67$ kN Extrémní svislá síla $V_d = 205,00$ kN

$R_c = 502,67$ kN > $205,00$ kN = V_d

Svislá únosnost piloty VYHOVUJE

Posouzení sedání – výpočet zatěžovací křivky

Výpočet zatěžovací křivky piloty - vstupní data

Vrstva číslo	Počátek [m]	Konec [m]	Mocnost [m]	E_s [MPa]	Součinitel a	Součinitel b
1	0,00	1,00	1,00	6,90	46,00	20,00
2	1,00	2,40	1,40	6,90	46,00	20,00
3	2,40	3,10	0,70	9,48	46,00	20,00
4	3,10	3,30	0,20	10,25	46,00	20,00
5	3,30	3,90	0,60	10,44	46,00	20,00

Uvažovat zatížení : užitné

Součinitel vlivu ochrany dřívku $m_2 = 1,00$

Regresní součinitel $e = 198,00$

Limitní sedání piloty $s_{lim} = 25,0$ mm

Regresní součinitel $f = 150,00$

Výpočet zatěžovací křivky piloty - mezivýsledky

Mezní síla na plášti piloty $R_{sy} = 159,72$ kN

Velikost napětí na patě při R_{sy} $q_0 = 174,92$ kPa

Průměrné plášťové tření $q_s = 40,35$ kPa

Průměrný sečnový modul deformace $E_s = 8,43$ MPa

Součinitel přenosu zatížení do paty $\beta = 0,14$



STATICKÝ VÝPOČET

BETONOVÉ KONSTRUKCE
DOKUMENTACE PRO PROVEDNÍ STVBA

AKCE:
**ROZŠÍŘENÍ INFRASTRUKTURY
CENTRA INTEMAC**

ARCH. Č.: 1917-02

Strana: **151**

Příčinkové součinitele sedání :

Základni - závislý na poměru l/d $l_0 = 0,20$

Součinitel vlivu tuhosti piloty $R_k = 1,00$

Součinitel vlivu nestlačitelné vrstvy $R_h = 1,00$

Body zatěžovací křivky

Sednutí [mm]	Zatížení [kN]						
0,0	0,00	7,5	186,84	15,0	213,96	22,5	241,07
2,5	108,57	10,0	195,88	17,5	222,99	25,0	250,11
5,0	153,54	12,5	204,92	20,0	232,03		

Výpočet zatěžovací křivky piloty - výsledky

Zatížení na mezi mobilizace pláště.tření $R_{yu} = 186,35$ kN

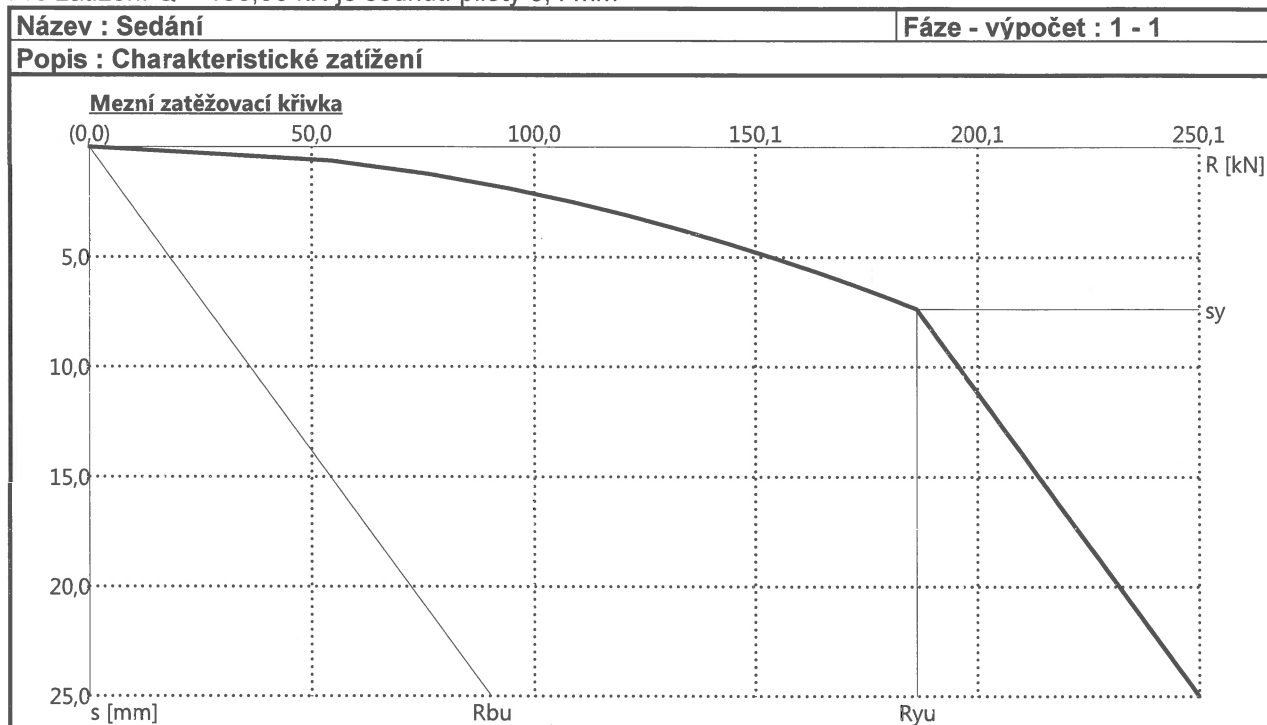
Velikost sedání odpovídající síle R_{yu} $s_y = 7,4$ mm

Únosnosti odpovídající sednutí 25,0 mm :

Únosnost paty $R_{bu} = 90,39$ kN

Celková únosnost $R_c = 250,11$ kN

Pro zatížení $Q = 160,00$ kN je sednutí piloty 5,4 mm



Uvažovat zatížení : návrhové

Body zatěžovací křivky

Sednutí [mm]	Zatížení [kN]
0,0	0,00
2,5	129,76
5,0	183,51
7,5	224,76

Sednutí [mm]	Zatížení [kN]
10,0	259,53
12,5	273,37
15,0	282,41
17,5	291,45

Sednutí [mm]	Zatížení [kN]
20,0	300,49
22,5	309,52
25,0	318,56

Výpočet zatěžovací křivky piloty - výsledky

Zatížení na mezi mobilizace pláště.tření $R_{yu} = 266,22$ kN

Velikost sedání odpovídající síle R_{yu} $s_y = 10,5$ mm

Únosnosti odpovídající sednutí 25,0 mm :

Únosnost paty $R_{bu} = 90,39$ kN

Celková únosnost

$R_c = 318,56$ kN

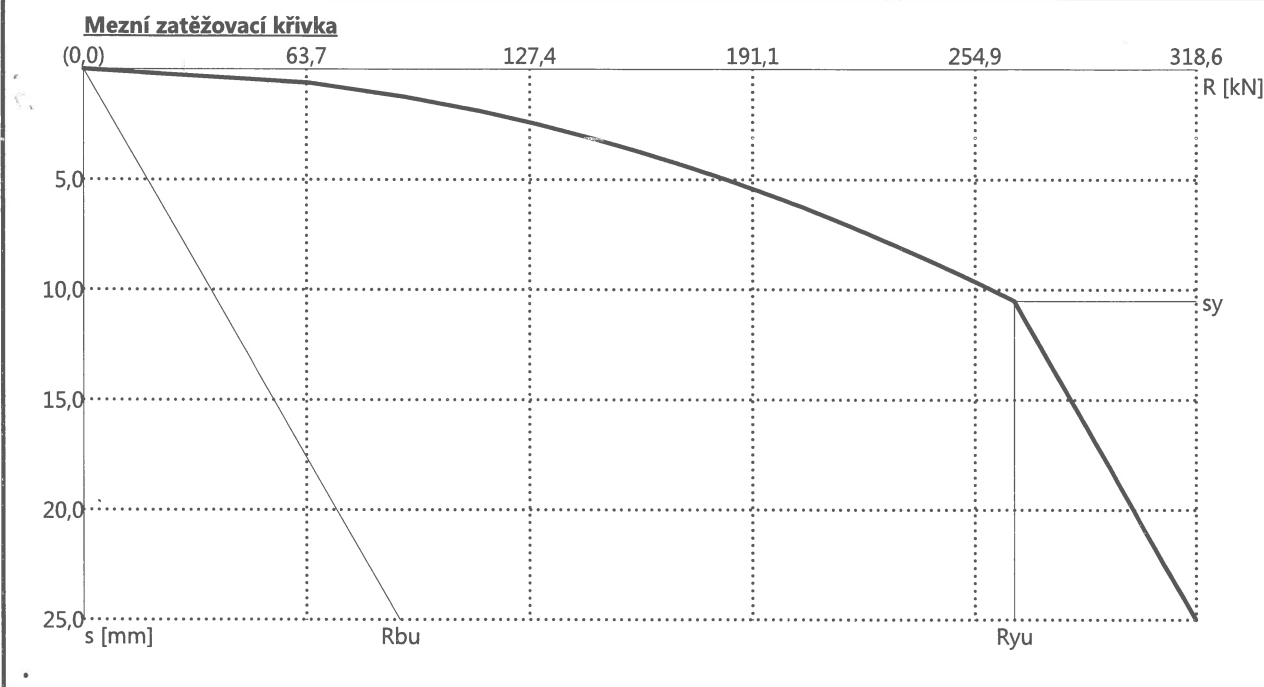
Pro zatížení $Q = 205,00$ kN je sednutí piloty 6,2 mm



Název : Sedání

Fáze - výpočet : 1 - 2

Popis : Návrhové zatížení

**Posouzení vodorovné únosnosti****Vstupní data pro výpočet vodorovné únosnosti piloty**

Výpočet proveden s automatickým výběrem nejnepříznivějších zatěžovacích stavů.

Vodorovná únosnost posouzena ve směru maximálního účinku zatížení.

Průběhy vnitřních sil a deformace piloty

Průběh deformací a vnitřních sil po pilotě - maximální hodnoty:

Vzdál. [m]	Modul k [MN/m ³]	Deformace [mm]	Pootoč. [mRad]	Napětí [kPa]	Pos.síla [kN]	Moment [kNm]
0.00	0.00	3.27	1.27	28.69	16.97	0.00
0.12	12.39	3.06	1.27	26.81	14.14	1.32
0.45	12.39	2.47	1.26	21.64	7.36	3.80
0.57	12.39	2.26	1.26	19.76	5.25	4.33
0.60	12.39	2.20	1.26	19.30	4.76	4.44
0.90	12.39	1.67	1.25	14.63	0.44	4.97
1.20	12.39	1.14	1.24	10.00	1.91	4.71
1.50	12.39	0.61	1.24	4.19	3.29	3.91
1.80	6.90	0.09	1.23	0.45	3.60	2.87
2.08	6.90	0.29	1.23	2.79	3.47	1.85
2.40	10.86	0.67	1.23	8.44	2.58	0.87
2.70	6.90	1.04	1.22	10.14	1.52	0.24
2.82	6.90	1.19	1.22	11.57	0.97	0.09
2.85	6.90	1.22	1.22	11.93	0.82	0.06
2.97	6.90	1.37	1.22	13.37	0.17	0.00
3.00	6.90	1.41	1.22	13.72	0.00	0.00

Maximální vnitřní síly a deformace:

Max.deformace piloty = 3,3 mm

Max.posouvající síla = 16,97 kN

Maximální moment = 7,04 kNm

Posouzení na tlak a ohyb

Vyztužení - 8 ks profil 16,0 mm; krytí 76,0 mm

Typ konstrukce (stupně vyztužení) : pilota



STATICKÝ VÝPOČET

BETONOVÉ KONSTRUKCE
DOKUMENTACE PRO PROVEDNÍ STVBA

AKCE:
**ROZŠÍŘENÍ INFRASTRUKTURY
CENTRA INTEMAC**

ARCH. Č.: 1917-02

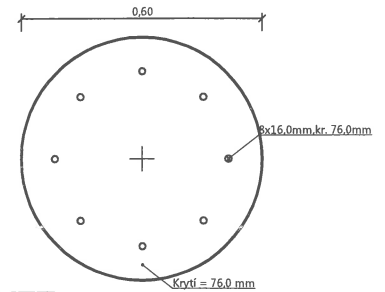
Strana: **153**

Stupeň vyztužení $\rho = 0,569 \% > 0,500 \% = \rho_{\min}$
Zatížení : $N_{Ed} = -205,00 \text{ kN}$ (tlak) ; $M_{Ed} = 7,04 \text{ kNm}$
Únosnost : $N_{Rd} = -3508,06 \text{ kN}$; $M_{Rd} = 120,41 \text{ kNm}$

Navržená výztuž piloty VYHOVUJE
Posouzení na smyk

Posouvající síla na mezi únosnosti: $V_{Rd} = 114,48 \text{ kN} > 16,97 \text{ kN} = V_{Ed}$

Průřez VYHOVUJE.



14.6. PILOTA P5 – piloty pod základovými pasy přístavby VZT

Geometrie Profil piloty: kruhová

Rozměry

Průměr $d = 0,60 \text{ m}$

Délka $l = 3,00 \text{ m}$

Umístění

Vysazení $h = -0,95 \text{ m}$

Hloubka upraveného terénu $h_z = 0,00 \text{ m}$

Zatížení

Číslo	Zatížení		Název	Typ	N [kN]	M _x [kNm]	M _y [kNm]	H _x [kN]	H _y [kN]
	nové	změna							
1	Ano		Přístavek VZT - pilota P5 - max Nd	Návrhové	283,00	0,00	0,00	3,00	15,00
2	Ano		Přístavek VZT - pilota P5 max Nk	Užitné	160,00	0,00	0,00	2,00	11,00

Posouzení únosnosti – ČSN 73 1002

Posouzení svislé únosnosti piloty podle teorie MS - mezivýsledky

Výpočet únosnosti v patě:

Součinitel únosnosti $N_c = 20,01$

Součinitel únosnosti $N_b = 6,23$

Součinitel únosnosti $N_d = 10,12$

Součinitel únosnosti $K1 = 1,00$

Výpočtová únosnost na patě piloty $R_{bd} = 1527,33 \text{ kPa}$

Plocha příčného řezu piloty $A_p = 2,83E-01 \text{ m}^2$

Únosnost na plášti piloty: Zkrácení účinné délky piloty $L_p = 0,70 \text{ m}$

Hloubka [m]	Mocnost [m]	φ_d [°]	c_{ud} [kPa]	γ [kN/m ³]	γ_{R2} [-]	f_s [kPa]	R_{si} [kN]
0,05	0,05	19,00	12,00	21,00	1,00	15,62	1,34
1,45	1,40	19,00	12,00	21,00	1,00	24,29	58,28
2,15	0,70	24,50	14,00	20,00	1,00	40,16	48,17
2,30	0,15	15,00	10,00	20,00	1,00	27,65	7,03

Posouzení svislé únosnosti piloty podle teorie MS - výsledky

Výpočet proveden s automatickým výběrem nejnepříznivějších zatěžovacích stavů.

Posouzení tlačené piloty:

Nejnepříznivější zatěžovací stav číslo 1. (Přístavek VZT - pilota P5 - max Nd)

Únosnost piloty na plášti $R_s = 114,82 \text{ kN}$

Únosnost piloty v patě $R_b = 392,58 \text{ kN}$

Únosnost piloty $R_c = 507,40 \text{ kN}$

Extrémní svislá síla $V_d = 283,00 \text{ kN}$

$R_c = 507,40 \text{ kN} > 283,00 \text{ kN} = V_d$ **Svislá únosnost piloty VYHOVUJE**

Posouzení sedání – výpočet zatěžovací křivky

Výpočet zatěžovací křivky piloty - vstupní data

Vrstva číslo	Počátek [m]	Konec [m]	Mocnost [m]	E_s [MPa]	Součinitel a	Součinitel b
1	0,00	1,00	1,00	6,90	46,00	20,00
2	1,00	2,40	1,40	6,90	46,00	20,00
3	2,40	3,10	0,70	9,48	46,00	20,00
4	3,10	3,30	0,20	10,25	46,00	20,00
5	3,30	3,95	0,65	10,44	46,00	20,00

Uvažovat zatížení : užitné

Součinitel vlivu ochrany dřívku $m_2 = 1,00$

Regresní součinitel $e = 198,00$

Limitní sedání piloty $s_{lim} = 25,0 \text{ mm}$

Regresní součinitel $f = 150,00$



Výpočet zatěžovací křivky piloty - mezivýsledky

Mezní síla na plášti piloty $R_{sy} = 160,38 \text{ kN}$
 Velikost napětí na patě při R_{sy} $q_0 = 175,22 \text{ kPa}$
 Průměrné plášťové tření $q_s = 40,52 \text{ kPa}$
 Průměrný sečnový modul deformace $E_s = 8,49 \text{ MPa}$
 Součinitel přenosu zatížení do paty $\beta = 0,14$
 Příčinkové součinitele sedání :
 Základni - závislý na poměru l/d $l_0 = 0,20$
 Součinitel vlivu tuhosti piloty $R_k = 1,00$ Součinitel vlivu nestlačitelné vrstvy $R_h = 1,00$

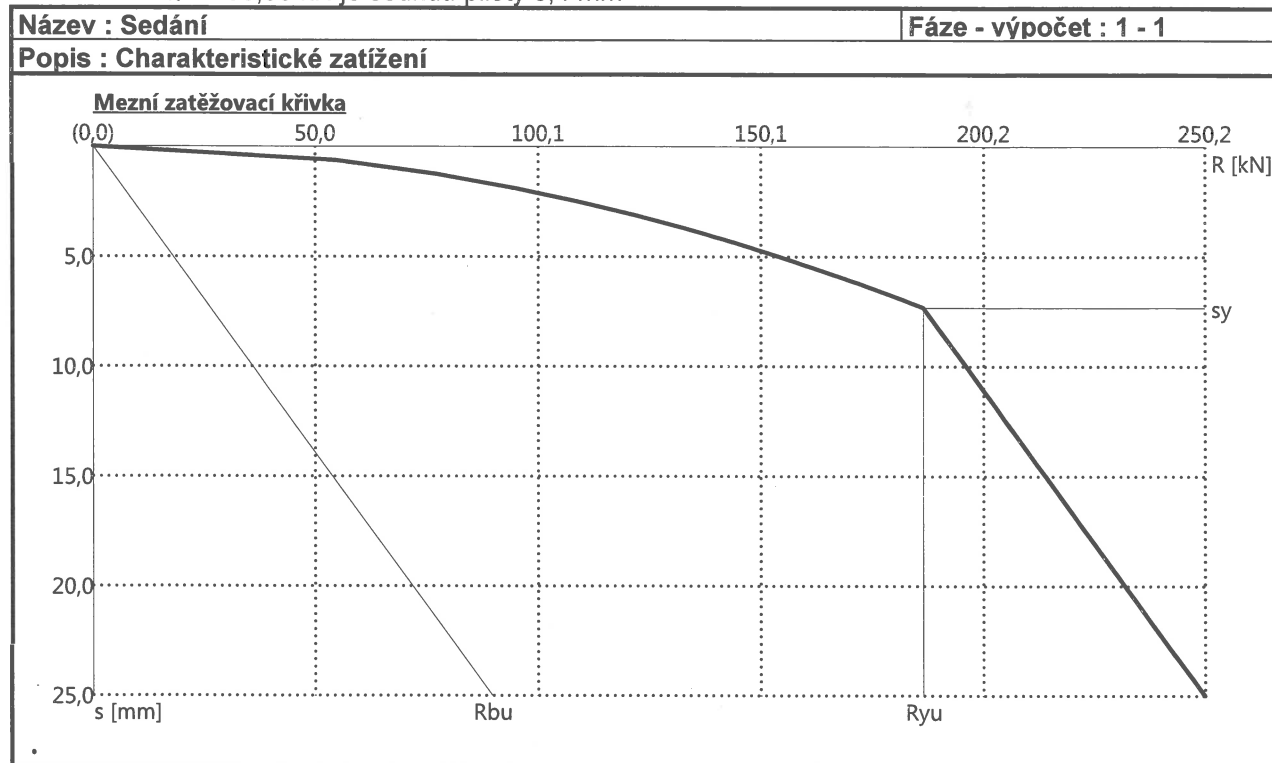
Body zatěžovací křivky

Sednutí [mm]	Zatížení [kN]						
0,0	0,00	7,5	187,33	15,0	214,28	22,5	241,24
2,5	109,05	10,0	196,31	17,5	223,27	25,0	250,22
5,0	154,22	12,5	205,30	20,0	232,25		

Výpočet zatěžovací křivky piloty - výsledek

Zatížení na mezi mobilizace plášť.tření $R_{yu} = 186,71 \text{ kN}$
 Velikost sedání odpovídající síle R_{yu} $s_y = 7,3 \text{ mm}$
 Únosnosti odpovídající sednutí 25,0 mm :
 Únosnost paty $R_{bu} = 89,85 \text{ kN}$ Celková únosnost $R_c = 250,22 \text{ kN}$

Pro zatížení $Q = 160,00 \text{ kN}$ je sednutí piloty 5,4 mm



Uvažovat zatížení : návrhové

Body zatěžovací křivky

Sednutí [mm]	Zatížení [kN]						
0,0	0,00	7,5	225,76	15,0	283,02	22,5	309,97
2,5	130,34	10,0	260,68	17,5	292,00	25,0	318,95
5,0	184,33	12,5	274,03	20,0	300,99		

Výpočet zatěžovací křivky piloty - výsledek

Zatížení na mezi mobilizace plášť.tření $R_{yu} = 266,73 \text{ kN}$



Velikost sedání odpovídající síle R_{yu} $s_y = 10,5$ mm

Únosnosti odpovídající sednutí 25,0 mm :

Únosnost paty $R_{bu} = 89,85$ kN

Celková únosnost

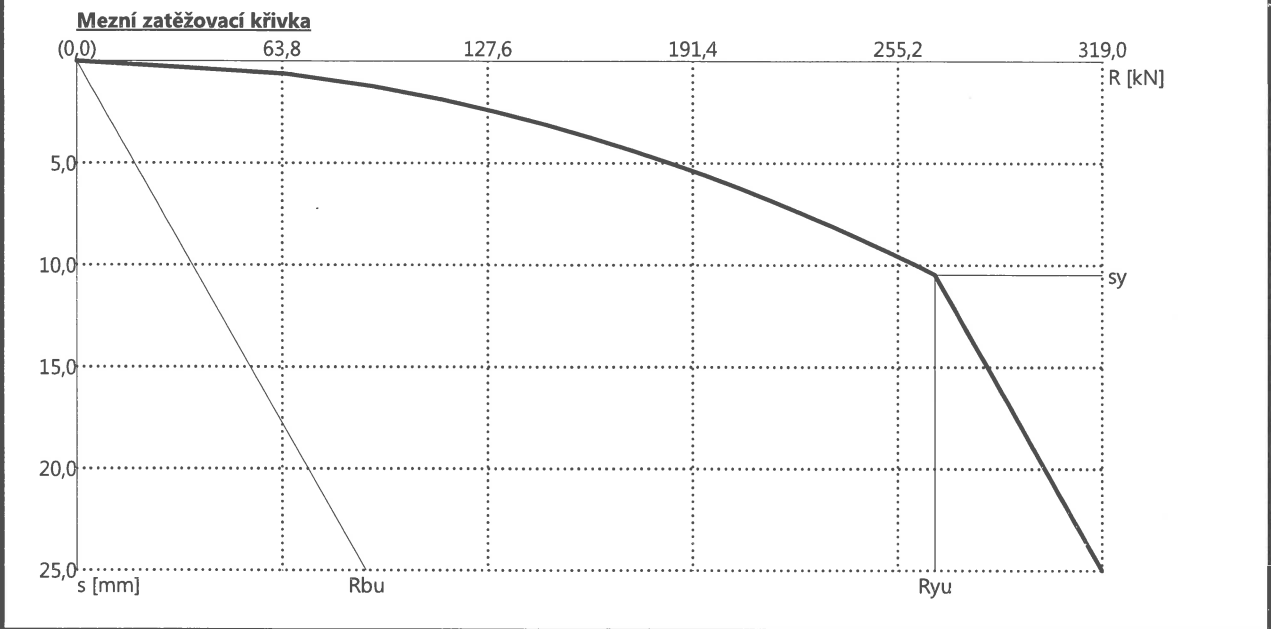
$R_c = 318,95$ kN

Pro zatížení $Q = 283,00$ kN je sednutí piloty 15,0 mm

Název : Sedání

Fáze - výpočet : 1 - 2

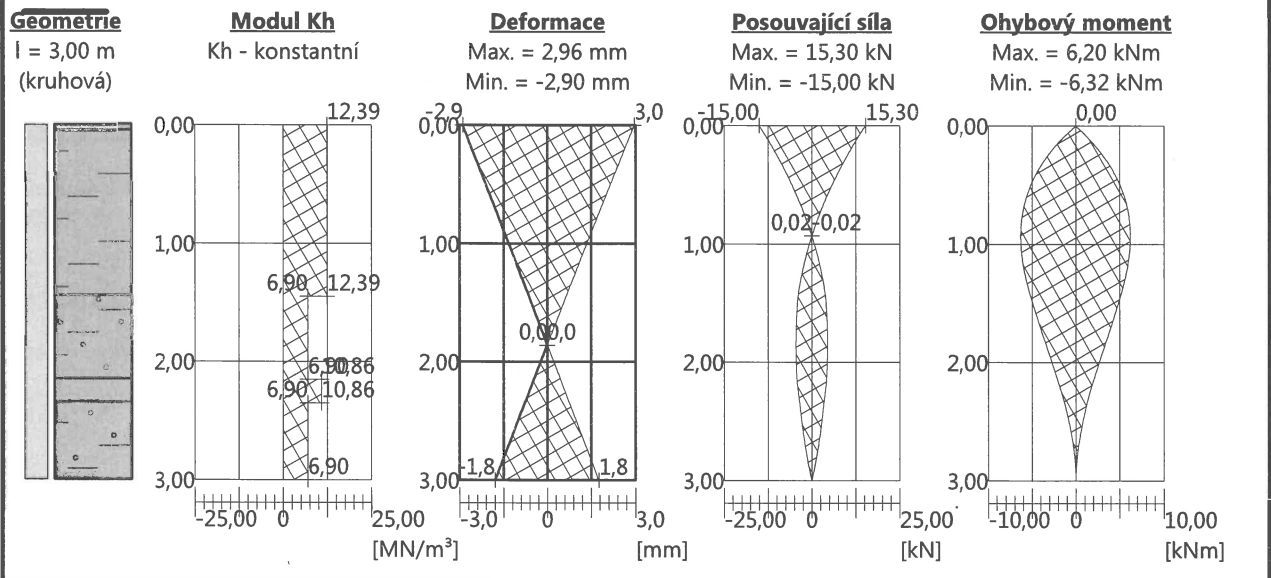
Popis : Návrhové zatížení



Posouzení vodorovné únosnosti

Název : Vod. únosn.

Fáze - výpočet : 1 - 1



Maximální vnitřní síly a deformace:

Max.deformace piloty = 3,0 mm

Max.posouvající síla = 15,30 kN

Maximální moment = 6,32 kNm

Posouzení na tlak a ohyb

Vyztužení - 8 ks profil 16,0 mm; krytí 76,0 mm

Typ konstrukce (stupně vyztužení) : pilota

Stupeň vyztužení $\rho = 0,569$ % > 0,500 % = ρ_{min}

Zatížení : $N_{Ed} = -283,00$ kN (tlak) ; $M_{Ed} = 6,32$ kNm

Únosnost : $N_{Rd} = -3689,17$ kN; $M_{Rd} = 82,41$ kNm

Navržená výztuž piloty VYHOVUJE



14.7. PILOTA P6 – piloty pod základovými pasy přístavby VZT

Geometrie Profil piloty: kruhová

Rozměry

Průměr $d = 0,60 \text{ m}$

Délka $l = 4,50 \text{ m}$

Umístění

Vysazení $h = -0,95 \text{ m}$

Hloubka upraveného terénu $h_z = 0,00 \text{ m}$

Zatížení

Číslo	Zatížení		Název	Typ	N [kN]	M _x [kNm]	M _y [kNm]	H _x [kN]	H _y [kN]
	nové	změna							
1	Ano		Přístavek VZT - pilota P6 - max Nd	Návrhové	355,00	0,00	0,00	2,00	2,00
2	Ano		Přístavek VZT - pilota P6 max Nk	Užitné	250,00	0,00	0,00	2,00	2,00

Posouzení únosnosti – ČSN 73 1002

Posouzení svislé únosnosti piloty podle teorie MS - mezivýsledky

Výpočet únosnosti v patě:

Součinitel únosnosti $N_c = 10,98$ Součinitel únosnosti $N_b = 1,18$

Součinitel únosnosti $N_d = 3,94$ Součinitel únosnosti $K_1 = 1,00$

Výpočtová únosnost na patě piloty $R_{bd} = 689,36 \text{ kPa}$

Plocha příčného řezu piloty $A_p = 2,83E-01 \text{ m}^2$

Únosnost na plášti piloty: Zkrácení účinné délky piloty $L_p = 0,37 \text{ m}$

Hloubka [m]	Mocnost [m]	Φ_d [°]	c_{ud} [kPa]	γ [kN/m ³]	γ_{R2} [-]	f_s [kPa]	R_{si} [kN]
0,05	0,05	19,00	12,00	21,00	1,00	15,62	1,34
1,45	1,40	19,00	12,00	21,00	1,00	24,29	58,28
2,15	0,70	24,50	14,00	20,00	1,00	40,16	48,17
2,35	0,20	15,00	10,00	20,00	1,00	27,79	9,52
3,15	0,80	24,50	14,00	20,00	1,00	48,82	66,92
4,13	0,98	15,00	10,00	20,00	1,00	35,23	58,90

Posouzení svislé únosnosti piloty podle teorie MS - výsledky

Výpočet proveden s automatickým výběrem nejnepříznivějších zatěžovacích stavů.

Posouzení tlačené piloty:

Nejnepříznivější zatěžovací stav číslo 1. (Přístavek VZT - pilota P6 - max Nd)

Únosnost piloty na plášti $R_s = 243,14 \text{ kN}$ Únosnost piloty v patě $R_b = 177,19 \text{ kN}$

Únosnost piloty $R_c = 420,33 \text{ kN}$ Extrémní svislá síla $V_d = 355,00 \text{ kN}$

$R_c = 420,33 \text{ kN} > 355,00 \text{ kN} = V_d$

Svislá únosnost piloty VYHOVUJE

Posouzení sedání

Výpočet zatěžovací křivky piloty - vstupní data

Vrstva číslo	Počátek [m]	Konec [m]	Mocnost [m]	E_s [MPa]	Součinitel a	Součinitel b
1	0,00	1,00	1,00	6,90	46,00	20,00
2	1,00	2,40	1,40	7,31	46,00	20,00
3	2,40	3,10	0,70	9,48	46,00	20,00
4	3,10	3,30	0,20	10,25	46,00	20,00
5	3,30	4,10	0,80	10,88	46,00	20,00
6	4,10	5,45	1,35	30,50	97,00	108,00

Uvažovat zatížení : užitné

Součinitel vlivu ochrany dřívku $m_2 = 1,00$

Regresní součinitel $e = 198,00$

Limitní sedání piloty $s_{lim} = 25,0 \text{ mm}$

Regresní součinitel $f = 150,00$

Výpočet zatěžovací křivky piloty - mezivýsledky

Mezní síla na plášti piloty

$R_{sy} = 317,51 \text{ kN}$



STATICKÝ VÝPOČET

BETONOVÉ KONSTRUKCE
DOKUMENTACE PRO PROVEDNÍ STVBA

AKCE:
ROZŠÍŘENÍ INFRASTRUKTURY
CENTRA INTEMAC

ARCH. Č.: 1917-02

Strana: **157**

Velikost napětí na patě při R_{sy} $q_0 = 181,49$ kPa
 Průměrné plášťové tření $q_s = 53,47$ kPa
 Průměrný sečnový modul deformace $E_s = 15,37$ MPa
 Součinitel přenosu zatížení do paty $\beta = 0,09$
 Příčinkové součinitele sedání :
 Základni - závislý na poměru l/d $l_0 = 0,18$
 Součinitel vlivu tuhosti piloty $R_k = 1,00$
 Součinitel vlivu nestlačitelné vrstvy $R_h = 1,00$

Body zatěžovací křivky

Sednutí [mm]	Zatížení [kN]
0,0	0,00
2,5	213,83
5,0	302,40
7,5	351,26

Sednutí [mm]	Zatížení [kN]
10,0	362,51
12,5	373,76
15,0	385,02
17,5	396,27

Sednutí [mm]	Zatížení [kN]
20,0	407,52
22,5	418,77
25,0	430,02

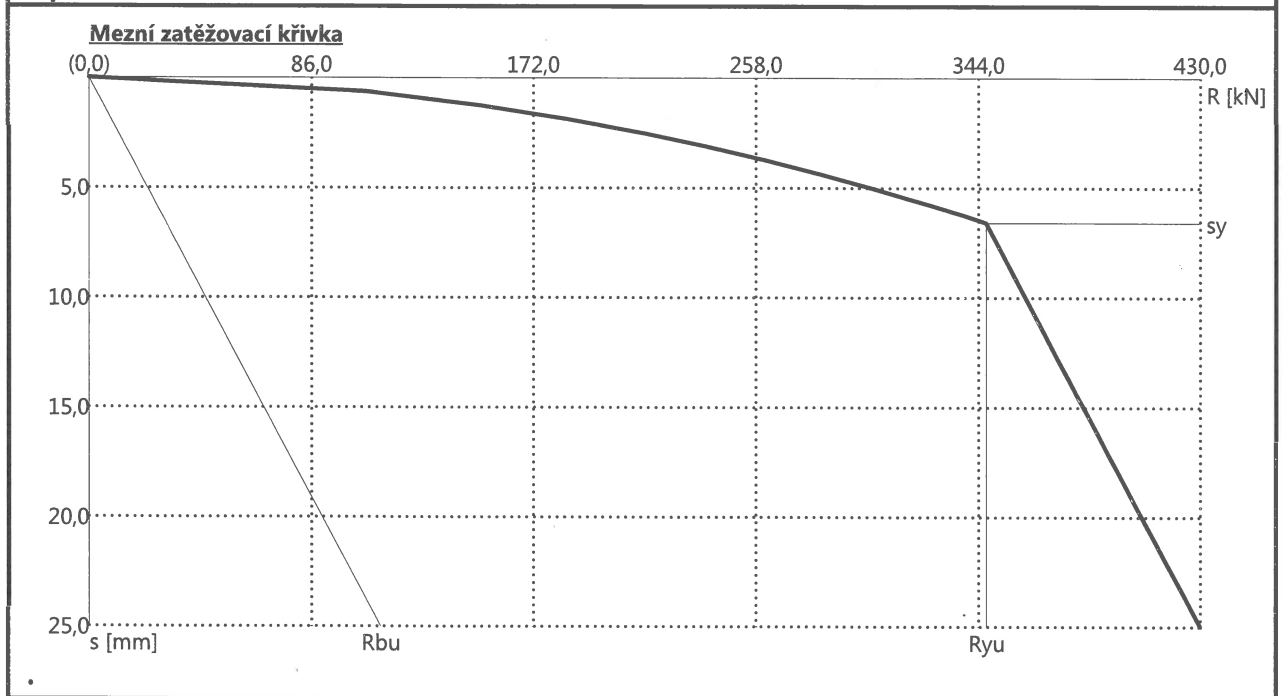
Výpočet zatěžovací křivky piloty - výsledky

Zatížení na mezi mobilizace plášť.tření $R_{yu} = 347,17$ kN
 Velikost sedání odpovídající síle R_{yu} $s_y = 6,6$ mm
 Únosnosti odpovídající sednutí 25,0 mm :
 Únosnost paty $R_{bu} = 112,51$ kN Celková únosnost $R_c = 430,02$ kN
 Pro zatížení $Q = 250,00$ kN je sednutí piloty 3,4 mm

Název : Sedání

Fáze - výpočet : 1 - 1

Popis : Charakteristické zatížení



Uvažovat zatížení : návrhové

Body zatěžovací křivky

Sednutí [mm]	Zatížení [kN]						
0,0	0,00	7,5	369,67	15,0	500,66	22,5	524,20
2,5	213,43	10,0	426,85	17,5	508,51	25,0	532,05
5,0	301,83	12,5	477,24	20,0	516,35		

Výpočet zatěžovací křivky piloty - výsledky

Zatížení na mezi mobilizace plášť.tření $R_{yu} = 495,95$ kN



STATICKÝ VÝPOČET

BETONOVÉ KONSTRUKCE
DOKUMENTACE PRO PROVEDENÍ STAVBY

AKCE:
**ROZŠÍŘENÍ INFRASTRUKTURY
CENTRA INTEMAC**

ARCH. Č.: 1917-02

Strana: 158

Velikost sedání odpovídající síle R_{yu} $s_y = 13,5$ mm

Únosnosti odpovídající sednutí 25,0 mm :

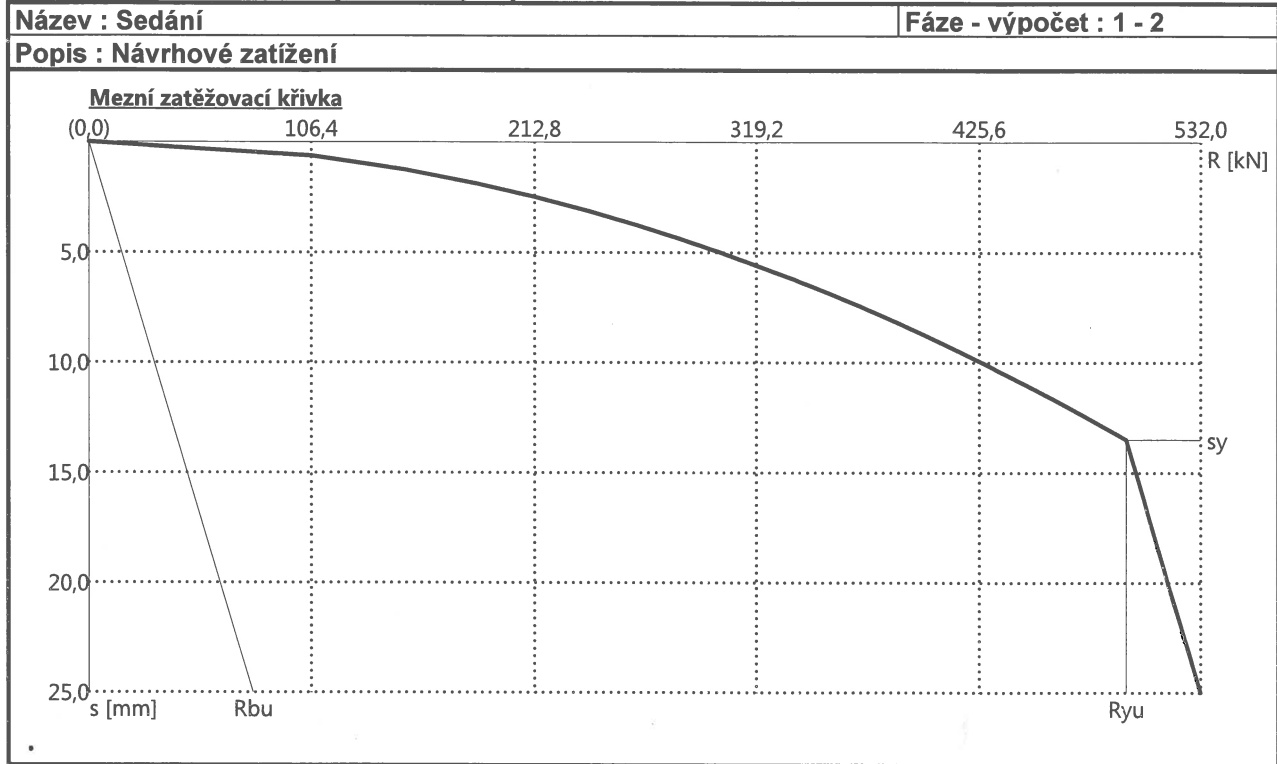
Únosnost paty

$R_{bu} = 78,46$ kN

Celková únosnost

$R_c = 532,05$ kN

Pro zatížení $Q = 355,00$ kN je sednutí piloty 6,9 mm

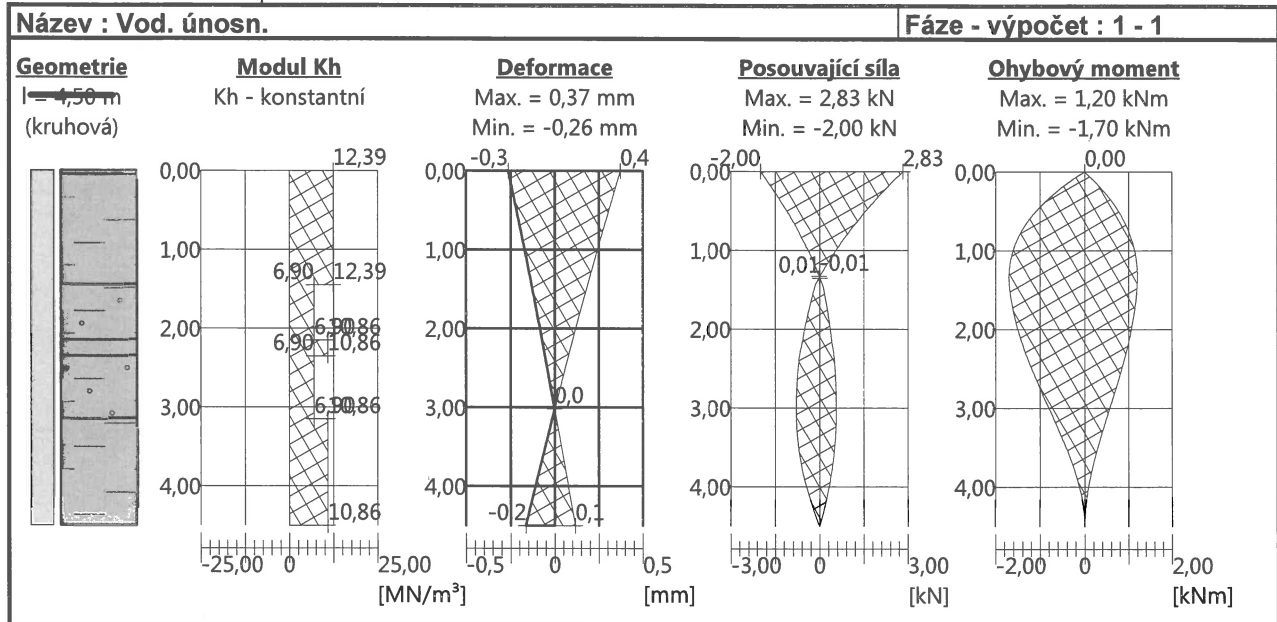


Posouzení vodorovné únosnosti

Vstupní data pro výpočet vodorovné únosnosti piloty

Výpočet proveden s automatickým výběrem nejnepříznivějších zatěžovacích stavů.

Vodorovná únosnost posouzena ve směru maximálního účinku zatížení.



Maximální vnitřní síly a deformace:

Max.deformace piloty = 0,4 mm

Max.posouvající síla = 2,83 kN

Maximální moment = 1,70 kNm

Posouzení na tlak a ohyb – vyhoví výztuž jako iu piloty P6



14.8. PILOTA P7 – piloty pod základovými pasy přístavby VZT

Geometrie Profil piloty: kruhová

Rozměry

Průměr $d = 0,60$ m

Délka $l = 8,50$ m

Umístění

Vysazení $h = -0,95$ m

Hloubka upraveného terénu $h_z = 0,00$ m

Zatížení

Číslo	Zatížení		Název	Typ	N [kN]	M_x [kNm]	M_y [kNm]	H_x [kN]	H_y [kN]
	nové	změna							
1	Ano		Přístavek VZT - pilota P7 - max Nd	Návrhové	702,00	0,00	0,00	10,00	10,00
2	Ano		Přístavek VZT - pilota P7 max Nk	Užitné	495,00	0,00	0,00	10,00	10,00

Posouzení únosnosti – ČSN 73 1002

Posouzení svislé únosnosti piloty podle teorie MS - mezivýsledky

Výpočet únosnosti v patě:

Součinitel únosnosti $N_c = 10,98$

Součinitel únosnosti $N_b = 1,18$

Součinitel únosnosti $N_d = 3,94$

Součinitel únosnosti $K_1 = 1,00$

Výpočtová únosnost na patě piloty $R_{bd} = 1086,25$ kPa

Plocha příčného řezu piloty $A_p = 2,83E-01$ m²

Únosnost na plášti piloty: Zkrácení účinné délky piloty $L_p = 0,37$ m

Hloubka [m]	Mocnost [m]	$\square d$ [°]	cud [kPa]	\square [kN/m ³]	$\square R_2$ [-]	f_s [kPa]	R_{si} [kN]
0,05	0,05	19,00	12,00	21,00	1,00	15,62	1,34
1,45	1,40	19,00	12,00	21,00	1,00	24,29	58,28
2,15	0,70	24,50	14,00	20,00	1,00	40,16	48,17
2,35	0,20	15,00	10,00	20,00	1,00	27,79	9,52
3,15	0,80	24,50	14,00	20,00	1,00	48,82	66,92
4,65	1,50	15,00	10,00	20,00	1,00	36,63	94,16
5,45	0,80	24,50	14,00	20,00	1,00	69,78	95,66
8,05	2,60	15,00	10,00	20,00	1,00	51,91	231,26
8,13	0,08	15,00	10,00	20,00	1,00	59,08	7,67

Posouzení svislé únosnosti piloty podle teorie MS - výsledky

Výpočet proveden s automatickým výběrem nejnepříznivějších zatěžovacích stavů.

Posouzení tlačené piloty:

Nejnepříznivější zatěžovací stav číslo 1. (Přístavek VZT - pilota P7 - max Nd)

Únosnost piloty na plášti $R_s = 612,99$ kN

Únosnost piloty v patě $R_b = 279,21$ kN

Únosnost piloty $R_c = 892,20$ kN

Extrémní svislá síla $V_d = 702,00$ kN

$R_c = 892,20$ kN > $702,00$ kN = V_d **Svislá únosnost piloty VYHOVUJE**

Posouzení sedání

Výpočet zatěžovací křivky piloty - vstupní data

Vrstva číslo	Počátek [m]	Konec [m]	Mocnost [m]	E_s [MPa]	Součinitel a	Součinitel b
1	0,00	1,00	1,00	6,90	46,00	20,00
2	1,00	2,40	1,40	7,31	46,00	20,00
3	2,40	3,10	0,70	9,48	46,00	20,00
4	3,10	3,30	0,20	10,25	46,00	20,00
5	3,30	4,10	0,80	10,88	46,00	20,00
6	4,10	5,60	1,50	12,31	46,00	20,00
7	5,60	6,40	0,80	13,10	46,00	20,00
8	6,40	9,00	2,60	14,12	46,00	20,00
9	9,00	9,45	0,45	42,27	97,00	108,00

Uvažovat zatížení : užitné

Součinitel vlivu ochrany dřívku $m_2 = 1,00$

Regresní součinitel $e = 988,00$

Limitní sedání piloty $s_{lim} = 25,0$ mm

Regresní součinitel $f = 1084,00$

**Výpočet zatěžovací křivky piloty - mezivýsledky**

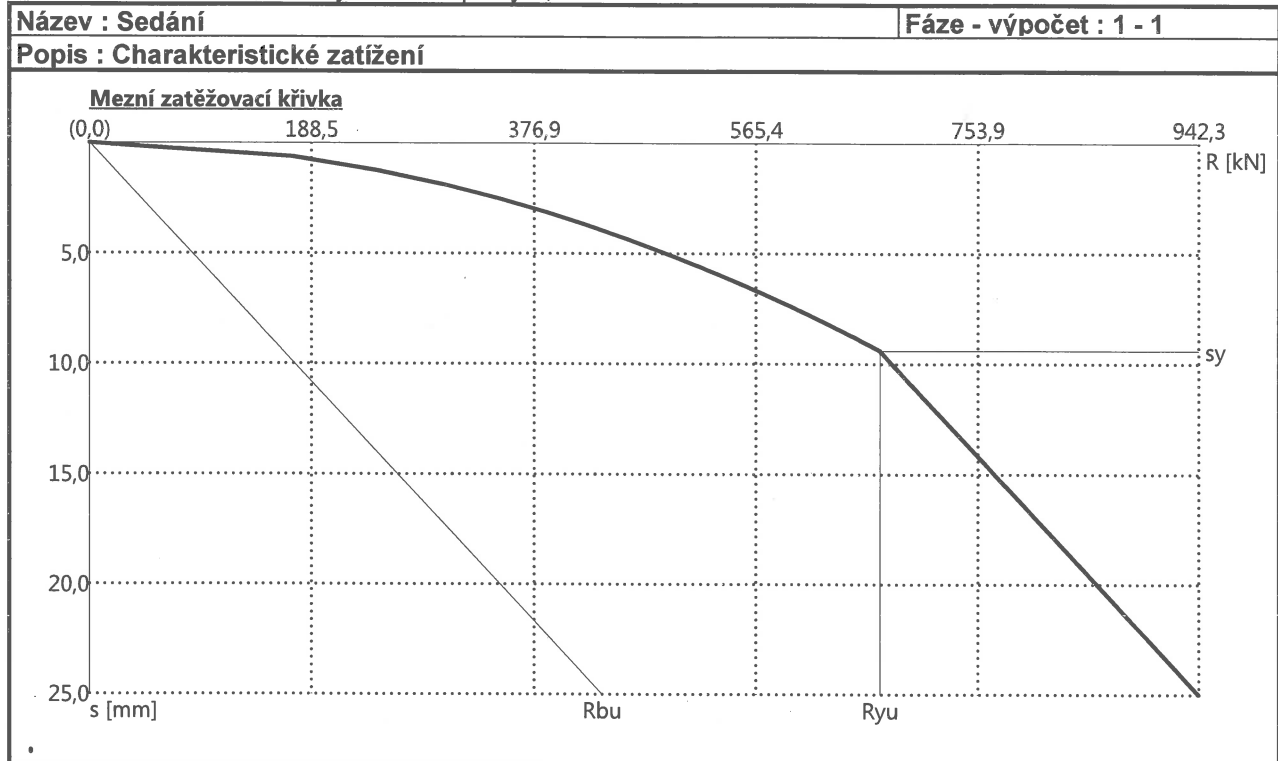
Mezní síla na plášti piloty $R_{sy} = 507,37$ kN
 Velikost napětí na patě při R_{sy} $q_0 = 919,17$ kPa
 Průměrné plášťové tření $q_s = 45,24$ kPa
 Průměrný sečnový modul deformace $E_s = 13,25$ MPa
 Součinitel přenosu zatížení do paty $\beta = 0,24$
 Příčinkové součinitele sedání :
 Základní - závislý na poměru l/d $l_0 = 0,11$
 Součinitel vlivu tuhosti piloty $R_k = 1,03$ Součinitel vlivu nestlačitelné vrstvy $R_h = 1,00$

Body zatěžovací křivky

Sednutí [mm]	Zatížení [kN]						
0,0	0,00	7,5	599,20	15,0	768,34	22,5	898,83
2,5	345,95	10,0	681,35	17,5	811,84	25,0	942,32
5,0	489,24	12,5	724,85	20,0	855,33		

Výpočet zatěžovací křivky piloty - výsledky

Zatížení na mezi mobilizace plášť.tření $R_{yu} = 671,01$ kN
 Velikost sedání odpovídající síle R_{yu} $s_y = 9,4$ mm
 Únosnosti odpovídající sednutí 25,0 mm :
 Únosnost paty $R_{bu} = 434,95$ kN Celková únosnost $R_c = 942,32$ kN
 Pro zatížení $Q = 495,00$ kN je sednutí piloty 5,1 mm



Uvažovat zatížení : návrhové

Body zatěžovací křivky

Sednutí [mm]	Zatížení [kN]
0,0	0,00
2,5	416,17
5,0	588,55
7,5	720,82

Sednutí [mm]	Zatížení [kN]
10,0	832,33
12,5	930,58
15,0	989,18
17,5	1033,24

Sednutí [mm]	Zatížení [kN]
20,0	1077,31
22,5	1121,37
25,0	1165,43



Výpočet zatěžovací křivky piloty - výsledky

Zatížení na mezi mobilizace pláště tření $R_{yu} = 958,58$ kN

Velikost sedání odpovídající síle R_{yu} $s_y = 13,3$ mm

Únosnosti odpovídající sednutí 25,0 mm :

Únosnost paty $R_{bu} = 440,61$ kN

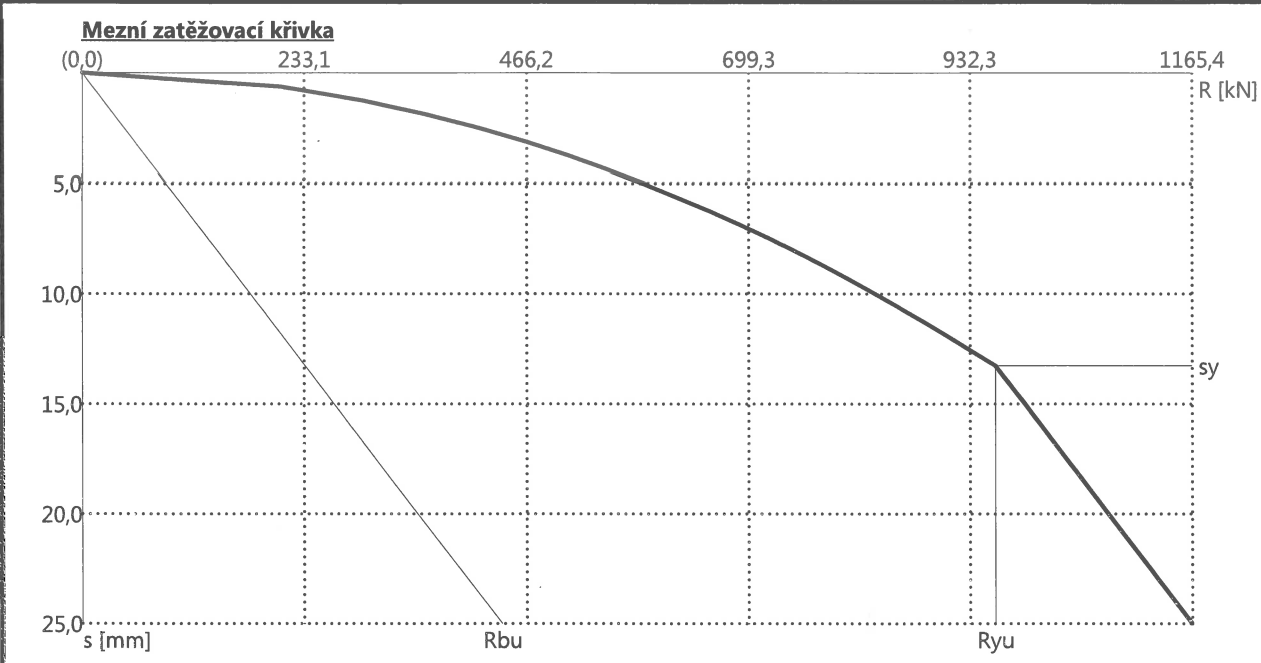
Celková únosnost $R_c = 1165,43$ kN

Pro zatížení $Q = 702,00$ kN je sednutí piloty 7,1 mm

Název : Sedání

Fáze - výpočet : 1 - 2

Popis : Návrhové zatížení



Posouzení vodorovné únosnosti

Maximální vnitřní síly a deformace:

Max.deformace piloty = 1,3 mm

Max.posouvající síla = 14,14 kN

Maximální moment = 12,86 kNm

Název : Vod. únosn.

Fáze - výpočet : 1 - 1

Geometrie

$l = 8,50$ m
(kruhová)

Modul Kh

Kh - konstantní

Deformace

Max. = 1,32 mm

Min. = -0,94 mm

Posouvající síla

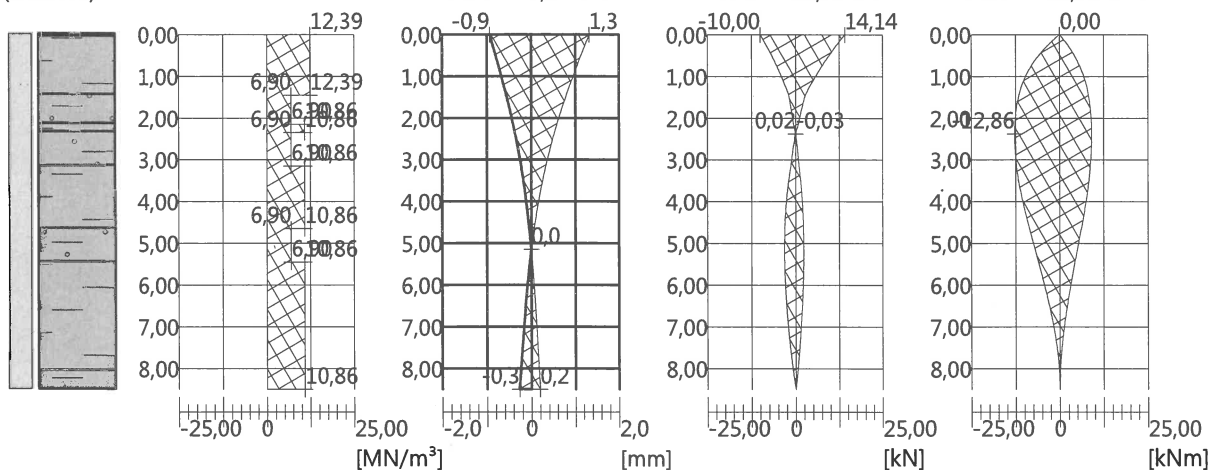
Max. = 14,14 kN

Min. = -10,00 kN

Ohybový moment

Max. = 9,09 kNm

Min. = -12,86 kNm



Vyhoví výztuž jako u piloty P6

**14.9. PILOTA P8 – piloty pod základovými pasy přístavby VZT**

Geometrie Profil piloty: kruhová

RozměryPrůměr $d = 0,60$ mDélka $l = 7,00$ m**Umístění**Vysazení $h = -0,95$ mHloubka upraveného terénu $h_z = 0,00$ m**Zatížení**

Číslo	Zatížení		Název	Typ	N [kN]	Mx [kNm]	My [kNm]	Hx [kN]	Hy [kN]
	nové	změna							
1	Ano		Přístavek VZT - pilota P8 - max Nd	Návrhové	627,00	0,00	0,00	2,00	2,00
2	Ano		Přístavek VZT - pilota P8 max Nk	Užitné	441,00	0,00	0,00	2,00	2,00

Posouzení únosnosti – ČSN 73 1002**Posouzení svislé únosnosti piloty podle teorie MS - mezivýsledky**

Výpočet únosnosti v patě:

Součinitel únosnosti $N_c = 10,98$ Součinitel únosnosti $N_b = 1,18$ Součinitel únosnosti $N_d = 3,94$ Součinitel únosnosti $K_1 = 1,00$ Výpočtová únosnost na patě piloty $R_{bd} = 937,42$ kPaPlocha příčného řezu piloty $A_p = 2,83E-01$ m²Únosnost na plášti piloty: Zkrácení účinné délky piloty $L_p = 0,37$ m

Hloubka [m]	Mocnost [m]	φ_d [°]	c_{ud} [kPa]	γ [kN/m ³]	γ_{R2} [-]	f_s [kPa]	R_{si} [kN]
0,05	0,05	19,00	12,00	21,00	1,00	15,62	1,34
1,45	1,40	19,00	12,00	21,00	1,00	24,29	58,28
2,15	0,70	24,50	14,00	20,00	1,00	40,16	48,17
2,35	0,20	15,00	10,00	20,00	1,00	27,79	9,52
3,15	0,80	24,50	14,00	20,00	1,00	48,82	66,92
4,65	1,50	15,00	10,00	20,00	1,00	36,63	94,16
5,45	0,80	24,50	14,00	20,00	1,00	69,78	95,66
6,63	1,18	15,00	10,00	20,00	1,00	48,09	96,89

Posouzení svislé únosnosti piloty podle teorie MS - výsledky

Výpočet proveden s automatickým výběrem nejnepříznivějších zatěžovacích stavů.

Posouzení tlačené piloty:

Nejnepříznivější zatěžovací stav číslo 1. (Přístavek VZT - pilota P8 - max Nd)

Únosnost piloty na plášti $R_s = 470,95$ kN Únosnost piloty v patě $R_b = 240,95$ kNÚnosnost piloty $R_c = 711,90$ kN Extrémní svislá síla $V_d = 627,00$ kN $R_c = 711,90$ kN > $627,00$ kN = V_d Svislá únosnost piloty **VYHOVUJE****Posouzení sedání****Výpočet zatěžovací křivky piloty - vstupní data**

Vrstva číslo	Počátek [m]	Konec [m]	Mocnost [m]	E_s [MPa]	Součinitel a	Součinitel b
1	0,00	1,00	1,00	6,90	46,00	20,00
2	1,00	2,40	1,40	7,31	46,00	20,00
3	2,40	3,10	0,70	9,48	46,00	20,00
4	3,10	3,30	0,20	10,25	46,00	20,00
5	3,30	4,10	0,80	10,88	46,00	20,00
6	4,10	5,60	1,50	12,31	46,00	20,00
7	5,60	6,40	0,80	13,10	46,00	20,00
8	6,40	7,95	1,55	36,90	97,00	108,00

Uvažovat zatížení : užitné

Součinitel vlivu ochrany dřívku $m_2 = 1,00$ Limitní sedání piloty $s_{lim} = 25,0$ mmRegresní součinitel $e = 988,00$ Regresní součinitel $f = 1084,00$

**Body zatěžovací křivky**

Sednutí [mm]	Zatížení [kN]
0,0	0,00
2,5	339,83
5,0	480,59
7,5	588,60

Sednutí [mm]	Zatížení [kN]
10,0	659,87
12,5	704,49
15,0	749,11
17,5	793,73

Sednutí [mm]	Zatížení [kN]
20,0	838,35
22,5	882,97
25,0	927,59

Výpočet zatěžovací křivky piloty - výsledkyZatížení na mezi mobilizace plášt.tření $R_{yu} = 639,32$ kNVelikost sedání odpovídající síle R_{yu} $s_y = 8,8$ mm

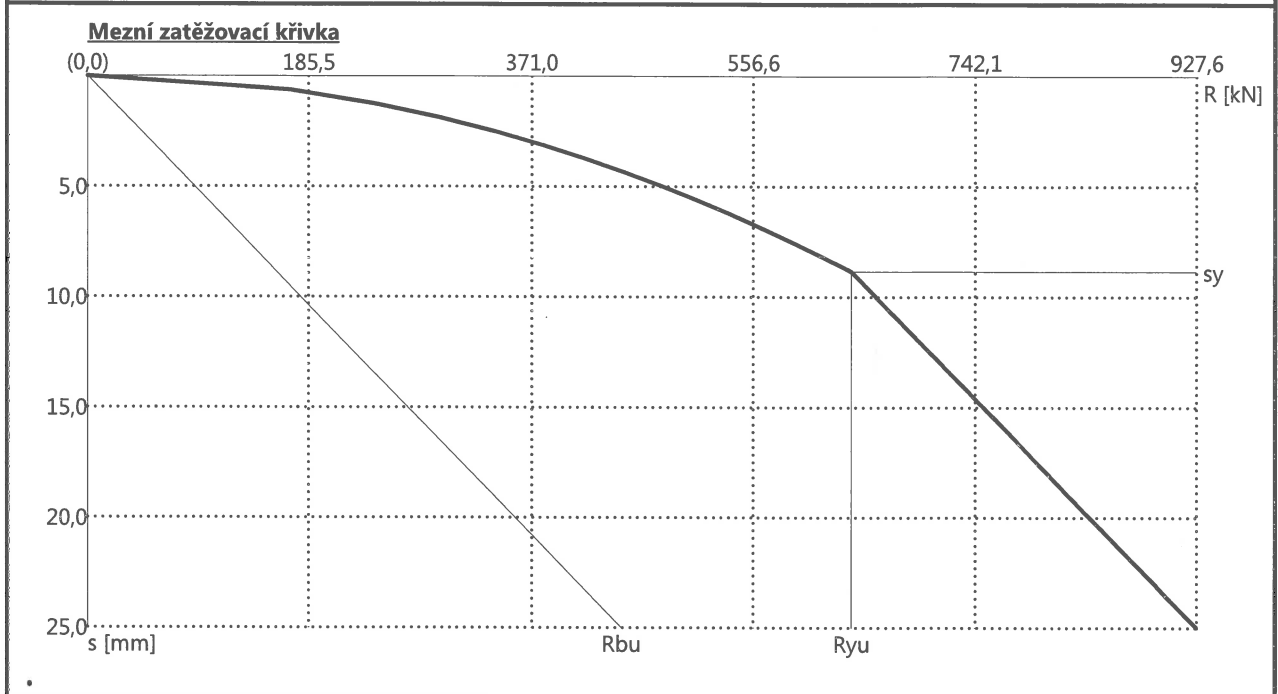
Únosnosti odpovídající sednutí 25,0 mm :

Únosnost paty $R_{bu} = 446,19$ kNCelková únosnost $R_c = 927,59$ kNPro zatížení $Q = 441,00$ kN je sednutí piloty 4,2 mm

Název : Sedání

Fáze - výpočet : 1 - 1

Popis : Charakteristické zatížení



Uvažovat zatížení : návrhové

Body zatěžovací křivky

Sednutí [mm]	Zatížení [kN]
0,0	0,00
2,5	437,06
5,0	618,10
7,5	757,01

Sednutí [mm]	Zatížení [kN]
10,0	874,12
12,5	977,30
15,0	1063,12
17,5	1101,66

Sednutí [mm]	Zatížení [kN]
20,0	1140,19
22,5	1178,72
25,0	1217,26

Výpočet zatěžovací křivky piloty - výsledkyZatížení na mezi mobilizace plášt.tření $R_{yu} = 1057,51$ kNVelikost sedání odpovídající síle R_{yu} $s_y = 14,6$ mm

Únosnosti odpovídající sednutí 25,0 mm :

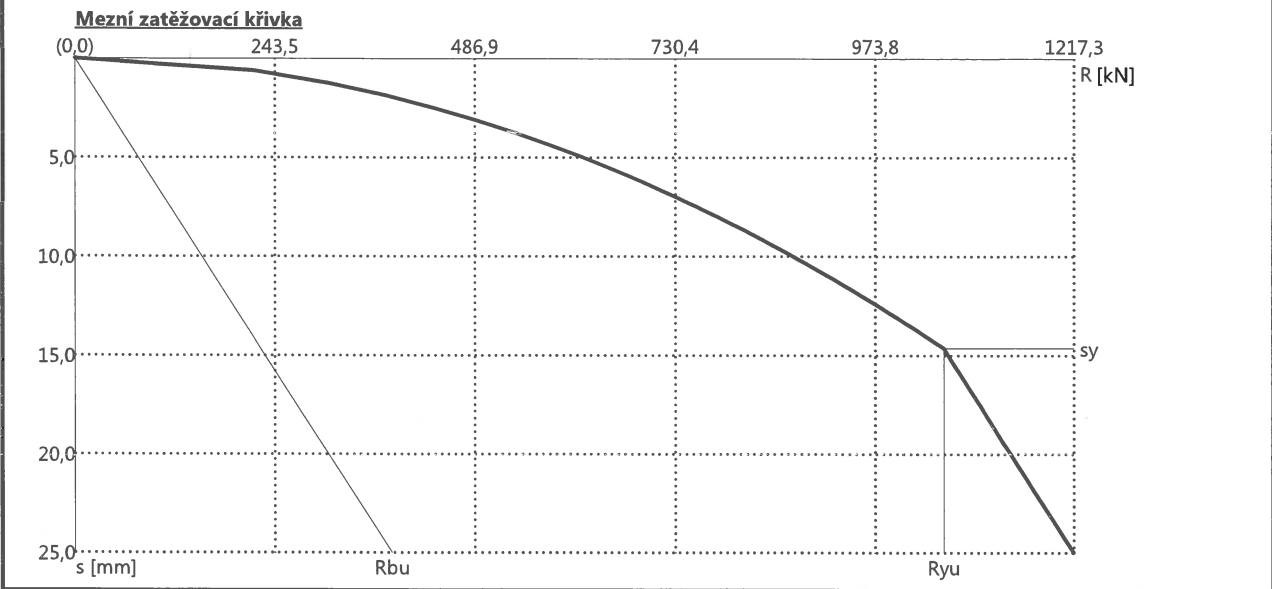
Únosnost paty $R_{bu} = 385,35$ kNCelková únosnost $R_c = 1217,26$ kNPro zatížení $Q = 627,00$ kN je sednutí piloty 5,1 mm



Název : Sedání

Fáze - výpočet : 1 - 2

Popis : Návrhové zatížení



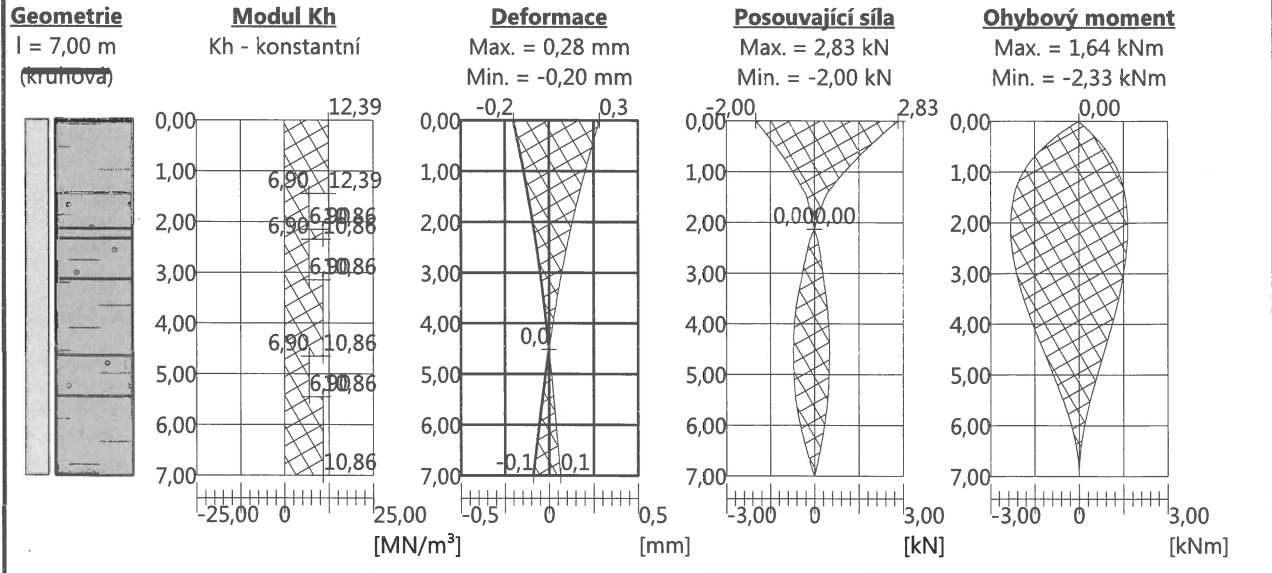
Posouzení vodorovné únosnosti

Vstupní data pro výpočet vodorovné únosnosti piloty

Výpočet proveden s automatickým výběrem nejnepříznivějších zatěžovacích stavů.
Vodorovná únosnost posouzena ve směru maximálního účinku zatížení.

Název : Vod. únosn.

Fáze - výpočet : 1 - 1



Maximální vnitřní síly a deformace:

Max.deformace piloty = 0,3 mm
Max.posouvající síla = 2,83 kN

Maximální moment = 2,33 kNm

Posouzení na tlak a ohyb

Vyztužení - 8 ks profil 16,0 mm; krytí 76,0 mm
Typ konstrukce (stupně vyztužení) : pilotá
Stupeň vyztužení $\rho = 0,569 \% > 0,500 \% = \rho_{min}$

Zatížení : $N_{Ed} = -627,00$ kN (tlak) ; $M_{Ed} = 2,33$ kNm

Únosnost : $N_{Rd} = -3723,79$ kN; $M_{Rd} = 74,48$ kNm

Navržená výztuž piloty VYHOVUJE

Posouzení na smyk

Posouvající síla na mezi únosnosti: $V_{Rd} = 177,78$ kN $> 2,83$ kN = V_{Ed}

Průřez VYHOVUJE.



14.10. PILOTA P9 – piloty pod základovými pasy

Geometrie Profil piloty: kruhová

Rozměry

Průměr $d = 0,60$ m

Délka $l = 8,00$ m

Umístění

Vysazení $h = -1,60$ m

Hloubka upraveného terénu $h_z = 0,00$ m

Zatížení

Číslo	Zatížení		Název	Typ	N [kN]	M_x [kNm]	M_y [kNm]	H_x [kN]	H_y [kN]
	nové	změna							
1	Ano		pilota P9 - max Nd	Návrhové	545,00	0,00	0,00	20,00	20,00
2	Ano		pilota P9 - max Nk	Užitné	400,00	0,50	0,00	15,00	15,00

Posouzení únosnosti – ČSN 73 1002

Posouzení svislé únosnosti piloty podle teorie MS - mezivýsledky

Výpočet únosnosti v patě:

Součinitel únosnosti $N_c = 10,98$

Součinitel únosnosti $N_b = 1,18$

Součinitel únosnosti $N_d = 3,94$

Součinitel únosnosti $K1 = 1,00$

Výpočtová únosnost na patě piloty $R_{bd} = 1101,14$ kPa

Plocha příčného řezu piloty $A_p = 2,83E-01$ m²

Únosnost na plášti piloty: Zkrácení účinné délky piloty $L_p = 0,37$ m

Hloubka [m]	Mocnost [m]	φ_d [°]	c_{ud} [kPa]	γ [kN/m ³]	γ_{R2} [-]	f_s [kPa]	R_{si} [kN]
0,80	0,80	19,00	12,00	21,00	1,00	20,68	28,35
1,50	0,70	24,50	14,00	20,00	1,00	40,16	48,17
1,70	0,20	15,00	10,00	20,00	1,00	27,79	9,52
2,50	0,80	24,50	14,00	20,00	1,00	48,82	66,92
4,00	1,50	15,00	10,00	20,00	1,00	36,63	94,16
4,80	0,80	24,50	14,00	20,00	1,00	69,78	95,66
7,40	2,60	15,00	10,00	20,00	1,00	51,91	231,26
7,63	0,23	15,00	10,00	20,00	1,00	59,48	23,01

Posouzení svislé únosnosti piloty podle teorie MS - výsledky

Výpočet proveden s automatickým výběrem nejnepriznivějších zatěžovacích stavů.

Posouzení tlačené piloty: Nejnepriznivější zatěžovací stav číslo 1. (pilota P9 - max Nd)

Únosnost piloty na plášti $R_s = 597,06$ kN

Únosnost piloty v patě $R_b = 283,04$ kN

Únosnost piloty $R_c = 880,10$ kN

Extrémní svislá síla $V_d = 545,00$ kN

$R_c = 880,10$ kN > $545,00$ kN = V_d **Svislá únosnost piloty VYHOVUJE**

Posouzení sedání

Výpočet zatěžovací křivky piloty - vstupní data

Vrstva číslo	Počátek [m]	Konec [m]	Mocnost [m]	E_s [MPa]	Součinitel a	Součinitel b
1	0,00	1,00	1,00	6,90	46,00	20,00
2	1,00	2,40	1,40	6,90	46,00	20,00
3	2,40	3,10	0,70	9,48	46,00	20,00
4	3,10	3,30	0,20	10,25	46,00	20,00
5	3,30	4,10	0,80	10,88	46,00	20,00
6	4,10	5,60	1,50	12,37	97,00	108,00
7	5,60	6,40	0,80	13,10	46,00	20,00
8	6,40	9,00	2,60	14,12	46,00	20,00
9	9,00	9,60	0,60	42,47	97,00	108,00

Uvažovat zatížení : užitné

Součinitel vlivu ochrany dřívku $m_2 = 1,00$

Regresní součinitel $e = 198,00$

Limitní sedání piloty $s_{lim} = 25,0$ mm

Regresní součinitel $f = 150,00$



STATICKÝ VÝPOČET

BETONOVÉ KONSTRUKCE
DOKUMENTACE PRO PROVEDENÍ STAVBY

AKCE:
ROZŠÍŘENÍ INFRASTRUKTURY
CENTRA INTEMAC

ARCH. Č.: 1917-02

Strana: 166

Body zatěžovací křivky

Sednutí [mm]	Zatížení [kN]
0,0	0,00
2,5	328,69
5,0	464,83
7,5	569,30

Sednutí [mm]	Zatížení [kN]
10,0	609,56
12,5	618,78
15,0	628,00
17,5	637,22

Sednutí [mm]	Zatížení [kN]
20,0	646,44
22,5	655,66
25,0	664,88

Výpočet zatěžovací křivky piloty - výsledky

Zatížení na mezi mobilizace pláště.tření $R_{yu} = 603,80$ kN

Velikost sedání odpovídající síle R_{yu} $s_y = 8,4$ mm

Únosnosti odpovídající sednutí 25,0 mm :

Únosnost paty $R_{bu} = 92,19$ kN

Celková únosnost

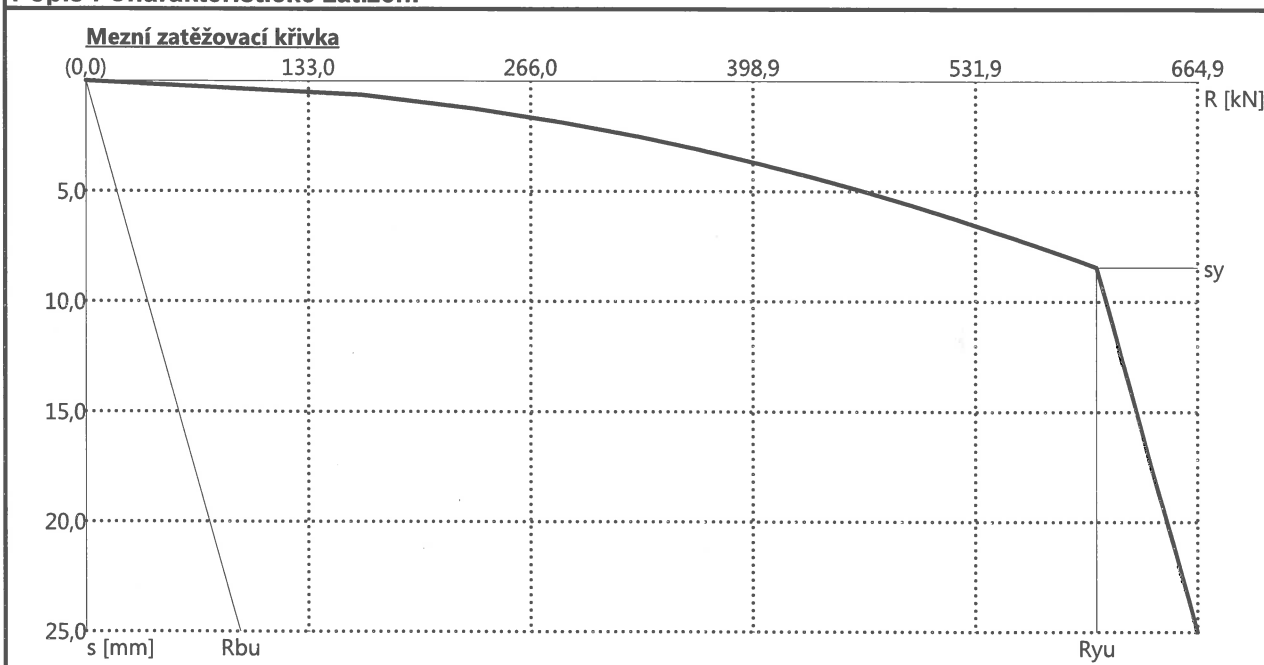
$R_c = 664,88$ kN

Pro zatížení $Q = 400,00$ kN je sednutí piloty 3,7 mm

Název : Sedání

Fáze - výpočet : 1 - 1

Popis : Charakteristické zatížení



Uvažovat zatížení : návrhové

Body zatěžovací křivky

Sednutí [mm]	Zatížení [kN]
0,0	0,00
2,5	395,63
5,0	559,51
7,5	685,26

Sednutí [mm]	Zatížení [kN]
10,0	791,27
12,5	870,60
15,0	879,82
17,5	889,03

Sednutí [mm]	Zatížení [kN]
20,0	898,24
22,5	907,45
25,0	916,67

Výpočet zatěžovací křivky piloty - výsledky

Zatížení na mezi mobilizace pláště.tření $R_{yu} = 868,99$ kN

Velikost sedání odpovídající síle R_{yu} $s_y = 12,1$ mm

Únosnosti odpovídající sednutí 25,0 mm :

Únosnost paty $R_{bu} = 92,12$ kN

Celková únosnost $R_c = 916,67$ kN

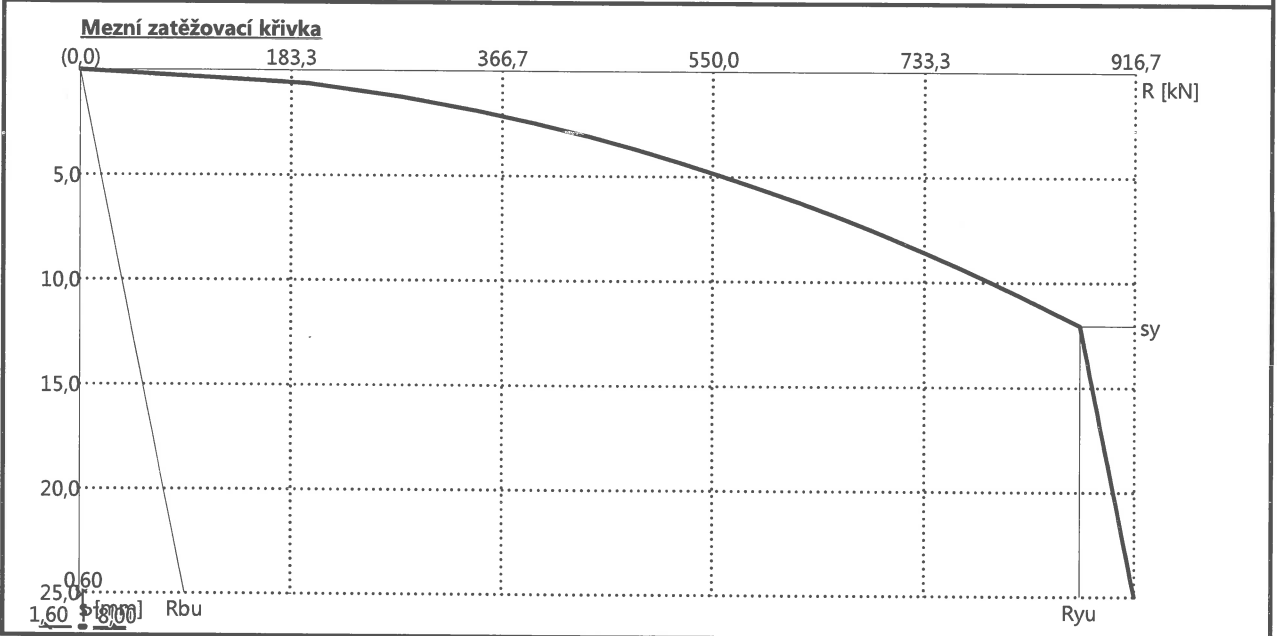
Pro zatížení $Q = 545,00$ kN je sednutí piloty 4,7 mm



Název : Sedání

Fáze - výpočet : 1 - 2

Popis : Návrhové zatížení



Posouzení vodorovné únosnosti

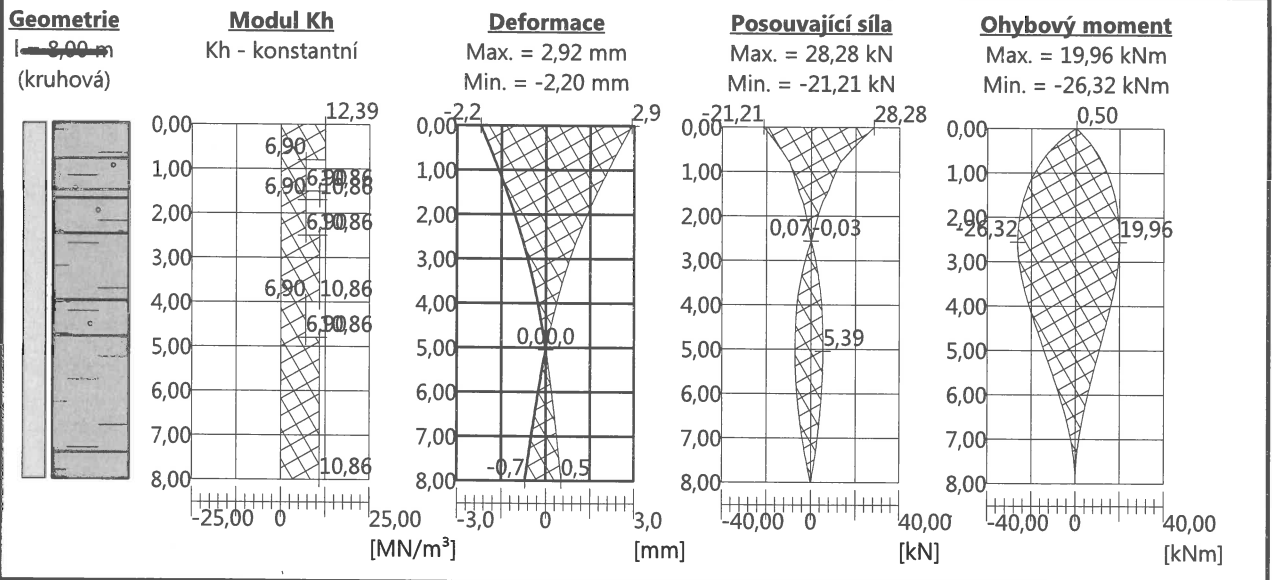
Vstupní data pro výpočet vodorovné únosnosti piloty

Výpočet proveden s automatickým výběrem nejnepříznivějších zatěžovacích stavů.

Vodorovná únosnost posouzena ve směru maximálního účinku zatížení.

Název : Vod. únosn.

Fáze - výpočet : 1 - 1



Maximální vnitřní síly a deformace:

Max.deformace piloty = 2,9 mm

Max.posouvající síla = 28,28 kN

Maximální moment = 26,32 kNm

Posouzení na tlak a ohyb

Vyztužení - 8 ks profil 16,0 mm; krytí 76,0 mm

Typ konstrukce (stupně vyztužení) : pilota

Stupeň vyztužení $\rho = 0,569 \% > 0,500 \% = \rho_{min}$

Zatížení : $N_{Ed} = -545,00$ kN (tlak) ; $M_{Ed} = 26,32$ kNm

Únosnost : $N_{Rd} = -3291,39$ kN; $M_{Rd} = 158,93$ kNm

Navržená výztuž piloty VYHOVUJE

Posouzení na smyk

Smyková výztuž - 2 ks profil 6,0 mm; vzdálenost 175,0 mm $A_{sw} = 323,1$ mm²

Posouvající síla na mezi únosnosti: $V_{Rd} = 165,48$ kN $> 28,28$ kN = V_{Ed}

Průřez VYHOVUJE.

pouze konstrukční smyková výztuž



14.11. PILOTA P10 – piloty pod základovými pasy

Geometrie Profil piloty: kruhová

Rozměry

Průměr $d = 0,60$ m

Délka $l = 8,00$ m

Umístění

Vysazení $h = -1,25$ m

Hloubka upraveného terénu $h_z = 0,00$ m

Zatížení

Číslo	Zatížení		Název	Typ	N [kN]	M_x [kNm]	M_y [kNm]	H_x [kN]	H_y [kN]
	nové	změna							
1	Ano		pilota P10 - max Nd	Návrhové	774,00	0,00	0,00	20,00	20,00
2	Ano		pilota P10 - max Nk	Užitné	546,00	0,50	0,00	15,00	15,00

Posouzení únosnosti – ČSN 73 1002

Posouzení svislé únosnosti piloty podle teorie MS - mezivýsledky

Výpočet únosnosti v patě:

Součinitel únosnosti $N_c = 10,98$ Součinitel únosnosti $N_b = 1,18$

Součinitel únosnosti $N_d = 3,94$ Součinitel únosnosti $K1 = 1,00$

Výpočtová únosnost na patě piloty $R_{bd} = 1066,41$ kPa

Plocha příčného řezu piloty $A_p = 2,83E-01$ m²

Únosnost na plášti piloty: Zkrácení účinné délky piloty $L_p = 0,37$ m

Hloubka [m]	Mocnost [m]	φ_d [°]	c_{ud} [kPa]	γ [kN/m ³]	γ_{R2} [-]	f_s [kPa]	R_{si} [kN]
1,15	1,15	19,00	12,00	21,00	1,00	20,68	40,75
1,85	0,70	24,50	14,00	20,00	1,00	40,16	48,17
2,05	0,20	15,00	10,00	20,00	1,00	27,79	9,52
2,85	0,80	24,50	14,00	20,00	1,00	48,82	66,92
4,35	1,50	15,00	10,00	20,00	1,00	36,63	94,16
5,15	0,80	24,50	14,00	20,00	1,00	69,78	95,66
7,63	2,48	15,00	10,00	20,00	1,00	51,57	218,80

Posouzení svislé únosnosti piloty podle teorie MS - výsledky

Výpočet proveden s automatickým výběrem nejnepriznivějších zatěžovacích stavů.

Posouzení tlačené piloty: Nejnepriznivější zatěžovací stav číslo 1. (pilota P10 - max Nd)

Únosnost piloty na plášti $R_s = 573,99$ kN Únosnost piloty v patě $R_b = 274,11$ kN

Únosnost piloty $R_c = 848,10$ kN Extrémní svislá síla $V_d = 774,00$ kN

$R_c = 848,10$ kN > $774,00$ kN = V_d

Svislá únosnost piloty VYHOVUJE

Posouzení sedání – mezní zatěžovací křivka

Výpočet zatěžovací křivky piloty - vstupní data

Vrstva číslo	Počátek [m]	Konec [m]	Mocnost [m]	E_s [MPa]	Součinitel a	Součinitel b
1	0,00	1,00	1,00	6,90	46,00	20,00
2	1,00	2,40	1,40	6,90	46,00	20,00
3	2,40	3,10	0,70	9,48	46,00	20,00
4	3,10	3,30	0,20	10,25	46,00	20,00
5	3,30	4,10	0,80	10,88	46,00	20,00
6	4,10	5,60	1,50	12,37	97,00	108,00
7	5,60	6,40	0,80	13,10	46,00	20,00
8	6,40	9,00	2,60	14,12	46,00	20,00
9	9,00	9,25	0,25	42,47	97,00	108,00

Uvažovat zatížení : užitné

Součinitel vlivu ochrany dřívku $m_2 = 1,00$

Regresní součinitel $e = 198,00$

Limitní sedání piloty $s_{lim} = 25,0$ mm

Regresní součinitel $f = 150,00$

Body zatěžovací křivky



STATICKÝ VÝPOČET

BETONOVÉ KONSTRUKCE
DOKUMENTACE PRO PROVEDNÍ STVBA

AKCE:
**ROZŠÍŘENÍ INFRASTRUKTURY
CENTRA INTEMAC**

ARCH. Č.: 1917-02

Strana: **169**

Sednutí [mm]	Zatížení [kN]
0,0	0,00
2,5	304,80
5,0	431,06
7,5	527,93

Sednutí [mm]	Zatížení [kN]
10,0	584,15
12,5	593,03
15,0	601,90
17,5	610,77

Sednutí [mm]	Zatížení [kN]
20,0	619,65
22,5	628,52
25,0	637,39

Výpočet zatěžovací křivky piloty - výsledky

Zatížení na mezi mobilizace pláště tření $R_{yu} = 580,89$ kN

Velikost sedání odpovídající síle R_{yu} $s_y = 9,1$ mm

Únosnosti odpovídající sednutí 25,0 mm :

Únosnost paty $R_{bu} = 88,73$ kN

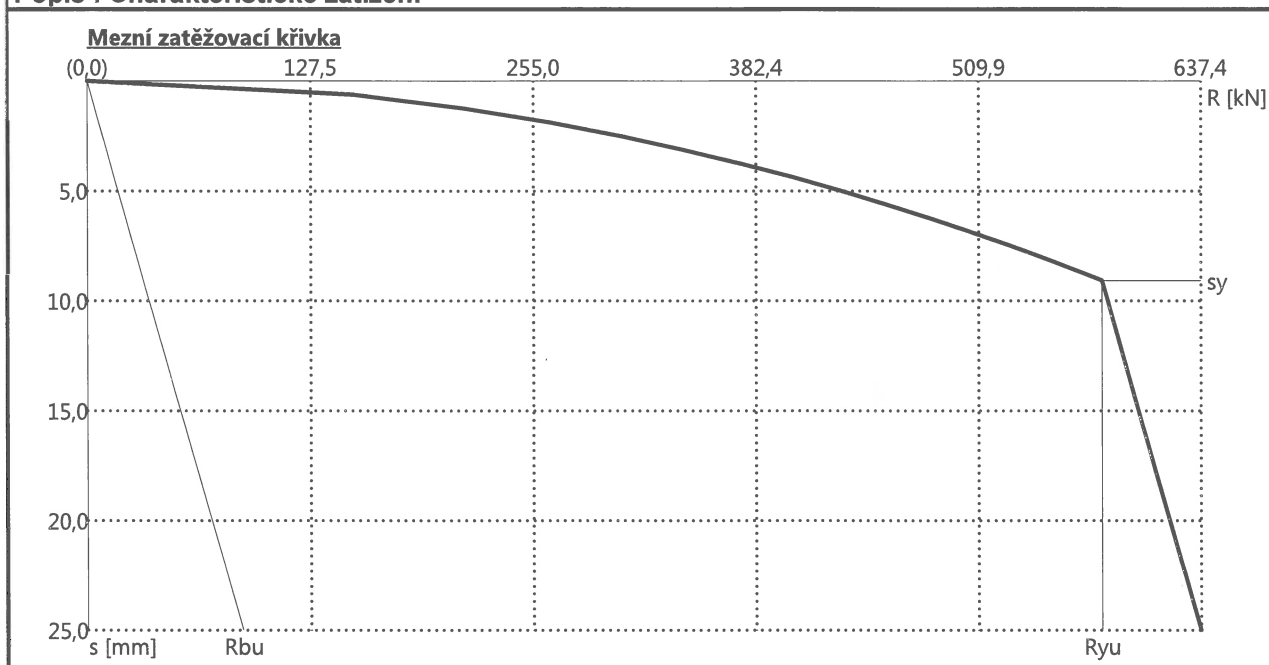
Celková únosnost $R_c = 637,39$ kN

Pro zatížení $Q = 546,00$ kN je sednutí piloty 8,0 mm

Název : Sedání

Fáze - výpočet : 1 - 1

Popis : Charakteristické zatížení



Uvažovat zatížení : návrhové

Body zatěžovací křivky

Sednutí [mm]	Zatížení [kN]
0,0	0,00
2,5	365,48
5,0	516,86
7,5	633,03

Sednutí [mm]	Zatížení [kN]
10,0	730,95
12,5	817,23
15,0	839,76
17,5	848,63

Sednutí [mm]	Zatížení [kN]
20,0	857,50
22,5	866,37
25,0	875,25

Výpočet zatěžovací křivky piloty - výsledky

Zatížení na mezi mobilizace pláště tření $R_{yu} = 832,57$ kN

Velikost sedání odpovídající síle R_{yu} $s_y = 13,0$ mm

Únosnosti odpovídající sednutí 25,0 mm :

Únosnost paty $R_{bu} = 88,72$ kN

Celková únosnost $R_c = 875,25$ kN

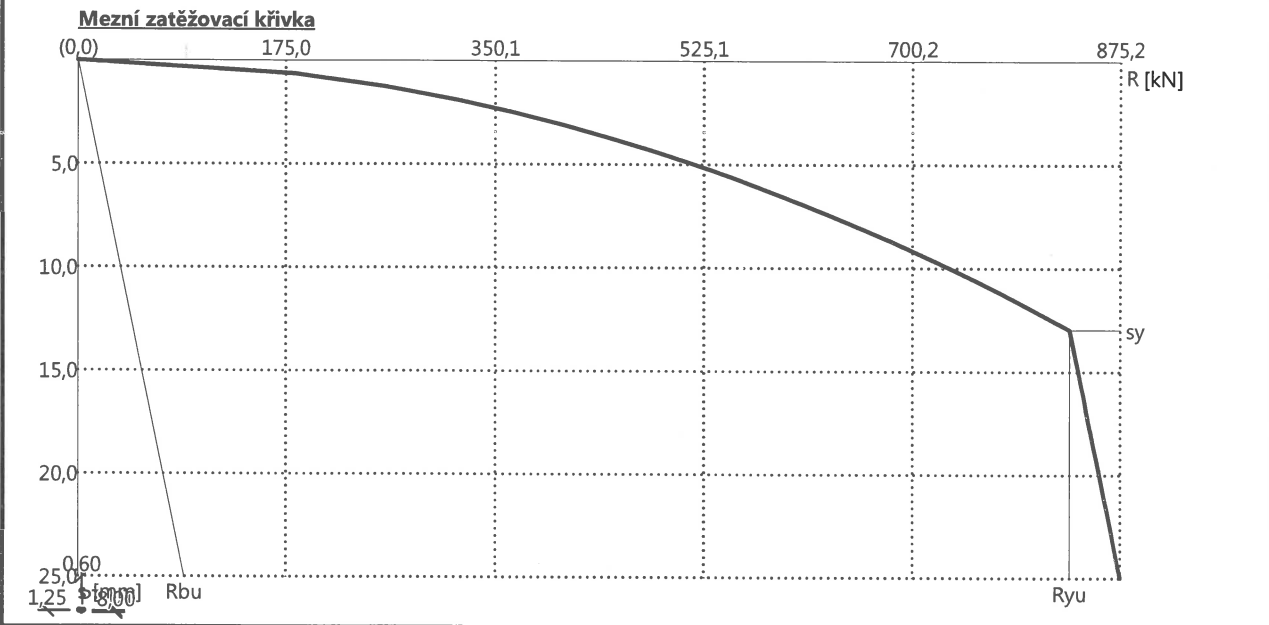
Pro zatížení $Q = 774,00$ kN je sednutí piloty 11,2 mm



Název : Sedání

Fáze - výpočet : 1 - 2

Popis : Návrhové zatížení



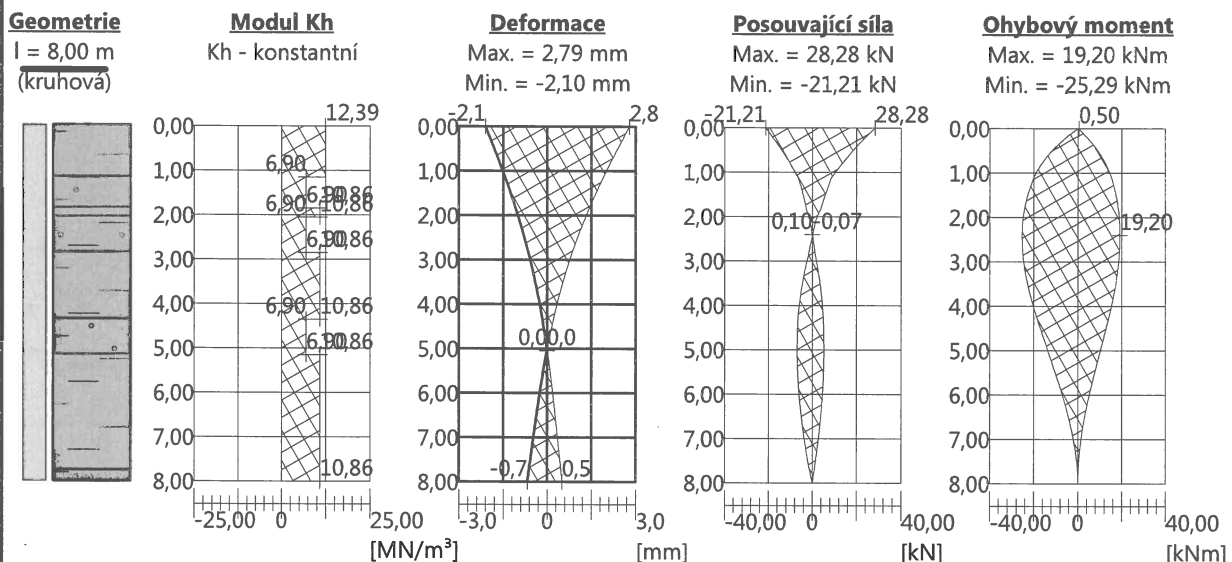
Posouzení čís. 1

Vstupní data pro výpočet vodorovné únosnosti piloty

Výpočet proveden s automatickým výběrem nejnepříznivějších zatěžovacích stavů.
Vodorovná únosnost posouzena ve směru maximálního účinku zatížení.

Název : Vod. únosnost

Fáze - výpočet : 1 - 1



Maximální vnitřní síly a deformace:

Max.deformace piloty = 2,8 mm

Max.posouvající síla = 28,28 kN

Maximální moment = 25,29 kNm

Posouzení na tlak a ohyb

Vyztužení - 8 ks profil 16,0 mm; krytí 76,0 mm

Typ konstrukce (stupně vyztužení) : pilotá

Stupeň vyztužení $\rho = 0,569 \% > 0,500 \% = \rho_{min}$

Zatížení : $N_{Ed} = -774,00$ kN (tlak) ; $M_{Ed} = 25,29$ kNm

Únosnost : $N_{Rd} = -3533,86$ kN; $M_{Rd} = 115,46$ kNm

Navržená výztuž piloty VYHOVUJE

Posouzení na smyk

Smyková výztuž - 2 ks profil 6,0 mm; vzdálenost 175,0 mm $A_{sw} = 323,1$ mm²

Posouvající síla na mezi únosnosti: $V_{Rd} = 185,11$ kN $>$ $28,28$ kN = V_{Ed}

Průřez VYHOVUJE. pouze konstrukční smyková výztuž



STATICKÝ VÝPOČET

BETONOVÉ KONSTRUKCE
DOKUMENTACE PRO PROVEDNÍ STVBA

AKCE:
**ROZŠÍŘENÍ INFRASTRUKTURY
CENTRA INTEMAC**

ARCH. Č.: 1917-02

Strana: 171

14.12. PILOTA P11 – piloty pod základovými pasy přístavku VZT

Geometrie Profil piloty: kruhová

Rozměry

Průměr $d = 0,60$ m

Délka $l = 6,00$ m

Umístění

Vysazení $h = -1,25$ m

Hloubka upraveného terénu $h_z = 0,00$ m

Zatížení

Číslo	Zatížení		Název	Typ	N [kN]	M_x [kNm]	M_y [kNm]	H_x [kN]	H_y [kN]
	nové	změna							
1	Ano		Přístavek VZT - pilota P11 - max Nd	Návrhové	475,00	0,00	0,00	2,00	2,00
2	Ano		Přístavek VZT - pilota P11 - max Nk	Užitné	334,00	0,00	0,00	2,00	2,00

Posouzení únosnosti – ČSN 73 1002

Posouzení svislé únosnosti piloty podle teorie MS - mezivýsledek

Výpočet únosnosti v patě:

Součinitel únosnosti $N_c = 10,98$

Součinitel únosnosti $N_b = 1,18$

Součinitel únosnosti $N_d = 3,94$

Součinitel únosnosti $K_1 = 1,00$

Výpočtová únosnost na patě piloty $R_{bd} = 867,96$ kPa

Plocha příčného řezu piloty $A_p = 2,83E-01$ m²

Únosnost na plášti piloty: Zkrácení účinné délky piloty $L_p = 0,37$ m

Hloubka [m]	Mocnost [m]	Φ_d [°]	c_{ud} [kPa]	γ [kN/m ³]	γ_{R2} [-]	f_s [kPa]	R_{si} [kN]
1,15	1,15	19,00	12,00	21,00	1,00	20,68	40,75
1,85	0,70	24,50	14,00	20,00	1,00	40,16	48,17
2,05	0,20	15,00	10,00	20,00	1,00	27,79	9,52
2,85	0,80	24,50	14,00	20,00	1,00	48,82	66,92
4,35	1,50	15,00	10,00	20,00	1,00	36,63	94,16
5,15	0,80	24,50	14,00	20,00	1,00	69,78	95,66
5,63	0,48	15,00	10,00	20,00	1,00	46,22	37,68

Posouzení svislé únosnosti piloty podle teorie MS - výsledky

Výpočet proveden s automatickým výběrem nejnepriznivějších zatěžovacích stavů.

Posouzení tlačené piloty:

Nejnepriznivější zatěžovací stav číslo 1. (Přístavek VZT - pilota P11 - max Nd)

Únosnost piloty na plášti $R_s = 392,87$ kN

Únosnost piloty v patě $R_b = 223,10$ kN

Únosnost piloty $R_c = 615,97$ kN

Extrémní svislá síla $V_d = 475,00$ kN

$R_c = 615,97$ kN > $475,00$ kN = V_d

Svislá únosnost piloty VYHOVUJE

Posouzení sedání

Výpočet zatěžovací křivky piloty - vstupní data

Vrstva číslo	Počátek [m]	Konec [m]	Mocnost [m]	E_s [MPa]	Součinitel a	Součinitel b
1	0,00	1,00	1,00	6,90	46,00	20,00
2	1,00	2,40	1,40	6,90	46,00	20,00
3	2,40	3,10	0,70	9,48	46,00	20,00
4	3,10	3,30	0,20	10,25	46,00	20,00
5	3,30	4,10	0,80	10,88	46,00	20,00
6	4,10	5,60	1,50	12,37	97,00	108,00
7	5,60	6,40	0,80	13,10	46,00	20,00
8	6,40	7,25	0,85	13,60	46,00	20,00

Uvažovat zatížení : užitné

Součinitel vlivu ochrany dřívku $m_2 = 1,00$

Regresní součinitel $e = 198,00$

Limitní sedání piloty $s_{lim} = 25,0$ mm

Regresní součinitel $f = 150,00$



STATICKÝ VÝPOČET

BETONOVÉ KONSTRUKCE
DOKUMENTACE PRO PROVEDENÍ STAVBY

AKCE:
**ROZŠÍŘENÍ INFRASTRUKTURY
CENTRA INTEMAC**

ARCH. Č.: 1917-02

Strana: **172**

Body zatěžovací křivky

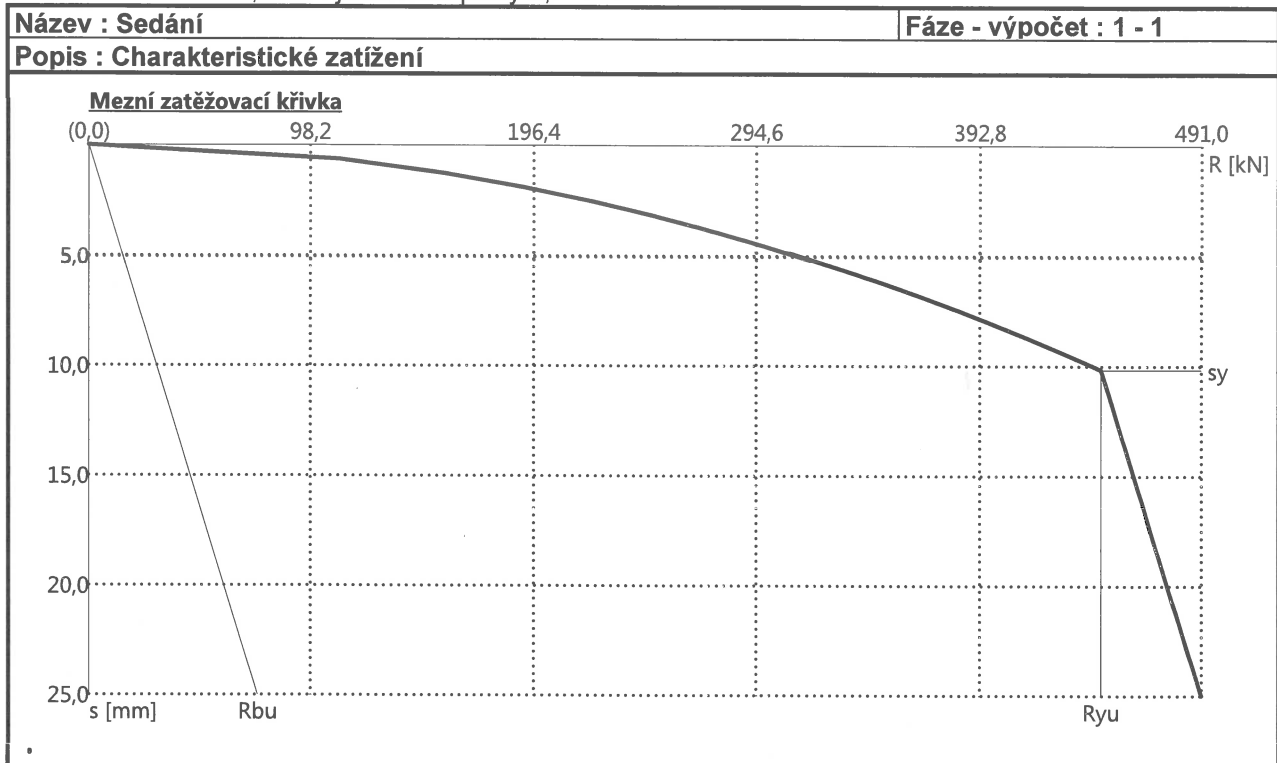
Sednutí [mm]	Zatížení [kN]
0,0	0,00
2,5	221,50
5,0	313,25
7,5	383,65

Sednutí [mm]	Zatížení [kN]
10,0	443,00
12,5	453,56
15,0	461,04
17,5	468,52

Sednutí [mm]	Zatížení [kN]
20,0	476,00
22,5	483,47
25,0	490,95

Výpočet zatěžovací křivky piloty - výsledky

Zatížení na mezi mobilizace pláště.tření $R_{yu} = 446,56$ kN
 Velikost sedání odpovídající síle R_{yu} $s_y = 10,2$ mm
 Únosnosti odpovídající sednutí 25,0 mm :
 Únosnost paty $R_{bu} = 74,79$ kN
 Celková únosnost $R_c = 490,95$ kN
 Pro zatížení $Q = 334,00$ kN je sednutí piloty 5,7 mm



Uvažovat zatížení : návrhové

Body zatěžovací křivky

Sednutí [mm]	Zatížení [kN]
0,0	0,00
2,5	264,74
5,0	374,40
7,5	458,55

Sednutí [mm]	Zatížení [kN]
10,0	529,49
12,5	591,98
15,0	639,39
17,5	646,87

Sednutí [mm]	Zatížení [kN]
20,0	654,35
22,5	661,83
25,0	669,31

Výpočet zatěžovací křivky piloty - výsledky

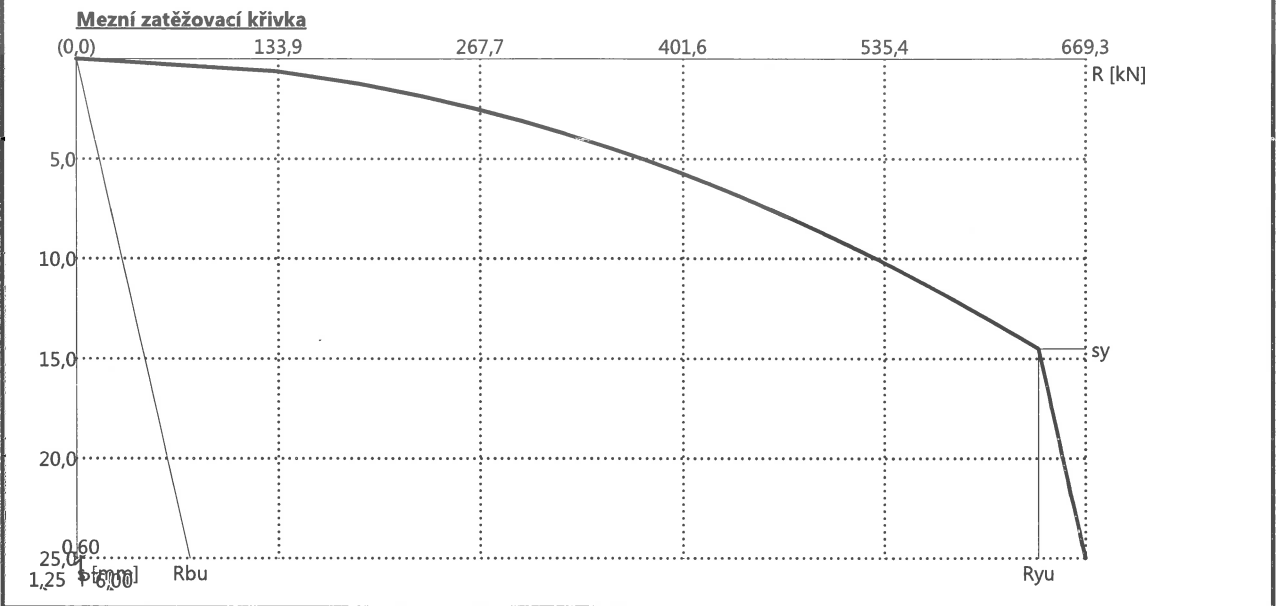
Zatížení na mezi mobilizace pláště.tření $R_{yu} = 637,95$ kN
 Velikost sedání odpovídající síle R_{yu} $s_y = 14,5$ mm
 Únosnosti odpovídající sednutí 25,0 mm :
 Únosnost paty $R_{bu} = 74,79$ kN
 Celková únosnost $R_c = 669,31$ kN
 Pro zatížení $Q = 475,00$ kN je sednutí piloty 8,0 mm



Název : Sedání

Fáze - výpočet : 1 - 2

Popis : Návrhové zatížení



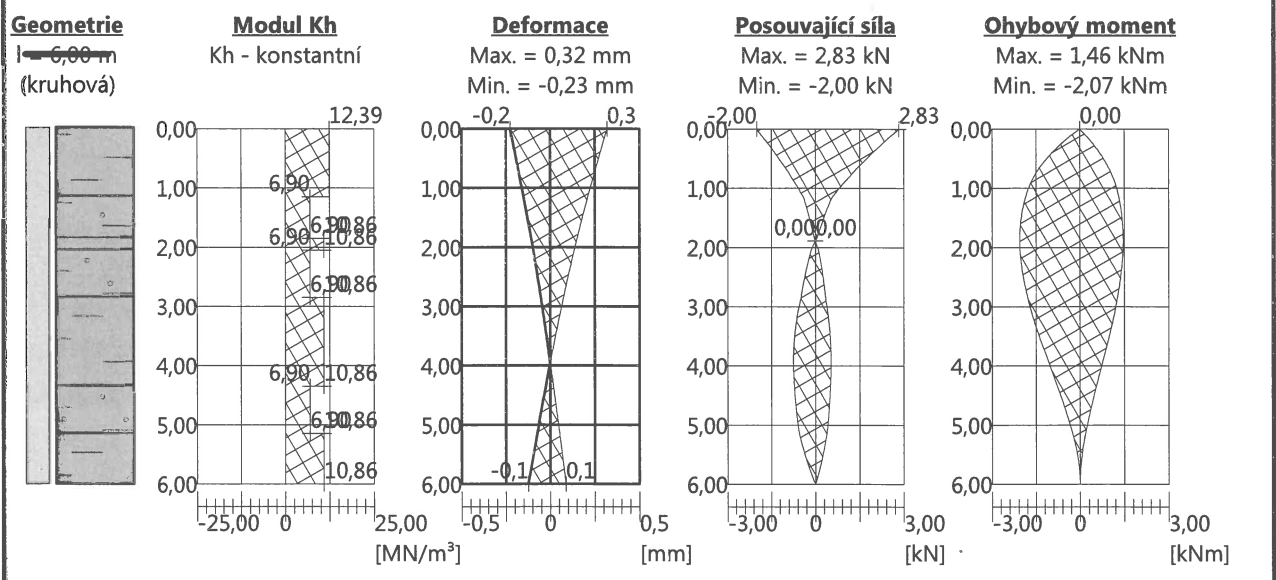
Posouzení vodorovné únosnosti

Vstupní data pro výpočet vodorovné únosnosti piloty

Výpočet proveden s automatickým výběrem nejneprůzračnějších zatěžovacích stavů.
Vodorovná únosnost posouzena ve směru maximálního účinku zatížení.

Název : Vod. únosn.

Fáze - výpočet : 1 - 1



Maximální vnitřní síly a deformace:

Max.deformace piloty = 0,3 mm
Max.posouvající síla = 2,83 kN

Maximální moment = 2,07 kNm

Posouzení na tlak a ohyb

Vyztužení - 8 ks profil 16,0 mm; krytí 76,0 mm
Typ konstrukce (stupně vyztužení) : pilota
Stupeň vyztužení $\rho = 0,569 \% > 0,500 \% = \rho_{min}$

Zatížení : $N_{Ed} = -475,00$ kN (tlak) ; $M_{Ed} = 2,07$ kNm

Únosnost : $N_{Rd} = -3723,79$ kN; $M_{Rd} = 74,48$ kNm

Navržená výztuž piloty VYHOVUJE

Posouzení na smyk

Smyková výztuž - 2 ks profil 6,0 mm; vzdálenost 175,0 mm $A_{sw} = 323,1$ mm²

Posouvající síla na mezi únosnosti: $V_{Rd} = 154,98$ kN $> 2,83$ kN = V_{Ed}

Průřez VYHOVUJE.

pouze konstrukční smyková výztuž



14.13. PILOTA P12 – piloty pod základovými pasy přístavku VZT

Geometrie Profil piloty: kruhová

Rozměry

Průměr $d = 0,60$ m

Délka $l = 5,90$ m

Umístění

Vysazení $h = -1,60$ m

Hloubka upraveného terénu $h_z = 0,00$ m

Zatížení

Číslo	Zatížení		Název	Typ	N [kN]	M_x [kNm]	M_y [kNm]	H_x [kN]	H_y [kN]
	nové	změna							
1	Ano		Přístavek VZT - pilota P12 - max Nd	Návrhové	302,00	0,00	0,00	5,00	5,00
2	Ano		Přístavek VZT - pilota P12 - max Nk	Užitné	215,00	0,50	0,00	5,00	5,00

Posouzení únosnosti – ČSN 73 1002

Posouzení svislé únosnosti piloty podle teorie MS - mezivýsledky

Výpočet únosnosti v patě:

Součinitel únosnosti $N_c = 10,98$

Součinitel únosnosti $N_b = 1,18$

Součinitel únosnosti $N_d = 3,94$

Součinitel únosnosti $K1 = 1,00$

Výpočtová únosnost na patě piloty $R_{bd} = 892,77$ kPa

Plocha příčného řezu piloty $A_p = 2,83E-01$ m²

Únosnost na plášti piloty: Zkrácení účinné délky piloty $L_p = 0,37$ m

Hloubka [m]	Mocnost [m]	Φ_d [°]	c_{ud} [kPa]	γ [kN/m ³]	γ_{R2} [-]	f_s [kPa]	R_{si} [kN]
0,80	0,80	19,00	12,00	21,00	1,00	20,68	28,35
1,50	0,70	24,50	14,00	20,00	1,00	40,16	48,17
1,70	0,20	15,00	10,00	20,00	1,00	27,79	9,52
2,50	0,80	24,50	14,00	20,00	1,00	48,82	66,92
4,00	1,50	15,00	10,00	20,00	1,00	36,63	94,16
4,80	0,80	24,50	14,00	20,00	1,00	69,78	95,66
5,53	0,73	15,00	10,00	20,00	1,00	46,89	58,31

Posouzení svislé únosnosti piloty podle teorie MS - výsledky

Výpočet proveden s automatickým výběrem nejnejpříznivějších zatěžovacích stavů.

Posouzení tlačené piloty:

Nejnejpříznivější zatěžovací stav číslo 1. (Přístavek VZT - pilota P12 - max Nd)

Únosnost piloty na plášti $R_s = 401,10$ kN

Únosnost piloty v patě $R_b = 229,48$ kN

Únosnost piloty $R_c = 630,57$ kN

Extrémní svislá síla $V_d = 302,00$ kN

$R_c = 630,57$ kN > $302,00$ kN = V_d

Svislá únosnost piloty VYHOVUJE

Posouzení sedání

Výpočet zatěžovací křivky piloty - vstupní data

Vrstva a číslo	Počátek [m]	Konec [m]	Mocnost [m]	E_s [MPa]	Součinitel a	Součinitel b
1	0,00	1,00	1,00	6,90	46,00	20,00
2	1,00	2,40	1,40	6,90	46,00	20,00
3	2,40	3,10	0,70	9,48	46,00	20,00
4	3,10	3,30	0,20	10,25	46,00	20,00
5	3,30	4,10	0,80	10,88	46,00	20,00
6	4,10	5,60	1,50	12,31	46,00	20,00
7	5,60	6,40	0,80	13,10	46,00	20,00
8	6,40	7,50	1,10	13,67	46,00	20,00

Uvažovat zatížení : užitné

Součinitel vlivu ochrany dřívku $m_2 = 1,00$

Regresní součinitel $e = 198,00$

Limitní sedání piloty $s_{lim} = 25,0$ mm

Regresní součinitel $f = 150,00$



STATICKÝ VÝPOČET

BETONOVÉ KONSTRUKCE
DOKUMENTACE PRO PROVEDNÍ STVBA

AKCE:
**ROZŠÍŘENÍ INFRASTRUKTURY
CENTRA INTEMAC**

ARCH. Č.: 1917-02

Strana: 175

Body zatěžovací křivky

Sednutí [mm]	Zatížení [kN]
0,0	0,00
2,5	201,69
5,0	285,23
7,5	349,33

Sednutí [mm]	Zatížení [kN]
10,0	369,62
12,5	378,57
15,0	387,52
17,5	396,47

Sednutí [mm]	Zatížení [kN]
20,0	405,42
22,5	414,37
25,0	423,33

Výpočet zatěžovací křivky piloty - výsledky

Zatížení na mezi mobilizace pláště tření $R_{yu} = 362,77$ kN

Velikost sedání odpovídající síle R_{yu} $s_y = 8,1$ mm

Únosnosti odpovídající sednutí 25,0 mm :

Únosnost paty $R_{bu} = 89,51$ kN

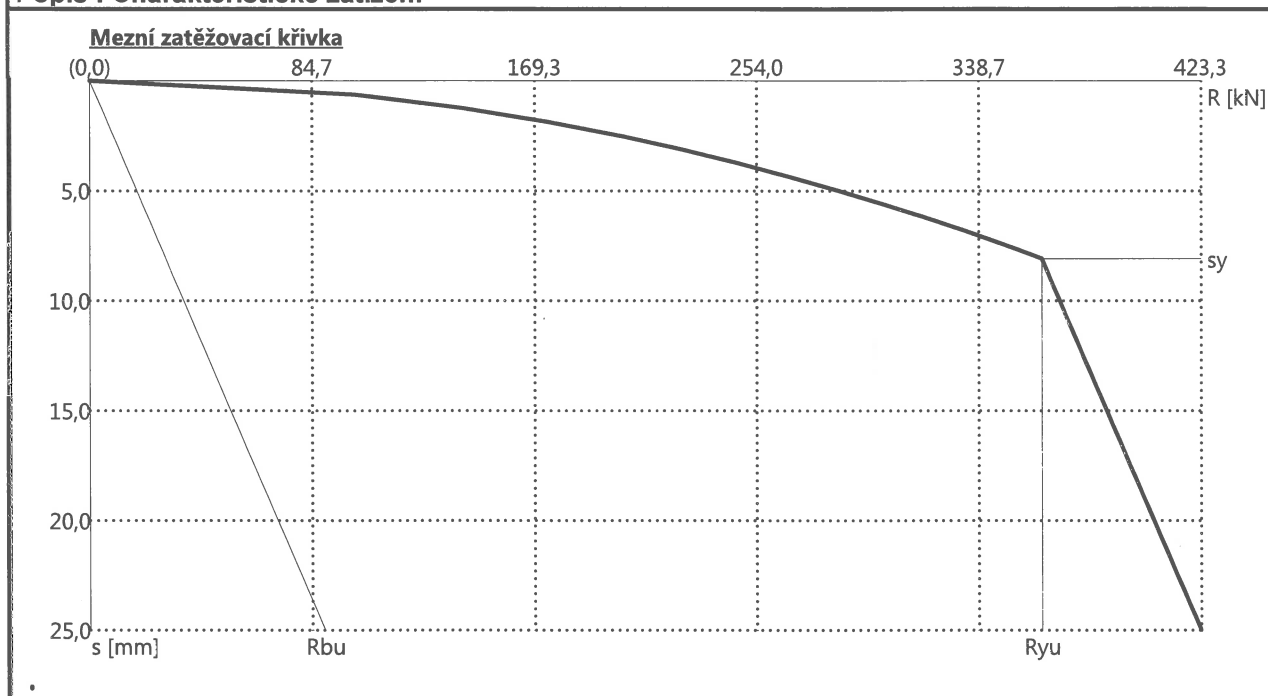
Celková únosnost $R_c = 423,33$ kN

Pro zatížení $Q = 215,00$ kN je sednutí piloty 2,8 mm

Název : Sedání

Fáze - výpočet : 1 - 1

Popis : Charakteristické zatížení



Uvažovat zatížení : návrhové

Body zatěžovací křivky

Sednutí [mm]	Zatížení [kN]
0,0	0,00
2,5	241,22
5,0	341,14
7,5	417,81

Sednutí [mm]	Zatížení [kN]
10,0	482,45
12,5	521,69
15,0	530,66
17,5	539,62

Sednutí [mm]	Zatížení [kN]
20,0	548,58
22,5	557,54
25,0	566,51

Výpočet zatěžovací křivky piloty - výsledky

Zatížení na mezi mobilizace pláště tření $R_{yu} = 518,25$ kN

Velikost sedání odpovídající síle R_{yu} $s_y = 11,5$ mm

Únosnosti odpovídající sednutí 25,0 mm :

Únosnost paty $R_{bu} = 89,63$ kN

Celková únosnost $R_c = 566,51$ kN

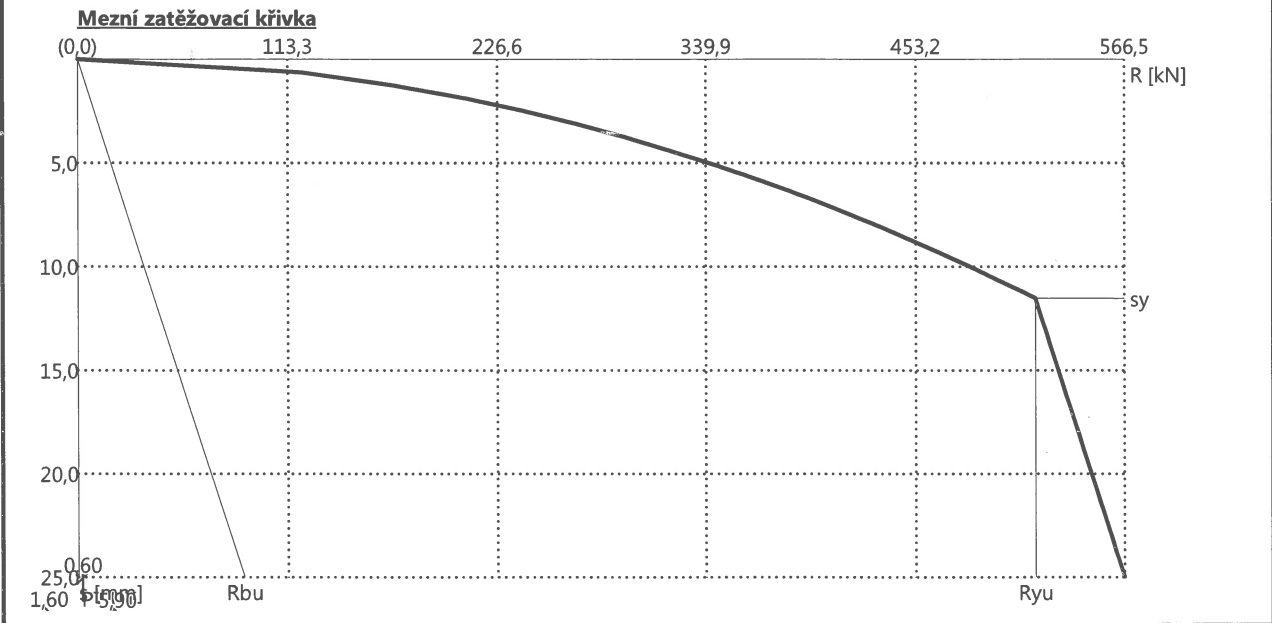
Pro zatížení $Q = 302,00$ kN je sednutí piloty 3,9 mm



Název : Sedání

Fáze - výpočet : 1 - 2

Popis : Návrhové zatížení



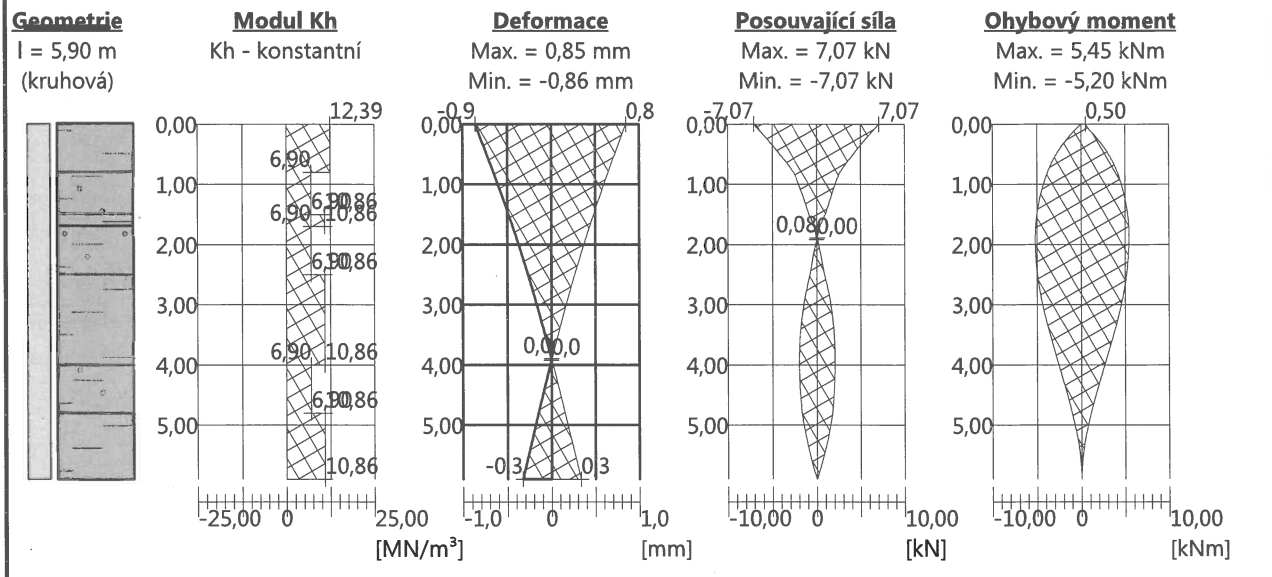
Posouzení vodorovné únosnosti

Vstupní data pro výpočet vodorovné únosnosti piloty

Výpočet proveden s automatickým výběrem nejnepříznivějších zatěžovacích stavů.
Vodorovná únosnost posouzena ve směru maximálního účinku zatížení.

Název : Vod. únosn.

Fáze - výpočet : 1 - 1



Maximální vnitřní síly a deformace:

Max.deformace piloty = 0,9 mm
Max.posouvající síla = 7,07 kN

Maximální moment = 5,45 kNm

Posouzení na tlak a ohyb

Vyztužení - 8 ks profil 16,0 mm; krytí 76,0 mm
Typ konstrukce (stupně vyztužení) : pilota
Stupeň vyztužení $\rho = 0,569 \% > 0,500 \% = \rho_{min}$

Zatížení : $N_{Ed} = -302,00$ kN (tlak) ; $M_{Ed} = 5,20$ kNm
Únosnost : $N_{Rd} = -3723,79$ kN; $M_{Rd} = 74,48$ kNm

Navržená výztuž piloty VYHOVUJE

Posouzení na smyk

Smyková výztuž - 2 ks profil 6,0 mm; vzdálenost 175,0 mm $A_{sw} = 323,1$ mm²

Posouvající síla na mezi únosnosti: $V_{Rd} = 151,73$ kN $> 7,07$ kN = V_{Ed}

Průřez VYHOVUJE.

pouze konstrukční smyková výztuž



14.14. PILOTA P13 – piloty pod základovými pasy administrativního přístavku

Geometrie Profil piloty: kruhová

Rozměry

Průměr $d = 0,60$ m

Délka $l = 7,00$ m

Umístění

Vysazení $h = -1,25$ m

Hloubka upraveného terénu $h_z = 0,00$ m

Číslo	Zatížení		Název	Typ	N [kN]	M_x [kNm]	M_y [kNm]	H_x [kN]	H_y [kN]
	nové	změna							
1	Ano		Adm. přístavek - pilota P13 - max Nd	Návrhové	546,0	0,00	0,00	5,00	5,00
2	Ano		Adm. přístavek - pilota P13 - max Nk	Užitné	414,0	0,50	0,00	5,00	5,00

Posouzení únosnosti – ČSN 73 1002

Posouzení svislé únosnosti piloty podle teorie MS - mezivýsledky

Výpočet únosnosti v patě:

Součinitel únosnosti $N_c = 10,98$

Součinitel únosnosti $N_b = 1,18$

Součinitel únosnosti $N_d = 3,94$

Součinitel únosnosti $K1 = 1,00$

Výpočtová únosnost na patě piloty $R_{bd} = 967,19$ kPa

Plocha příčného řezu piloty $A_p = 2,83E-01$ m²

Únosnost na plášti piloty: Zkrácení účinné délky piloty $L_p = 0,37$ m

Hloubka [m]	Mocnost [m]	φ_d [°]	c_{ud} [kPa]	γ [kN/m ³]	γ_{R2} [-]	f_s [kPa]	R_{si} [kN]
1,15	1,15	19,00	12,00	21,00	1,00	20,68	40,75
1,85	0,70	24,50	14,00	20,00	1,00	40,16	48,17
2,05	0,20	15,00	10,00	20,00	1,00	27,79	9,52
2,85	0,80	24,50	14,00	20,00	1,00	48,82	66,92
4,35	1,50	15,00	10,00	20,00	1,00	36,63	94,16
5,15	0,80	24,50	14,00	20,00	1,00	69,78	95,66
6,63	1,48	15,00	10,00	20,00	1,00	48,89	123,65

Posouzení svislé únosnosti piloty podle teorie MS - výsledky

Výpočet proveden s automatickým výběrem nejnejpříznivějších zatěžovacích stavů.

Posouzení tlačené piloty:

Nejnejpříznivější zatěžovací stav číslo 1. (Administrativní přístavek - pilota P13 - max Nd)

Únosnost piloty na plášti $R_s = 478,84$ kN

Únosnost piloty v patě $R_b = 248,60$ kN

Únosnost piloty $R_c = 727,44$ kN

Extrémní svislá síla $V_d = 546,00$ kN

$R_c = 727,44$ kN > $546,00$ kN = V_d

Svislá únosnost piloty VYHOVUJE

Posouzení sedání

Výpočet zatěžovací křivky piloty - vstupní data

Vrstva číslo	Počátek [m]	Konec [m]	Mocnost [m]	E_s [MPa]	Součinitel a	Součinitel b
1	0,00	1,00	1,00	6,90	46,00	20,00
2	1,00	2,40	1,40	6,90	46,00	20,00
3	2,40	3,10	0,70	9,48	46,00	20,00
4	3,10	3,30	0,20	10,25	46,00	20,00
5	3,30	4,10	0,80	10,88	46,00	20,00
6	4,10	5,60	1,50	12,31	46,00	20,00
7	5,60	6,40	0,80	13,10	46,00	20,00
8	6,40	8,25	1,85	37,29	97,00	108,00

Uvažovat zatížení : užitné

Součinitel vlivu ochrany dřívku $m_2 = 1,00$

Regresní součinitel $e = 198,00$

Limitní sedání piloty $s_{lim} = 25,0$ mm

Regresní součinitel $f = 150,00$



Body zatěžovací křivky

Sednutí [mm]	Zatížení [kN]
0,0	0,00
2,5	322,43
5,0	455,98
7,5	536,73

Sednutí [mm]	Zatížení [kN]
10,0	548,20
12,5	559,66
15,0	571,13
17,5	582,59

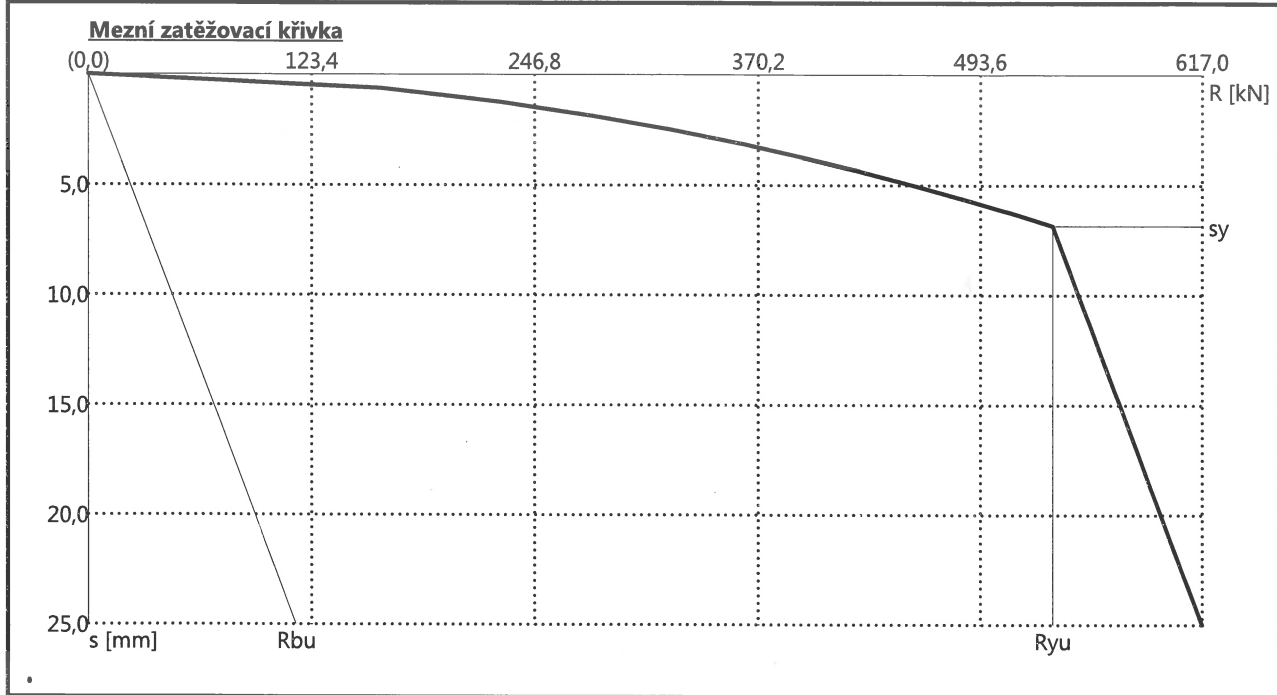
Sednutí [mm]	Zatížení [kN]
20,0	594,06
22,5	605,52
25,0	616,99

Výpočet zatěžovací křivky piloty - výsledky

Zatížení na mezi mobilizace pláště.tření $R_{yu} = 533,76$ kN
 Velikost sedání odpovídající síle R_{yu} $s_y = 6,9$ mm
 Únosnosti odpovídající sednutí 25,0 mm :
 Únosnost paty $R_{bu} = 114,65$ kN
 Celková únosnost $R_c = 616,99$ kN
 Pro zatížení $Q = 414,00$ kN je sednutí piloty 4,1 mm

Název : Sedání Fáze - výpočet : 1 - 1

Popis : Charakteristické zatížení



Uvažovat zatížení : návrhové

Body zatěžovací křivky

Sednutí [mm]	Zatížení [kN]
0,0	0,00
2,5	385,51
5,0	545,20
7,5	667,73

Sednutí [mm]	Zatížení [kN]
10,0	763,52
12,5	774,99
15,0	786,46
17,5	797,94

Sednutí [mm]	Zatížení [kN]
20,0	809,41
22,5	820,88
25,0	832,36

Výpočet zatěžovací křivky piloty - výsledky

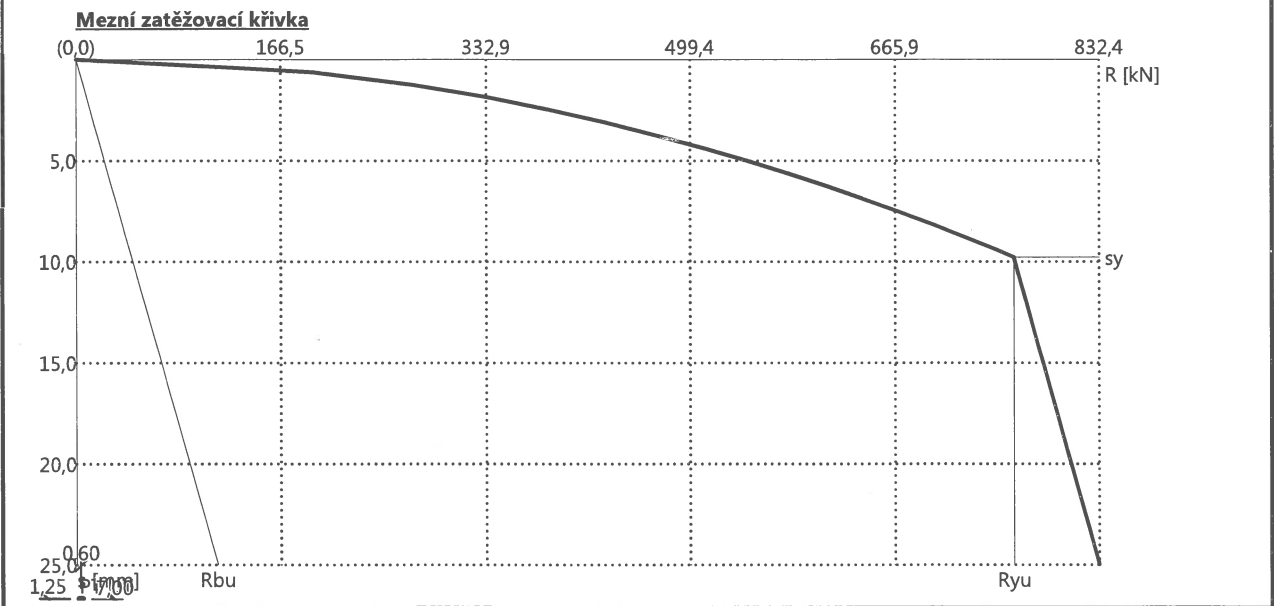
Zatížení na mezi mobilizace pláště.tření $R_{yu} = 762,51$ kN
 Velikost sedání odpovídající síle R_{yu} $s_y = 9,8$ mm
 Únosnosti odpovídající sednutí 25,0 mm :
 Únosnost paty $R_{bu} = 114,73$ kN
 Celková únosnost $R_c = 832,36$ kN
 Pro zatížení $Q = 546,00$ kN je sednutí piloty 5,0 mm



Název : Sedání

Fáze - výpočet : 1 - 2

Popis : Návrhové zatížení



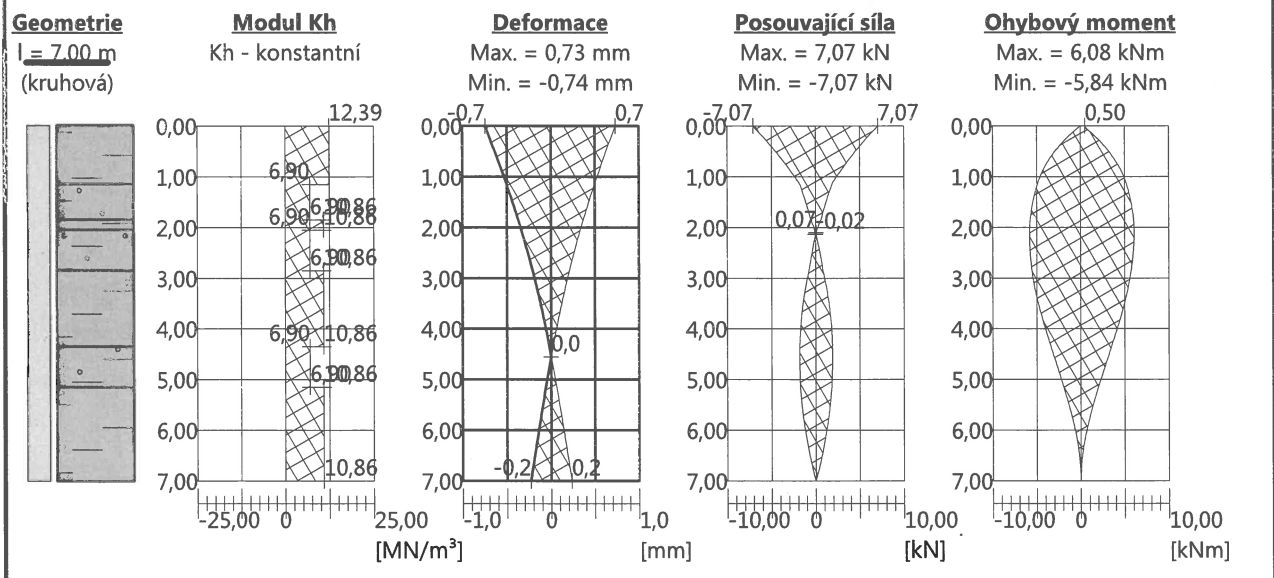
Posouzení vodorovné únosnosti

Vstupní data pro výpočet vodorovné únosnosti piloty

Výpočet proveden s automatickým výběrem nejneprůznivějších zatěžovacích stavů.
Vodorovná únosnost posouzena ve směru maximálního účinku zatížení.

Název : Vod. únosn.

Fáze - výpočet : 1 - 1



Maximální vnitřní síly a deformace:

Max.deformace piloty = 0,7 mm

Max.posouvající síla = 7,07 kN

Maximální moment = 6,08 kNm

Posouzení na tlak a ohyb

Vyztužení - 8 ks profil 16,0 mm; krytí 76,0 mm

Typ konstrukce (stupně vyztužení) : pilota

Stupeň vyztužení $\rho = 0,569 \% > 0,500 \% = \rho_{min}$

Zatížení : $N_{Ed} = -414,00$ kN (tlak) ; $M_{Ed} = 6,08$ kNm

Únosnost : $N_{Rd} = -3723,79$ kN; $M_{Rd} = 74,48$ kNm

Navržená výztuž piloty VYHOVUJE

Posouzení na smyk

Smyková výztuž - 2 ks profil 6,0 mm; vzdálenost 175,0 mm $A_{sw} = 323,1$ mm²

Posouvající síla na mezi únosnosti: $V_{Rd} = 151,73$ kN $> 7,07$ kN = V_{Ed}

Průřez VYHOVUJE.

pouze konstrukční smyková výztuž

**14.15. PILOTA P14 – piloty pod základovými pasy administrativního přístavku**

Geometrie Profil piloty: kruhová

RozměryPrůměr $d = 0,60$ mDélka $l = 8,00$ m**Umístění**Vysazení $h = -1,06$ mHloubka upraveného terénu $h_z = 0,00$ m**Zatížení**

Číslo	Zatížení		Název	Typ	N [kN]	M_x [kNm]	M_y [kNm]	H_x [kN]	H_y [kN]
	nové	změna							
1	Ano		Adm. přístavek - pilota P14 - max Nd	Návrhové	650,00	0,00	0,00	5,00	5,00
2	Ano		Adm. přístavek - pilota P14 - max Nk	Užitné	495,00	0,50	0,00	5,00	5,00

Posouzení únosnosti – ČSN 73 1002**Posouzení svislé únosnosti piloty podle teorie MS - mezivýsledky**

Výpočet únosnosti v patě:

Součinitel únosnosti $N_c = 10,98$ Součinitel únosnosti $N_b = 1,18$ Součinitel únosnosti $N_d = 3,94$ Součinitel únosnosti $K1 = 1,00$ Výpočtová únosnost na patě piloty $R_{bd} = 1047,56$ kPaPlocha příčného řezu piloty $A_p = 2,83E-01$ m²Únosnost na plášti piloty: Zkrácení účinné délky piloty $L_p = 0,37$ m

Hloubka [m]	Mocnost [m]	φ_d [°]	c_{ud} [kPa]	γ [kN/m ³]	γ_{R2} [-]	f_s [kPa]	R_{si} [kN]
1,34	1,34	19,00	12,00	21,00	1,00	20,68	47,48
2,04	0,70	24,50	14,00	20,00	1,00	40,16	48,17
2,24	0,20	15,00	10,00	20,00	1,00	27,79	9,52
3,04	0,80	24,50	14,00	20,00	1,00	48,82	66,92
4,54	1,50	15,00	10,00	20,00	1,00	36,63	94,16
5,34	0,80	24,50	14,00	20,00	1,00	69,78	95,66
7,63	2,29	15,00	10,00	20,00	1,00	51,07	200,01

Posouzení svislé únosnosti piloty podle teorie MS - výsledky

Výpočet proveden s automatickým výběrem nejnepříznivějších zatěžovacích stavů.

Posouzení tlačené piloty:

Nejnepříznivější zatěžovací stav číslo 1. (Administrativní přístavek - pilota P14 - max Nd)

Únosnost piloty na plášti $R_s = 561,94$ kNÚnosnost piloty v patě $R_b = 269,26$ kNÚnosnost piloty $R_c = 831,20$ kNExtrémní svislá síla $V_d = 650,00$ kN $R_c = 831,20$ kN > $650,00$ kN = V_d **Svislá únosnost piloty VYHOVUJE****Posouzení sedání****Výpočet zatěžovací křivky piloty - vstupní data**

Vrstva číslo	Počátek [m]	Konec [m]	Mocnost [m]	E_s [MPa]	Součinitel a	Součinitel b
1	0,00	1,00	1,00	6,90	46,00	20,00
2	1,00	2,40	1,40	6,90	46,00	20,00
3	2,40	3,10	0,70	9,48	46,00	20,00
4	3,10	3,30	0,20	10,25	46,00	20,00
5	3,30	4,10	0,80	10,88	46,00	20,00
6	4,10	5,60	1,50	12,31	46,00	20,00
7	5,60	6,40	0,80	13,10	46,00	20,00
8	6,40	9,00	2,60	38,27	97,00	108,00
9	9,00	9,06	0,06	41,76	97,00	108,00

Uvažovat zatížení : užitné

Součinitel vlivu ochrany dřívku $m_2 = 1,00$ Regresní součinitel $e = 198,00$ Limitní sedání piloty $s_{lim} = 25,0$ mmRegresní součinitel $f = 150,00$



STATICKÝ VÝPOČET

BETONOVÉ KONSTRUKCE
DOKUMENTACE PRO PROVEDNÍ STVBA

AKCE:
**ROZŠÍŘENÍ INFRASTRUKTURY
CENTRA INTEMAC**

ARCH. Č.: 1917-02

Strana: 181

Body zatěžovací křivky

Sednutí [mm]	Zatížení [kN]
0,0	0,00
2,5	395,01
5,0	558,62
7,5	644,94

Sednutí [mm]	Zatížení [kN]
10,0	657,45
12,5	669,96
15,0	682,47
17,5	694,97

Sednutí [mm]	Zatížení [kN]
20,0	707,48
22,5	719,99
25,0	732,50

Výpočet zatěžovací křivky piloty - výsledky

Zatížení na mezi mobilizace pláště tření $R_{yu} = 640,28$ kN

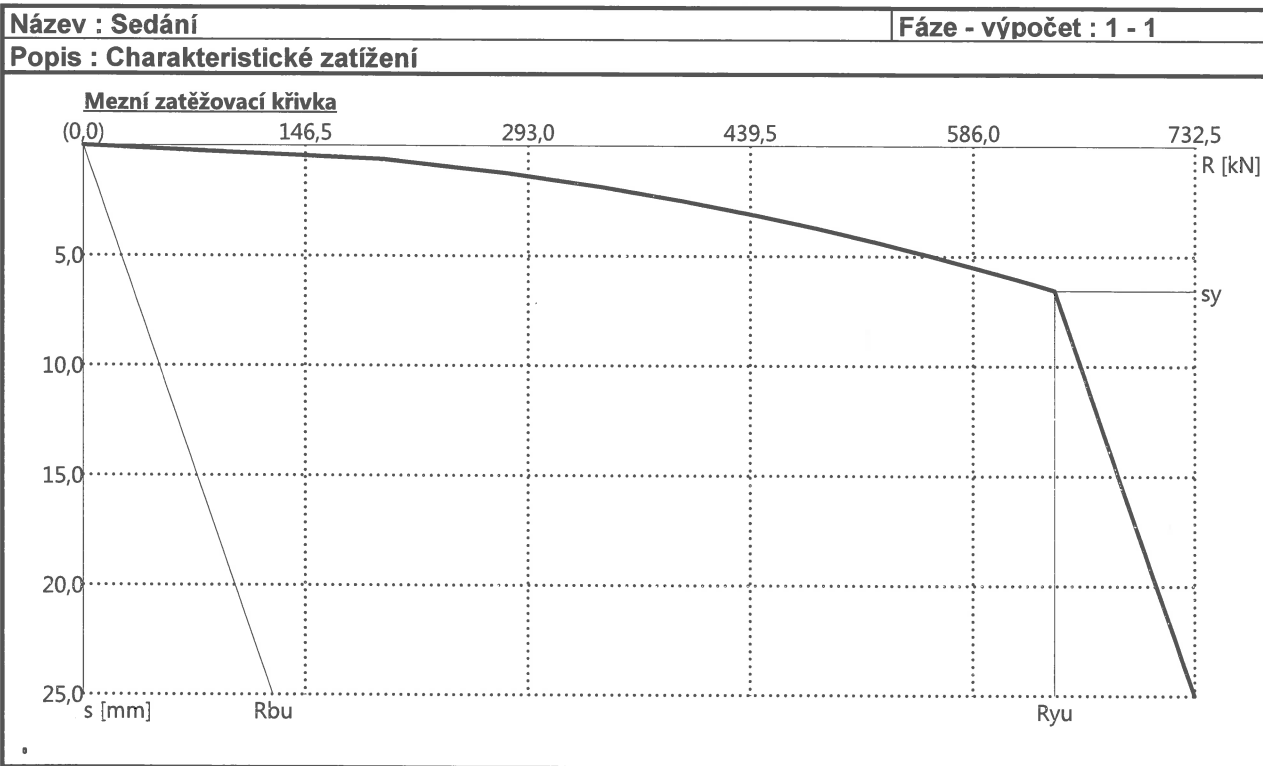
Velikost sedání odpovídající síle R_{yu} $s_y = 6,6$ mm

Únosnosti odpovídající sednutí 25,0 mm :

Únosnost paty $R_{bu} = 125,09$ kN

Celková únosnost $R_c = 732,50$ kN

Pro zatížení $Q = 495,00$ kN je sednutí piloty 3,9 mm



Uvažovat zatížení : návrhové

Body zatěžovací křivky

Sednutí [mm]	Zatížení [kN]
0,0	0,00
2,5	472,25
5,0	667,86
7,5	817,96

Sednutí [mm]	Zatížení [kN]
10,0	917,79
12,5	930,31
15,0	942,82
17,5	955,34

Sednutí [mm]	Zatížení [kN]
20,0	967,86
22,5	980,37
25,0	992,89

Výpočet zatěžovací křivky piloty - výsledky

Zatížení na mezi mobilizace pláště tření $R_{yu} = 914,68$ kN

Velikost sedání odpovídající síle R_{yu} $s_y = 9,4$ mm

Únosnosti odpovídající sednutí 25,0 mm :

Únosnost paty $R_{bu} = 125,16$ kN

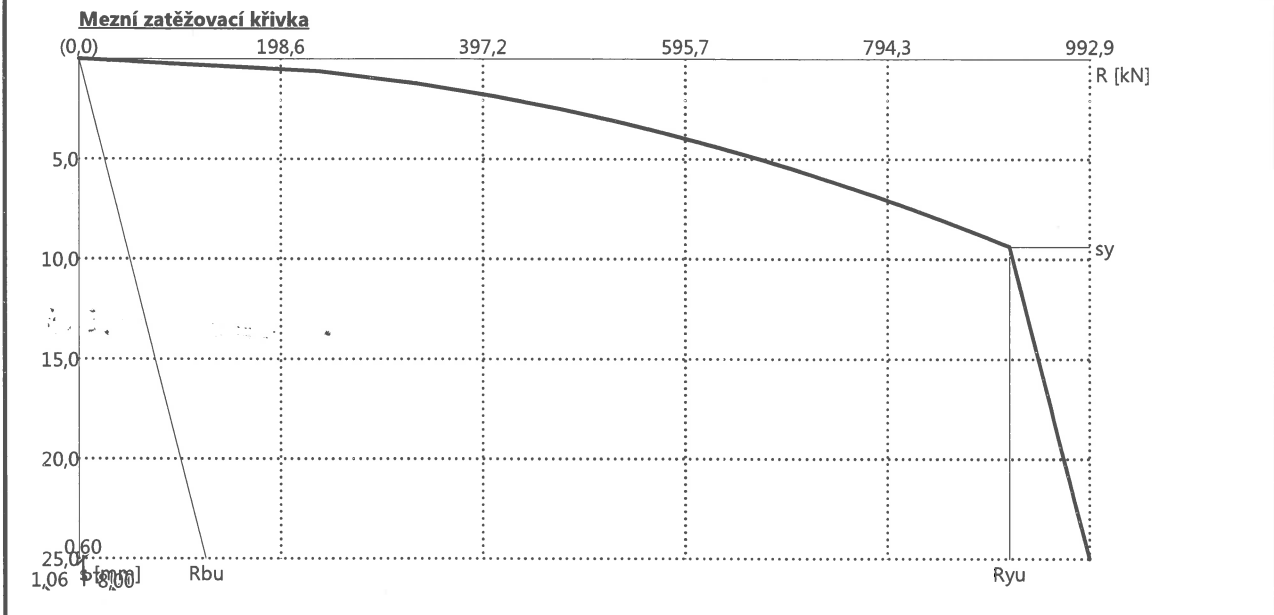
Celková únosnost $R_c = 992,89$ kN

Pro zatížení $Q = 650,00$ kN je sednutí piloty 4,7 mm



Název : Sedání **Fáze - výpočet : 1 - 2**

Popis : Návrhové zatížení

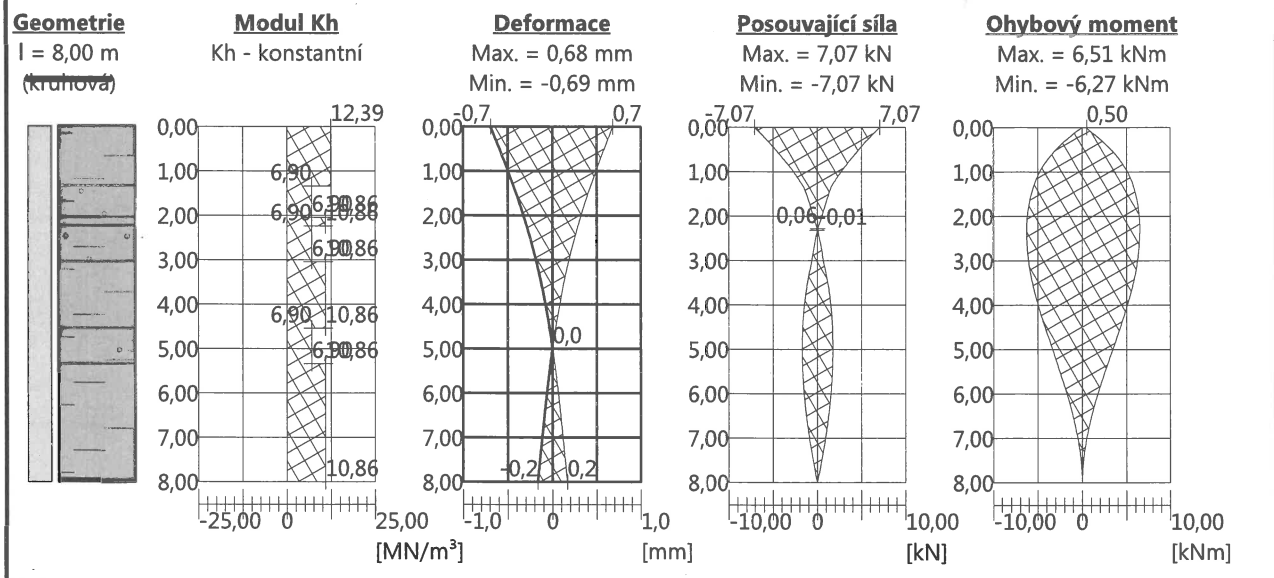


Posouzení vodorovné únosnosti

Vstupní data pro výpočet vodorovné únosnosti piloty

Výpočet proveden s automatickým výběrem nejneprůznivějších zatěžovacích stavů.

Název : Vod. únosn. **Fáze - výpočet : 1 - 1**



Vodorovná únosnost posouzena ve směru maximálního účinku zatížení.

Maximální vnitřní síly a deformace:

Max.deformace piloty = 0,7 mm
 Max.posouvající síla = 7,07 kN

Maximální moment = 6,51 kNm

Posouzení na tlak a ohyb

Vyztužení - 8 ks profil 16,0 mm; krytí 76,0 mm
 Typ konstrukce (stupně vyztužení) : pilota
 Stupeň vyztužení $\rho = 0,569\% > 0,500\% = \rho_{min}$

Zatížení : $N_{Ed} = -495,00$ kN (tlak) ; $M_{Ed} = 6,51$ kNm
 Únosnost : $N_{Rd} = -3723,79$ kN; $M_{Rd} = 74,48$ kNm
Navržená výztuž piloty VYHOVUJE

Posouzení na smyk

Smyková výztuž - 2 ks profil 6,0 mm; vzdálenost 175,0 mm $A_{sw} = 323,1$ mm²
 Posouvající síla na mezi únosnosti: $V_{Rd} = 157,98$ kN $>$ $7,07$ kN = V_{Ed}

Průřez VYHOVUJE. pouze konstrukční smyková výztuž



14.16. PILOTA P15 – piloty pod základovými pasy administrativního přístavku

Geometrie Profil piloty: kruhová

Rozměry

Průměr $d = 0,60$ m

Délka $l = 7,00$ m

Umístění

Vysazení $h = -1,06$ m

Hloubka upraveného terénu $h_z = 0,00$ m

Zatížení

Číslo	Zatížení		Název	Typ	N [kN]	M _x [kNm]	M _y [kNm]	H _x [kN]	H _y [kN]
	nové	změna							
1	Ano		Adm. přístavek - pilota P15 - max Nd	Návrhové	602,00	0,00	0,00	5,00	5,00
2	Ano		Adm. přístavek - pilota P15 - max Nk	Užitné	460,00	0,50	0,00	5,00	5,00

Posouzení únosnosti – ČSN 73 1002

Posouzení svislé únosnosti piloty podle teorie MS - mezivýsledky

Výpočet únosnosti v patě:

Součinitel únosnosti $N_c = 10,98$

Součinitel únosnosti $N_b = 1,18$

Součinitel únosnosti $N_d = 3,94$

Součinitel únosnosti $K1 = 1,00$

Výpočtová únosnost na patě piloty $R_{bd} = 948,33$ kPa

Plocha příčného řezu piloty $A_p = 2,83E-01$ m²

Únosnost na plášti piloty:

Zkrácení účinné délky piloty $L_p = 0,37$ m

Hloubka [m]	Mocnost [m]	φ_d [°]	c_{ud} [kPa]	γ [kN/m ³]	γ_{R2} [-]	f_s [kPa]	R_{si} [kN]
1,34	1,34	19,00	12,00	21,00	1,00	20,68	47,48
2,04	0,70	24,50	14,00	20,00	1,00	40,16	48,17
2,24	0,20	15,00	10,00	20,00	1,00	27,79	9,52
3,04	0,80	24,50	14,00	20,00	1,00	48,82	66,92
4,54	1,50	15,00	10,00	20,00	1,00	36,63	94,16
5,34	0,80	24,50	14,00	20,00	1,00	69,78	95,66
6,63	1,29	15,00	10,00	20,00	1,00	48,39	106,61

Posouzení svislé únosnosti piloty podle teorie MS - výsledky

Výpočet proveden s automatickým výběrem nejneprůzračnějších zatěžovacích stavů.

Posouzení tlačené piloty:

Nejneprůzračnější zatěžovací stav číslo 1. (Administrativní přístavek - pilota P15 - max Nd)

Únosnost piloty na plášti $R_s = 468,53$ kN

Únosnost piloty v patě $R_b = 243,76$ kN

Únosnost piloty $R_c = 712,29$ kN

Extrémní svislá síla $V_d = 602,00$ kN

$R_c = 712,29$ kN > $602,00$ kN = V_d

Svislá únosnost piloty VYHOVUJE

Posouzení sedání

Výpočet zatěžovací křivky piloty - vstupní data

Vrstva číslo	Počátek [m]	Konec [m]	Mocnost [m]	E_s [MPa]	Součinitel a	Součinitel b
1	0,00	1,00	1,00	6,90	46,00	20,00
2	1,00	2,40	1,40	6,90	46,00	20,00
3	2,40	3,10	0,70	9,48	46,00	20,00
4	3,10	3,30	0,20	10,25	46,00	20,00
5	3,30	4,10	0,80	10,88	46,00	20,00
6	4,10	5,60	1,50	12,31	46,00	20,00
7	5,60	6,40	0,80	13,10	46,00	20,00
8	6,40	8,06	1,66	37,04	97,00	108,00

Uvažovat zatížení : užitné

Součinitel vlivu ochrany dřívku $m_2 = 1,00$

Regresní součinitel $e = 198,00$

Limitní sedání piloty $s_{lim} = 25,0$ mm

Regresní součinitel $f = 150,00$



Body zatěžovací křivky

Sednutí [mm]	Zatížení [kN]
0,0	0,00
2,5	310,74
5,0	439,45
7,5	523,46

Sednutí [mm]	Zatížení [kN]
10,0	534,86
12,5	546,27
15,0	557,68
17,5	569,09

Sednutí [mm]	Zatížení [kN]
20,0	580,50
22,5	591,91
25,0	603,32

Výpočet zatěžovací křivky piloty - výsledky

Zatížení na mezi mobilizace pláště.tření $R_{yu} = 521,34$ kN

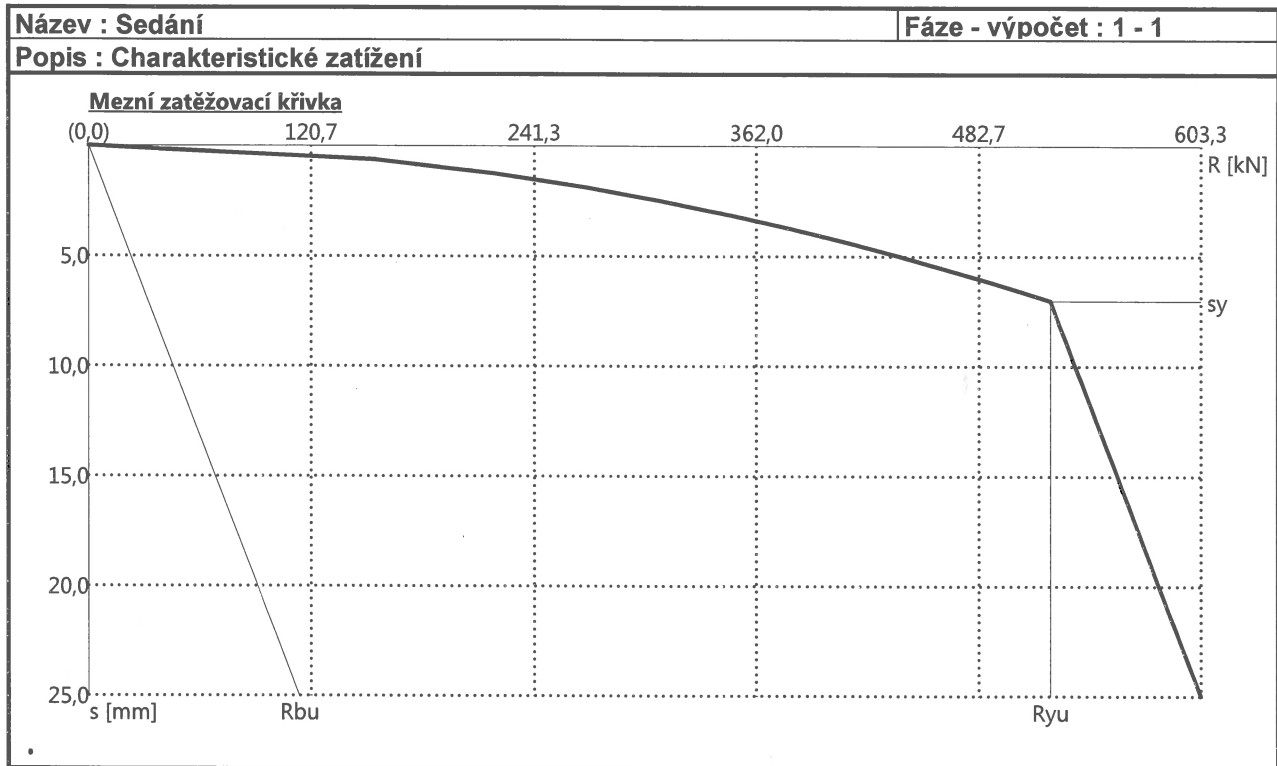
Velikost sedání odpovídající síle R_{yu} $s_y = 7,0$ mm

Únosnosti odpovídající sednutí 25,0 mm :

Únosnost paty $R_{bu} = 114,09$ kN

Celková únosnost $R_c = 603,32$ kN

Pro zatížení $Q = 460,00$ kN je sednutí piloty 5,5 mm



Uvažovat zatížení : návrhové

Součinitel vlivu ochrany dřívku $m_2 = 1,00$

Limitní sedání piloty $s_{lim} = 25,0$ mm

Regresní součinitel $e = 198,00$

Regresní součinitel $f = 150,00$

Body zatěžovací křivky

Sednutí [mm]	Zatížení [kN]
0,0	0,00
2,5	371,54
5,0	525,44
7,5	643,53

Sednutí [mm]	Zatížení [kN]
10,0	743,08
12,5	755,99
15,0	767,40
17,5	778,82

Sednutí [mm]	Zatížení [kN]
20,0	790,24
22,5	801,65
25,0	813,07

Výpočet zatěžovací křivky piloty - výsledky

Zatížení na mezi mobilizace pláště.tření $R_{yu} = 744,78$ kN

Velikost sedání odpovídající síle R_{yu} $s_y = 10,0$ mm

Únosnosti odpovídající sednutí 25,0 mm :

Únosnost paty $R_{bu} = 114,17$ kN

Celková únosnost $R_c = 813,07$ kN

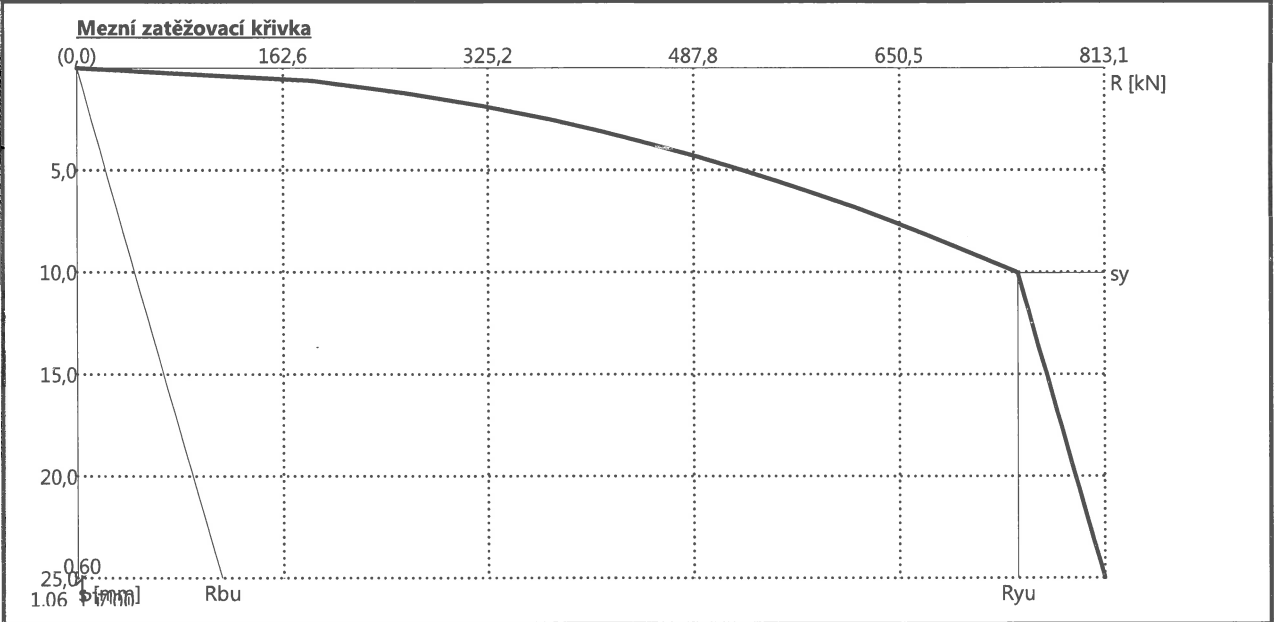
Pro zatížení $Q = 602,00$ kN je sednutí piloty 6,6 mm



Název : Sedání

Fáze - výpočet : 1 - 2

Popis : Návrhové zatížení



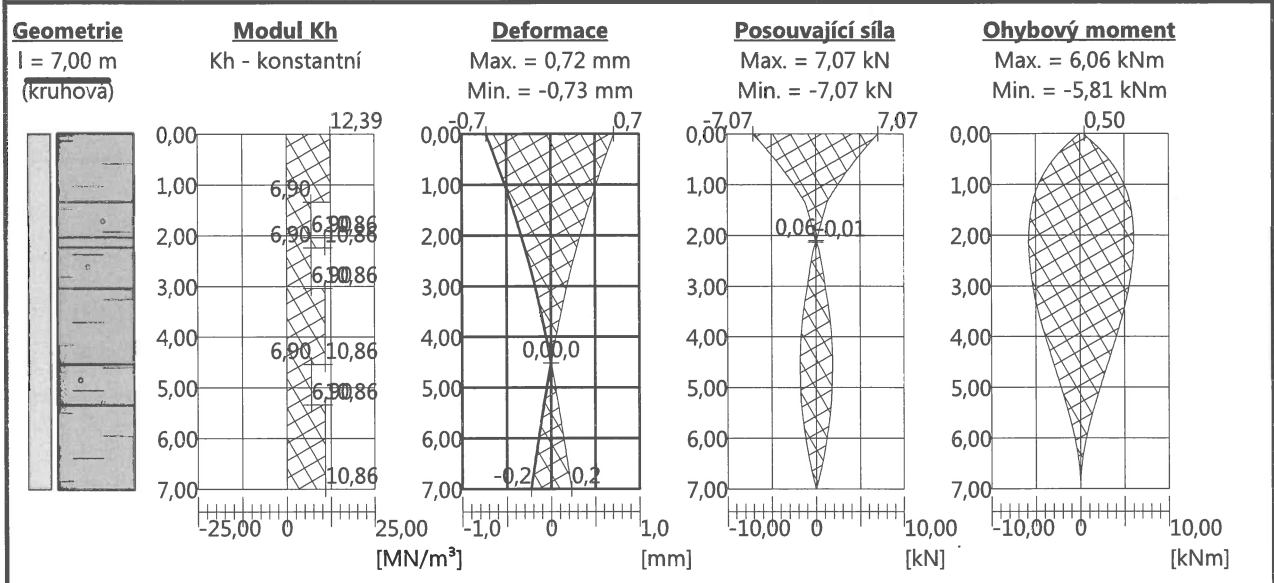
Posouzení vodorovné únosnosti

Vstupní data pro výpočet vodorovné únosnosti piloty

Výpočet proveden s automatickým výběrem nejnejpříznivějších zatěžovacích stavů.
Vodorovná únosnost posouzena ve směru maximálního účinku zatížení.

Název : Vod. únosn.

Fáze - výpočet : 1 - 1



Maximální vnitřní síly a deformace:

Max.deformace piloty = 0,7 mm
Max.posouvající síla = 7,07 kN

Maximální moment = 6,06 kNm

Posouzení na tlak a ohyb

Vyztužení - 8 ks profil 16,0 mm; krytí 76,0 mm
Typ konstrukce (stupně vyztužení) : pilota
Stupeň vyztužení $\rho = 0,569 \% > 0,500 \% = \rho_{min}$

Zatížení : $N_{Ed} = -460,00$ kN (tlak) ; $M_{Ed} = 6,06$ kNm

Únosnost : $N_{Rd} = -3723,79$ kN; $M_{Rd} = 74,48$ kNm

Navržená výztuž piloty VYHOVUJE

Posouzení na smyk

Smyková výztuž - 2 ks profil 6,0 mm; vzdálenost 175,0 mm $A_{sw} = 323,1$ mm²

Posouvající síla na mezi únosnosti: $V_{Rd} = 152,73$ kN $> 7,07$ kN = V_{Ed}

Průřez VYHOVUJE. pouze konstrukční smyková výztuž



14.17. PILOTA P16 – piloty pod základovými pasy administrativního přístavku

Geometrie Profil piloty: kruhová

Rozměry

Průměr $d = 0,60$ m

Délka $l = 6,00$ m

Umístění

Vysazení $h = -1,06$ m

Hloubka upraveného terénu $h_z = 0,00$ m

Zatížení

Číslo	Zatížení		Název	Typ	N [kN]	M_x [kNm]	M_y [kNm]	H_x [kN]	H_y [kN]
	nové	změna							
1	Ano		Adm. přístavek - pilota P16 - max Nd	Návrhové	482,00	0,00	0,00	5,00	5,00
2	Ano		Adm. přístavek - pilota P16 - max Nk	Užitné	366,00	0,50	0,00	5,00	5,00

Posouzení únosnosti – ČSN 73 1002

Posouzení svislé únosnosti piloty podle teorie MS - mezivýsledek

Výpočet únosnosti v patě:

Součinitel únosnosti $N_c = 10,98$

Součinitel únosnosti $N_b = 1,18$

Součinitel únosnosti $N_d = 3,94$

Součinitel únosnosti $K1 = 1,00$

Výpočtová únosnost na patě piloty $R_{bd} = 849,11$ kPa

Plocha příčného řezu piloty $A_p = 2,83E-01$ m²

Únosnost na plášti piloty: Zkrácení účinné délky piloty $L_p = 0,37$ m

Hloubka [m]	Mocnost [m]	φ_d [°]	c_{ud} [kPa]	γ [kN/m ³]	γ_{R2} [-]	f_s [kPa]	R_{si} [kN]
1,34	1,34	19,00	12,00	21,00	1,00	20,68	47,48
2,04	0,70	24,50	14,00	20,00	1,00	40,16	48,17
2,24	0,20	15,00	10,00	20,00	1,00	27,79	9,52
3,04	0,80	24,50	14,00	20,00	1,00	48,82	66,92
4,54	1,50	15,00	10,00	20,00	1,00	36,63	94,16
5,34	0,80	24,50	14,00	20,00	1,00	69,78	95,66
5,63	0,29	15,00	10,00	20,00	1,00	45,71	22,38

Posouzení svislé únosnosti piloty podle teorie MS - výsledek

Výpočet proveden s automatickým výběrem nejnejpříznivějších zatěžovacích stavů.

Posouzení tlačené piloty:

Nejpříznivější zatěžovací stav číslo 1. (Administrativní přístavek - pilota P16 - max Nd)

Únosnost piloty na plášti $R_s = 384,30$ kN

Únosnost piloty v patě $R_b = 218,25$ kN

Únosnost piloty $R_c = 602,56$ kN

Extrémní svislá síla $V_d = 482,00$ kN

$R_c = 602,56$ kN > $482,00$ kN = V_d

Svislá únosnost piloty VYHOVUJE

Posouzení sedání

Výpočet zatěžovací křivky piloty - vstupní data

Vrstva číslo	Počátek [m]	Konec [m]	Mocnost [m]	E_s [MPa]	Součinitel a	Součinitel b
1	0,00	1,00	1,00	6,90	46,00	20,00
2	1,00	2,40	1,40	6,90	46,00	20,00
3	2,40	3,10	0,70	9,48	46,00	20,00
4	3,10	3,30	0,20	10,25	46,00	20,00
5	3,30	4,10	0,80	10,88	46,00	20,00
6	4,10	5,60	1,50	12,31	46,00	20,00
7	5,60	6,40	0,80	13,10	46,00	20,00
8	6,40	7,06	0,66	35,73	97,00	108,00

Uvažovat zatížení : užitné

Součinitel vlivu ochrany dřívku $m_2 = 1,00$

Regresní součinitel $e = 198,00$

Limitní sedání piloty $s_{lim} = 25,0$ mm

Regresní součinitel $f = 150,00$



Body zatěžovací křivky

Sednutí [mm]	Zatížení [kN]
0,0	0,00
2,5	230,77
5,0	326,36
7,5	399,71

Sednutí [mm]	Zatížení [kN]
10,0	413,23
12,5	423,41
15,0	433,60
17,5	443,78

Sednutí [mm]	Zatížení [kN]
20,0	453,97
22,5	464,15
25,0	474,34

Výpočet zatěžovací křivky piloty - výsledky

Zatížení na mezi mobilizace plášt. tření $R_{yu} = 403,65$ kN

Velikost sedání odpovídající síle R_{yu} $s_y = 7,6$ mm

Únosnosti odpovídající sednutí 25,0 mm :

Únosnost paty $R_{bu} = 101,85$ kN

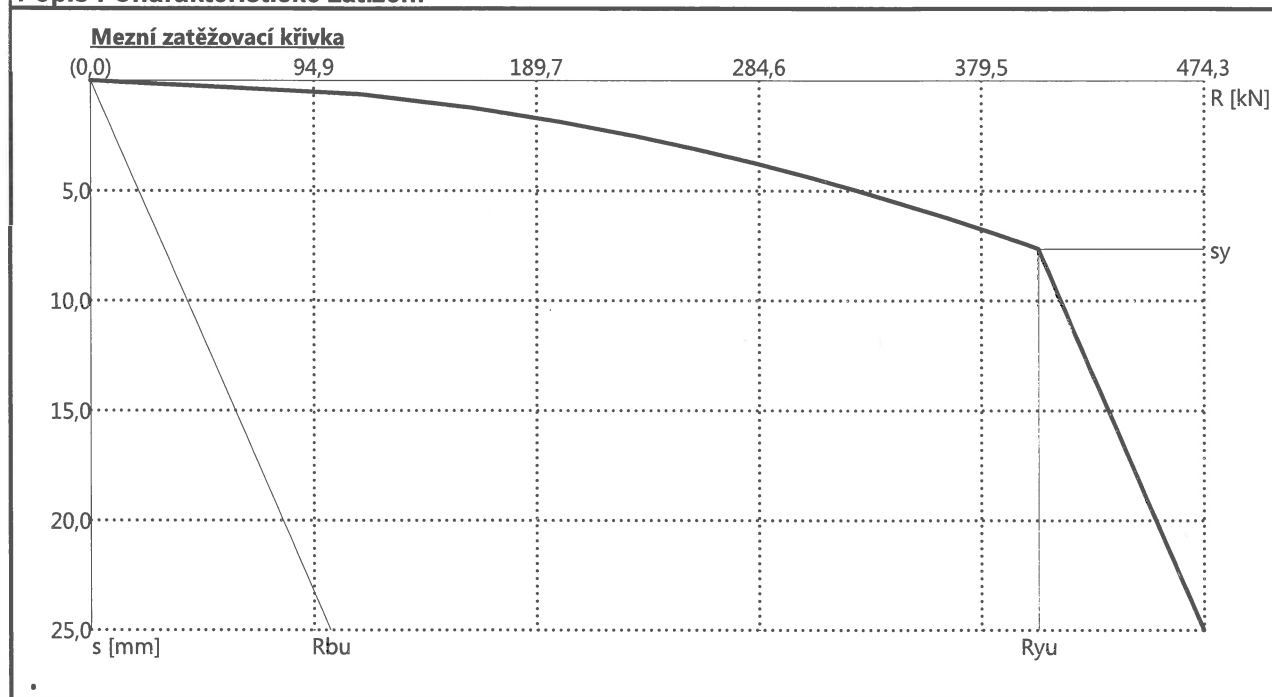
Celková únosnost $R_c = 474,34$ kN

Pro zatížení $Q = 366,00$ kN je sednutí piloty 6,3 mm

Název : Sedání

Fáze - výpočet : 1 - 1

Popis : Charakteristické zatížení



Uvažovat zatížení : návrhové

Součinitel vlivu ochrany dřívku $m_2 = 1,00$

Regresní součinitel $e = 198,00$

Limitní sedání piloty $s_{lim} = 25,0$ mm

Regresní součinitel $f = 150,00$

Body zatěžovací křivky

Sednutí [mm]	Zatížení [kN]
0,0	0,00
2,5	275,98
5,0	390,30
7,5	478,02

Sednutí [mm]	Zatížení [kN]
10,0	551,97
12,5	583,11
15,0	593,30
17,5	603,50

Sednutí [mm]	Zatížení [kN]
20,0	613,70
22,5	623,89
25,0	634,09

Výpočet zatěžovací křivky piloty - výsledky

Zatížení na mezi mobilizace plášt. tření $R_{yu} = 576,64$ kN

Velikost sedání odpovídající síle R_{yu} $s_y = 10,9$ mm

Únosnosti odpovídající sednutí 25,0 mm :

Únosnost paty $R_{bu} = 101,97$ kN

Celková únosnost $R_c = 634,09$ kN

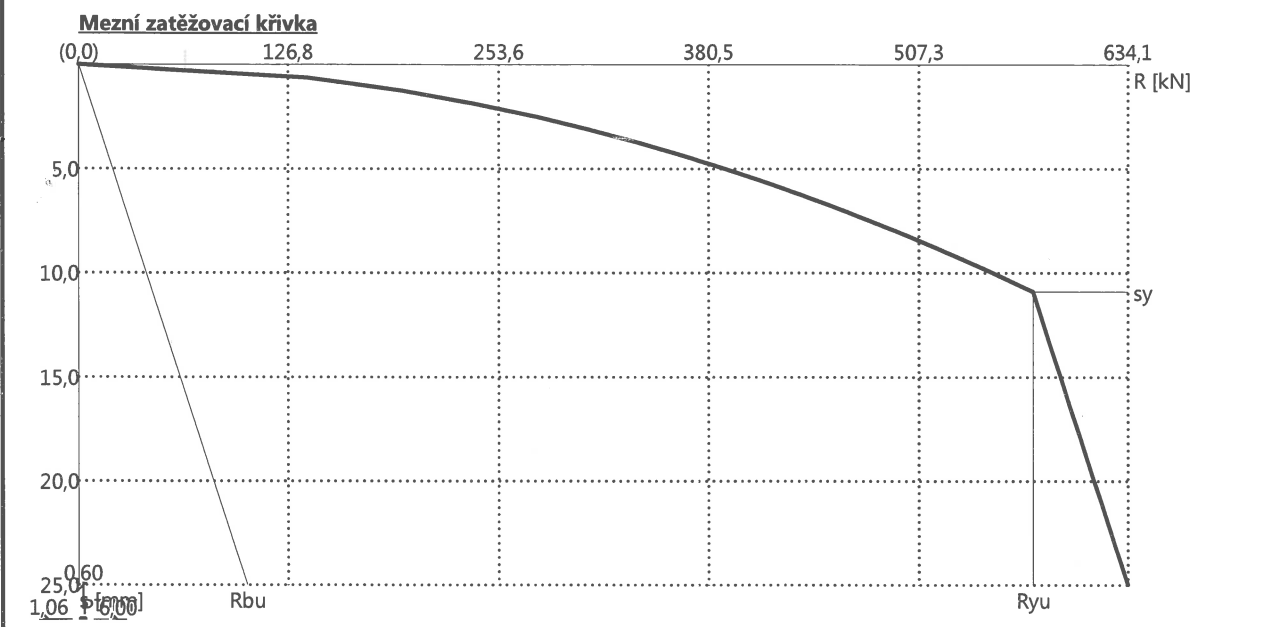
Pro zatížení $Q = 482,00$ kN je sednutí piloty 7,6 mm



Název : Sedání

Fáze - výpočet : 1 - 2

Popis : Návrhové zatížení



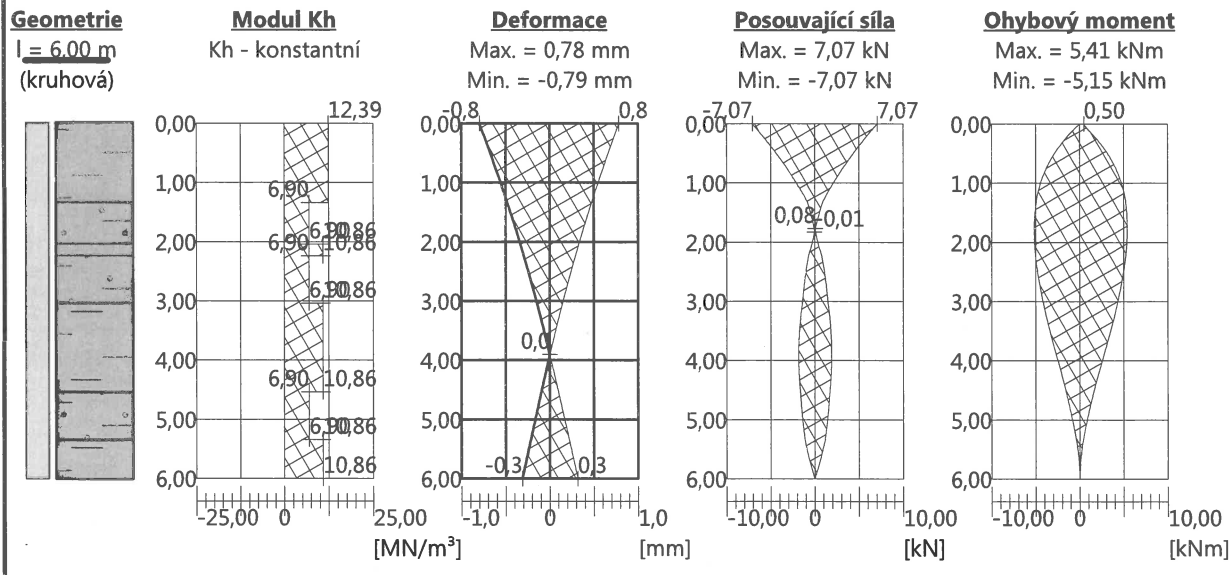
Posouzení vodorovné únosnosti

Vstupní data pro výpočet vodorovné únosnosti piloty

Výpočet proveden s automatickým výběrem nejnejpříznivějších zatěžovacích stavů.
Vodorovná únosnost posouzena ve směru maximálního účinku zatížení.

Název : Vod. únosn.

Fáze - výpočet : 1 - 1



Maximální vnitřní síly a deformace:

Max.deformace piloty = 0,8 mm
Max.posouvající síla = 7,07 kN

Maximální moment = 5,41 kNm

Posouzení na tlak a ohyb

Vyztužení - 8 ks profil 16,0 mm; krytí 76,0 mm
Typ konstrukce (stupně vyztužení) : pilota
Stupeň vyztužení $\rho = 0,569 \% > 0,500 \% = \rho_{\min}$

Zatížení : $N_{Ed} = -366,00 \text{ kN}$ (tlak) ; $M_{Ed} = 5,41 \text{ kNm}$
Únosnost : $N_{Rd} = -3723,79 \text{ kN}$; $M_{Rd} = 74,48 \text{ kNm}$
Navržená výztuž piloty VYHOVUJE

Posouzení na smyk

Smyková výztuž - 2 ks profil 6,0 mm; vzdálenost 175,0 mm $A_{sw} = 323,1 \text{ mm}^2$

Posouvající síla na mezi únosnosti: $V_{Rd} = 151,73 \text{ kN} > 7,07 \text{ kN} = V_{Ed}$

Průřez VYHOVUJE.

pouze konstrukční smyková výztuž

**14.18. PILOTA P17 – piloty pod základovými pasy administrativního přístavku**

Geometrie Profil piloty: kruhová

RozměryPrůměr $d = 0,60$ mDélka $l = 5,00$ m**Umístění**Vysazení $h = -1,06$ mHloubka upraveného terénu $h_z = 0,00$ m**Zatížení**

Číslo	Zatížení		Název	Typ	N [kN]	M_x [kNm]	M_y [kNm]	H_x [kN]	H_y [kN]
	nové	změna							
1	Ano		Adm. přístavek - pilota P17 - max Nd	Návrhové	287,00	0,00	0,00	5,00	5,00
2	Ano		Adm. přístavek - pilota P17 - max Nk	Užitné	220,00	0,50	0,00	5,00	5,00

Posouzení únosnosti – ČSN 73 1002**Posouzení svislé únosnosti piloty podle teorie MS - mezivýsledky**

Výpočet únosnosti v patě:

Součinitel únosnosti $N_c = 20,01$ Součinitel únosnosti $N_b = 6,23$ Součinitel únosnosti $N_d = 10,12$ Součinitel únosnosti $K1 = 1,00$ Výpočtová únosnost na patě piloty $R_{bd} = 2131,33$ kPaPlocha příčného řezu piloty $A_p = 2,83E-01$ m²Únosnost na plášti piloty: Zkrácení účinné délky piloty $L_p = 0,70$ m

Hloubka [m]	Mocnost [m]	φ_d [°]	c_{ud} [kPa]	γ [kN/m ³]	$\gamma R2$ [-]	f_s [kPa]	R_{si} [kN]
1,34	1,34	19,00	12,00	21,00	1,00	20,68	47,48
2,04	0,70	24,50	14,00	20,00	1,00	40,16	48,17
2,24	0,20	15,00	10,00	20,00	1,00	27,79	9,52
3,04	0,80	24,50	14,00	20,00	1,00	48,82	66,92
4,30	1,26	15,00	10,00	20,00	1,00	35,99	77,60

Posouzení svislé únosnosti piloty podle teorie MS - výsledky

Výpočet proveden s automatickým výběrem nejnepříznivějších zatěžovacích stavů.

Posouzení tlačené piloty:

Nejnepříznivější zatěžovací stav číslo 1. (Administrativní přístavek - pilota P17 - max Nd)

Únosnost piloty na plášti $R_s = 249,69$ kNÚnosnost piloty v patě $R_b = 547,84$ kNÚnosnost piloty $R_c = 797,53$ kNExtrémní svislá síla $V_d = 287,00$ kN $R_c = 797,53$ kN > $287,00$ kN = V_d **Svislá únosnost piloty VYHOVUJE****Posouzení sedání****Výpočet zatěžovací křivky piloty - vstupní data**

Vrstva číslo	Počátek [m]	Konec [m]	Mocnost [m]	E_s [MPa]	Součinitel a	Součinitel b
1	0,00	1,00	1,00	6,90	46,00	20,00
2	1,00	2,40	1,40	6,90	46,00	20,00
3	2,40	3,10	0,70	9,48	46,00	20,00
4	3,10	3,30	0,20	10,25	46,00	20,00
5	3,30	4,10	0,80	10,88	46,00	20,00
6	4,10	5,60	1,50	12,31	46,00	20,00
7	5,60	6,06	0,46	13,00	46,00	20,00

Uvažovat zatížení : užitné

Součinitel vlivu ochrany dřívku $m_2 = 1,00$ Regresní součinitel $e = 198,00$ Limitní sedání piloty $s_{lim} = 25,0$ mmRegresní součinitel $f = 150,00$ **Body zatěžovací křivky**



Sednutí [mm]	Zatížení [kN]
0,0	0,00
2,5	167,88
5,0	237,42
7,5	290,78

Sednutí [mm]	Zatížení [kN]
10,0	312,51
12,5	321,48
15,0	330,45
17,5	339,42

Sednutí [mm]	Zatížení [kN]
20,0	348,39
22,5	357,36
25,0	366,34

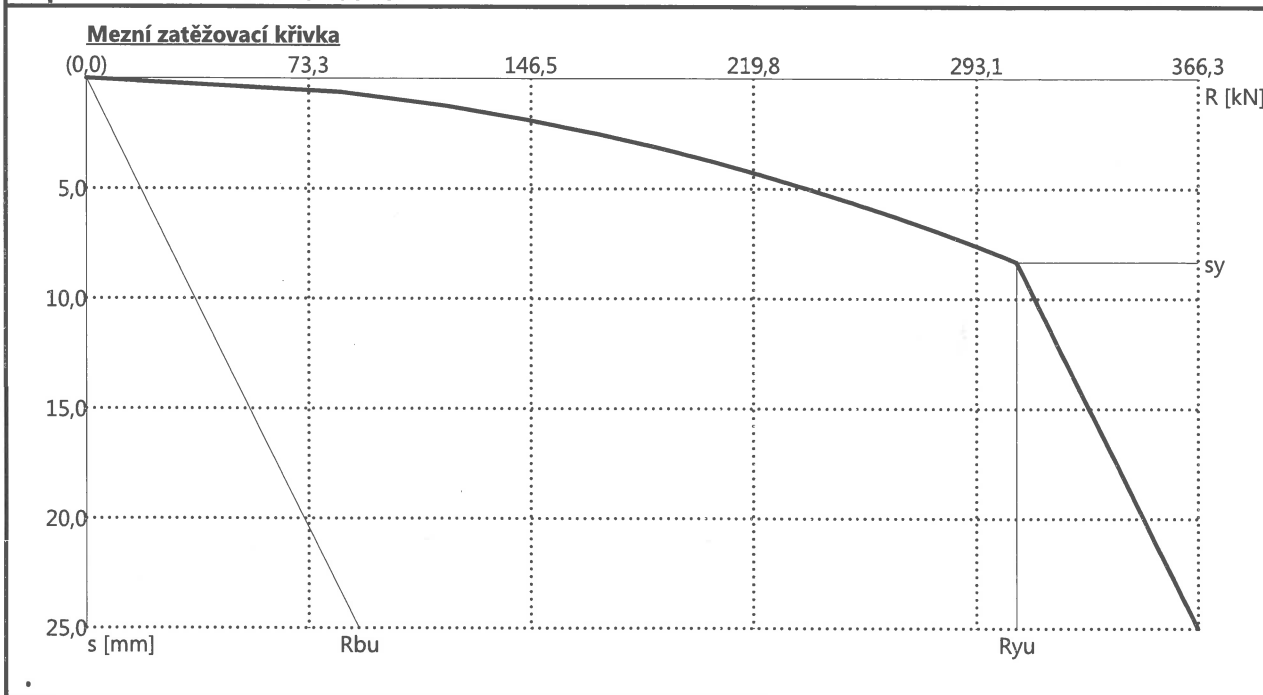
Výpočet zatěžovací křivky piloty - výsledky

Zatížení na mezi mobilizace pláště.tření $R_{yu} = 306,53$ kN
 Velikost sedání odpovídající síle R_{yu} $s_y = 8,3$ mm
 Únosnosti odpovídající sednutí 25,0 mm :
 Únosnost paty $R_{bu} = 89,71$ kN
 Celková únosnost $R_c = 366,34$ kN

Pro zatížení $Q = 220,00$ kN je sednutí piloty 4,3 mm

Název : Sedání **Fáze - výpočet : 1 - 1**

Popis : Charakteristické zatížení



Uvažovat zatížení : návrhové

Součinitel vlivu ochrany dřívku $m_2 = 1,00$

Limitní sedání piloty $s_{lim} = 25,0$ mm

Regresní součinitel $e = 198,00$

Regresní součinitel $f = 150,00$

Body zatěžovací křivky

Sednutí [mm]	Zatížení [kN]
0,0	0,00
2,5	200,83
5,0	284,02
7,5	347,85

Sednutí [mm]	Zatížení [kN]
10,0	401,67
12,5	440,11
15,0	449,10
17,5	458,09

Sednutí [mm]	Zatížení [kN]
20,0	467,07
22,5	476,06
25,0	485,05

Výpočet zatěžovací křivky piloty - výsledky

Zatížení na mezi mobilizace pláště.tření $R_{yu} = 437,90$ kN
 Velikost sedání odpovídající síle R_{yu} $s_y = 11,9$ mm
 Únosnosti odpovídající sednutí 25,0 mm :
 Únosnost paty $R_{bu} = 89,87$ kN
 Celková únosnost $R_c = 485,05$ kN

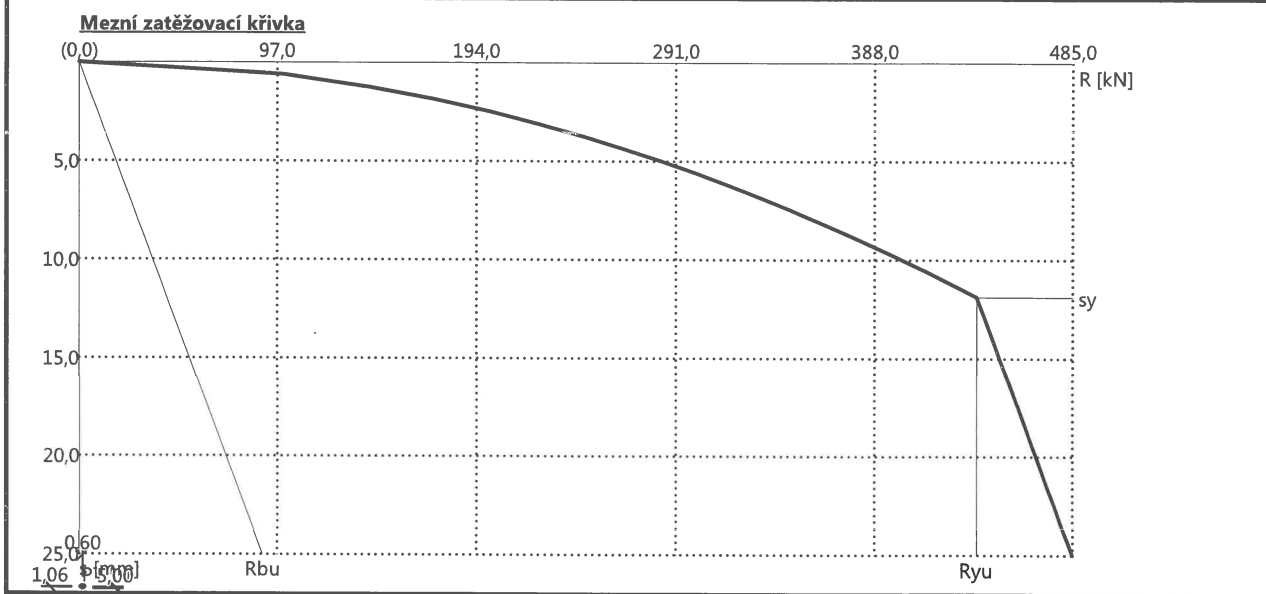
Pro zatížení $Q = 287,00$ kN je sednutí piloty 5,1 mm



Název : Sedání

Fáze - výpočet : 1 - 2

Popis : Návrhové zatížení



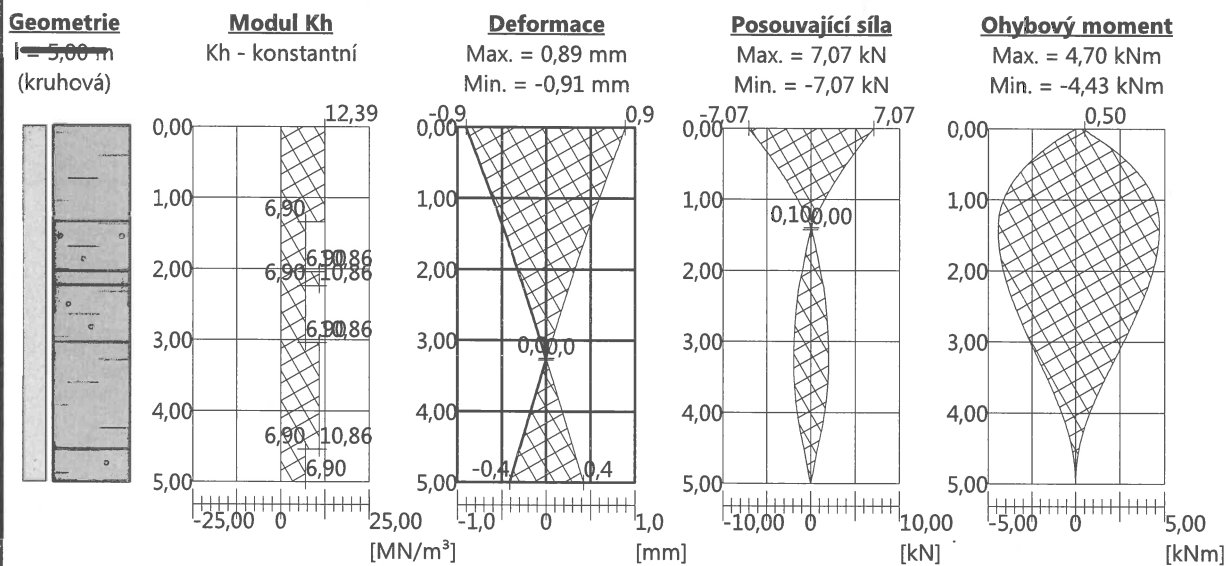
Posouzení vodorovné únosnosti

Vstupní data pro výpočet vodorovné únosnosti piloty

Výpočet proveden s automatickým výběrem nejnejpříznivějších zatěžovacích stavů.
Vodorovná únosnost posouzena ve směru maximálního účinku zatížení.

Název : Vod. únosn.

Fáze - výpočet : 1 - 1



Maximální vnitřní síly a deformace:

Max. deformace piloty = 0,9 mm
Max. posouvající síla = 7,07 kN

Maximální moment = 4,70 kNm

Posouzení na tlak a ohyb

Vyztužení - 8 ks profil 16,0 mm; krytí 76,0 mm
Typ konstrukce (stupně vyztužení) : pilota
Stupeň vyztužení $\rho = 0,569 \% > 0,500 \% = \rho_{min}$

Zatížení : $N_{Ed} = -287,00$ kN (tlak) ; $M_{Ed} = 4,43$ kNm
Únosnost : $N_{Rd} = -3723,79$ kN; $M_{Rd} = 74,48$ kNm

Navržená výztuž piloty VYHOVUJE

Posouzení na smyk

Smyková výztuž - 2 ks profil 6,0 mm; vzdálenost 175,0 mm $A_{sw} = 323,1$ mm²
Posouvající síla na mezi únosnosti: $V_{Rd} = 151,73$ kN $> 7,07$ kN = V_{Ed}

Průřez VYHOVUJE.

pouze konstrukční smyková výztuž

**14.19. PILOTA P18 – piloty pod základovými pasy administrativního přístavku**

Geometrie Profil piloty: kruhová

RozměryPrůměr $d = 0,60$ mDélka $l = 10,00$ m**Umístění**Vysazení $h = -1,06$ mHloubka upraveného terénu $h_z = 0,00$ m**Zatížení**

Číslo	Zatížení		Název	Typ	N [kN]	M_x [kNm]	M_y [kNm]	H_x [kN]	H_y [kN]
	nové	změna							
1	Ano		Adm. přístavek - pilota P18 - max Nd	Návrhové	1037,00	0,00	0,00	5,00	5,00
2	Ano		Adm. přístavek - pilota P18 max Nk	Užitné	794,00	0,00	0,00	5,00	5,00

Posouzení únosnosti – ČSN 73 1002**Posouzení svislé únosnosti piloty podle teorie MS - mezivýsledky**

Výpočet únosnosti v patě:

Součinitel únosnosti $N_c = 10,98$ Součinitel únosnosti $N_b = 1,18$ Součinitel únosnosti $N_d = 3,94$ Součinitel únosnosti $K1 = 1,00$ Výpočtová únosnost na patě piloty $R_{bd} = 1246,01$ kPaPlocha příčného řezu piloty $A_p = 2,83E-01$ m²Únosnost na plášti piloty: Zkrácení účinné délky piloty $L_p = 0,37$ m

Hloubka [m]	Mocnost [m]	φ_d [°]	c_{ud} [kPa]	γ [kN/m ³]	$\gamma R2$ [-]	f_s [kPa]	R_{si} [kN]
1,34	1,34	19,00	12,00	21,00	1,00	20,68	47,48
2,04	0,70	24,50	14,00	20,00	1,00	40,16	48,17
2,24	0,20	15,00	10,00	20,00	1,00	27,79	9,52
3,04	0,80	24,50	14,00	20,00	1,00	48,82	66,92
4,54	1,50	15,00	10,00	20,00	1,00	36,63	94,16
5,34	0,80	24,50	14,00	20,00	1,00	69,78	95,66
7,94	2,60	15,00	10,00	20,00	1,00	51,91	231,26
9,63	1,69	15,00	10,00	20,00	1,00	63,39	183,12

Posouzení svislé únosnosti piloty podle teorie MS - výsledky

Výpočet proveden s automatickým výběrem nejnepříznivějších zatěžovacích stavů.

Posouzení tlačené piloty:

Nejnepříznivější zatěžovací stav číslo 1. (Administrativní přístavek - pilota P19 - max Nd)

Únosnost piloty na plášti $R_s = 776,30$ kNÚnosnost piloty v patě $R_b = 320,27$ kNÚnosnost piloty $R_c = 1096,58$ kNExtrémní svislá síla $V_d = 1037,00$ kN $R_c = 1096,58$ kN > $1037,00$ kN = V_d **Svislá únosnost piloty VYHOVUJE****Posouzení sedání****Výpočet zatěžovací křivky piloty - vstupní data**

Vrstva číslo	Počátek [m]	Konec [m]	Mocnost [m]	E_s [MPa]	Součinitel a	Součinitel b
1	0,00	1,00	1,00	6,90	46,00	20,00
2	1,00	2,40	1,40	6,90	46,00	20,00
3	2,40	3,10	0,70	9,48	46,00	20,00
4	3,10	3,30	0,20	10,25	46,00	20,00
5	3,30	4,10	0,80	10,88	46,00	20,00
6	4,10	5,60	1,50	12,37	97,00	108,00
7	5,60	6,40	0,80	13,10	46,00	20,00
8	6,40	9,00	2,60	14,12	46,00	20,00
9	9,00	11,06	2,06	44,30	97,00	108,00

Uvažovat zatížení : užitné

Součinitel vlivu ochrany dřívku $m_2 = 1,00$ Limitní sedání piloty $s_{lim} = 25,0$ mm



Regresní součinitel $e = 988,00$

Regresní součinitel $f = 1084,00$

Body zatěžovací křivky

Sednutí [mm]	Zatížení [kN]
0,0	0,00
2,5	504,39
5,0	713,31
7,5	873,62

Sednutí [mm]	Zatížení [kN]
10,0	965,59
12,5	1013,40
15,0	1061,22
17,5	1109,03

Sednutí [mm]	Zatížení [kN]
20,0	1156,84
22,5	1204,65
25,0	1252,46

Výpočet zatěžovací křivky piloty - výsledky

Zatížení na mezi mobilizace plášt.tření $R_{yu} = 940,63$ kN

Velikost sedání odpovídající síle R_{yu} $s_y = 8,7$ mm

Únosnosti odpovídající sednutí 25,0 mm :

Únosnost paty $R_{bu} = 478,11$ kN

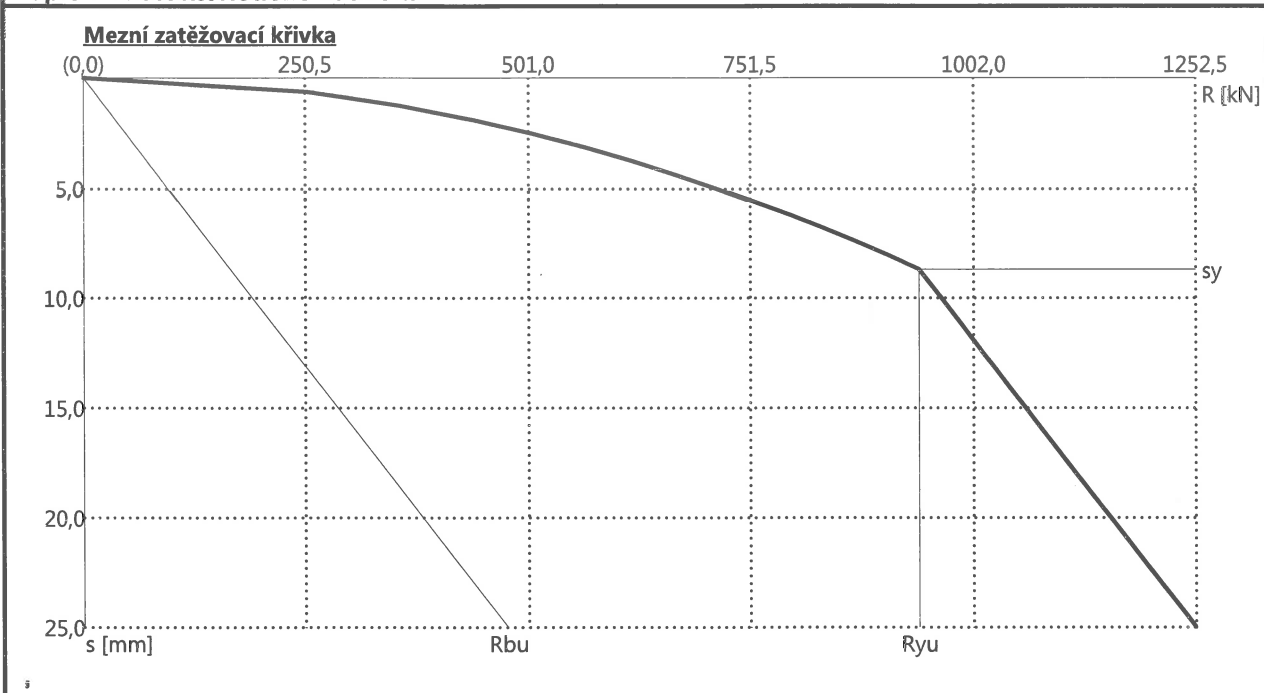
Celková únosnost $R_c = 1252,46$ kN

Pro zatížení $Q = 794,00$ kN je sednutí piloty 6,2 mm

Název : Sedání

Fáze - výpočet : 1 - 1

Popis : Charakteristické zatížení



Uvažovat zatížení : návrhové

Součinitel vlivu ochrany dřívku $m_2 = 1,00$

Limitní sedání piloty $s_{lim} = 25,0$ mm

Regresní součinitel $e = 988,00$

Regresní součinitel $f = 1084,00$

Body zatěžovací křivky

Sednutí [mm]	Zatížení [kN]
0,0	0,00
2,5	608,68
5,0	860,81
7,5	1054,27

Sednutí [mm]	Zatížení [kN]
10,0	1217,37
12,5	1361,06
15,0	1418,07
17,5	1464,47

Sednutí [mm]	Zatížení [kN]
20,0	1510,87
22,5	1557,27
25,0	1603,67

Výpočet zatěžovací křivky piloty - výsledky

Zatížení na mezi mobilizace plášt.tření $R_{yu} = 1377,20$ kN

Velikost sedání odpovídající síle R_{yu} $s_y = 12,8$ mm

Únosnosti odpovídající sednutí 25,0 mm :

Únosnost paty $R_{bu} = 464,01$ kN

Celková únosnost $R_c = 1603,67$ kN

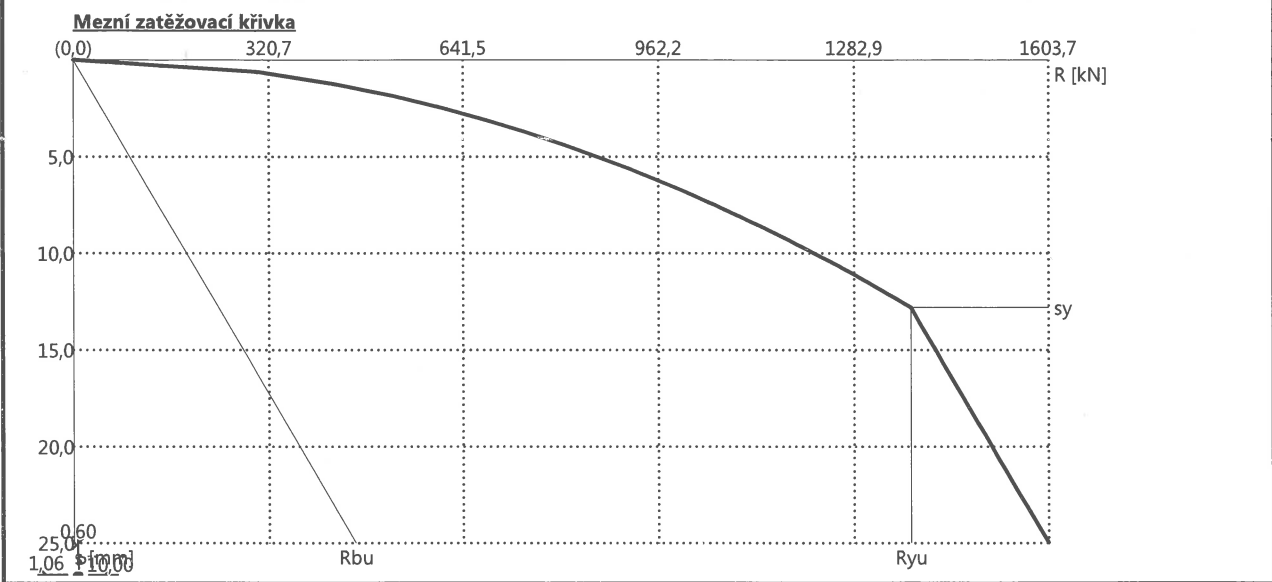
Pro zatížení $Q = 1037,00$ kN je sednutí piloty 7,3 mm



Název : Sedání

Fáze - výpočet : 1 - 2

Popis : Návrhové zatížení



Posouzení vodorovné únosnosti

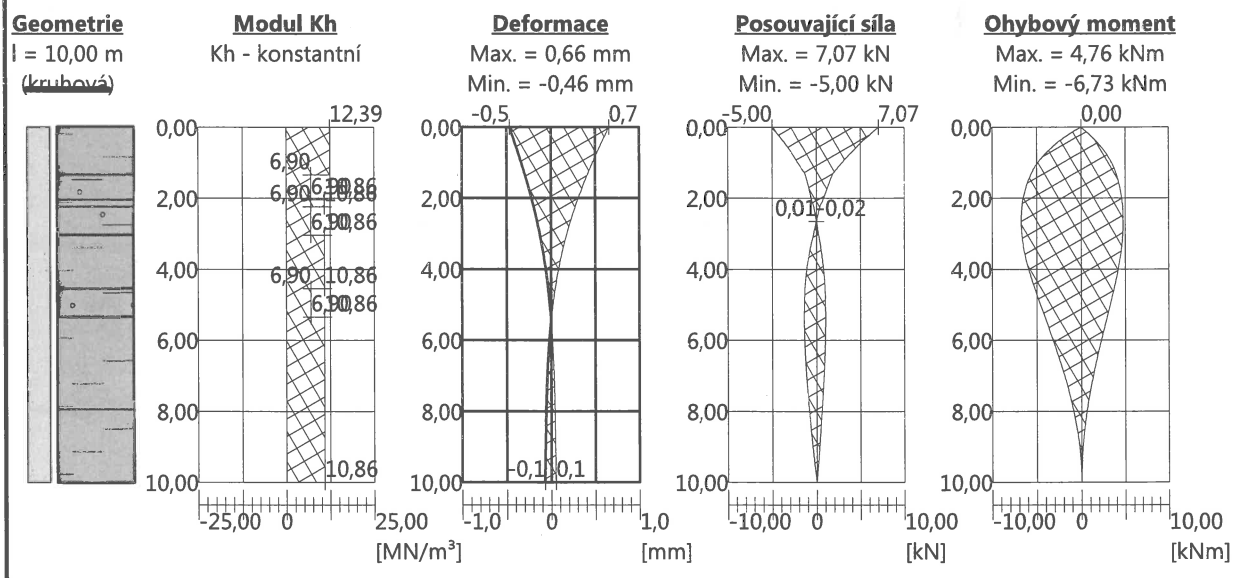
Vstupní data pro výpočet vodorovné únosnosti piloty

Výpočet proveden s automatickým výběrem nejnejpříznivějších zatěžovacích stavů.

Vodorovná únosnost posouzena ve směru maximálního účinku zatížení.

Název : Vod. únosn.

Fáze - výpočet : 1 - 1



Maximální vnitřní síly a deformace:

Max.deformace piloty = 0,7 mm

Max.posouvající síla = 7,07 kN

Maximální moment = 6,73 kNm

Posouzení na tlak a ohyb

Vyztužení - 8 ks profil 16,0 mm; krytí 76,0 mm

Typ konstrukce (stupně vyztužení) : pilota

Stupeň vyztužení $\rho = 0,569\% > 0,500\% = \rho_{min}$

Zatížení : $N_{Ed} = -1037,00$ kN (tlak) ; $M_{Ed} = 6,73$ kNm

Únosnost : $N_{Rd} = -3723,79$ kN; $M_{Rd} = 74,48$ kNm

Navržená výztuž piloty VYHOVUJE

Posouzení na smyk

Smyková výztuž - 2 ks profil 6,0 mm; vzdálenost 175,0 mm

$A_{sw} = 323,1$ mm²

Posouvající síla na mezi únosnosti: $V_{Rd} = 185,11$ kN $>$ $7,07$ kN = V_{Ed}

Průřez VYHOVUJE. pouze konstrukční smyková výztuž



14.20. PILOTA P19 – piloty pod základovými pasy administrativního přístavku

Geometrie Profil piloty: kruhová

Rozměry

Průměr $d = 0,60$ m

Délka $l = 3,00$ m

Umístění

Vysazení $h = -1,06$ m

Hloubka upraveného terénu $h_z = 0,00$ m

Zatížení

Číslo	Zatížení		Název	Typ	N [kN]	M _x [kNm]	M _y [kNm]	H _x [kN]	H _y [kN]
	nové	změna							
1	Ano		Adm. přístavek - pilota P19 - max Nd	Návrhové	189,00	0,00	0,00	5,00	5,00
2	Ano		Adm. přístavek - pilota P19 - max Nk	Užitné	142,00	0,50	0,00	5,00	5,00

Posouzení únosnosti – ČSN 73 1002

Posouzení svislé únosnosti piloty podle teorie MS - mezivýsledek

Výpočet únosnosti v patě:

Součinitel únosnosti $N_c = 20,01$

Součinitel únosnosti $N_b = 6,23$

Součinitel únosnosti $N_d = 10,12$

Součinitel únosnosti $K1 = 1,00$

Výpočtová únosnost na patě piloty $R_{bd} = 1558,82$ kPa

Plocha příčného řezu piloty $A_p = 2,83E-01$ m²

Únosnost na plášti piloty: Zkrácení účinné délky piloty $L_p = 0,70$ m

Hloubka [m]	Mocnost [m]	φ_d [°]	c_{ud} [kPa]	γ [kN/m ³]	γR_2 [-]	f_s [kPa]	R_{si} [kN]
1,34	1,34	19,00	12,00	21,00	1,00	20,68	47,48
2,04	0,70	24,50	14,00	20,00	1,00	40,16	48,17
2,24	0,20	15,00	10,00	20,00	1,00	27,79	9,52
2,30	0,06	24,50	14,00	20,00	1,00	45,44	4,54

Posouzení svislé únosnosti piloty podle teorie MS - výsledky

Výpočet proveden s automatickým výběrem nejnepriznivějších zatěžovacích stavů.

Posouzení tlačené piloty:

Nejnepriznivější zatěžovací stav číslo 1. (Administrativní přístavek - pilota P19 - max Nd)

Únosnost piloty na plášti $R_s = 109,72$ kN

Únosnost piloty v patě $R_p = 400,68$ kN

Únosnost piloty $R_c = 510,40$ kN

Extrémní svislá síla $V_d = 189,00$ kN

$R_c = 510,40$ kN > $189,00$ kN = V_d

Svislá únosnost piloty VYHOVUJE

Posouzení sedání

Výpočet zatěžovací křivky piloty - vstupní data

Vrstva a číslo	Počátek [m]	Konec [m]	Mocnost [m]	E_s [MPa]	Součinitel a	Součinitel b
1	0,00	1,00	1,00	6,90	46,00	20,00
2	1,00	2,40	1,40	6,90	46,00	20,00
3	2,40	3,10	0,70	9,48	46,00	20,00
4	3,10	3,30	0,20	10,25	46,00	20,00
5	3,30	4,06	0,76	10,85	46,00	20,00

Uvažovat zatížení : užitné

Součinitel vlivu ochrany dřívku $m_2 = 1,00$

Regresní součinitel $e = 198,00$

Limitní sedání piloty $s_{lim} = 25,0$ mm

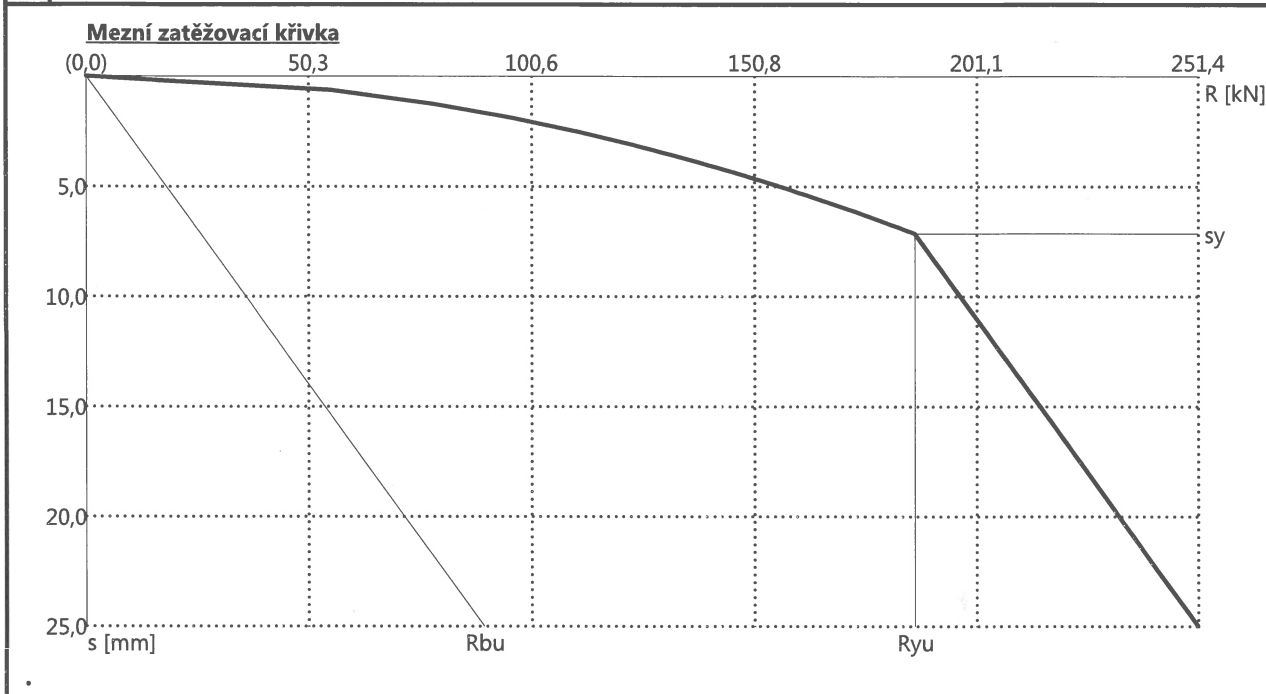
Regresní součinitel $f = 150,00$

Body zatěžovací křivky

Sednutí [mm]	Zatížení [kN]	Sednutí [mm]	Zatížení [kN]	Sednutí [mm]	Zatížení [kN]	Sednutí [mm]	Zatížení [kN]
0,0	0,00	7,5	188,50	15,0	215,46	22,5	242,42
2,5	110,70	10,0	197,48	17,5	224,45	25,0	251,41
5,0	156,55	12,5	206,47	20,0	233,43		

**Výpočet zatěžovací křivky piloty - výsledky**

Zatížení na mezi mobilizace pláště.tření $R_{yu} = 187,25$ kN
 Velikost sedání odpovídající síle R_{yu} $s_y = 7,2$ mm
 Únosnosti odpovídající sednutí 25,0 mm :
 Únosnost paty $R_{bu} = 89,88$ kN
 Celková únosnost $R_c = 251,41$ kN

Pro zatížení $Q = 142,00$ kN je sednutí piloty 4,1 mm**Popis : Charakteristické zatížení**

Uvažovat zatížení : návrhové

Součinitel vlivu ochrany dřívku $m_2 = 1,00$ Limitní sedání piloty $s_{lim} = 25,0$ mmRegresní součinitel $e = 198,00$ Regresní součinitel $f = 150,00$ **Body zatěžovací křivky**

Sednutí [mm]	Zatížení [kN]
0,0	0,00
2,5	132,31
5,0	187,12
7,5	229,17

Sednutí [mm]	Zatížení [kN]
10,0	264,62
12,5	275,70
15,0	284,69
17,5	293,67

Sednutí [mm]	Zatížení [kN]
20,0	302,66
22,5	311,65
25,0	320,64

Výpočet zatěžovací křivky piloty - výsledky

Zatížení na mezi mobilizace pláště.tření $R_{yu} = 267,50$ kN
 Velikost sedání odpovídající síle R_{yu} $s_y = 10,2$ mm

Únosnosti odpovídající sednutí 25,0 mm :

Únosnost paty $R_{bu} = 89,88$ kN
 Celková únosnost $R_c = 320,64$ kN

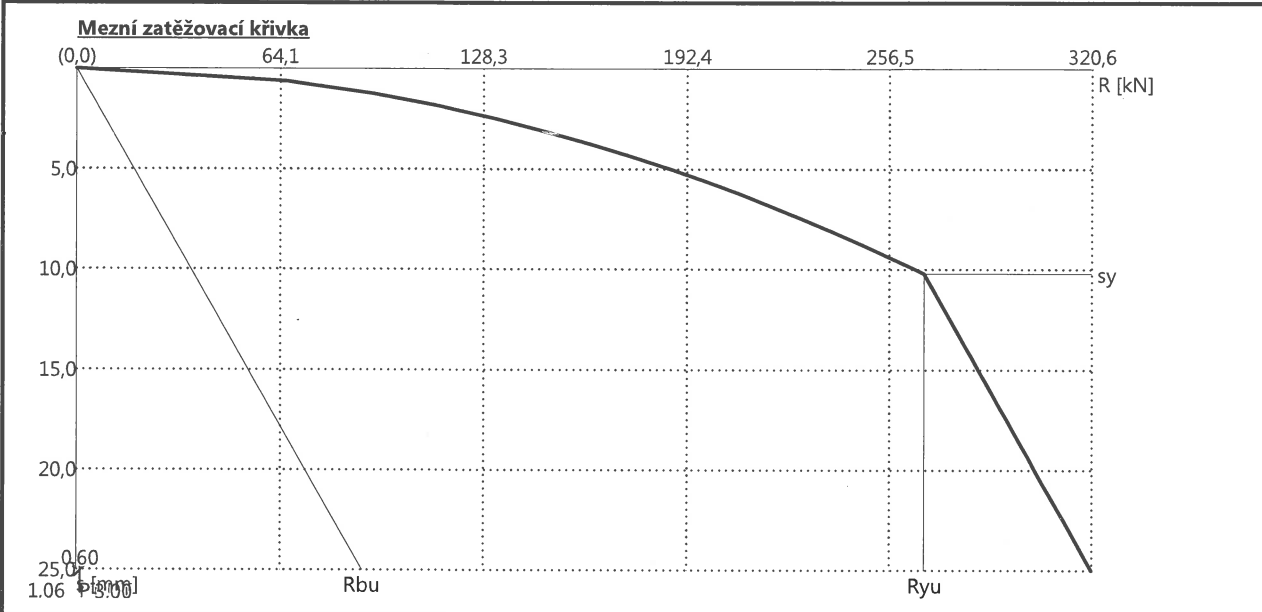
Pro zatížení $Q = 189,00$ kN je sednutí piloty 5,1 mm



Název : Sedání

Fáze - výpočet : 1 - 2

Popis : Návrhové zatížení



Posouzení vodorovné únosnosti

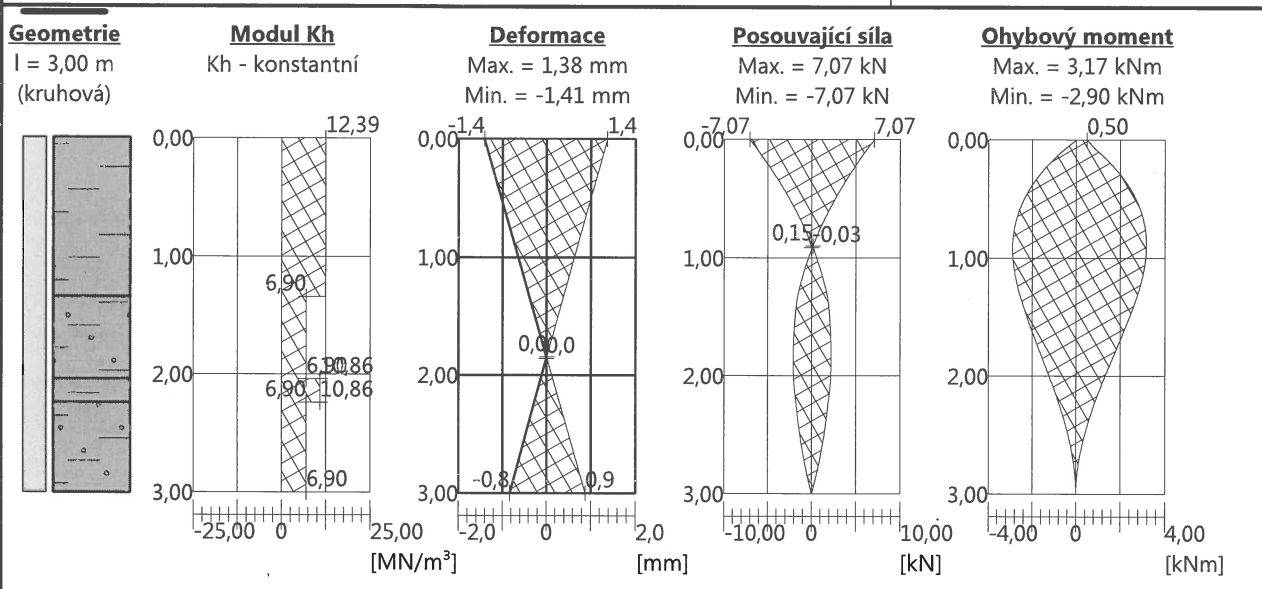
Vstupní data pro výpočet vodorovné únosnosti piloty

Výpočet proveden s automatickým výběrem nejnepříznivějších zatěžovacích stavů.

Vodorovná únosnost posouzena ve směru maximálního účinku zatížení.

Název : Vod. únosn.

Fáze - výpočet : 1 - 1



Maximální vnitřní síly a deformace:

Max.deformace piloty = 1,4 mm

Max.posouvající síla = 7,07 kN

Maximální moment = 3,17 kNm

Posouzení na tlak a ohyb

Vyztužení - 8 ks profil 16,0 mm; krytí 76,0 mm

Typ konstrukce (stupně vyztužení) : pilota

Stupeň vyztužení $\rho = 0,569 \% > 0,500 \% = \rho_{\min}$

Zatížení : $N_{Ed} = -189,00 \text{ kN}$ (tlak) ; $M_{Ed} = 2,90 \text{ kNm}$

Únosnost : $N_{Rd} = -3723,79 \text{ kN}$; $M_{Rd} = 74,48 \text{ kNm}$

Navržená výztuž piloty VYHOVUJE

Posouzení na smyk

Smyková výztuž - 2 ks profil 6,0 mm; vzdálenost 175,0 mm $A_{sw} = 323,1 \text{ mm}^2$

Posouvající síla na mezi únosnosti: $V_{Rd} = 151,73 \text{ kN} > 7,07 \text{ kN} = V_{Ed}$

Průřez VYHOVUJE.

pouze konstrukční smyková výztuž

